

AUTORIZACE

ČÍSLO PŘE

DOKUMENTACI LZE POUŽÍVAT POUZE VE SMYSLU PŘÍSLUŠNÉ SMLOUVY O DÍLO. VÝKRES ČI JEHO ČÁST MŮŽE BÝT KOPÍROVÁN NEBO JINÝM ZPŮSOBEM ROZŠÍŘOVÁN POUZE PO PŘEDCHOZÍM SOUHLASU AUTORA

ČÍSLO ZMĚNY	DATUM ZMĚNY	POPIS/OBSAH ZMĚNY	PODPIS

## Silnice III/3089 Smlířce - průtah

název akce

### Stavební část - S0201 - MOST PŘES MLÝNSKÝ NÁHON

stavební objekt

KRÁLOVÉHRADECKÝ KRAJ Pivovarské náměstí 1245 500 03 Hradec Králové objednatel	spolupráce
Smlířce místo stavby	Královehradecký kraj



**DOPRAVNĚ INŽENÝRSKÁ KANCELÁŘ**  
 Bozděchova 1668, 500 02 Hradec Králové  
 tel : 495 219 036, 495 212 647, fax : 495 221 677  
 e-mail : dik@dik - hk.cz, http : www.dik-hk.cz

<b>STATICKÝ VÝPOČET</b>	měřítko	DSP-PDPS stupeň
-------------------------	---------	--------------------

Ing. J. Eliášek kontroloval		Ing. J. Eliášek hlavní inženýr projektu		A104/14 číslo zakázky	<b>C.1.02</b> číslo přílohy
Ing. Jan Felgr zodpovědný projektant		Ing. Jan Felgr vedoucí projektant		06/2015 datum	

## Obsah

1 Identifikační údaje mostu .....	2
2 Statické výpočty .....	4
2.1 Statické schema nosných prvků .....	4
2.1.1 Popis nosné konstrukce mostu .....	4
2.1.2 Údaje o založení a spodní stavbě mostu .....	4
2.1.3 Statická schemata nosných prvků .....	4
2.2 Použité materiály .....	4
2.3 Stanovení zatížení .....	5
2.4 Únosnost a posouzení nosných prvků .....	5
2.4.1 Nosné konstrukce .....	5
2.4.2 Úložný práh .....	5
2.4.3 Závěrná zídka .....	5
2.4.4 Přejížděvací deska .....	5
2.4.5 Opěra .....	5
2.4.6 Pilotový základ .....	5
2.4.7 Římsa .....	6
2.4.8 Zábradlí .....	6
2.5 Zatěžovací zkoušky .....	6
2.6 Zatížitelnost hlavní konstrukce .....	6
2.7 Zbytková životnost mostu .....	6
3 Přehled použitých norem a předpisů, software .....	7
4 Příloha – schemata, zatížení, výpočty, posudky .....	8

## 1 Identifikační údaje mostu

Stupeň dokumentace:	Projektová dokumentace pro vydání stavebního povolení (DSP) Projektová dokumentace pro provádění stavby (PDPS)
Stavba a objekt číslo:	Silnice III/3089 - průtah
Objekt č.:	SO 201
Název mostu:	Most přes Mlýnský náhon
Evidenční číslo mostu:	3089-3
Katastrální území:	Smiřice; 751081
Obec:	Smiřice
Kraj:	Královéhradecký
Stavebník:	Královéhradecký kraj Pivovarské náměstí 1245, 500 03 Hradec Králové IČ: 70 88 95 46 DIČ: CZ 70 88 95 46
Uvažovaný správce mostu:	Správa a údržba silnic Královéhradeckého kraje a.s. Kutnohorská 59, 500 04 Hradec Králové - Plačice IČ: 27 50 29 88 DIČ: CZ 27 50 29 88
Generální projektant:	Dopravně inženýrská kancelář s.r.o. Bozděchova 1668, 500 02 Hradec Králové IČ: 27 46 68 68 DIČ: CZ 27 46 68 68
Hlavní inženýr projektu:	Ing. Jiří Eliášek Autorizovaný inženýr pro dopravní stavby, číslo autorizace ČKAIT: 0602284 e-mail: <a href="mailto:eliasek@dik-hk.cz">eliasek@dik-hk.cz</a>
Zodpovědný projektant	Ing. Jan Felgr, tel.: 495 219 036, e-mail: <a href="mailto:felgr@dik-hk.cz">felgr@dik-hk.cz</a> Autorizovaný inženýr pro mosty a inženýrské konstrukce, číslo autorizace ČKAIT: 0601870
Zpracoval	Ing. Jan Felgr, tel.: 495 219 036, e-mail: <a href="mailto:felgr@dik-hk.cz">felgr@dik-hk.cz</a>

Kategorie komunikace:	MS8,0/50
Evidenční číslo:	III/3089
Bod křížení:	Komunikace třetí třídy x tok Mlýnského náhonu
Souřadnice S-JTSK:	X = 1 032 621,519 M, Y = 637 753,616 M
Staničení:	
- začátek úprav	KM 0,949 59
- vnitřní líc č.1	KM 0,962 50
- vnitřní líc č.2	KM 0,969 86
- konec úprav	KM 0,982 43
- zakrytí Mlýnského náhonu	KM 0,966 18
Úhly křížení:	
- vnitřní líc č.1	56,3900 °
- komunikace x tok	56,3900 °
- vnitřní líc č.2	56,3900 °
Nadmořská výška:	m.n.m. BpV
- začátek úprav	242,400
- vnitřní líc č.1	242,470
- vnitřní líc č.2	242,470
- konec úprav	242,410
- zakrytí Mlýnského náhonu	242,470
Volná výška:	neomezená

## 2 Statické výpočty

### 2.1 Statické schema nosných prvků

Statické uspořádání stávajícího mostu bude prostorový šikmý lomený oblouk s koncovými příčnicíky vyztužený podélnými čelními nosníky, přičemž vnitřní čelní nosník bude trámem podporujícím chodníkovou konzolu vyztuženou konzolami vybíhajícími z koncových příčnicíků.

#### 2.1.1 Popis nosné konstrukce mostu

Nosná konstrukce je tvořena monolitickou ŽB deskou složenou z lomené obloukové desky tloušťky převážně 250 mm, vetknuté do koncových příčnicíků s náběhy. Deska je šikmá a vyztužená podélnými čelními nosníky, přičemž pravý (vnitřní) čelní nosník zároveň přenáší zatížení i od chodníkové konzolové desky o tloušťce 250 mm.

Materiál je C30/37 XF1 (XF2), dimenze jednotlivých prvků včetně posouzení jsou uvedeny v příloze této zprávy.

Nosná konstrukce je kloubově uložena do úložných prahů, které přenášejí tlakové soustředěné síly vodorovné i svislé do zesílených opěr a odtud pak do podloží. Zesílením stávajících opěr lze uvažovat opěru i úložný práh jako jeden celek odolný proti překlopení či posunu.

#### 2.1.2 Údaje o založení a spodní stavbě mostu

Spodní stavbu mostu tvoří ŽB úložné prahy C30/37 tvaru šikmého L o rozměrech délka cca 1000 mm a tloušťka 400 mm spojené přes ŽB injektované spojky do opěr. Opěry pak přenášejí zatížení dál do podloží nebo do původních opěr.

Předěl mezi nosnou konstrukcí a okolím je třeba řešit na pravé straně mostu v místě přechodu chodníkové konzoly do zemního tělesa, a sice pomocí závěrných zídek uložených na stávající opěry. V podélném směru most plynule přechází v přechodovou oblast a po levé straně je most zasypán.

#### 2.1.3 Statická schemata nosných prvků

Statická schemata viz příloha této zprávy.

### 2.2 Použité materiály

Veškeré nové betonové konstrukce budou mít parametry splňující požadavky na odolnost vůči agresivitě prostředí, navíc budou chráněny před přímým vlivem prostředí izolační ochranou, především hydroizolačním souvrstvím s ochranou izolace.

Konstrukční prvek	Třída betonu	Stupeň vlivu prostředí	Min.tl.krytí výztuže $C_{min,dur}$	Provzdušnění, odolnost CHRL, min.vodotěsnost mm, max. vodní součinitel	Třída konstrukce
Lomený oblouk	C 30/37	XF1	25	ano, ano, ano, 0,5	S4
příčnicík	C 30/37	XF1	25	ano, ano, ano, 0,5	S4
čelo	C 30/37	XD1, XF2	25	ano, ano, ano, 0,45	S4
římsa	C 35/45	XD3, XF4	30	ano, ano, ano, 0,45	S4
úložný práh	C 30/37	XF1	20	ano, ano, ano, 0,5	S3
opěra	C 25/30	XF1	25	ano, ano, ano, 0,5	S4

podkladní beton	C 12/15	-	-	-	-
-----------------	---------	---	---	---	---

## 2.3 Stanovení zatížení

Zatížení jsou stanovena dle platných norem pro zatížení, v aktuálním znění včetně všech oprav a změn.

ČSN 730037	Zemní tlak na stavební konstrukce (doporučené užití)
ČSN EN 1991-1-1	Zatížení konstrukcí - část 1-1 – objemové tíhy, vlastní tíha a užitná zatížení pozemních staveb
ČSN EN 1991-1-3	Zatížení konstrukcí – část 1-3: Obecná zatížení - Zatížení sněhem
ČSN EN 1991-1-4	Zatížení konstrukcí – část 1-4: Obecná zatížení - Zatížení větrem
ČSN EN 1991-1-5	Zatížení konstrukcí – část 1-5: Obecná zatížení - Zatížení teplotou
ČSN EN 1991-1-7	Zatížení konstrukcí – část 1-7: Obecná zatížení – Mimořádná zatížení
ČSN EN 1991-2	Zatížení mostů dopravou

Konkrétní hodnoty a uspořádání zatížení viz kapitola 4.

## 2.4 Únosnost a posouzení nosných prvků

Únosnosti a posouzení všech nosných prvků jsou stanoveny podle platných norem a předpisů.

ČSN EN 1992-1-1	Navrhování betonových konstrukcí
ČSN EN 1992-2	Navrhování betonových konstrukcí – část 2: Betonové mosty – Navrhování a konstrukční zásady
ČSN EN 1993-1-1	Navrhování ocelových konstrukcí – část 1-1: Obecná pravidla a pravidla pro pozemní stavby
ČSN EN 1993-2	Navrhování ocelových konstrukcí – část 2: Ocelové mosty
ČSN EN 1997-1	Navrhování geotechnických konstrukcí – část 1: Obecná pravidla
ČSN EN 1990	Zásady navrhování konstrukcí

### 2.4.1 Nosné konstrukce

Nosné konstrukce jsou posuzovány na ohyb při maximálním dopravním zatížení.

### 2.4.2 Úložný práh

Úložný práh je posuzován na soustředěný tlak.

### 2.4.3 Závěrná zídka

Závěrná zídka je posuzována na zatížení zemním tlakem s případným přitížením od dopravy.

### 2.4.4 Přechodová deska

Přechodová deska není součástí tohoto řešení.

### 2.4.5 Opěra

Opěry nejsou posuzovány. Jsou dostatečně únosné na přenesení zatížení do podloží či do původních opěr.

## 2.4.6 Pilotový základ

Pilotový základ není součástí tohoto řešení.

## 2.4.7 Římsa

Římsy jsou navrženy konstrukčně, nejsou předmětem posouzení.

## 2.4.8 Zábradlí

Zábradlí je zvoleno typově, není předmětem posouzení.

## 2.5 Zatěžovací zkoušky

Po provedení rekonstrukce bude před opětovným uvedením do provozu realizována zatěžovací zkouška pro určení skutečných napětí a dočasných i trvalých deformací před, při i po zatížení mostu určeným zatížením.

Provádění zatěžovacích zkoušek se řídí platnou normou ČSN 73 6209.

## 2.6 Zatížitelnost hlavní konstrukce

Platná norma pro určení zatížitelnosti mostů pozemních komunikací je ČSN 73 6222.

Původní zatížitelnost mostu byla stanovena v souladu s tehdy platnou zatěžovací normou pro navrhování mostních konstrukcí.

Zatížitelnost nosné konstrukce je dána výpočtem pro nový most.

Normální	$V_n$	=	32 t
Výhradní	$V_r$	=	80 t
Výjimečná	$V_e$	=	- t

## 2.7 Zbytková životnost mostu

Důležitou informací pro posuzování ekonomiky provozu a případných zásahů do mostní konstrukce pro zlepšení stavu mostu je i určení zbytkové životnosti mostu. Kompletní rekonstrukcí mostu výměnou za nový je tak zbytková životnost mostu pro hlavní nosné prvky dána dobou 100 let.

Pro zachování této životnosti je třeba provádění pravidelných prohlídek a údržby mostu, dle příslušných předpisů, i přes ztížené přístupové podmínky.

### 3 Přehled použitých norem a předpisů, software

ČSN 73 0037	Zemní tlak na stavební konstrukce, včetně opravy 1 a změny Z1
ČSN 73 6101	Projektování silnic a dálnic, včetně opravy 1, změny Z1 a změny Z2
ČSN 73 6110	Projektování místních komunikací, včetně opravy 1 a změny Z1
ČSN 73 6133	Návrh a provádění zemního tělesa pozemních komunikací
ČSN 73 6200	Mosty – Terminologie a třídění
ČSN 73 6201	Projektování mostních objektů, včetně změny Z1
ČSN 73 6209	Zatěžovací zkoušky mostů, včetně změny Z1
ČSN 73 6214	Navrhování betonových mostních konstrukcí
ČSN 73 6222	Zatížitelnost mostů pozemních komunikací
ČSN 73 6242	Navrhování a provádění vozovek na mostech pozemních komunikací, včetně opravy 1
ČSN 73 6244	Přechody mostů pozemních komunikací
ČSN EN 1990	Zásady navrhování konstrukcí, včetně oprav 1, 2, 3, 4 a změn A1, Z1, Z2, Z3
ČSN EN 1991-1-1	Zatížení konstrukcí – část 1-1: Obecná zatížení - Objemové tíhy, vlastní tíha a užitná zatížení pozemních staveb, včetně opravy 1, změny Z1 a změny Z2
ČSN EN 1991-1-3	Zatížení konstrukcí – část 1-3: Obecná zatížení - Zatížení sněhem, včetně opravy 1 a změny Z1, Z2, Z3, Z4, Z5
ČSN EN 1991-1-4	Zatížení konstrukcí – část 1-4: Obecná zatížení - Zatížení větrem, včetně opravy 1, 2, 3 a změny A1, Z1, Z2, Z3
ČSN EN 1991-1-5	Zatížení konstrukcí – část 1-5: Obecná zatížení - Zatížení teplotou, včetně opravy 1, 2 a změny A, Z1
ČSN EN 1991-1-7	Zatížení konstrukcí – část 1-7: Obecná zatížení – Mimořádná zatížení, včetně opravy 1 a změny Z1
ČSN EN 1991-2	Zatížení mostů dopravou, včetně opravy 1, změny Z1, Z2, Z3
ČSN EN 1992-1-1	Navrhování betonových konstrukcí, včetně změn
ČSN EN 1992-2	Navrhování betonových konstrukcí – část 2: Betonové mosty – Navrhování a konstrukční zásady, včetně opravy 1 a změny Z1, Z2
ČSN EN 1993-1-1	Navrhování ocelových konstrukcí – část 1-1: Obecná pravidla a pravidla pro pozemní stavby
ČSN EN 1993-2	Navrhování ocelových konstrukcí – část 2: Ocelové mosty, včetně opravy 1 a změny Z1
ČSN EN 1997-1	Navrhování geotechnických konstrukcí – část 1: Obecná pravidla, včetně opravy 1 a změny Z1
ESA engineering 14	
LibreOffice 4.3.5.2	



## **4 Příloha – schemata, zatížení, výpočty, posudky**

## ZATÍŽENÍ DOPRAVOU – SVISLÉ ZATÍŽENÍ

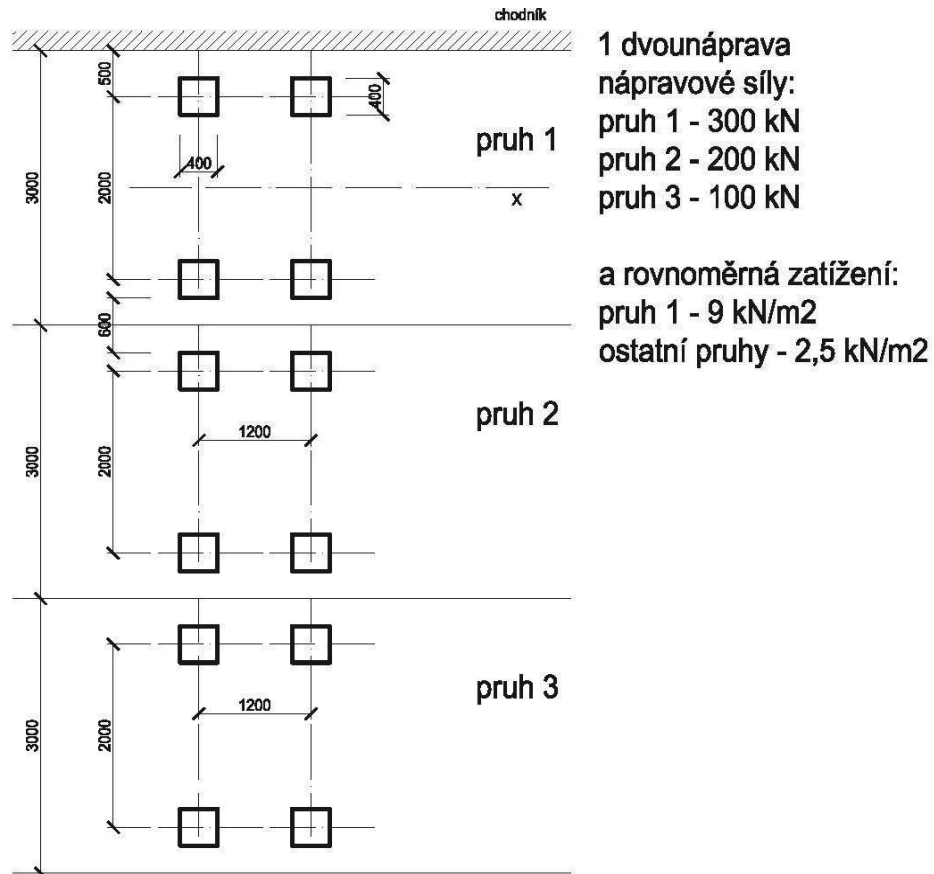
### Model zatížení LM1

$\alpha_Q \cdot Q_k$

kde  $\alpha_Q \geq 1,0$  je regulační součinitel podle třídy komunikace a podle dopravy

$\alpha_q \cdot q_k$

kde  $\alpha_q \geq 1,0$  je regulační součinitel podle třídy komunikace a podle dopravy

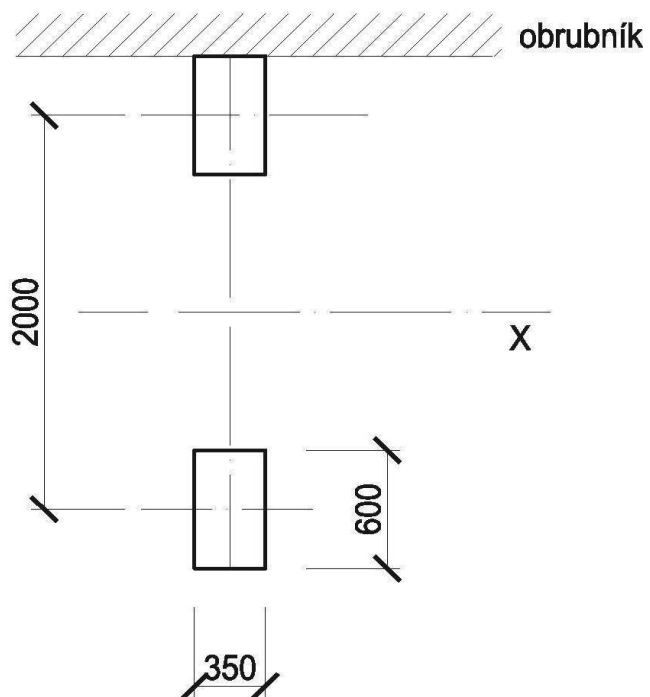


## Model zatížení LM2

$$\beta_Q \cdot Q_{ak}$$

kde  $\beta_Q = \alpha_Q$  je regulační součinitel podle třídy komunikace a podle dopravy

**1 nápravová síla 400 kN**



### Model zatížení LM3

Zatížení souboru modelů zvláštních vozidel, která mohou po mostě výjimečně jet.

označení **900/150**

$Q_{\text{celk}} =$  **900** kN

$n =$  **6**

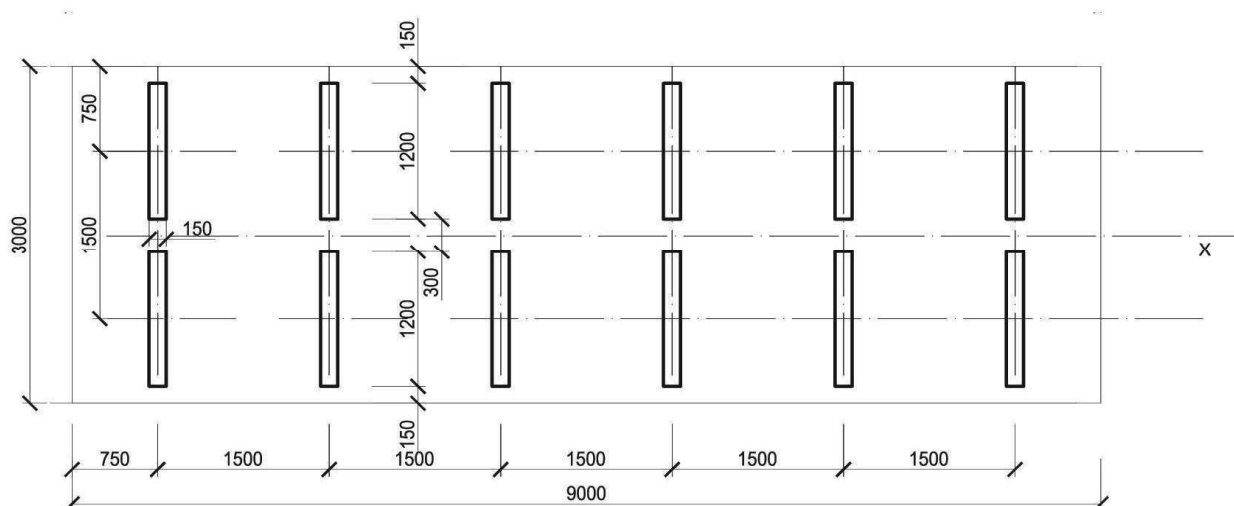
$e =$  **1,5**

$Q_k =$  **150** kN

pohyb v prostoru zatěžovacích pruhů

jediné vozidlo na mostě

$\phi =$  **1,25** dynamický součinitel



### Model zatížení LM4

Zatížení davem lidí je uvažováno v příslušných částech mostu.

$q_{\text{LM4}} =$  **5** [kPa]

Již včetně dynamického účinku a jen pro ověření celkové stability konstrukce.

## ZATÍŽENÍ DOPRAVOU – VODOROVNÉ ZATÍŽENÍ

### Brzdné a rozjezdové síly

$$Q_{kl} = 0,6 \cdot \alpha_{Q1} \cdot (2 \cdot Q_{k1}) + 0,1 \cdot \alpha_{q1} \cdot Q_{k1} \cdot w \cdot L$$

$$Q_{klmin} = 180 \cdot \alpha_{Q1} \quad \text{kN}$$

$$Q_{klmax} = 900 \quad \text{kN}$$

### Odstředivé síly

$Q_{kl} = 0,2 \cdot Q_v \text{ (kN)}$	je-li $r < 200 \text{ m}$
$Q_{kl} = 40 \cdot Q_v / r \text{ (kN)}$	je-li $200 \text{ m} \leq r \leq 1\,500 \text{ m}$
$Q_{kl} = 0 \text{ (kN)}$	je-li $r > 1\,500 \text{ m}$

$Q_v = \Sigma [ \alpha_{Qi} \cdot ( 2 \cdot Q_k ) ]$  celková max.tíha svislého soustředěného zatížení dvojnápravami LM1

## ZATÍŽENÍ DOPRAVOU – SESTAVY ZATÍŽENÍ

### charakteristické

		Vozovka						Chodníky a cyklist.pruhy
Typ zatížení		Svislé síly				Vodorovné síly		Pouze svislé zatížení
Soustava zatížení		LM1 (TS a UDL)	LM2	LM3	LM4	Brzdné a rozjezdové síly	Odstředivé síly	Rovnoměrné zatížení
Sestavy zatížení	gr1a	char.hod.						komb.hod.
	gr1b		char.hod.					
	gr2	časté hod.				char.hod.	char.hod.	
	gr3**							char.hod.
	gr4				char.hod.			char.hod.
	gr5	viz příl.A		char.hod.				
Hlavní	Hlavní (dominantní) složka zatížení							

### časté

		VOZOVKA		CHODNÍKY, CYKLO
Typ zatížení		svislé síly		
Zatěžovací systém		LM1	LM2	rovnoměrné zatížení
Sestavy zatížení	gr1a	častá hod.		
	gr1b		častá hod.	
	gr3			častá hod.

### dočasné

pro ověření v dočasných návrhových situacích má být hodnota od dvojnápravy  $0,8 \cdot \alpha_Q \cdot Q_k$

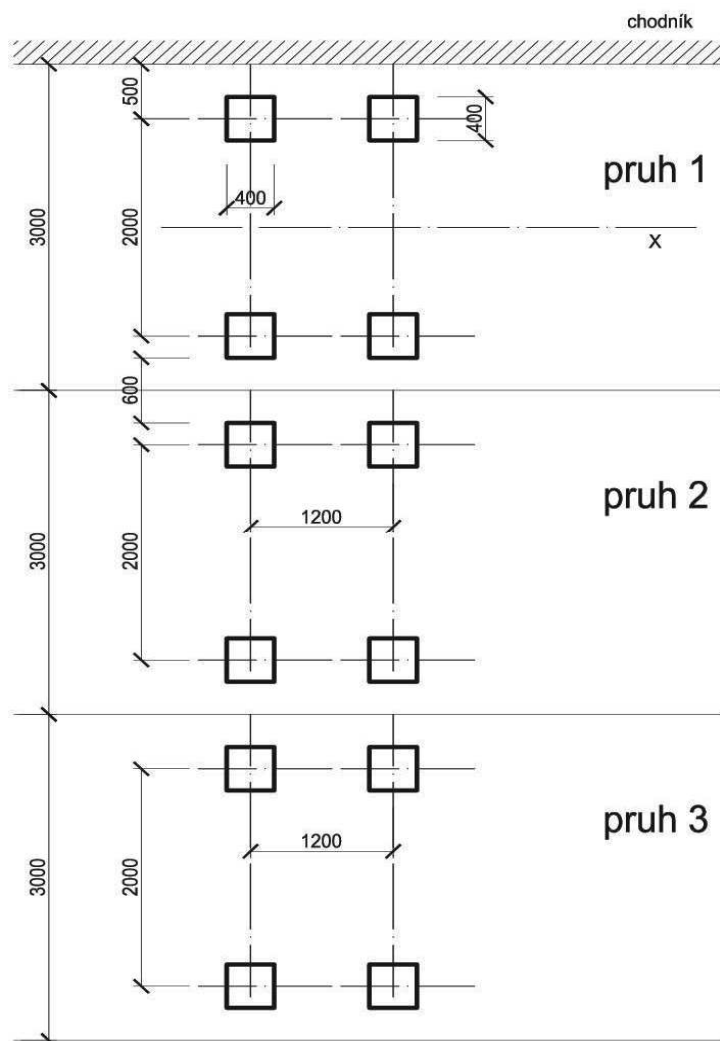
## REGULAČNÍ SOUČiniteLE

skupina pozemních komunikací	$\alpha_{Q1}$	$\alpha_{Q2}$	$\alpha_{Q3}$	$\alpha_{q1}$	$\alpha_{qi} \text{ (i} \geq 2 \text{)}$	$\alpha_{qr}$
1	0,8	0,8	0,8	0,8	1	1
2	0,8	0,5	0,5	0,5	1	1

## ZATÍŽENÍ DOPRAVOU – MODEL Y ZATÍŽENÍ NA ÚNAVU

### MODEL 1

- 1) užívá se k ověření, zda lze únavovou životnost uvažovat jako neomezenou
- 2) užívá se pro určení maximálních a minimálních napětí od možných uspořádání zatížení na mostě.



1 dvounáprava  
nápravové síly:  
pruh 1 - 210 kN  
pruh 2 - 140 kN  
pruh 3 - 70 kN

a rovnoměrná zatížení:  
pruh 1 - 2,7 kN/m<sup>2</sup>  
ostatní pruhy - 0,72 kN/m<sup>2</sup>

### MODEL 2

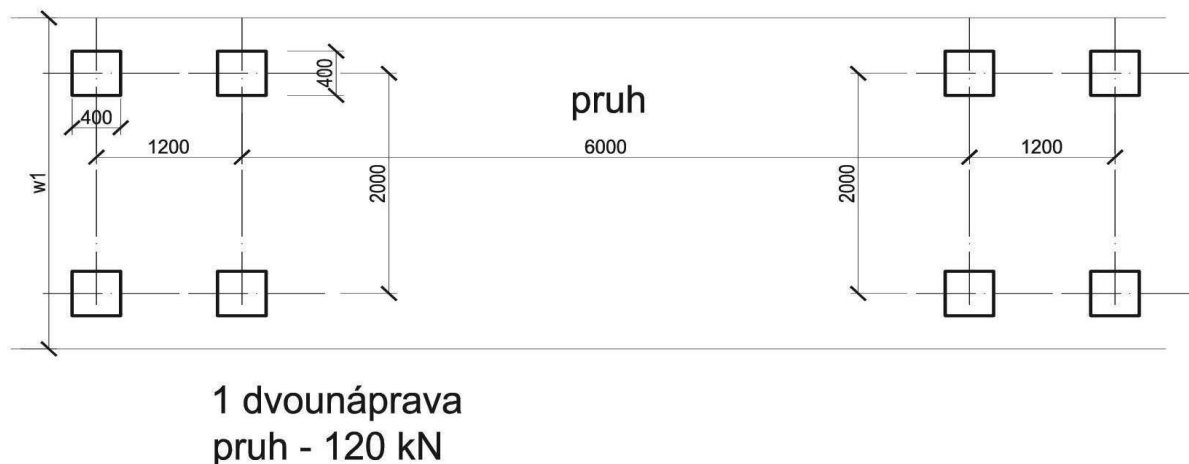
soubor idealizovaných nákladních vozidel zvaných "častá"

viz 4.6.3 ČSN EN 1991-2

- 1) užívá se k ověření, zda lze únavovou životnost uvažovat jako neomezenou
- 2) užívá se pro určení maximálních a minimálních napětí od možných uspořádání zatížení na mostě.

### **MODEL 3**

- 1) užívá se pro posouzení únavové životnosti v závislosti na křivkách únavové pevnosti; lze použít pro přímé ověření návrhu zjednodušenými metodami, kde se vliv objemu celoroční dopravy a některých rozměrů mostu do výpočtu zahrnuje regulačním součinitelem  $\lambda_e$  závislým na materiálu
- 2) užívá se pro určení maximálních a minimálních napětí od možných uspořádání zatížení na mostě.



### **MODEL 4**

**soubor normalizovaných nákladních vozidel typických pro danou trasu**

viz 4.6.5 ČSN EN 1991-2

- 1) užívá se pro posouzení únavové životnosti v závislosti na křivkách únavové pevnosti; lze použít pro přímé ověření návrhu zjednodušenými metodami, kde se vliv objemu celoroční dopravy a některých rozměrů mostu do výpočtu zahrnuje regulačním součinitelem  $\lambda_e$  závislým na materiálu
- 2) užívá se ke stanovení spektru napětí vznikajících od přejezdu nákladních vozidel po mostě

### **MODEL 5**

používá přímo monitorované údaje o dopravě, doplněné vhodnými statistickými a návrhovými extrapolacemi.

viz 4.6.6 ČSN EN 1991-2

- 1) užívá se pro posouzení únavové životnosti v závislosti na křivkách únavové pevnosti; lze použít pro přímé ověření návrhu zjednodušenými metodami, kde se vliv objemu celoroční dopravy a některých rozměrů mostu do výpočtu zahrnuje regulačním součinitelem  $\lambda_e$  závislým na materiálu
- 2) užívá se ke stanovení spektru napětí vznikajících od přejezdu nákladních vozidel po mostě

## ZATÍŽENÍ DOPRAVOU – MIMOŘÁDNÁ ZATÍŽENÍ

Síla od nárazu na obrubník

$$F_{hy} = 100 \text{ kN} \quad \text{náraz v příčném směru}$$

Síla od nárazu na svodidla      třída C nebo dle dokumentace navrženého svodidla

$$F_{hy} = 400 \text{ kN} \quad \text{náraz v příčném směru}$$

Síla od nárazu na zábradelní svodidla, na římsu a nosnou konstrukci

náraz v příčném směru 1,25x větší než únosnost přípoje sloupku

pro ZSNH4/H2 dle TP167

$$d_{zat} = 6 \text{ m}$$

$$F_{hy} = 40 \text{ kN.m}^{-1}$$

$$M_{hy} = 33 \text{ kNm.m}^{-1}$$

Kotvení římsy - požadavky na únosnost kotvení římsy u 1 sloupku

$$F_{hy} = 40 \text{ kN} \quad \text{dle TP167}$$

$$M_{hy} = 33 \text{ kNm}$$

Zábradlí

na mostě - třída C

$$q_{minh} = 1 \text{ kN.m}^{-1}$$

$$q_{minv} = 1 \text{ kN.m}^{-1}$$

## ZATÍŽENÍ ZÁVĚRNÉ ZÍDKY

$$\text{svislá síla} \quad \alpha_{Q1} \cdot Q_{1k} =$$

$$\text{vodorovná síla} \quad 0,6 \cdot \alpha_{Q1} \cdot Q_{1k} =$$

zemní tlak od násypu

## ZATÍŽENÍ OPĚR A KŘÍDEL

model LM1 přepočtený na rovnoměrné zatížení s roznášením 30°

zemní tlak od násypu



## ZATÍŽENÍ ZEMNÍM TLAKEM

$a / c = \operatorname{tg} \delta / \operatorname{tg} \phi$  parametry na styku se musí vybrat tak, aby

$$\sigma_a(z) = K_a ( \int \gamma dz + q - u ) + u - c \cdot K_{ac}$$

$$K_{ac} = 2 ( K_a \cdot ( 1 + a / c ) )^{0,5} \text{ ale max } 2,56 \cdot (K_a)^{0,5}$$

$$\sigma_{\pi}(z) = K_{ap} ( \int \gamma dz + q - u ) + u + c \cdot K_{pc}$$

$$K_{pc} = 2 ( K_p \cdot ( 1 + a / c ) )^{0,5} \text{ ale max } 2,56 \cdot (K_p)^{0,5}$$

Pro odvodněnou zeminu platí tyto hodnoty  $K_a$ ,  $K_p$ ,  $\phi$ ,  $c$  efektivní soudržnost.

Pro neodvodněnou zeminu platí  $K_a = K_p = 1$ ,  $c = c_u$ .

### Zemní tlak v klidu

$$\sigma_r = \sigma_z \cdot K_r$$

$$K_r = 1 - \sin \phi_{ef} \text{ pro nesoudržné zeminy}$$

$$K_r = \nu / ( 1 - \nu ) \text{ obecně}$$

$$S_r = 0,5 \cdot \gamma \cdot h^2 \cdot K_r$$

přetížení od svislého zatížení na povrchu terénu

$$\sigma_r = f_a \cdot K_r$$

$$\sigma_r = f_a \cdot ( \sin^2 \alpha + K_r^2 \cdot \cos^2 \alpha )^{0,5}$$

$$\sigma_r = f_a \cdot K_r \cdot \sin \phi \cdot \cos \beta / ( \sin \phi - \sin^2 \beta )$$

### Součinitele zatížení podle ČSN EN 1990-1991

stálé	$\gamma_G =$	1,35	1	
hlavní proměnné	$\gamma_{Q1} =$	1,5	0	
vedlejší proměnné	$\gamma_{Qi} =$	1,5	0	
kombinace	$\psi_0 =$	1		ČSN EN 1990/A čl.A.2.2.4 (2)
	$\psi_{0,1,2} =$	0,6		<b>ČSN EN 1990/zmA</b>

Třída spolehlivosti stavby RC3 mosty a inženýrské stavby

### Kombinace zatížení pro mosty pozemních komunikací – součinitele

Typ zatížení	značení		$\Psi_0$	$\Psi_{1,infq}$	$\Psi_1$	$\Psi_2$
Zatížení dopravou	gr1a (LM1 + zatížení chodci neb cyklisty)	TS (dvojnápravy)	0,75	0,8	0,75	0
		UDL (rovnoměrné)	0,4	0,8	0,4	0
		chodci a cyklisti	0,4	0,8	0,4	0
	gr1b (jednotlivá náprava)		0	0,8	0,75	0
	gr2 (vodorovné síly)		0	0	0	0
	gr3 (zatížení chodci)		0	0,8	0	0
	gr4 (LM4 – zatížení davem lidí)		0	0,8	0,75	0
	gr5 (LM3 – zvláštní vozidla)		0	0	0	0
Zatížení větrem	F <sub>w</sub> – trvalé návrhové situace		0,6	0,6	0,2	0
	- dočasné návrhové situace		0,8	-	-	0
	F <sub>w</sub>		1	1	-	-
Zatížení teplotou	T <sub>k</sub>		0,6	0,8	0,6	0,5
Zatížení sněhem	Q <sub>snk</sub> – dočasné návrhové situace		0,8	-	-	-
Staveništní zatížení	Q <sub>c</sub>		1	-	-	1

$\psi_0$  - pro kombinační hodnotu proměnného zatížení

$\psi_{1,infq}$  - pro občasné hodnoty (s návratem 1 rok)

$\psi_1$  - pro častou hodnotu staveništního zatížení

$\psi_2$  - pro kvazistálou hodnotu proměnného zatížení

### **Zatížitelnost dle ČSN 73 6222**

nejnižší hodnota ze zatížitelností jednotlivých prvků nosné konstrukce a spodní stavby

stanovení zatížitelnosti:

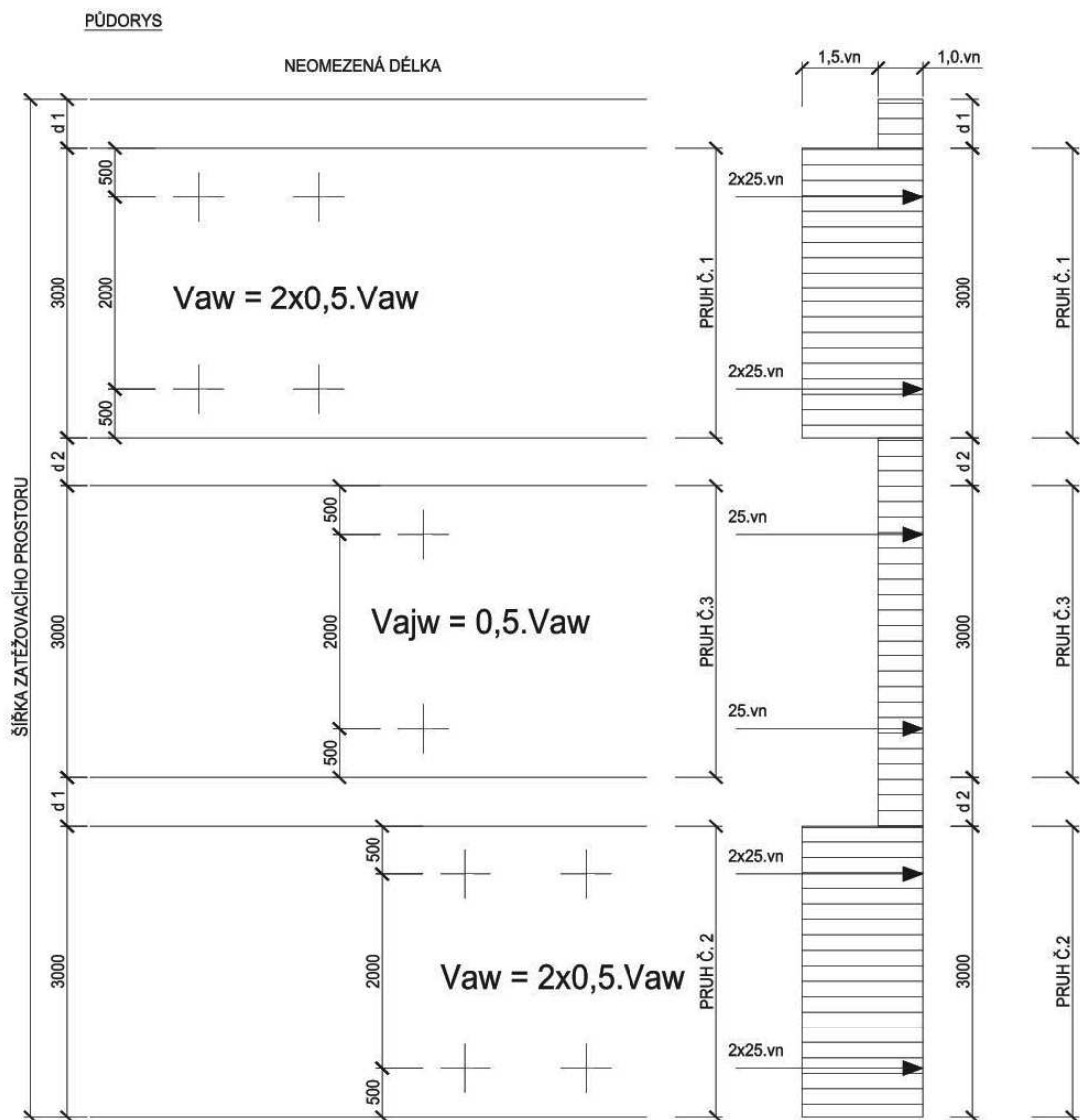
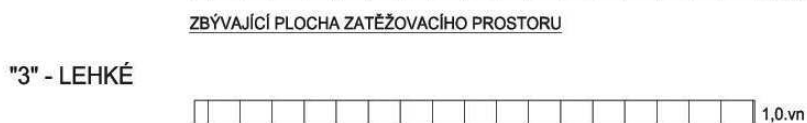
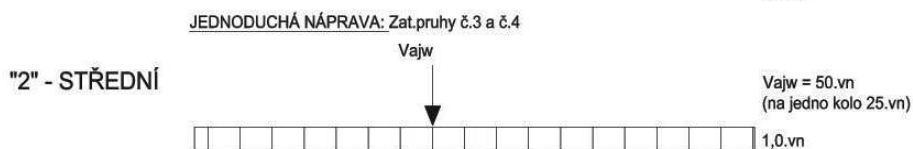
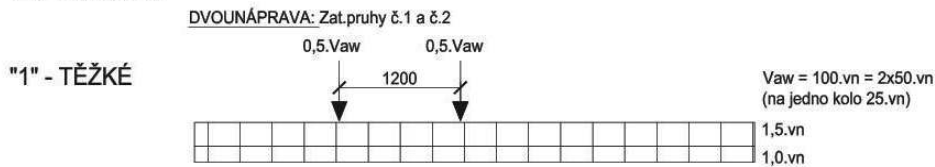
- a) podrobným statickým výpočtem (V)
- b) kombinovaným statickým výpočtem (K)

teoretický model lze ověřit zatěžovací zkouškou

## Normální zatížitelnost

dle modelu zatížení LM1 dle ČSN EN 1991-2

### TYP ZATÍŽENÍ



Konstrukce se zatíží podle tohoto schematu tak, aby bylo dosaženo maximálního účinku.  
Podle rozhodujícího mezního stavu se určí odpovídající odolnost kritického prvku konstrukce.  
Podle tohoto prvku se určí hodnota  $v_n$ .

Je nutno přihlédnout k dynamickým účinkům pohyblivého zatížení i k dílčím součinitelům spolehlivosti zatížení.  $\gamma_F$ .

Číselná hodnota zatížení na zadní nápravu, případně dvounápravu v zatěžovacích pruzích 1,2  
 $V_{aw} = 100 \cdot v_n$  (kN)

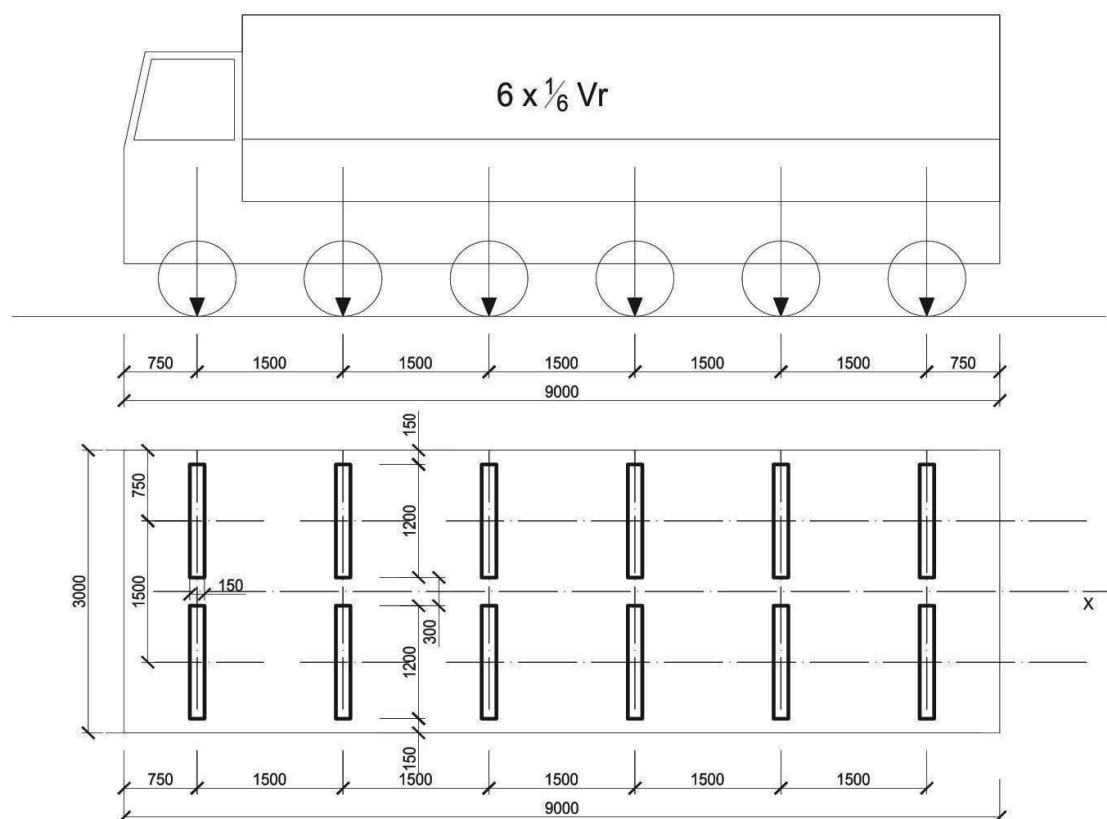
Tíha vozidla odpovídající normální zatížitelnosti  
 $V_{nw} = 4/3 \cdot V_{aw}$  (kN)

Normální zatížitelnost  
 $V_n = 1/10 \cdot V_{nw}$  (t)

kde  $V_{nw}$  je tíha vozidla, pro které je podle schematu dosaženo meze odolnosti kritického prvku nosné konstrukce.

## Výhradní zatížitelnost

dle modelu zatížení ČSN 73 6222

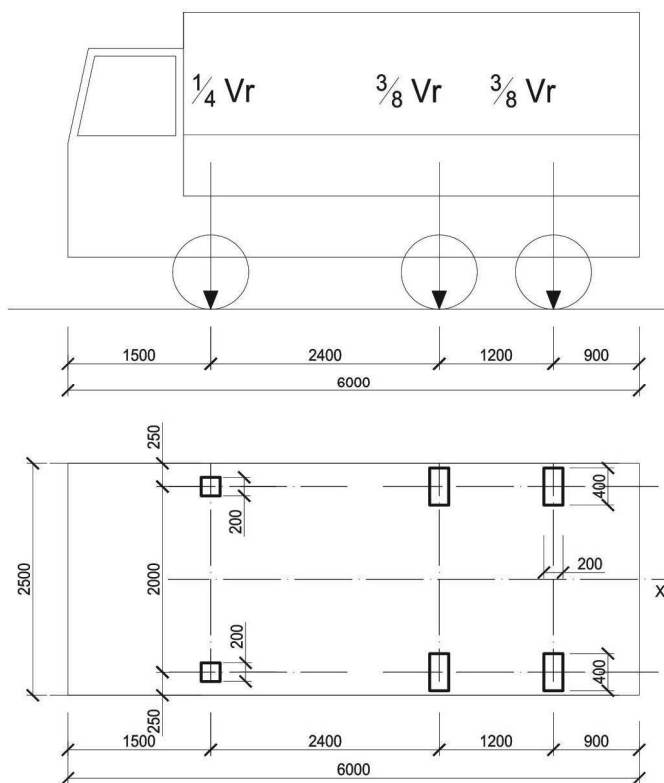


největší přípustná hmotnost  $V_r$  jediného šestinápravového vozidla podle výše uvedeného schématu, pokud je  $V_r > 50$  t.

The drawing consists of two views of a truck chassis:

- Side View (Top):** Shows a truck chassis with a cab on the left and a long flatbed on the right. Two downward-pointing arrows represent the wheel loads. The left arrow is labeled  $\frac{1}{4} V_r$  and the right arrow is labeled  $\frac{3}{4} V_r$ . Below the chassis, dimension lines indicate a wheelbase of 3000, a distance of 1500 from the front wheel to the front edge, and a distance of 1500 from the rear wheel to the rear edge. The total length is 6000.
- Top View (Bottom):** Shows the chassis from above. The overall width is 2500. The wheelbase is 3000. The distance from the front edge to the front wheel is 1500, and from the rear wheel to the rear edge is 1500. The total length is 6000. The view shows four square footprints representing wheels, arranged in two pairs. The front pair is offset 200 from the left edge and 200 from the front edge. The rear pair is offset 200 from the right edge and 200 from the rear edge. The distance between the front and rear wheel pairs is 2000. The width of each wheel footprint is 400.

Pokud je  $V_r \geq 16$  t, pak jde o schema níže uvedené s třínápravovým vozidlem.



výhradní zatížitelnost

$$V_r = 1/10 \cdot V_{rw} \text{ (t)}$$

kde  $V_{rw}$  je tíha vozidla, pro které je dosaženo meze odolnosti kritického prvku nosné konstrukce



dle modelu zatížení ČSN 73 6222



$$V_e = 1/10 \cdot V_{ew} (t)$$

kde  $V_{ew}$  je tíha celého vozidla pro dosažení meze odolnosti kritického prvku nosné konstrukce

### Vodorovné účinky zatížení při stanovení zatížitelnosti

brzdné síly

$$B = 0,45 \cdot V_{aw} + 0,04 \cdot v_{n1} \cdot W_1 \cdot L =$$

$v_{n1}$  = rovnoměrné zatížení v pruhu č.1  
 $w_1$  = šířka zatěžovacího pruhu č.1  
 $L$  = délka zatěžovací části nosné konstrukce

### Sestavy zatížení dopravou pro stanovení zatížitelnosti mostů

Normální zatížitelnost

Sestava Normální zatí: vodorovné síly; Zatížení chodníků a cykl.pruhů

n1	$q_k$	-	$w_f = 2,5 \text{ kN.m}^{-2}$	$\Psi_{1,1} =$	0,75
n2	$\Psi_{1,1} \cdot q_k$	$B_k$			
n3	$\Psi_{1,1} \cdot q_k$				

### Dynamické účinky zatížení dopravou při stanovení zatížitelnosti

Normální zatížitelnost

$$\delta = 1,2$$

$f = 90,6 \cdot L_d^{-0,923}$	$f$	$L_d$	$\delta_1$	$\delta_2$	$\delta_3$
	9,9	11	1,25	1,2	1,15
	9,9	11	1,25	1,2	1,15

Výhradní zatížitelnost

$$\delta = 1,25$$

Výjimečná zatížitelnost

$$\delta = 1,05$$

Ostatní případy zatížení

$\delta = 1,1$	vozovka
$\delta = 1$	chodník

## 1. Obsah

1. Obsah	1
2. Projekt	2
3. Průřezy	2
4. Materiály	6
5. Zatěžovací stavy	6
6. Skupiny zatížení	8
7. Kombinace	8
8. Skupiny výsledků	9
9. Klíč kombinace	11
10. Uzly	11
11. Prvky	11
12. Plochy	11
13. Tuhá ramena	11
14. Podpora hrany plochy	12
15. Volné bodové zatížení	12
16. Spojité zatížení	15
17. Generovaná volná zatížení	15
18. Volné plošné zatížení	23
19. Plošné zatížení	23
20. 3D přemístění	24
21. 3D napětí	24
22. Vnitřní síly na prutu	24
23. Deformace na prutu	25
24. Přemístění uzlů	25
25. Reakce	26
26. Výslednice	26
27. Intenzity na prvcích	26
28. Napětí	27
29. Relativní deformace	27
30. Výkaz materiálu	28
31. Přemístění uzlů	28
32. Plochy - Vnitřní síly	28
33. Plochy - Napětí	29
34. Protokol o výpočtu	29
35. Vnitřní síly na prutu; $M_y$	33
36. Vnitřní síly na prutu; $M_x$	33
37. Vnitřní síly na prutu; $V_z$	34
38. Vnitřní síly na prutu; $V_y$	34
39. Vnitřní síly na prutu; $N$	35
40. Reakce; $R_x$ , $R_y$ , $R_z$	35
41. Plochy - Vnitřní síly; $m_y$	36
42. Plochy - Vnitřní síly; $m_x$	36
43. Plochy - Vnitřní síly; $m_{xy}$	37
44. Plochy - Vnitřní síly; $v_x$	37
45. Plochy - Vnitřní síly; $v_y$	38
46. Plochy - Vnitřní síly; $n_x$	38
47. Plochy - Vnitřní síly; $n_y$	39
48. Plochy - Vnitřní síly; $n_{xy}$	39
49. Plochy - Vnitřní síly; $m_x$	40
50. Plochy - Vnitřní síly; $m_y$	40
51. Plochy - Vnitřní síly; $m_{xy}$	41
52. Plochy - Vnitřní síly; $v_x$	41
53. Plochy - Vnitřní síly; $v_y$	42
54. Plochy - Vnitřní síly; $n_x$	42
55. Plochy - Vnitřní síly; $n_y$	43

56. Plochy - Vnitřní síly; nxy	43
57. Vnitřní síly na prutu	44
58. Plochy - Vnitřní síly	102
59. Intenzity na prvcích	108
60. Reakce	119
61. Plochy - Posudek trhlinek - nutné plochy	130
62. Plochy - návrh - nutné plochy	130
63. Prvek 2D - návrh - dimenzační vnitřní síly	130
64. Plochy - šířka trhlín	132
65. Vnitřní síly EN 1992-1-1	138
66. Návrh As EN 1992-1-1	140
67. LC1	146
68. LC1	146
69. LC1	147
70. Deformace na prutu	147
71. Přemístění uzlů	148
72. Souhrnný posudek EN 1992-1-1	149
73. Plochy - šířka trhlín	150
74. Plochy - Posudek trhlinek - nutné plochy	150
75. Plochy - Posudek trhlinek - nutné plochy; Ar1-	151
76. Plochy - návrh - nutné plochy	151
77. Souhrnný posudek EN 1992-1-1	152
78. Plochy - Vnitřní síly	153
79. Plochy - Napětí	154

## 2. Projekt

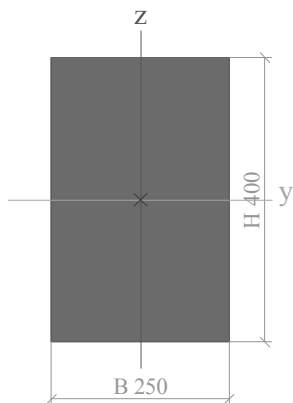
Licenční jméno	DiK
Projekt	Smiřice - průtah
Část	Mosty
Popis	SO 201 - model
Autor	Ing. Jan Felgr
Datum	04. 06. 2015
Konstrukce	Obecná XYZ
Poč. uzlů :	18
Poč. prutů :	11
Poč. ploch :	8
Poč. těles :	0
Poč. průřezů :	5
Poč. zat. stavů :	36
Poč. materiálů :	3
Tíhové zrychlení [m/s <sup>2</sup> ]	9,810
Národní norma	EC - EN

## 3. Průřezy

CS4		
Typ	Obdélník	
Detailní	400; 250	
Typ tvaru	Tlustostěnný	
Materiál	C30/37	
Výroba	beton	
A [m <sup>2</sup> ]	1,0000e-01	
Ay [m <sup>2</sup> ], Az [m <sup>2</sup> ]	8,3333e-02	8,3333e-02
AL [m <sup>2</sup> /m], AD [m <sup>2</sup> /m]	1,3000e+00	1,3000e+00
cYUSS [mm], cZUSS [mm]	125	200
α [deg]	0,00	
Iy [m <sup>4</sup> ], Iz [m <sup>4</sup> ]	1,3333e-03	5,2083e-04
iy [mm], iz [mm]	115	72
Wely [m <sup>3</sup> ], Welz [m <sup>3</sup> ]	6,6667e-03	4,1667e-03
Wply [m <sup>3</sup> ], Wplz [m <sup>3</sup> ]	0,0000e+00	0,0000e+00
Mply+ [Nm], Mply- [Nm]	0,00e+00	0,00e+00

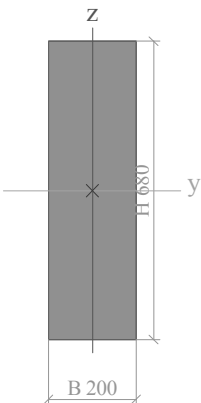
Mplz+ [Nm], Mplz- [Nm]	0,00e+00	0,00e+00
dy [mm], dz [mm]	0	0
It [m <sup>4</sup> ], Iw [m <sup>6</sup> ]	1,2737e-03	0,0000e+00
β y [mm], β z [mm]	0	0

Obrázek



CS5		
Typ	Obdélník	
Detailní	680; 200	
Typ tvaru	Tlustostěnný	
Materiál	C30/37	
Výroba	beton	
A [m <sup>2</sup> ]	1,3600e-01	
Ay [m <sup>2</sup> ], Az [m <sup>2</sup> ]	1,1333e-01	1,1333e-01
AL [m <sup>2</sup> /m], AD [m <sup>2</sup> /m]	1,7600e+00	1,7600e+00
cYUSS [mm], cZUSS [mm]	100	340
α [deg]	0,00	
Iy [m <sup>4</sup> ], Iz [m <sup>4</sup> ]	5,2405e-03	4,5333e-04
iy [mm], iz [mm]	196	58
Wely [m <sup>3</sup> ], Welz [m <sup>3</sup> ]	1,5413e-02	4,5333e-03
Wply [m <sup>3</sup> ], Wplz [m <sup>3</sup> ]	0,0000e+00	0,0000e+00
Mply+ [Nm], Mply- [Nm]	0,00e+00	0,00e+00
Mplz+ [Nm], Mplz- [Nm]	0,00e+00	0,00e+00
dy [mm], dz [mm]	0	0
It [m <sup>4</sup> ], Iw [m <sup>6</sup> ]	1,4773e-03	0,0000e+00
β y [mm], β z [mm]	0	0

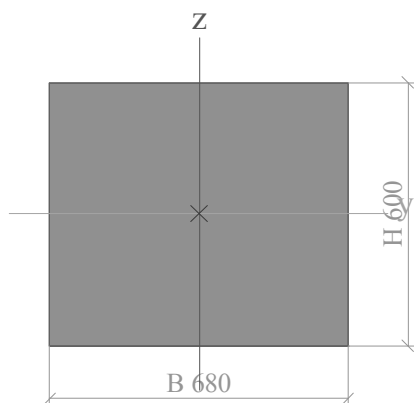
Obrázek



CS6		
Typ	Obdélník	
Detailní	600; 680	
Typ tvaru	Tlustostěnný	

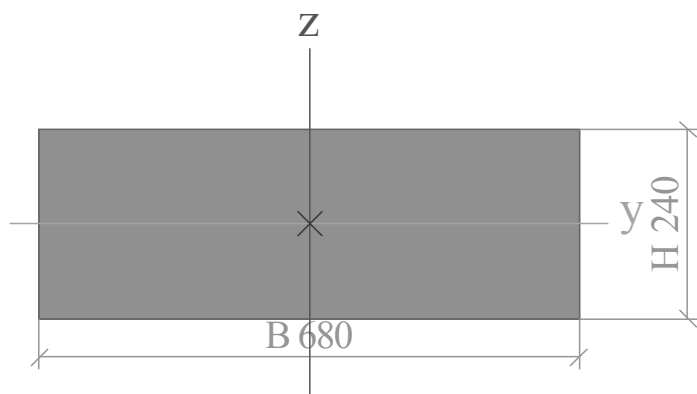
Materiál	C30/37	
Výroba	beton	
A [m <sup>2</sup> ]	4,0800e-01	
Ay [m <sup>2</sup> ], Az [m <sup>2</sup> ]	3,4000e-01	3,4000e-01
AL [m <sup>2</sup> /m], AD [m <sup>2</sup> /m]	2,5600e+00	2,5600e+00
cYUSS [mm], cZUSS [mm]	340	300
α [deg]	0,00	
Iy [m <sup>4</sup> ], Iz [m <sup>4</sup> ]	1,2240e-02	1,5722e-02
iy [mm], iz [mm]	173	196
Wely [m <sup>3</sup> ], Welz [m <sup>3</sup> ]	4,0800e-02	4,6240e-02
Wply [m <sup>3</sup> ], Wplz [m <sup>3</sup> ]	0,0000e+00	0,0000e+00
Mply+ [Nm], Mply- [Nm]	0,00e+00	0,00e+00
Mplz+ [Nm], Mplz- [Nm]	0,00e+00	0,00e+00
dy [mm], dz [mm]	0	0
It [m <sup>4</sup> ], Iw [m <sup>6</sup> ]	2,3248e-02	0,0000e+00
β y [mm], β z [mm]	0	0

Obrázek



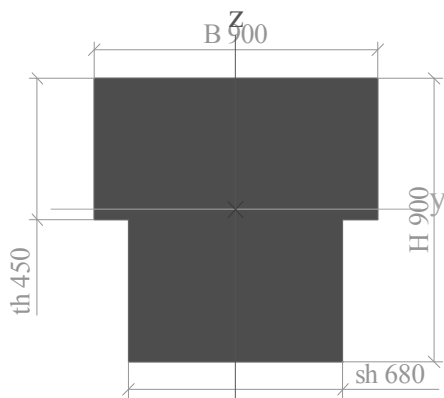
CS7		
Typ	Obdélník	
Detailní	240; 680	
Typ tvaru	Tlustostěnný	
Materiál	C30/37	
Výroba	beton	
A [m <sup>2</sup> ]	1,6320e-01	
Ay [m <sup>2</sup> ], Az [m <sup>2</sup> ]	1,3600e-01	1,3600e-01
AL [m <sup>2</sup> /m], AD [m <sup>2</sup> /m]	1,8400e+00	1,8400e+00
cYUSS [mm], cZUSS [mm]	340	120
α [deg]	0,00	
Iy [m <sup>4</sup> ], Iz [m <sup>4</sup> ]	7,8336e-04	6,2886e-03
iy [mm], iz [mm]	69	196
Wely [m <sup>3</sup> ], Welz [m <sup>3</sup> ]	6,5280e-03	1,8496e-02
Wply [m <sup>3</sup> ], Wplz [m <sup>3</sup> ]	0,0000e+00	0,0000e+00
Mply+ [Nm], Mply- [Nm]	0,00e+00	0,00e+00
Mplz+ [Nm], Mplz- [Nm]	0,00e+00	0,00e+00
dy [mm], dz [mm]	0	0
It [m <sup>4</sup> ], Iw [m <sup>6</sup> ]	2,4369e-03	0,0000e+00
β y [mm], β z [mm]	0	0

Obrázek



CS8		
Typ	T g	
Detailní	900; 900; 450; 680	
Typ tvaru	Tlustostěnný	
Materiál	C30/37	
Výroba	beton	
A [m <sup>2</sup> ]	7,1100e-01	
Ay [m <sup>2</sup> ], Az [m <sup>2</sup> ]	6,1958e-01	5,8225e-01
AL [m <sup>2</sup> /m], AD [m <sup>2</sup> /m]	3,6000e+00	3,6000e+00
cYUSS [mm], cZUSS [mm]	450	481
α [deg]	0,00	
Iy [m <sup>4</sup> ], Iz [m <sup>4</sup> ]	4,7295e-02	3,9129e-02
iy [mm], iz [mm]	258	235
Wely [m <sup>3</sup> ], Welz [m <sup>3</sup> ]	9,8258e-02	8,6953e-02
Wply [m <sup>3</sup> ], Wplz [m <sup>3</sup> ]	0,0000e+00	0,0000e+00
Mply+ [Nm], Mply- [Nm]	0,00e+00	0,00e+00
Mplz+ [Nm], Mplz- [Nm]	0,00e+00	0,00e+00
dy [mm], dz [mm]	0	0
It [m <sup>4</sup> ], Iw [m <sup>6</sup> ]	1,0408e-01	0,0000e+00
β y [mm], β z [mm]	1	0

Obrázek



Vysvětlivky symbolů	
A	Plocha
Ay	Smyková plocha ve směru hlavní osy y
Az	Smyková plocha ve směru hlavní osy z
AL	Obvodový povrch na jednotku délky
AD	Vysýchající povrch na jednotku délky
cYUSS	Souřadnice těžiště ve směru osy Y zadávacího systému
cZUSS	Souřadnice těžiště ve směru osy Z

Vysvětlivky symbolů	
	zadávacího systému
IYLSS	Moment setrvačnosti kolem osy YLSS
IZLSS	Moment setrvačnosti kolem osy ZLSS
IYZLSS	Moment setrvačnosti Iyz v LSS
α	Úhel pootočení hlavní osy
Iy	Moment setrvačnosti kolem hlavní osy y
Iz	Moment setrvačnosti kolem hlavní osy z

#### Vysvětlivky symbolů

iy	Poloměr setrvačnosti kolem hlavní osy y
iz	Poloměr setrvačnosti kolem hlavní osy z
Wely	Pružný modul průřezu k hlavní ose y
Welz	Pružný modul průřezu k hlavní ose z
Wply	Plastický modul průřezu k hlavní ose y
Wplz	Plastický modul průřezu k hlavní ose z
Mply+	Plastický moment kolem hlavní osy y pro kladný moment My
Mply-	Plastický moment kolem hlavní osy y pro záporný moment My
Mplz+	Plastický moment kolem hlavní osy z pro kladný moment Mz

#### Vysvětlivky symbolů

Mplz-	Plastický moment kolem hlavní osy z pro záporný moment Mz
dy	Souřadnice středu smyku ve směru hlavní osy y měřená od těžiště - Nespočteno nebo zjednodušeno
dz	Souřadnice středu smyku ve směru hlavní osy z měřená od těžiště - Nespočteno nebo zjednodušeno
It	Moment setrvačnosti v prostém kroucení - Nespočteno nebo zjednodušeno
Iw	Výsečový moment setrvačnosti - Nespočteno nebo zjednodušeno
$\beta_y$	Mono-symetrická konstanta kolem hlavní osy y
$\beta_z$	Mono-symetrická konstanta kolem hlavní osy z

## 4. Materiály

Beton EC2

Jméno	Typ	Jednotková hmotnost [kg/m³]	E [MPa]	Poisson - nu	Tep.roztaž. [m/mK]	Charakteristická válcová pevnost v tlaku fck(28) [MPa]
C30/37	Beton	2500,0	3,2800e+04	0.2	0,00	30,00
C40/50	Beton	2500,0	3,5200e+04	0.2	0,00	40,00

Výztuž EC2

Jméno	Typ	Jednotková hmotnost [kg/m³]	E [MPa]	G [MPa]	Tep.roztaž. [m/mK]	Charakteristická mez kluzu fyk [MPa]
B 600A	Výztužná ocel	7850,0	2,0000e+05	8,3333e+04	0,00	600,0

## 5. Zatěžovací stavy

Jméno	Popis	Typ působení	Skupina zatížení	Směr	Působení	Řídící zat. stav
	Spec	Typ zatížení				
LC1	vlastní tíha	Stálé	LG1	-Z		
		Vlastní tíha				
LC2	ostatní stálé	Stálé	LG1			
		Standard				
LC3	LM1 - rovnoměrné	Proměnné	LG2		Krátkodobé	Žádný
	Standard	Statické				
LC4	LM1 - nápravové 1	Proměnné	LG2		Krátkodobé	Žádný
	Standard	Statické				
LC5	LM1 - lokální náprava L1	Proměnné	LG2		Krátkodobé	Žádný
	Standard	Statické				
LC6	LM1 - rovnoměrné krajní	Proměnné	LG2		Krátkodobé	Žádný
	Standard	Statické				
LC7	LM1 - nápravové 2	Proměnné	LG2		Krátkodobé	Žádný
	Standard	Statické				
LC8	LM1 - nápravové 3	Proměnné	LG2		Krátkodobé	Žádný
	Standard	Statické				
LC9	LM1 - nápravové krajní 1	Proměnné	LG2		Krátkodobé	Žádný
	Standard	Statické				
LC10	LM1 - nápravové krajní 2	Proměnné	LG2		Krátkodobé	Žádný
	Standard	Statické				
LC11	LM1 - nápravové krajní 3	Proměnné	LG2		Krátkodobé	Žádný
	Standard	Statické				



Jméno	Popis	Typ působení	Skupina zatížení	Směr	Působení	Řídící zat. stav
	Spec	Typ zatížení				
LC12	LM1 - lokální náprava L2	Proměnné	LG2		Krátkodobé	Žádný
	Standard	Statické				
LC13	LM1 - lokální náprava L3	Proměnné	LG2		Krátkodobé	Žádný
	Standard	Statické				
LC15	ZN - rovnoměrné	Proměnné	LG3		Krátkodobé	Žádný
	Standard	Statické				
LC16	ZN - nápravové 1	Proměnné	LG3		Krátkodobé	Žádný
	Standard	Statické				
LC17	ZN - lokální náprava L1	Proměnné	LG3		Krátkodobé	Žádný
	Standard	Statické				
LC18	ZN - rovnoměrné krajní	Proměnné	LG3		Krátkodobé	Žádný
	Standard	Statické				
LC19	ZN - nápravové 2	Proměnné	LG3		Krátkodobé	Žádný
	Standard	Statické				
LC20	ZN - nápravové 3	Proměnné	LG3		Krátkodobé	Žádný
	Standard	Statické				
LC21	ZN - nápravové krajní 1	Proměnné	LG3		Krátkodobé	Žádný
	Standard	Statické				
LC22	ZN - nápravové krajní 2	Proměnné	LG3		Krátkodobé	Žádný
	Standard	Statické				
LC23	ZN - nápravové krajní 3	Proměnné	LG3		Krátkodobé	Žádný
	Standard	Statické				
LC24	ZN - lokální náprava L2	Proměnné	LG3		Krátkodobé	Žádný
	Standard	Statické				
LC25	ZN - lokální náprava L3	Proměnné	LG3		Krátkodobé	Žádný
	Standard	Statické				
LC26	ZR - nápravové krajní 1	Proměnné	LG3		Krátkodobé	Žádný
	Standard	Statické				
LC27	ZR - nápravové krajní 2	Proměnné	LG3		Krátkodobé	Žádný
	Standard	Statické				
LC28	ZE - nápravové krajní 1	Proměnné	LG3		Krátkodobé	Žádný
	Standard	Statické				
LC29	ZE - nápravové krajní 2	Proměnné	LG3		Krátkodobé	Žádný
	Standard	Statické				
LC30	LM1 FAT - rovnoměrné	Proměnné	LG2		Krátkodobé	Žádný
	Standard	Statické				
LC31	LM1 FAT - nápravové 1	Proměnné	LG2		Krátkodobé	Žádný
	Standard	Statické				
LC32	LM1 FAT - nápravové 2	Proměnné	LG2		Krátkodobé	Žádný
	Standard	Statické				
LC33	LM1 FAT - nápravové 3	Proměnné	LG2		Krátkodobé	Žádný
	Standard	Statické				
LC34	LM1 FAT - nápravové krajní 1	Proměnné	LG2		Krátkodobé	Žádný
	Standard	Statické				
LC35	LM1 FAT - nápravové krajní 2	Proměnné	LG2		Krátkodobé	Žádný
	Standard	Statické				
LC36	LM1 FAT - nápravové	Proměnné	LG2		Krátkodobé	Žádný

Jméno	Popis	Typ působení	Skupina zatížení	Směr	Působení	Řídicí zat. stav
	Spec	Typ zatížení				
	krajní 3 Standard	Statické				
LC37	LM1 FAT - rovnoměrné krajní Standard	Proměnné	LG2		Krátkodobé	Žádný
		Statické				

## 6. Skupiny zatížení

Jméno	Zatížení	Vztah	Typ
LG1	Stálé		
LG2	Proměnné	Standard	Kat G : vozidlo >30kN
LG3	Proměnné	Standard	Kat G : vozidlo >30kN

## 7. Kombinace

Jméno	Popis	Typ	Zatěžovací stavy	Souč. [-]
CO1		Obálka - únosnost	LC1 - vlastní tíha	1,35
			LC2 - ostatní stálé	1,35
			LC3 - LM1 - rovnoměrné	1,50
			LC4 - LM1 - nápravové 1	1,50
CO2		Obálka - únosnost	LC1 - vlastní tíha	1,35
			LC2 - ostatní stálé	1,35
			LC3 - LM1 - rovnoměrné	1,50
			LC7 - LM1 - nápravové 2	1,50
CO3		Obálka - únosnost	LC1 - vlastní tíha	1,35
			LC2 - ostatní stálé	1,35
			LC3 - LM1 - rovnoměrné	1,50
			LC8 - LM1 - nápravové 3	1,50
CO4		Obálka - únosnost	LC1 - vlastní tíha	1,35
			LC2 - ostatní stálé	1,35
			LC6 - LM1 - rovnoměrné krajní	1,50
			LC9 - LM1 - nápravové krajní 1	1,50
CO5		Obálka - únosnost	LC1 - vlastní tíha	1,35
			LC2 - ostatní stálé	1,35
			LC6 - LM1 - rovnoměrné krajní	1,50
			LC10 - LM1 - nápravové krajní 2	1,50
CO6		Obálka - únosnost	LC1 - vlastní tíha	1,35
			LC2 - ostatní stálé	1,35
			LC6 - LM1 - rovnoměrné krajní	1,50
			LC11 - LM1 - nápravové krajní 3	1,50
CO7		Obálka - únosnost	LC1 - vlastní tíha	1,35
			LC2 - ostatní stálé	1,35
			LC5 - LM1 - lokální náprava L1	1,50
CO8		Obálka - použitelnost	LC1 - vlastní tíha	1,00
			LC2 - ostatní stálé	1,00
			LC3 - LM1 - rovnoměrné	1,00
			LC4 - LM1 - nápravové 1	1,00
CO9		Obálka - použitelnost	LC1 - vlastní tíha	1,00
			LC2 - ostatní stálé	1,00
			LC3 - LM1 - rovnoměrné	1,00
			LC7 - LM1 - nápravové 2	1,00
CO10		Obálka - použitelnost	LC1 - vlastní tíha	1,00
			LC2 - ostatní stálé	1,00
			LC3 - LM1 - rovnoměrné	1,00
			LC8 - LM1 - nápravové 3	1,00
CO11		Obálka - použitelnost	LC1 - vlastní tíha	1,00
			LC2 - ostatní stálé	1,00
			LC6 - LM1 - rovnoměrné krajní	1,00
			LC9 - LM1 - nápravové krajní 1	1,00
CO12		Obálka - použitelnost	LC1 - vlastní tíha	1,00
			LC2 - ostatní stálé	1,00
			LC6 - LM1 - rovnoměrné krajní	1,00
			LC10 - LM1 - nápravové krajní 2	1,00

Jméno	Popis	Typ	Zatěžovací stavy	Souč. [-]
CO13		Obálka - použitelnost	LC1 - vlastní tíha	1,00
			LC2 - ostatní stálé	1,00
			LC6 - LM1 - rovnoměrné krajní	1,00
			LC11 - LM1 - nápravové krajní 3	1,00
CO14		Obálka - únosnost	LC1 - vlastní tíha	1,35
			LC2 - ostatní stálé	1,35
			LC12 - LM1 - lokální náprava L2	1,50
CO15		Obálka - únosnost	LC1 - vlastní tíha	1,35
			LC2 - ostatní stálé	1,35
			LC13 - LM1 - lokální náprava L3	1,50
CO16		Lineární - použitelnost	LC1 - vlastní tíha	1,00
			LC2 - ostatní stálé	1,00
CO17		Lineární - použitelnost	LC1 - vlastní tíha	1,00
			LC2 - ostatní stálé	1,00
			LC6 - LM1 - rovnoměrné krajní	1,00
CO18		Lineární - použitelnost	LC1 - vlastní tíha	1,00
			LC2 - ostatní stálé	1,00
			LC9 - LM1 - nápravové krajní 1	1,00
CO19		Lineární - použitelnost	LC1 - vlastní tíha	1,00
			LC2 - ostatní stálé	1,00
			LC6 - LM1 - rovnoměrné krajní	1,00
			LC9 - LM1 - nápravové krajní 1	1,00
CO20		Obálka - únosnost	LC1 - vlastní tíha	1,35
			LC2 - ostatní stálé	1,35
			LC30 - LM1 FAT- rovnoměrné	1,50
			LC31 - LM1 FAT - nápravové 1	1,50
CO21		Obálka - únosnost	LC1 - vlastní tíha	1,35
			LC2 - ostatní stálé	1,35
			LC30 - LM1 FAT- rovnoměrné	1,50
			LC32 - LM1 FAT - nápravové 2	1,50
CO22		Obálka - únosnost	LC1 - vlastní tíha	1,35
			LC2 - ostatní stálé	1,35
			LC30 - LM1 FAT- rovnoměrné	1,50
			LC33 - LM1 FAT - nápravové 3	1,50
CO23		Obálka - únosnost	LC1 - vlastní tíha	1,35
			LC2 - ostatní stálé	1,35
			LC34 - LM1 FAT - nápravové krajní 1	1,50
			LC37 - LM1 FAT - rovnoměrné krajní	1,50
CO24		Obálka - únosnost	LC1 - vlastní tíha	1,35
			LC2 - ostatní stálé	1,35
			LC35 - LM1 FAT - nápravové krajní 2	1,50
			LC37 - LM1 FAT - rovnoměrné krajní	1,50
CO25		Obálka - únosnost	LC1 - vlastní tíha	1,50
			LC2 - ostatní stálé	1,50
			LC36 - LM1 FAT - nápravové krajní 3	1,50
			LC37 - LM1 FAT - rovnoměrné krajní	1,50

## 8. Skupiny výsledků

Jméno	Výpis
Všechny MSU	CO1 - Obálka - únosnost
	CO2 - Obálka - únosnost
	CO3 - Obálka - únosnost
	CO4 - Obálka - únosnost
	CO5 - Obálka - únosnost
	CO6 - Obálka - únosnost
	CO7 - Obálka - únosnost
	CO14 - Obálka - únosnost
	CO15 - Obálka - únosnost
	CO20 - Obálka - únosnost
	CO21 - Obálka - únosnost
	CO22 - Obálka - únosnost
	CO23 - Obálka - únosnost
	CO24 - Obálka - únosnost
	CO25 - Obálka - únosnost

Jméno	Výpis
Všechny MSP	CO8 - Obálka - použitelnost
	CO9 - Obálka - použitelnost
	CO10 - Obálka - použitelnost
	CO11 - Obálka - použitelnost
	CO12 - Obálka - použitelnost
	CO13 - Obálka - použitelnost
	CO16 - Lineární - použitelnost
	CO17 - Lineární - použitelnost
	CO18 - Lineární - použitelnost
	CO19 - Lineární - použitelnost
Vše MSÚ+MSP	CO1 - Obálka - únosnost
	CO2 - Obálka - únosnost
	CO3 - Obálka - únosnost
	CO4 - Obálka - únosnost
	CO5 - Obálka - únosnost
	CO6 - Obálka - únosnost
	CO7 - Obálka - únosnost
	CO14 - Obálka - únosnost
	CO15 - Obálka - únosnost
	CO20 - Obálka - únosnost
	CO21 - Obálka - únosnost
	CO22 - Obálka - únosnost
	CO23 - Obálka - únosnost
	CO24 - Obálka - únosnost
	CO25 - Obálka - únosnost
	CO8 - Obálka - použitelnost
	CO9 - Obálka - použitelnost
	CO10 - Obálka - použitelnost
	CO11 - Obálka - použitelnost
	CO12 - Obálka - použitelnost
	CO13 - Obálka - použitelnost
	CO16 - Lineární - použitelnost
	CO17 - Lineární - použitelnost
	CO18 - Lineární - použitelnost
	CO19 - Lineární - použitelnost
Vše ZS	LC1
	LC2
	LC3
	LC4
	LC5
	LC6
	LC7
	LC8
	LC9
	LC10
	LC11
	LC12
	LC13
	LC15
	LC16
	LC17
	LC18
	LC19
	LC20
	LC21
	LC22
	LC23
	LC24
	LC25
	LC26
	LC27
	LC28
	LC29
	LC30
	LC31
	LC32
	LC33

Jméno	Výpis
	LC34
	LC35
	LC36
	LC37

## 9. Klíč kombinace

Klíč kombinace

## 10. Uzly

Jméno	Souř. X [m]	Souř. Y [m]	Souř. Z [m]
N1	0,000	0,000	0,000
N3	8,220	0,000	0,000
N4	13,050	7,280	0,000
N11	2,580	0,000	0,930
N12	5,640	0,000	0,930
N13	10,470	7,280	0,930

Jméno	Souř. X [m]	Souř. Y [m]	Souř. Z [m]
N14	7,410	7,280	0,930
N15	11,720	9,150	0,930
N16	8,660	9,150	0,930
N17	4,839	7,281	0,003
N18	13,050	7,280	0,930
N19	14,300	9,150	0,930

Jméno	Souř. X [m]	Souř. Y [m]	Souř. Z [m]
N20	4,839	7,281	0,930
N21	6,080	9,150	0,930
N24	0,000	0,000	0,930
N30	4,839	7,281	0,933
N31	7,410	7,280	0,930
N32	10,470	7,280	0,930

## 11. Prvky

Jméno	Průřez	Vrstva	Délka [m]	Tvar	Poč. uzel	Typ
					Konc. uzel	FEM typ
B1	CS8 - T g (900; 900; 450; 680)	Vrstva1	8,742	Čára	N1 N17	obecný (0) standard
B2	CS8 - T g (900; 900; 450; 680)	Vrstva1	8,737	Čára	N3 N4	obecný (0) standard
B3	CS5 - Obdélník (680; 200)	Vrstva1	2,428	Čára	N17 N21	obecný (0) standard
B4	CS5 - Obdélník (680; 200)	Vrstva1	2,434	Čára	N4 N19	obecný (0) standard
B11	CS4 - Obdélník (400; 250)	Vrstva1	2,580	Čára	N21 N16	obecný (0) standard
B12	CS4 - Obdélník (400; 250)	Vrstva1	3,060	Čára	N16 N15	obecný (0) standard
B13	CS4 - Obdélník (400; 250)	Vrstva1	2,580	Čára	N15 N19	obecný (0) standard
B14	CS6 - Obdélník (600; 680)	Vrstva1	0,927	Čára	N17 N20	obecný (0) standard
B15	CS6 - Obdélník (600; 680)	Vrstva1	0,930	Čára	N4 N18	obecný (0) standard
B16	CS7 - Obdélník (240; 680)	Vrstva1	2,244	Čára	N20 N21	obecný (0) standard
B17	CS7 - Obdélník (240; 680)	Vrstva1	2,249	Čára	N18 N19	obecný (0) standard

## 12. Plochy

Jméno	Vrstva	Typ	Výpočtový model	Materiál	Typ tloušťky	TL [mm]
S1	Vrstva1	deska (90)	Standard	C30/37	konstantní	250
S2	Vrstva1	deska (90)	Standard	C30/37	konstantní	250
S3	Vrstva1	deska (90)	Standard	C30/37	konstantní	250
S4	Vrstva1	deska (90)	Standard	C30/37	konstantní	250
S5	Vrstva1	deska (90)	Standard	C30/37	konstantní	250
S6	Vrstva1	deska (90)	Standard	C30/37	konstantní	250
S7	Vrstva1	stěna (80)	Standard	C30/37	konstantní	250
S8	Vrstva1	stěna (80)	Standard	C30/37	konstantní	250

## 13. Tuhá ramena

Prázdná tabulka
-----------------

## 14. Podpora hrany plochy

Jméno	Plocha	Poč Souř.	Poz $x_1$ Poz $x_2$	X	Y	Z	Rx	Ry	Rz
Sle1	S3	Od počátku	0.000	Tuhý	Tuhý	Tuhý	Volný	Volný	Volný
	4	Rela	1.000						
Sle2	S5	Od počátku	0.000	Tuhý	Tuhý	Tuhý	Volný	Volný	Volný
	2	Rela	1.000						

## 15. Volné bodové zatížení

Jméno	Zatěžovací stav	Systém	Typ	Souř. X [m]	Souř. Y [m]	Souř. Z [m]	Hodnota - F [kN]
FF1	LC5 - LM1 - lokální náprava L1	GSS	Síla	6,800	8,180	0,000	-200,00
FF2	LC4 - LM1 - nápravové 1	GSS	Síla	4,700	0,820	0,000	-100,00
FF3	LC4 - LM1 - nápravové 1	GSS	Síla	4,700	2,820	0,000	-100,00
FF4	LC4 - LM1 - nápravové 1	GSS	Síla	5,900	0,820	0,000	-100,00
FF5	LC4 - LM1 - nápravové 1	GSS	Síla	5,900	2,820	0,000	-100,00
FF6	LC4 - LM1 - nápravové 1	GSS	Síla	7,100	4,420	0,000	-150,00
FF7	LC4 - LM1 - nápravové 1	GSS	Síla	7,100	6,420	0,000	-150,00
FF8	LC4 - LM1 - nápravové 1	GSS	Síla	8,300	4,420	0,000	-150,00
FF9	LC4 - LM1 - nápravové 1	GSS	Síla	8,300	6,420	0,000	-150,00
FF10	LC7 - LM1 - nápravové 2	GSS	Síla	3,300	0,820	0,000	-100,00
FF11	LC7 - LM1 - nápravové 2	GSS	Síla	3,300	2,820	0,000	-100,00
FF12	LC7 - LM1 - nápravové 2	GSS	Síla	4,500	0,820	0,000	-100,00
FF13	LC7 - LM1 - nápravové 2	GSS	Síla	4,500	2,820	0,000	-100,00
FF14	LC7 - LM1 - nápravové 2	GSS	Síla	9,000	4,420	0,000	-150,00
FF15	LC7 - LM1 - nápravové 2	GSS	Síla	9,000	6,420	0,000	-150,00
FF16	LC7 - LM1 - nápravové 2	GSS	Síla	10,200	4,420	0,000	-150,00
FF17	LC7 - LM1 - nápravové 2	GSS	Síla	10,200	6,420	0,000	-150,00
FF18	LC8 - LM1 - nápravové 3	GSS	Síla	6,860	0,820	0,000	-100,00
FF19	LC8 - LM1 - nápravové 3	GSS	Síla	6,860	2,820	0,000	-100,00
FF20	LC8 - LM1 - nápravové 3	GSS	Síla	8,060	0,820	0,000	-100,00
FF21	LC8 - LM1 - nápravové 3	GSS	Síla	8,060	2,820	0,000	-100,00
FF22	LC8 - LM1 - nápravové 3	GSS	Síla	9,100	4,420	0,000	-150,00
FF23	LC8 - LM1 - nápravové 3	GSS	Síla	9,100	6,420	0,000	-150,00
FF24	LC8 - LM1 - nápravové 3	GSS	Síla	10,300	4,420	0,000	-150,00
FF25	LC8 - LM1 - nápravové 3	GSS	Síla	10,300	6,420	0,000	-150,00
FF26	LC9 - LM1 - nápravové krajní 1	GSS	Síla	4,700	0,820	0,000	-150,00
FF27	LC9 - LM1 - nápravové krajní 1	GSS	Síla	4,700	2,820	0,000	-150,00
FF28	LC9 - LM1 - nápravové krajní 1	GSS	Síla	5,900	0,820	0,000	-150,00
FF29	LC9 - LM1 - nápravové krajní 1	GSS	Síla	5,900	2,820	0,000	-150,00
FF30	LC9 - LM1 - nápravové krajní 1	GSS	Síla	7,100	4,420	0,000	-100,00
FF31	LC9 - LM1 - nápravové krajní 1	GSS	Síla	7,100	6,420	0,000	-100,00
FF32	LC9 - LM1 - nápravové krajní 1	GSS	Síla	8,300	4,420	0,000	-100,00
FF33	LC9 - LM1 - nápravové krajní 1	GSS	Síla	8,300	6,420	0,000	-100,00
FF34	LC10 - LM1 - nápravové krajní 2	GSS	Síla	3,300	0,820	0,000	-150,00
FF35	LC10 - LM1 - nápravové krajní 2	GSS	Síla	3,300	2,820	0,000	-150,00
FF36	LC10 - LM1 - nápravové krajní 2	GSS	Síla	4,500	0,820	0,000	-150,00
FF37	LC10 - LM1 - nápravové krajní 2	GSS	Síla	4,500	2,820	0,000	-150,00
FF38	LC10 - LM1 - nápravové krajní 2	GSS	Síla	9,000	4,420	0,000	-100,00
FF39	LC10 - LM1 - nápravové krajní 2	GSS	Síla	9,000	6,420	0,000	-100,00
FF40	LC10 - LM1 - nápravové krajní 2	GSS	Síla	10,200	4,420	0,000	-100,00
FF41	LC10 - LM1 - nápravové krajní 2	GSS	Síla	10,200	6,420	0,000	-100,00
FF42	LC11 - LM1 - nápravové krajní 3	GSS	Síla	6,860	0,820	0,000	-150,00
FF43	LC11 - LM1 - nápravové krajní 3	GSS	Síla	6,860	2,820	0,000	-150,00
FF44	LC11 - LM1 - nápravové krajní 3	GSS	Síla	8,060	0,820	0,000	-150,00
FF45	LC11 - LM1 - nápravové krajní 3	GSS	Síla	8,060	2,820	0,000	-150,00
FF46	LC11 - LM1 - nápravové krajní 3	GSS	Síla	9,100	4,420	0,000	-100,00
FF47	LC11 - LM1 - nápravové krajní 3	GSS	Síla	9,100	6,420	0,000	-100,00
FF48	LC11 - LM1 - nápravové krajní 3	GSS	Síla	10,300	4,420	0,000	-100,00
FF49	LC11 - LM1 - nápravové krajní 3	GSS	Síla	10,300	6,420	0,000	-100,00
FF50	LC12 - LM1 - lokální náprava L2	GSS	Síla	9,500	8,180	0,000	-200,00
FF51	LC13 - LM1 - lokální náprava L3	GSS	Síla	12,500	8,180	0,000	-200,00
FF52	LC16 - ZN - nápravové 1	GSS	Síla	4,700	0,820	0,000	-25,00
FF53	LC16 - ZN - nápravové 1	GSS	Síla	4,700	2,820	0,000	-25,00
FF54	LC16 - ZN - nápravové 1	GSS	Síla	5,900	0,820	0,000	-25,00
FF55	LC16 - ZN - nápravové 1	GSS	Síla	5,900	2,820	0,000	-25,00

Jméno	Zatěžovací stav	Systém	Typ	Souř. X [m]	Souř. Y [m]	Souř. Z [m]	Hodnota - F [kN]
FF56	LC16 - ZN - nápravové 1	GSS	Síla	7,100	4,420	0,000	-25,00
FF57	LC16 - ZN - nápravové 1	GSS	Síla	7,100	6,420	0,000	-25,00
FF58	LC16 - ZN - nápravové 1	GSS	Síla	8,300	4,420	0,000	-25,00
FF59	LC16 - ZN - nápravové 1	GSS	Síla	8,300	6,420	0,000	-25,00
FF60	LC17 - ZN - lokální náprava L1	GSS	Síla	6,800	8,180	0,000	-25,00
FF61	LC19 - ZN - nápravové 2	GSS	Síla	3,300	0,820	0,000	-25,00
FF62	LC19 - ZN - nápravové 2	GSS	Síla	3,300	2,820	0,000	-25,00
FF63	LC19 - ZN - nápravové 2	GSS	Síla	4,500	0,820	0,000	-25,00
FF64	LC19 - ZN - nápravové 2	GSS	Síla	4,500	2,820	0,000	-25,00
FF65	LC19 - ZN - nápravové 2	GSS	Síla	9,000	4,420	0,000	-25,00
FF66	LC19 - ZN - nápravové 2	GSS	Síla	9,000	6,420	0,000	-25,00
FF67	LC19 - ZN - nápravové 2	GSS	Síla	10,200	4,420	0,000	-25,00
FF68	LC19 - ZN - nápravové 2	GSS	Síla	10,200	6,420	0,000	-25,00
FF69	LC20 - ZN - nápravové 3	GSS	Síla	6,860	0,820	0,000	-25,00
FF70	LC20 - ZN - nápravové 3	GSS	Síla	6,860	2,820	0,000	-25,00
FF71	LC20 - ZN - nápravové 3	GSS	Síla	8,060	0,820	0,000	-25,00
FF72	LC20 - ZN - nápravové 3	GSS	Síla	8,060	2,820	0,000	-25,00
FF73	LC20 - ZN - nápravové 3	GSS	Síla	9,100	4,420	0,000	-25,00
FF74	LC20 - ZN - nápravové 3	GSS	Síla	9,100	6,420	0,000	-25,00
FF75	LC20 - ZN - nápravové 3	GSS	Síla	10,300	4,420	0,000	-25,00
FF76	LC20 - ZN - nápravové 3	GSS	Síla	10,300	6,420	0,000	-25,00
FF77	LC21 - ZN - nápravové krajní 1	GSS	Síla	4,700	0,820	0,000	-25,00
FF78	LC21 - ZN - nápravové krajní 1	GSS	Síla	4,700	2,820	0,000	-25,00
FF79	LC21 - ZN - nápravové krajní 1	GSS	Síla	5,900	0,820	0,000	-25,00
FF80	LC21 - ZN - nápravové krajní 1	GSS	Síla	5,900	2,820	0,000	-25,00
FF81	LC21 - ZN - nápravové krajní 1	GSS	Síla	7,100	4,420	0,000	-25,00
FF82	LC21 - ZN - nápravové krajní 1	GSS	Síla	7,100	6,420	0,000	-25,00
FF83	LC21 - ZN - nápravové krajní 1	GSS	Síla	8,300	4,420	0,000	-25,00
FF84	LC21 - ZN - nápravové krajní 1	GSS	Síla	8,300	6,420	0,000	-25,00
FF85	LC22 - ZN - nápravové krajní 2	GSS	Síla	3,300	0,820	0,000	-25,00
FF86	LC22 - ZN - nápravové krajní 2	GSS	Síla	3,300	2,820	0,000	-25,00
FF87	LC22 - ZN - nápravové krajní 2	GSS	Síla	4,500	0,820	0,000	-25,00
FF88	LC22 - ZN - nápravové krajní 2	GSS	Síla	4,500	2,820	0,000	-25,00
FF89	LC22 - ZN - nápravové krajní 2	GSS	Síla	9,000	4,420	0,000	-25,00
FF90	LC22 - ZN - nápravové krajní 2	GSS	Síla	9,000	6,420	0,000	-25,00
FF91	LC22 - ZN - nápravové krajní 2	GSS	Síla	10,200	4,420	0,000	-25,00
FF92	LC22 - ZN - nápravové krajní 2	GSS	Síla	10,200	6,420	0,000	-25,00
FF93	LC23 - ZN - nápravové krajní 3	GSS	Síla	6,860	0,820	0,000	-25,00
FF94	LC23 - ZN - nápravové krajní 3	GSS	Síla	6,860	2,820	0,000	-25,00
FF95	LC23 - ZN - nápravové krajní 3	GSS	Síla	8,060	0,820	0,000	-25,00
FF96	LC23 - ZN - nápravové krajní 3	GSS	Síla	8,060	2,820	0,000	-25,00
FF97	LC23 - ZN - nápravové krajní 3	GSS	Síla	9,100	4,420	0,000	-25,00
FF98	LC23 - ZN - nápravové krajní 3	GSS	Síla	9,100	6,420	0,000	-25,00
FF99	LC23 - ZN - nápravové krajní 3	GSS	Síla	10,300	4,420	0,000	-25,00
FF100	LC23 - ZN - nápravové krajní 3	GSS	Síla	10,300	6,420	0,000	-25,00
FF101	LC24 - ZN - lokální náprava L2	GSS	Síla	9,500	8,180	0,000	-25,00
FF102	LC25 - ZN - lokální náprava L3	GSS	Síla	12,500	8,180	0,000	-25,00
FF107	LC26 - ZR - nápravové krajní 1	GSS	Síla	7,100	4,670	0,000	-0,08
FF108	LC26 - ZR - nápravové krajní 1	GSS	Síla	7,100	6,170	0,000	-0,08
FF109	LC26 - ZR - nápravové krajní 1	GSS	Síla	8,600	4,670	0,000	-0,08
FF110	LC26 - ZR - nápravové krajní 1	GSS	Síla	8,600	6,170	0,000	-0,08
FF111	LC26 - ZR - nápravové krajní 1	GSS	Síla	5,600	4,670	0,000	-0,08
FF112	LC26 - ZR - nápravové krajní 1	GSS	Síla	5,600	6,170	0,000	-0,08
FF113	LC26 - ZR - nápravové krajní 1	GSS	Síla	4,100	4,670	0,000	-0,08
FF115	LC26 - ZR - nápravové krajní 1	GSS	Síla	10,100	4,670	0,000	-0,08
FF116	LC26 - ZR - nápravové krajní 1	GSS	Síla	10,100	6,170	0,000	-0,08
FF118	LC26 - ZR - nápravové krajní 1	GSS	Síla	11,600	6,170	0,000	-0,08
FF119	LC27 - ZR - nápravové krajní 2	GSS	Síla	5,917	2,890	0,000	-0,08
FF120	LC27 - ZR - nápravové krajní 2	GSS	Síla	5,917	4,390	0,000	-0,08
FF121	LC27 - ZR - nápravové krajní 2	GSS	Síla	7,417	2,890	0,000	-0,08
FF122	LC27 - ZR - nápravové krajní 2	GSS	Síla	7,417	4,390	0,000	-0,08
FF123	LC27 - ZR - nápravové krajní 2	GSS	Síla	4,417	2,890	0,000	-0,08
FF124	LC27 - ZR - nápravové krajní 2	GSS	Síla	4,417	4,390	0,000	-0,08
FF125	LC27 - ZR - nápravové krajní 2	GSS	Síla	2,917	2,890	0,000	-0,08
FF126	LC27 - ZR - nápravové krajní 2	GSS	Síla	8,917	2,890	0,000	-0,08
FF127	LC27 - ZR - nápravové krajní 2	GSS	Síla	8,917	4,390	0,000	-0,08

Jméno	Zatěžovací stav	Systém	Typ	Souř. X [m]	Souř. Y [m]	Souř. Z [m]	Hodnota - F [kN]
FF128	LC27 - ZR - nápravové krajní 2	GSS	Síla	10,417	4,390	0,000	-0,08
FF129	LC28 - ZE - nápravové krajní 1	GSS	Síla	7,100	4,670	0,000	-0,06
FF130	LC28 - ZE - nápravové krajní 1	GSS	Síla	7,100	6,170	0,000	-0,06
FF131	LC28 - ZE - nápravové krajní 1	GSS	Síla	8,600	4,670	0,000	-0,06
FF132	LC28 - ZE - nápravové krajní 1	GSS	Síla	8,600	6,170	0,000	-0,06
FF133	LC28 - ZE - nápravové krajní 1	GSS	Síla	5,600	4,670	0,000	-0,06
FF134	LC28 - ZE - nápravové krajní 1	GSS	Síla	5,600	6,170	0,000	-0,06
FF135	LC28 - ZE - nápravové krajní 1	GSS	Síla	4,100	4,670	0,000	-0,06
FF136	LC28 - ZE - nápravové krajní 1	GSS	Síla	10,100	4,670	0,000	-0,06
FF137	LC28 - ZE - nápravové krajní 1	GSS	Síla	10,100	6,170	0,000	-0,06
FF138	LC28 - ZE - nápravové krajní 1	GSS	Síla	11,600	6,170	0,000	-0,06
FF139	LC29 - ZE - nápravové krajní 2	GSS	Síla	5,917	2,890	0,000	-0,06
FF140	LC29 - ZE - nápravové krajní 2	GSS	Síla	5,917	4,390	0,000	-0,06
FF141	LC29 - ZE - nápravové krajní 2	GSS	Síla	7,417	2,890	0,000	-0,06
FF142	LC29 - ZE - nápravové krajní 2	GSS	Síla	7,417	4,390	0,000	-0,06
FF143	LC29 - ZE - nápravové krajní 2	GSS	Síla	4,417	2,890	0,000	-0,06
FF144	LC29 - ZE - nápravové krajní 2	GSS	Síla	4,417	4,390	0,000	-0,06
FF145	LC29 - ZE - nápravové krajní 2	GSS	Síla	2,917	2,890	0,000	-0,06
FF146	LC29 - ZE - nápravové krajní 2	GSS	Síla	8,917	2,890	0,000	-0,06
FF147	LC29 - ZE - nápravové krajní 2	GSS	Síla	8,917	4,390	0,000	-0,06
FF148	LC29 - ZE - nápravové krajní 2	GSS	Síla	10,417	4,390	0,000	-0,06
FF149	LC31 - LM1 FAT - nápravové 1	GSS	Síla	4,700	0,820	0,000	-70,00
FF150	LC31 - LM1 FAT - nápravové 1	GSS	Síla	4,700	2,820	0,000	-70,00
FF151	LC31 - LM1 FAT - nápravové 1	GSS	Síla	5,900	0,820	0,000	-70,00
FF152	LC31 - LM1 FAT - nápravové 1	GSS	Síla	5,900	2,820	0,000	-70,00
FF153	LC31 - LM1 FAT - nápravové 1	GSS	Síla	7,100	4,420	0,000	-105,00
FF154	LC31 - LM1 FAT - nápravové 1	GSS	Síla	7,100	6,420	0,000	-105,00
FF155	LC31 - LM1 FAT - nápravové 1	GSS	Síla	8,300	4,420	0,000	-105,00
FF156	LC31 - LM1 FAT - nápravové 1	GSS	Síla	8,300	6,420	0,000	-105,00
FF157	LC32 - LM1 FAT - nápravové 2	GSS	Síla	3,300	0,820	0,000	-70,00
FF158	LC32 - LM1 FAT - nápravové 2	GSS	Síla	3,300	2,820	0,000	-70,00
FF159	LC32 - LM1 FAT - nápravové 2	GSS	Síla	4,500	0,820	0,000	-70,00
FF160	LC32 - LM1 FAT - nápravové 2	GSS	Síla	4,500	2,820	0,000	-70,00
FF161	LC32 - LM1 FAT - nápravové 2	GSS	Síla	9,000	4,420	0,000	-105,00
FF162	LC32 - LM1 FAT - nápravové 2	GSS	Síla	9,000	6,420	0,000	-105,00
FF163	LC32 - LM1 FAT - nápravové 2	GSS	Síla	10,200	4,420	0,000	-105,00
FF164	LC32 - LM1 FAT - nápravové 2	GSS	Síla	10,200	6,420	0,000	-105,00
FF165	LC33 - LM1 FAT - nápravové 3	GSS	Síla	6,860	0,820	0,000	-70,00
FF166	LC33 - LM1 FAT - nápravové 3	GSS	Síla	6,860	2,820	0,000	-70,00
FF167	LC33 - LM1 FAT - nápravové 3	GSS	Síla	8,060	0,820	0,000	-70,00
FF168	LC33 - LM1 FAT - nápravové 3	GSS	Síla	8,060	2,820	0,000	-70,00
FF169	LC33 - LM1 FAT - nápravové 3	GSS	Síla	9,100	4,420	0,000	-105,00
FF170	LC33 - LM1 FAT - nápravové 3	GSS	Síla	9,100	6,420	0,000	-105,00
FF171	LC33 - LM1 FAT - nápravové 3	GSS	Síla	10,300	4,420	0,000	-105,00
FF172	LC33 - LM1 FAT - nápravové 3	GSS	Síla	10,300	6,420	0,000	-105,00
FF173	LC34 - LM1 FAT - nápravové krajní 1	GSS	Síla	4,700	0,820	0,000	-105,00
FF174	LC34 - LM1 FAT - nápravové krajní 1	GSS	Síla	4,700	2,820	0,000	-105,00
FF175	LC34 - LM1 FAT - nápravové krajní 1	GSS	Síla	5,900	0,820	0,000	-105,00
FF176	LC34 - LM1 FAT - nápravové krajní 1	GSS	Síla	5,900	2,820	0,000	-105,00
FF177	LC34 - LM1 FAT - nápravové krajní 1	GSS	Síla	7,100	4,420	0,000	-70,00
FF178	LC34 - LM1 FAT - nápravové krajní 1	GSS	Síla	7,100	6,420	0,000	-70,00
FF179	LC34 - LM1 FAT - nápravové krajní 1	GSS	Síla	8,300	4,420	0,000	-70,00
FF180	LC34 - LM1 FAT - nápravové krajní 1	GSS	Síla	8,300	6,420	0,000	-70,00
FF181	LC35 - LM1 FAT - nápravové krajní 2	GSS	Síla	3,300	0,820	0,000	-105,00
FF182	LC35 - LM1 FAT - nápravové krajní 2	GSS	Síla	3,300	2,820	0,000	-105,00
FF183	LC35 - LM1 FAT - nápravové krajní 2	GSS	Síla	4,500	0,820	0,000	-105,00
FF184	LC35 - LM1 FAT - nápravové krajní 2	GSS	Síla	4,500	2,820	0,000	-105,00
FF185	LC35 - LM1 FAT - nápravové krajní 2	GSS	Síla	9,000	4,420	0,000	-70,00
FF186	LC35 - LM1 FAT - nápravové krajní 2	GSS	Síla	9,000	6,420	0,000	-70,00
FF187	LC35 - LM1 FAT - nápravové krajní 2	GSS	Síla	10,200	4,420	0,000	-70,00
FF188	LC35 - LM1 FAT - nápravové krajní 2	GSS	Síla	10,200	6,420	0,000	-70,00
FF189	LC36 - LM1 FAT - nápravové krajní 3	GSS	Síla	6,860	0,820	0,000	-105,00
FF190	LC36 - LM1 FAT - nápravové krajní 3	GSS	Síla	6,860	2,820	0,000	-105,00
FF191	LC36 - LM1 FAT - nápravové krajní 3	GSS	Síla	8,060	0,820	0,000	-105,00
FF192	LC36 - LM1 FAT - nápravové krajní 3	GSS	Síla	8,060	2,820	0,000	-105,00
FF193	LC36 - LM1 FAT - nápravové krajní 3	GSS	Síla	9,100	4,420	0,000	-70,00



Jméno	Zatěžovací stav	Systém	Typ	Souř. X [m]	Souř. Y [m]	Souř. Z [m]	Hodnota - F [kN]
FF194	LC36 - LM1 FAT - nápravové krajní 3	GSS	Síla	9,100	6,420	0,000	-70,00
FF195	LC36 - LM1 FAT - nápravové krajní 3	GSS	Síla	10,300	4,420	0,000	-70,00
FF196	LC36 - LM1 FAT - nápravové krajní 3	GSS	Síla	10,300	6,420	0,000	-70,00

#### Vysvětlivky symbolů

Zatěžovací stav	LM1 - lokální náprava L1
-----------------	--------------------------

## 16. Spojité zatížení

Jméno	Prvek	Typ	Směr	Hodnota - P <sub>1</sub> [kN/m]	Poz x <sub>1</sub>	Souř.	Poč	Exc ey [m]
	Zatěžovací stav	Systém	Rozložení	Hodnota - P <sub>2</sub> [kN/m]	Poz x <sub>2</sub>	Poloha		Exc ez [m]
LF1	B13	Síla	Z	-2,33	0.000	Rela	Od počátku	
	LC2 - ostatní stálé	LSS	Rovnoměrné		1.000	Délka		
LF2	B12	Síla	Z	-2,33	0.000	Rela	Od počátku	
	LC2 - ostatní stálé	LSS	Rovnoměrné		1.000	Délka		
LF3	B11	Síla	Z	-2,33	0.000	Rela	Od počátku	
	LC2 - ostatní stálé	LSS	Rovnoměrné		1.000	Délka		

## 17. Generovaná volná zatížení

Jméno	Zatěžovací stav	Plocha	Směr	Typ zatížení	Úvodní zatížení	q [kN/m <sup>2</sup> ]	Hodnota - F [kN]	Systém
			Rozložení	Typ		Hodnota - P [kN/m]	Hodnota - F [kNm]	Poloha
GFF1	LC2 - ostatní st	S3	Z	Povrch	FF2			GSS
			3 body	Síla				Průmět
GFF348	LC5 - LM1 - lok	S4	Z	Bod	FF1		-200,00	GSS
				Síla				Délka
GFF349	LC19 - ZN - ná	S5	Z	Bod	FF65		-25,00	GSS
				Síla				Délka
GFF350	LC7 - LM1 - ná	S3	Z	Bod	FF11		-100,00	GSS
				Síla				Délka
GFF351	LC7 - LM1 - ná	S5	Z	Bod	FF14		-150,00	GSS
				Síla				Délka
GFF352	LC7 - LM1 - ná	S5	Z	Bod	FF16		-150,00	GSS
				Síla				Délka
GFF353	LC7 - LM1 - ná	S5	Z	Bod	FF17		-150,00	GSS
				Síla				Délka
GFF354	LC8 - LM1 - ná	S5	Z	Bod	FF18		-100,00	GSS
				Síla				Délka
GFF355	LC8 - LM1 - ná	S5	Z	Bod	FF20		-100,00	GSS
				Síla				Délka
GFF356	LC8 - LM1 - ná	S5	Z	Bod	FF21		-100,00	GSS
				Síla				Délka
GFF357	LC8 - LM1 - ná	S5	Z	Bod	FF22		-150,00	GSS
				Síla				Délka
GFF358	LC8 - LM1 - ná	S5	Z	Bod	FF24		-150,00	GSS
				Síla				Délka
GFF359	LC8 - LM1 - ná	S5	Z	Bod	FF25		-150,00	GSS
				Síla				Délka
GFF360	LC10 - LM1 - n	S3	Z	Bod	FF35		-150,00	GSS
				Síla				Délka
GFF361	LC10 - LM1 - n	S5	Z	Bod	FF38		-100,00	GSS
				Síla				Délka
GFF362	LC10 - LM1 - n	S5	Z	Bod	FF40		-100,00	GSS
				Síla				Délka
GFF363	LC10 - LM1 - n	S5	Z	Bod	FF41		-100,00	GSS
				Síla				Délka
GFF364	LC11 - LM1 - n	S5	Z	Bod	FF42		-150,00	GSS
				Síla				Délka
GFF365	LC11 - LM1 - n	S5	Z	Bod	FF44		-150,00	GSS
				Síla				Délka
GFF366	LC11 - LM1 - n	S5	Z	Bod	FF45		-150,00	GSS
				Síla				Délka

Jméno	Zatěžovací stav	Plocha	Směr	Typ zatížení	Úvodní zatížení	q [kN/m <sup>2</sup> ] Hodnota - P [kN/m]	Hodnota - F [kN] Hodnota - F [kNm]	Systém
			Rozložení	Typ				Poloha
GFF367	LC11 - LM1 - ná	S5	Z	Bod Síla	FF46		-100,00	GSS Délka
GFF368	LC11 - LM1 - ná	S5	Z	Bod Síla	FF48		-100,00	GSS Délka
GFF369	LC11 - LM1 - ná	S5	Z	Bod Síla	FF49		-100,00	GSS Délka
GFF370	LC12 - LM1 - lok	S2	Z	Bod Síla	FF50		-200,00	GSS Délka
GFF371	LC13 - LM1 - lok	S6	Z	Bod Síla	FF51		-200,00	GSS Délka
GFF372	LC17 - ZN - lok	S4	Z	Bod Síla	FF60		-25,00	GSS Délka
GFF373	LC19 - ZN - ná	S3	Z	Bod Síla	FF62		-25,00	GSS Délka
GFF374	LC19 - ZN - ná	S5	Z	Bod Síla	FF67		-25,00	GSS Délka
GFF375	LC19 - ZN - ná	S5	Z	Bod Síla	FF68		-25,00	GSS Délka
GFF376	LC20 - ZN - ná	S5	Z	Bod Síla	FF69		-25,00	GSS Délka
GFF377	LC20 - ZN - ná	S5	Z	Bod Síla	FF71		-25,00	GSS Délka
GFF378	LC20 - ZN - ná	S5	Z	Bod Síla	FF72		-25,00	GSS Délka
GFF379	LC20 - ZN - ná	S5	Z	Bod Síla	FF73		-25,00	GSS Délka
GFF380	LC20 - ZN - ná	S5	Z	Bod Síla	FF75		-25,00	GSS Délka
GFF384	LC20 - ZN - ná	S5	Z	Bod Síla	FF76		-25,00	GSS Délka
GFF385	LC22 - ZN - ná	S3	Z	Bod Síla	FF86		-25,00	GSS Délka
GFF386	LC22 - ZN - ná	S5	Z	Bod Síla	FF89		-25,00	GSS Délka
GFF387	LC22 - ZN - ná	S5	Z	Bod Síla	FF91		-25,00	GSS Délka
GFF388	LC22 - ZN - ná	S5	Z	Bod Síla	FF92		-25,00	GSS Délka
GFF389	LC23 - ZN - ná	S5	Z	Bod Síla	FF93		-25,00	GSS Délka
GFF390	LC23 - ZN - ná	S5	Z	Bod Síla	FF95		-25,00	GSS Délka
GFF391	LC2 - ostatní st	S5	Z 3 body	Povrch Síla	FF4			GSS Průmět
GFF392	LC23 - ZN - ná	S5	Z	Bod Síla	FF96		-25,00	GSS Délka
GFF393	LC2 - ostatní st	S3	Z 3 body	Povrch Síla	FF1			GSS Průmět
GFF394	LC23 - ZN - ná	S5	Z	Bod Síla	FF97		-25,00	GSS Délka
GFF395	LC23 - ZN - ná	S5	Z	Bod Síla	FF99		-25,00	GSS Délka
GFF396	LC23 - ZN - ná	S5	Z	Bod Síla	FF100		-25,00	GSS Délka
GFF400	LC24 - ZN - lok	S2	Z	Bod Síla	FF101		-25,00	GSS Délka
GFF404	LC25 - ZN - lok	S6	Z	Bod Síla	FF102		-25,00	GSS Délka
GFF405	LC26 - ZR - ná	S3	Z	Bod Síla	FF111		-0,08	GSS Délka
GFF406	LC26 - ZR - ná	S3	Z	Bod Síla	FF112		-0,08	GSS Délka
GFF407	LC26 - ZR - ná	S3	Z	Bod Síla	FF113		-0,08	GSS Délka

Jméno	Zatěžovací stav	Plocha	Směr	Typ zatížení	Úvodní zatížení	q [kN/m <sup>2</sup> ] Hodnota - P [kN/m]	Hodnota - F [kN] Hodnota - F [kNm]	Systém
			Rozložení	Typ				Poloha
GFF411	LC26 - ZR - nář	S5	Z	Bod Síla	FF115		-0,08	GSS Délka
GFF415	LC26 - ZR - nář	S5	Z	Bod Síla	FF116		-0,08	GSS Délka
GFF416	LC26 - ZR - nář	S5	Z	Bod Síla	FF118		-0,08	GSS Délka
GFF420	LC27 - ZR - nář	S3	Z	Bod Síla	FF123		-0,08	GSS Délka
GFF421	LC27 - ZR - nář	S3	Z	Bod Síla	FF124		-0,08	GSS Délka
GFF425	LC27 - ZR - nář	S3	Z	Bod Síla	FF125		-0,08	GSS Délka
GFF429	LC27 - ZR - nář	S5	Z	Bod Síla	FF126		-0,08	GSS Délka
GFF430	LC27 - ZR - nář	S5	Z	Bod Síla	FF127		-0,08	GSS Délka
GFF431	LC27 - ZR - nář	S5	Z	Bod Síla	FF128		-0,08	GSS Délka
GFF432	LC28 - ZE - nář	S3	Z	Bod Síla	FF133		-0,06	GSS Délka
GFF433	LC28 - ZE - nář	S3	Z	Bod Síla	FF134		-0,06	GSS Délka
GFF434	LC28 - ZE - nář	S3	Z	Bod Síla	FF135		-0,06	GSS Délka
GFF435	LC28 - ZE - nář	S5	Z	Bod Síla	FF136		-0,06	GSS Délka
GFF436	LC28 - ZE - nář	S5	Z	Bod Síla	FF137		-0,06	GSS Délka
GFF437	LC28 - ZE - nář	S5	Z	Bod Síla	FF138		-0,06	GSS Délka
GFF438	LC29 - ZE - nář	S3	Z	Bod Síla	FF143		-0,06	GSS Délka
GFF439	LC29 - ZE - nář	S3	Z	Bod Síla	FF144		-0,06	GSS Délka
GFF440	LC29 - ZE - nář	S3	Z	Bod Síla	FF145		-0,06	GSS Délka
GFF441	LC29 - ZE - nář	S5	Z	Bod Síla	FF146		-0,06	GSS Délka
GFF442	LC29 - ZE - nář	S5	Z	Bod Síla	FF147		-0,06	GSS Délka
GFF443	LC29 - ZE - nář	S5	Z	Bod Síla	FF148		-0,06	GSS Délka
GFF444	LC2 - ostatní st	S5	Z 3 body	Povrch Síla	FF3			GSS Průmět
GFF489	LC32 - LM1 FA <sup>-</sup>	S5	Z	Bod Síla	FF161		-105,00	GSS Délka
GFF491	LC32 - LM1 FA <sup>-</sup>	S5	Z	Bod Síla	FF163		-105,00	GSS Délka
GFF492	LC32 - LM1 FA <sup>-</sup>	S5	Z	Bod Síla	FF164		-105,00	GSS Délka
GFF494	LC32 - LM1 FA <sup>-</sup>	S3	Z	Bod Síla	FF158		-70,00	GSS Délka
GFF497	LC33 - LM1 FA <sup>-</sup>	S5	Z	Bod Síla	FF169		-105,00	GSS Délka
GFF499	LC33 - LM1 FA <sup>-</sup>	S5	Z	Bod Síla	FF171		-105,00	GSS Délka
GFF500	LC33 - LM1 FA <sup>-</sup>	S5	Z	Bod Síla	FF172		-105,00	GSS Délka
GFF501	LC33 - LM1 FA <sup>-</sup>	S5	Z	Bod Síla	FF165		-70,00	GSS Délka
GFF503	LC33 - LM1 FA <sup>-</sup>	S5	Z	Bod Síla	FF167		-70,00	GSS Délka
GFF504	LC33 - LM1 FA <sup>-</sup>	S5	Z	Bod Síla	FF168		-70,00	GSS Délka

Jméno	Zatěžovací stav	Plocha	Směr	Typ zatížení	Úvodní zatížení	q [kN/m <sup>2</sup> ] Hodnota - P [kN/m]	Hodnota - F [kN] Hodnota - F [kNm]	Systém
			Rozložení	Typ				Poloha
GFF505	LC33 - LM1 FA <sup>+</sup>	S1	Z	Bod Síla	FF170		-105,00	GSS Délka
GFF506	LC33 - LM1 FA <sup>+</sup>	S1	Z	Bod Síla	FF166		-70,00	GSS Délka
GFF507	LC23 - ZN - náj	S1	Z	Bod Síla	FF98		-25,00	GSS Délka
GFF508	LC3 - LM1 - rov	S1	Z Rovnoměrné	Povrch Síla	FF6	-9,00		GSS Průmět
GFF509	LC3 - LM1 - rov	S3	Z Rovnoměrné	Povrch Síla	FF6	-9,00		GSS Průmět
GFF510	LC3 - LM1 - rov	S5	Z Rovnoměrné	Povrch Síla	FF6	-9,00		GSS Průmět
GFF511	LC30 - LM1 FA <sup>+</sup>	S1	Z Rovnoměrné	Povrch Síla	FF17	-0,72		GSS Průmět
GFF512	LC30 - LM1 FA <sup>+</sup>	S3	Z Rovnoměrné	Povrch Síla	FF17	-0,72		GSS Průmět
GFF513	LC30 - LM1 FA <sup>+</sup>	S5	Z Rovnoměrné	Povrch Síla	FF17	-0,72		GSS Průmět
GFF514	LC18 - ZN - rov	S1	Z Rovnoměrné	Povrch Síla	FF15	-2,50		GSS Průmět
GFF515	LC18 - ZN - rov	S3	Z Rovnoměrné	Povrch Síla	FF15	-2,50		GSS Průmět
GFF516	LC18 - ZN - rov	S5	Z Rovnoměrné	Povrch Síla	FF15	-2,50		GSS Průmět
GFF517	LC15 - ZN - rov	S1	Z Rovnoměrné	Povrch Síla	FF14	-2,50		GSS Průmět
GFF518	LC15 - ZN - rov	S3	Z Rovnoměrné	Povrch Síla	FF14	-2,50		GSS Průmět
GFF519	LC15 - ZN - rov	S5	Z Rovnoměrné	Povrch Síla	FF14	-2,50		GSS Průmět
GFF520	LC18 - ZN - rov	S1	Z Rovnoměrné	Povrch Síla	FF16	-1,00		GSS Průmět
GFF521	LC18 - ZN - rov	S3	Z Rovnoměrné	Povrch Síla	FF16	-1,00		GSS Průmět
GFF522	LC18 - ZN - rov	S5	Z Rovnoměrné	Povrch Síla	FF16	-1,00		GSS Průmět
GFF523	LC3 - LM1 - rov	S1	Z Rovnoměrné	Povrch Síla	FF5	-2,50		GSS Průmět
GFF524	LC3 - LM1 - rov	S3	Z Rovnoměrné	Povrch Síla	FF5	-2,50		GSS Průmět
GFF525	LC3 - LM1 - rov	S5	Z Rovnoměrné	Povrch Síla	FF5	-2,50		GSS Průmět
GFF526	LC6 - LM1 - rov	S1	Z Rovnoměrné	Povrch Síla	FF8	-2,50		GSS Průmět
GFF527	LC6 - LM1 - rov	S3	Z Rovnoměrné	Povrch Síla	FF8	-2,50		GSS Průmět
GFF528	LC6 - LM1 - rov	S5	Z Rovnoměrné	Povrch Síla	FF8	-2,50		GSS Průmět
GFF529	LC6 - LM1 - rov	S1	Z Rovnoměrné	Povrch Síla	FF7	-9,00		GSS Průmět
GFF530	LC6 - LM1 - rov	S3	Z Rovnoměrné	Povrch Síla	FF7	-9,00		GSS Průmět
GFF531	LC6 - LM1 - rov	S5	Z Rovnoměrné	Povrch Síla	FF7	-9,00		GSS Průmět
GFF532	LC15 - ZN - rov	S1	Z Rovnoměrné	Povrch Síla	FF13	-1,00		GSS Průmět
GFF533	LC15 - ZN - rov	S3	Z Rovnoměrné	Povrch Síla	FF13	-1,00		GSS Průmět
GFF534	LC15 - ZN - rov	S5	Z Rovnoměrné	Povrch Síla	FF13	-1,00		GSS Průmět
GFF535	LC4 - LM1 - náj	S1	Z	Bod Síla	FF9		-150,00	GSS Délka
GFF536	LC4 - LM1 - náj	S1	Z	Bod Síla	FF2		-100,00	GSS Délka

Jméno	Zatěžovací stav	Plocha	Směr	Typ zatížení	Úvodní zatížení	q [kN/m <sup>2</sup> ] Hodnota - P [kN/m]	Hodnota - F [kN] Hodnota - F [kNm]	Systém
			Rozložení	Typ				Poloha
GFF537	LC4 - LM1 - ná	S1	Z	Bod Síla	FF3		-100,00	GSS Délka
GFF538	LC4 - LM1 - ná	S1	Z	Bod Síla	FF4		-100,00	GSS Délka
GFF539	LC4 - LM1 - ná	S1	Z	Bod Síla	FF5		-100,00	GSS Délka
GFF540	LC4 - LM1 - ná	S1	Z	Bod Síla	FF6		-150,00	GSS Délka
GFF541	LC4 - LM1 - ná	S1	Z	Bod Síla	FF7		-150,00	GSS Délka
GFF542	LC4 - LM1 - ná	S1	Z	Bod Síla	FF8		-150,00	GSS Délka
GFF543	LC7 - LM1 - ná	S1	Z	Bod Síla	FF10		-100,00	GSS Délka
GFF544	LC7 - LM1 - ná	S1	Z	Bod Síla	FF12		-100,00	GSS Délka
GFF545	LC7 - LM1 - ná	S1	Z	Bod Síla	FF13		-100,00	GSS Délka
GFF546	LC7 - LM1 - ná	S1	Z	Bod Síla	FF15		-150,00	GSS Délka
GFF547	LC8 - LM1 - ná	S1	Z	Bod Síla	FF19		-100,00	GSS Délka
GFF548	LC8 - LM1 - ná	S1	Z	Bod Síla	FF23		-150,00	GSS Délka
GFF549	LC9 - LM1 - ná	S1	Z	Bod Síla	FF26		-150,00	GSS Délka
GFF550	LC9 - LM1 - ná	S1	Z	Bod Síla	FF27		-150,00	GSS Délka
GFF551	LC9 - LM1 - ná	S1	Z	Bod Síla	FF28		-150,00	GSS Délka
GFF552	LC9 - LM1 - ná	S1	Z	Bod Síla	FF29		-150,00	GSS Délka
GFF553	LC9 - LM1 - ná	S1	Z	Bod Síla	FF30		-100,00	GSS Délka
GFF554	LC9 - LM1 - ná	S1	Z	Bod Síla	FF31		-100,00	GSS Délka
GFF555	LC9 - LM1 - ná	S1	Z	Bod Síla	FF32		-100,00	GSS Délka
GFF556	LC9 - LM1 - ná	S1	Z	Bod Síla	FF33		-100,00	GSS Délka
GFF557	LC10 - LM1 - ná	S1	Z	Bod Síla	FF34		-150,00	GSS Délka
GFF558	LC10 - LM1 - ná	S1	Z	Bod Síla	FF36		-150,00	GSS Délka
GFF559	LC10 - LM1 - ná	S1	Z	Bod Síla	FF37		-150,00	GSS Délka
GFF560	LC10 - LM1 - ná	S1	Z	Bod Síla	FF39		-100,00	GSS Délka
GFF561	LC11 - LM1 - ná	S1	Z	Bod Síla	FF43		-150,00	GSS Délka
GFF562	LC11 - LM1 - ná	S1	Z	Bod Síla	FF47		-100,00	GSS Délka
GFF563	LC16 - ZN - ná	S1	Z	Bod Síla	FF52		-25,00	GSS Délka
GFF564	LC16 - ZN - ná	S1	Z	Bod Síla	FF53		-25,00	GSS Délka
GFF565	LC16 - ZN - ná	S1	Z	Bod Síla	FF54		-25,00	GSS Délka
GFF566	LC16 - ZN - ná	S1	Z	Bod Síla	FF55		-25,00	GSS Délka
GFF567	LC16 - ZN - ná	S1	Z	Bod Síla	FF56		-25,00	GSS Délka
GFF568	LC16 - ZN - ná	S1	Z	Bod Síla	FF57		-25,00	GSS Délka

Jméno	Zatěžovací stav	Plocha	Směr	Typ zatížení	Úvodní zatížení	q [kN/m <sup>2</sup> ] Hodnota - P [kN/m]	Hodnota - F [kN] Hodnota - F [kNm]	Systém
			Rozložení	Typ				Poloha
GFF569	LC16 - ZN - nář	S1	Z	Bod Síla	FF58		-25,00	GSS Délka
GFF570	LC16 - ZN - nář	S1	Z	Bod Síla	FF59		-25,00	GSS Délka
GFF571	LC19 - ZN - nář	S1	Z	Bod Síla	FF61		-25,00	GSS Délka
GFF572	LC19 - ZN - nář	S1	Z	Bod Síla	FF63		-25,00	GSS Délka
GFF573	LC19 - ZN - nář	S1	Z	Bod Síla	FF64		-25,00	GSS Délka
GFF574	LC19 - ZN - nář	S1	Z	Bod Síla	FF66		-25,00	GSS Délka
GFF575	LC20 - ZN - nář	S1	Z	Bod Síla	FF70		-25,00	GSS Délka
GFF576	LC20 - ZN - nář	S1	Z	Bod Síla	FF74		-25,00	GSS Délka
GFF577	LC21 - ZN - nář	S1	Z	Bod Síla	FF77		-25,00	GSS Délka
GFF578	LC21 - ZN - nář	S1	Z	Bod Síla	FF78		-25,00	GSS Délka
GFF579	LC21 - ZN - nář	S1	Z	Bod Síla	FF79		-25,00	GSS Délka
GFF580	LC21 - ZN - nář	S1	Z	Bod Síla	FF80		-25,00	GSS Délka
GFF581	LC21 - ZN - nář	S1	Z	Bod Síla	FF81		-25,00	GSS Délka
GFF582	LC21 - ZN - nář	S1	Z	Bod Síla	FF82		-25,00	GSS Délka
GFF583	LC21 - ZN - nář	S1	Z	Bod Síla	FF83		-25,00	GSS Délka
GFF584	LC21 - ZN - nář	S1	Z	Bod Síla	FF84		-25,00	GSS Délka
GFF585	LC22 - ZN - nář	S1	Z	Bod Síla	FF85		-25,00	GSS Délka
GFF586	LC22 - ZN - nář	S1	Z	Bod Síla	FF87		-25,00	GSS Délka
GFF587	LC22 - ZN - nář	S1	Z	Bod Síla	FF88		-25,00	GSS Délka
GFF588	LC22 - ZN - nář	S1	Z	Bod Síla	FF90		-25,00	GSS Délka
GFF589	LC23 - ZN - nář	S1	Z	Bod Síla	FF94		-25,00	GSS Délka
GFF590	LC26 - ZR - nář	S1	Z	Bod Síla	FF107		-0,08	GSS Délka
GFF591	LC26 - ZR - nář	S1	Z	Bod Síla	FF108		-0,08	GSS Délka
GFF592	LC26 - ZR - nář	S1	Z	Bod Síla	FF109		-0,08	GSS Délka
GFF593	LC26 - ZR - nář	S1	Z	Bod Síla	FF110		-0,08	GSS Délka
GFF594	LC27 - ZR - nář	S1	Z	Bod Síla	FF119		-0,08	GSS Délka
GFF595	LC27 - ZR - nář	S1	Z	Bod Síla	FF120		-0,08	GSS Délka
GFF596	LC27 - ZR - nář	S1	Z	Bod Síla	FF121		-0,08	GSS Délka
GFF597	LC27 - ZR - nář	S1	Z	Bod Síla	FF122		-0,08	GSS Délka
GFF598	LC28 - ZE - nář	S1	Z	Bod Síla	FF129		-0,06	GSS Délka
GFF599	LC28 - ZE - nář	S1	Z	Bod Síla	FF130		-0,06	GSS Délka
GFF600	LC28 - ZE - nář	S1	Z	Bod Síla	FF131		-0,06	GSS Délka

Jméno	Zatěžovací stav	Plocha	Směr	Typ zatížení	Úvodní zatížení	q [kN/m <sup>2</sup> ] Hodnota - P [kN/m]	Hodnota - F [kN] Hodnota - F [kNm]	Systém
			Rozložení	Typ				Poloha
GFF601	LC28 - ZE - nář	S1	Z	Bod Síla	FF132		-0,06	GSS Délka
GFF602	LC29 - ZE - nář	S1	Z	Bod Síla	FF139		-0,06	GSS Délka
GFF603	LC29 - ZE - nář	S1	Z	Bod Síla	FF140		-0,06	GSS Délka
GFF604	LC29 - ZE - nář	S1	Z	Bod Síla	FF141		-0,06	GSS Délka
GFF605	LC29 - ZE - nář	S1	Z	Bod Síla	FF142		-0,06	GSS Délka
GFF606	LC31 - LM1 FA <sup>-</sup>	S1	Z	Bod Síla	FF149		-70,00	GSS Délka
GFF607	LC31 - LM1 FA <sup>-</sup>	S1	Z	Bod Síla	FF150		-70,00	GSS Délka
GFF608	LC31 - LM1 FA <sup>-</sup>	S1	Z	Bod Síla	FF151		-70,00	GSS Délka
GFF609	LC31 - LM1 FA <sup>-</sup>	S1	Z	Bod Síla	FF152		-70,00	GSS Délka
GFF610	LC31 - LM1 FA <sup>-</sup>	S1	Z	Bod Síla	FF153		-105,00	GSS Délka
GFF611	LC31 - LM1 FA <sup>-</sup>	S1	Z	Bod Síla	FF154		-105,00	GSS Délka
GFF612	LC31 - LM1 FA <sup>-</sup>	S1	Z	Bod Síla	FF155		-105,00	GSS Délka
GFF613	LC31 - LM1 FA <sup>-</sup>	S1	Z	Bod Síla	FF156		-105,00	GSS Délka
GFF614	LC32 - LM1 FA <sup>-</sup>	S1	Z	Bod Síla	FF157		-70,00	GSS Délka
GFF615	LC32 - LM1 FA <sup>-</sup>	S1	Z	Bod Síla	FF159		-70,00	GSS Délka
GFF616	LC32 - LM1 FA <sup>-</sup>	S1	Z	Bod Síla	FF160		-70,00	GSS Délka
GFF617	LC32 - LM1 FA <sup>-</sup>	S1	Z	Bod Síla	FF162		-105,00	GSS Délka
GFF618	LC30 - LM1 FA <sup>-</sup>	S1	Z Rovnoměrné	Povrch Síla	FF18	-2,70		GSS Průmět
GFF619	LC30 - LM1 FA <sup>-</sup>	S3	Z Rovnoměrné	Povrch Síla	FF18	-2,70		GSS Průmět
GFF620	LC30 - LM1 FA <sup>-</sup>	S5	Z Rovnoměrné	Povrch Síla	FF18	-2,70		GSS Průmět
GFF621	LC34 - LM1 FA <sup>-</sup>	S1	Z	Bod Síla	FF26		-150,00	GSS Délka
GFF622	LC34 - LM1 FA <sup>-</sup>	S1	Z	Bod Síla	FF27		-150,00	GSS Délka
GFF623	LC34 - LM1 FA <sup>-</sup>	S1	Z	Bod Síla	FF28		-150,00	GSS Délka
GFF624	LC34 - LM1 FA <sup>-</sup>	S1	Z	Bod Síla	FF29		-150,00	GSS Délka
GFF625	LC34 - LM1 FA <sup>-</sup>	S1	Z	Bod Síla	FF30		-100,00	GSS Délka
GFF626	LC34 - LM1 FA <sup>-</sup>	S1	Z	Bod Síla	FF31		-100,00	GSS Délka
GFF627	LC34 - LM1 FA <sup>-</sup>	S1	Z	Bod Síla	FF32		-100,00	GSS Délka
GFF628	LC34 - LM1 FA <sup>-</sup>	S1	Z	Bod Síla	FF33		-100,00	GSS Délka
GFF629	LC35 - LM1 FA <sup>-</sup>	S3	Z	Bod Síla	FF35		-150,00	GSS Délka
GFF630	LC35 - LM1 FA <sup>-</sup>	S5	Z	Bod Síla	FF38		-100,00	GSS Délka
GFF631	LC35 - LM1 FA <sup>-</sup>	S5	Z	Bod Síla	FF40		-100,00	GSS Délka
GFF632	LC35 - LM1 FA <sup>-</sup>	S5	Z	Bod Síla	FF41		-100,00	GSS Délka

Jméno	Zatěžovací stav	Plocha	Směr	Typ zatížení	Úvodní zatížení	q [kN/m <sup>2</sup> ] Hodnota - P [kN/m]	Hodnota - F [kN] Hodnota - F [kNm]	Systém
			Rozložení	Typ				Poloha
GFF633	LC35 - LM1 FA <sup>-</sup>	S1	Z	Bod Síla	FF34		-150,00	GSS Délka
GFF634	LC35 - LM1 FA <sup>-</sup>	S1	Z	Bod Síla	FF36		-150,00	GSS Délka
GFF635	LC35 - LM1 FA <sup>-</sup>	S1	Z	Bod Síla	FF37		-150,00	GSS Délka
GFF636	LC35 - LM1 FA <sup>-</sup>	S1	Z	Bod Síla	FF39		-100,00	GSS Délka
GFF637	LC36 - LM1 FA <sup>-</sup>	S5	Z	Bod Síla	FF42		-150,00	GSS Délka
GFF638	LC36 - LM1 FA <sup>-</sup>	S5	Z	Bod Síla	FF44		-150,00	GSS Délka
GFF639	LC36 - LM1 FA <sup>-</sup>	S5	Z	Bod Síla	FF45		-150,00	GSS Délka
GFF640	LC36 - LM1 FA <sup>-</sup>	S5	Z	Bod Síla	FF46		-100,00	GSS Délka
GFF641	LC36 - LM1 FA <sup>-</sup>	S5	Z	Bod Síla	FF48		-100,00	GSS Délka
GFF642	LC36 - LM1 FA <sup>-</sup>	S5	Z	Bod Síla	FF49		-100,00	GSS Délka
GFF643	LC36 - LM1 FA <sup>-</sup>	S1	Z	Bod Síla	FF43		-150,00	GSS Délka
GFF644	LC36 - LM1 FA <sup>-</sup>	S1	Z	Bod Síla	FF47		-100,00	GSS Délka
GFF645	LC34 - LM1 FA <sup>-</sup>	S1	Z	Bod Síla	FF173		-105,00	GSS Délka
GFF646	LC34 - LM1 FA <sup>-</sup>	S1	Z	Bod Síla	FF174		-105,00	GSS Délka
GFF647	LC34 - LM1 FA <sup>-</sup>	S1	Z	Bod Síla	FF175		-105,00	GSS Délka
GFF648	LC34 - LM1 FA <sup>-</sup>	S1	Z	Bod Síla	FF176		-105,00	GSS Délka
GFF649	LC34 - LM1 FA <sup>-</sup>	S1	Z	Bod Síla	FF177		-70,00	GSS Délka
GFF650	LC34 - LM1 FA <sup>-</sup>	S1	Z	Bod Síla	FF178		-70,00	GSS Délka
GFF651	LC34 - LM1 FA <sup>-</sup>	S1	Z	Bod Síla	FF179		-70,00	GSS Délka
GFF652	LC34 - LM1 FA <sup>-</sup>	S1	Z	Bod Síla	FF180		-70,00	GSS Délka
GFF653	LC35 - LM1 FA <sup>-</sup>	S1	Z	Bod Síla	FF181		-105,00	GSS Délka
GFF654	LC35 - LM1 FA <sup>-</sup>	S3	Z	Bod Síla	FF182		-105,00	GSS Délka
GFF655	LC35 - LM1 FA <sup>-</sup>	S1	Z	Bod Síla	FF183		-105,00	GSS Délka
GFF656	LC35 - LM1 FA <sup>-</sup>	S1	Z	Bod Síla	FF184		-105,00	GSS Délka
GFF657	LC35 - LM1 FA <sup>-</sup>	S5	Z	Bod Síla	FF185		-70,00	GSS Délka
GFF658	LC35 - LM1 FA <sup>-</sup>	S1	Z	Bod Síla	FF186		-70,00	GSS Délka
GFF659	LC35 - LM1 FA <sup>-</sup>	S5	Z	Bod Síla	FF187		-70,00	GSS Délka
GFF660	LC35 - LM1 FA <sup>-</sup>	S5	Z	Bod Síla	FF188		-70,00	GSS Délka
GFF661	LC36 - LM1 FA <sup>-</sup>	S5	Z	Bod Síla	FF189		-105,00	GSS Délka
GFF662	LC36 - LM1 FA <sup>-</sup>	S1	Z	Bod Síla	FF190		-105,00	GSS Délka
GFF663	LC36 - LM1 FA <sup>-</sup>	S5	Z	Bod Síla	FF191		-105,00	GSS Délka
GFF664	LC36 - LM1 FA <sup>-</sup>	S5	Z	Bod Síla	FF192		-105,00	GSS Délka



Jméno	Zatěžovací stav	Plocha	Směr	Typ zatížení	Úvodní zatížení	q [kN/m <sup>2</sup> ] Hodnota - P [kN/m]	Hodnota - F [kN] Hodnota - F [kNm]	Systém
			Rozložení	Typ				Poloha
GFF665	LC36 - LM1 FA <sup>-</sup>	S5	Z	Bod Síla	FF193		-70,00	GSS Délka
GFF666	LC36 - LM1 FA <sup>-</sup>	S1	Z	Bod Síla	FF194		-70,00	GSS Délka
GFF667	LC36 - LM1 FA <sup>-</sup>	S5	Z	Bod Síla	FF195		-70,00	GSS Délka
GFF668	LC36 - LM1 FA <sup>-</sup>	S5	Z	Bod Síla	FF196		-70,00	GSS Délka
GFF669	LC37 - LM1 FA <sup>-</sup>	S1	Z Rovnoměrné	Povrch Síla	FF8	-2,50		GSS Průmět
GFF670	LC37 - LM1 FA <sup>-</sup>	S3	Z Rovnoměrné	Povrch Síla	FF8	-2,50		GSS Průmět
GFF671	LC37 - LM1 FA <sup>-</sup>	S5	Z Rovnoměrné	Povrch Síla	FF8	-2,50		GSS Průmět
GFF672	LC37 - LM1 FA <sup>-</sup>	S1	Z Rovnoměrné	Povrch Síla	FF7	-9,00		GSS Průmět
GFF673	LC37 - LM1 FA <sup>-</sup>	S3	Z Rovnoměrné	Povrch Síla	FF7	-9,00		GSS Průmět
GFF674	LC37 - LM1 FA <sup>-</sup>	S5	Z Rovnoměrné	Povrch Síla	FF7	-9,00		GSS Průmět
GFF675	LC37 - LM1 FA <sup>-</sup>	S1	Z Rovnoměrné	Povrch Síla	FF19	-2,70		GSS Průmět
GFF676	LC37 - LM1 FA <sup>-</sup>	S3	Z Rovnoměrné	Povrch Síla	FF19	-2,70		GSS Průmět
GFF677	LC37 - LM1 FA <sup>-</sup>	S5	Z Rovnoměrné	Povrch Síla	FF19	-2,70		GSS Průmět
GFF678	LC37 - LM1 FA <sup>-</sup>	S1	Z Rovnoměrné	Povrch Síla	FF20	-0,72		GSS Průmět
GFF679	LC37 - LM1 FA <sup>-</sup>	S3	Z Rovnoměrné	Povrch Síla	FF20	-0,72		GSS Průmět
GFF680	LC37 - LM1 FA <sup>-</sup>	S5	Z Rovnoměrné	Povrch Síla	FF20	-0,72		GSS Průmět

## 18. Volné plošné zatížení

Jméno	Zatěžovací stav	Směr	Typ	Rozložení	q [kN/m <sup>2</sup> ]	q1 [kN/m <sup>2</sup> ]	q2 [kN/m <sup>2</sup> ]	q3 [kN/m <sup>2</sup> ]	Platnost	Výběr	Systém	Poloha
FF1	LC2 - osta	Z	Síla	3 body		-28,80	-7,70	-7,70	Vše	Auto	GSS	Průmět
FF2	LC2 - osta	Z	Síla	3 body		-28,80	-28,80	-7,70	Vše	Auto	GSS	Průmět
FF3	LC2 - osta	Z	Síla	3 body		-28,80	-28,80	-7,70	Vše	Auto	GSS	Průmět
FF4	LC2 - osta	Z	Síla	3 body		-28,80	-7,70	-7,70	Vše	Auto	GSS	Průmět
FF5	LC3 - LM1	Z	Síla	Rovnoměr	-2,50				Vše	Auto	GSS	Průmět
FF6	LC3 - LM1	Z	Síla	Rovnoměr	-9,00				Vše	Auto	GSS	Průmět
FF7	LC6 - LM1	Z	Síla	Rovnoměr	-9,00				Vše	Auto	GSS	Průmět
FF8	LC6 - LM1	Z	Síla	Rovnoměr	-2,50				Vše	Auto	GSS	Průmět
FF13	LC15 - ZN	Z	Síla	Rovnoměr	-1,00				Vše	Auto	GSS	Průmět
FF14	LC15 - ZN	Z	Síla	Rovnoměr	-2,50				Vše	Auto	GSS	Průmět
FF15	LC18 - ZN	Z	Síla	Rovnoměr	-2,50				Vše	Auto	GSS	Průmět
FF16	LC18 - ZN	Z	Síla	Rovnoměr	-1,00				Vše	Auto	GSS	Průmět
FF17	LC30 - LM	Z	Síla	Rovnoměr	-0,72				Vše	Auto	GSS	Průmět
FF18	LC30 - LM	Z	Síla	Rovnoměr	-2,70				Vše	Auto	GSS	Průmět
FF19	LC37 - LM	Z	Síla	Rovnoměr	-2,70				Vše	Auto	GSS	Průmět
FF20	LC37 - LM	Z	Síla	Rovnoměr	-0,72				Vše	Auto	GSS	Průmět

## 19. Plošné zatížení

Jméno	Směr	Typ	Hodnota [kN/m <sup>2</sup> ]	Plocha	Zatěžovací stav	Systém	Poloha
SF1	Z	Síla	-7,70	S1	LC2 - ostatní stálé	GSS	Průmět
SF2	Z	Síla	-9,46	S4	LC2 - ostatní stálé	GSS	Průmět
SF3	Z	Síla	-9,46	S2	LC2 - ostatní stálé	GSS	Průmět
SF4	Z	Síla	-9,46	S6	LC2 - ostatní stálé	GSS	Průmět
SF5	Z	Síla	-2,50	S4	LC3 - LM1 - rovnoměrné	GSS	Průmět

Jméno	Směr	Typ	Hodnota [kN/m <sup>2</sup> ]	Plocha	Zatěžovací stav	Systém	Poloha
SF6	Z	Síla	-2,50	S2	LC3 - LM1 - rovnoměrné	GSS	Průmět
SF7	Z	Síla	-2,50	S6	LC3 - LM1 - rovnoměrné	GSS	Průmět
SF8	Z	Síla	-2,50	S4	LC6 - LM1 - rovnoměrné krajní	GSS	Průmět
SF9	Z	Síla	-2,50	S2	LC6 - LM1 - rovnoměrné krajní	GSS	Průmět
SF10	Z	Síla	-2,50	S6	LC6 - LM1 - rovnoměrné krajní	GSS	Průmět
SF15	Z	Síla	-1,00	S4	LC15 - ZN - rovnoměrné	GSS	Průmět
SF16	Z	Síla	-1,00	S2	LC15 - ZN - rovnoměrné	GSS	Průmět
SF17	Z	Síla	-1,00	S6	LC15 - ZN - rovnoměrné	GSS	Průmět
SF18	Z	Síla	-1,00	S4	LC18 - ZN - rovnoměrné krajní	GSS	Průmět
SF19	Z	Síla	-1,00	S2	LC18 - ZN - rovnoměrné krajní	GSS	Průmět
SF20	Z	Síla	-1,00	S6	LC18 - ZN - rovnoměrné krajní	GSS	Průmět
SF21	Z	Síla	-0,72	S4	LC30 - LM1 FAT- rovnoměrné	GSS	Průmět
SF22	Z	Síla	-0,72	S2	LC30 - LM1 FAT- rovnoměrné	GSS	Průmět
SF23	Z	Síla	-0,72	S6	LC30 - LM1 FAT- rovnoměrné	GSS	Průmět
SF24	Z	Síla	-0,72	S4	LC37 - LM1 FAT - rovnoměrné krajní	GSS	Průmět
SF25	Z	Síla	-0,72	S2	LC37 - LM1 FAT - rovnoměrné krajní	GSS	Průmět
SF26	Z	Síla	-0,72	S6	LC37 - LM1 FAT - rovnoměrné krajní	GSS	Průmět

## 20. 3D přemístění

Lineární výpočet

Třída: Všechny MSP

Výběr: Vše

Systém: Lokální

Jméno	Stav	dx [m]	Vlákno	ux [mm]	uy [mm]	uz [mm]	φ <sub>x</sub> [mrad]	φ <sub>y</sub> [mrad]	φ <sub>z</sub> [mrad]	U globální [mm]
B1	Všechny MSP/2	3,885	0/9	0,0	0,0	0,0	0,0	0,0	0,0	<b>0,0</b>
B12	Všechny MSP/2	1,530	0/2	-0,2	0,4	-2,1	-0,7	0,0	0,0	<b>2,2</b>

index	Klíč kombinace
1	LC1 + LC2
2	LC1 + LC2 + LC3 + LC8
3	LC1 + LC2 + LC6 + LC10
4	LC1 + LC2 + LC6 + LC11

## 21. 3D napětí

Lineární výpočet

Třída: Všechny MSU

Výběr: Vše

Jméno	Stav	dx [m]	Vlákno	σ <sub>x</sub> [MPa]	τ <sub>xy</sub> /τ <sub>xs</sub> [MPa]	τ <sub>xz</sub> /τ <sub>xs</sub> [MPa]
B3	Všechny MSU/3	2,428	0/4	<b>-8,8</b>	0,0	0,0
B11	Všechny MSU/3	0,000	0/2	<b>5,5</b>	0,0	0,0

index	Klíč kombinace
1	1.35*LC1 + 1.35*LC2 + 1.50*LC5
2	1.35*LC1 + 1.35*LC2 + 1.50*LC13
3	1.35*LC1 + 1.35*LC2 + 1.50*LC12

## 22. Vnitřní síly na prutu

Lineární výpočet, Extrém : Globální, Systém : Hlavní

Výběr : Vše

Třída : Všechny MSU

Prvek	css	dx [m]	Stav	N [kN]	V <sub>y</sub> [kN]	V <sub>z</sub> [kN]	M <sub>x</sub> [kNm]	M <sub>y</sub> [kNm]	M <sub>z</sub> [kNm]
B3	CS5 - Obdélník	0,000	CO7/1	<b>-469,79</b>	9,66	43,16	-4,86	-38,24	-10,83
B16	CS7 - Obdélník	2,244	CO7/1	<b>186,80</b>	47,92	-15,62	-4,78	0,87	18,53
B14	CS6 - Obdélník	0,000	CO7/1	-59,88	<b>-94,65</b>	8,59	-27,18	-40,36	120,58
B15	CS6 - Obdélník	0,000	CO3/2	-213,30	<b>80,60</b>	<b>162,96</b>	15,18	-111,85	-32,51

Prvek	css	dx [m]	Stav	N [kN]	Vy [kN]	Vz [kN]	Mx [kNm]	My [kNm]	Mz [kNm]
B2	CS8 - T g	8,737	CO15/3	0,00	5,29	<b>-249,67</b>	25,38	<b>-175,67</b>	10,31
B2	CS8 - T g	6,795	CO6/4	0,00	-4,73	4,84	<b>-148,85</b>	-1,96	0,01
B1	CS8 - T g	6,799	CO5/5	0,00	1,31	2,68	<b>144,62</b>	-1,88	-0,04
B3	CS5 - Obdélník	2,428	CO14/6	-353,27	-6,73	45,97	-5,62	<b>68,97</b>	-7,85
B15	CS6 - Obdélník	0,000	CO3/7	-195,57	76,84	149,96	13,59	-104,59	<b>-34,04</b>
B15	CS6 - Obdélník	0,000	CO15/3	-267,55	-43,75	131,66	1,59	-73,29	<b>160,20</b>

## 23. Deformace na prutu

Lineární výpočet, Extrém : Globální

Výběr : Vše

Třída : Všechny MSP

Prvek	dx [m]	Stav	ux [mm]	uy [mm]	uz [mm]	fix [mrad]	fiy [mrad]	fiz [mrad]	Výslednice [mm]
B13	1,720	CO10/8	<b>-0,2</b>	0,2	-0,8	-0,6	<b>-0,6</b>	0,0	0,8
B17	2,249	CO11/9	<b>0,1</b>	0,2	-0,3	-0,6	0,1	0,0	0,4
B3	2,428	CO13/10	-0,1	<b>-0,4</b>	-0,2	0,3	-0,1	<b>-0,3</b>	0,5
B17	0,000	CO10/8	0,0	<b>0,4</b>	0,0	-0,5	0,0	0,0	0,4
B12	1,530	CO10/8	-0,2	0,3	<b>-2,0</b>	-0,7	0,0	0,0	<b>2,0</b>
B15	0,930	CO10/8	0,0	0,3	<b>0,3</b>	0,0	-0,4	<b>0,3</b>	0,4
B2	0,000	CO13/10	0,0	0,0	0,0	<b>-0,9</b>	0,0	0,0	0,0
B1	0,971	CO12/11	0,0	0,0	0,0	<b>0,4</b>	0,0	0,0	<b>0,0</b>
B11	0,860	CO9/12	-0,1	0,1	-0,8	-0,2	<b>0,6</b>	0,0	0,8

## 24. Přemístění uzlů

Lineární výpočet, Extrém : Uzel

Výběr : Vše

Třída : Všechny MSP

Uzel	Stav	Ux [mm]	Uy [mm]	Uz [mm]
N1	CO8/13	0,0	0,0	0,0
N3	CO8/13	0,0	0,0	0,0
N4	CO8/13	0,0	0,0	0,0
N11	CO13/14	0,0	0,0	-0,2
N11	CO12/11	0,2	-0,2	-0,7
N11	CO10/15	0,0	0,0	-0,2
N12	CO13/14	0,0	0,1	-0,5
N12	CO12/11	0,1	-0,1	-0,5
N12	CO11/16	0,0	0,0	-0,7
N12	CO8/13	0,0	0,0	-0,2
N13	CO10/8	-0,2	0,2	-0,9
N13	CO8/13	-0,1	0,1	-0,4
N14	CO10/8	-0,1	0,2	-0,5
N14	CO11/17	0,0	0,1	-0,5
N14	CO8/13	0,0	0,1	-0,4
N14	CO8/18	0,0	0,1	-0,7
N15	CO10/8	-0,2	<b>0,3</b>	-1,7
N15	CO8/13	-0,1	0,2	-1,3
N16	CO10/8	-0,2	0,2	<b>-1,8</b>
N16	CO8/13	-0,1	0,1	-1,4
N17	CO8/13	0,0	0,0	0,0
N18	CO10/8	<b>-0,3</b>	0,3	0,0
N18	CO8/13	-0,1	0,2	0,0
N18	CO11/17	-0,1	0,2	0,0
N19	CO10/8	-0,2	0,2	-0,2
N19	CO8/13	-0,1	0,2	-0,3
N19	CO11/9	-0,1	0,2	-0,3
N19	CO10/15	-0,2	0,2	-0,2
N20	CO10/15	-0,1	0,1	0,0
N20	CO8/18	0,0	0,0	0,0
N20	CO12/11	0,0	0,0	0,0
N20	CO13/14	-0,1	0,1	0,0
N21	CO10/8	-0,2	0,2	-0,4

Uzel	Stav	Ux [mm]	Uy [mm]	Uz [mm]
N21	CO8/13	0,0	0,1	-0,3
N21	CO11/17	-0,1	0,1	-0,3
N21	CO13/10	-0,1	0,2	-0,4
N21	CO12/19	-0,1	0,1	-0,2
N24	CO13/14	0,0	0,0	0,0
N24	CO12/11	<b>0,3</b>	<b>-0,2</b>	0,0
N30	CO10/15	-0,1	0,1	0,0
N30	CO8/18	0,1	0,0	<b>0,0</b>
N30	CO12/11	0,0	0,0	0,0
N30	CO13/14	-0,1	0,1	0,0
N30	CO8/13	0,0	0,0	0,0
N31	CO10/8	-0,1	0,2	-0,5
N31	CO11/17	0,0	0,1	-0,5
N31	CO8/13	0,0	0,1	-0,4
N31	CO8/18	0,0	0,1	-0,7
N32	CO10/8	-0,2	0,2	-0,9
N32	CO8/13	-0,1	0,1	-0,4

## 25. Reakce

Lineární výpočet, Extrém : Uzel

Výběr : Vše

Třída : Všechny MSU

Podpora	Stav	dx [m]	Rx [kN]	Ry [kN]	Rz [kN]	Mx [kNm]	My [kNm]	Mz [kNm]
Sle1/S3	CO7/1	8,742	56,83	2,77	60,53	<b>0,00</b>	<b>0,00</b>	<b>0,00</b>
Sle1/S3	CO3/2	0,000	<b>1545,47</b>	-181,62	690,58	0,00	0,00	0,00
Sle1/S3	CO1/20	0,000	1498,32	<b>-227,35</b>	720,80	0,00	0,00	0,00
Sle1/S3	CO7/1	0,000	1007,54	80,32	775,31	0,00	0,00	0,00
Sle1/S3	CO7/1	0,971	246,83	-57,27	27,90	0,00	0,00	0,00
Sle1/S3	CO1/21	0,000	744,95	5,06	394,63	0,00	0,00	0,00
Sle2/S5	CO4/22	0,000	<b>-797,97</b>	<b>272,93</b>	416,27	0,00	0,00	0,00
Sle2/S5	CO15/3	4,854	-100,29	-41,34	84,66	0,00	0,00	0,00
Sle2/S5	CO14/6	3,883	-106,07	-46,29	87,07	0,00	0,00	0,00
Sle2/S5	CO15/3	7,766	-291,73	112,24	<b>-33,48</b>	0,00	0,00	0,00
Sle2/S5	CO15/3	8,737	-418,32	165,37	<b>788,42</b>	0,00	0,00	0,00
Sle2/S5	CO1/21	0,000	-229,91	45,46	118,13	0,00	0,00	0,00

## 26. Výslednice

Lineární výpočet, Extrém : Globální

Výběr : Vše

Zatěžovací stavy : LC1

Stav	Rx [kN]	Ry [kN]	Rz [kN]	Mx [kNm]	My [kNm]	Mz [kNm]
LC1	0,00	0,00	945,57	792,36	-502,50	0,00

Těžiště :

X [m]	Y [m]	Z [m]
6,527	3,640	0,001

## 27. Intenzity na prvcích

Lineární výpočet, Extrém : Globální

Výběr : Vše

Třída : Všechny MSU

Stav	Liniová podpora	dx [m]	Rx [kN/m]	Ry [kN/m]	Rz [kN/m]	Mx [kNm/m]	My [kNm/m]	Mz [kNm/m]
CO4/22	Sle2	0,000	<b>-1644,07</b>	<b>562,32</b>	857,65	<b>0,00</b>	<b>0,00</b>	<b>0,00</b>
CO3/2	Sle1	0,000	<b>3182,13</b>	-373,95	1421,90	0,00	0,00	0,00
CO1/20	Sle1	0,000	3085,05	<b>-468,12</b>	1484,14	0,00	0,00	0,00
CO15/3	Sle2	7,766	-266,34	98,04	<b>1,20</b>	0,00	0,00	0,00

Stav	Liniová podpora	dx [m]	Rx [kN/m]	Ry [kN/m]	Rz [kN/m]	Mx [kNm/m]	My [kNm/m]	Mz [kNm/m]
CO15/3	Sle2	8,737	-861,86	340,72	<b>1624,38</b>	0,00	0,00	0,00
CO1/21	Sle1	0,000	1533,85	10,42	812,55	0,00	0,00	0,00

## 28. Napětí

Lineární výpočet, Extrém : Prvek

Výběr : Vše

Třída : Všechny MSU

Hodnoty : von Mises

Prvek	dx [m]	Stav	Normálové - [MPa]	Normálové + [MPa]	Smyk [MPa]	von Mises [MPa]	Sigma Y [MPa]
B1	8,742	CO7/1	-1,4		0,1	1,4	<b>0,0</b>
B1	0,971	CO5/5	0,0		0,0	0,0	0,0
B1	0,000	CO6/4	-0,2		<b>0,0</b>	0,2	0,0
B1	7,771	CO7/1	0,0		0,2	0,3	0,0
B1	3,400	CO25/23	0,0		0,0	<b>0,0</b>	0,0
B1	8,742	CO7/1	-1,4		0,1	1,4	0,0
B2	8,737	CO15/3	-1,9		0,0	1,9	0,0
B2	4,854	CO3/2	<b>0,0</b>		0,0	0,0	0,0
B2	0,000	CO5/5	-0,8		0,0	0,8	0,0
B2	7,766	CO15/3	0,0		0,2	0,4	0,0
B2	3,398	CO6/4	0,0		0,0	0,0	0,0
B2	8,737	CO15/3	-1,9		0,0	1,9	0,0
B3	2,428	CO14/6	<b>-8,8</b>		0,0	<b>8,8</b>	0,0
B3	0,971	CO7/1	-4,4		0,0	4,4	0,0
B3	0,000	CO7/1	-8,3		0,0	8,3	0,0
B3	2,428	CO14/6	-8,8		0,0	8,8	0,0
B4	2,434	CO15/3	-6,9		0,0	6,9	0,0
B4	0,974	CO15/3	-2,5		0,0	2,5	0,0
B4	0,000	CO15/3	-5,5		0,0	5,5	0,0
B11	0,000	CO14/6	-6,3		0,0	6,3	0,0
B11	0,860	CO7/1	-3,7		0,0	3,7	0,0
B11	0,860	CO7/1	-3,7		0,0	3,7	0,0
B11	0,860	CO7/1	-3,7		0,0	3,7	0,0
B12	1,020	CO14/6	-5,8		0,0	5,8	0,0
B12	2,550	CO15/3	-3,1		0,0	3,1	0,0
B12	0,000	CO14/6	-5,3		0,0	5,3	0,0
B12	2,550	CO15/3	-3,1		0,0	3,1	0,0
B13	0,000	CO15/3	-3,5		0,0	3,5	0,0
B13	1,720	CO15/3		<b>1,6</b>	0,0	1,6	0,0
B13	2,580	CO15/3		<b>4,1</b>	0,0	4,1	0,0
B14	0,000	CO7/1	-3,7		0,0	3,7	0,0
B14	0,927	CO7/1	-1,6		0,0	1,6	0,0
B15	0,000	CO15/3	-5,9		0,0	5,9	0,0
B15	0,930	CO15/3	-4,4		0,0	4,4	0,0
B16	0,000	CO7/1		3,3	<b>0,5</b>	3,3	0,0
B16	1,122	CO14/6		1,8	0,0	1,8	0,0
B16	2,244	CO14/6		3,4	0,0	3,4	0,0
B16	0,561	CO7/1		2,4	0,0	2,4	0,0
B16	1,122	CO14/6		1,8	0,0	1,8	0,0
B16	2,244	CO14/6		3,4	0,0	3,4	0,0
B17	0,000	CO15/3		3,4	0,0	3,4	0,0
B17	0,562	CO15/3		1,7	0,0	1,7	0,0
B17	2,249	CO15/3		3,7	0,0	3,7	0,0

## 29. Relativní deformace

Lineární výpočet, Extrém : Globální, Systém : Hlavní

Výběr : Vše

Třída : Všechny MSP

Prvek	dx [m]	Stav - kombinace	uy [mm]	Rel uy [1/xx]	uz [mm]	Rel uz [1/xx]
B4	1,947	CO10/8	<b>0,0</b>	1/10000	0,0	<b>1/10000</b>
B3	1,214	CO13/10	<b>0,1</b>	<b>1/10000</b>	0,0	1/10000

Prvek	dx [m]	Stav - kombinace	uy [mm]	Rel uy [1/xx]	uz [mm]	Rel uz [1/xx]
B12	1,530	CO10/8	0,0	<b>1/10000</b>	<b>-0,3</b>	<b>1/10000</b>
B16	1,122	CO10/8	0,0	1/10000	<b>0,1</b>	1/10000
B16	1,122	CO10/8	0,0	1/10000	0,1	1/10000

### 30. Výkaz materiálu

Jméno	Hmotnost [kg]	Povrch [m²]	Objem [m³]
Celkový součet :	38503,5	95,187	1,5401e+01

Průřez	Materiál	Jednotková hmotnost [kg/m]	Délka [m]	Hmotnost [kg]	Povrch [m²]	Objemová hmotnost [kg/m³]	Objem [m³]
CS4 - Obdélník (400; 250)	C30/37	250,0	8,220	2055,0	10,686	2500,0	8,2200e-01
CS5 - Obdélník (680; 200)	C30/37	340,0	4,862	1653,0	8,557	2500,0	6,6119e-01
CS6 - Obdélník (600; 680)	C30/37	1020,0	1,857	1894,1	4,754	2500,0	7,5764e-01
CS7 - Obdélník (240; 680)	C30/37	408,0	4,493	1833,2	8,267	2500,0	7,3327e-01
CS8 - T g (900; 900; 450; 680)	C30/37	1777,5	17,479	31068,3	62,923	2500,0	1,2427e+01

### 31. Přemístění uzlů

Lineární výpočet, Extrém : Globální  
Výběr : Vše  
Třída : Všechny MSP

Prvek	Stav	Uzel	Ux [mm]	Uy [mm]	Uz [mm]	Fix [mrad]	Fiy [mrad]	Fiz [mrad]
S6	Všechny MSP	N18	<b>-0,3</b>	0,2	0,0	-0,3	-0,4	0,0
S7	Všechny MSP	N24	<b>0,3</b>	0,0	0,0	0,2	0,3	0,0
S8	Všechny MSP	140	-0,3	<b>-0,2</b>	-0,9	-0,4	0,0	-0,1
S2	Všechny MSP	N15	-0,1	<b>0,3</b>	-1,3	-0,6	-0,3	0,0
S2	Všechny MSP	46	-0,2	0,1	<b>-2,0</b>	-0,7	0,1	0,0
S1	Všechny MSP	25	0,0	0,1	<b>0,3</b>	0,2	0,3	0,1
S2	Všechny MSP	47	-0,2	0,1	-2,0	<b>-0,8</b>	-0,2	0,0
S1	Všechny MSP	22	0,0	0,1	0,0	<b>0,4</b>	0,5	0,1
S5	Všechny MSP	N3	0,0	0,0	0,0	-0,5	<b>-0,7</b>	0,0
S4	Všechny MSP	86	0,0	0,2	-0,7	-0,1	<b>0,6</b>	0,0
S8	Všechny MSP	138	-0,3	-0,1	-0,5	-0,3	0,2	<b>-0,1</b>
S7	Všechny MSP	131	0,2	0,1	-0,2	0,0	0,1	<b>0,2</b>

### 32. Plochy - Vnitřní síly

Lineární výpočet, Extrém : Globální  
Výběr : Vše  
Třída : Všechny MSU  
Základní veličiny. V uzlech, prům. na prvku.

Prvek	prvek	Stav	mx [kNm/m]	my [kNm/m]	mxy [kNm/m]	vx [kN/m]	vy [kN/m]	nx [kN/m]	ny [kN/m]	nxy [kN/m]
S7	145	Všechny MSU	<b>-40,18</b>	-19,80	14,44	52,10	-49,52	-241,94	31,32	192,71
S1	21	Všechny MSU	<b>30,51</b>	22,33	-3,51	-16,77	30,45	-556,02	-38,08	134,25
S1	35	Všechny MSU	-5,98	<b>-26,32</b>	<b>20,96</b>	-18,13	126,27	<b>-707,92</b>	-4,63	43,01
S1	5	Všechny MSU	23,19	<b>24,42</b>	-2,33	12,34	5,80	-513,30	-65,38	168,74
S8	165	Všechny MSU	12,64	11,82	<b>-13,93</b>	-40,00	16,74	-334,55	11,15	164,16
S1	37	Všechny MSU	-15,09	-12,72	8,43	<b>-149,70</b>	10,39	-657,98	-56,12	191,91
S7	145	Všechny MSU	-23,38	-4,40	11,98	<b>114,81</b>	-72,94	-419,98	-134,68	209,19
S1	50	Všechny MSU	-8,89	-4,92	4,70	82,73	<b>-118,13</b>	-512,19	-178,29	141,03
S1	19	Všechny MSU	-3,46	-11,05	-7,06	12,19	<b>152,18</b>	-551,19	-12,31	31,16
S1	9	Všechny MSU	-2,47	1,29	6,85	19,73	-24,14	<b>-46,19</b>	-13,70	-0,69
S6	134	Všechny MSU	1,74	7,45	2,19	-46,29	58,54	-494,39	<b>-187,09</b>	118,41
S3	86	Všechny MSU	-33,86	-20,69	3,85	-45,23	45,64	-253,57	<b>201,33</b>	174,73

Prvek	prvek	Stav	mx [kNm/m]	my [kNm/m]	mxy [kNm/m]	vx [kN/m]	vy [kN/m]	nx [kN/m]	ny [kN/m]	nxy [kN/m]
S1	35	Všechny MSU	-1,61	4,88	-4,92	-31,39	-3,72	-241,91	41,19	<b>-66,29</b>
S3	85	Všechny MSU	-35,73	-21,40	7,01	-124,23	75,99	-450,43	-11,49	<b>232,91</b>

### 33. Plochy - Napětí

Lineární výpočet, Extrém : Globální

Výběr : Vše

Třída : Všechny MSU

Základní veličiny. V uzlech, prům. na prvku.

Prvek	Stav	prvek	sigx+ [MPa]	sigy+ [MPa]	sigxy+ [MPa]	sigx- [MPa]	sigy- [MPa]	sigxy- [MPa]
S1	Všechny MSU	21	<b>-5,2</b>	-2,3	0,9	0,7	2,0	0,2
S7	Všechny MSU	145	<b>2,9</b>	2,0	-0,6	-4,8	-1,8	2,2
S1	Všechny MSU	5	-4,3	<b>-2,6</b>	0,9	0,2	<b>2,1</b>	0,5
S3	Všechny MSU	85	2,3	<b>3,0</b>	0,4	-5,0	-1,4	1,2
S1	Všechny MSU	35	-2,3	2,5	<b>-1,8</b>	-3,4	<b>-2,5</b>	<b>2,2</b>
S8	Všechny MSU	165	-2,6	-1,1	<b>2,0</b>	-0,1	1,2	-0,7
S3	Všechny MSU	85	1,6	2,0	0,3	<b>-5,2</b>	-2,1	1,6
S1	Všechny MSU	9	-3,1	-1,4	-0,5	<b>1,3</b>	1,2	0,5
S1	Všechny MSU	9	-2,3	-1,1	0,8	-0,9	0,5	<b>-1,0</b>

### 34. Protokol o výpočtu

Lineární výpočet

Počet 2D prvků	178
Počet 1D prvků	35
Počet uzlů sítě	148
Počet rovnic	888
Zatěžovací stavy	LC1
	LC2
	LC3
	LC4
	LC5
	LC6
	LC7
	LC8
	LC9
	LC10
	LC11
	LC12
	LC13
	LC15
	LC16
	LC17
	LC18
	LC19
	LC20
	LC21
	LC22
	LC23
	LC24
	LC25
	LC26
	LC27
	LC28
	LC29
	LC30
	LC31
	LC32
	LC33
	LC34
	LC35
	LC36
	LC37

Počet 2D prvků	178
Počet 1D prvků	35
Počet uzlů sítě	148
Počet rovnic	888
Ohybová teorie	Mindlin
Spuštění výpočtu	10.12.2015 04:22
Konec výpočtu	10.12.2015 04:22

#### Suma zatížení a reakcí.

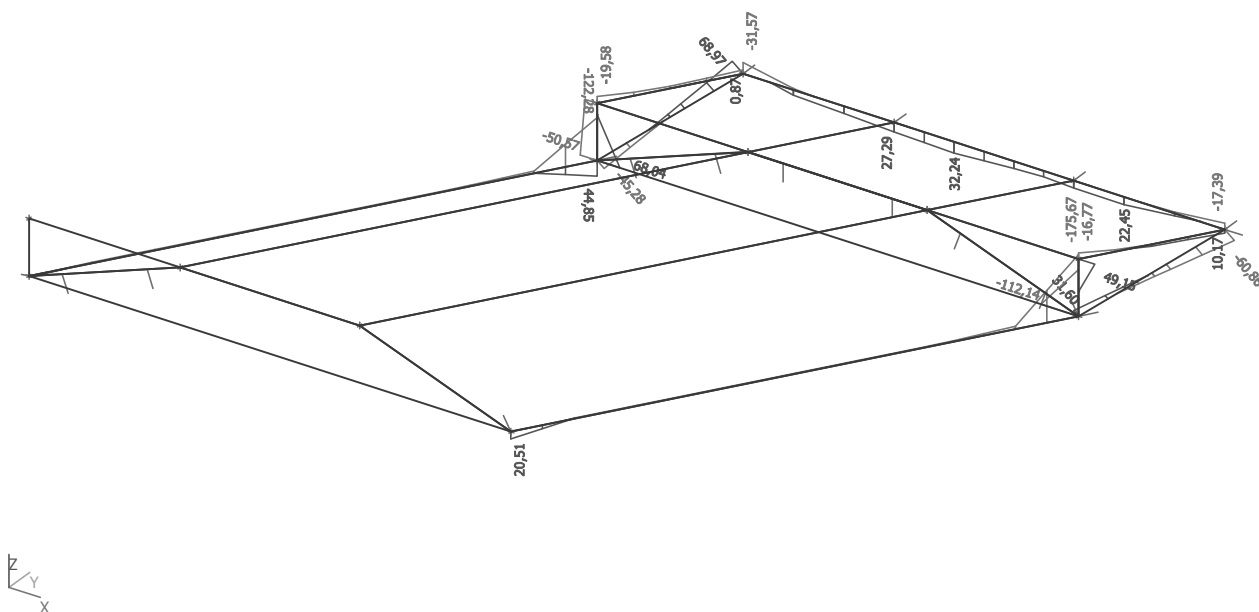
	[kN]	X	Y	Z
Zatěžovací stav LC1	zatížení	0.0	0.0	-945.6
	reakce v uzlech	0.0	-0.0	-0.0
	reakce na liniích	0.0	0.0	945.6
	kontakt 1D	0.0	0.0	0.0
	kontakt 2D	0.0	0.0	0.0
Zatěžovací stav LC2	zatížení	0.0	-0.0	-1020.7
	reakce v uzlech	-0.0	0.0	0.0
	reakce na liniích	0.0	0.0	1020.7
	kontakt 1D	0.0	0.0	0.0
	kontakt 2D	0.0	0.0	0.0
Zatěžovací stav LC3	zatížení	0.0	0.0	-382.8
	reakce v uzlech	0.0	0.0	-0.0
	reakce na liniích	0.0	0.0	382.8
	kontakt 1D	0.0	0.0	0.0
	kontakt 2D	0.0	0.0	0.0
Zatěžovací stav LC4	zatížení	0.0	0.0	-1000.0
	reakce v uzlech	0.0	0.0	-0.0
	reakce na liniích	0.0	0.0	1000.0
	kontakt 1D	0.0	0.0	0.0
	kontakt 2D	0.0	0.0	0.0
Zatěžovací stav LC5	zatížení	0.0	0.0	-200.0
	reakce v uzlech	0.0	0.0	0.0
	reakce na liniích	0.0	0.0	200.0
	kontakt 1D	0.0	0.0	0.0
	kontakt 2D	0.0	0.0	0.0
Zatěžovací stav LC6	zatížení	0.0	0.0	-381.8
	reakce v uzlech	0.0	0.0	-0.0
	reakce na liniích	0.0	0.0	381.8
	kontakt 1D	0.0	0.0	0.0
	kontakt 2D	0.0	0.0	0.0
Zatěžovací stav LC7	zatížení	0.0	0.0	-1000.0
	reakce v uzlech	0.0	0.0	0.0
	reakce na liniích	0.0	0.0	1000.0
	kontakt 1D	0.0	0.0	0.0
	kontakt 2D	0.0	0.0	0.0
Zatěžovací stav LC8	zatížení	0.0	0.0	-1000.0
	reakce v uzlech	0.0	0.0	-0.0
	reakce na liniích	0.0	0.0	1000.0
	kontakt 1D	0.0	0.0	0.0
	kontakt 2D	0.0	0.0	0.0
Zatěžovací stav LC9	zatížení	0.0	0.0	-1000.0
	reakce v uzlech	0.0	0.0	0.0
	reakce na liniích	0.0	0.0	1000.0
	kontakt 1D	0.0	0.0	0.0
	kontakt 2D	0.0	0.0	0.0
Zatěžovací stav LC10	zatížení	0.0	0.0	-1000.0
	reakce v uzlech	0.0	0.0	0.0
	reakce na liniích	0.0	0.0	1000.0
	kontakt 1D	0.0	0.0	0.0
	kontakt 2D	0.0	0.0	0.0
Zatěžovací stav LC11	zatížení	0.0	0.0	-1000.0
	reakce v uzlech	0.0	0.0	0.0
	reakce na liniích	0.0	0.0	1000.0
	kontakt 1D	0.0	0.0	0.0
	kontakt 2D	0.0	0.0	0.0
Zatěžovací stav LC12	zatížení	0.0	0.0	-200.0
	reakce v uzlech	0.0	0.0	0.0



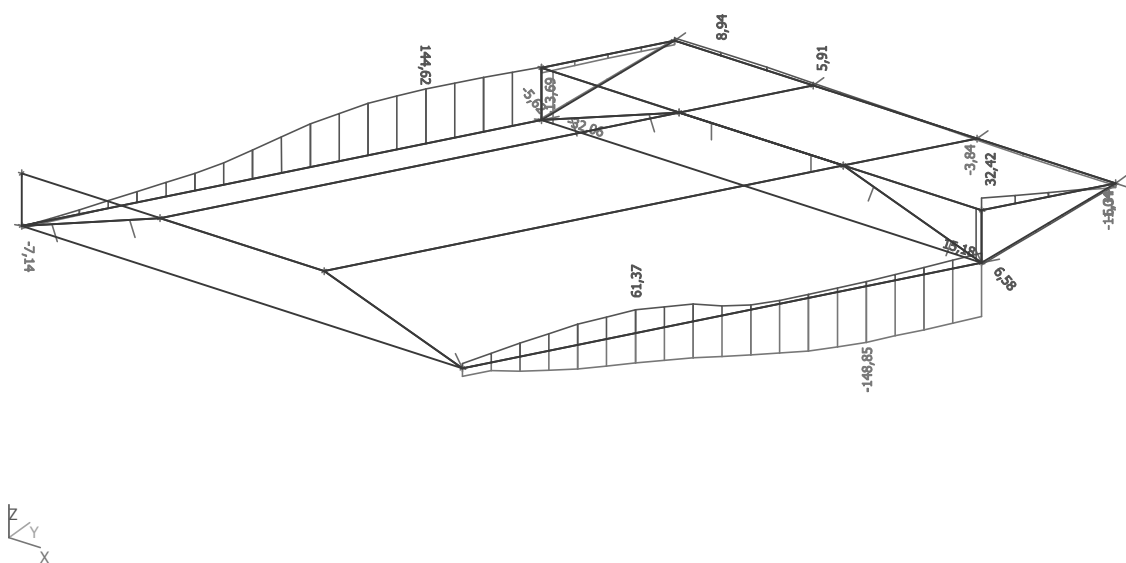
	[kN]	X	Y	Z
	reakce na liniích	0.0	0.0	200.0
	kontakt 1D	0.0	0.0	0.0
	kontakt 2D	0.0	0.0	0.0
Zatěžovací stav LC13	zatížení	0.0	0.0	-200.0
	reakce v uzlech	0.0	0.0	0.0
	reakce na liniích	0.0	0.0	200.0
	kontakt 1D	0.0	0.0	0.0
	kontakt 2D	0.0	0.0	0.0
Zatěžovací stav LC15	zatížení	0.0	0.0	-120.1
	reakce v uzlech	0.0	0.0	-0.0
	reakce na liniích	0.0	0.0	120.1
	kontakt 1D	0.0	0.0	0.0
	kontakt 2D	0.0	0.0	0.0
Zatěžovací stav LC16	zatížení	0.0	0.0	-200.0
	reakce v uzlech	0.0	0.0	0.0
	reakce na liniích	0.0	0.0	200.0
	kontakt 1D	0.0	0.0	0.0
	kontakt 2D	0.0	0.0	0.0
Zatěžovací stav LC17	zatížení	0.0	0.0	-25.0
	reakce v uzlech	0.0	0.0	0.0
	reakce na liniích	0.0	0.0	25.0
	kontakt 1D	0.0	0.0	0.0
	kontakt 2D	0.0	0.0	0.0
Zatěžovací stav LC18	zatížení	0.0	0.0	-119.9
	reakce v uzlech	0.0	0.0	0.0
	reakce na liniích	0.0	0.0	119.9
	kontakt 1D	0.0	0.0	0.0
	kontakt 2D	0.0	0.0	0.0
Zatěžovací stav LC19	zatížení	0.0	0.0	-200.0
	reakce v uzlech	0.0	0.0	0.0
	reakce na liniích	0.0	0.0	200.0
	kontakt 1D	0.0	0.0	0.0
	kontakt 2D	0.0	0.0	0.0
Zatěžovací stav LC20	zatížení	0.0	0.0	-200.0
	reakce v uzlech	0.0	0.0	-0.0
	reakce na liniích	0.0	0.0	200.0
	kontakt 1D	0.0	0.0	0.0
	kontakt 2D	0.0	0.0	0.0
Zatěžovací stav LC21	zatížení	0.0	0.0	-200.0
	reakce v uzlech	0.0	0.0	0.0
	reakce na liniích	0.0	0.0	200.0
	kontakt 1D	0.0	0.0	0.0
	kontakt 2D	0.0	0.0	0.0
Zatěžovací stav LC22	zatížení	0.0	0.0	-200.0
	reakce v uzlech	0.0	0.0	0.0
	reakce na liniích	0.0	0.0	200.0
	kontakt 1D	0.0	0.0	0.0
	kontakt 2D	0.0	0.0	0.0
Zatěžovací stav LC23	zatížení	0.0	0.0	-200.0
	reakce v uzlech	0.0	0.0	-0.0
	reakce na liniích	0.0	0.0	200.0
	kontakt 1D	0.0	0.0	0.0
	kontakt 2D	0.0	0.0	0.0
Zatěžovací stav LC24	zatížení	0.0	0.0	-25.0
	reakce v uzlech	0.0	0.0	0.0
	reakce na liniích	0.0	0.0	25.0
	kontakt 1D	0.0	0.0	0.0
	kontakt 2D	0.0	0.0	0.0
Zatěžovací stav LC25	zatížení	0.0	0.0	-25.0
	reakce v uzlech	0.0	0.0	0.0
	reakce na liniích	0.0	0.0	25.0
	kontakt 1D	0.0	0.0	0.0
	kontakt 2D	0.0	0.0	0.0
Zatěžovací stav LC26	zatížení	0.0	0.0	-0.8
	reakce v uzlech	0.0	0.0	0.0
	reakce na liniích	0.0	0.0	0.8
	kontakt 1D	0.0	0.0	0.0

	[kN]	X	Y	Z
	kontakt 2D	0.0	0.0	0.0
Zatěžovací stav LC27	zatížení	0.0	0.0	-0.8
	reakce v uzlech	0.0	0.0	0.0
	reakce na liniích	0.0	0.0	0.8
	kontakt 1D	0.0	0.0	0.0
	kontakt 2D	0.0	0.0	0.0
Zatěžovací stav LC28	zatížení	0.0	0.0	-0.6
	reakce v uzlech	0.0	0.0	0.0
	reakce na liniích	0.0	0.0	0.6
	kontakt 1D	0.0	0.0	0.0
	kontakt 2D	0.0	0.0	0.0
Zatěžovací stav LC29	zatížení	0.0	0.0	-0.6
	reakce v uzlech	0.0	0.0	0.0
	reakce na liniích	0.0	0.0	0.6
	kontakt 1D	0.0	0.0	0.0
	kontakt 2D	0.0	0.0	0.0
Zatěžovací stav LC30	zatížení	0.0	0.0	-113.5
	reakce v uzlech	0.0	0.0	-0.0
	reakce na liniích	0.0	0.0	113.5
	kontakt 1D	0.0	0.0	0.0
	kontakt 2D	0.0	0.0	0.0
Zatěžovací stav LC31	zatížení	0.0	0.0	-700.0
	reakce v uzlech	0.0	0.0	0.0
	reakce na liniích	0.0	0.0	700.0
	kontakt 1D	0.0	0.0	0.0
	kontakt 2D	0.0	0.0	0.0
Zatěžovací stav LC32	zatížení	0.0	0.0	-700.0
	reakce v uzlech	0.0	0.0	-0.0
	reakce na liniích	0.0	0.0	700.0
	kontakt 1D	0.0	0.0	0.0
	kontakt 2D	0.0	0.0	0.0
Zatěžovací stav LC33	zatížení	0.0	0.0	-700.0
	reakce v uzlech	0.0	0.0	0.0
	reakce na liniích	0.0	0.0	700.0
	kontakt 1D	0.0	0.0	0.0
	kontakt 2D	0.0	0.0	0.0
Zatěžovací stav LC34	zatížení	0.0	0.0	-700.0
	reakce v uzlech	0.0	0.0	-0.0
	reakce na liniích	0.0	0.0	700.0
	kontakt 1D	0.0	0.0	0.0
	kontakt 2D	0.0	0.0	0.0
Zatěžovací stav LC35	zatížení	0.0	0.0	-700.0
	reakce v uzlech	0.0	0.0	-0.0
	reakce na liniích	0.0	0.0	700.0
	kontakt 1D	0.0	0.0	0.0
	kontakt 2D	0.0	0.0	0.0
Zatěžovací stav LC36	zatížení	0.0	0.0	-700.0
	reakce v uzlech	0.0	0.0	0.0
	reakce na liniích	0.0	0.0	700.0
	kontakt 1D	0.0	0.0	0.0
	kontakt 2D	0.0	0.0	0.0
Zatěžovací stav LC37	zatížení	0.0	0.0	-113.2
	reakce v uzlech	0.0	0.0	-0.0
	reakce na liniích	0.0	0.0	113.2
	kontakt 1D	0.0	0.0	0.0
	kontakt 2D	0.0	0.0	0.0

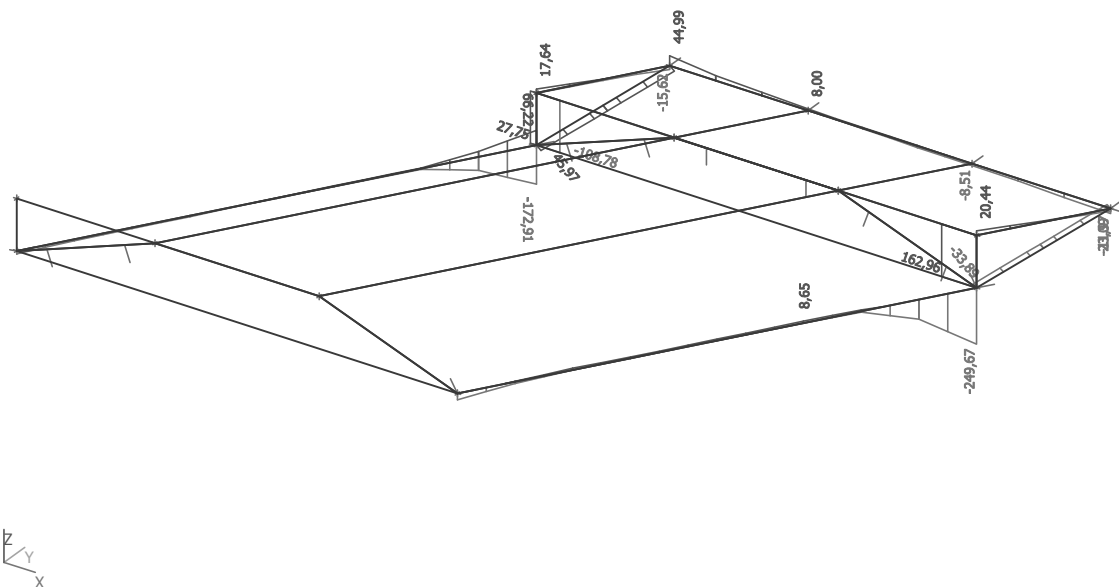
### 35. Vnitřní síly na prutu; $M_y$



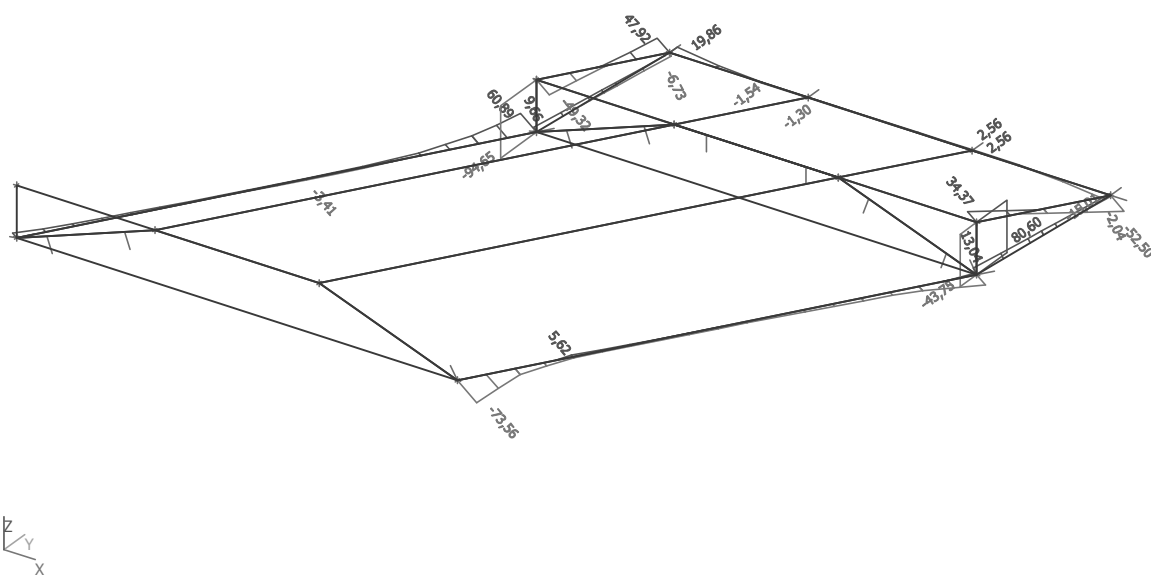
### 36. Vnitřní síly na prutu; $M_x$



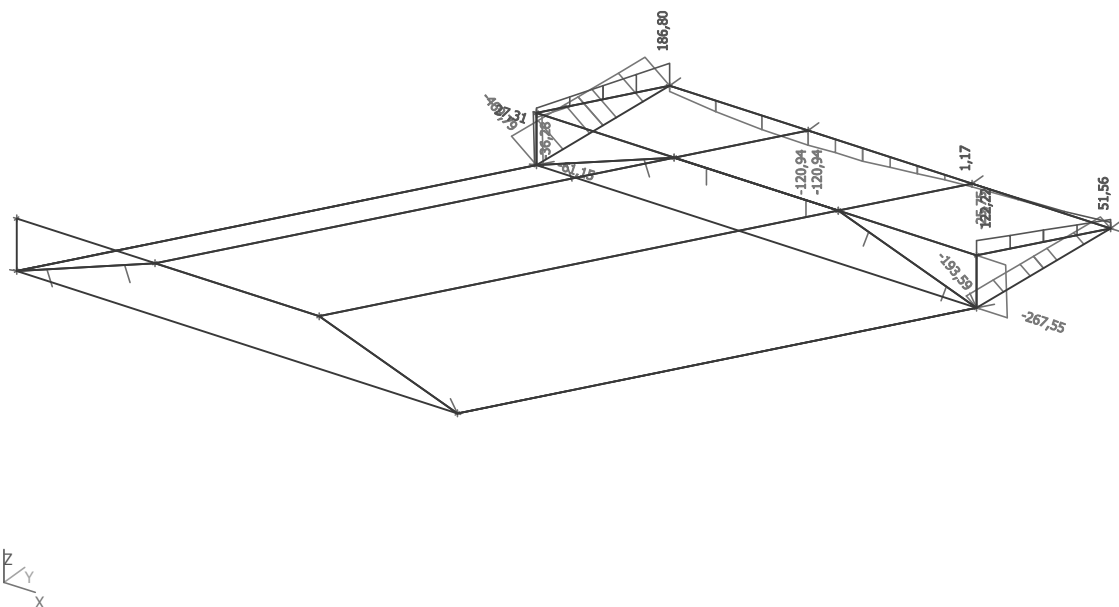
### 37. Vnitřní síly na prutu; Vz



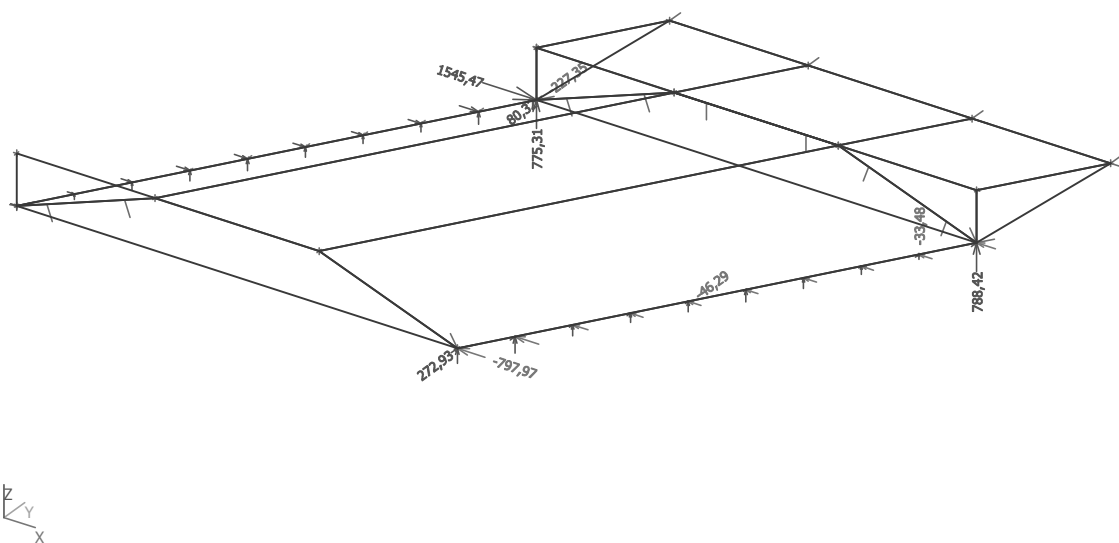
### 38. Vnitřní síly na prutu; Vy



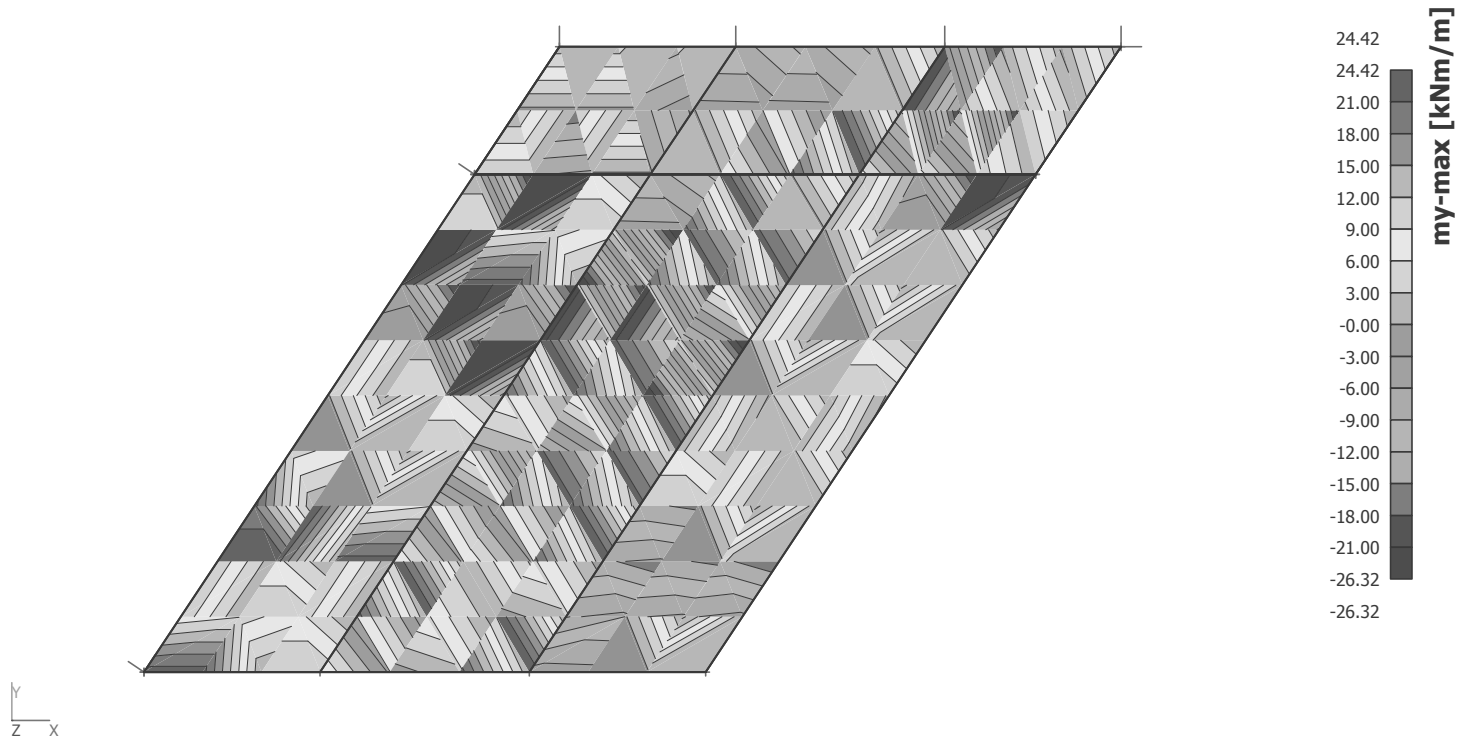
### 39. Vnitřní síly na prutu; N



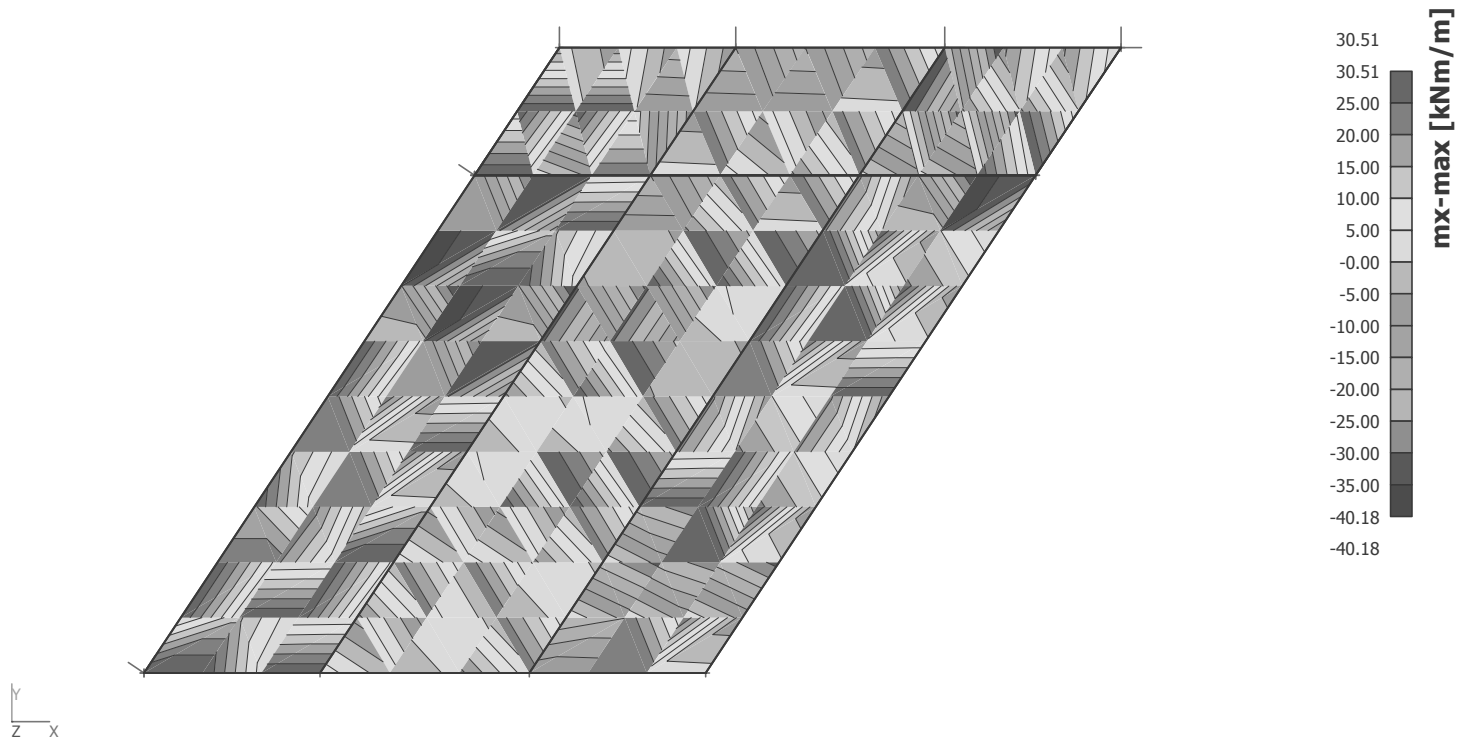
### 40. Reakce; Rx, Ry, Rz



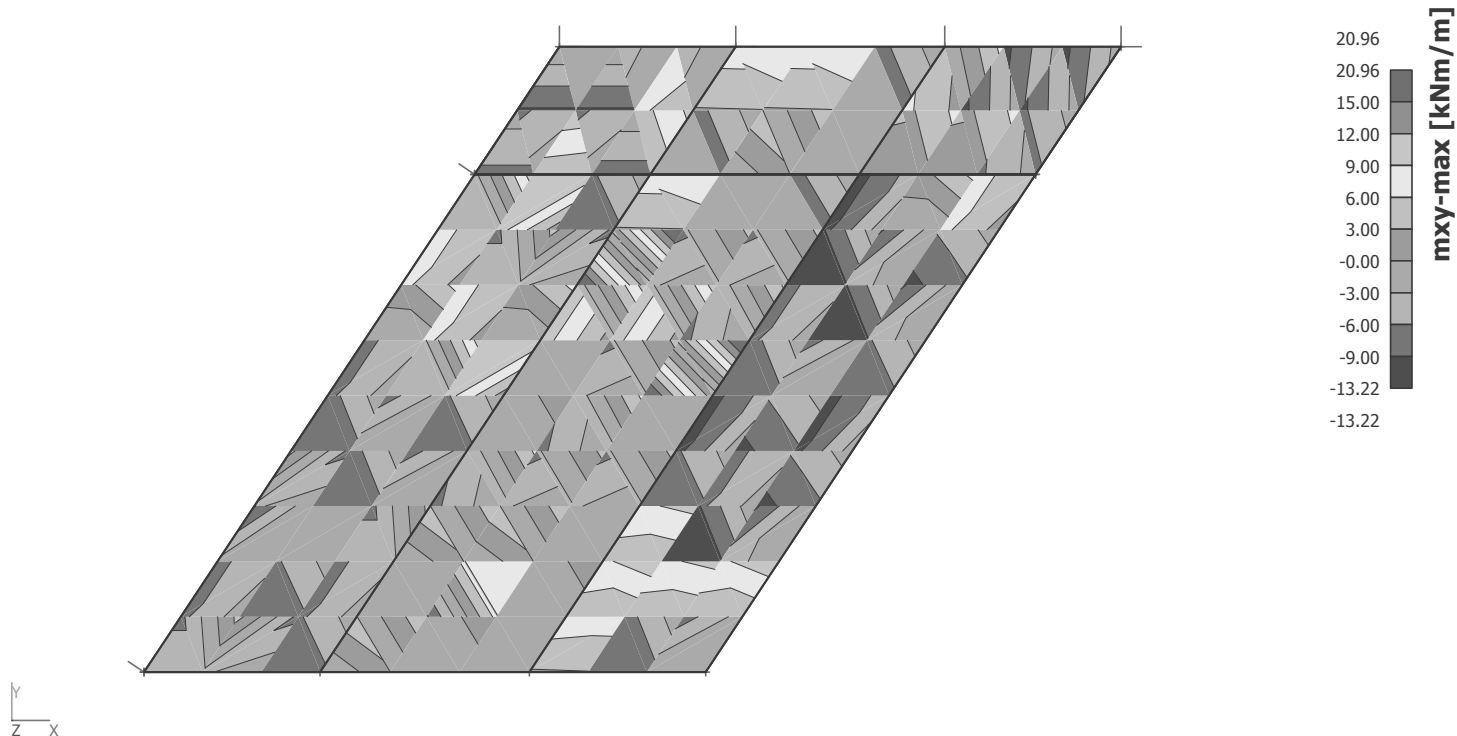
## 41. Plochy - Vnitřní síly; my



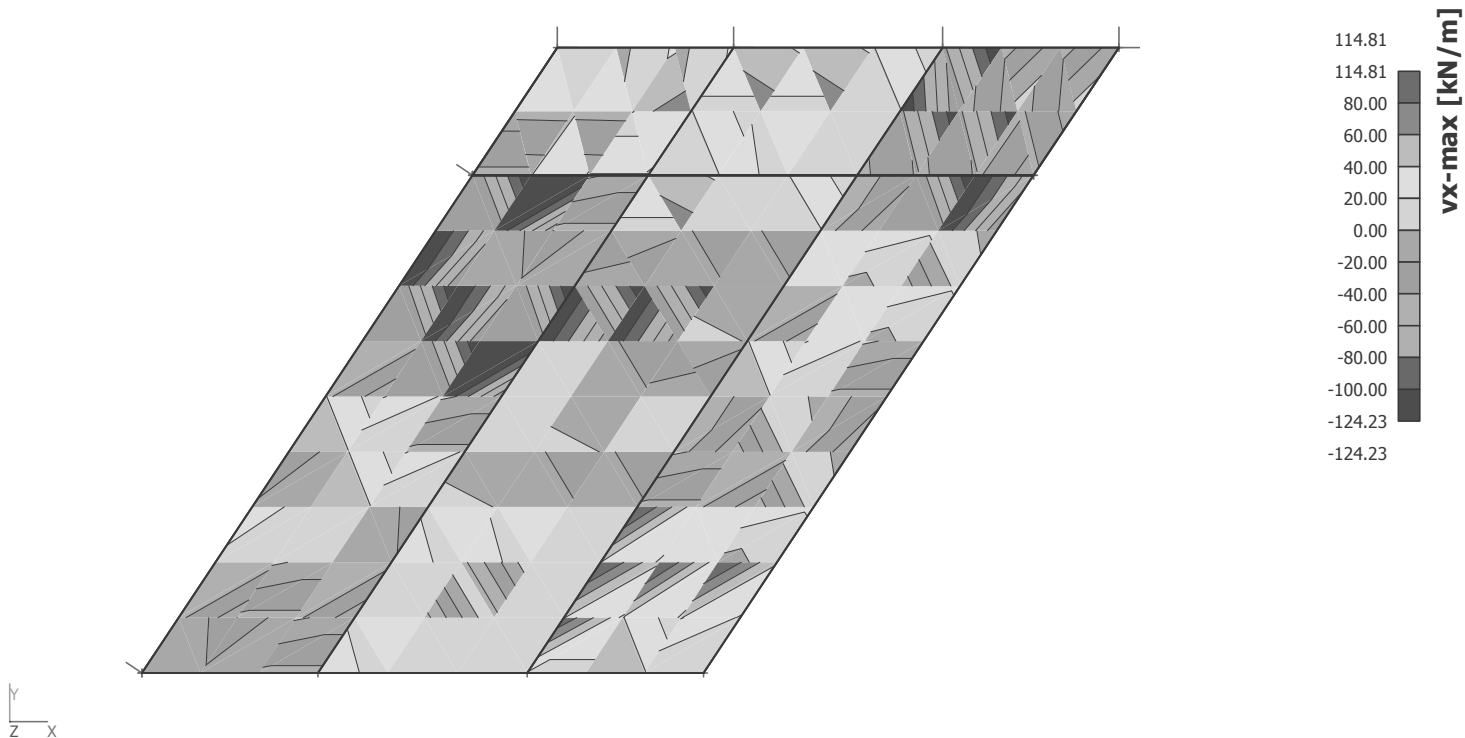
## 42. Plochy - Vnitřní síly; mx



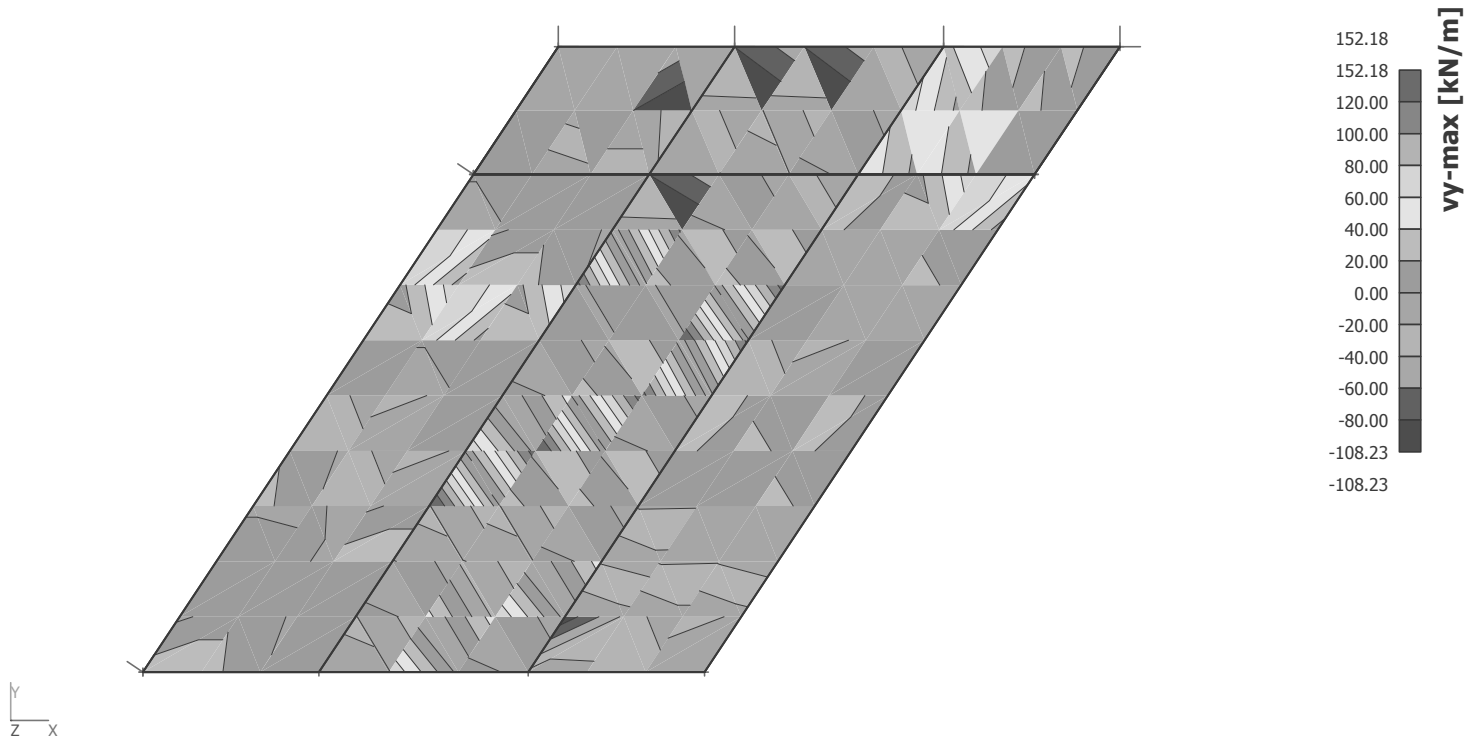
### 43. Plochy - Vnitřní síly; mxy



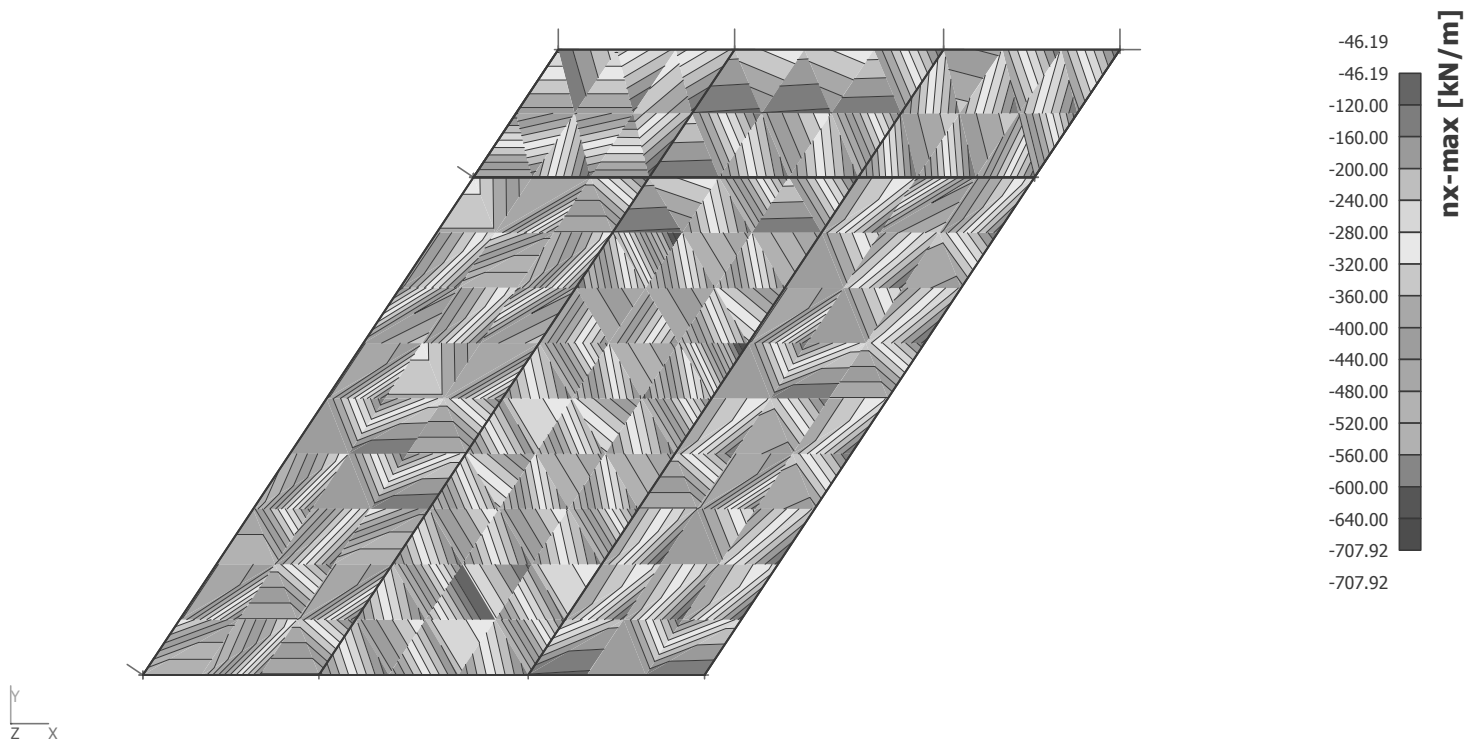
### 44. Plochy - Vnitřní síly; vx



## 45. Plochy - Vnitřní síly; $v_y$

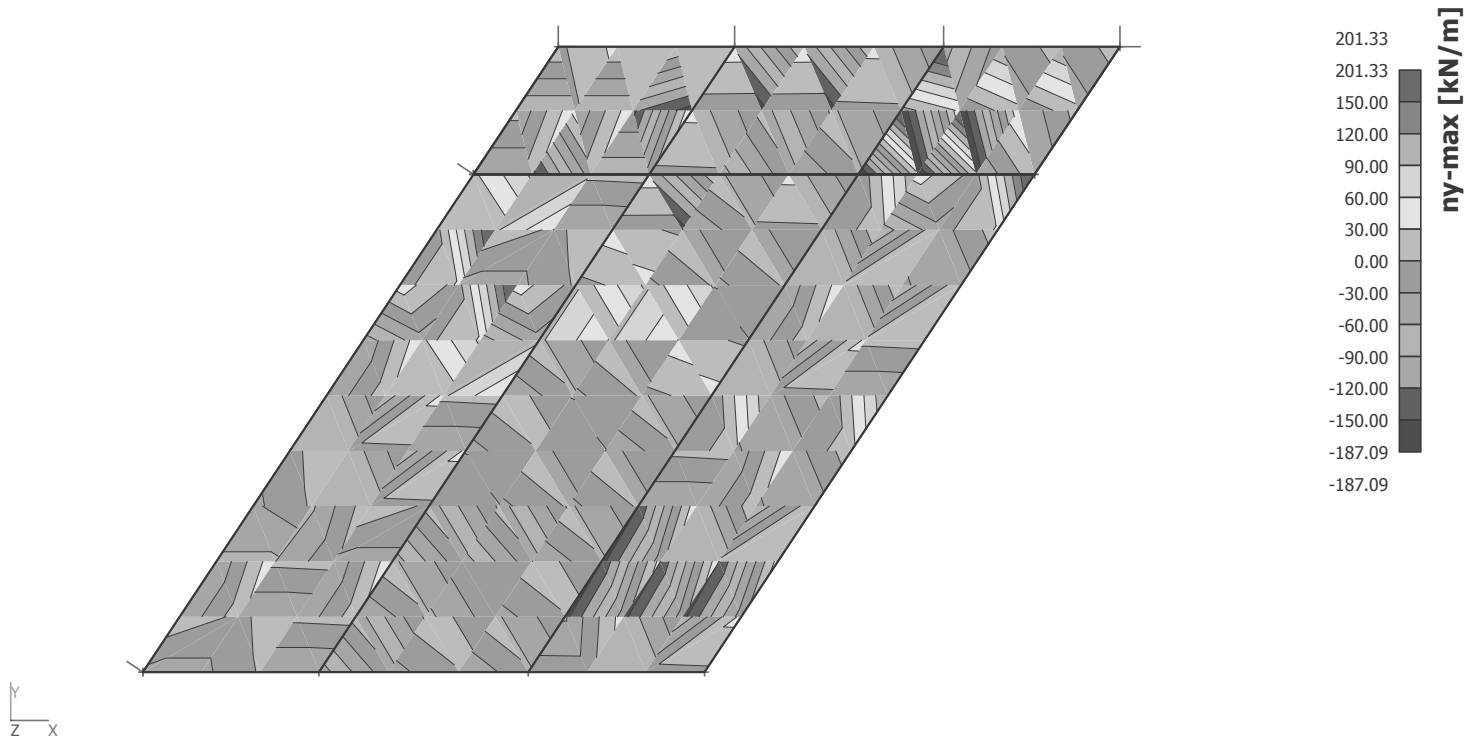


## 46. Plochy - Vnitřní síly; $n_x$

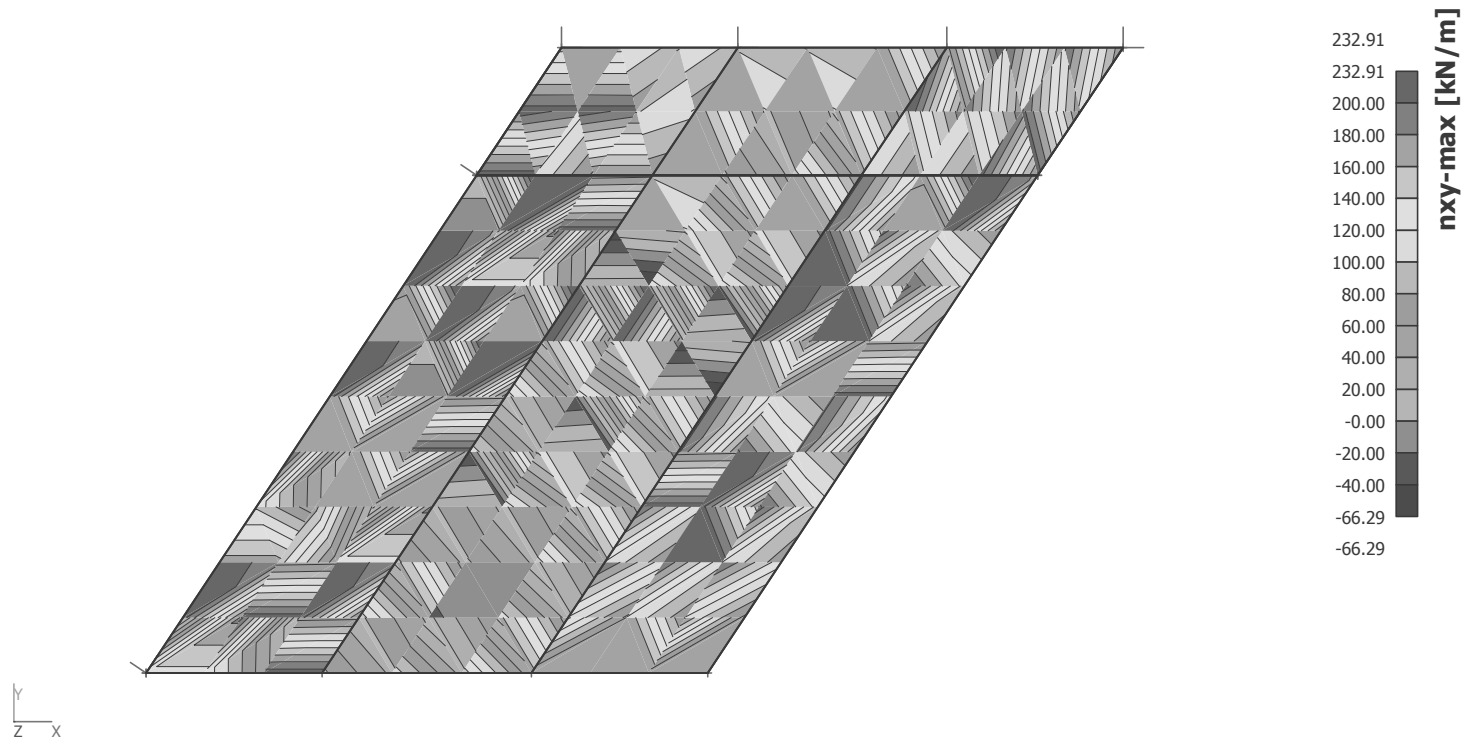




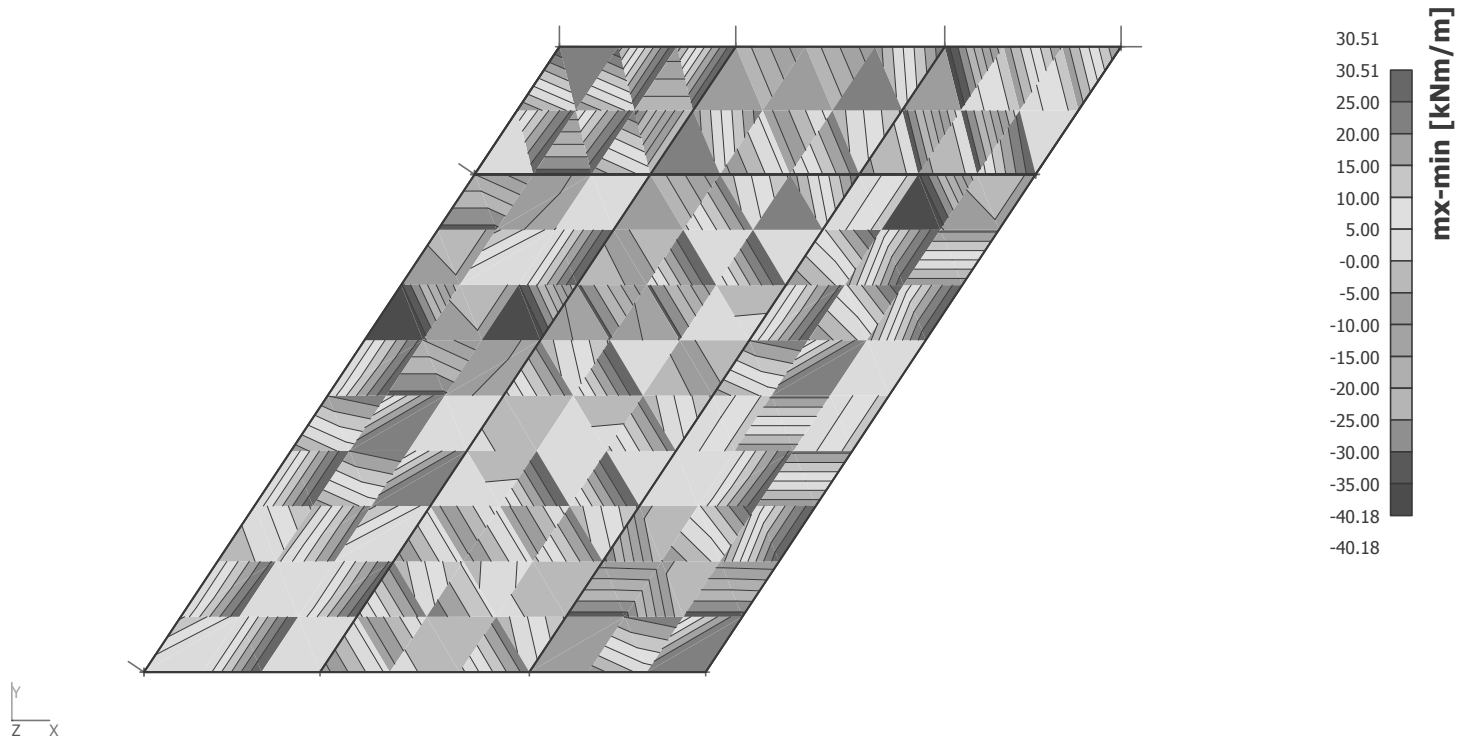
## 47. Plochy - Vnitřní síly; $n_y$



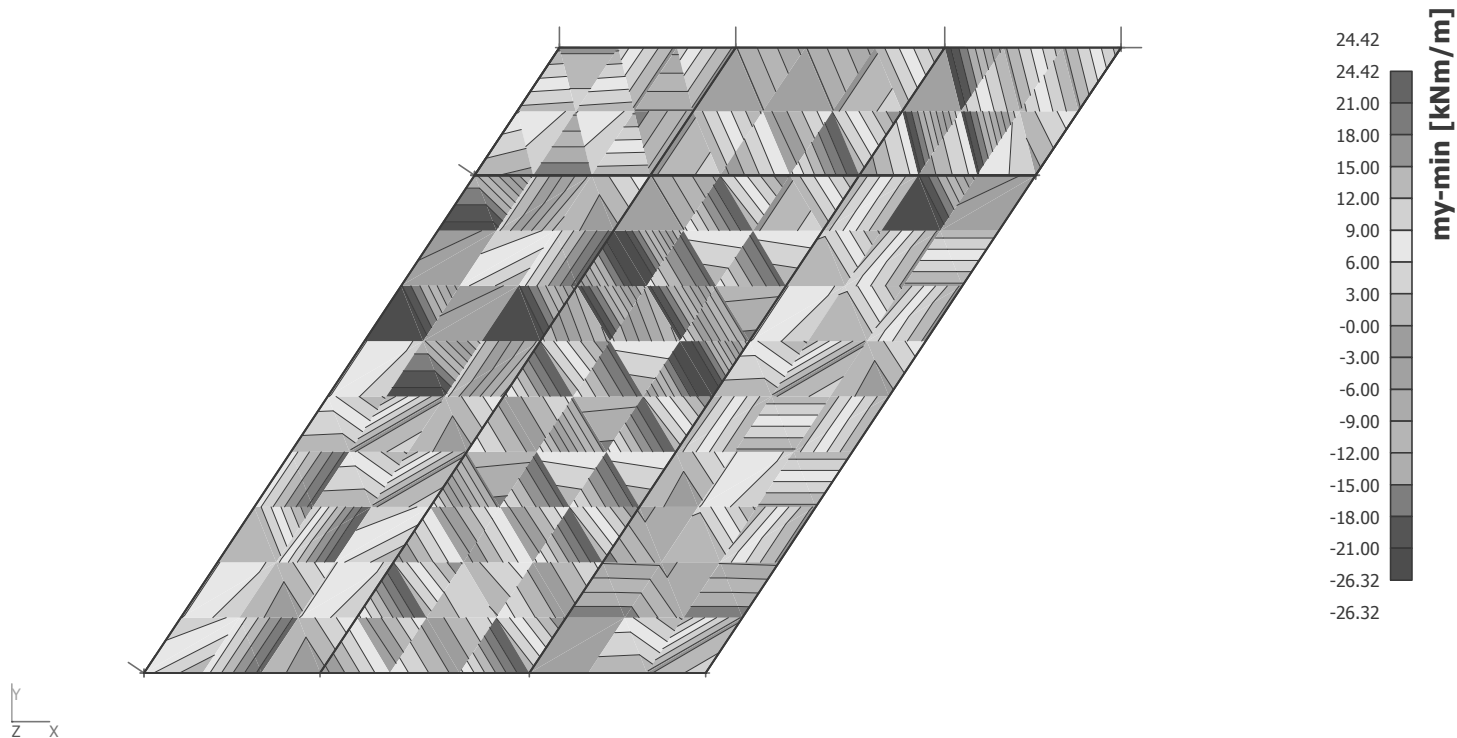
## 48. Plochy - Vnitřní síly; $n_{xy}$



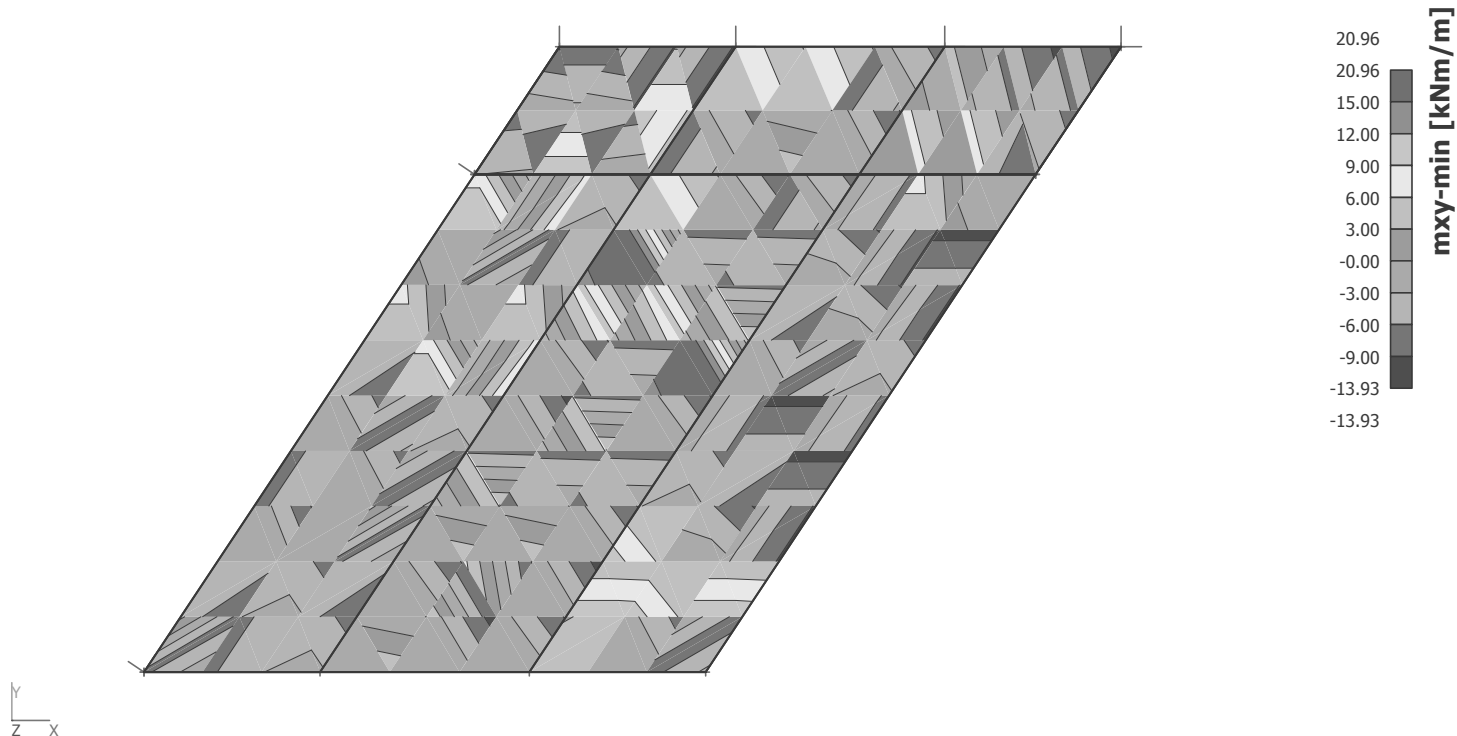
## 49. Plochy - Vnitřní síly; $m_x$



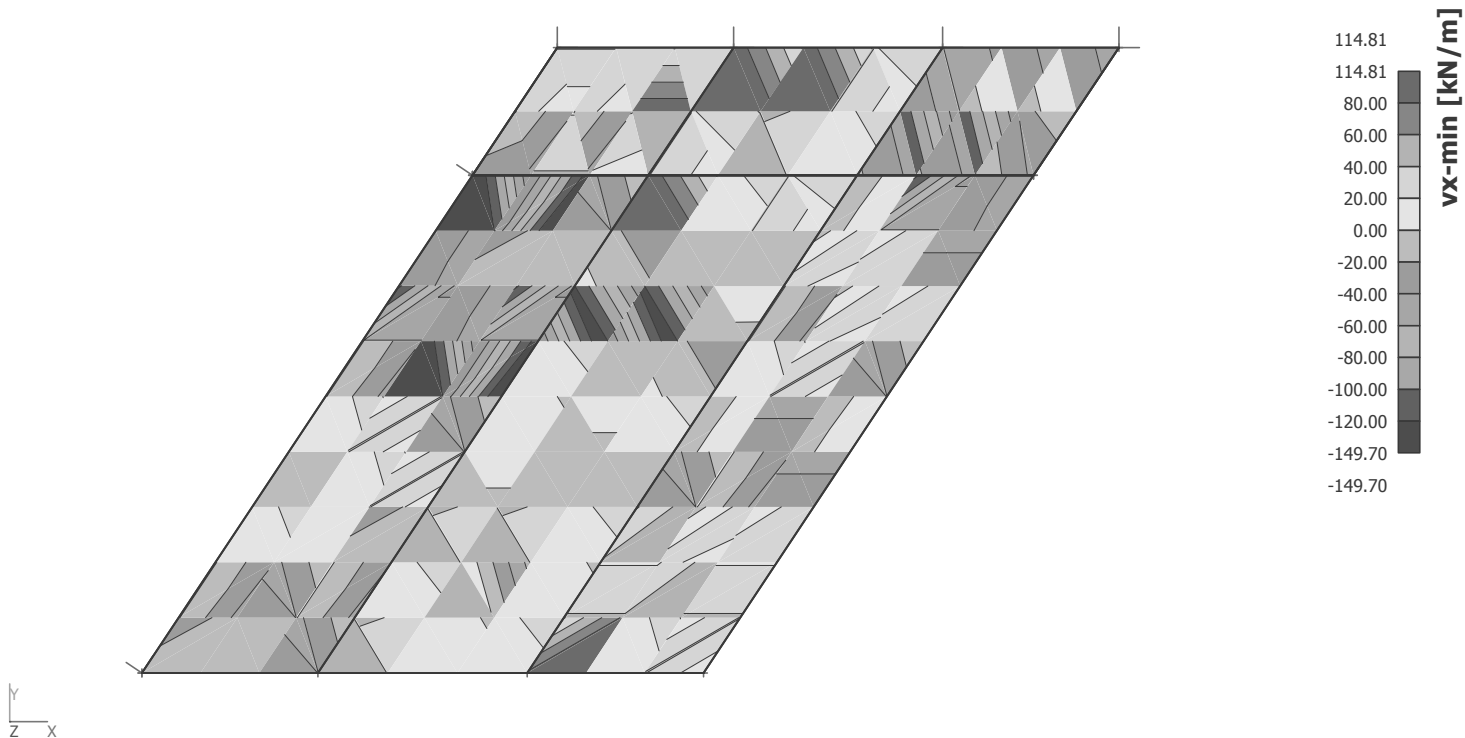
## 50. Plochy - Vnitřní síly; $m_y$



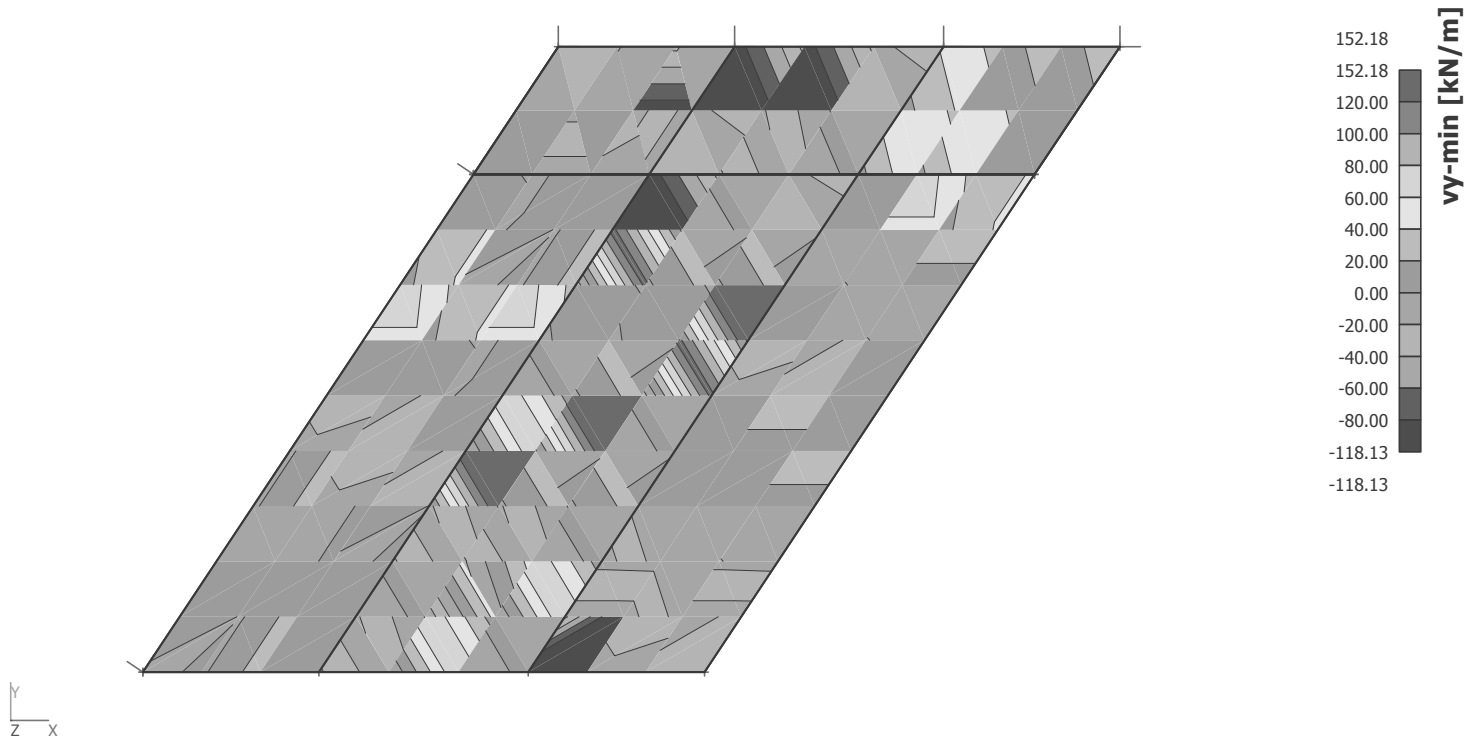
## 51. Plochy - Vnitřní síly; mxy



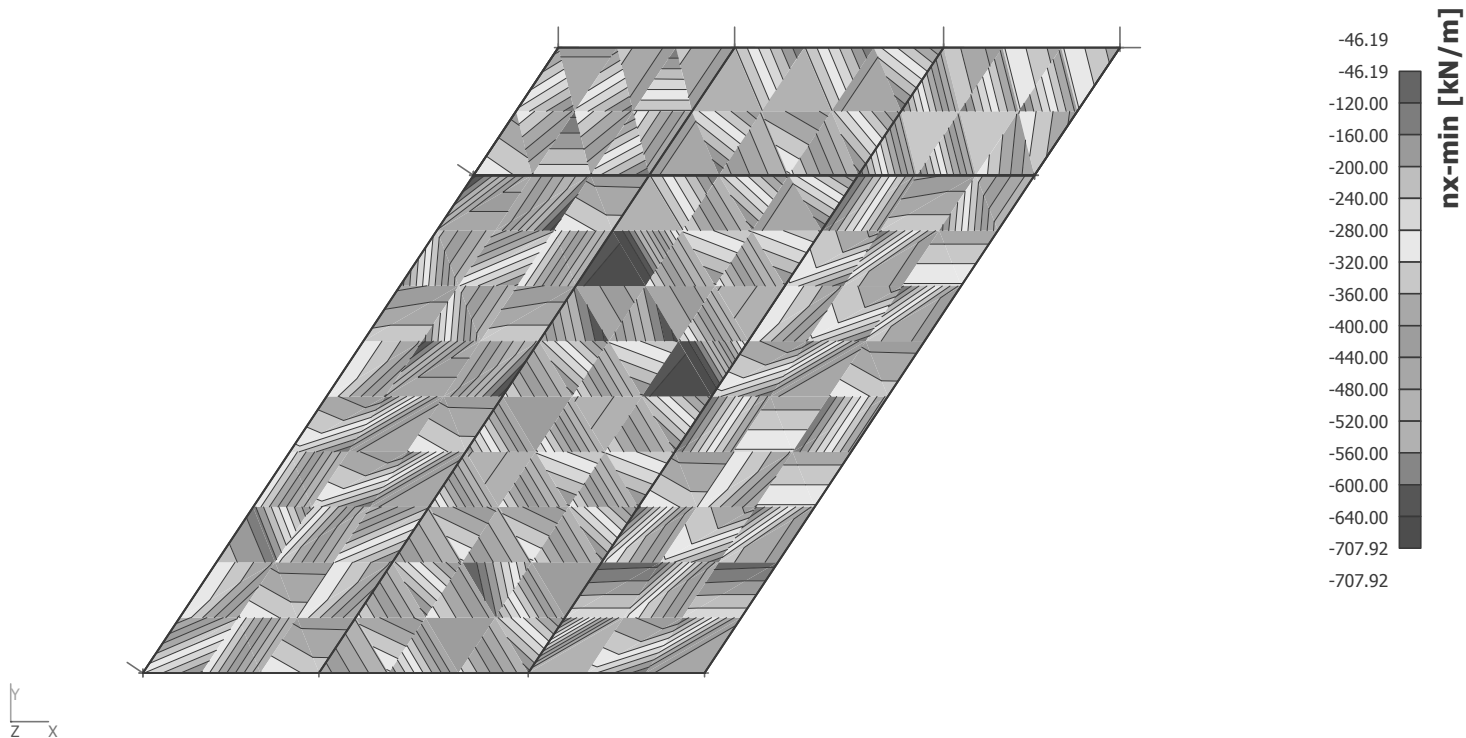
## 52. Plochy - Vnitřní síly; vx



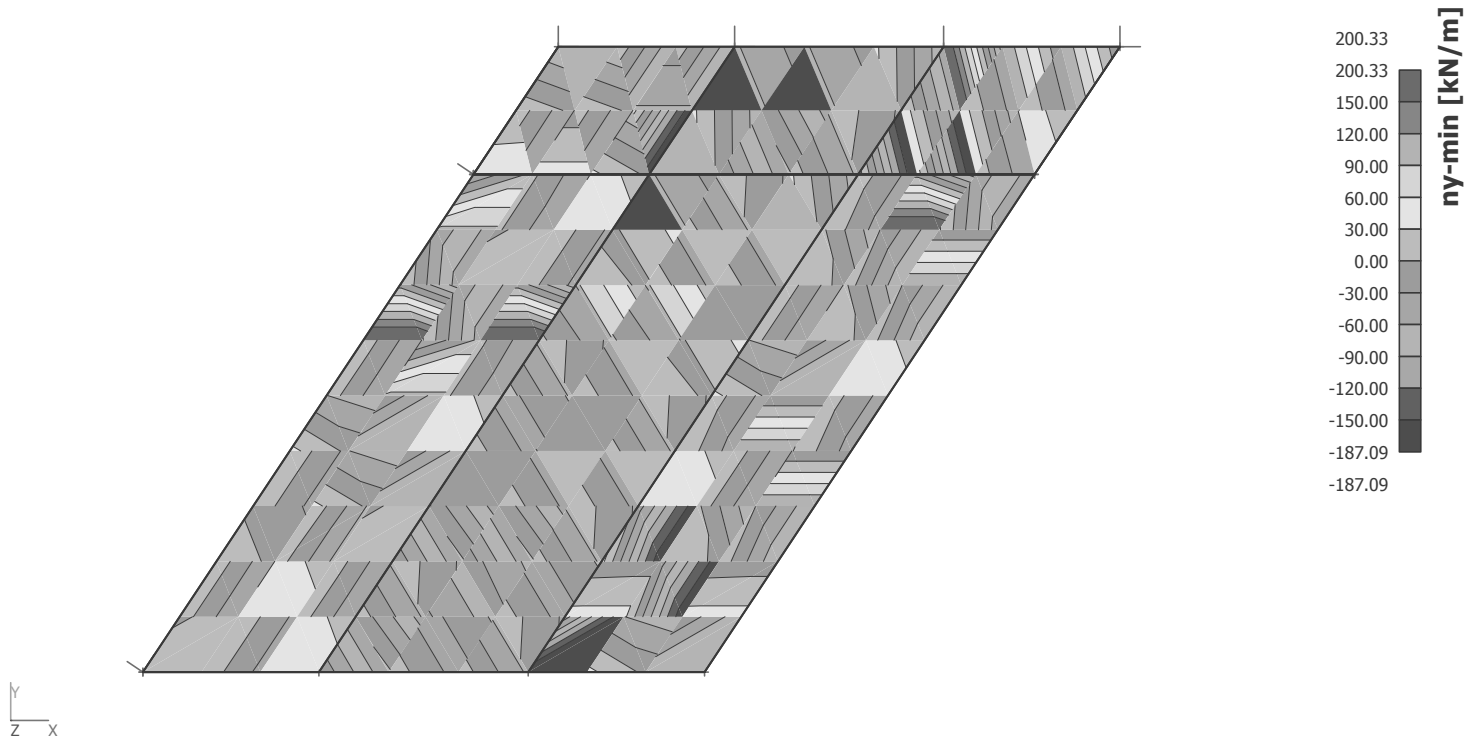
### 53. Plochy - Vnitřní síly; $v_y$



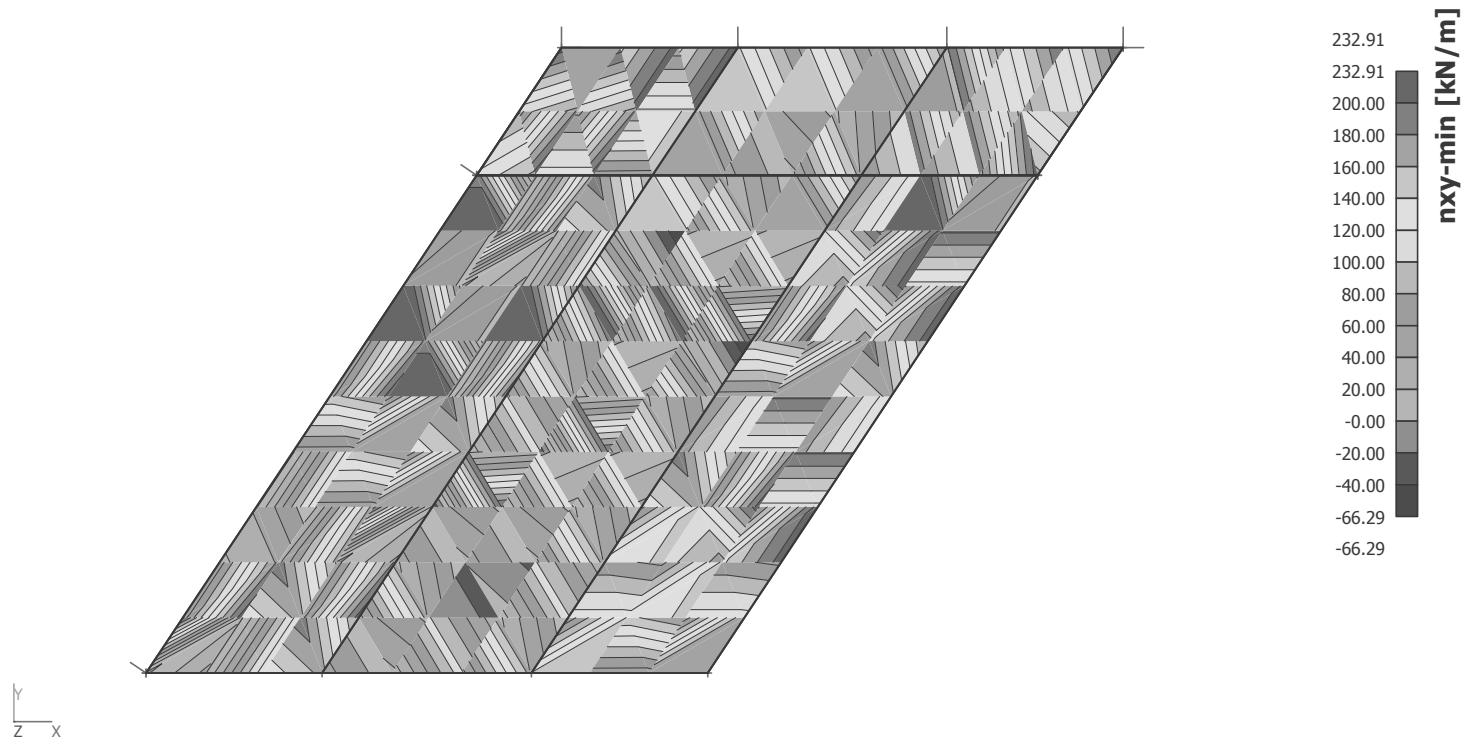
### 54. Plochy - Vnitřní síly; $n_x$



## 55. Plochy - Vnitřní síly; $n_y$



## 56. Plochy - Vnitřní síly; $n_{xy}$



## 57. Vnitřní síly na prutu

Lineární výpočet, Extrém : Ne, Systém : LSS

Výběr : Vše

Třída : Vše ZS

Prvek	css	dx [m]	Stav	N [kN]	Vy [kN]	Vz [kN]	Mx [kNm]	My [kNm]	Mz [kNm]
B1	CS8 - T g	0,000	LC1	0,00	1,33	-3,75	0,86	1,14	-0,77
B1	CS8 - T g	0,000	LC2	0,00	2,24	-1,68	-3,96	-0,14	-0,94
B1	CS8 - T g	0,000	LC3	0,00	0,35	-0,06	-0,74	-0,20	-0,08
B1	CS8 - T g	0,000	LC4	0,00	2,29	-1,07	0,78	0,96	-1,90
B1	CS8 - T g	0,000	LC5	0,00	-0,39	0,04	0,18	-0,06	0,38
B1	CS8 - T g	0,000	LC6	0,00	1,48	-1,27	-1,07	0,47	-0,80
B1	CS8 - T g	0,000	LC7	0,00	1,46	-1,98	0,17	1,14	-0,22
B1	CS8 - T g	0,000	LC8	0,00	3,99	-0,90	0,98	1,53	-4,16
B1	CS8 - T g	0,000	LC9	0,00	3,63	-1,49	0,74	1,28	-2,97
B1	CS8 - T g	0,000	LC10	0,00	1,80	-2,36	-0,90	0,90	0,30
B1	CS8 - T g	0,000	LC11	0,00	5,59	-0,75	0,35	1,49	-5,60
B1	CS8 - T g	0,000	LC12	0,00	-0,32	-0,04	0,29	0,05	0,28
B1	CS8 - T g	0,000	LC13	0,00	-0,05	-0,09	0,20	0,11	0,00
B1	CS8 - T g	0,000	LC15	0,00	0,14	-0,06	-0,23	-0,03	-0,05
B1	CS8 - T g	0,000	LC16	0,00	0,59	-0,26	0,15	0,22	-0,49
B1	CS8 - T g	0,000	LC17	0,00	-0,05	0,01	0,02	-0,01	0,05
B1	CS8 - T g	0,000	LC18	0,00	0,40	-0,34	-0,31	0,12	-0,21
B1	CS8 - T g	0,000	LC19	0,00	0,33	-0,43	-0,07	0,20	0,01
B1	CS8 - T g	0,000	LC20	0,00	0,96	-0,16	0,13	0,30	-0,98
B1	CS8 - T g	0,000	LC21	0,00	0,59	-0,26	0,15	0,22	-0,49
B1	CS8 - T g	0,000	LC22	0,00	0,33	-0,43	-0,07	0,20	0,01
B1	CS8 - T g	0,000	LC23	0,00	0,96	-0,16	0,13	0,30	-0,98
B1	CS8 - T g	0,000	LC24	0,00	-0,04	0,00	0,04	0,01	0,03
B1	CS8 - T g	0,000	LC25	0,00	-0,01	-0,01	0,02	0,01	0,00
B1	CS8 - T g	0,000	LC26	0,00	0,00	0,00	0,00	0,00	0,00
B1	CS8 - T g	0,000	LC27	0,00	0,00	0,00	0,00	0,00	0,00
B1	CS8 - T g	0,000	LC28	0,00	0,00	0,00	0,00	0,00	0,00
B1	CS8 - T g	0,000	LC29	0,00	0,00	0,00	0,00	0,00	0,00
B1	CS8 - T g	0,000	LC30	0,00	0,10	-0,01	-0,22	-0,06	-0,02
B1	CS8 - T g	0,000	LC31	0,00	1,60	-0,75	0,55	0,67	-1,33
B1	CS8 - T g	0,000	LC32	0,00	1,02	-1,39	0,12	0,80	-0,16
B1	CS8 - T g	0,000	LC33	0,00	2,80	-0,63	0,69	1,07	-2,91
B1	CS8 - T g	0,000	LC34	0,00	2,54	-1,05	0,52	0,90	-2,08
B1	CS8 - T g	0,000	LC35	0,00	1,26	-1,65	-0,63	0,63	0,21
B1	CS8 - T g	0,000	LC36	0,00	3,91	-0,53	0,25	1,05	-3,92
B1	CS8 - T g	0,000	LC37	0,00	0,44	-0,38	-0,32	0,14	-0,24
B1	CS8 - T g	0,486	LC1	0,00	0,91	-2,59	1,92	-0,07	-0,38
B1	CS8 - T g	0,486	LC2	0,00	1,69	-1,62	-3,74	-0,07	-0,47
B1	CS8 - T g	0,486	LC3	0,00	0,30	-0,13	-0,99	-0,10	-0,04
B1	CS8 - T g	0,486	LC4	0,00	1,61	-0,73	2,29	0,49	-0,95
B1	CS8 - T g	0,486	LC5	0,00	-0,21	0,01	0,16	-0,03	0,19
B1	CS8 - T g	0,486	LC6	0,00	1,09	-1,04	-0,28	0,25	-0,40
B1	CS8 - T g	0,486	LC7	0,00	1,59	-1,54	1,45	0,59	-0,11
B1	CS8 - T g	0,486	LC8	0,00	2,25	-0,38	4,20	0,78	-2,07
B1	CS8 - T g	0,486	LC9	0,00	2,53	-1,03	2,65	0,66	-1,48
B1	CS8 - T g	0,486	LC10	0,00	2,20	-1,99	-0,49	0,46	0,15
B1	CS8 - T g	0,486	LC11	0,00	3,18	-0,26	3,71	0,77	-2,79
B1	CS8 - T g	0,486	LC12	0,00	-0,18	-0,03	0,45	0,02	0,14
B1	CS8 - T g	0,486	LC13	0,00	-0,04	-0,04	0,41	0,06	0,00
B1	CS8 - T g	0,486	LC15	0,00	0,12	-0,07	-0,27	-0,02	-0,02
B1	CS8 - T g	0,486	LC16	0,00	0,41	-0,18	0,49	0,12	-0,24
B1	CS8 - T g	0,486	LC17	0,00	-0,03	0,00	0,02	0,00	0,02
B1	CS8 - T g	0,486	LC18	0,00	0,30	-0,28	-0,10	0,06	-0,11
B1	CS8 - T g	0,486	LC19	0,00	0,38	-0,35	0,10	0,11	0,00
B1	CS8 - T g	0,486	LC20	0,00	0,54	-0,06	0,79	0,16	-0,49
B1	CS8 - T g	0,486	LC21	0,00	0,41	-0,18	0,49	0,12	-0,24
B1	CS8 - T g	0,486	LC22	0,00	0,38	-0,35	0,10	0,11	0,00
B1	CS8 - T g	0,486	LC23	0,00	0,54	-0,06	0,79	0,16	-0,49
B1	CS8 - T g	0,486	LC24	0,00	-0,02	0,00	0,06	0,00	0,02
B1	CS8 - T g	0,486	LC25	0,00	0,00	-0,01	0,05	0,01	0,00

Prvek	css	dx [m]	Stav	N [kN]	Vy [kN]	Vz [kN]	Mx [kNm]	My [kNm]	Mz [kNm]
B1	CS8 - T g	0,486	LC26	0,00	0,00	0,00	0,00	0,00	0,00
B1	CS8 - T g	0,486	LC27	0,00	0,00	0,00	-0,01	0,00	0,00
B1	CS8 - T g	0,486	LC28	0,00	0,00	0,00	0,00	0,00	0,00
B1	CS8 - T g	0,486	LC29	0,00	0,00	0,00	0,00	0,00	0,00
B1	CS8 - T g	0,486	LC30	0,00	0,09	-0,04	-0,30	-0,03	-0,01
B1	CS8 - T g	0,486	LC31	0,00	1,13	-0,51	1,60	0,34	-0,66
B1	CS8 - T g	0,486	LC32	0,00	1,11	-1,08	1,02	0,41	-0,08
B1	CS8 - T g	0,486	LC33	0,00	1,58	-0,27	2,94	0,55	-1,45
B1	CS8 - T g	0,486	LC34	0,00	1,77	-0,72	1,86	0,46	-1,04
B1	CS8 - T g	0,486	LC35	0,00	1,54	-1,40	-0,34	0,32	0,10
B1	CS8 - T g	0,486	LC36	0,00	2,23	-0,18	2,60	0,54	-1,95
B1	CS8 - T g	0,486	LC37	0,00	0,33	-0,31	-0,08	0,07	-0,12
B1	CS8 - T g	0,971	LC1	0,00	0,48	-1,42	2,98	-1,28	0,00
B1	CS8 - T g	0,971	LC2	0,00	1,15	-1,57	-3,52	0,00	0,01
B1	CS8 - T g	0,971	LC3	0,00	0,25	-0,20	-1,25	-0,01	0,00
B1	CS8 - T g	0,971	LC4	0,00	0,94	-0,39	3,79	0,03	0,01
B1	CS8 - T g	0,971	LC5	0,00	-0,03	-0,01	0,14	0,00	0,00
B1	CS8 - T g	0,971	LC6	0,00	0,71	-0,81	0,51	0,02	0,00
B1	CS8 - T g	0,971	LC7	0,00	1,72	-1,11	2,73	0,03	0,00
B1	CS8 - T g	0,971	LC8	0,00	0,51	0,14	7,41	0,04	0,02
B1	CS8 - T g	0,971	LC9	0,00	1,44	-0,56	4,56	0,04	0,01
B1	CS8 - T g	0,971	LC10	0,00	2,59	-1,63	-0,07	0,03	0,00
B1	CS8 - T g	0,971	LC11	0,00	0,77	0,23	7,06	0,04	0,03
B1	CS8 - T g	0,971	LC12	0,00	-0,04	-0,01	0,61	0,00	0,00
B1	CS8 - T g	0,971	LC13	0,00	-0,03	0,00	0,62	0,00	0,00
B1	CS8 - T g	0,971	LC15	0,00	0,09	-0,08	-0,31	0,00	0,00
B1	CS8 - T g	0,971	LC16	0,00	0,24	-0,09	0,84	0,01	0,00
B1	CS8 - T g	0,971	LC17	0,00	0,00	0,00	0,02	0,00	0,00
B1	CS8 - T g	0,971	LC18	0,00	0,20	-0,22	0,10	0,00	0,00
B1	CS8 - T g	0,971	LC19	0,00	0,43	-0,27	0,27	0,01	0,00
B1	CS8 - T g	0,971	LC20	0,00	0,13	0,04	1,45	0,01	0,00
B1	CS8 - T g	0,971	LC21	0,00	0,24	-0,09	0,84	0,01	0,00
B1	CS8 - T g	0,971	LC22	0,00	0,43	-0,27	0,27	0,01	0,00
B1	CS8 - T g	0,971	LC23	0,00	0,13	0,04	1,45	0,01	0,00
B1	CS8 - T g	0,971	LC24	0,00	0,00	0,00	0,08	0,00	0,00
B1	CS8 - T g	0,971	LC25	0,00	0,00	0,00	0,08	0,00	0,00
B1	CS8 - T g	0,971	LC26	0,00	0,00	0,00	0,00	0,00	0,00
B1	CS8 - T g	0,971	LC27	0,00	0,00	0,00	-0,01	0,00	0,00
B1	CS8 - T g	0,971	LC28	0,00	0,00	0,00	0,00	0,00	0,00
B1	CS8 - T g	0,971	LC29	0,00	0,00	0,00	-0,01	0,00	0,00
B1	CS8 - T g	0,971	LC30	0,00	0,07	-0,06	-0,38	0,00	0,00
B1	CS8 - T g	0,971	LC31	0,00	0,66	-0,27	2,65	0,02	0,01
B1	CS8 - T g	0,971	LC32	0,00	1,21	-0,77	1,91	0,02	0,00
B1	CS8 - T g	0,971	LC33	0,00	0,36	0,10	5,19	0,03	0,01
B1	CS8 - T g	0,971	LC34	0,00	1,01	-0,39	3,19	0,03	0,01
B1	CS8 - T g	0,971	LC35	0,00	1,81	-1,14	-0,05	0,02	0,00
B1	CS8 - T g	0,971	LC36	0,00	0,54	0,16	4,94	0,03	0,02
B1	CS8 - T g	0,971	LC37	0,00	0,21	-0,24	0,16	0,01	0,00
B1	CS8 - T g	0,971	LC1	0,00	0,48	-1,42	2,98	-1,28	0,00
B1	CS8 - T g	0,971	LC2	0,00	1,15	-1,57	-3,52	0,00	0,01
B1	CS8 - T g	0,971	LC3	0,00	0,25	-0,20	-1,25	-0,01	0,00
B1	CS8 - T g	0,971	LC4	0,00	0,94	-0,39	3,79	0,03	0,01
B1	CS8 - T g	0,971	LC5	0,00	-0,03	-0,01	0,14	0,00	0,00
B1	CS8 - T g	0,971	LC6	0,00	0,71	-0,81	0,51	0,02	0,00
B1	CS8 - T g	0,971	LC7	0,00	1,72	-1,11	2,73	0,03	0,00
B1	CS8 - T g	0,971	LC8	0,00	0,51	0,14	7,41	0,04	0,02
B1	CS8 - T g	0,971	LC9	0,00	1,44	-0,56	4,56	0,04	0,01
B1	CS8 - T g	0,971	LC10	0,00	2,59	-1,63	-0,07	0,03	0,00
B1	CS8 - T g	0,971	LC11	0,00	0,77	0,23	7,06	0,04	0,03
B1	CS8 - T g	0,971	LC12	0,00	-0,04	-0,01	0,61	0,00	0,00
B1	CS8 - T g	0,971	LC13	0,00	-0,03	0,00	0,62	0,00	0,00
B1	CS8 - T g	0,971	LC15	0,00	0,09	-0,08	-0,31	0,00	0,00
B1	CS8 - T g	0,971	LC16	0,00	0,24	-0,09	0,84	0,01	0,00
B1	CS8 - T g	0,971	LC17	0,00	0,00	0,00	0,02	0,00	0,00
B1	CS8 - T g	0,971	LC18	0,00	0,20	-0,22	0,10	0,00	0,00
B1	CS8 - T g	0,971	LC19	0,00	0,43	-0,27	0,27	0,01	0,00

Prvek	css	dx [m]	Stav	N [kN]	Vy [kN]	Vz [kN]	Mx [kNm]	My [kNm]	Mz [kNm]
B1	CS8 - T g	0,971	LC20	0,00	0,13	0,04	1,45	0,01	0,00
B1	CS8 - T g	0,971	LC21	0,00	0,24	-0,09	0,84	0,01	0,00
B1	CS8 - T g	0,971	LC22	0,00	0,43	-0,27	0,27	0,01	0,00
B1	CS8 - T g	0,971	LC23	0,00	0,13	0,04	1,45	0,01	0,00
B1	CS8 - T g	0,971	LC24	0,00	0,00	0,00	0,08	0,00	0,00
B1	CS8 - T g	0,971	LC25	0,00	0,00	0,00	0,08	0,00	0,00
B1	CS8 - T g	0,971	LC26	0,00	0,00	0,00	0,00	0,00	0,00
B1	CS8 - T g	0,971	LC27	0,00	0,00	0,00	-0,01	0,00	0,00
B1	CS8 - T g	0,971	LC28	0,00	0,00	0,00	0,00	0,00	0,00
B1	CS8 - T g	0,971	LC29	0,00	0,00	0,00	-0,01	0,00	0,00
B1	CS8 - T g	0,971	LC30	0,00	0,07	-0,06	-0,38	0,00	0,00
B1	CS8 - T g	0,971	LC31	0,00	0,66	-0,27	2,65	0,02	0,01
B1	CS8 - T g	0,971	LC32	0,00	1,21	-0,77	1,91	0,02	0,00
B1	CS8 - T g	0,971	LC33	0,00	0,36	0,10	5,19	0,03	0,01
B1	CS8 - T g	0,971	LC34	0,00	1,01	-0,39	3,19	0,03	0,01
B1	CS8 - T g	0,971	LC35	0,00	1,81	-1,14	-0,05	0,02	0,00
B1	CS8 - T g	0,971	LC36	0,00	0,54	0,16	4,94	0,03	0,02
B1	CS8 - T g	0,971	LC37	0,00	0,21	-0,24	0,16	0,01	0,00
B1	CS8 - T g	1,457	LC1	0,00	0,24	-0,81	3,97	-1,32	0,00
B1	CS8 - T g	1,457	LC2	0,00	0,82	-1,45	-2,28	0,01	0,00
B1	CS8 - T g	1,457	LC3	0,00	0,22	-0,22	-1,35	0,00	0,00
B1	CS8 - T g	1,457	LC4	0,00	0,80	-0,26	4,83	0,01	0,00
B1	CS8 - T g	1,457	LC5	0,00	0,04	-0,03	0,10	0,00	0,00
B1	CS8 - T g	1,457	LC6	0,00	0,50	-0,66	1,64	0,01	0,00
B1	CS8 - T g	1,457	LC7	0,00	1,76	-1,00	4,35	0,01	0,00
B1	CS8 - T g	1,457	LC8	0,00	-0,08	0,30	10,06	0,01	0,01
B1	CS8 - T g	1,457	LC9	0,00	1,18	-0,37	5,86	0,01	0,00
B1	CS8 - T g	1,457	LC10	0,00	2,66	-1,57	1,10	0,00	0,00
B1	CS8 - T g	1,457	LC11	0,00	-0,11	0,38	9,80	0,01	0,01
B1	CS8 - T g	1,457	LC12	0,00	0,03	-0,01	0,73	0,00	0,00
B1	CS8 - T g	1,457	LC13	0,00	-0,01	0,01	0,80	0,00	0,00
B1	CS8 - T g	1,457	LC15	0,00	0,08	-0,08	-0,29	0,00	0,00
B1	CS8 - T g	1,457	LC16	0,00	0,20	-0,06	1,07	0,00	0,00
B1	CS8 - T g	1,457	LC17	0,00	0,00	0,00	0,01	0,00	0,00
B1	CS8 - T g	1,457	LC18	0,00	0,14	-0,19	0,40	0,00	0,00
B1	CS8 - T g	1,457	LC19	0,00	0,44	-0,26	0,54	0,00	0,00
B1	CS8 - T g	1,457	LC20	0,00	-0,02	0,07	1,99	0,00	0,00
B1	CS8 - T g	1,457	LC21	0,00	0,20	-0,06	1,07	0,00	0,00
B1	CS8 - T g	1,457	LC22	0,00	0,44	-0,26	0,54	0,00	0,00
B1	CS8 - T g	1,457	LC23	0,00	-0,02	0,07	1,99	0,00	0,00
B1	CS8 - T g	1,457	LC24	0,00	0,00	0,00	0,09	0,00	0,00
B1	CS8 - T g	1,457	LC25	0,00	0,00	0,00	0,10	0,00	0,00
B1	CS8 - T g	1,457	LC26	0,00	0,00	0,00	-0,01	0,00	0,00
B1	CS8 - T g	1,457	LC27	0,00	0,00	0,00	-0,01	0,00	0,00
B1	CS8 - T g	1,457	LC28	0,00	0,00	0,00	0,00	0,00	0,00
B1	CS8 - T g	1,457	LC29	0,00	0,00	0,00	-0,01	0,00	0,00
B1	CS8 - T g	1,457	LC30	0,00	0,06	-0,06	-0,41	0,00	0,00
B1	CS8 - T g	1,457	LC31	0,00	0,56	-0,18	3,38	0,01	0,00
B1	CS8 - T g	1,457	LC32	0,00	1,24	-0,70	3,05	0,01	0,00
B1	CS8 - T g	1,457	LC33	0,00	-0,06	0,21	7,04	0,01	0,00
B1	CS8 - T g	1,457	LC34	0,00	0,82	-0,26	4,10	0,01	0,00
B1	CS8 - T g	1,457	LC35	0,00	1,86	-1,10	0,77	0,00	0,00
B1	CS8 - T g	1,457	LC36	0,00	-0,08	0,27	6,86	0,01	0,01
B1	CS8 - T g	1,457	LC37	0,00	0,15	-0,20	0,50	0,00	0,00
B1	CS8 - T g	1,943	LC1	0,00	0,00	-0,20	4,97	-1,37	0,00
B1	CS8 - T g	1,943	LC2	0,00	0,48	-1,32	-1,03	0,02	0,00
B1	CS8 - T g	1,943	LC3	0,00	0,19	-0,24	-1,44	0,00	0,00
B1	CS8 - T g	1,943	LC4	0,00	0,66	-0,12	5,87	-0,01	0,00
B1	CS8 - T g	1,943	LC5	0,00	0,11	-0,04	0,06	0,00	0,00
B1	CS8 - T g	1,943	LC6	0,00	0,30	-0,52	2,78	0,00	0,00
B1	CS8 - T g	1,943	LC7	0,00	1,81	-0,89	5,97	-0,02	0,00
B1	CS8 - T g	1,943	LC8	0,00	-0,68	0,46	12,71	-0,01	-0,01
B1	CS8 - T g	1,943	LC9	0,00	0,92	-0,18	7,15	-0,01	-0,01
B1	CS8 - T g	1,943	LC10	0,00	2,74	-1,50	2,27	-0,02	0,00
B1	CS8 - T g	1,943	LC11	0,00	-0,99	0,53	12,54	-0,01	-0,01
B1	CS8 - T g	1,943	LC12	0,00	0,09	-0,01	0,85	0,00	0,00



Prvek	css	dx [m]	Stav	N [kN]	Vy [kN]	Vz [kN]	Mx [kNm]	My [kNm]	Mz [kNm]
B1	CS8 - T g	1,943	LC13	0,00	0,00	0,03	0,98	0,00	0,00
B1	CS8 - T g	1,943	LC15	0,00	0,06	-0,08	-0,27	0,00	0,00
B1	CS8 - T g	1,943	LC16	0,00	0,16	-0,03	1,30	0,00	0,00
B1	CS8 - T g	1,943	LC17	0,00	0,01	0,00	0,01	0,00	0,00
B1	CS8 - T g	1,943	LC18	0,00	0,09	-0,15	0,71	0,00	0,00
B1	CS8 - T g	1,943	LC19	0,00	0,45	-0,24	0,82	0,00	0,00
B1	CS8 - T g	1,943	LC20	0,00	-0,17	0,10	2,52	0,00	0,00
B1	CS8 - T g	1,943	LC21	0,00	0,16	-0,03	1,30	0,00	0,00
B1	CS8 - T g	1,943	LC22	0,00	0,45	-0,24	0,82	0,00	0,00
B1	CS8 - T g	1,943	LC23	0,00	-0,17	0,10	2,52	0,00	0,00
B1	CS8 - T g	1,943	LC24	0,00	0,01	0,00	0,11	0,00	0,00
B1	CS8 - T g	1,943	LC25	0,00	0,00	0,00	0,12	0,00	0,00
B1	CS8 - T g	1,943	LC26	0,00	0,00	0,00	-0,01	0,00	0,00
B1	CS8 - T g	1,943	LC27	0,00	0,00	0,00	-0,01	0,00	0,00
B1	CS8 - T g	1,943	LC28	0,00	0,00	0,00	0,00	0,00	0,00
B1	CS8 - T g	1,943	LC29	0,00	0,00	0,00	-0,01	0,00	0,00
B1	CS8 - T g	1,943	LC30	0,00	0,06	-0,07	-0,45	0,00	0,00
B1	CS8 - T g	1,943	LC31	0,00	0,46	-0,09	4,11	0,00	0,00
B1	CS8 - T g	1,943	LC32	0,00	1,27	-0,62	4,18	-0,01	0,00
B1	CS8 - T g	1,943	LC33	0,00	-0,48	0,33	8,90	-0,01	0,00
B1	CS8 - T g	1,943	LC34	0,00	0,64	-0,13	5,01	0,00	0,00
B1	CS8 - T g	1,943	LC35	0,00	1,92	-1,05	1,59	-0,01	0,00
B1	CS8 - T g	1,943	LC36	0,00	-0,69	0,37	8,77	-0,01	-0,01
B1	CS8 - T g	1,943	LC37	0,00	0,09	-0,15	0,84	0,00	0,00
B1	CS8 - T g	1,943	LC1	0,00	0,00	-0,20	4,97	-1,37	0,00
B1	CS8 - T g	1,943	LC2	0,00	0,48	-1,32	-1,03	0,02	0,00
B1	CS8 - T g	1,943	LC3	0,00	0,19	-0,24	-1,44	0,00	0,00
B1	CS8 - T g	1,943	LC4	0,00	0,66	-0,12	5,87	-0,01	0,00
B1	CS8 - T g	1,943	LC5	0,00	0,11	-0,04	0,06	0,00	0,00
B1	CS8 - T g	1,943	LC6	0,00	0,30	-0,52	2,78	0,00	0,00
B1	CS8 - T g	1,943	LC7	0,00	1,81	-0,89	5,97	-0,02	0,00
B1	CS8 - T g	1,943	LC8	0,00	-0,68	0,46	12,71	-0,01	-0,01
B1	CS8 - T g	1,943	LC9	0,00	0,92	-0,18	7,15	-0,01	-0,01
B1	CS8 - T g	1,943	LC10	0,00	2,74	-1,50	2,27	-0,02	0,00
B1	CS8 - T g	1,943	LC11	0,00	-0,99	0,53	12,54	-0,01	-0,01
B1	CS8 - T g	1,943	LC12	0,00	0,09	-0,01	0,85	0,00	0,00
B1	CS8 - T g	1,943	LC13	0,00	0,00	0,03	0,98	0,00	0,00
B1	CS8 - T g	1,943	LC15	0,00	0,06	-0,08	-0,27	0,00	0,00
B1	CS8 - T g	1,943	LC16	0,00	0,16	-0,03	1,30	0,00	0,00
B1	CS8 - T g	1,943	LC17	0,00	0,01	0,00	0,01	0,00	0,00
B1	CS8 - T g	1,943	LC18	0,00	0,09	-0,15	0,71	0,00	0,00
B1	CS8 - T g	1,943	LC19	0,00	0,45	-0,24	0,82	0,00	0,00
B1	CS8 - T g	1,943	LC20	0,00	-0,17	0,10	2,52	0,00	0,00
B1	CS8 - T g	1,943	LC21	0,00	0,16	-0,03	1,30	0,00	0,00
B1	CS8 - T g	1,943	LC22	0,00	0,45	-0,24	0,82	0,00	0,00
B1	CS8 - T g	1,943	LC23	0,00	-0,17	0,10	2,52	0,00	0,00
B1	CS8 - T g	1,943	LC24	0,00	0,01	0,00	0,11	0,00	0,00
B1	CS8 - T g	1,943	LC25	0,00	0,00	0,00	0,12	0,00	0,00
B1	CS8 - T g	1,943	LC26	0,00	0,00	0,00	-0,01	0,00	0,00
B1	CS8 - T g	1,943	LC27	0,00	0,00	0,00	-0,01	0,00	0,00
B1	CS8 - T g	1,943	LC28	0,00	0,00	0,00	0,00	0,00	0,00
B1	CS8 - T g	1,943	LC29	0,00	0,00	0,00	-0,01	0,00	0,00
B1	CS8 - T g	1,943	LC30	0,00	0,06	-0,07	-0,45	0,00	0,00
B1	CS8 - T g	1,943	LC31	0,00	0,46	-0,09	4,11	0,00	0,00
B1	CS8 - T g	1,943	LC32	0,00	1,27	-0,62	4,18	-0,01	0,00
B1	CS8 - T g	1,943	LC33	0,00	-0,48	0,33	8,90	-0,01	0,00
B1	CS8 - T g	1,943	LC34	0,00	0,64	-0,13	5,01	0,00	0,00
B1	CS8 - T g	1,943	LC35	0,00	1,92	-1,05	1,59	-0,01	0,00
B1	CS8 - T g	1,943	LC36	0,00	-0,69	0,37	8,77	-0,01	-0,01
B1	CS8 - T g	1,943	LC37	0,00	0,09	-0,15	0,84	0,00	0,00
B1	CS8 - T g	2,428	LC1	0,00	-0,06	-0,14	5,75	-1,37	0,00
B1	CS8 - T g	2,428	LC2	0,00	0,35	-1,15	1,42	0,01	0,00
B1	CS8 - T g	2,428	LC3	0,00	0,21	-0,26	-1,37	0,00	0,00
B1	CS8 - T g	2,428	LC4	0,00	0,89	-0,15	5,97	0,00	0,00
B1	CS8 - T g	2,428	LC5	0,00	0,07	-0,03	-0,02	0,00	0,00
B1	CS8 - T g	2,428	LC6	0,00	0,22	-0,40	4,30	0,01	0,00

Prvek	css	dx [m]	Stav	N [kN]	Vy [kN]	Vz [kN]	Mx [kNm]	My [kNm]	Mz [kNm]
B1	CS8 - T g	2,428	LC7	0,00	1,45	-1,00	9,32	-0,01	0,00
B1	CS8 - T g	2,428	LC8	0,00	-0,34	0,38	14,11	-0,01	0,00
B1	CS8 - T g	2,428	LC9	0,00	1,21	-0,19	7,22	0,00	0,00
B1	CS8 - T g	2,428	LC10	0,00	2,09	-1,61	6,41	-0,01	0,01
B1	CS8 - T g	2,428	LC11	0,00	-0,59	0,46	13,78	-0,01	0,00
B1	CS8 - T g	2,428	LC12	0,00	0,07	-0,01	0,90	0,00	0,00
B1	CS8 - T g	2,428	LC13	0,00	0,01	0,02	1,11	0,00	0,00
B1	CS8 - T g	2,428	LC15	0,00	0,06	-0,08	-0,19	0,00	0,00
B1	CS8 - T g	2,428	LC16	0,00	0,21	-0,03	1,32	0,00	0,00
B1	CS8 - T g	2,428	LC17	0,00	0,01	0,00	0,00	0,00	0,00
B1	CS8 - T g	2,428	LC18	0,00	0,07	-0,12	1,11	0,00	0,00
B1	CS8 - T g	2,428	LC19	0,00	0,35	-0,26	1,57	0,00	0,00
B1	CS8 - T g	2,428	LC20	0,00	-0,09	0,08	2,79	0,00	0,00
B1	CS8 - T g	2,428	LC21	0,00	0,21	-0,03	1,32	0,00	0,00
B1	CS8 - T g	2,428	LC22	0,00	0,35	-0,26	1,57	0,00	0,00
B1	CS8 - T g	2,428	LC23	0,00	-0,09	0,08	2,79	0,00	0,00
B1	CS8 - T g	2,428	LC24	0,00	0,01	0,00	0,11	0,00	0,00
B1	CS8 - T g	2,428	LC25	0,00	0,00	0,00	0,14	0,00	0,00
B1	CS8 - T g	2,428	LC26	0,00	0,00	0,00	-0,01	0,00	0,00
B1	CS8 - T g	2,428	LC27	0,00	0,00	0,00	-0,01	0,00	0,00
B1	CS8 - T g	2,428	LC28	0,00	0,00	0,00	-0,01	0,00	0,00
B1	CS8 - T g	2,428	LC29	0,00	0,00	0,00	-0,01	0,00	0,00
B1	CS8 - T g	2,428	LC30	0,00	0,06	-0,08	-0,43	0,00	0,00
B1	CS8 - T g	2,428	LC31	0,00	0,62	-0,10	4,18	0,00	0,00
B1	CS8 - T g	2,428	LC32	0,00	1,02	-0,70	6,52	-0,01	0,00
B1	CS8 - T g	2,428	LC33	0,00	-0,24	0,27	9,88	0,00	0,00
B1	CS8 - T g	2,428	LC34	0,00	0,84	-0,13	5,05	0,00	0,00
B1	CS8 - T g	2,428	LC35	0,00	1,47	-1,13	4,48	-0,01	0,01
B1	CS8 - T g	2,428	LC36	0,00	-0,42	0,32	9,64	0,00	0,00
B1	CS8 - T g	2,428	LC37	0,00	0,07	-0,12	1,30	0,00	0,00
B1	CS8 - T g	2,914	LC1	0,00	-0,12	-0,07	6,54	-1,37	0,00
B1	CS8 - T g	2,914	LC2	0,00	0,22	-0,97	3,88	0,01	0,00
B1	CS8 - T g	2,914	LC3	0,00	0,22	-0,27	-1,30	0,00	0,00
B1	CS8 - T g	2,914	LC4	0,00	1,11	-0,18	6,07	0,00	0,00
B1	CS8 - T g	2,914	LC5	0,00	0,03	-0,02	-0,10	0,00	0,00
B1	CS8 - T g	2,914	LC6	0,00	0,14	-0,29	5,81	0,01	0,00
B1	CS8 - T g	2,914	LC7	0,00	1,10	-1,10	12,66	0,00	0,01
B1	CS8 - T g	2,914	LC8	0,00	0,00	0,30	15,52	0,00	0,00
B1	CS8 - T g	2,914	LC9	0,00	1,50	-0,20	7,28	0,00	0,00
B1	CS8 - T g	2,914	LC10	0,00	1,45	-1,72	10,55	0,00	0,01
B1	CS8 - T g	2,914	LC11	0,00	-0,20	0,38	15,02	0,00	0,00
B1	CS8 - T g	2,914	LC12	0,00	0,05	-0,01	0,96	0,00	0,00
B1	CS8 - T g	2,914	LC13	0,00	0,01	0,02	1,25	0,00	0,00
B1	CS8 - T g	2,914	LC15	0,00	0,06	-0,08	-0,12	0,00	0,00
B1	CS8 - T g	2,914	LC16	0,00	0,26	-0,04	1,34	0,00	0,00
B1	CS8 - T g	2,914	LC17	0,00	0,00	0,00	-0,01	0,00	0,00
B1	CS8 - T g	2,914	LC18	0,00	0,05	-0,09	1,52	0,00	0,00
B1	CS8 - T g	2,914	LC19	0,00	0,25	-0,28	2,32	0,00	0,00
B1	CS8 - T g	2,914	LC20	0,00	-0,02	0,07	3,05	0,00	0,00
B1	CS8 - T g	2,914	LC21	0,00	0,26	-0,04	1,34	0,00	0,00
B1	CS8 - T g	2,914	LC22	0,00	0,25	-0,28	2,32	0,00	0,00
B1	CS8 - T g	2,914	LC23	0,00	-0,02	0,07	3,05	0,00	0,00
B1	CS8 - T g	2,914	LC24	0,00	0,01	0,00	0,12	0,00	0,00
B1	CS8 - T g	2,914	LC25	0,00	0,00	0,00	0,16	0,00	0,00
B1	CS8 - T g	2,914	LC26	0,00	0,00	0,00	-0,01	0,00	0,00
B1	CS8 - T g	2,914	LC27	0,00	0,00	0,00	-0,01	0,00	0,00
B1	CS8 - T g	2,914	LC28	0,00	0,00	0,00	-0,01	0,00	0,00
B1	CS8 - T g	2,914	LC29	0,00	0,00	0,00	-0,01	0,00	0,00
B1	CS8 - T g	2,914	LC30	0,00	0,07	-0,08	-0,42	0,00	0,00
B1	CS8 - T g	2,914	LC31	0,00	0,78	-0,12	4,25	0,00	0,00
B1	CS8 - T g	2,914	LC32	0,00	0,77	-0,77	8,86	0,00	0,01
B1	CS8 - T g	2,914	LC33	0,00	0,00	0,21	10,86	0,00	0,00
B1	CS8 - T g	2,914	LC34	0,00	1,05	-0,14	5,10	0,00	0,00
B1	CS8 - T g	2,914	LC35	0,00	1,01	-1,20	7,38	0,00	0,01
B1	CS8 - T g	2,914	LC36	0,00	-0,14	0,27	10,51	0,00	0,00
B1	CS8 - T g	2,914	LC37	0,00	0,04	-0,09	1,75	0,00	0,00

Prvek	css	dx [m]	Stav	N [kN]	Vy [kN]	Vz [kN]	Mx [kNm]	My [kNm]	Mz [kNm]
B1	CS8 - T g	2,914	LC1	0,00	-0,12	-0,07	6,54	-1,37	0,00
B1	CS8 - T g	2,914	LC2	0,00	0,22	-0,97	3,88	0,01	0,00
B1	CS8 - T g	2,914	LC3	0,00	0,22	-0,27	-1,30	0,00	0,00
B1	CS8 - T g	2,914	LC4	0,00	1,11	-0,18	6,07	0,00	0,00
B1	CS8 - T g	2,914	LC5	0,00	0,03	-0,02	-0,10	0,00	0,00
B1	CS8 - T g	2,914	LC6	0,00	0,14	-0,29	5,81	0,01	0,00
B1	CS8 - T g	2,914	LC7	0,00	1,10	-1,10	12,66	0,00	0,01
B1	CS8 - T g	2,914	LC8	0,00	0,00	0,30	15,52	0,00	0,00
B1	CS8 - T g	2,914	LC9	0,00	1,50	-0,20	7,28	0,00	0,00
B1	CS8 - T g	2,914	LC10	0,00	1,45	-1,72	10,55	0,00	0,01
B1	CS8 - T g	2,914	LC11	0,00	-0,20	0,38	15,02	0,00	0,00
B1	CS8 - T g	2,914	LC12	0,00	0,05	-0,01	0,96	0,00	0,00
B1	CS8 - T g	2,914	LC13	0,00	0,01	0,02	1,25	0,00	0,00
B1	CS8 - T g	2,914	LC15	0,00	0,06	-0,08	-0,12	0,00	0,00
B1	CS8 - T g	2,914	LC16	0,00	0,26	-0,04	1,34	0,00	0,00
B1	CS8 - T g	2,914	LC17	0,00	0,00	0,00	-0,01	0,00	0,00
B1	CS8 - T g	2,914	LC18	0,00	0,05	-0,09	1,52	0,00	0,00
B1	CS8 - T g	2,914	LC19	0,00	0,25	-0,28	2,32	0,00	0,00
B1	CS8 - T g	2,914	LC20	0,00	-0,02	0,07	3,05	0,00	0,00
B1	CS8 - T g	2,914	LC21	0,00	0,26	-0,04	1,34	0,00	0,00
B1	CS8 - T g	2,914	LC22	0,00	0,25	-0,28	2,32	0,00	0,00
B1	CS8 - T g	2,914	LC23	0,00	-0,02	0,07	3,05	0,00	0,00
B1	CS8 - T g	2,914	LC24	0,00	0,01	0,00	0,12	0,00	0,00
B1	CS8 - T g	2,914	LC25	0,00	0,00	0,00	0,16	0,00	0,00
B1	CS8 - T g	2,914	LC26	0,00	0,00	0,00	-0,01	0,00	0,00
B1	CS8 - T g	2,914	LC27	0,00	0,00	0,00	-0,01	0,00	0,00
B1	CS8 - T g	2,914	LC28	0,00	0,00	0,00	-0,01	0,00	0,00
B1	CS8 - T g	2,914	LC29	0,00	0,00	0,00	-0,01	0,00	0,00
B1	CS8 - T g	2,914	LC30	0,00	0,07	-0,08	-0,42	0,00	0,00
B1	CS8 - T g	2,914	LC31	0,00	0,78	-0,12	4,25	0,00	0,00
B1	CS8 - T g	2,914	LC32	0,00	0,77	-0,77	8,86	0,00	0,01
B1	CS8 - T g	2,914	LC33	0,00	0,00	0,21	10,86	0,00	0,00
B1	CS8 - T g	2,914	LC34	0,00	1,05	-0,14	5,10	0,00	0,00
B1	CS8 - T g	2,914	LC35	0,00	1,01	-1,20	7,38	0,00	0,01
B1	CS8 - T g	2,914	LC36	0,00	-0,14	0,27	10,51	0,00	0,00
B1	CS8 - T g	2,914	LC37	0,00	0,04	-0,09	1,75	0,00	0,00
B1	CS8 - T g	3,400	LC1	0,00	-0,14	-0,03	7,09	-1,37	0,00
B1	CS8 - T g	3,400	LC2	0,00	0,12	-0,83	6,44	0,01	0,00
B1	CS8 - T g	3,400	LC3	0,00	0,26	-0,33	-1,17	-0,01	0,00
B1	CS8 - T g	3,400	LC4	0,00	1,06	-0,15	5,59	0,00	0,00
B1	CS8 - T g	3,400	LC5	0,00	-0,02	0,00	-0,25	0,00	0,00
B1	CS8 - T g	3,400	LC6	0,00	0,02	-0,12	7,19	0,01	0,00
B1	CS8 - T g	3,400	LC7	0,00	0,47	-0,82	18,58	0,02	0,01
B1	CS8 - T g	3,400	LC8	0,00	0,09	0,35	15,41	0,00	0,00
B1	CS8 - T g	3,400	LC9	0,00	1,29	-0,13	6,73	0,01	0,00
B1	CS8 - T g	3,400	LC10	0,00	0,47	-1,31	18,92	0,03	0,01
B1	CS8 - T g	3,400	LC11	0,00	-0,10	0,44	14,35	0,00	0,00
B1	CS8 - T g	3,400	LC12	0,00	0,02	0,01	0,93	0,00	0,00
B1	CS8 - T g	3,400	LC13	0,00	0,01	0,03	1,36	0,00	0,00
B1	CS8 - T g	3,400	LC15	0,00	0,07	-0,09	-0,03	0,00	0,00
B1	CS8 - T g	3,400	LC16	0,00	0,23	-0,03	1,23	0,00	0,00
B1	CS8 - T g	3,400	LC17	0,00	0,00	0,00	-0,03	0,00	0,00
B1	CS8 - T g	3,400	LC18	0,00	0,01	-0,05	1,90	0,00	0,00
B1	CS8 - T g	3,400	LC19	0,00	0,09	-0,21	3,75	0,01	0,00
B1	CS8 - T g	3,400	LC20	0,00	0,00	0,08	2,98	0,00	0,00
B1	CS8 - T g	3,400	LC21	0,00	0,23	-0,03	1,23	0,00	0,00
B1	CS8 - T g	3,400	LC22	0,00	0,09	-0,21	3,75	0,01	0,00
B1	CS8 - T g	3,400	LC23	0,00	0,00	0,08	2,98	0,00	0,00
B1	CS8 - T g	3,400	LC24	0,00	0,00	0,00	0,12	0,00	0,00
B1	CS8 - T g	3,400	LC25	0,00	0,00	0,00	0,17	0,00	0,00
B1	CS8 - T g	3,400	LC26	0,00	0,00	0,00	-0,01	0,00	0,00
B1	CS8 - T g	3,400	LC27	0,00	0,00	0,00	-0,01	0,00	0,00
B1	CS8 - T g	3,400	LC28	0,00	0,00	0,00	-0,01	0,00	0,00
B1	CS8 - T g	3,400	LC29	0,00	0,00	0,00	0,00	0,00	0,00
B1	CS8 - T g	3,400	LC30	0,00	0,08	-0,10	-0,38	0,00	0,00
B1	CS8 - T g	3,400	LC31	0,00	0,74	-0,11	3,91	0,00	0,00

Prvek	css	dx [m]	Stav	N [kN]	Vy [kN]	Vz [kN]	Mx [kNm]	My [kNm]	Mz [kNm]
B1	CS8 - T g	3,400	LC32	0,00	0,33	-0,57	13,01	0,02	0,01
B1	CS8 - T g	3,400	LC33	0,00	0,06	0,24	10,79	0,00	0,00
B1	CS8 - T g	3,400	LC34	0,00	0,90	-0,09	4,71	0,00	0,00
B1	CS8 - T g	3,400	LC35	0,00	0,33	-0,92	13,25	0,02	0,01
B1	CS8 - T g	3,400	LC36	0,00	-0,07	0,31	10,05	0,00	0,00
B1	CS8 - T g	3,400	LC37	0,00	0,00	-0,04	2,17	0,00	0,00
B1	CS8 - T g	3,885	LC1	0,00	-0,16	0,02	7,64	-1,37	0,00
B1	CS8 - T g	3,885	LC2	0,00	0,02	-0,70	9,00	0,01	0,00
B1	CS8 - T g	3,885	LC3	0,00	0,30	-0,40	-1,03	-0,01	0,00
B1	CS8 - T g	3,885	LC4	0,00	1,01	-0,13	5,10	0,00	0,00
B1	CS8 - T g	3,885	LC5	0,00	-0,07	0,02	-0,39	0,00	0,00
B1	CS8 - T g	3,885	LC6	0,00	-0,11	0,04	8,58	0,01	0,00
B1	CS8 - T g	3,885	LC7	0,00	-0,17	-0,54	24,50	0,04	0,01
B1	CS8 - T g	3,885	LC8	0,00	0,17	0,39	15,31	0,00	0,00
B1	CS8 - T g	3,885	LC9	0,00	1,08	-0,06	6,19	0,01	0,00
B1	CS8 - T g	3,885	LC10	0,00	-0,51	-0,90	27,30	0,06	0,01
B1	CS8 - T g	3,885	LC11	0,00	0,01	0,51	13,69	0,01	0,00
B1	CS8 - T g	3,885	LC12	0,00	-0,01	0,02	0,91	0,00	0,00
B1	CS8 - T g	3,885	LC13	0,00	0,01	0,03	1,47	0,00	0,00
B1	CS8 - T g	3,885	LC15	0,00	0,08	-0,10	0,06	0,00	0,00
B1	CS8 - T g	3,885	LC16	0,00	0,21	-0,02	1,13	0,00	0,00
B1	CS8 - T g	3,885	LC17	0,00	-0,01	0,00	-0,05	0,00	0,00
B1	CS8 - T g	3,885	LC18	0,00	-0,02	0,00	2,27	0,00	0,00
B1	CS8 - T g	3,885	LC19	0,00	-0,07	-0,14	5,18	0,01	0,00
B1	CS8 - T g	3,885	LC20	0,00	0,02	0,09	2,90	0,00	0,00
B1	CS8 - T g	3,885	LC21	0,00	0,21	-0,02	1,13	0,00	0,00
B1	CS8 - T g	3,885	LC22	0,00	-0,07	-0,14	5,18	0,01	0,00
B1	CS8 - T g	3,885	LC23	0,00	0,02	0,09	2,90	0,00	0,00
B1	CS8 - T g	3,885	LC24	0,00	0,00	0,00	0,11	0,00	0,00
B1	CS8 - T g	3,885	LC25	0,00	0,00	0,00	0,18	0,00	0,00
B1	CS8 - T g	3,885	LC26	0,00	0,00	0,00	-0,01	0,00	0,00
B1	CS8 - T g	3,885	LC27	0,00	0,00	0,00	0,00	0,00	0,00
B1	CS8 - T g	3,885	LC28	0,00	0,00	0,00	-0,01	0,00	0,00
B1	CS8 - T g	3,885	LC29	0,00	0,00	0,00	0,00	0,00	0,00
B1	CS8 - T g	3,885	LC30	0,00	0,09	-0,12	-0,34	0,00	0,00
B1	CS8 - T g	3,885	LC31	0,00	0,70	-0,09	3,57	0,00	0,00
B1	CS8 - T g	3,885	LC32	0,00	-0,12	-0,38	17,15	0,03	0,00
B1	CS8 - T g	3,885	LC33	0,00	0,12	0,28	10,72	0,00	0,00
B1	CS8 - T g	3,885	LC34	0,00	0,76	-0,04	4,33	0,00	0,00
B1	CS8 - T g	3,885	LC35	0,00	-0,36	-0,63	19,11	0,04	0,01
B1	CS8 - T g	3,885	LC36	0,00	0,01	0,35	9,58	0,00	0,00
B1	CS8 - T g	3,885	LC37	0,00	-0,03	0,01	2,58	0,00	0,00
B1	CS8 - T g	3,885	LC1	0,00	-0,16	0,02	7,64	-1,37	0,00
B1	CS8 - T g	3,885	LC2	0,00	0,02	-0,70	9,00	0,01	0,00
B1	CS8 - T g	3,885	LC3	0,00	0,30	-0,40	-1,03	-0,01	0,00
B1	CS8 - T g	3,885	LC4	0,00	1,01	-0,13	5,10	0,00	0,00
B1	CS8 - T g	3,885	LC5	0,00	-0,07	0,02	-0,39	0,00	0,00
B1	CS8 - T g	3,885	LC6	0,00	-0,11	0,04	8,58	0,01	0,00
B1	CS8 - T g	3,885	LC7	0,00	-0,17	-0,54	24,50	0,04	0,01
B1	CS8 - T g	3,885	LC8	0,00	0,17	0,39	15,31	0,00	0,00
B1	CS8 - T g	3,885	LC9	0,00	1,08	-0,06	6,19	0,01	0,00
B1	CS8 - T g	3,885	LC10	0,00	-0,51	-0,90	27,30	0,06	0,01
B1	CS8 - T g	3,885	LC11	0,00	0,01	0,51	13,69	0,01	0,00
B1	CS8 - T g	3,885	LC12	0,00	-0,01	0,02	0,91	0,00	0,00
B1	CS8 - T g	3,885	LC13	0,00	0,01	0,03	1,47	0,00	0,00
B1	CS8 - T g	3,885	LC15	0,00	0,08	-0,10	0,06	0,00	0,00
B1	CS8 - T g	3,885	LC16	0,00	0,21	-0,02	1,13	0,00	0,00
B1	CS8 - T g	3,885	LC17	0,00	-0,01	0,00	-0,05	0,00	0,00
B1	CS8 - T g	3,885	LC18	0,00	-0,02	0,00	2,27	0,00	0,00
B1	CS8 - T g	3,885	LC19	0,00	-0,07	-0,14	5,18	0,01	0,00
B1	CS8 - T g	3,885	LC20	0,00	0,02	0,09	2,90	0,00	0,00
B1	CS8 - T g	3,885	LC21	0,00	0,21	-0,02	1,13	0,00	0,00
B1	CS8 - T g	3,885	LC22	0,00	-0,07	-0,14	5,18	0,01	0,00
B1	CS8 - T g	3,885	LC23	0,00	0,02	0,09	2,90	0,00	0,00
B1	CS8 - T g	3,885	LC24	0,00	0,00	0,00	0,11	0,00	0,00
B1	CS8 - T g	3,885	LC25	0,00	0,00	0,00	0,18	0,00	0,00

Prvek	css	dx [m]	Stav	N [kN]	Vy [kN]	Vz [kN]	Mx [kNm]	My [kNm]	Mz [kNm]
B1	CS8 - T g	3,885	LC26	0,00	0,00	0,00	-0,01	0,00	0,00
B1	CS8 - T g	3,885	LC27	0,00	0,00	0,00	0,00	0,00	0,00
B1	CS8 - T g	3,885	LC28	0,00	0,00	0,00	-0,01	0,00	0,00
B1	CS8 - T g	3,885	LC29	0,00	0,00	0,00	0,00	0,00	0,00
B1	CS8 - T g	3,885	LC30	0,00	0,09	-0,12	-0,34	0,00	0,00
B1	CS8 - T g	3,885	LC31	0,00	0,70	-0,09	3,57	0,00	0,00
B1	CS8 - T g	3,885	LC32	0,00	-0,12	-0,38	17,15	0,03	0,00
B1	CS8 - T g	3,885	LC33	0,00	0,12	0,28	10,72	0,00	0,00
B1	CS8 - T g	3,885	LC34	0,00	0,76	-0,04	4,33	0,00	0,00
B1	CS8 - T g	3,885	LC35	0,00	-0,36	-0,63	19,11	0,04	0,01
B1	CS8 - T g	3,885	LC36	0,00	0,01	0,35	9,58	0,00	0,00
B1	CS8 - T g	3,885	LC37	0,00	-0,03	0,01	2,58	0,00	0,00
B1	CS8 - T g	4,371	LC1	0,00	-0,13	0,03	8,08	-1,37	0,00
B1	CS8 - T g	4,371	LC2	0,00	0,00	-0,60	11,40	0,01	0,00
B1	CS8 - T g	4,371	LC3	0,00	0,36	-0,46	-0,51	0,00	0,00
B1	CS8 - T g	4,371	LC4	0,00	0,87	-0,11	4,52	0,00	0,00
B1	CS8 - T g	4,371	LC5	0,00	-0,12	0,04	-0,62	0,00	0,00
B1	CS8 - T g	4,371	LC6	0,00	-0,20	0,17	9,40	0,01	0,00
B1	CS8 - T g	4,371	LC7	0,00	-0,58	0,01	30,69	0,04	0,00
B1	CS8 - T g	4,371	LC8	0,00	0,25	0,43	13,62	0,00	0,00
B1	CS8 - T g	4,371	LC9	0,00	0,58	0,07	5,94	0,01	0,01
B1	CS8 - T g	4,371	LC10	0,00	-1,19	-0,08	36,55	0,06	0,01
B1	CS8 - T g	4,371	LC11	0,00	0,07	0,55	11,10	0,00	0,00
B1	CS8 - T g	4,371	LC12	0,00	-0,02	0,03	0,79	0,00	0,00
B1	CS8 - T g	4,371	LC13	0,00	0,01	0,03	1,55	0,00	0,00
B1	CS8 - T g	4,371	LC15	0,00	0,09	-0,12	0,22	0,00	0,00
B1	CS8 - T g	4,371	LC16	0,00	0,15	0,00	1,05	0,00	0,00
B1	CS8 - T g	4,371	LC17	0,00	-0,02	0,00	-0,08	0,00	0,00
B1	CS8 - T g	4,371	LC18	0,00	-0,04	0,03	2,51	0,00	0,00
B1	CS8 - T g	4,371	LC19	0,00	-0,18	-0,01	6,72	0,01	0,00
B1	CS8 - T g	4,371	LC20	0,00	0,03	0,10	2,47	0,00	0,00
B1	CS8 - T g	4,371	LC21	0,00	0,15	0,00	1,05	0,00	0,00
B1	CS8 - T g	4,371	LC22	0,00	-0,18	-0,01	6,72	0,01	0,00
B1	CS8 - T g	4,371	LC23	0,00	0,03	0,10	2,47	0,00	0,00
B1	CS8 - T g	4,371	LC24	0,00	0,00	0,00	0,10	0,00	0,00
B1	CS8 - T g	4,371	LC25	0,00	0,00	0,00	0,19	0,00	0,00
B1	CS8 - T g	4,371	LC26	0,00	0,00	0,00	-0,01	0,00	0,00
B1	CS8 - T g	4,371	LC27	0,00	0,00	0,00	0,01	0,00	0,00
B1	CS8 - T g	4,371	LC28	0,00	0,00	0,00	-0,01	0,00	0,00
B1	CS8 - T g	4,371	LC29	0,00	0,00	0,00	0,00	0,00	0,00
B1	CS8 - T g	4,371	LC30	0,00	0,11	-0,14	-0,19	0,00	0,00
B1	CS8 - T g	4,371	LC31	0,00	0,61	-0,07	3,16	0,00	0,00
B1	CS8 - T g	4,371	LC32	0,00	-0,41	0,00	21,48	0,03	0,00
B1	CS8 - T g	4,371	LC33	0,00	0,18	0,30	9,53	0,00	0,00
B1	CS8 - T g	4,371	LC34	0,00	0,41	0,05	4,16	0,01	0,00
B1	CS8 - T g	4,371	LC35	0,00	-0,83	-0,06	25,59	0,04	0,01
B1	CS8 - T g	4,371	LC36	0,00	0,05	0,39	7,77	0,00	0,00
B1	CS8 - T g	4,371	LC37	0,00	-0,06	0,05	2,83	0,00	0,00
B1	CS8 - T g	4,857	LC1	0,00	-0,11	0,04	8,53	-1,37	0,00
B1	CS8 - T g	4,857	LC2	0,00	-0,03	-0,50	13,80	0,01	0,00
B1	CS8 - T g	4,857	LC3	0,00	0,42	-0,51	0,00	0,00	0,00
B1	CS8 - T g	4,857	LC4	0,00	0,74	-0,08	3,93	0,00	0,00
B1	CS8 - T g	4,857	LC5	0,00	-0,17	0,06	-0,85	0,00	0,00
B1	CS8 - T g	4,857	LC6	0,00	-0,29	0,29	10,22	0,01	0,00
B1	CS8 - T g	4,857	LC7	0,00	-0,99	0,56	36,88	0,04	0,00
B1	CS8 - T g	4,857	LC8	0,00	0,33	0,47	11,92	0,00	0,00
B1	CS8 - T g	4,857	LC9	0,00	0,08	0,20	5,70	0,01	0,01
B1	CS8 - T g	4,857	LC10	0,00	-1,86	0,74	45,81	0,07	0,00
B1	CS8 - T g	4,857	LC11	0,00	0,14	0,60	8,50	0,00	0,00
B1	CS8 - T g	4,857	LC12	0,00	-0,04	0,04	0,66	0,00	0,00
B1	CS8 - T g	4,857	LC13	0,00	0,01	0,04	1,62	0,00	0,00
B1	CS8 - T g	4,857	LC15	0,00	0,10	-0,13	0,39	0,00	0,00
B1	CS8 - T g	4,857	LC16	0,00	0,08	0,01	0,96	0,00	0,00
B1	CS8 - T g	4,857	LC17	0,00	-0,02	0,01	-0,11	0,00	0,00
B1	CS8 - T g	4,857	LC18	0,00	-0,06	0,06	2,75	0,00	0,00
B1	CS8 - T g	4,857	LC19	0,00	-0,29	0,13	8,27	0,01	0,00

Prvek	css	dx [m]	Stav	N [kN]	Vy [kN]	Vz [kN]	Mx [kNm]	My [kNm]	Mz [kNm]
B1	CS8 - T g	4,857	LC20	0,00	0,05	0,11	2,04	0,00	0,00
B1	CS8 - T g	4,857	LC21	0,00	0,08	0,01	0,96	0,00	0,00
B1	CS8 - T g	4,857	LC22	0,00	-0,29	0,13	8,27	0,01	0,00
B1	CS8 - T g	4,857	LC23	0,00	0,05	0,11	2,04	0,00	0,00
B1	CS8 - T g	4,857	LC24	0,00	0,00	0,00	0,08	0,00	0,00
B1	CS8 - T g	4,857	LC25	0,00	0,00	0,00	0,20	0,00	0,00
B1	CS8 - T g	4,857	LC26	0,00	0,00	0,00	-0,01	0,00	0,00
B1	CS8 - T g	4,857	LC27	0,00	0,00	0,00	0,01	0,00	0,00
B1	CS8 - T g	4,857	LC28	0,00	0,00	0,00	-0,01	0,00	0,00
B1	CS8 - T g	4,857	LC29	0,00	0,00	0,00	0,01	0,00	0,00
B1	CS8 - T g	4,857	LC30	0,00	0,13	-0,16	-0,04	0,00	0,00
B1	CS8 - T g	4,857	LC31	0,00	0,52	-0,06	2,75	0,00	0,00
B1	CS8 - T g	4,857	LC32	0,00	-0,70	0,39	25,81	0,03	0,00
B1	CS8 - T g	4,857	LC33	0,00	0,23	0,33	8,34	0,00	0,00
B1	CS8 - T g	4,857	LC34	0,00	0,05	0,14	3,99	0,01	0,00
B1	CS8 - T g	4,857	LC35	0,00	-1,30	0,52	32,06	0,05	0,00
B1	CS8 - T g	4,857	LC36	0,00	0,10	0,42	5,95	0,00	0,00
B1	CS8 - T g	4,857	LC37	0,00	-0,09	0,09	3,07	0,00	0,00
B1	CS8 - T g	4,857	LC1	0,00	-0,11	0,04	8,53	-1,37	0,00
B1	CS8 - T g	4,857	LC2	0,00	-0,03	-0,50	13,80	0,01	0,00
B1	CS8 - T g	4,857	LC3	0,00	0,42	-0,51	0,00	0,00	0,00
B1	CS8 - T g	4,857	LC4	0,00	0,74	-0,08	3,93	0,00	0,00
B1	CS8 - T g	4,857	LC5	0,00	-0,17	0,06	-0,85	0,00	0,00
B1	CS8 - T g	4,857	LC6	0,00	-0,29	0,29	10,22	0,01	0,00
B1	CS8 - T g	4,857	LC7	0,00	-0,99	0,56	36,88	0,04	0,00
B1	CS8 - T g	4,857	LC8	0,00	0,33	0,47	11,92	0,00	0,00
B1	CS8 - T g	4,857	LC9	0,00	0,08	0,20	5,70	0,01	0,01
B1	CS8 - T g	4,857	LC10	0,00	-1,86	0,74	45,81	0,07	0,00
B1	CS8 - T g	4,857	LC11	0,00	0,14	0,60	8,50	0,00	0,00
B1	CS8 - T g	4,857	LC12	0,00	-0,04	0,04	0,66	0,00	0,00
B1	CS8 - T g	4,857	LC13	0,00	0,01	0,04	1,62	0,00	0,00
B1	CS8 - T g	4,857	LC15	0,00	0,10	-0,13	0,39	0,00	0,00
B1	CS8 - T g	4,857	LC16	0,00	0,08	0,01	0,96	0,00	0,00
B1	CS8 - T g	4,857	LC17	0,00	-0,02	0,01	-0,11	0,00	0,00
B1	CS8 - T g	4,857	LC18	0,00	-0,06	0,06	2,75	0,00	0,00
B1	CS8 - T g	4,857	LC19	0,00	-0,29	0,13	8,27	0,01	0,00
B1	CS8 - T g	4,857	LC20	0,00	0,05	0,11	2,04	0,00	0,00
B1	CS8 - T g	4,857	LC21	0,00	0,08	0,01	0,96	0,00	0,00
B1	CS8 - T g	4,857	LC22	0,00	-0,29	0,13	8,27	0,01	0,00
B1	CS8 - T g	4,857	LC23	0,00	0,05	0,11	2,04	0,00	0,00
B1	CS8 - T g	4,857	LC24	0,00	0,00	0,00	0,08	0,00	0,00
B1	CS8 - T g	4,857	LC25	0,00	0,00	0,00	0,20	0,00	0,00
B1	CS8 - T g	4,857	LC26	0,00	0,00	0,00	-0,01	0,00	0,00
B1	CS8 - T g	4,857	LC27	0,00	0,00	0,00	0,01	0,00	0,00
B1	CS8 - T g	4,857	LC28	0,00	0,00	0,00	-0,01	0,00	0,00
B1	CS8 - T g	4,857	LC29	0,00	0,00	0,00	0,01	0,00	0,00
B1	CS8 - T g	4,857	LC30	0,00	0,13	-0,16	-0,04	0,00	0,00
B1	CS8 - T g	4,857	LC31	0,00	0,52	-0,06	2,75	0,00	0,00
B1	CS8 - T g	4,857	LC32	0,00	-0,70	0,39	25,81	0,03	0,00
B1	CS8 - T g	4,857	LC33	0,00	0,23	0,33	8,34	0,00	0,00
B1	CS8 - T g	4,857	LC34	0,00	0,05	0,14	3,99	0,01	0,00
B1	CS8 - T g	4,857	LC35	0,00	-1,30	0,52	32,06	0,05	0,00
B1	CS8 - T g	4,857	LC36	0,00	0,10	0,42	5,95	0,00	0,00
B1	CS8 - T g	4,857	LC37	0,00	-0,09	0,09	3,07	0,00	0,00
B1	CS8 - T g	5,342	LC1	0,00	0,00	0,01	8,94	-1,37	0,00
B1	CS8 - T g	5,342	LC2	0,00	0,07	-0,46	16,04	0,00	0,00
B1	CS8 - T g	5,342	LC3	0,00	0,49	-0,53	1,09	0,00	0,00
B1	CS8 - T g	5,342	LC4	0,00	0,89	-0,10	2,99	0,00	0,00
B1	CS8 - T g	5,342	LC5	0,00	-0,14	0,04	-1,20	0,00	0,00
B1	CS8 - T g	5,342	LC6	0,00	-0,30	0,33	10,32	0,00	0,00
B1	CS8 - T g	5,342	LC7	0,00	-0,89	0,89	39,95	0,03	0,00
B1	CS8 - T g	5,342	LC8	0,00	0,60	0,40	8,82	-0,01	0,00
B1	CS8 - T g	5,342	LC9	0,00	-0,24	0,33	5,55	0,01	0,00
B1	CS8 - T g	5,342	LC10	0,00	-1,92	1,29	51,01	0,04	0,00
B1	CS8 - T g	5,342	LC11	0,00	0,35	0,54	4,39	0,00	0,00
B1	CS8 - T g	5,342	LC12	0,00	0,06	0,00	0,40	0,00	0,00

Prvek	css	dx [m]	Stav	N [kN]	Vy [kN]	Vz [kN]	Mx [kNm]	My [kNm]	Mz [kNm]
B1	CS8 - T g	5,342	LC13	0,00	0,03	0,03	1,66	0,00	0,00
B1	CS8 - T g	5,342	LC15	0,00	0,12	-0,13	0,68	0,00	0,00
B1	CS8 - T g	5,342	LC16	0,00	0,06	0,02	0,85	0,00	0,00
B1	CS8 - T g	5,342	LC17	0,00	-0,02	0,01	-0,15	0,00	0,00
B1	CS8 - T g	5,342	LC18	0,00	-0,06	0,07	2,81	0,00	0,00
B1	CS8 - T g	5,342	LC19	0,00	-0,28	0,22	9,10	0,01	0,00
B1	CS8 - T g	5,342	LC20	0,00	0,10	0,09	1,32	0,00	0,00
B1	CS8 - T g	5,342	LC21	0,00	0,06	0,02	0,85	0,00	0,00
B1	CS8 - T g	5,342	LC22	0,00	-0,28	0,22	9,10	0,01	0,00
B1	CS8 - T g	5,342	LC23	0,00	0,10	0,09	1,32	0,00	0,00
B1	CS8 - T g	5,342	LC24	0,00	0,01	0,00	0,05	0,00	0,00
B1	CS8 - T g	5,342	LC25	0,00	0,00	0,00	0,21	0,00	0,00
B1	CS8 - T g	5,342	LC26	0,00	0,00	0,00	-0,01	0,00	0,00
B1	CS8 - T g	5,342	LC27	0,00	0,00	0,00	0,02	0,00	0,00
B1	CS8 - T g	5,342	LC28	0,00	0,00	0,00	-0,01	0,00	0,00
B1	CS8 - T g	5,342	LC29	0,00	0,00	0,00	0,01	0,00	0,00
B1	CS8 - T g	5,342	LC30	0,00	0,15	-0,16	0,29	0,00	0,00
B1	CS8 - T g	5,342	LC31	0,00	0,62	-0,07	2,09	0,00	0,00
B1	CS8 - T g	5,342	LC32	0,00	-0,62	0,62	27,96	0,02	0,00
B1	CS8 - T g	5,342	LC33	0,00	0,42	0,28	6,17	0,00	0,00
B1	CS8 - T g	5,342	LC34	0,00	-0,17	0,23	3,88	0,01	0,00
B1	CS8 - T g	5,342	LC35	0,00	-1,34	0,90	35,71	0,03	0,00
B1	CS8 - T g	5,342	LC36	0,00	0,24	0,38	3,07	0,00	0,00
B1	CS8 - T g	5,342	LC37	0,00	-0,09	0,10	3,10	0,00	0,00
B1	CS8 - T g	5,828	LC1	0,00	0,11	-0,02	9,35	-1,38	0,00
B1	CS8 - T g	5,828	LC2	0,00	0,18	-0,43	18,28	0,00	0,00
B1	CS8 - T g	5,828	LC3	0,00	0,56	-0,55	2,17	0,00	0,00
B1	CS8 - T g	5,828	LC4	0,00	1,03	-0,11	2,04	-0,01	0,00
B1	CS8 - T g	5,828	LC5	0,00	-0,10	0,02	-1,55	0,00	0,00
B1	CS8 - T g	5,828	LC6	0,00	-0,30	0,37	10,42	0,00	0,00
B1	CS8 - T g	5,828	LC7	0,00	-0,79	1,23	43,02	0,01	-0,01
B1	CS8 - T g	5,828	LC8	0,00	0,88	0,33	5,72	-0,01	-0,01
B1	CS8 - T g	5,828	LC9	0,00	-0,57	0,46	5,39	0,01	0,00
B1	CS8 - T g	5,828	LC10	0,00	-1,98	1,84	56,22	0,02	0,00
B1	CS8 - T g	5,828	LC11	0,00	0,56	0,48	0,28	-0,01	0,00
B1	CS8 - T g	5,828	LC12	0,00	0,15	-0,03	0,14	-0,01	0,00
B1	CS8 - T g	5,828	LC13	0,00	0,06	0,03	1,70	0,00	0,00
B1	CS8 - T g	5,828	LC15	0,00	0,14	-0,13	0,97	0,00	0,00
B1	CS8 - T g	5,828	LC16	0,00	0,05	0,03	0,74	0,00	0,00
B1	CS8 - T g	5,828	LC17	0,00	-0,01	0,00	-0,19	0,00	0,00
B1	CS8 - T g	5,828	LC18	0,00	-0,06	0,08	2,88	0,00	0,00
B1	CS8 - T g	5,828	LC19	0,00	-0,28	0,31	9,92	0,00	0,00
B1	CS8 - T g	5,828	LC20	0,00	0,14	0,08	0,60	0,00	0,00
B1	CS8 - T g	5,828	LC21	0,00	0,05	0,03	0,74	0,00	0,00
B1	CS8 - T g	5,828	LC22	0,00	-0,28	0,31	9,92	0,00	0,00
B1	CS8 - T g	5,828	LC23	0,00	0,14	0,08	0,60	0,00	0,00
B1	CS8 - T g	5,828	LC24	0,00	0,02	0,00	0,02	0,00	0,00
B1	CS8 - T g	5,828	LC25	0,00	0,01	0,00	0,21	0,00	0,00
B1	CS8 - T g	5,828	LC26	0,00	0,00	0,00	0,00	0,00	0,00
B1	CS8 - T g	5,828	LC27	0,00	0,00	0,00	0,02	0,00	0,00
B1	CS8 - T g	5,828	LC28	0,00	0,00	0,00	0,00	0,00	0,00
B1	CS8 - T g	5,828	LC29	0,00	0,00	0,00	0,02	0,00	0,00
B1	CS8 - T g	5,828	LC30	0,00	0,17	-0,17	0,62	0,00	0,00
B1	CS8 - T g	5,828	LC31	0,00	0,72	-0,08	1,43	0,00	0,00
B1	CS8 - T g	5,828	LC32	0,00	-0,55	0,86	30,11	0,01	0,00
B1	CS8 - T g	5,828	LC33	0,00	0,62	0,23	4,00	-0,01	0,00
B1	CS8 - T g	5,828	LC34	0,00	-0,40	0,32	3,78	0,01	0,00
B1	CS8 - T g	5,828	LC35	0,00	-1,38	1,29	39,35	0,01	0,00
B1	CS8 - T g	5,828	LC36	0,00	0,39	0,34	0,20	-0,01	0,00
B1	CS8 - T g	5,828	LC37	0,00	-0,09	0,11	3,13	0,00	0,00
B1	CS8 - T g	5,828	LC1	0,00	0,11	-0,02	9,35	-1,38	0,00
B1	CS8 - T g	5,828	LC2	0,00	0,18	-0,43	18,28	0,00	0,00
B1	CS8 - T g	5,828	LC3	0,00	0,56	-0,55	2,17	0,00	0,00
B1	CS8 - T g	5,828	LC4	0,00	1,03	-0,11	2,04	-0,01	0,00
B1	CS8 - T g	5,828	LC5	0,00	-0,10	0,02	-1,55	0,00	0,00
B1	CS8 - T g	5,828	LC6	0,00	-0,30	0,37	10,42	0,00	0,00

Prvek	css	dx [m]	Stav	N [kN]	Vy [kN]	Vz [kN]	Mx [kNm]	My [kNm]	Mz [kNm]
B1	CS8 - T g	5,828	LC7	0,00	-0,79	1,23	43,02	0,01	-0,01
B1	CS8 - T g	5,828	LC8	0,00	0,88	0,33	5,72	-0,01	-0,01
B1	CS8 - T g	5,828	LC9	0,00	-0,57	0,46	5,39	0,01	0,00
B1	CS8 - T g	5,828	LC10	0,00	-1,98	1,84	56,22	0,02	0,00
B1	CS8 - T g	5,828	LC11	0,00	0,56	0,48	0,28	-0,01	0,00
B1	CS8 - T g	5,828	LC12	0,00	0,15	-0,03	0,14	-0,01	0,00
B1	CS8 - T g	5,828	LC13	0,00	0,06	0,03	1,70	0,00	0,00
B1	CS8 - T g	5,828	LC15	0,00	0,14	-0,13	0,97	0,00	0,00
B1	CS8 - T g	5,828	LC16	0,00	0,05	0,03	0,74	0,00	0,00
B1	CS8 - T g	5,828	LC17	0,00	-0,01	0,00	-0,19	0,00	0,00
B1	CS8 - T g	5,828	LC18	0,00	-0,06	0,08	2,88	0,00	0,00
B1	CS8 - T g	5,828	LC19	0,00	-0,28	0,31	9,92	0,00	0,00
B1	CS8 - T g	5,828	LC20	0,00	0,14	0,08	0,60	0,00	0,00
B1	CS8 - T g	5,828	LC21	0,00	0,05	0,03	0,74	0,00	0,00
B1	CS8 - T g	5,828	LC22	0,00	-0,28	0,31	9,92	0,00	0,00
B1	CS8 - T g	5,828	LC23	0,00	0,14	0,08	0,60	0,00	0,00
B1	CS8 - T g	5,828	LC24	0,00	0,02	0,00	0,02	0,00	0,00
B1	CS8 - T g	5,828	LC25	0,00	0,01	0,00	0,21	0,00	0,00
B1	CS8 - T g	5,828	LC26	0,00	0,00	0,00	0,00	0,00	0,00
B1	CS8 - T g	5,828	LC27	0,00	0,00	0,00	0,02	0,00	0,00
B1	CS8 - T g	5,828	LC28	0,00	0,00	0,00	0,00	0,00	0,00
B1	CS8 - T g	5,828	LC29	0,00	0,00	0,00	0,02	0,00	0,00
B1	CS8 - T g	5,828	LC30	0,00	0,17	-0,17	0,62	0,00	0,00
B1	CS8 - T g	5,828	LC31	0,00	0,72	-0,08	1,43	0,00	0,00
B1	CS8 - T g	5,828	LC32	0,00	-0,55	0,86	30,11	0,01	0,00
B1	CS8 - T g	5,828	LC33	0,00	0,62	0,23	4,00	-0,01	0,00
B1	CS8 - T g	5,828	LC34	0,00	-0,40	0,32	3,78	0,01	0,00
B1	CS8 - T g	5,828	LC35	0,00	-1,38	1,29	39,35	0,01	0,00
B1	CS8 - T g	5,828	LC36	0,00	0,39	0,34	0,20	-0,01	0,00
B1	CS8 - T g	5,828	LC37	0,00	-0,09	0,11	3,13	0,00	0,00
B1	CS8 - T g	6,314	LC1	0,00	0,51	-0,13	9,73	-1,38	0,00
B1	CS8 - T g	6,314	LC2	0,00	0,61	-0,47	20,42	0,00	-0,01
B1	CS8 - T g	6,314	LC3	0,00	0,70	-0,54	3,60	0,00	0,00
B1	CS8 - T g	6,314	LC4	0,00	1,79	-0,30	0,24	-0,01	-0,01
B1	CS8 - T g	6,314	LC5	0,00	0,41	-0,32	-2,07	-0,03	-0,01
B1	CS8 - T g	6,314	LC6	0,00	-0,16	0,33	10,11	0,00	0,00
B1	CS8 - T g	6,314	LC7	0,00	0,07	1,22	42,47	0,00	-0,01
B1	CS8 - T g	6,314	LC8	0,00	1,96	-0,07	1,64	-0,03	-0,01
B1	CS8 - T g	6,314	LC9	0,00	-0,22	0,43	4,51	0,00	0,00
B1	CS8 - T g	6,314	LC10	0,00	-1,42	2,01	56,71	0,01	-0,01
B1	CS8 - T g	6,314	LC11	0,00	1,49	0,05	-4,61	-0,03	-0,01
B1	CS8 - T g	6,314	LC12	0,00	0,66	-0,16	-0,30	-0,01	-0,01
B1	CS8 - T g	6,314	LC13	0,00	0,15	0,07	1,69	0,00	0,00
B1	CS8 - T g	6,314	LC15	0,00	0,19	-0,13	1,34	0,00	0,00
B1	CS8 - T g	6,314	LC16	0,00	0,16	0,01	0,48	0,00	0,00
B1	CS8 - T g	6,314	LC17	0,00	0,05	-0,04	-0,26	0,00	0,00
B1	CS8 - T g	6,314	LC18	0,00	-0,01	0,07	2,84	0,00	0,00
B1	CS8 - T g	6,314	LC19	0,00	-0,14	0,32	9,92	0,00	0,00
B1	CS8 - T g	6,314	LC20	0,00	0,35	0,00	-0,30	-0,01	0,00
B1	CS8 - T g	6,314	LC21	0,00	0,16	0,01	0,48	0,00	0,00
B1	CS8 - T g	6,314	LC22	0,00	-0,14	0,32	9,92	0,00	0,00
B1	CS8 - T g	6,314	LC23	0,00	0,35	0,00	-0,30	-0,01	0,00
B1	CS8 - T g	6,314	LC24	0,00	0,08	-0,02	-0,04	0,00	0,00
B1	CS8 - T g	6,314	LC25	0,00	0,02	0,01	0,21	0,00	0,00
B1	CS8 - T g	6,314	LC26	0,00	0,00	0,00	0,00	0,00	0,00
B1	CS8 - T g	6,314	LC27	0,00	0,00	0,00	0,03	0,00	0,00
B1	CS8 - T g	6,314	LC28	0,00	0,00	0,00	0,00	0,00	0,00
B1	CS8 - T g	6,314	LC29	0,00	0,00	0,00	0,02	0,00	0,00
B1	CS8 - T g	6,314	LC30	0,00	0,21	-0,16	1,05	0,00	0,00
B1	CS8 - T g	6,314	LC31	0,00	1,25	-0,21	0,17	-0,01	-0,01
B1	CS8 - T g	6,314	LC32	0,00	0,05	0,85	29,73	0,00	-0,01
B1	CS8 - T g	6,314	LC33	0,00	1,37	-0,05	1,15	-0,02	-0,01
B1	CS8 - T g	6,314	LC34	0,00	-0,15	0,30	3,16	0,00	0,00
B1	CS8 - T g	6,314	LC35	0,00	-1,00	1,40	39,70	0,01	0,00
B1	CS8 - T g	6,314	LC36	0,00	1,04	0,04	-3,23	-0,02	-0,01
B1	CS8 - T g	6,314	LC37	0,00	-0,05	0,10	3,03	0,00	0,00



Prvek	css	dx [m]	Stav	N [kN]	Vy [kN]	Vz [kN]	Mx [kNm]	My [kNm]	Mz [kNm]
B1	CS8 - T g	6,799	LC1	0,00	0,91	-0,25	10,10	-1,39	-0,01
B1	CS8 - T g	6,799	LC2	0,00	1,05	-0,51	22,57	-0,01	-0,01
B1	CS8 - T g	6,799	LC3	0,00	0,84	-0,52	5,03	0,00	0,00
B1	CS8 - T g	6,799	LC4	0,00	2,54	-0,49	-1,56	-0,02	-0,01
B1	CS8 - T g	6,799	LC5	0,00	0,93	-0,67	-2,59	-0,05	-0,01
B1	CS8 - T g	6,799	LC6	0,00	-0,02	0,30	9,80	-0,01	0,00
B1	CS8 - T g	6,799	LC7	0,00	0,92	1,21	41,91	-0,01	-0,02
B1	CS8 - T g	6,799	LC8	0,00	3,05	-0,47	-2,44	-0,05	-0,02
B1	CS8 - T g	6,799	LC9	0,00	0,13	0,40	3,63	-0,01	-0,01
B1	CS8 - T g	6,799	LC10	0,00	-0,87	2,17	<b>57,21</b>	0,01	-0,01
B1	CS8 - T g	6,799	LC11	0,00	2,43	-0,38	-9,51	-0,06	-0,02
B1	CS8 - T g	6,799	LC12	0,00	1,16	-0,30	-0,73	-0,02	-0,01
B1	CS8 - T g	6,799	LC13	0,00	0,24	0,10	1,69	0,01	0,00
B1	CS8 - T g	6,799	LC15	0,00	0,24	-0,13	1,70	0,00	0,00
B1	CS8 - T g	6,799	LC16	0,00	0,27	-0,01	0,21	0,00	0,00
B1	CS8 - T g	6,799	LC17	0,00	0,12	-0,08	-0,32	-0,01	0,00
B1	CS8 - T g	6,799	LC18	0,00	0,04	0,06	2,80	0,00	0,00
B1	CS8 - T g	6,799	LC19	0,00	0,01	0,34	9,91	0,00	0,00
B1	CS8 - T g	6,799	LC20	0,00	0,55	-0,09	-1,19	-0,01	0,00
B1	CS8 - T g	6,799	LC21	0,00	0,27	-0,01	0,21	0,00	0,00
B1	CS8 - T g	6,799	LC22	0,00	0,01	0,34	9,91	0,00	0,00
B1	CS8 - T g	6,799	LC23	0,00	0,55	-0,09	-1,19	-0,01	0,00
B1	CS8 - T g	6,799	LC24	0,00	0,15	-0,04	-0,09	0,00	0,00
B1	CS8 - T g	6,799	LC25	0,00	0,03	0,01	0,21	0,00	0,00
B1	CS8 - T g	6,799	LC26	0,00	0,00	0,00	0,01	0,00	0,00
B1	CS8 - T g	6,799	LC27	0,00	0,00	0,00	0,03	0,00	0,00
B1	CS8 - T g	6,799	LC28	0,00	0,00	0,00	0,01	0,00	0,00
B1	CS8 - T g	6,799	LC29	0,00	0,00	0,00	0,02	0,00	0,00
B1	CS8 - T g	6,799	LC30	0,00	0,25	-0,16	1,48	0,00	0,00
B1	CS8 - T g	6,799	LC31	0,00	1,78	-0,35	-1,09	-0,02	-0,01
B1	CS8 - T g	6,799	LC32	0,00	0,64	0,85	29,34	-0,01	-0,01
B1	CS8 - T g	6,799	LC33	0,00	2,13	-0,33	-1,71	-0,04	-0,01
B1	CS8 - T g	6,799	LC34	0,00	0,09	0,28	2,54	-0,01	-0,01
B1	CS8 - T g	6,799	LC35	0,00	-0,61	1,52	40,04	0,00	-0,01
B1	CS8 - T g	6,799	LC36	0,00	1,70	-0,27	-6,66	-0,04	-0,01
B1	CS8 - T g	6,799	LC37	0,00	-0,01	0,09	2,93	0,00	0,00
B1	CS8 - T g	6,799	LC1	0,00	0,91	-0,25	10,10	-1,39	-0,01
B1	CS8 - T g	6,799	LC2	0,00	1,05	-0,51	22,57	-0,01	-0,01
B1	CS8 - T g	6,799	LC3	0,00	0,84	-0,52	5,03	0,00	0,00
B1	CS8 - T g	6,799	LC4	0,00	2,54	-0,49	-1,56	-0,02	-0,01
B1	CS8 - T g	6,799	LC5	0,00	0,93	-0,67	-2,59	-0,05	-0,01
B1	CS8 - T g	6,799	LC6	0,00	-0,02	0,30	9,80	-0,01	0,00
B1	CS8 - T g	6,799	LC7	0,00	0,92	1,21	41,91	-0,01	-0,02
B1	CS8 - T g	6,799	LC8	0,00	3,05	-0,47	-2,44	-0,05	-0,02
B1	CS8 - T g	6,799	LC9	0,00	0,13	0,40	3,63	-0,01	-0,01
B1	CS8 - T g	6,799	LC10	0,00	-0,87	2,17	57,21	0,01	-0,01
B1	CS8 - T g	6,799	LC11	0,00	2,43	-0,38	-9,51	-0,06	-0,02
B1	CS8 - T g	6,799	LC12	0,00	1,16	-0,30	-0,73	-0,02	-0,01
B1	CS8 - T g	6,799	LC13	0,00	0,24	0,10	1,69	0,01	0,00
B1	CS8 - T g	6,799	LC15	0,00	0,24	-0,13	1,70	0,00	0,00
B1	CS8 - T g	6,799	LC16	0,00	0,27	-0,01	0,21	0,00	0,00
B1	CS8 - T g	6,799	LC17	0,00	0,12	-0,08	-0,32	-0,01	0,00
B1	CS8 - T g	6,799	LC18	0,00	0,04	0,06	2,80	0,00	0,00
B1	CS8 - T g	6,799	LC19	0,00	0,01	0,34	9,91	0,00	0,00
B1	CS8 - T g	6,799	LC20	0,00	0,55	-0,09	-1,19	-0,01	0,00
B1	CS8 - T g	6,799	LC21	0,00	0,27	-0,01	0,21	0,00	0,00
B1	CS8 - T g	6,799	LC22	0,00	0,01	0,34	9,91	0,00	0,00
B1	CS8 - T g	6,799	LC23	0,00	0,55	-0,09	-1,19	-0,01	0,00
B1	CS8 - T g	6,799	LC24	0,00	0,15	-0,04	-0,09	0,00	0,00
B1	CS8 - T g	6,799	LC25	0,00	0,03	0,01	0,21	0,00	0,00
B1	CS8 - T g	6,799	LC26	0,00	0,00	0,00	0,01	0,00	0,00
B1	CS8 - T g	6,799	LC27	0,00	0,00	0,00	0,03	0,00	0,00
B1	CS8 - T g	6,799	LC28	0,00	0,00	0,00	0,01	0,00	0,00
B1	CS8 - T g	6,799	LC29	0,00	0,00	0,00	0,02	0,00	0,00
B1	CS8 - T g	6,799	LC30	0,00	0,25	-0,16	1,48	0,00	0,00
B1	CS8 - T g	6,799	LC31	0,00	1,78	-0,35	-1,09	-0,02	-0,01

Prvek	css	dx [m]	Stav	N [kN]	Vy [kN]	Vz [kN]	Mx [kNm]	My [kNm]	Mz [kNm]
B1	CS8 - T g	6,799	LC32	0,00	0,64	0,85	29,34	-0,01	-0,01
B1	CS8 - T g	6,799	LC33	0,00	2,13	-0,33	-1,71	-0,04	-0,01
B1	CS8 - T g	6,799	LC34	0,00	0,09	0,28	2,54	-0,01	-0,01
B1	CS8 - T g	6,799	LC35	0,00	-0,61	1,52	40,04	0,00	-0,01
B1	CS8 - T g	6,799	LC36	0,00	1,70	-0,27	-6,66	-0,04	-0,01
B1	CS8 - T g	6,799	LC37	0,00	-0,01	0,09	2,93	0,00	0,00
B1	CS8 - T g	7,285	LC1	0,00	2,56	-2,45	10,31	-1,54	-0,02
B1	CS8 - T g	7,285	LC2	0,00	4,23	0,52	24,47	0,08	-0,04
B1	CS8 - T g	7,285	LC3	0,00	1,91	1,21	6,46	0,13	-0,01
B1	CS8 - T g	7,285	LC4	0,00	3,30	2,40	-3,32	0,22	-0,01
B1	CS8 - T g	7,285	LC5	0,00	2,49	-18,90	-3,70	-1,41	-0,02
B1	CS8 - T g	7,285	LC6	0,00	0,79	0,56	9,40	0,02	-0,01
B1	CS8 - T g	7,285	LC7	0,00	1,81	6,42	39,47	0,40	-0,01
B1	CS8 - T g	7,285	LC8	0,00	1,10	-4,38	-6,51	-0,30	0,02
B1	CS8 - T g	7,285	LC9	0,00	0,99	3,58	2,48	0,25	-0,01
B1	CS8 - T g	7,285	LC10	0,00	1,33	9,95	55,31	0,60	-0,03
B1	CS8 - T g	7,285	LC11	0,00	0,34	-6,55	-13,96	-0,48	0,02
B1	CS8 - T g	7,285	LC12	0,00	2,86	-1,11	-1,47	-0,06	-0,02
B1	CS8 - T g	7,285	LC13	0,00	0,86	4,79	1,69	0,36	-0,01
B1	CS8 - T g	7,285	LC15	0,00	0,58	0,26	2,06	0,03	0,00
B1	CS8 - T g	7,285	LC16	0,00	0,43	0,60	-0,08	0,05	0,00
B1	CS8 - T g	7,285	LC17	0,00	0,31	-2,36	-0,46	-0,18	0,00
B1	CS8 - T g	7,285	LC18	0,00	0,32	0,11	2,74	0,00	0,00
B1	CS8 - T g	7,285	LC19	0,00	0,31	1,64	9,48	0,10	0,00
B1	CS8 - T g	7,285	LC20	0,00	0,14	-1,09	-2,05	-0,08	0,00
B1	CS8 - T g	7,285	LC21	0,00	0,43	0,60	-0,08	0,05	0,00
B1	CS8 - T g	7,285	LC22	0,00	0,31	1,64	9,48	0,10	0,00
B1	CS8 - T g	7,285	LC23	0,00	0,14	-1,09	-2,05	-0,08	0,00
B1	CS8 - T g	7,285	LC24	0,00	0,36	-0,14	-0,18	-0,01	0,00
B1	CS8 - T g	7,285	LC25	0,00	0,11	0,60	0,21	0,05	0,00
B1	CS8 - T g	7,285	LC26	0,00	0,01	0,01	0,02	0,00	0,00
B1	CS8 - T g	7,285	LC27	0,00	0,00	0,00	0,03	0,00	0,00
B1	CS8 - T g	7,285	LC28	0,00	0,00	0,00	0,01	0,00	0,00
B1	CS8 - T g	7,285	LC29	0,00	0,00	0,00	0,02	0,00	0,00
B1	CS8 - T g	7,285	LC30	0,00	0,57	0,37	1,91	0,04	0,00
B1	CS8 - T g	7,285	LC31	0,00	2,31	1,68	-2,33	0,16	-0,01
B1	CS8 - T g	7,285	LC32	0,00	1,27	4,49	27,63	0,28	-0,01
B1	CS8 - T g	7,285	LC33	0,00	0,77	-3,07	-4,56	-0,21	0,02
B1	CS8 - T g	7,285	LC34	0,00	0,69	2,51	1,73	0,17	-0,01
B1	CS8 - T g	7,285	LC35	0,00	0,93	6,96	38,72	0,42	-0,02
B1	CS8 - T g	7,285	LC36	0,00	0,24	-4,59	-9,77	-0,33	0,02
B1	CS8 - T g	7,285	LC37	0,00	0,23	0,17	2,81	0,01	0,00
B1	CS8 - T g	7,771	LC1	0,00	4,22	-4,64	10,52	-1,70	-0,03
B1	CS8 - T g	7,771	LC2	0,00	7,42	1,55	26,37	0,16	-0,07
B1	CS8 - T g	7,771	LC3	0,00	2,99	2,94	7,90	0,27	-0,02
B1	CS8 - T g	7,771	LC4	0,00	4,06	5,29	-5,09	0,47	0,00
B1	CS8 - T g	7,771	LC5	0,00	4,04	-37,13	-4,81	-2,78	-0,03
B1	CS8 - T g	7,771	LC6	0,00	1,59	0,82	8,99	0,05	-0,02
B1	CS8 - T g	7,771	LC7	0,00	2,71	11,63	37,02	0,82	-0,01
B1	CS8 - T g	7,771	LC8	0,00	-0,85	-8,29	-10,58	-0,56	0,07
B1	CS8 - T g	7,771	LC9	0,00	1,86	6,76	1,32	0,50	-0,01
B1	CS8 - T g	7,771	LC10	0,00	3,54	17,72	53,42	1,20	-0,04
B1	CS8 - T g	7,771	LC11	0,00	-1,74	-12,72	-18,41	-0,90	0,07
B1	CS8 - T g	7,771	LC12	0,00	4,57	-1,92	-2,21	-0,11	-0,03
B1	CS8 - T g	7,771	LC13	0,00	1,48	9,47	1,70	0,72	-0,01
B1	CS8 - T g	7,771	LC15	0,00	0,92	0,65	2,42	0,06	-0,01
B1	CS8 - T g	7,771	LC16	0,00	0,59	1,20	-0,38	0,10	0,00
B1	CS8 - T g	7,771	LC17	0,00	0,51	-4,64	-0,60	-0,35	0,00
B1	CS8 - T g	7,771	LC18	0,00	0,60	0,16	2,67	0,01	-0,01
B1	CS8 - T g	7,771	LC19	0,00	0,62	2,94	9,04	0,20	0,00
B1	CS8 - T g	7,771	LC20	0,00	-0,26	-2,10	-2,90	-0,15	0,01
B1	CS8 - T g	7,771	LC21	0,00	0,59	1,20	-0,38	0,10	0,00
B1	CS8 - T g	7,771	LC22	0,00	0,62	2,94	9,04	0,20	0,00
B1	CS8 - T g	7,771	LC23	0,00	-0,26	-2,10	-2,90	-0,15	0,01
B1	CS8 - T g	7,771	LC24	0,00	0,57	-0,24	-0,28	-0,01	0,00
B1	CS8 - T g	7,771	LC25	0,00	0,18	1,18	0,21	0,09	0,00

Prvek	css	dx [m]	Stav	N [kN]	Vy [kN]	Vz [kN]	Mx [kNm]	My [kNm]	Mz [kNm]
B1	CS8 - T g	7,771	LC26	0,00	0,01	0,01	0,02	0,00	0,00
B1	CS8 - T g	7,771	LC27	0,00	0,00	0,00	0,03	0,00	0,00
B1	CS8 - T g	7,771	LC28	0,00	0,00	0,01	0,01	0,00	0,00
B1	CS8 - T g	7,771	LC29	0,00	0,00	0,00	0,02	0,00	0,00
B1	CS8 - T g	7,771	LC30	0,00	0,89	0,90	2,35	0,08	-0,01
B1	CS8 - T g	7,771	LC31	0,00	2,84	3,70	-3,56	0,33	0,00
B1	CS8 - T g	7,771	LC32	0,00	1,90	8,14	25,92	0,57	0,00
B1	CS8 - T g	7,771	LC33	0,00	-0,60	-5,80	-7,41	-0,39	0,05
B1	CS8 - T g	7,771	LC34	0,00	1,30	4,73	0,92	0,35	-0,01
B1	CS8 - T g	7,771	LC35	0,00	2,48	12,40	37,39	0,84	-0,03
B1	CS8 - T g	7,771	LC36	0,00	-1,22	-8,91	-12,89	-0,63	0,05
B1	CS8 - T g	7,771	LC37	0,00	0,46	0,25	2,68	0,01	0,00
B1	CS8 - T g	7,771	LC1	0,00	4,22	-4,64	10,52	-1,70	-0,03
B1	CS8 - T g	7,771	LC2	0,00	7,42	1,55	26,37	0,16	-0,07
B1	CS8 - T g	7,771	LC3	0,00	2,99	2,94	7,90	0,27	-0,02
B1	CS8 - T g	7,771	LC4	0,00	4,06	5,29	-5,09	0,47	0,00
B1	CS8 - T g	7,771	LC5	0,00	4,04	-37,13	-4,81	-2,78	-0,03
B1	CS8 - T g	7,771	LC6	0,00	1,59	0,82	8,99	0,05	-0,02
B1	CS8 - T g	7,771	LC7	0,00	2,71	11,63	37,02	0,82	-0,01
B1	CS8 - T g	7,771	LC8	0,00	-0,85	-8,29	-10,58	-0,56	0,07
B1	CS8 - T g	7,771	LC9	0,00	1,86	6,76	1,32	0,50	-0,01
B1	CS8 - T g	7,771	LC10	0,00	3,54	17,72	53,42	1,20	-0,04
B1	CS8 - T g	7,771	LC11	0,00	-1,74	-12,72	-18,41	-0,90	0,07
B1	CS8 - T g	7,771	LC12	0,00	4,57	-1,92	-2,21	-0,11	-0,03
B1	CS8 - T g	7,771	LC13	0,00	1,48	9,47	1,70	0,72	-0,01
B1	CS8 - T g	7,771	LC15	0,00	0,92	0,65	2,42	0,06	-0,01
B1	CS8 - T g	7,771	LC16	0,00	0,59	1,20	-0,38	0,10	0,00
B1	CS8 - T g	7,771	LC17	0,00	0,51	-4,64	-0,60	-0,35	0,00
B1	CS8 - T g	7,771	LC18	0,00	0,60	0,16	2,67	0,01	-0,01
B1	CS8 - T g	7,771	LC19	0,00	0,62	2,94	9,04	0,20	0,00
B1	CS8 - T g	7,771	LC20	0,00	-0,26	-2,10	-2,90	-0,15	0,01
B1	CS8 - T g	7,771	LC21	0,00	0,59	1,20	-0,38	0,10	0,00
B1	CS8 - T g	7,771	LC22	0,00	0,62	2,94	9,04	0,20	0,00
B1	CS8 - T g	7,771	LC23	0,00	-0,26	-2,10	-2,90	-0,15	0,01
B1	CS8 - T g	7,771	LC24	0,00	0,57	-0,24	-0,28	-0,01	0,00
B1	CS8 - T g	7,771	LC25	0,00	0,18	1,18	0,21	0,09	0,00
B1	CS8 - T g	7,771	LC26	0,00	0,01	0,01	0,02	0,00	0,00
B1	CS8 - T g	7,771	LC27	0,00	0,00	0,00	0,03	0,00	0,00
B1	CS8 - T g	7,771	LC28	0,00	0,00	0,01	0,01	0,00	0,00
B1	CS8 - T g	7,771	LC29	0,00	0,00	0,00	0,02	0,00	0,00
B1	CS8 - T g	7,771	LC30	0,00	0,89	0,90	2,35	0,08	-0,01
B1	CS8 - T g	7,771	LC31	0,00	2,84	3,70	-3,56	0,33	0,00
B1	CS8 - T g	7,771	LC32	0,00	1,90	8,14	25,92	0,57	0,00
B1	CS8 - T g	7,771	LC33	0,00	-0,60	-5,80	-7,41	-0,39	0,05
B1	CS8 - T g	7,771	LC34	0,00	1,30	4,73	0,92	0,35	-0,01
B1	CS8 - T g	7,771	LC35	0,00	2,48	12,40	37,39	0,84	-0,03
B1	CS8 - T g	7,771	LC36	0,00	-1,22	-8,91	-12,89	-0,63	0,05
B1	CS8 - T g	7,771	LC37	0,00	0,46	0,25	2,68	0,01	0,00
B1	CS8 - T g	8,256	LC1	0,00	6,89	-8,84	10,58	-5,95	2,07
B1	CS8 - T g	8,256	LC2	0,00	13,10	3,68	28,04	2,44	4,88
B1	CS8 - T g	8,256	LC3	0,00	4,93	6,36	9,26	3,81	1,69
B1	CS8 - T g	8,256	LC4	0,00	4,45	11,39	-6,34	7,13	-0,31
B1	CS8 - T g	8,256	LC5	0,00	6,23	-72,94	-6,40	-39,68	1,33
B1	CS8 - T g	8,256	LC6	0,00	2,98	1,41	8,60	0,71	1,15
B1	CS8 - T g	8,256	LC7	0,00	3,22	22,19	34,14	11,98	-0,33
B1	CS8 - T g	8,256	LC8	0,00	-6,48	-15,46	-14,30	-7,49	-6,62
B1	CS8 - T g	8,256	LC9	0,00	2,84	13,26	0,41	7,49	0,43
B1	CS8 - T g	8,256	LC10	0,00	7,13	33,19	50,94	17,33	2,98
B1	CS8 - T g	8,256	LC11	0,00	-7,43	-24,35	-22,26	-12,42	-6,57
B1	CS8 - T g	8,256	LC12	0,00	7,15	-3,35	-3,15	-1,44	1,81
B1	CS8 - T g	8,256	LC13	0,00	2,59	18,74	1,73	10,33	0,96
B1	CS8 - T g	8,256	LC15	0,00	1,52	1,42	2,76	0,87	0,52
B1	CS8 - T g	8,256	LC16	0,00	0,73	2,46	-0,59	1,46	0,01
B1	CS8 - T g	8,256	LC17	0,00	0,78	-9,12	-0,80	-4,96	0,17
B1	CS8 - T g	8,256	LC18	0,00	1,07	0,28	2,60	0,16	0,39
B1	CS8 - T g	8,256	LC19	0,00	1,04	5,54	8,51	2,93	0,26

Prvek	css	dx [m]	Stav	N [kN]	Vy [kN]	Vz [kN]	Mx [kNm]	My [kNm]	Mz [kNm]
B1	CS8 - T g	8,256	LC20	0,00	-1,39	-3,98	-3,66	-1,99	-1,32
B1	CS8 - T g	8,256	LC21	0,00	0,73	2,46	-0,59	1,46	0,01
B1	CS8 - T g	8,256	LC22	0,00	1,04	5,54	8,51	2,93	0,26
B1	CS8 - T g	8,256	LC23	0,00	-1,39	-3,98	-3,66	-1,99	-1,32
B1	CS8 - T g	8,256	LC24	0,00	0,89	-0,42	-0,39	-0,18	0,23
B1	CS8 - T g	8,256	LC25	0,00	0,32	2,34	0,22	1,29	0,12
B1	CS8 - T g	8,256	LC26	0,00	0,01	0,03	0,03	0,02	0,00
B1	CS8 - T g	8,256	LC27	0,00	0,01	0,01	0,03	0,00	0,00
B1	CS8 - T g	8,256	LC28	0,00	0,01	0,02	0,02	0,01	0,00
B1	CS8 - T g	8,256	LC29	0,00	0,00	0,01	0,02	0,00	0,00
B1	CS8 - T g	8,256	LC30	0,00	1,47	1,94	2,76	1,16	0,50
B1	CS8 - T g	8,256	LC31	0,00	3,12	7,97	-4,44	4,99	-0,21
B1	CS8 - T g	8,256	LC32	0,00	2,26	15,53	23,90	8,39	-0,23
B1	CS8 - T g	8,256	LC33	0,00	-4,54	-10,82	-10,01	-5,24	-4,64
B1	CS8 - T g	8,256	LC34	0,00	1,99	9,28	0,29	5,24	0,30
B1	CS8 - T g	8,256	LC35	0,00	4,99	23,23	35,66	12,13	2,08
B1	CS8 - T g	8,256	LC36	0,00	-5,20	-17,04	-15,58	-8,70	-4,60
B1	CS8 - T g	8,256	LC37	0,00	0,87	0,43	2,56	0,22	0,34
B1	CS8 - T g	8,742	LC1	0,00	9,56	-13,04	10,64	-10,20	4,16
B1	CS8 - T g	8,742	LC2	0,00	18,78	5,81	29,71	4,71	9,83
B1	CS8 - T g	8,742	LC3	0,00	6,88	9,78	10,62	7,35	3,41
B1	CS8 - T g	8,742	LC4	0,00	4,85	17,48	-7,59	13,78	-0,61
B1	CS8 - T g	8,742	LC5	0,00	8,42	<b>-108,76</b>	-7,99	<b>-76,58</b>	2,68
B1	CS8 - T g	8,742	LC6	0,00	4,36	2,00	8,21	1,38	2,31
B1	CS8 - T g	8,742	LC7	0,00	3,74	32,74	31,25	23,14	-0,66
B1	CS8 - T g	8,742	LC8	0,00	-12,10	-22,62	-18,02	-14,42	-13,31
B1	CS8 - T g	8,742	LC9	0,00	3,82	19,77	-0,50	14,47	0,87
B1	CS8 - T g	8,742	LC10	0,00	10,73	48,66	48,46	33,45	6,00
B1	CS8 - T g	8,742	LC11	0,00	-13,13	-35,97	-26,10	-23,95	-13,20
B1	CS8 - T g	8,742	LC12	0,00	9,73	-4,77	-4,09	-2,78	3,66
B1	CS8 - T g	8,742	LC13	0,00	3,70	28,01	1,76	19,94	1,94
B1	CS8 - T g	8,742	LC15	0,00	2,13	2,20	3,09	1,68	1,04
B1	CS8 - T g	8,742	LC16	0,00	0,87	3,73	-0,81	2,82	0,03
B1	CS8 - T g	8,742	LC17	0,00	1,05	-13,60	-1,00	-9,57	0,34
B1	CS8 - T g	8,742	LC18	0,00	1,55	0,40	2,53	0,30	0,79
B1	CS8 - T g	8,742	LC19	0,00	1,45	8,14	7,97	5,66	0,53
B1	CS8 - T g	8,742	LC20	0,00	-2,52	-5,86	-4,41	-3,84	-2,65
B1	CS8 - T g	8,742	LC21	0,00	0,87	3,73	-0,81	2,82	0,03
B1	CS8 - T g	8,742	LC22	0,00	1,45	8,14	7,97	5,66	0,53
B1	CS8 - T g	8,742	LC23	0,00	-2,52	-5,86	-4,41	-3,84	-2,65
B1	CS8 - T g	8,742	LC24	0,00	1,22	-0,60	-0,51	-0,35	0,46
B1	CS8 - T g	8,742	LC25	0,00	0,46	3,50	0,22	2,49	0,24
B1	CS8 - T g	8,742	LC26	0,00	0,02	0,05	0,03	0,03	0,01
B1	CS8 - T g	8,742	LC27	0,00	0,01	0,01	0,03	0,01	0,01
B1	CS8 - T g	8,742	LC28	0,00	0,01	0,03	0,02	0,02	0,00
B1	CS8 - T g	8,742	LC29	0,00	0,01	0,01	0,02	0,01	0,00
B1	CS8 - T g	8,742	LC30	0,00	2,04	2,99	3,17	2,24	1,01
B1	CS8 - T g	8,742	LC31	0,00	3,39	12,24	-5,31	9,64	-0,43
B1	CS8 - T g	8,742	LC32	0,00	2,62	22,92	21,88	16,20	-0,46
B1	CS8 - T g	8,742	LC33	0,00	-8,47	-15,84	-12,62	-10,09	-9,32
B1	CS8 - T g	8,742	LC34	0,00	2,67	13,84	-0,35	10,13	0,61
B1	CS8 - T g	8,742	LC35	0,00	7,51	34,06	33,92	23,42	4,20
B1	CS8 - T g	8,742	LC36	0,00	-9,19	-25,18	-18,27	-16,76	-9,24
B1	CS8 - T g	8,742	LC37	0,00	1,28	0,61	2,44	0,42	0,68
B2	CS8 - T g	0,000	LC1	0,00	-9,24	-3,78	-1,25	1,39	6,57
B2	CS8 - T g	0,000	LC2	0,00	-10,77	-3,76	2,38	3,32	7,48
B2	CS8 - T g	0,000	LC3	0,00	-2,91	-0,96	0,79	0,65	1,95
B2	CS8 - T g	0,000	LC4	0,00	-15,37	-1,94	-8,81	1,57	11,91
B2	CS8 - T g	0,000	LC5	0,00	-0,94	-0,60	0,46	0,34	0,31
B2	CS8 - T g	0,000	LC6	0,00	-7,03	-2,02	-0,72	1,89	5,26
B2	CS8 - T g	0,000	LC7	0,00	-17,82	-6,83	6,54	4,86	14,10
B2	CS8 - T g	0,000	LC8	0,00	-8,87	0,07	2,06	3,02	2,18
B2	CS8 - T g	0,000	LC9	0,00	-22,24	-2,23	-14,66	2,43	18,66
B2	CS8 - T g	0,000	LC10	0,00	-24,01	-9,84	3,39	7,55	20,50
B2	CS8 - T g	0,000	LC11	0,00	-10,56	0,46	-3,40	4,80	2,53
B2	CS8 - T g	0,000	LC12	0,00	-1,67	-0,65	1,61	0,30	0,77

Prvek	css	dx [m]	Stav	N [kN]	Vy [kN]	Vz [kN]	Mx [kNm]	My [kNm]	Mz [kNm]
B2	CS8 - T g	0,000	LC13	0,00	-0,90	-0,18	1,20	0,04	0,48
B2	CS8 - T g	0,000	LC15	0,00	-1,06	-0,34	0,20	0,25	0,72
B2	CS8 - T g	0,000	LC16	0,00	-3,76	-0,42	-2,35	0,40	3,06
B2	CS8 - T g	0,000	LC17	0,00	-0,12	-0,08	0,06	0,04	0,04
B2	CS8 - T g	0,000	LC18	0,00	-2,01	-0,59	-0,14	0,53	1,49
B2	CS8 - T g	0,000	LC19	0,00	-4,18	-1,67	0,99	1,24	3,46
B2	CS8 - T g	0,000	LC20	0,00	-1,94	0,05	-0,13	0,78	0,47
B2	CS8 - T g	0,000	LC21	0,00	-3,76	-0,42	-2,35	0,40	3,06
B2	CS8 - T g	0,000	LC22	0,00	-4,18	-1,67	0,99	1,24	3,46
B2	CS8 - T g	0,000	LC23	0,00	-1,94	0,05	-0,13	0,78	0,47
B2	CS8 - T g	0,000	LC24	0,00	-0,21	-0,08	0,20	0,04	0,10
B2	CS8 - T g	0,000	LC25	0,00	-0,11	-0,02	0,15	0,00	0,06
B2	CS8 - T g	0,000	LC26	0,00	0,00	0,00	0,00	0,00	0,00
B2	CS8 - T g	0,000	LC27	0,00	-0,01	0,00	0,01	0,00	0,00
B2	CS8 - T g	0,000	LC28	0,00	0,00	0,00	0,00	0,00	0,00
B2	CS8 - T g	0,000	LC29	0,00	0,00	0,00	0,00	0,00	0,00
B2	CS8 - T g	0,000	LC30	0,00	-0,85	-0,28	0,24	0,19	0,57
B2	CS8 - T g	0,000	LC31	0,00	-10,76	-1,36	-6,16	1,10	8,34
B2	CS8 - T g	0,000	LC32	0,00	-12,47	-4,78	4,58	3,40	9,87
B2	CS8 - T g	0,000	LC33	0,00	-6,21	0,05	1,44	2,11	1,53
B2	CS8 - T g	0,000	LC34	0,00	-15,57	-1,56	-10,26	1,70	13,06
B2	CS8 - T g	0,000	LC35	0,00	-16,80	-6,89	2,37	5,28	14,35
B2	CS8 - T g	0,000	LC36	0,00	-7,39	0,33	-2,38	3,36	1,77
B2	CS8 - T g	0,000	LC37	0,00	-2,10	-0,60	-0,22	0,56	1,58
B2	CS8 - T g	0,485	LC1	0,00	-6,01	-2,48	-0,65	0,06	3,27
B2	CS8 - T g	0,485	LC2	0,00	-7,06	-2,23	2,25	1,72	3,72
B2	CS8 - T g	0,485	LC3	0,00	-1,98	-0,69	1,59	0,34	0,97
B2	CS8 - T g	0,485	LC4	0,00	-9,82	-1,34	-7,21	0,81	5,92
B2	CS8 - T g	0,485	LC5	0,00	-0,74	-0,43	0,19	0,17	0,15
B2	CS8 - T g	0,485	LC6	0,00	-4,41	-1,13	-1,34	0,98	2,62
B2	CS8 - T g	0,485	LC7	0,00	-11,29	-4,79	12,99	2,51	7,01
B2	CS8 - T g	0,485	LC8	0,00	-6,95	0,78	-2,91	1,54	1,08
B2	CS8 - T g	0,485	LC9	0,00	-13,41	-1,26	-12,62	1,25	9,28
B2	CS8 - T g	0,485	LC10	0,00	-14,60	-6,60	9,50	3,90	10,20
B2	CS8 - T g	0,485	LC11	0,00	-8,11	1,73	-14,60	2,45	1,25
B2	CS8 - T g	0,485	LC12	0,00	-1,23	-0,51	2,37	0,16	0,38
B2	CS8 - T g	0,485	LC13	0,00	-0,63	-0,17	2,10	0,02	0,24
B2	CS8 - T g	0,485	LC15	0,00	-0,71	-0,23	0,41	0,13	0,36
B2	CS8 - T g	0,485	LC16	0,00	-2,32	-0,26	-1,98	0,21	1,52
B2	CS8 - T g	0,485	LC17	0,00	-0,09	-0,05	0,02	0,02	0,02
B2	CS8 - T g	0,485	LC18	0,00	-1,27	-0,33	-0,27	0,28	0,74
B2	CS8 - T g	0,485	LC19	0,00	-2,59	-1,14	2,25	0,64	1,72
B2	CS8 - T g	0,485	LC20	0,00	-1,51	0,25	-1,75	0,40	0,23
B2	CS8 - T g	0,485	LC21	0,00	-2,32	-0,26	-1,98	0,21	1,52
B2	CS8 - T g	0,485	LC22	0,00	-2,59	-1,14	2,25	0,64	1,72
B2	CS8 - T g	0,485	LC23	0,00	-1,51	0,25	-1,75	0,40	0,23
B2	CS8 - T g	0,485	LC24	0,00	-0,15	-0,06	0,30	0,02	0,05
B2	CS8 - T g	0,485	LC25	0,00	-0,08	-0,02	0,26	0,00	0,03
B2	CS8 - T g	0,485	LC26	0,00	0,00	0,00	0,01	0,00	0,00
B2	CS8 - T g	0,485	LC27	0,00	0,00	0,00	0,01	0,00	0,00
B2	CS8 - T g	0,485	LC28	0,00	0,00	0,00	0,00	0,00	0,00
B2	CS8 - T g	0,485	LC29	0,00	0,00	0,00	0,01	0,00	0,00
B2	CS8 - T g	0,485	LC30	0,00	-0,58	-0,20	0,48	0,10	0,28
B2	CS8 - T g	0,485	LC31	0,00	-6,87	-0,94	-5,04	0,56	4,15
B2	CS8 - T g	0,485	LC32	0,00	-7,90	-3,35	9,09	1,76	4,91
B2	CS8 - T g	0,485	LC33	0,00	-4,86	0,55	-2,04	1,07	0,76
B2	CS8 - T g	0,485	LC34	0,00	-9,39	-0,88	-8,84	0,88	6,49
B2	CS8 - T g	0,485	LC35	0,00	-10,22	-4,62	6,65	2,73	7,14
B2	CS8 - T g	0,485	LC36	0,00	-5,68	1,21	-10,22	1,71	0,88
B2	CS8 - T g	0,485	LC37	0,00	-1,32	-0,34	-0,41	0,29	0,78
B2	CS8 - T g	0,971	LC1	0,00	-2,78	-1,17	-0,05	-1,27	-0,04
B2	CS8 - T g	0,971	LC2	0,00	-3,35	-0,70	2,12	0,12	-0,04
B2	CS8 - T g	0,971	LC3	0,00	-1,06	-0,43	2,39	0,02	-0,01
B2	CS8 - T g	0,971	LC4	0,00	-4,27	-0,75	-5,61	0,05	-0,06
B2	CS8 - T g	0,971	LC5	0,00	-0,53	-0,25	-0,08	0,01	0,00
B2	CS8 - T g	0,971	LC6	0,00	-1,79	-0,24	-1,96	0,07	-0,03

Prvek	css	dx [m]	Stav	N [kN]	Vy [kN]	Vz [kN]	Mx [kNm]	My [kNm]	Mz [kNm]
B2	CS8 - T g	0,971	LC7	0,00	-4,76	-2,75	19,44	0,16	-0,07
B2	CS8 - T g	0,971	LC8	0,00	-5,02	1,49	-7,88	0,06	-0,02
B2	CS8 - T g	0,971	LC9	0,00	-4,58	-0,28	-10,59	0,08	-0,10
B2	CS8 - T g	0,971	LC10	0,00	-5,20	-3,35	15,62	0,25	-0,11
B2	CS8 - T g	0,971	LC11	0,00	-5,67	2,99	-25,79	0,10	-0,03
B2	CS8 - T g	0,971	LC12	0,00	-0,79	-0,36	3,13	0,01	-0,01
B2	CS8 - T g	0,971	LC13	0,00	-0,36	-0,16	3,00	0,00	0,00
B2	CS8 - T g	0,971	LC15	0,00	-0,36	-0,13	0,61	0,01	0,00
B2	CS8 - T g	0,971	LC16	0,00	-0,88	-0,10	-1,62	0,01	-0,02
B2	CS8 - T g	0,971	LC17	0,00	-0,07	-0,03	-0,01	0,00	0,00
B2	CS8 - T g	0,971	LC18	0,00	-0,53	-0,08	-0,40	0,02	-0,01
B2	CS8 - T g	0,971	LC19	0,00	-1,00	-0,61	3,51	0,04	-0,02
B2	CS8 - T g	0,971	LC20	0,00	-1,07	0,45	-3,37	0,02	0,00
B2	CS8 - T g	0,971	LC21	0,00	-0,88	-0,10	-1,62	0,01	-0,02
B2	CS8 - T g	0,971	LC22	0,00	-1,00	-0,61	3,51	0,04	-0,02
B2	CS8 - T g	0,971	LC23	0,00	-1,07	0,45	-3,37	0,02	0,00
B2	CS8 - T g	0,971	LC24	0,00	-0,10	-0,05	0,39	0,00	0,00
B2	CS8 - T g	0,971	LC25	0,00	-0,05	-0,02	0,37	0,00	0,00
B2	CS8 - T g	0,971	LC26	0,00	0,00	0,00	0,01	0,00	0,00
B2	CS8 - T g	0,971	LC27	0,00	0,00	0,00	0,01	0,00	0,00
B2	CS8 - T g	0,971	LC28	0,00	0,00	0,00	0,01	0,00	0,00
B2	CS8 - T g	0,971	LC29	0,00	0,00	0,00	0,01	0,00	0,00
B2	CS8 - T g	0,971	LC30	0,00	-0,31	-0,13	0,72	0,01	0,00
B2	CS8 - T g	0,971	LC31	0,00	-2,99	-0,52	-3,92	0,03	-0,04
B2	CS8 - T g	0,971	LC32	0,00	-3,34	-1,93	13,61	0,11	-0,05
B2	CS8 - T g	0,971	LC33	0,00	-3,52	1,05	-5,52	0,04	-0,02
B2	CS8 - T g	0,971	LC34	0,00	-3,20	-0,20	-7,41	0,05	-0,07
B2	CS8 - T g	0,971	LC35	0,00	-3,64	-2,35	10,93	0,18	-0,07
B2	CS8 - T g	0,971	LC36	0,00	-3,97	2,09	-18,06	0,07	-0,02
B2	CS8 - T g	0,971	LC37	0,00	-0,53	-0,07	-0,60	0,02	-0,01
B2	CS8 - T g	0,971	LC1	0,00	-2,78	-1,17	-0,05	-1,27	-0,04
B2	CS8 - T g	0,971	LC2	0,00	-3,35	-0,70	2,12	0,12	-0,04
B2	CS8 - T g	0,971	LC3	0,00	-1,06	-0,43	2,39	0,02	-0,01
B2	CS8 - T g	0,971	LC4	0,00	-4,27	-0,75	-5,61	0,05	-0,06
B2	CS8 - T g	0,971	LC5	0,00	-0,53	-0,25	-0,08	0,01	0,00
B2	CS8 - T g	0,971	LC6	0,00	-1,79	-0,24	-1,96	0,07	-0,03
B2	CS8 - T g	0,971	LC7	0,00	-4,76	-2,75	19,44	0,16	-0,07
B2	CS8 - T g	0,971	LC8	0,00	-5,02	1,49	-7,88	0,06	-0,02
B2	CS8 - T g	0,971	LC9	0,00	-4,58	-0,28	-10,59	0,08	-0,10
B2	CS8 - T g	0,971	LC10	0,00	-5,20	-3,35	15,62	0,25	-0,11
B2	CS8 - T g	0,971	LC11	0,00	-5,67	2,99	-25,79	0,10	-0,03
B2	CS8 - T g	0,971	LC12	0,00	-0,79	-0,36	3,13	0,01	-0,01
B2	CS8 - T g	0,971	LC13	0,00	-0,36	-0,16	3,00	0,00	0,00
B2	CS8 - T g	0,971	LC15	0,00	-0,36	-0,13	0,61	0,01	0,00
B2	CS8 - T g	0,971	LC16	0,00	-0,88	-0,10	-1,62	0,01	-0,02
B2	CS8 - T g	0,971	LC17	0,00	-0,07	-0,03	-0,01	0,00	0,00
B2	CS8 - T g	0,971	LC18	0,00	-0,53	-0,08	-0,40	0,02	-0,01
B2	CS8 - T g	0,971	LC19	0,00	-1,00	-0,61	3,51	0,04	-0,02
B2	CS8 - T g	0,971	LC20	0,00	-1,07	0,45	-3,37	0,02	0,00
B2	CS8 - T g	0,971	LC21	0,00	-0,88	-0,10	-1,62	0,01	-0,02
B2	CS8 - T g	0,971	LC22	0,00	-1,00	-0,61	3,51	0,04	-0,02
B2	CS8 - T g	0,971	LC23	0,00	-1,07	0,45	-3,37	0,02	0,00
B2	CS8 - T g	0,971	LC24	0,00	-0,10	-0,05	0,39	0,00	0,00
B2	CS8 - T g	0,971	LC25	0,00	-0,05	-0,02	0,37	0,00	0,00
B2	CS8 - T g	0,971	LC26	0,00	0,00	0,00	0,01	0,00	0,00
B2	CS8 - T g	0,971	LC27	0,00	0,00	0,00	0,01	0,00	0,00
B2	CS8 - T g	0,971	LC28	0,00	0,00	0,00	0,01	0,00	0,00
B2	CS8 - T g	0,971	LC29	0,00	0,00	0,00	0,01	0,00	0,00
B2	CS8 - T g	0,971	LC30	0,00	-0,31	-0,13	0,72	0,01	0,00
B2	CS8 - T g	0,971	LC31	0,00	-2,99	-0,52	-3,92	0,03	-0,04
B2	CS8 - T g	0,971	LC32	0,00	-3,34	-1,93	13,61	0,11	-0,05
B2	CS8 - T g	0,971	LC33	0,00	-3,52	1,05	-5,52	0,04	-0,02
B2	CS8 - T g	0,971	LC34	0,00	-3,20	-0,20	-7,41	0,05	-0,07
B2	CS8 - T g	0,971	LC35	0,00	-3,64	-2,35	10,93	0,18	-0,07
B2	CS8 - T g	0,971	LC36	0,00	-3,97	2,09	-18,06	0,07	-0,02
B2	CS8 - T g	0,971	LC37	0,00	-0,53	-0,07	-0,60	0,02	-0,01

Prvek	css	dx [m]	Stav	N [kN]	Vy [kN]	Vz [kN]	Mx [kNm]	My [kNm]	Mz [kNm]
B2	CS8 - T g	1,456	LC1	0,00	-1,31	-0,51	0,37	-1,32	-0,02
B2	CS8 - T g	1,456	LC2	0,00	-1,63	0,06	1,66	0,06	-0,02
B2	CS8 - T g	1,456	LC3	0,00	-0,67	-0,32	3,14	0,01	0,00
B2	CS8 - T g	1,456	LC4	0,00	-1,95	-0,51	-3,93	0,02	-0,03
B2	CS8 - T g	1,456	LC5	0,00	-0,41	-0,15	-0,40	0,01	0,00
B2	CS8 - T g	1,456	LC6	0,00	-0,56	0,23	-2,71	0,04	-0,01
B2	CS8 - T g	1,456	LC7	0,00	-2,11	-1,89	24,97	0,07	-0,03
B2	CS8 - T g	1,456	LC8	0,00	-3,53	1,47	-10,83	0,00	-0,02
B2	CS8 - T g	1,456	LC9	0,00	-0,86	0,10	-8,23	0,03	-0,04
B2	CS8 - T g	1,456	LC10	0,00	-1,40	-1,92	20,96	0,11	-0,04
B2	CS8 - T g	1,456	LC11	0,00	-3,66	3,12	-33,39	0,01	-0,02
B2	CS8 - T g	1,456	LC12	0,00	-0,56	-0,30	3,84	0,00	0,00
B2	CS8 - T g	1,456	LC13	0,00	-0,22	-0,17	3,87	0,00	0,00
B2	CS8 - T g	1,456	LC15	0,00	-0,21	-0,08	0,79	0,00	0,00
B2	CS8 - T g	1,456	LC16	0,00	-0,28	-0,04	-1,22	0,00	-0,01
B2	CS8 - T g	1,456	LC17	0,00	-0,05	-0,02	-0,05	0,00	0,00
B2	CS8 - T g	1,456	LC18	0,00	-0,18	0,04	-0,56	0,01	0,00
B2	CS8 - T g	1,456	LC19	0,00	-0,35	-0,38	4,59	0,02	-0,01
B2	CS8 - T g	1,456	LC20	0,00	-0,72	0,46	-4,42	0,00	0,00
B2	CS8 - T g	1,456	LC21	0,00	-0,28	-0,04	-1,22	0,00	-0,01
B2	CS8 - T g	1,456	LC22	0,00	-0,35	-0,38	4,59	0,02	-0,01
B2	CS8 - T g	1,456	LC23	0,00	-0,72	0,46	-4,42	0,00	0,00
B2	CS8 - T g	1,456	LC24	0,00	-0,07	-0,04	0,48	0,00	0,00
B2	CS8 - T g	1,456	LC25	0,00	-0,03	-0,02	0,48	0,00	0,00
B2	CS8 - T g	1,456	LC26	0,00	0,00	0,00	0,01	0,00	0,00
B2	CS8 - T g	1,456	LC27	0,00	0,00	0,00	0,01	0,00	0,00
B2	CS8 - T g	1,456	LC28	0,00	0,00	0,00	0,01	0,00	0,00
B2	CS8 - T g	1,456	LC29	0,00	0,00	0,00	0,01	0,00	0,00
B2	CS8 - T g	1,456	LC30	0,00	-0,20	-0,10	0,95	0,00	0,00
B2	CS8 - T g	1,456	LC31	0,00	-1,37	-0,36	-2,75	0,01	-0,02
B2	CS8 - T g	1,456	LC32	0,00	-1,48	-1,33	17,48	0,05	-0,02
B2	CS8 - T g	1,456	LC33	0,00	-2,47	1,03	-7,58	0,00	-0,01
B2	CS8 - T g	1,456	LC34	0,00	-0,60	0,07	-5,76	0,02	-0,03
B2	CS8 - T g	1,456	LC35	0,00	-0,98	-1,34	14,67	0,08	-0,03
B2	CS8 - T g	1,456	LC36	0,00	-2,56	2,18	-23,37	0,01	-0,02
B2	CS8 - T g	1,456	LC37	0,00	-0,17	0,07	-0,83	0,01	0,00
B2	CS8 - T g	1,941	LC1	0,00	0,16	0,15	0,79	-1,37	0,00
B2	CS8 - T g	1,941	LC2	0,00	0,09	0,82	1,20	0,00	0,00
B2	CS8 - T g	1,941	LC3	0,00	-0,27	-0,21	3,89	0,00	0,00
B2	CS8 - T g	1,941	LC4	0,00	0,37	-0,27	-2,25	-0,01	0,01
B2	CS8 - T g	1,941	LC5	0,00	-0,29	-0,05	-0,73	0,00	0,00
B2	CS8 - T g	1,941	LC6	0,00	0,66	0,69	-3,47	0,00	0,00
B2	CS8 - T g	1,941	LC7	0,00	0,54	-1,04	30,49	-0,03	0,01
B2	CS8 - T g	1,941	LC8	0,00	-2,05	1,44	-13,79	-0,06	-0,01
B2	CS8 - T g	1,941	LC9	0,00	2,86	0,48	-5,87	-0,02	0,02
B2	CS8 - T g	1,941	LC10	0,00	2,39	-0,48	26,31	-0,03	0,02
B2	CS8 - T g	1,941	LC11	0,00	-1,64	3,25	-40,98	-0,08	-0,02
B2	CS8 - T g	1,941	LC12	0,00	-0,32	-0,24	4,54	0,00	0,00
B2	CS8 - T g	1,941	LC13	0,00	-0,08	-0,18	4,74	0,00	0,00
B2	CS8 - T g	1,941	LC15	0,00	-0,05	-0,03	0,97	0,00	0,00
B2	CS8 - T g	1,941	LC16	0,00	0,32	0,02	-0,81	0,00	0,00
B2	CS8 - T g	1,941	LC17	0,00	-0,04	-0,01	-0,09	0,00	0,00
B2	CS8 - T g	1,941	LC18	0,00	0,16	0,17	-0,73	0,00	0,00
B2	CS8 - T g	1,941	LC19	0,00	0,29	-0,15	5,68	-0,01	0,00
B2	CS8 - T g	1,941	LC20	0,00	-0,37	0,47	-5,48	-0,01	0,00
B2	CS8 - T g	1,941	LC21	0,00	0,32	0,02	-0,81	0,00	0,00
B2	CS8 - T g	1,941	LC22	0,00	0,29	-0,15	5,68	-0,01	0,00
B2	CS8 - T g	1,941	LC23	0,00	-0,37	0,47	-5,48	-0,01	0,00
B2	CS8 - T g	1,941	LC24	0,00	-0,04	-0,03	0,57	0,00	0,00
B2	CS8 - T g	1,941	LC25	0,00	-0,01	-0,02	0,59	0,00	0,00
B2	CS8 - T g	1,941	LC26	0,00	0,00	0,00	0,02	0,00	0,00
B2	CS8 - T g	1,941	LC27	0,00	0,00	0,00	0,01	0,00	0,00
B2	CS8 - T g	1,941	LC28	0,00	0,00	0,00	0,01	0,00	0,00
B2	CS8 - T g	1,941	LC29	0,00	0,00	0,00	0,01	0,00	0,00
B2	CS8 - T g	1,941	LC30	0,00	-0,08	-0,06	1,18	0,00	0,00
B2	CS8 - T g	1,941	LC31	0,00	0,26	-0,19	-1,57	-0,01	0,01

Prvek	css	dx [m]	Stav	N [kN]	Vy [kN]	Vz [kN]	Mx [kNm]	My [kNm]	Mz [kNm]
B2	CS8 - T g	1,941	LC32	0,00	0,38	-0,73	21,35	-0,02	0,01
B2	CS8 - T g	1,941	LC33	0,00	-1,43	1,01	-9,65	-0,04	-0,01
B2	CS8 - T g	1,941	LC34	0,00	2,00	0,33	-4,11	-0,01	0,01
B2	CS8 - T g	1,941	LC35	0,00	1,67	-0,34	18,42	-0,02	0,01
B2	CS8 - T g	1,941	LC36	0,00	-1,15	2,27	-28,68	-0,05	-0,01
B2	CS8 - T g	1,941	LC37	0,00	0,20	0,21	-1,06	0,00	0,00
B2	CS8 - T g	1,941	LC1	0,00	0,16	0,15	0,79	-1,37	0,00
B2	CS8 - T g	1,941	LC2	0,00	0,09	0,82	1,20	0,00	0,00
B2	CS8 - T g	1,941	LC3	0,00	-0,27	-0,21	3,89	0,00	0,00
B2	CS8 - T g	1,941	LC4	0,00	0,37	-0,27	-2,25	-0,01	0,01
B2	CS8 - T g	1,941	LC5	0,00	-0,29	-0,05	-0,73	0,00	0,00
B2	CS8 - T g	1,941	LC6	0,00	0,66	0,69	-3,47	0,00	0,00
B2	CS8 - T g	1,941	LC7	0,00	0,54	-1,04	30,49	-0,03	0,01
B2	CS8 - T g	1,941	LC8	0,00	-2,05	1,44	-13,79	-0,06	-0,01
B2	CS8 - T g	1,941	LC9	0,00	2,86	0,48	-5,87	-0,02	0,02
B2	CS8 - T g	1,941	LC10	0,00	2,39	-0,48	26,31	-0,03	0,02
B2	CS8 - T g	1,941	LC11	0,00	-1,64	3,25	-40,98	-0,08	-0,02
B2	CS8 - T g	1,941	LC12	0,00	-0,32	-0,24	4,54	0,00	0,00
B2	CS8 - T g	1,941	LC13	0,00	-0,08	-0,18	4,74	0,00	0,00
B2	CS8 - T g	1,941	LC15	0,00	-0,05	-0,03	0,97	0,00	0,00
B2	CS8 - T g	1,941	LC16	0,00	0,32	0,02	-0,81	0,00	0,00
B2	CS8 - T g	1,941	LC17	0,00	-0,04	-0,01	-0,09	0,00	0,00
B2	CS8 - T g	1,941	LC18	0,00	0,16	0,17	-0,73	0,00	0,00
B2	CS8 - T g	1,941	LC19	0,00	0,29	-0,15	5,68	-0,01	0,00
B2	CS8 - T g	1,941	LC20	0,00	-0,37	0,47	-5,48	-0,01	0,00
B2	CS8 - T g	1,941	LC21	0,00	0,32	0,02	-0,81	0,00	0,00
B2	CS8 - T g	1,941	LC22	0,00	0,29	-0,15	5,68	-0,01	0,00
B2	CS8 - T g	1,941	LC23	0,00	-0,37	0,47	-5,48	-0,01	0,00
B2	CS8 - T g	1,941	LC24	0,00	-0,04	-0,03	0,57	0,00	0,00
B2	CS8 - T g	1,941	LC25	0,00	-0,01	-0,02	0,59	0,00	0,00
B2	CS8 - T g	1,941	LC26	0,00	0,00	0,00	0,02	0,00	0,00
B2	CS8 - T g	1,941	LC27	0,00	0,00	0,00	0,01	0,00	0,00
B2	CS8 - T g	1,941	LC28	0,00	0,00	0,00	0,01	0,00	0,00
B2	CS8 - T g	1,941	LC29	0,00	0,00	0,00	0,01	0,00	0,00
B2	CS8 - T g	1,941	LC30	0,00	-0,08	-0,06	1,18	0,00	0,00
B2	CS8 - T g	1,941	LC31	0,00	0,26	-0,19	-1,57	-0,01	0,01
B2	CS8 - T g	1,941	LC32	0,00	0,38	-0,73	21,35	-0,02	0,01
B2	CS8 - T g	1,941	LC33	0,00	-1,43	1,01	-9,65	-0,04	-0,01
B2	CS8 - T g	1,941	LC34	0,00	2,00	0,33	-4,11	-0,01	0,01
B2	CS8 - T g	1,941	LC35	0,00	1,67	-0,34	18,42	-0,02	0,01
B2	CS8 - T g	1,941	LC36	0,00	-1,15	2,27	-28,68	-0,05	-0,01
B2	CS8 - T g	1,941	LC37	0,00	0,20	0,21	-1,06	0,00	0,00
B2	CS8 - T g	2,427	LC1	0,00	-0,03	0,13	0,94	-1,37	0,00
B2	CS8 - T g	2,427	LC2	0,00	-0,10	0,81	0,24	0,00	0,00
B2	CS8 - T g	2,427	LC3	0,00	-0,34	-0,24	4,42	0,00	0,00
B2	CS8 - T g	2,427	LC4	0,00	-0,04	-0,27	-1,11	0,00	0,00
B2	CS8 - T g	2,427	LC5	0,00	-0,29	-0,04	-1,14	0,00	0,00
B2	CS8 - T g	2,427	LC6	0,00	0,54	0,70	-4,33	0,00	0,00
B2	CS8 - T g	2,427	LC7	0,00	-0,31	-1,22	33,07	-0,01	0,01
B2	CS8 - T g	2,427	LC8	0,00	-1,44	1,01	-15,25	-0,03	-0,01
B2	CS8 - T g	2,427	LC9	0,00	1,96	0,34	-3,77	-0,01	0,01
B2	CS8 - T g	2,427	LC10	0,00	1,18	-0,72	29,23	-0,02	0,01
B2	CS8 - T g	2,427	LC11	0,00	-0,66	2,65	-44,38	-0,05	-0,01
B2	CS8 - T g	2,427	LC12	0,00	-0,36	-0,28	5,22	0,00	0,00
B2	CS8 - T g	2,427	LC13	0,00	-0,09	-0,21	5,60	0,00	0,00
B2	CS8 - T g	2,427	LC15	0,00	-0,08	-0,04	1,09	0,00	0,00
B2	CS8 - T g	2,427	LC16	0,00	0,19	0,01	-0,49	0,00	0,00
B2	CS8 - T g	2,427	LC17	0,00	-0,04	0,00	-0,14	0,00	0,00
B2	CS8 - T g	2,427	LC18	0,00	0,13	0,18	-0,93	0,00	0,00
B2	CS8 - T g	2,427	LC19	0,00	0,09	-0,19	6,23	0,00	0,00
B2	CS8 - T g	2,427	LC20	0,00	-0,21	0,37	-5,96	-0,01	0,00
B2	CS8 - T g	2,427	LC21	0,00	0,19	0,01	-0,49	0,00	0,00
B2	CS8 - T g	2,427	LC22	0,00	0,09	-0,19	6,23	0,00	0,00
B2	CS8 - T g	2,427	LC23	0,00	-0,21	0,37	-5,96	-0,01	0,00
B2	CS8 - T g	2,427	LC24	0,00	-0,04	-0,04	0,65	0,00	0,00
B2	CS8 - T g	2,427	LC25	0,00	-0,01	-0,03	0,70	0,00	0,00



Prvek	css	dx [m]	Stav	N [kN]	Vy [kN]	Vz [kN]	Mx [kNm]	My [kNm]	Mz [kNm]
B2	CS8 - T g	2,427	LC26	0,00	0,00	0,00	0,02	0,00	0,00
B2	CS8 - T g	2,427	LC27	0,00	0,00	0,00	0,01	0,00	0,00
B2	CS8 - T g	2,427	LC28	0,00	0,00	0,00	0,01	0,00	0,00
B2	CS8 - T g	2,427	LC29	0,00	0,00	0,00	0,01	0,00	0,00
B2	CS8 - T g	2,427	LC30	0,00	-0,10	-0,07	1,34	0,00	0,00
B2	CS8 - T g	2,427	LC31	0,00	-0,03	-0,19	-0,78	0,00	0,00
B2	CS8 - T g	2,427	LC32	0,00	-0,22	-0,85	23,15	-0,01	0,01
B2	CS8 - T g	2,427	LC33	0,00	-1,01	0,70	-10,67	-0,02	0,00
B2	CS8 - T g	2,427	LC34	0,00	1,37	0,24	-2,64	-0,01	0,01
B2	CS8 - T g	2,427	LC35	0,00	0,82	-0,50	20,46	-0,01	0,01
B2	CS8 - T g	2,427	LC36	0,00	-0,46	1,86	-31,07	-0,03	-0,01
B2	CS8 - T g	2,427	LC37	0,00	0,16	0,21	-1,33	0,00	0,00
B2	CS8 - T g	2,912	LC1	0,00	-0,23	0,12	1,08	-1,37	0,00
B2	CS8 - T g	2,912	LC2	0,00	-0,28	0,80	-0,73	0,00	0,00
B2	CS8 - T g	2,912	LC3	0,00	-0,41	-0,27	4,95	0,00	0,00
B2	CS8 - T g	2,912	LC4	0,00	-0,44	-0,28	0,03	0,01	0,00
B2	CS8 - T g	2,912	LC5	0,00	-0,28	-0,03	-1,54	0,00	0,00
B2	CS8 - T g	2,912	LC6	0,00	0,42	0,72	-5,20	0,00	0,00
B2	CS8 - T g	2,912	LC7	0,00	-1,16	-1,40	35,65	0,00	0,01
B2	CS8 - T g	2,912	LC8	0,00	-0,84	0,57	-16,70	-0,01	0,00
B2	CS8 - T g	2,912	LC9	0,00	1,06	0,21	-1,66	0,00	0,00
B2	CS8 - T g	2,912	LC10	0,00	-0,04	-0,96	32,15	-0,01	0,01
B2	CS8 - T g	2,912	LC11	0,00	0,32	2,06	-47,79	-0,01	0,00
B2	CS8 - T g	2,912	LC12	0,00	-0,39	-0,33	5,89	-0,01	0,00
B2	CS8 - T g	2,912	LC13	0,00	-0,10	-0,25	6,47	0,00	0,00
B2	CS8 - T g	2,912	LC15	0,00	-0,10	-0,05	1,20	0,00	0,00
B2	CS8 - T g	2,912	LC16	0,00	0,06	-0,01	-0,16	0,00	0,00
B2	CS8 - T g	2,912	LC17	0,00	-0,04	0,00	-0,19	0,00	0,00
B2	CS8 - T g	2,912	LC18	0,00	0,09	0,18	-1,14	0,00	0,00
B2	CS8 - T g	2,912	LC19	0,00	-0,12	-0,24	6,78	0,00	0,00
B2	CS8 - T g	2,912	LC20	0,00	-0,05	0,26	-6,45	0,00	0,00
B2	CS8 - T g	2,912	LC21	0,00	0,06	-0,01	-0,16	0,00	0,00
B2	CS8 - T g	2,912	LC22	0,00	-0,12	-0,24	6,78	0,00	0,00
B2	CS8 - T g	2,912	LC23	0,00	-0,05	0,26	-6,45	0,00	0,00
B2	CS8 - T g	2,912	LC24	0,00	-0,05	-0,04	0,74	0,00	0,00
B2	CS8 - T g	2,912	LC25	0,00	-0,01	-0,03	0,81	0,00	0,00
B2	CS8 - T g	2,912	LC26	0,00	0,00	0,00	0,02	0,00	0,00
B2	CS8 - T g	2,912	LC27	0,00	0,00	0,00	0,01	0,00	0,00
B2	CS8 - T g	2,912	LC28	0,00	0,00	0,00	0,01	0,00	0,00
B2	CS8 - T g	2,912	LC29	0,00	0,00	0,00	0,01	0,00	0,00
B2	CS8 - T g	2,912	LC30	0,00	-0,13	-0,08	1,50	0,00	0,00
B2	CS8 - T g	2,912	LC31	0,00	-0,31	-0,19	0,02	0,01	0,00
B2	CS8 - T g	2,912	LC32	0,00	-0,82	-0,98	24,95	0,00	0,00
B2	CS8 - T g	2,912	LC33	0,00	-0,59	0,40	-11,69	-0,01	0,00
B2	CS8 - T g	2,912	LC34	0,00	0,74	0,14	-1,16	0,00	0,00
B2	CS8 - T g	2,912	LC35	0,00	-0,03	-0,67	22,50	-0,01	0,00
B2	CS8 - T g	2,912	LC36	0,00	0,22	1,44	-33,45	-0,01	0,00
B2	CS8 - T g	2,912	LC37	0,00	0,13	0,22	-1,59	0,00	0,00
B2	CS8 - T g	2,912	LC1	0,00	-0,23	0,12	1,08	-1,37	0,00
B2	CS8 - T g	2,912	LC2	0,00	-0,28	0,80	-0,73	0,00	0,00
B2	CS8 - T g	2,912	LC3	0,00	-0,41	-0,27	4,95	0,00	0,00
B2	CS8 - T g	2,912	LC4	0,00	-0,44	-0,28	0,03	0,01	0,00
B2	CS8 - T g	2,912	LC5	0,00	-0,28	-0,03	-1,54	0,00	0,00
B2	CS8 - T g	2,912	LC6	0,00	0,42	0,72	-5,20	0,00	0,00
B2	CS8 - T g	2,912	LC7	0,00	-1,16	-1,40	35,65	0,00	0,01
B2	CS8 - T g	2,912	LC8	0,00	-0,84	0,57	-16,70	-0,01	0,00
B2	CS8 - T g	2,912	LC9	0,00	1,06	0,21	-1,66	0,00	0,00
B2	CS8 - T g	2,912	LC10	0,00	-0,04	-0,96	32,15	-0,01	0,01
B2	CS8 - T g	2,912	LC11	0,00	0,32	2,06	-47,79	-0,01	0,00
B2	CS8 - T g	2,912	LC12	0,00	-0,39	-0,33	5,89	-0,01	0,00
B2	CS8 - T g	2,912	LC13	0,00	-0,10	-0,25	6,47	0,00	0,00
B2	CS8 - T g	2,912	LC15	0,00	-0,10	-0,05	1,20	0,00	0,00
B2	CS8 - T g	2,912	LC16	0,00	0,06	-0,01	-0,16	0,00	0,00
B2	CS8 - T g	2,912	LC17	0,00	-0,04	0,00	-0,19	0,00	0,00
B2	CS8 - T g	2,912	LC18	0,00	0,09	0,18	-1,14	0,00	0,00
B2	CS8 - T g	2,912	LC19	0,00	-0,12	-0,24	6,78	0,00	0,00

Prvek	css	dx [m]	Stav	N [kN]	Vy [kN]	Vz [kN]	Mx [kNm]	My [kNm]	Mz [kNm]
B2	CS8 - T g	2,912	LC20	0,00	-0,05	0,26	-6,45	0,00	0,00
B2	CS8 - T g	2,912	LC21	0,00	0,06	-0,01	-0,16	0,00	0,00
B2	CS8 - T g	2,912	LC22	0,00	-0,12	-0,24	6,78	0,00	0,00
B2	CS8 - T g	2,912	LC23	0,00	-0,05	0,26	-6,45	0,00	0,00
B2	CS8 - T g	2,912	LC24	0,00	-0,05	-0,04	0,74	0,00	0,00
B2	CS8 - T g	2,912	LC25	0,00	-0,01	-0,03	0,81	0,00	0,00
B2	CS8 - T g	2,912	LC26	0,00	0,00	0,00	0,02	0,00	0,00
B2	CS8 - T g	2,912	LC27	0,00	0,00	0,00	0,01	0,00	0,00
B2	CS8 - T g	2,912	LC28	0,00	0,00	0,00	0,01	0,00	0,00
B2	CS8 - T g	2,912	LC29	0,00	0,00	0,00	0,01	0,00	0,00
B2	CS8 - T g	2,912	LC30	0,00	-0,13	-0,08	1,50	0,00	0,00
B2	CS8 - T g	2,912	LC31	0,00	-0,31	-0,19	0,02	0,01	0,00
B2	CS8 - T g	2,912	LC32	0,00	-0,82	-0,98	24,95	0,00	0,00
B2	CS8 - T g	2,912	LC33	0,00	-0,59	0,40	-11,69	-0,01	0,00
B2	CS8 - T g	2,912	LC34	0,00	0,74	0,14	-1,16	0,00	0,00
B2	CS8 - T g	2,912	LC35	0,00	-0,03	-0,67	22,50	-0,01	0,00
B2	CS8 - T g	2,912	LC36	0,00	0,22	1,44	-33,45	-0,01	0,00
B2	CS8 - T g	2,912	LC37	0,00	0,13	0,22	-1,59	0,00	0,00
B2	CS8 - T g	3,398	LC1	0,00	-0,33	0,09	1,08	-1,37	0,00
B2	CS8 - T g	3,398	LC2	0,00	-0,40	0,79	-2,00	0,00	0,00
B2	CS8 - T g	3,398	LC3	0,00	-0,39	-0,21	4,87	0,00	0,00
B2	CS8 - T g	3,398	LC4	0,00	-0,07	-0,13	0,32	0,01	0,00
B2	CS8 - T g	3,398	LC5	0,00	-0,35	-0,06	-1,93	0,00	0,00
B2	CS8 - T g	3,398	LC6	0,00	0,33	0,67	-5,74	0,00	0,00
B2	CS8 - T g	3,398	LC7	0,00	-1,44	-0,81	31,65	0,05	0,00
B2	CS8 - T g	3,398	LC8	0,00	-0,89	1,04	-21,97	0,04	0,00
B2	CS8 - T g	3,398	LC9	0,00	0,93	0,20	-0,54	0,00	0,00
B2	CS8 - T g	3,398	LC10	0,00	-0,42	-0,61	30,11	0,03	0,00
B2	CS8 - T g	3,398	LC11	0,00	0,32	2,22	-51,82	0,01	0,00
B2	CS8 - T g	3,398	LC12	0,00	-0,56	-0,44	6,73	-0,01	0,00
B2	CS8 - T g	3,398	LC13	0,00	-0,15	-0,30	7,41	0,00	0,00
B2	CS8 - T g	3,398	LC15	0,00	-0,10	-0,04	1,17	0,00	0,00
B2	CS8 - T g	3,398	LC16	0,00	0,09	0,01	-0,02	0,00	0,00
B2	CS8 - T g	3,398	LC17	0,00	-0,04	-0,01	-0,24	0,00	0,00
B2	CS8 - T g	3,398	LC18	0,00	0,07	0,17	-1,28	0,00	0,00
B2	CS8 - T g	3,398	LC19	0,00	-0,19	-0,14	6,18	0,01	0,00
B2	CS8 - T g	3,398	LC20	0,00	-0,06	0,33	-7,38	0,00	0,00
B2	CS8 - T g	3,398	LC21	0,00	0,09	0,01	-0,02	0,00	0,00
B2	CS8 - T g	3,398	LC22	0,00	-0,19	-0,14	6,18	0,01	0,00
B2	CS8 - T g	3,398	LC23	0,00	-0,06	0,33	-7,38	0,00	0,00
B2	CS8 - T g	3,398	LC24	0,00	-0,07	-0,05	0,84	0,00	0,00
B2	CS8 - T g	3,398	LC25	0,00	-0,02	-0,04	0,93	0,00	0,00
B2	CS8 - T g	3,398	LC26	0,00	0,00	0,00	0,02	0,00	0,00
B2	CS8 - T g	3,398	LC27	0,00	0,00	0,00	0,00	0,00	0,00
B2	CS8 - T g	3,398	LC28	0,00	0,00	0,00	0,01	0,00	0,00
B2	CS8 - T g	3,398	LC29	0,00	0,00	0,00	0,00	0,00	0,00
B2	CS8 - T g	3,398	LC30	0,00	-0,12	-0,07	1,48	0,00	0,00
B2	CS8 - T g	3,398	LC31	0,00	-0,05	-0,09	0,22	0,01	0,00
B2	CS8 - T g	3,398	LC32	0,00	-1,01	-0,57	22,15	0,03	0,00
B2	CS8 - T g	3,398	LC33	0,00	-0,62	0,73	-15,38	0,03	0,00
B2	CS8 - T g	3,398	LC34	0,00	0,65	0,14	-0,38	0,00	0,00
B2	CS8 - T g	3,398	LC35	0,00	-0,29	-0,43	21,08	0,02	0,00
B2	CS8 - T g	3,398	LC36	0,00	0,22	1,56	-36,27	0,01	0,00
B2	CS8 - T g	3,398	LC37	0,00	0,10	0,20	-1,75	0,00	0,00
B2	CS8 - T g	3,883	LC1	0,00	-0,43	0,05	1,07	-1,37	0,00
B2	CS8 - T g	3,883	LC2	0,00	-0,51	0,78	-3,28	0,00	0,00
B2	CS8 - T g	3,883	LC3	0,00	-0,36	-0,16	4,79	0,01	0,00
B2	CS8 - T g	3,883	LC4	0,00	0,29	0,02	0,60	0,01	-0,01
B2	CS8 - T g	3,883	LC5	0,00	-0,42	-0,09	-2,32	0,00	0,00
B2	CS8 - T g	3,883	LC6	0,00	0,25	0,61	-6,29	-0,01	0,00
B2	CS8 - T g	3,883	LC7	0,00	-1,71	-0,22	27,65	0,10	0,00
B2	CS8 - T g	3,883	LC8	0,00	-0,94	1,52	-27,23	0,08	0,00
B2	CS8 - T g	3,883	LC9	0,00	0,80	0,20	0,59	0,00	0,00
B2	CS8 - T g	3,883	LC10	0,00	-0,79	-0,27	28,07	0,06	0,00
B2	CS8 - T g	3,883	LC11	0,00	0,32	2,39	-55,84	0,04	0,00
B2	CS8 - T g	3,883	LC12	0,00	-0,72	-0,55	7,56	-0,01	0,00

Prvek	css	dx [m]	Stav	N [kN]	Vy [kN]	Vz [kN]	Mx [kNm]	My [kNm]	Mz [kNm]
B2	CS8 - T g	3,883	LC13	0,00	-0,21	-0,35	8,35	-0,01	0,00
B2	CS8 - T g	3,883	LC15	0,00	-0,10	-0,03	1,14	0,00	0,00
B2	CS8 - T g	3,883	LC16	0,00	0,11	0,02	0,12	0,00	0,00
B2	CS8 - T g	3,883	LC17	0,00	-0,05	-0,01	-0,29	0,00	0,00
B2	CS8 - T g	3,883	LC18	0,00	0,05	0,15	-1,42	0,00	0,00
B2	CS8 - T g	3,883	LC19	0,00	-0,25	-0,05	5,57	0,02	0,00
B2	CS8 - T g	3,883	LC20	0,00	-0,06	0,39	-8,31	0,01	0,00
B2	CS8 - T g	3,883	LC21	0,00	0,11	0,02	0,12	0,00	0,00
B2	CS8 - T g	3,883	LC22	0,00	-0,25	-0,05	5,57	0,02	0,00
B2	CS8 - T g	3,883	LC23	0,00	-0,06	0,39	-8,31	0,01	0,00
B2	CS8 - T g	3,883	LC24	0,00	-0,09	-0,07	0,95	0,00	0,00
B2	CS8 - T g	3,883	LC25	0,00	-0,03	-0,04	1,04	0,00	0,00
B2	CS8 - T g	3,883	LC26	0,00	0,00	0,00	0,02	0,00	0,00
B2	CS8 - T g	3,883	LC27	0,00	0,00	0,00	0,00	0,00	0,00
B2	CS8 - T g	3,883	LC28	0,00	0,00	0,00	0,02	0,00	0,00
B2	CS8 - T g	3,883	LC29	0,00	0,00	0,00	0,00	0,00	0,00
B2	CS8 - T g	3,883	LC30	0,00	-0,11	-0,05	1,46	0,00	0,00
B2	CS8 - T g	3,883	LC31	0,00	0,21	0,02	0,42	0,01	-0,01
B2	CS8 - T g	3,883	LC32	0,00	-1,19	-0,15	19,35	0,07	0,00
B2	CS8 - T g	3,883	LC33	0,00	-0,66	1,06	-19,06	0,06	0,00
B2	CS8 - T g	3,883	LC34	0,00	0,56	0,14	0,41	0,00	0,00
B2	CS8 - T g	3,883	LC35	0,00	-0,55	-0,19	19,65	0,04	0,00
B2	CS8 - T g	3,883	LC36	0,00	0,22	1,67	-39,09	0,03	0,00
B2	CS8 - T g	3,883	LC37	0,00	0,08	0,19	-1,92	0,00	0,00
B2	CS8 - T g	3,883	LC1	0,00	-0,43	0,05	1,07	-1,37	0,00
B2	CS8 - T g	3,883	LC2	0,00	-0,51	0,78	-3,28	0,00	0,00
B2	CS8 - T g	3,883	LC3	0,00	-0,36	-0,16	4,79	0,01	0,00
B2	CS8 - T g	3,883	LC4	0,00	0,29	0,02	0,60	0,01	-0,01
B2	CS8 - T g	3,883	LC5	0,00	-0,42	-0,09	-2,32	0,00	0,00
B2	CS8 - T g	3,883	LC6	0,00	0,25	0,61	-6,29	-0,01	0,00
B2	CS8 - T g	3,883	LC7	0,00	-1,71	-0,22	27,65	0,10	0,00
B2	CS8 - T g	3,883	LC8	0,00	-0,94	1,52	-27,23	0,08	0,00
B2	CS8 - T g	3,883	LC9	0,00	0,80	0,20	0,59	0,00	0,00
B2	CS8 - T g	3,883	LC10	0,00	-0,79	-0,27	28,07	0,06	0,00
B2	CS8 - T g	3,883	LC11	0,00	0,32	2,39	-55,84	0,04	0,00
B2	CS8 - T g	3,883	LC12	0,00	-0,72	-0,55	7,56	-0,01	0,00
B2	CS8 - T g	3,883	LC13	0,00	-0,21	-0,35	8,35	-0,01	0,00
B2	CS8 - T g	3,883	LC15	0,00	-0,10	-0,03	1,14	0,00	0,00
B2	CS8 - T g	3,883	LC16	0,00	0,11	0,02	0,12	0,00	0,00
B2	CS8 - T g	3,883	LC17	0,00	-0,05	-0,01	-0,29	0,00	0,00
B2	CS8 - T g	3,883	LC18	0,00	0,05	0,15	-1,42	0,00	0,00
B2	CS8 - T g	3,883	LC19	0,00	-0,25	-0,05	5,57	0,02	0,00
B2	CS8 - T g	3,883	LC20	0,00	-0,06	0,39	-8,31	0,01	0,00
B2	CS8 - T g	3,883	LC21	0,00	0,11	0,02	0,12	0,00	0,00
B2	CS8 - T g	3,883	LC22	0,00	-0,25	-0,05	5,57	0,02	0,00
B2	CS8 - T g	3,883	LC23	0,00	-0,06	0,39	-8,31	0,01	0,00
B2	CS8 - T g	3,883	LC24	0,00	-0,09	-0,07	0,95	0,00	0,00
B2	CS8 - T g	3,883	LC25	0,00	-0,03	-0,04	1,04	0,00	0,00
B2	CS8 - T g	3,883	LC26	0,00	0,00	0,00	0,02	0,00	0,00
B2	CS8 - T g	3,883	LC27	0,00	0,00	0,00	0,00	0,00	0,00
B2	CS8 - T g	3,883	LC28	0,00	0,00	0,00	0,02	0,00	0,00
B2	CS8 - T g	3,883	LC29	0,00	0,00	0,00	0,00	0,00	0,00
B2	CS8 - T g	3,883	LC30	0,00	-0,11	-0,05	1,46	0,00	0,00
B2	CS8 - T g	3,883	LC31	0,00	0,21	0,02	0,42	0,01	-0,01
B2	CS8 - T g	3,883	LC32	0,00	-1,19	-0,15	19,35	0,07	0,00
B2	CS8 - T g	3,883	LC33	0,00	-0,66	1,06	-19,06	0,06	0,00
B2	CS8 - T g	3,883	LC34	0,00	0,56	0,14	0,41	0,00	0,00
B2	CS8 - T g	3,883	LC35	0,00	-0,55	-0,19	19,65	0,04	0,00
B2	CS8 - T g	3,883	LC36	0,00	0,22	1,67	-39,09	0,03	0,00
B2	CS8 - T g	3,883	LC37	0,00	0,08	0,19	-1,92	0,00	0,00
B2	CS8 - T g	4,368	LC1	0,00	-0,56	-0,01	1,03	-1,37	0,00
B2	CS8 - T g	4,368	LC2	0,00	-0,65	0,77	-4,76	0,00	0,00
B2	CS8 - T g	4,368	LC3	0,00	-0,29	-0,01	3,93	0,01	0,00
B2	CS8 - T g	4,368	LC4	0,00	0,80	0,15	0,91	0,01	-0,01
B2	CS8 - T g	4,368	LC5	0,00	-0,57	-0,16	-2,55	-0,01	0,00
B2	CS8 - T g	4,368	LC6	0,00	0,15	0,49	-6,31	-0,01	0,00

Prvek	css	dx [m]	Stav	N [kN]	Vy [kN]	Vz [kN]	Mx [kNm]	My [kNm]	Mz [kNm]
B2	CS8 - T g	4,368	LC7	0,00	-1,45	1,12	15,92	0,10	0,00
B2	CS8 - T g	4,368	LC8	0,00	-1,01	2,73	-38,40	0,09	0,00
B2	CS8 - T g	4,368	LC9	0,00	0,95	0,23	1,29	0,00	0,00
B2	CS8 - T g	4,368	LC10	0,00	-0,68	0,62	20,44	0,07	0,00
B2	CS8 - T g	4,368	LC11	0,00	0,02	3,00	-62,29	0,05	0,00
B2	CS8 - T g	4,368	LC12	0,00	-1,06	-0,75	8,78	-0,02	0,00
B2	CS8 - T g	4,368	LC13	0,00	-0,34	-0,45	9,45	-0,01	0,00
B2	CS8 - T g	4,368	LC15	0,00	-0,09	0,01	0,92	0,00	0,00
B2	CS8 - T g	4,368	LC16	0,00	0,17	0,04	0,22	0,00	0,00
B2	CS8 - T g	4,368	LC17	0,00	-0,07	-0,02	-0,32	0,00	0,00
B2	CS8 - T g	4,368	LC18	0,00	0,02	0,12	-1,44	0,00	0,00
B2	CS8 - T g	4,368	LC19	0,00	-0,21	0,17	3,64	0,02	0,00
B2	CS8 - T g	4,368	LC20	0,00	-0,10	0,57	-10,07	0,01	0,00
B2	CS8 - T g	4,368	LC21	0,00	0,17	0,04	0,22	0,00	0,00
B2	CS8 - T g	4,368	LC22	0,00	-0,21	0,17	3,64	0,02	0,00
B2	CS8 - T g	4,368	LC23	0,00	-0,10	0,57	-10,07	0,01	0,00
B2	CS8 - T g	4,368	LC24	0,00	-0,13	-0,09	1,10	0,00	0,00
B2	CS8 - T g	4,368	LC25	0,00	-0,04	-0,06	1,18	0,00	0,00
B2	CS8 - T g	4,368	LC26	0,00	0,00	0,00	0,02	0,00	0,00
B2	CS8 - T g	4,368	LC27	0,00	0,00	0,00	-0,01	0,00	0,00
B2	CS8 - T g	4,368	LC28	0,00	0,00	0,00	0,01	0,00	0,00
B2	CS8 - T g	4,368	LC29	0,00	0,00	0,00	-0,01	0,00	0,00
B2	CS8 - T g	4,368	LC30	0,00	-0,09	0,00	1,20	0,00	0,00
B2	CS8 - T g	4,368	LC31	0,00	0,56	0,11	0,64	0,01	0,00
B2	CS8 - T g	4,368	LC32	0,00	-1,02	0,79	11,14	0,07	0,00
B2	CS8 - T g	4,368	LC33	0,00	-0,71	1,91	-26,88	0,07	0,00
B2	CS8 - T g	4,368	LC34	0,00	0,66	0,16	0,90	0,00	0,00
B2	CS8 - T g	4,368	LC35	0,00	-0,47	0,43	14,31	0,05	0,00
B2	CS8 - T g	4,368	LC36	0,00	0,01	2,10	-43,60	0,03	0,00
B2	CS8 - T g	4,368	LC37	0,00	0,05	0,15	-1,92	0,00	0,00
B2	CS8 - T g	4,854	LC1	0,00	-0,68	-0,06	0,98	-1,37	0,00
B2	CS8 - T g	4,854	LC2	0,00	-0,80	0,75	-6,24	0,00	0,00
B2	CS8 - T g	4,854	LC3	0,00	-0,22	0,14	3,07	0,01	0,00
B2	CS8 - T g	4,854	LC4	0,00	1,30	0,29	1,22	0,01	0,00
B2	CS8 - T g	4,854	LC5	0,00	-0,71	-0,23	-2,78	-0,01	0,00
B2	CS8 - T g	4,854	LC6	0,00	0,04	0,36	-6,33	-0,01	0,00
B2	CS8 - T g	4,854	LC7	0,00	-1,20	2,46	4,19	0,11	-0,01
B2	CS8 - T g	4,854	LC8	0,00	-1,08	3,94	-49,58	0,11	0,00
B2	CS8 - T g	4,854	LC9	0,00	1,09	0,26	1,99	0,00	0,00
B2	CS8 - T g	4,854	LC10	0,00	-0,56	1,50	12,81	0,08	0,00
B2	CS8 - T g	4,854	LC11	0,00	-0,28	3,62	-68,74	0,06	0,00
B2	CS8 - T g	4,854	LC12	0,00	-1,39	-0,96	10,00	-0,02	0,00
B2	CS8 - T g	4,854	LC13	0,00	-0,48	-0,54	10,56	-0,01	0,00
B2	CS8 - T g	4,854	LC15	0,00	-0,07	0,04	0,71	0,00	0,00
B2	CS8 - T g	4,854	LC16	0,00	0,24	0,05	0,32	0,00	0,00
B2	CS8 - T g	4,854	LC17	0,00	-0,09	-0,03	-0,35	0,00	0,00
B2	CS8 - T g	4,854	LC18	0,00	-0,01	0,09	-1,46	0,00	0,00
B2	CS8 - T g	4,854	LC19	0,00	-0,18	0,40	1,70	0,02	0,00
B2	CS8 - T g	4,854	LC20	0,00	-0,14	0,76	-11,83	0,02	0,00
B2	CS8 - T g	4,854	LC21	0,00	0,24	0,05	0,32	0,00	0,00
B2	CS8 - T g	4,854	LC22	0,00	-0,18	0,40	1,70	0,02	0,00
B2	CS8 - T g	4,854	LC23	0,00	-0,14	0,76	-11,83	0,02	0,00
B2	CS8 - T g	4,854	LC24	0,00	-0,17	-0,12	1,25	0,00	0,00
B2	CS8 - T g	4,854	LC25	0,00	-0,06	-0,07	1,32	0,00	0,00
B2	CS8 - T g	4,854	LC26	0,00	0,00	0,00	0,02	0,00	0,00
B2	CS8 - T g	4,854	LC27	0,00	0,00	0,00	-0,02	0,00	0,00
B2	CS8 - T g	4,854	LC28	0,00	0,00	0,00	0,01	0,00	0,00
B2	CS8 - T g	4,854	LC29	0,00	0,00	0,00	-0,01	0,00	0,00
B2	CS8 - T g	4,854	LC30	0,00	-0,07	0,04	0,94	0,00	0,00
B2	CS8 - T g	4,854	LC31	0,00	0,91	0,20	0,85	0,00	0,00
B2	CS8 - T g	4,854	LC32	0,00	-0,84	1,72	2,94	0,08	0,00
B2	CS8 - T g	4,854	LC33	0,00	-0,76	2,76	-34,71	0,07	0,00
B2	CS8 - T g	4,854	LC34	0,00	0,77	0,18	1,39	0,00	0,00
B2	CS8 - T g	4,854	LC35	0,00	-0,39	1,05	8,97	0,05	0,00
B2	CS8 - T g	4,854	LC36	0,00	-0,19	2,53	-48,12	0,04	0,00
B2	CS8 - T g	4,854	LC37	0,00	0,02	0,11	-1,93	0,00	0,00

Prvek	css	dx [m]	Stav	N [kN]	Vy [kN]	Vz [kN]	Mx [kNm]	My [kNm]	Mz [kNm]
B2	CS8 - T g	4,854	LC1	0,00	-0,68	-0,06	0,98	-1,37	0,00
B2	CS8 - T g	4,854	LC2	0,00	-0,80	0,75	-6,24	0,00	0,00
B2	CS8 - T g	4,854	LC3	0,00	-0,22	0,14	3,07	0,01	0,00
B2	CS8 - T g	4,854	LC4	0,00	1,30	0,29	1,22	0,01	0,00
B2	CS8 - T g	4,854	LC5	0,00	-0,71	-0,23	-2,78	-0,01	0,00
B2	CS8 - T g	4,854	LC6	0,00	0,04	0,36	-6,33	-0,01	0,00
B2	CS8 - T g	4,854	LC7	0,00	-1,20	2,46	4,19	0,11	-0,01
B2	CS8 - T g	4,854	LC8	0,00	-1,08	3,94	-49,58	0,11	0,00
B2	CS8 - T g	4,854	LC9	0,00	1,09	0,26	1,99	0,00	0,00
B2	CS8 - T g	4,854	LC10	0,00	-0,56	1,50	12,81	0,08	0,00
B2	CS8 - T g	4,854	LC11	0,00	-0,28	3,62	-68,74	0,06	0,00
B2	CS8 - T g	4,854	LC12	0,00	-1,39	-0,96	10,00	-0,02	0,00
B2	CS8 - T g	4,854	LC13	0,00	-0,48	-0,54	10,56	-0,01	0,00
B2	CS8 - T g	4,854	LC15	0,00	-0,07	0,04	0,71	0,00	0,00
B2	CS8 - T g	4,854	LC16	0,00	0,24	0,05	0,32	0,00	0,00
B2	CS8 - T g	4,854	LC17	0,00	-0,09	-0,03	-0,35	0,00	0,00
B2	CS8 - T g	4,854	LC18	0,00	-0,01	0,09	-1,46	0,00	0,00
B2	CS8 - T g	4,854	LC19	0,00	-0,18	0,40	1,70	0,02	0,00
B2	CS8 - T g	4,854	LC20	0,00	-0,14	0,76	-11,83	0,02	0,00
B2	CS8 - T g	4,854	LC21	0,00	0,24	0,05	0,32	0,00	0,00
B2	CS8 - T g	4,854	LC22	0,00	-0,18	0,40	1,70	0,02	0,00
B2	CS8 - T g	4,854	LC23	0,00	-0,14	0,76	-11,83	0,02	0,00
B2	CS8 - T g	4,854	LC24	0,00	-0,17	-0,12	1,25	0,00	0,00
B2	CS8 - T g	4,854	LC25	0,00	-0,06	-0,07	1,32	0,00	0,00
B2	CS8 - T g	4,854	LC26	0,00	0,00	0,00	0,02	0,00	0,00
B2	CS8 - T g	4,854	LC27	0,00	0,00	0,00	-0,02	0,00	0,00
B2	CS8 - T g	4,854	LC28	0,00	0,00	0,00	0,01	0,00	0,00
B2	CS8 - T g	4,854	LC29	0,00	0,00	0,00	-0,01	0,00	0,00
B2	CS8 - T g	4,854	LC30	0,00	-0,07	0,04	0,94	0,00	0,00
B2	CS8 - T g	4,854	LC31	0,00	0,91	0,20	0,85	0,00	0,00
B2	CS8 - T g	4,854	LC32	0,00	-0,84	1,72	2,94	0,08	0,00
B2	CS8 - T g	4,854	LC33	0,00	-0,76	2,76	-34,71	0,07	0,00
B2	CS8 - T g	4,854	LC34	0,00	0,77	0,18	1,39	0,00	0,00
B2	CS8 - T g	4,854	LC35	0,00	-0,39	1,05	8,97	0,05	0,00
B2	CS8 - T g	4,854	LC36	0,00	-0,19	2,53	-48,12	0,04	0,00
B2	CS8 - T g	4,854	LC37	0,00	0,02	0,11	-1,93	0,00	0,00
B2	CS8 - T g	5,339	LC1	0,00	-0,88	-0,14	0,99	-1,38	0,00
B2	CS8 - T g	5,339	LC2	0,00	-1,03	0,70	-7,71	0,00	0,00
B2	CS8 - T g	5,339	LC3	0,00	-0,17	0,25	1,76	0,01	0,00
B2	CS8 - T g	5,339	LC4	0,00	1,47	0,35	1,73	0,00	0,00
B2	CS8 - T g	5,339	LC5	0,00	-0,89	-0,31	-2,79	-0,01	0,00
B2	CS8 - T g	5,339	LC6	0,00	-0,07	0,27	-6,09	-0,01	0,00
B2	CS8 - T g	5,339	LC7	0,00	-0,41	3,10	-8,45	0,05	-0,01
B2	CS8 - T g	5,339	LC8	0,00	-0,63	4,48	-60,93	0,04	-0,01
B2	CS8 - T g	5,339	LC9	0,00	1,14	0,27	2,54	0,00	0,00
B2	CS8 - T g	5,339	LC10	0,00	-0,04	1,93	4,28	0,03	-0,01
B2	CS8 - T g	5,339	LC11	0,00	-0,23	3,85	-74,68	0,02	0,00
B2	CS8 - T g	5,339	LC12	0,00	-1,88	-1,21	11,70	-0,02	0,01
B2	CS8 - T g	5,339	LC13	0,00	-0,76	-0,73	12,04	-0,01	0,00
B2	CS8 - T g	5,339	LC15	0,00	-0,07	0,06	0,38	0,00	0,00
B2	CS8 - T g	5,339	LC16	0,00	0,26	0,06	0,43	0,00	0,00
B2	CS8 - T g	5,339	LC17	0,00	-0,11	-0,04	-0,35	0,00	0,00
B2	CS8 - T g	5,339	LC18	0,00	-0,05	0,07	-1,43	0,00	0,00
B2	CS8 - T g	5,339	LC19	0,00	-0,05	0,50	-0,42	0,01	0,00
B2	CS8 - T g	5,339	LC20	0,00	-0,09	0,83	-13,56	0,01	0,00
B2	CS8 - T g	5,339	LC21	0,00	0,26	0,06	0,43	0,00	0,00
B2	CS8 - T g	5,339	LC22	0,00	-0,05	0,50	-0,42	0,01	0,00
B2	CS8 - T g	5,339	LC23	0,00	-0,09	0,83	-13,56	0,01	0,00
B2	CS8 - T g	5,339	LC24	0,00	-0,23	-0,15	1,46	0,00	0,00
B2	CS8 - T g	5,339	LC25	0,00	-0,10	-0,09	1,51	0,00	0,00
B2	CS8 - T g	5,339	LC26	0,00	0,00	0,00	0,01	0,00	0,00
B2	CS8 - T g	5,339	LC27	0,00	0,00	0,00	-0,02	0,00	0,00
B2	CS8 - T g	5,339	LC28	0,00	0,00	0,00	0,01	0,00	0,00
B2	CS8 - T g	5,339	LC29	0,00	0,00	0,00	-0,01	0,00	0,00
B2	CS8 - T g	5,339	LC30	0,00	-0,05	0,08	0,54	0,00	0,00
B2	CS8 - T g	5,339	LC31	0,00	1,03	0,24	1,21	0,00	0,00

Prvek	css	dx [m]	Stav	N [kN]	Vy [kN]	Vz [kN]	Mx [kNm]	My [kNm]	Mz [kNm]
B2	CS8 - T g	5,339	LC32	0,00	-0,29	2,17	-5,92	0,04	-0,01
B2	CS8 - T g	5,339	LC33	0,00	-0,44	3,13	-42,65	0,03	0,00
B2	CS8 - T g	5,339	LC34	0,00	0,80	0,19	1,78	0,00	0,00
B2	CS8 - T g	5,339	LC35	0,00	-0,03	1,35	3,00	0,02	0,00
B2	CS8 - T g	5,339	LC36	0,00	-0,16	2,69	-52,28	0,01	0,00
B2	CS8 - T g	5,339	LC37	0,00	-0,02	0,08	-1,85	0,00	0,00
B2	CS8 - T g	5,824	LC1	0,00	-1,09	-0,22	1,01	-1,38	0,00
B2	CS8 - T g	5,824	LC2	0,00	-1,26	0,64	-9,19	-0,01	0,00
B2	CS8 - T g	5,824	LC3	0,00	-0,11	0,37	0,44	0,00	0,00
B2	CS8 - T g	5,824	LC4	0,00	1,64	0,41	2,25	0,00	0,00
B2	CS8 - T g	5,824	LC5	0,00	-1,06	-0,40	-2,81	-0,01	0,00
B2	CS8 - T g	5,824	LC6	0,00	-0,18	0,17	-5,86	0,00	0,00
B2	CS8 - T g	5,824	LC7	0,00	0,38	3,75	-21,10	-0,01	-0,01
B2	CS8 - T g	5,824	LC8	0,00	-0,18	5,02	-72,28	-0,02	-0,01
B2	CS8 - T g	5,824	LC9	0,00	1,19	0,29	3,09	0,00	0,00
B2	CS8 - T g	5,824	LC10	0,00	0,47	2,36	-4,25	-0,01	-0,01
B2	CS8 - T g	5,824	LC11	0,00	-0,18	4,07	-80,62	-0,02	0,00
B2	CS8 - T g	5,824	LC12	0,00	-2,37	-1,46	13,41	-0,02	0,01
B2	CS8 - T g	5,824	LC13	0,00	-1,04	-0,91	13,53	-0,02	0,00
B2	CS8 - T g	5,824	LC15	0,00	-0,07	0,09	0,06	0,00	0,00
B2	CS8 - T g	5,824	LC16	0,00	0,28	0,07	0,53	0,00	0,00
B2	CS8 - T g	5,824	LC17	0,00	-0,13	-0,05	-0,35	0,00	0,00
B2	CS8 - T g	5,824	LC18	0,00	-0,08	0,04	-1,39	0,00	0,00
B2	CS8 - T g	5,824	LC19	0,00	0,09	0,61	-2,53	0,00	0,00
B2	CS8 - T g	5,824	LC20	0,00	-0,04	0,91	-15,29	0,00	0,00
B2	CS8 - T g	5,824	LC21	0,00	0,28	0,07	0,53	0,00	0,00
B2	CS8 - T g	5,824	LC22	0,00	0,09	0,61	-2,53	0,00	0,00
B2	CS8 - T g	5,824	LC23	0,00	-0,04	0,91	-15,29	0,00	0,00
B2	CS8 - T g	5,824	LC24	0,00	-0,30	-0,18	1,68	0,00	0,00
B2	CS8 - T g	5,824	LC25	0,00	-0,13	-0,11	1,69	0,00	0,00
B2	CS8 - T g	5,824	LC26	0,00	0,00	0,00	0,00	0,00	0,00
B2	CS8 - T g	5,824	LC27	0,00	0,00	0,00	-0,02	0,00	0,00
B2	CS8 - T g	5,824	LC28	0,00	0,00	0,00	0,00	0,00	0,00
B2	CS8 - T g	5,824	LC29	0,00	0,00	0,00	-0,02	0,00	0,00
B2	CS8 - T g	5,824	LC30	0,00	-0,03	0,11	0,14	0,00	0,00
B2	CS8 - T g	5,824	LC31	0,00	1,15	0,29	1,58	0,00	0,00
B2	CS8 - T g	5,824	LC32	0,00	0,27	2,62	-14,77	-0,01	-0,01
B2	CS8 - T g	5,824	LC33	0,00	-0,13	3,51	-50,60	-0,02	-0,01
B2	CS8 - T g	5,824	LC34	0,00	0,83	0,20	2,16	0,00	0,00
B2	CS8 - T g	5,824	LC35	0,00	0,33	1,65	-2,97	-0,01	-0,01
B2	CS8 - T g	5,824	LC36	0,00	-0,12	2,85	-56,43	-0,02	0,00
B2	CS8 - T g	5,824	LC37	0,00	-0,05	0,05	-1,78	0,00	0,00
B2	CS8 - T g	5,824	LC1	0,00	-1,09	-0,22	1,01	-1,38	0,00
B2	CS8 - T g	5,824	LC2	0,00	-1,26	0,64	-9,19	-0,01	0,00
B2	CS8 - T g	5,824	LC3	0,00	-0,11	0,37	0,44	0,00	0,00
B2	CS8 - T g	5,824	LC4	0,00	1,64	0,41	2,25	0,00	0,00
B2	CS8 - T g	5,824	LC5	0,00	-1,06	-0,40	-2,81	-0,01	0,00
B2	CS8 - T g	5,824	LC6	0,00	-0,18	0,17	-5,86	0,00	0,00
B2	CS8 - T g	5,824	LC7	0,00	0,38	3,75	-21,10	-0,01	-0,01
B2	CS8 - T g	5,824	LC8	0,00	-0,18	5,02	-72,28	-0,02	-0,01
B2	CS8 - T g	5,824	LC9	0,00	1,19	0,29	3,09	0,00	0,00
B2	CS8 - T g	5,824	LC10	0,00	0,47	2,36	-4,25	-0,01	-0,01
B2	CS8 - T g	5,824	LC11	0,00	-0,18	4,07	-80,62	-0,02	0,00
B2	CS8 - T g	5,824	LC12	0,00	-2,37	-1,46	13,41	-0,02	0,01
B2	CS8 - T g	5,824	LC13	0,00	-1,04	-0,91	13,53	-0,02	0,00
B2	CS8 - T g	5,824	LC15	0,00	-0,07	0,09	0,06	0,00	0,00
B2	CS8 - T g	5,824	LC16	0,00	0,28	0,07	0,53	0,00	0,00
B2	CS8 - T g	5,824	LC17	0,00	-0,13	-0,05	-0,35	0,00	0,00
B2	CS8 - T g	5,824	LC18	0,00	-0,08	0,04	-1,39	0,00	0,00
B2	CS8 - T g	5,824	LC19	0,00	0,09	0,61	-2,53	0,00	0,00
B2	CS8 - T g	5,824	LC20	0,00	-0,04	0,91	-15,29	0,00	0,00
B2	CS8 - T g	5,824	LC21	0,00	0,28	0,07	0,53	0,00	0,00
B2	CS8 - T g	5,824	LC22	0,00	0,09	0,61	-2,53	0,00	0,00
B2	CS8 - T g	5,824	LC23	0,00	-0,04	0,91	-15,29	0,00	0,00
B2	CS8 - T g	5,824	LC24	0,00	-0,30	-0,18	1,68	0,00	0,00
B2	CS8 - T g	5,824	LC25	0,00	-0,13	-0,11	1,69	0,00	0,00

Prvek	css	dx [m]	Stav	N [kN]	Vy [kN]	Vz [kN]	Mx [kNm]	My [kNm]	Mz [kNm]
B2	CS8 - T g	5,824	LC26	0,00	0,00	0,00	0,00	0,00	0,00
B2	CS8 - T g	5,824	LC27	0,00	0,00	0,00	-0,02	0,00	0,00
B2	CS8 - T g	5,824	LC28	0,00	0,00	0,00	0,00	0,00	0,00
B2	CS8 - T g	5,824	LC29	0,00	0,00	0,00	-0,02	0,00	0,00
B2	CS8 - T g	5,824	LC30	0,00	-0,03	0,11	0,14	0,00	0,00
B2	CS8 - T g	5,824	LC31	0,00	1,15	0,29	1,58	0,00	0,00
B2	CS8 - T g	5,824	LC32	0,00	0,27	2,62	-14,77	-0,01	-0,01
B2	CS8 - T g	5,824	LC33	0,00	-0,13	3,51	-50,60	-0,02	-0,01
B2	CS8 - T g	5,824	LC34	0,00	0,83	0,20	2,16	0,00	0,00
B2	CS8 - T g	5,824	LC35	0,00	0,33	1,65	-2,97	-0,01	-0,01
B2	CS8 - T g	5,824	LC36	0,00	-0,12	2,85	-56,43	-0,02	0,00
B2	CS8 - T g	5,824	LC37	0,00	-0,05	0,05	-1,78	0,00	0,00
B2	CS8 - T g	6,310	LC1	0,00	-1,34	-0,40	1,09	-1,38	0,00
B2	CS8 - T g	6,310	LC2	0,00	-1,53	0,50	-10,42	-0,01	0,00
B2	CS8 - T g	6,310	LC3	0,00	-0,15	0,38	-0,93	0,00	0,00
B2	CS8 - T g	6,310	LC4	0,00	1,36	0,41	2,24	0,00	0,00
B2	CS8 - T g	6,310	LC5	0,00	-1,14	-0,39	-2,77	0,00	0,00
B2	CS8 - T g	6,310	LC6	0,00	-0,26	0,12	-5,60	0,00	0,00
B2	CS8 - T g	6,310	LC7	0,00	0,94	3,31	-28,26	-0,03	-0,01
B2	CS8 - T g	6,310	LC8	0,00	0,29	4,53	-77,75	-0,04	-0,01
B2	CS8 - T g	6,310	LC9	0,00	1,00	0,28	3,13	0,00	0,00
B2	CS8 - T g	6,310	LC10	0,00	0,84	2,07	-9,31	-0,02	0,00
B2	CS8 - T g	6,310	LC11	0,00	0,03	3,71	-82,54	-0,03	0,00
B2	CS8 - T g	6,310	LC12	0,00	-2,57	-1,58	14,98	-0,01	0,00
B2	CS8 - T g	6,310	LC13	0,00	-1,51	-1,46	15,59	-0,04	0,01
B2	CS8 - T g	6,310	LC15	0,00	-0,08	0,08	-0,27	0,00	0,00
B2	CS8 - T g	6,310	LC16	0,00	0,24	0,07	0,54	0,00	0,00
B2	CS8 - T g	6,310	LC17	0,00	-0,14	-0,05	-0,35	0,00	0,00
B2	CS8 - T g	6,310	LC18	0,00	-0,11	0,02	-1,35	0,00	0,00
B2	CS8 - T g	6,310	LC19	0,00	0,18	0,54	-3,76	-0,01	0,00
B2	CS8 - T g	6,310	LC20	0,00	0,03	0,82	-16,03	-0,01	0,00
B2	CS8 - T g	6,310	LC21	0,00	0,24	0,07	0,54	0,00	0,00
B2	CS8 - T g	6,310	LC22	0,00	0,18	0,54	-3,76	-0,01	0,00
B2	CS8 - T g	6,310	LC23	0,00	0,03	0,82	-16,03	-0,01	0,00
B2	CS8 - T g	6,310	LC24	0,00	-0,32	-0,20	1,87	0,00	0,00
B2	CS8 - T g	6,310	LC25	0,00	-0,19	-0,18	1,95	-0,01	0,00
B2	CS8 - T g	6,310	LC26	0,00	0,00	0,00	0,00	0,00	0,00
B2	CS8 - T g	6,310	LC27	0,00	0,00	0,00	-0,03	0,00	0,00
B2	CS8 - T g	6,310	LC28	0,00	0,00	0,00	0,00	0,00	0,00
B2	CS8 - T g	6,310	LC29	0,00	0,00	0,00	-0,02	0,00	0,00
B2	CS8 - T g	6,310	LC30	0,00	-0,04	0,12	-0,28	0,00	0,00
B2	CS8 - T g	6,310	LC31	0,00	0,95	0,28	1,56	0,00	0,00
B2	CS8 - T g	6,310	LC32	0,00	0,66	2,32	-19,78	-0,02	0,00
B2	CS8 - T g	6,310	LC33	0,00	0,20	3,17	-54,42	-0,03	0,00
B2	CS8 - T g	6,310	LC34	0,00	0,70	0,20	2,19	0,00	0,00
B2	CS8 - T g	6,310	LC35	0,00	0,59	1,45	-6,52	-0,02	0,00
B2	CS8 - T g	6,310	LC36	0,00	0,02	2,60	-57,78	-0,02	0,00
B2	CS8 - T g	6,310	LC37	0,00	-0,07	0,04	-1,70	0,00	0,00
B2	CS8 - T g	6,795	LC1	0,00	-1,59	-0,58	1,17	-1,39	0,00
B2	CS8 - T g	6,795	LC2	0,00	-1,79	0,36	-11,65	-0,02	0,00
B2	CS8 - T g	6,795	LC3	0,00	-0,19	0,39	-2,29	0,00	0,00
B2	CS8 - T g	6,795	LC4	0,00	1,09	0,40	2,22	0,00	0,01
B2	CS8 - T g	6,795	LC5	0,00	-1,21	-0,38	-2,74	0,01	0,00
B2	CS8 - T g	6,795	LC6	0,00	-0,35	0,07	-5,34	0,00	0,00
B2	CS8 - T g	6,795	LC7	0,00	1,50	2,88	-35,42	-0,05	0,00
B2	CS8 - T g	6,795	LC8	0,00	0,76	4,04	-83,21	-0,05	0,00
B2	CS8 - T g	6,795	LC9	0,00	0,82	0,28	3,17	0,00	0,00
B2	CS8 - T g	6,795	LC10	0,00	1,21	1,77	-14,37	-0,04	0,00
B2	CS8 - T g	6,795	LC11	0,00	0,24	3,35	<b>-84,46</b>	-0,04	0,00
B2	CS8 - T g	6,795	LC12	0,00	-2,77	-1,71	16,55	0,00	0,00
B2	CS8 - T g	6,795	LC13	0,00	-1,97	-2,00	17,66	-0,07	0,01
B2	CS8 - T g	6,795	LC15	0,00	-0,10	0,08	-0,60	0,00	0,00
B2	CS8 - T g	6,795	LC16	0,00	0,19	0,07	0,54	0,00	0,00
B2	CS8 - T g	6,795	LC17	0,00	-0,15	-0,05	-0,34	0,00	0,00
B2	CS8 - T g	6,795	LC18	0,00	-0,14	0,01	-1,31	0,00	0,00
B2	CS8 - T g	6,795	LC19	0,00	0,27	0,47	-4,98	-0,01	0,00

Prvek	css	dx [m]	Stav	N [kN]	Vy [kN]	Vz [kN]	Mx [kNm]	My [kNm]	Mz [kNm]
B2	CS8 - T g	6,795	LC20	0,00	0,10	0,74	-16,77	-0,01	0,00
B2	CS8 - T g	6,795	LC21	0,00	0,19	0,07	0,54	0,00	0,00
B2	CS8 - T g	6,795	LC22	0,00	0,27	0,47	-4,98	-0,01	0,00
B2	CS8 - T g	6,795	LC23	0,00	0,10	0,74	-16,77	-0,01	0,00
B2	CS8 - T g	6,795	LC24	0,00	-0,35	-0,21	2,07	0,00	0,00
B2	CS8 - T g	6,795	LC25	0,00	-0,25	-0,25	2,21	-0,01	0,00
B2	CS8 - T g	6,795	LC26	0,00	0,00	0,00	-0,01	0,00	0,00
B2	CS8 - T g	6,795	LC27	0,00	0,00	0,00	-0,03	0,00	0,00
B2	CS8 - T g	6,795	LC28	0,00	0,00	0,00	-0,01	0,00	0,00
B2	CS8 - T g	6,795	LC29	0,00	0,00	0,00	-0,02	0,00	0,00
B2	CS8 - T g	6,795	LC30	0,00	-0,05	0,12	-0,69	0,00	0,00
B2	CS8 - T g	6,795	LC31	0,00	0,76	0,28	1,55	0,00	0,00
B2	CS8 - T g	6,795	LC32	0,00	1,05	2,02	-24,80	-0,04	0,00
B2	CS8 - T g	6,795	LC33	0,00	0,53	2,83	-58,24	-0,04	0,00
B2	CS8 - T g	6,795	LC34	0,00	0,57	0,19	2,22	0,00	0,00
B2	CS8 - T g	6,795	LC35	0,00	0,84	1,24	-10,06	-0,03	0,00
B2	CS8 - T g	6,795	LC36	0,00	0,17	2,34	-59,12	-0,02	0,00
B2	CS8 - T g	6,795	LC37	0,00	-0,10	0,02	-1,62	0,00	0,00
B2	CS8 - T g	6,795	LC1	0,00	-1,59	-0,58	1,17	-1,39	0,00
B2	CS8 - T g	6,795	LC2	0,00	-1,79	0,36	-11,65	-0,02	0,00
B2	CS8 - T g	6,795	LC3	0,00	-0,19	0,39	-2,29	0,00	0,00
B2	CS8 - T g	6,795	LC4	0,00	1,09	0,40	2,22	0,00	0,01
B2	CS8 - T g	6,795	LC5	0,00	-1,21	-0,38	-2,74	0,01	0,00
B2	CS8 - T g	6,795	LC6	0,00	-0,35	0,07	-5,34	0,00	0,00
B2	CS8 - T g	6,795	LC7	0,00	1,50	2,88	-35,42	-0,05	0,00
B2	CS8 - T g	6,795	LC8	0,00	0,76	4,04	-83,21	-0,05	0,00
B2	CS8 - T g	6,795	LC9	0,00	0,82	0,28	3,17	0,00	0,00
B2	CS8 - T g	6,795	LC10	0,00	1,21	1,77	-14,37	-0,04	0,00
B2	CS8 - T g	6,795	LC11	0,00	0,24	3,35	-84,46	-0,04	0,00
B2	CS8 - T g	6,795	LC12	0,00	-2,77	-1,71	16,55	0,00	0,00
B2	CS8 - T g	6,795	LC13	0,00	-1,97	-2,00	17,66	-0,07	0,01
B2	CS8 - T g	6,795	LC15	0,00	-0,10	0,08	-0,60	0,00	0,00
B2	CS8 - T g	6,795	LC16	0,00	0,19	0,07	0,54	0,00	0,00
B2	CS8 - T g	6,795	LC17	0,00	-0,15	-0,05	-0,34	0,00	0,00
B2	CS8 - T g	6,795	LC18	0,00	-0,14	0,01	-1,31	0,00	0,00
B2	CS8 - T g	6,795	LC19	0,00	0,27	0,47	-4,98	-0,01	0,00
B2	CS8 - T g	6,795	LC20	0,00	0,10	0,74	-16,77	-0,01	0,00
B2	CS8 - T g	6,795	LC21	0,00	0,19	0,07	0,54	0,00	0,00
B2	CS8 - T g	6,795	LC22	0,00	0,27	0,47	-4,98	-0,01	0,00
B2	CS8 - T g	6,795	LC23	0,00	0,10	0,74	-16,77	-0,01	0,00
B2	CS8 - T g	6,795	LC24	0,00	-0,35	-0,21	2,07	0,00	0,00
B2	CS8 - T g	6,795	LC25	0,00	-0,25	-0,25	2,21	-0,01	0,00
B2	CS8 - T g	6,795	LC26	0,00	0,00	0,00	-0,01	0,00	0,00
B2	CS8 - T g	6,795	LC27	0,00	0,00	0,00	-0,03	0,00	0,00
B2	CS8 - T g	6,795	LC28	0,00	0,00	0,00	-0,01	0,00	0,00
B2	CS8 - T g	6,795	LC29	0,00	0,00	0,00	-0,02	0,00	0,00
B2	CS8 - T g	6,795	LC30	0,00	-0,05	0,12	-0,69	0,00	0,00
B2	CS8 - T g	6,795	LC31	0,00	0,76	0,28	1,55	0,00	0,00
B2	CS8 - T g	6,795	LC32	0,00	1,05	2,02	-24,80	-0,04	0,00
B2	CS8 - T g	6,795	LC33	0,00	0,53	2,83	-58,24	-0,04	0,00
B2	CS8 - T g	6,795	LC34	0,00	0,57	0,19	2,22	0,00	0,00
B2	CS8 - T g	6,795	LC35	0,00	0,84	1,24	-10,06	-0,03	0,00
B2	CS8 - T g	6,795	LC36	0,00	0,17	2,34	-59,12	-0,02	0,00
B2	CS8 - T g	6,795	LC37	0,00	-0,10	0,02	-1,62	0,00	0,00
B2	CS8 - T g	7,280	LC1	0,00	-1,16	-6,95	1,33	-1,87	0,00
B2	CS8 - T g	7,280	LC2	0,00	-2,06	-5,70	-12,16	-0,47	0,00
B2	CS8 - T g	7,280	LC3	0,00	-0,36	-0,36	-3,31	-0,06	0,00
B2	CS8 - T g	7,280	LC4	0,00	0,96	1,07	1,42	0,05	0,00
B2	CS8 - T g	7,280	LC5	0,00	-0,98	0,47	-2,95	0,07	0,00
B2	CS8 - T g	7,280	LC6	0,00	-0,45	-1,14	-5,05	-0,09	0,00
B2	CS8 - T g	7,280	LC7	0,00	-0,33	6,94	-37,76	0,32	0,02
B2	CS8 - T g	7,280	LC8	0,00	-2,66	10,00	-83,23	0,47	0,04
B2	CS8 - T g	7,280	LC9	0,00	0,87	0,53	2,63	0,02	0,00
B2	CS8 - T g	7,280	LC10	0,00	0,44	3,77	-16,32	0,16	0,01
B2	CS8 - T g	7,280	LC11	0,00	-2,90	8,10	-82,67	0,37	0,04
B2	CS8 - T g	7,280	LC12	0,00	-2,43	-5,24	16,60	-0,28	0,00



Prvek	css	dx [m]	Stav	N [kN]	Vy [kN]	Vz [kN]	Mx [kNm]	My [kNm]	Mz [kNm]
B2	CS8 - T g	7,280	LC13	0,00	-1,02	-18,61	19,93	-1,30	-0,01
B2	CS8 - T g	7,280	LC15	0,00	-0,14	-0,30	-0,85	-0,03	0,00
B2	CS8 - T g	7,280	LC16	0,00	0,18	0,16	0,40	0,01	0,00
B2	CS8 - T g	7,280	LC17	0,00	-0,12	0,06	-0,37	0,01	0,00
B2	CS8 - T g	7,280	LC18	0,00	-0,16	-0,48	-1,25	-0,04	0,00
B2	CS8 - T g	7,280	LC19	0,00	0,01	1,07	-5,41	0,05	0,00
B2	CS8 - T g	7,280	LC20	0,00	-0,56	1,81	-16,59	0,08	0,01
B2	CS8 - T g	7,280	LC21	0,00	0,18	0,16	0,40	0,01	0,00
B2	CS8 - T g	7,280	LC22	0,00	0,01	1,07	-5,41	0,05	0,00
B2	CS8 - T g	7,280	LC23	0,00	-0,56	1,81	-16,59	0,08	0,01
B2	CS8 - T g	7,280	LC24	0,00	-0,30	-0,66	2,08	-0,03	0,00
B2	CS8 - T g	7,280	LC25	0,00	-0,13	-2,33	2,49	-0,16	0,00
B2	CS8 - T g	7,280	LC26	0,00	0,00	0,00	-0,02	0,00	0,00
B2	CS8 - T g	7,280	LC27	0,00	0,00	0,00	-0,02	0,00	0,00
B2	CS8 - T g	7,280	LC28	0,00	0,00	0,00	-0,01	0,00	0,00
B2	CS8 - T g	7,280	LC29	0,00	0,00	0,00	-0,02	0,00	0,00
B2	CS8 - T g	7,280	LC30	0,00	-0,10	-0,09	-1,00	-0,02	0,00
B2	CS8 - T g	7,280	LC31	0,00	0,67	0,75	0,99	0,04	0,00
B2	CS8 - T g	7,280	LC32	0,00	-0,23	4,86	-26,43	0,22	0,01
B2	CS8 - T g	7,280	LC33	0,00	-1,86	7,00	-58,26	0,33	0,03
B2	CS8 - T g	7,280	LC34	0,00	0,61	0,37	1,84	0,01	0,00
B2	CS8 - T g	7,280	LC35	0,00	0,31	2,64	-11,42	0,11	0,01
B2	CS8 - T g	7,280	LC36	0,00	-2,03	5,67	-57,87	0,26	0,02
B2	CS8 - T g	7,280	LC37	0,00	-0,13	-0,33	-1,53	-0,03	0,00
B2	CS8 - T g	7,766	LC1	0,00	-0,73	-13,32	1,50	-2,34	-0,01
B2	CS8 - T g	7,766	LC2	0,00	-2,32	-11,76	-12,67	-0,93	0,00
B2	CS8 - T g	7,766	LC3	0,00	-0,52	-1,11	-4,33	-0,11	0,00
B2	CS8 - T g	7,766	LC4	0,00	0,84	1,73	0,62	0,11	0,00
B2	CS8 - T g	7,766	LC5	0,00	-0,76	1,33	-3,16	0,13	0,00
B2	CS8 - T g	7,766	LC6	0,00	-0,55	-2,35	-4,76	-0,19	0,00
B2	CS8 - T g	7,766	LC7	0,00	-2,16	11,00	-40,10	0,69	0,04
B2	CS8 - T g	7,766	LC8	0,00	-6,07	15,97	-83,26	0,98	0,08
B2	CS8 - T g	7,766	LC9	0,00	0,92	0,79	2,08	0,04	0,00
B2	CS8 - T g	7,766	LC10	0,00	-0,33	5,77	-18,26	0,35	0,02
B2	CS8 - T g	7,766	LC11	0,00	-6,03	12,86	-80,89	0,78	0,07
B2	CS8 - T g	7,766	LC12	0,00	-2,10	-8,78	16,66	-0,55	-0,01
B2	CS8 - T g	7,766	LC13	0,00	-0,08	-35,22	22,19	-2,52	-0,03
B2	CS8 - T g	7,766	LC15	0,00	-0,18	-0,67	-1,10	-0,06	0,00
B2	CS8 - T g	7,766	LC16	0,00	0,18	0,25	0,27	0,02	0,00
B2	CS8 - T g	7,766	LC17	0,00	-0,10	0,17	-0,40	0,02	0,00
B2	CS8 - T g	7,766	LC18	0,00	-0,19	-0,96	-1,20	-0,07	0,00
B2	CS8 - T g	7,766	LC19	0,00	-0,25	1,68	-5,84	0,10	0,01
B2	CS8 - T g	7,766	LC20	0,00	-1,21	2,88	-16,42	0,18	0,02
B2	CS8 - T g	7,766	LC21	0,00	0,18	0,25	0,27	0,02	0,00
B2	CS8 - T g	7,766	LC22	0,00	-0,25	1,68	-5,84	0,10	0,01
B2	CS8 - T g	7,766	LC23	0,00	-1,21	2,88	-16,42	0,18	0,02
B2	CS8 - T g	7,766	LC24	0,00	-0,26	-1,10	2,08	-0,07	0,00
B2	CS8 - T g	7,766	LC25	0,00	-0,01	-4,40	2,77	-0,32	0,00
B2	CS8 - T g	7,766	LC26	0,00	0,00	0,01	-0,02	0,00	0,00
B2	CS8 - T g	7,766	LC27	0,00	0,00	0,00	-0,02	0,00	0,00
B2	CS8 - T g	7,766	LC28	0,00	0,00	0,00	-0,01	0,00	0,00
B2	CS8 - T g	7,766	LC29	0,00	0,00	0,00	-0,02	0,00	0,00
B2	CS8 - T g	7,766	LC30	0,00	-0,15	-0,30	-1,31	-0,03	0,00
B2	CS8 - T g	7,766	LC31	0,00	0,59	1,21	0,43	0,08	0,00
B2	CS8 - T g	7,766	LC32	0,00	-1,51	7,70	-28,07	0,48	0,03
B2	CS8 - T g	7,766	LC33	0,00	-4,25	11,18	-58,28	0,69	0,06
B2	CS8 - T g	7,766	LC34	0,00	0,64	0,56	1,46	0,03	0,00
B2	CS8 - T g	7,766	LC35	0,00	-0,23	4,04	-12,78	0,24	0,01
B2	CS8 - T g	7,766	LC36	0,00	-4,22	9,00	-56,62	0,54	0,05
B2	CS8 - T g	7,766	LC37	0,00	-0,16	-0,68	-1,44	-0,05	0,00
B2	CS8 - T g	7,766	LC1	0,00	-0,73	-13,32	1,50	-2,34	-0,01
B2	CS8 - T g	7,766	LC2	0,00	-2,32	-11,76	-12,67	-0,93	0,00
B2	CS8 - T g	7,766	LC3	0,00	-0,52	-1,11	-4,33	-0,11	0,00
B2	CS8 - T g	7,766	LC4	0,00	0,84	1,73	0,62	0,11	0,00
B2	CS8 - T g	7,766	LC5	0,00	-0,76	1,33	-3,16	0,13	0,00
B2	CS8 - T g	7,766	LC6	0,00	-0,55	-2,35	-4,76	-0,19	0,00

Prvek	css	dx [m]	Stav	N [kN]	Vy [kN]	Vz [kN]	Mx [kNm]	My [kNm]	Mz [kNm]
B2	CS8 - T g	7,766	LC7	0,00	-2,16	11,00	-40,10	0,69	0,04
B2	CS8 - T g	7,766	LC8	0,00	-6,07	15,97	-83,26	0,98	0,08
B2	CS8 - T g	7,766	LC9	0,00	0,92	0,79	2,08	0,04	0,00
B2	CS8 - T g	7,766	LC10	0,00	-0,33	5,77	-18,26	0,35	0,02
B2	CS8 - T g	7,766	LC11	0,00	-6,03	12,86	-80,89	0,78	0,07
B2	CS8 - T g	7,766	LC12	0,00	-2,10	-8,78	16,66	-0,55	-0,01
B2	CS8 - T g	7,766	LC13	0,00	-0,08	-35,22	22,19	-2,52	-0,03
B2	CS8 - T g	7,766	LC15	0,00	-0,18	-0,67	-1,10	-0,06	0,00
B2	CS8 - T g	7,766	LC16	0,00	0,18	0,25	0,27	0,02	0,00
B2	CS8 - T g	7,766	LC17	0,00	-0,10	0,17	-0,40	0,02	0,00
B2	CS8 - T g	7,766	LC18	0,00	-0,19	-0,96	-1,20	-0,07	0,00
B2	CS8 - T g	7,766	LC19	0,00	-0,25	1,68	-5,84	0,10	0,01
B2	CS8 - T g	7,766	LC20	0,00	-1,21	2,88	-16,42	0,18	0,02
B2	CS8 - T g	7,766	LC21	0,00	0,18	0,25	0,27	0,02	0,00
B2	CS8 - T g	7,766	LC22	0,00	-0,25	1,68	-5,84	0,10	0,01
B2	CS8 - T g	7,766	LC23	0,00	-1,21	2,88	-16,42	0,18	0,02
B2	CS8 - T g	7,766	LC24	0,00	-0,26	-1,10	2,08	-0,07	0,00
B2	CS8 - T g	7,766	LC25	0,00	-0,01	-4,40	2,77	-0,32	0,00
B2	CS8 - T g	7,766	LC26	0,00	0,00	0,01	-0,02	0,00	0,00
B2	CS8 - T g	7,766	LC27	0,00	0,00	0,00	-0,02	0,00	0,00
B2	CS8 - T g	7,766	LC28	0,00	0,00	0,00	-0,01	0,00	0,00
B2	CS8 - T g	7,766	LC29	0,00	0,00	0,00	-0,02	0,00	0,00
B2	CS8 - T g	7,766	LC30	0,00	-0,15	-0,30	-1,31	-0,03	0,00
B2	CS8 - T g	7,766	LC31	0,00	0,59	1,21	0,43	0,08	0,00
B2	CS8 - T g	7,766	LC32	0,00	-1,51	7,70	-28,07	0,48	0,03
B2	CS8 - T g	7,766	LC33	0,00	-4,25	11,18	-58,28	0,69	0,06
B2	CS8 - T g	7,766	LC34	0,00	0,64	0,56	1,46	0,03	0,00
B2	CS8 - T g	7,766	LC35	0,00	-0,23	4,04	-12,78	0,24	0,01
B2	CS8 - T g	7,766	LC36	0,00	-4,22	9,00	-56,62	0,54	0,05
B2	CS8 - T g	7,766	LC37	0,00	-0,16	-0,68	-1,44	-0,05	0,00
B2	CS8 - T g	8,251	LC1	0,00	0,39	-25,79	1,74	-15,18	1,16
B2	CS8 - T g	8,251	LC2	0,00	-2,61	-23,67	-12,64	-13,23	-0,21
B2	CS8 - T g	8,251	LC3	0,00	-0,74	-2,58	-5,07	-1,60	-0,12
B2	CS8 - T g	8,251	LC4	0,00	1,10	3,11	-0,46	1,64	0,63
B2	CS8 - T g	8,251	LC5	0,00	-0,34	2,95	-3,56	1,71	0,32
B2	CS8 - T g	8,251	LC6	0,00	-0,69	-4,72	-4,44	-2,64	-0,12
B2	CS8 - T g	8,251	LC7	0,00	-5,92	19,81	-40,85	10,12	-3,14
B2	CS8 - T g	8,251	LC8	0,00	-13,05	28,59	-81,29	14,36	-6,30
B2	CS8 - T g	8,251	LC9	0,00	1,34	1,35	1,34	0,68	0,64
B2	CS8 - T g	8,251	LC10	0,00	-1,93	10,24	-19,17	5,21	-1,22
B2	CS8 - T g	8,251	LC11	0,00	-12,39	22,82	-77,69	11,26	-5,84
B2	CS8 - T g	8,251	LC12	0,00	-1,58	-15,85	15,57	-8,06	0,08
B2	CS8 - T g	8,251	LC13	0,00	2,35	-67,60	24,34	-35,72	2,56
B2	CS8 - T g	8,251	LC15	0,00	-0,23	-1,41	-1,28	-0,81	-0,02
B2	CS8 - T g	8,251	LC16	0,00	0,24	0,45	0,09	0,23	0,13
B2	CS8 - T g	8,251	LC17	0,00	-0,04	0,37	-0,44	0,21	0,04
B2	CS8 - T g	8,251	LC18	0,00	-0,21	-1,91	-1,13	-1,05	-0,02
B2	CS8 - T g	8,251	LC19	0,00	-0,78	3,00	-6,00	1,53	-0,44
B2	CS8 - T g	8,251	LC20	0,00	-2,54	5,14	-15,90	2,56	-1,21
B2	CS8 - T g	8,251	LC21	0,00	0,24	0,45	0,09	0,23	0,13
B2	CS8 - T g	8,251	LC22	0,00	-0,78	3,00	-6,00	1,53	-0,44
B2	CS8 - T g	8,251	LC23	0,00	-2,54	5,14	-15,90	2,56	-1,21
B2	CS8 - T g	8,251	LC24	0,00	-0,20	-1,98	1,95	-1,01	0,01
B2	CS8 - T g	8,251	LC25	0,00	0,29	-8,45	3,04	-4,47	0,32
B2	CS8 - T g	8,251	LC26	0,00	0,00	0,01	-0,02	0,00	0,00
B2	CS8 - T g	8,251	LC27	0,00	0,00	0,00	-0,02	0,00	0,00
B2	CS8 - T g	8,251	LC28	0,00	0,00	0,01	-0,02	0,00	0,00
B2	CS8 - T g	8,251	LC29	0,00	0,00	0,00	-0,01	0,00	0,00
B2	CS8 - T g	8,251	LC30	0,00	-0,22	-0,71	-1,53	-0,44	-0,04
B2	CS8 - T g	8,251	LC31	0,00	0,77	2,18	-0,32	1,15	0,44
B2	CS8 - T g	8,251	LC32	0,00	-4,14	13,86	-28,59	7,09	-2,20
B2	CS8 - T g	8,251	LC33	0,00	-9,14	20,02	-56,90	10,05	-4,41
B2	CS8 - T g	8,251	LC34	0,00	0,94	0,94	0,94	0,48	0,45
B2	CS8 - T g	8,251	LC35	0,00	-1,35	7,17	-13,42	3,64	-0,85
B2	CS8 - T g	8,251	LC36	0,00	-8,68	15,97	-54,38	7,88	-4,09
B2	CS8 - T g	8,251	LC37	0,00	-0,21	-1,36	-1,34	-0,76	-0,04

Prvek	css	dx [m]	Stav	N [kN]	Vy [kN]	Vz [kN]	Mx [kNm]	My [kNm]	Mz [kNm]
B2	CS8 - T g	8,737	LC1	0,00	1,51	-38,27	1,99	-28,02	2,34
B2	CS8 - T g	8,737	LC2	0,00	-2,89	-35,58	-12,61	-25,52	-0,42
B2	CS8 - T g	8,737	LC3	0,00	-0,97	-4,05	-5,80	-3,08	-0,24
B2	CS8 - T g	8,737	LC4	0,00	1,36	4,49	-1,55	3,17	1,27
B2	CS8 - T g	8,737	LC5	0,00	0,09	4,58	-3,95	3,29	0,64
B2	CS8 - T g	8,737	LC6	0,00	-0,83	-7,10	-4,12	-5,09	-0,24
B2	CS8 - T g	8,737	LC7	0,00	-9,68	28,61	-41,60	19,56	-6,32
B2	CS8 - T g	8,737	LC8	0,00	-20,04	41,22	-79,32	27,73	-12,67
B2	CS8 - T g	8,737	LC9	0,00	1,77	1,90	0,60	1,32	1,29
B2	CS8 - T g	8,737	LC10	0,00	-3,52	14,72	-20,08	10,06	-2,45
B2	CS8 - T g	8,737	LC11	0,00	-18,76	32,78	-74,48	21,74	-11,76
B2	CS8 - T g	8,737	LC12	0,00	-1,06	-22,92	14,48	-15,56	0,17
B2	CS8 - T g	8,737	LC13	0,00	4,78	-99,99	26,48	-68,92	5,14
B2	CS8 - T g	8,737	LC15	0,00	-0,27	-2,15	-1,45	-1,57	-0,04
B2	CS8 - T g	8,737	LC16	0,00	0,31	0,64	-0,10	0,45	0,26
B2	CS8 - T g	8,737	LC17	0,00	0,01	0,57	-0,49	0,41	0,08
B2	CS8 - T g	8,737	LC18	0,00	-0,24	-2,86	-1,07	-2,03	-0,04
B2	CS8 - T g	8,737	LC19	0,00	-1,32	4,33	-6,17	2,96	-0,88
B2	CS8 - T g	8,737	LC20	0,00	-3,88	7,40	-15,38	4,95	-2,44
B2	CS8 - T g	8,737	LC21	0,00	0,31	0,64	-0,10	0,45	0,26
B2	CS8 - T g	8,737	LC22	0,00	-1,32	4,33	-6,17	2,96	-0,88
B2	CS8 - T g	8,737	LC23	0,00	-3,88	7,40	-15,38	4,95	-2,44
B2	CS8 - T g	8,737	LC24	0,00	-0,13	-2,86	1,81	-1,94	0,02
B2	CS8 - T g	8,737	LC25	0,00	0,60	-12,50	3,31	-8,62	0,64
B2	CS8 - T g	8,737	LC26	0,00	0,00	0,01	-0,03	0,01	0,00
B2	CS8 - T g	8,737	LC27	0,00	0,00	0,00	-0,02	0,00	0,00
B2	CS8 - T g	8,737	LC28	0,00	0,00	0,01	-0,02	0,01	0,00
B2	CS8 - T g	8,737	LC29	0,00	0,00	0,00	-0,01	0,00	0,00
B2	CS8 - T g	8,737	LC30	0,00	-0,29	-1,11	-1,76	-0,85	-0,08
B2	CS8 - T g	8,737	LC31	0,00	0,95	3,15	-1,08	2,22	0,89
B2	CS8 - T g	8,737	LC32	0,00	-6,77	20,03	-29,12	13,69	-4,43
B2	CS8 - T g	8,737	LC33	0,00	-14,03	28,85	-55,52	19,41	-8,87
B2	CS8 - T g	8,737	LC34	0,00	1,24	1,33	0,42	0,92	0,91
B2	CS8 - T g	8,737	LC35	0,00	-2,47	10,30	-14,06	7,05	-1,71
B2	CS8 - T g	8,737	LC36	0,00	-13,13	22,94	-52,14	15,22	-8,23
B2	CS8 - T g	8,737	LC37	0,00	-0,25	-2,04	-1,24	-1,47	-0,08
B3	CS5 - Obdélník	0,000	LC1	-81,96	4,00	8,05	-0,85	-7,71	-2,48
B3	CS5 - Obdélník	0,000	LC2	-87,75	-0,26	11,84	-1,14	-12,09	-0,50
B3	CS5 - Obdélník	0,000	LC3	-20,66	-0,06	3,88	-0,34	-4,32	-0,07
B3	CS5 - Obdélník	0,000	LC4	1,59	0,06	3,44	-0,43	-4,14	0,04
B3	CS5 - Obdélník	0,000	LC5	<b>-160,45</b>	3,07	10,87	-1,44	-7,68	-4,54
B3	CS5 - Obdélník	0,000	LC6	-18,87	-0,03	2,75	-0,25	-2,87	-0,13
B3	CS5 - Obdélník	0,000	LC7	-11,64	-0,09	6,82	-0,66	-8,04	0,08
B3	CS5 - Obdélník	0,000	LC8	-8,76	0,38	4,44	-1,26	-2,40	-0,70
B3	CS5 - Obdélník	0,000	LC9	0,68	-0,04	2,47	-0,23	-3,19	0,15
B3	CS5 - Obdélník	0,000	LC10	-9,99	-0,28	6,09	-0,17	-8,52	0,42
B3	CS5 - Obdélník	0,000	LC11	-5,34	0,44	2,51	-1,08	-0,04	-0,79
B3	CS5 - Obdélník	0,000	LC12	-85,55	-1,12	12,74	-1,95	-10,60	0,17
B3	CS5 - Obdélník	0,000	LC13	-20,79	-0,66	4,30	-0,63	-4,06	0,59
B3	CS5 - Obdélník	0,000	LC15	-7,88	-0,02	1,30	-0,12	-1,40	-0,04
B3	CS5 - Obdélník	0,000	LC16	0,23	0,00	0,59	-0,07	-0,73	0,02
B3	CS5 - Obdélník	0,000	LC17	-20,06	0,38	1,36	-0,18	-0,96	-0,57
B3	CS5 - Obdélník	0,000	LC18	-7,46	-0,01	1,04	-0,10	-1,06	-0,06
B3	CS5 - Obdélník	0,000	LC19	-2,16	-0,04	1,29	-0,08	-1,66	0,05
B3	CS5 - Obdélník	0,000	LC20	-1,41	0,08	0,69	-0,23	-0,24	-0,15
B3	CS5 - Obdélník	0,000	LC21	0,23	0,00	0,59	-0,07	-0,73	0,02
B3	CS5 - Obdélník	0,000	LC22	-2,16	-0,04	1,29	-0,08	-1,66	0,05
B3	CS5 - Obdélník	0,000	LC23	-1,41	0,08	0,69	-0,23	-0,24	-0,15
B3	CS5 - Obdélník	0,000	LC24	-10,69	-0,14	1,59	-0,24	-1,33	0,02
B3	CS5 - Obdélník	0,000	LC25	-2,60	-0,08	0,54	-0,08	-0,51	0,07
B3	CS5 - Obdélník	0,000	LC26	0,00	0,00	0,01	0,00	-0,01	0,00
B3	CS5 - Obdélník	0,000	LC27	0,00	0,00	0,00	0,00	0,00	0,00
B3	CS5 - Obdélník	0,000	LC28	0,00	0,00	0,00	0,00	-0,01	0,00
B3	CS5 - Obdélník	0,000	LC29	0,00	0,00	0,00	0,00	0,00	0,00
B3	CS5 - Obdélník	0,000	LC30	-5,99	-0,02	1,14	-0,10	-1,28	-0,02
B3	CS5 - Obdélník	0,000	LC31	1,11	0,04	2,41	-0,30	-2,90	0,03

Prvek	css	dx [m]	Stav	N [kN]	Vy [kN]	Vz [kN]	Mx [kNm]	My [kNm]	Mz [kNm]
B3	CS5 - Obdélník	0,000	LC32	-8,15	-0,06	4,78	-0,46	-5,63	0,06
B3	CS5 - Obdélník	0,000	LC33	-6,13	0,27	3,11	-0,88	-1,68	-0,49
B3	CS5 - Obdélník	0,000	LC34	0,47	-0,03	1,73	-0,16	-2,23	0,11
B3	CS5 - Obdélník	0,000	LC35	-6,99	-0,20	4,26	-0,12	-5,96	0,29
B3	CS5 - Obdélník	0,000	LC36	-3,73	0,31	1,76	-0,76	-0,03	-0,55
B3	CS5 - Obdélník	0,000	LC37	-5,44	-0,01	0,80	-0,07	-0,84	-0,04
B3	CS5 - Obdélník	0,486	LC1	-81,34	2,51	8,05	-0,85	-3,80	-0,90
B3	CS5 - Obdélník	0,486	LC2	-87,75	-0,26	11,84	-1,14	-6,34	-0,63
B3	CS5 - Obdélník	0,486	LC3	-20,66	-0,06	3,88	-0,34	-2,44	-0,10
B3	CS5 - Obdélník	0,486	LC4	1,59	0,06	3,44	-0,43	-2,47	0,07
B3	CS5 - Obdélník	0,486	LC5	-160,45	3,07	10,87	-1,44	-2,40	-3,05
B3	CS5 - Obdélník	0,486	LC6	-18,87	-0,03	2,75	-0,25	-1,53	-0,14
B3	CS5 - Obdélník	0,486	LC7	-11,64	-0,09	6,82	-0,66	-4,73	0,04
B3	CS5 - Obdélník	0,486	LC8	-8,76	0,38	4,44	-1,26	-0,25	-0,52
B3	CS5 - Obdélník	0,486	LC9	0,68	-0,04	2,47	-0,23	-1,99	0,14
B3	CS5 - Obdélník	0,486	LC10	-9,99	-0,28	6,09	-0,17	-5,56	0,28
B3	CS5 - Obdélník	0,486	LC11	-5,34	0,44	2,51	-1,08	1,17	-0,58
B3	CS5 - Obdélník	0,486	LC12	-85,55	-1,12	12,74	-1,95	-4,42	-0,37
B3	CS5 - Obdélník	0,486	LC13	-20,79	-0,66	4,30	-0,63	-1,97	0,27
B3	CS5 - Obdélník	0,486	LC15	-7,88	-0,02	1,30	-0,12	-0,76	-0,05
B3	CS5 - Obdélník	0,486	LC16	0,23	0,00	0,59	-0,07	-0,45	0,02
B3	CS5 - Obdélník	0,486	LC17	-20,06	0,38	1,36	-0,18	-0,30	-0,38
B3	CS5 - Obdélník	0,486	LC18	-7,46	-0,01	1,04	-0,10	-0,55	-0,06
B3	CS5 - Obdélník	0,486	LC19	-2,16	-0,04	1,29	-0,08	-1,03	0,03
B3	CS5 - Obdélník	0,486	LC20	-1,41	0,08	0,69	-0,23	0,09	-0,11
B3	CS5 - Obdélník	0,486	LC21	0,23	0,00	0,59	-0,07	-0,45	0,02
B3	CS5 - Obdélník	0,486	LC22	-2,16	-0,04	1,29	-0,08	-1,03	0,03
B3	CS5 - Obdélník	0,486	LC23	-1,41	0,08	0,69	-0,23	0,09	-0,11
B3	CS5 - Obdélník	0,486	LC24	-10,69	-0,14	1,59	-0,24	-0,55	-0,05
B3	CS5 - Obdélník	0,486	LC25	-2,60	-0,08	0,54	-0,08	-0,25	0,03
B3	CS5 - Obdélník	0,486	LC26	0,00	0,00	0,01	0,00	-0,01	0,00
B3	CS5 - Obdélník	0,486	LC27	0,00	0,00	0,00	0,00	0,00	0,00
B3	CS5 - Obdélník	0,486	LC28	0,00	0,00	0,00	0,00	0,00	0,00
B3	CS5 - Obdélník	0,486	LC29	0,00	0,00	0,00	0,00	0,00	0,00
B3	CS5 - Obdélník	0,486	LC30	-5,99	-0,02	1,14	-0,10	-0,72	-0,03
B3	CS5 - Obdélník	0,486	LC31	1,11	0,04	2,41	-0,30	-1,73	0,05
B3	CS5 - Obdélník	0,486	LC32	-8,15	-0,06	4,78	-0,46	-3,31	0,03
B3	CS5 - Obdélník	0,486	LC33	-6,13	0,27	3,11	-0,88	-0,17	-0,36
B3	CS5 - Obdélník	0,486	LC34	0,47	-0,03	1,73	-0,16	-1,40	0,09
B3	CS5 - Obdélník	0,486	LC35	-6,99	-0,20	4,26	-0,12	-3,89	0,20
B3	CS5 - Obdélník	0,486	LC36	-3,73	0,31	1,76	-0,76	0,82	-0,40
B3	CS5 - Obdélník	0,486	LC37	-5,44	-0,01	0,80	-0,07	-0,45	-0,04
B3	CS5 - Obdélník	0,971	LC1	-80,73	1,01	8,05	-0,85	0,11	-0,04
B3	CS5 - Obdélník	0,971	LC2	-87,75	-0,26	11,84	-1,14	-0,59	-0,76
B3	CS5 - Obdélník	0,971	LC3	-20,66	-0,06	3,88	-0,34	-0,56	-0,13
B3	CS5 - Obdélník	0,971	LC4	1,59	0,06	3,44	-0,43	-0,81	0,10
B3	CS5 - Obdélník	0,971	LC5	-160,45	3,07	10,87	-1,44	2,88	-1,55
B3	CS5 - Obdélník	0,971	LC6	-18,87	-0,03	2,75	-0,25	-0,20	-0,16
B3	CS5 - Obdélník	0,971	LC7	-11,64	-0,09	6,82	-0,66	-1,42	0,00
B3	CS5 - Obdélník	0,971	LC8	-8,76	0,38	4,44	-1,26	1,90	-0,33
B3	CS5 - Obdélník	0,971	LC9	0,68	-0,04	2,47	-0,23	-0,80	0,12
B3	CS5 - Obdélník	0,971	LC10	-9,99	-0,28	6,09	-0,17	-2,61	0,14
B3	CS5 - Obdélník	0,971	LC11	-5,34	0,44	2,51	-1,08	2,39	-0,36
B3	CS5 - Obdélník	0,971	LC12	-85,55	-1,12	12,74	-1,95	1,77	-0,92
B3	CS5 - Obdélník	0,971	LC13	-20,79	-0,66	4,30	-0,63	0,12	-0,05
B3	CS5 - Obdélník	0,971	LC15	-7,88	-0,02	1,30	-0,12	-0,13	-0,06
B3	CS5 - Obdélník	0,971	LC16	0,23	0,00	0,59	-0,07	-0,16	0,02
B3	CS5 - Obdélník	0,971	LC17	-20,06	0,38	1,36	-0,18	0,36	-0,19
B3	CS5 - Obdélník	0,971	LC18	-7,46	-0,01	1,04	-0,10	-0,05	-0,06
B3	CS5 - Obdélník	0,971	LC19	-2,16	-0,04	1,29	-0,08	-0,40	0,01
B3	CS5 - Obdélník	0,971	LC20	-1,41	0,08	0,69	-0,23	0,43	-0,07
B3	CS5 - Obdélník	0,971	LC21	0,23	0,00	0,59	-0,07	-0,16	0,02
B3	CS5 - Obdélník	0,971	LC22	-2,16	-0,04	1,29	-0,08	-0,40	0,01
B3	CS5 - Obdélník	0,971	LC23	-1,41	0,08	0,69	-0,23	0,43	-0,07
B3	CS5 - Obdélník	0,971	LC24	-10,69	-0,14	1,59	-0,24	0,22	-0,11
B3	CS5 - Obdélník	0,971	LC25	-2,60	-0,08	0,54	-0,08	0,01	-0,01

Prvek	css	dx [m]	Stav	N [kN]	Vy [kN]	Vz [kN]	Mx [kNm]	My [kNm]	Mz [kNm]
B3	CS5 - Obdélník	0,971	LC26	0,00	0,00	0,01	0,00	0,00	0,00
B3	CS5 - Obdélník	0,971	LC27	0,00	0,00	0,00	0,00	0,00	0,00
B3	CS5 - Obdélník	0,971	LC28	0,00	0,00	0,00	0,00	0,00	0,00
B3	CS5 - Obdélník	0,971	LC29	0,00	0,00	0,00	0,00	0,00	0,00
B3	CS5 - Obdélník	0,971	LC30	-5,99	-0,02	1,14	-0,10	-0,17	-0,04
B3	CS5 - Obdélník	0,971	LC31	1,11	0,04	2,41	-0,30	-0,56	0,07
B3	CS5 - Obdélník	0,971	LC32	-8,15	-0,06	4,78	-0,46	-0,99	0,00
B3	CS5 - Obdélník	0,971	LC33	-6,13	0,27	3,11	-0,88	1,33	-0,23
B3	CS5 - Obdélník	0,971	LC34	0,47	-0,03	1,73	-0,16	-0,56	0,08
B3	CS5 - Obdélník	0,971	LC35	-6,99	-0,20	4,26	-0,12	-1,83	0,10
B3	CS5 - Obdélník	0,971	LC36	-3,73	0,31	1,76	-0,76	1,67	-0,25
B3	CS5 - Obdélník	0,971	LC37	-5,44	-0,01	0,80	-0,07	-0,06	-0,04
B3	CS5 - Obdélník	1,214	LC1	-80,42	0,26	8,05	-0,85	2,07	0,11
B3	CS5 - Obdélník	1,214	LC2	-87,75	-0,26	11,84	-1,14	2,29	-0,82
B3	CS5 - Obdélník	1,214	LC3	-20,66	-0,06	3,88	-0,34	0,38	-0,15
B3	CS5 - Obdélník	1,214	LC4	1,59	0,06	3,44	-0,43	0,03	0,11
B3	CS5 - Obdélník	1,214	LC5	-160,45	3,07	10,87	-1,44	5,51	-0,81
B3	CS5 - Obdélník	1,214	LC6	-18,87	-0,03	2,75	-0,25	0,47	-0,16
B3	CS5 - Obdélník	1,214	LC7	-11,64	-0,09	6,82	-0,66	0,24	-0,02
B3	CS5 - Obdélník	1,214	LC8	-8,76	0,38	4,44	-1,26	2,98	-0,24
B3	CS5 - Obdélník	1,214	LC9	0,68	-0,04	2,47	-0,23	-0,20	0,11
B3	CS5 - Obdélník	1,214	LC10	-9,99	-0,28	6,09	-0,17	-1,13	0,07
B3	CS5 - Obdélník	1,214	LC11	-5,34	0,44	2,51	-1,08	3,00	-0,25
B3	CS5 - Obdélník	1,214	LC12	-85,55	-1,12	12,74	-1,95	4,86	-1,19
B3	CS5 - Obdélník	1,214	LC13	-20,79	-0,66	4,30	-0,63	1,16	-0,21
B3	CS5 - Obdélník	1,214	LC15	-7,88	-0,02	1,30	-0,12	0,19	-0,06
B3	CS5 - Obdélník	1,214	LC16	0,23	0,00	0,59	-0,07	-0,02	0,02
B3	CS5 - Obdélník	1,214	LC17	-20,06	0,38	1,36	-0,18	0,69	-0,10
B3	CS5 - Obdélník	1,214	LC18	-7,46	-0,01	1,04	-0,10	0,21	-0,06
B3	CS5 - Obdélník	1,214	LC19	-2,16	-0,04	1,29	-0,08	-0,09	0,01
B3	CS5 - Obdélník	1,214	LC20	-1,41	0,08	0,69	-0,23	0,60	-0,05
B3	CS5 - Obdélník	1,214	LC21	0,23	0,00	0,59	-0,07	-0,02	0,02
B3	CS5 - Obdélník	1,214	LC22	-2,16	-0,04	1,29	-0,08	-0,09	0,01
B3	CS5 - Obdélník	1,214	LC23	-1,41	0,08	0,69	-0,23	0,60	-0,05
B3	CS5 - Obdélník	1,214	LC24	-10,69	-0,14	1,59	-0,24	0,61	-0,15
B3	CS5 - Obdélník	1,214	LC25	-2,60	-0,08	0,54	-0,08	0,14	-0,03
B3	CS5 - Obdélník	1,214	LC26	0,00	0,00	0,01	0,00	0,00	0,00
B3	CS5 - Obdélník	1,214	LC27	0,00	0,00	0,00	0,00	0,00	0,00
B3	CS5 - Obdélník	1,214	LC28	0,00	0,00	0,00	0,00	0,00	0,00
B3	CS5 - Obdélník	1,214	LC29	0,00	0,00	0,00	0,00	0,00	0,00
B3	CS5 - Obdélník	1,214	LC30	-5,99	-0,02	1,14	-0,10	0,11	-0,04
B3	CS5 - Obdélník	1,214	LC31	1,11	0,04	2,41	-0,30	0,02	0,08
B3	CS5 - Obdélník	1,214	LC32	-8,15	-0,06	4,78	-0,46	0,17	-0,02
B3	CS5 - Obdélník	1,214	LC33	-6,13	0,27	3,11	-0,88	2,09	-0,17
B3	CS5 - Obdélník	1,214	LC34	0,47	-0,03	1,73	-0,16	-0,14	0,07
B3	CS5 - Obdélník	1,214	LC35	-6,99	-0,20	4,26	-0,12	-0,79	0,05
B3	CS5 - Obdélník	1,214	LC36	-3,73	0,31	1,76	-0,76	2,10	-0,18
B3	CS5 - Obdélník	1,214	LC37	-5,44	-0,01	0,80	-0,07	0,13	-0,05
B3	CS5 - Obdélník	1,214	LC1	-80,42	0,26	8,05	-0,85	2,07	0,11
B3	CS5 - Obdélník	1,214	LC2	-87,75	-0,26	11,84	-1,14	2,29	-0,82
B3	CS5 - Obdélník	1,214	LC3	-20,66	-0,06	3,88	-0,34	0,38	-0,15
B3	CS5 - Obdélník	1,214	LC4	1,59	0,06	3,44	-0,43	0,03	0,11
B3	CS5 - Obdélník	1,214	LC5	-160,45	3,07	10,87	-1,44	5,51	-0,81
B3	CS5 - Obdélník	1,214	LC6	-18,87	-0,03	2,75	-0,25	0,47	-0,16
B3	CS5 - Obdélník	1,214	LC7	-11,64	-0,09	6,82	-0,66	0,24	-0,02
B3	CS5 - Obdélník	1,214	LC8	-8,76	0,38	4,44	-1,26	2,98	-0,24
B3	CS5 - Obdélník	1,214	LC9	0,68	-0,04	2,47	-0,23	-0,20	0,11
B3	CS5 - Obdélník	1,214	LC10	-9,99	-0,28	6,09	-0,17	-1,13	0,07
B3	CS5 - Obdélník	1,214	LC11	-5,34	0,44	2,51	-1,08	3,00	-0,25
B3	CS5 - Obdélník	1,214	LC12	-85,55	-1,12	12,74	-1,95	4,86	-1,19
B3	CS5 - Obdélník	1,214	LC13	-20,79	-0,66	4,30	-0,63	1,16	-0,21
B3	CS5 - Obdélník	1,214	LC15	-7,88	-0,02	1,30	-0,12	0,19	-0,06
B3	CS5 - Obdélník	1,214	LC16	0,23	0,00	0,59	-0,07	-0,02	0,02
B3	CS5 - Obdélník	1,214	LC17	-20,06	0,38	1,36	-0,18	0,69	-0,10
B3	CS5 - Obdélník	1,214	LC18	-7,46	-0,01	1,04	-0,10	0,21	-0,06
B3	CS5 - Obdélník	1,214	LC19	-2,16	-0,04	1,29	-0,08	-0,09	0,01

Prvek	css	dx [m]	Stav	N [kN]	Vy [kN]	Vz [kN]	Mx [kNm]	My [kNm]	Mz [kNm]
B3	CS5 - Obdélník	1,214	LC20	-1,41	0,08	0,69	-0,23	0,60	-0,05
B3	CS5 - Obdélník	1,214	LC21	0,23	0,00	0,59	-0,07	-0,02	0,02
B3	CS5 - Obdélník	1,214	LC22	-2,16	-0,04	1,29	-0,08	-0,09	0,01
B3	CS5 - Obdélník	1,214	LC23	-1,41	0,08	0,69	-0,23	0,60	-0,05
B3	CS5 - Obdélník	1,214	LC24	-10,69	-0,14	1,59	-0,24	0,61	-0,15
B3	CS5 - Obdélník	1,214	LC25	-2,60	-0,08	0,54	-0,08	0,14	-0,03
B3	CS5 - Obdélník	1,214	LC26	0,00	0,00	0,01	0,00	0,00	0,00
B3	CS5 - Obdélník	1,214	LC27	0,00	0,00	0,00	0,00	0,00	0,00
B3	CS5 - Obdélník	1,214	LC28	0,00	0,00	0,00	0,00	0,00	0,00
B3	CS5 - Obdélník	1,214	LC29	0,00	0,00	0,00	0,00	0,00	0,00
B3	CS5 - Obdélník	1,214	LC30	-5,99	-0,02	1,14	-0,10	0,11	-0,04
B3	CS5 - Obdélník	1,214	LC31	1,11	0,04	2,41	-0,30	0,02	0,08
B3	CS5 - Obdélník	1,214	LC32	-8,15	-0,06	4,78	-0,46	0,17	-0,02
B3	CS5 - Obdélník	1,214	LC33	-6,13	0,27	3,11	-0,88	2,09	-0,17
B3	CS5 - Obdélník	1,214	LC34	0,47	-0,03	1,73	-0,16	-0,14	0,07
B3	CS5 - Obdélník	1,214	LC35	-6,99	-0,20	4,26	-0,12	-0,79	0,05
B3	CS5 - Obdélník	1,214	LC36	-3,73	0,31	1,76	-0,76	2,10	-0,18
B3	CS5 - Obdélník	1,214	LC37	-5,44	-0,01	0,80	-0,07	0,13	-0,05
B3	CS5 - Obdélník	1,457	LC1	-80,11	-0,49	8,05	-0,85	4,02	0,08
B3	CS5 - Obdélník	1,457	LC2	-87,75	-0,26	11,84	-1,14	5,16	-0,89
B3	CS5 - Obdélník	1,457	LC3	-20,66	-0,06	3,88	-0,34	1,32	-0,16
B3	CS5 - Obdélník	1,457	LC4	1,59	0,06	3,44	-0,43	0,86	0,13
B3	CS5 - Obdélník	1,457	LC5	-160,45	3,07	10,87	-1,44	8,15	-0,06
B3	CS5 - Obdélník	1,457	LC6	-18,87	-0,03	2,75	-0,25	1,14	-0,17
B3	CS5 - Obdélník	1,457	LC7	-11,64	-0,09	6,82	-0,66	1,90	-0,04
B3	CS5 - Obdélník	1,457	LC8	-8,76	0,38	4,44	-1,26	4,06	-0,15
B3	CS5 - Obdélník	1,457	LC9	0,68	-0,04	2,47	-0,23	0,40	0,10
B3	CS5 - Obdélník	1,457	LC10	-9,99	-0,28	6,09	-0,17	0,35	0,00
B3	CS5 - Obdélník	1,457	LC11	-5,34	0,44	2,51	-1,08	3,61	-0,15
B3	CS5 - Obdélník	1,457	LC12	-85,55	-1,12	12,74	-1,95	7,96	-1,46
B3	CS5 - Obdélník	1,457	LC13	-20,79	-0,66	4,30	-0,63	2,20	-0,37
B3	CS5 - Obdélník	1,457	LC15	-7,88	-0,02	1,30	-0,12	0,50	-0,06
B3	CS5 - Obdélník	1,457	LC16	0,23	0,00	0,59	-0,07	0,13	0,02
B3	CS5 - Obdélník	1,457	LC17	-20,06	0,38	1,36	-0,18	1,02	-0,01
B3	CS5 - Obdélník	1,457	LC18	-7,46	-0,01	1,04	-0,10	0,46	-0,07
B3	CS5 - Obdélník	1,457	LC19	-2,16	-0,04	1,29	-0,08	0,22	0,00
B3	CS5 - Obdélník	1,457	LC20	-1,41	0,08	0,69	-0,23	0,77	-0,03
B3	CS5 - Obdélník	1,457	LC21	0,23	0,00	0,59	-0,07	0,13	0,02
B3	CS5 - Obdélník	1,457	LC22	-2,16	-0,04	1,29	-0,08	0,22	0,00
B3	CS5 - Obdélník	1,457	LC23	-1,41	0,08	0,69	-0,23	0,77	-0,03
B3	CS5 - Obdélník	1,457	LC24	-10,69	-0,14	1,59	-0,24	0,99	-0,18
B3	CS5 - Obdélník	1,457	LC25	-2,60	-0,08	0,54	-0,08	0,28	-0,05
B3	CS5 - Obdélník	1,457	LC26	0,00	0,00	0,01	0,00	0,00	0,00
B3	CS5 - Obdélník	1,457	LC27	0,00	0,00	0,00	0,00	0,00	0,00
B3	CS5 - Obdélník	1,457	LC28	0,00	0,00	0,00	0,00	0,00	0,00
B3	CS5 - Obdélník	1,457	LC29	0,00	0,00	0,00	0,00	0,00	0,00
B3	CS5 - Obdélník	1,457	LC30	-5,99	-0,02	1,14	-0,10	0,38	-0,05
B3	CS5 - Obdélník	1,457	LC31	1,11	0,04	2,41	-0,30	0,60	0,09
B3	CS5 - Obdélník	1,457	LC32	-8,15	-0,06	4,78	-0,46	1,33	-0,03
B3	CS5 - Obdélník	1,457	LC33	-6,13	0,27	3,11	-0,88	2,84	-0,10
B3	CS5 - Obdélník	1,457	LC34	0,47	-0,03	1,73	-0,16	0,28	0,07
B3	CS5 - Obdélník	1,457	LC35	-6,99	-0,20	4,26	-0,12	0,24	0,00
B3	CS5 - Obdélník	1,457	LC36	-3,73	0,31	1,76	-0,76	2,53	-0,10
B3	CS5 - Obdélník	1,457	LC37	-5,44	-0,01	0,80	-0,07	0,33	-0,05
B3	CS5 - Obdélník	1,942	LC1	-79,49	-1,98	8,05	-0,85	7,93	-0,52
B3	CS5 - Obdélník	1,942	LC2	-87,75	-0,26	11,84	-1,14	10,91	-1,01
B3	CS5 - Obdélník	1,942	LC3	-20,66	-0,06	3,88	-0,34	3,20	-0,19
B3	CS5 - Obdélník	1,942	LC4	1,59	0,06	3,44	-0,43	2,53	0,16
B3	CS5 - Obdélník	1,942	LC5	-160,45	3,07	10,87	-1,44	13,43	1,43
B3	CS5 - Obdélník	1,942	LC6	-18,87	-0,03	2,75	-0,25	2,48	-0,18
B3	CS5 - Obdélník	1,942	LC7	-11,64	-0,09	6,82	-0,66	5,21	-0,08
B3	CS5 - Obdélník	1,942	LC8	-8,76	0,38	4,44	-1,26	6,21	0,04
B3	CS5 - Obdélník	1,942	LC9	0,68	-0,04	2,47	-0,23	1,60	0,08
B3	CS5 - Obdélník	1,942	LC10	-9,99	-0,28	6,09	-0,17	3,30	-0,13
B3	CS5 - Obdélník	1,942	LC11	-5,34	0,44	2,51	-1,08	4,83	0,07
B3	CS5 - Obdélník	1,942	LC12	-85,55	-1,12	12,74	-1,95	14,14	-2,00

Prvek	css	dx [m]	Stav	N [kN]	Vy [kN]	Vz [kN]	Mx [kNm]	My [kNm]	Mz [kNm]
B3	CS5 - Obdélník	1,942	LC13	-20,79	-0,66	4,30	-0,63	4,29	-0,68
B3	CS5 - Obdélník	1,942	LC15	-7,88	-0,02	1,30	-0,12	1,14	-0,07
B3	CS5 - Obdélník	1,942	LC16	0,23	0,00	0,59	-0,07	0,41	0,02
B3	CS5 - Obdélník	1,942	LC17	-20,06	0,38	1,36	-0,18	1,68	0,18
B3	CS5 - Obdélník	1,942	LC18	-7,46	-0,01	1,04	-0,10	0,97	-0,07
B3	CS5 - Obdélník	1,942	LC19	-2,16	-0,04	1,29	-0,08	0,85	-0,02
B3	CS5 - Obdélník	1,942	LC20	-1,41	0,08	0,69	-0,23	1,10	0,01
B3	CS5 - Obdélník	1,942	LC21	0,23	0,00	0,59	-0,07	0,41	0,02
B3	CS5 - Obdélník	1,942	LC22	-2,16	-0,04	1,29	-0,08	0,85	-0,02
B3	CS5 - Obdélník	1,942	LC23	-1,41	0,08	0,69	-0,23	1,10	0,01
B3	CS5 - Obdélník	1,942	LC24	-10,69	-0,14	1,59	-0,24	1,77	-0,25
B3	CS5 - Obdélník	1,942	LC25	-2,60	-0,08	0,54	-0,08	0,54	-0,09
B3	CS5 - Obdélník	1,942	LC26	0,00	0,00	0,01	0,00	0,00	0,00
B3	CS5 - Obdélník	1,942	LC27	0,00	0,00	0,00	0,00	0,00	0,00
B3	CS5 - Obdélník	1,942	LC28	0,00	0,00	0,00	0,00	0,00	0,00
B3	CS5 - Obdélník	1,942	LC29	0,00	0,00	0,00	0,00	0,00	0,00
B3	CS5 - Obdélník	1,942	LC30	-5,99	-0,02	1,14	-0,10	0,94	-0,05
B3	CS5 - Obdélník	1,942	LC31	1,11	0,04	2,41	-0,30	1,77	0,11
B3	CS5 - Obdélník	1,942	LC32	-8,15	-0,06	4,78	-0,46	3,65	-0,06
B3	CS5 - Obdélník	1,942	LC33	-6,13	0,27	3,11	-0,88	4,35	0,03
B3	CS5 - Obdélník	1,942	LC34	0,47	-0,03	1,73	-0,16	1,12	0,05
B3	CS5 - Obdélník	1,942	LC35	-6,99	-0,20	4,26	-0,12	2,31	-0,09
B3	CS5 - Obdélník	1,942	LC36	-3,73	0,31	1,76	-0,76	3,38	0,05
B3	CS5 - Obdélník	1,942	LC37	-5,44	-0,01	0,80	-0,07	0,72	-0,05
B3	CS5 - Obdélník	2,428	LC1	-78,87	-3,48	8,05	-0,85	11,84	-1,84
B3	CS5 - Obdélník	2,428	LC2	-87,75	-0,26	11,84	-1,14	16,66	-1,14
B3	CS5 - Obdélník	2,428	LC3	-20,66	-0,06	3,88	-0,34	5,08	-0,22
B3	CS5 - Obdélník	2,428	LC4	1,59	0,06	3,44	-0,43	4,20	0,18
B3	CS5 - Obdélník	2,428	LC5	-160,45	3,07	10,87	-1,44	18,70	2,93
B3	CS5 - Obdélník	2,428	LC6	-18,87	-0,03	2,75	-0,25	3,81	-0,19
B3	CS5 - Obdélník	2,428	LC7	-11,64	-0,09	6,82	-0,66	8,52	-0,13
B3	CS5 - Obdélník	2,428	LC8	-8,76	0,38	4,44	-1,26	8,37	0,22
B3	CS5 - Obdélník	2,428	LC9	0,68	-0,04	2,47	-0,23	2,80	0,06
B3	CS5 - Obdélník	2,428	LC10	-9,99	-0,28	6,09	-0,17	6,26	-0,27
B3	CS5 - Obdélník	2,428	LC11	-5,34	0,44	2,51	-1,08	6,05	0,29
B3	CS5 - Obdélník	2,428	LC12	-85,55	-1,12	12,74	-1,95	20,33	-2,55
B3	CS5 - Obdélník	2,428	LC13	-20,79	-0,66	4,30	-0,63	6,38	-1,00
B3	CS5 - Obdélník	2,428	LC15	-7,88	-0,02	1,30	-0,12	1,77	-0,08
B3	CS5 - Obdélník	2,428	LC16	0,23	0,00	0,59	-0,07	0,70	0,02
B3	CS5 - Obdélník	2,428	LC17	-20,06	0,38	1,36	-0,18	2,34	0,37
B3	CS5 - Obdélník	2,428	LC18	-7,46	-0,01	1,04	-0,10	1,48	-0,07
B3	CS5 - Obdélník	2,428	LC19	-2,16	-0,04	1,29	-0,08	1,48	-0,04
B3	CS5 - Obdélník	2,428	LC20	-1,41	0,08	0,69	-0,23	1,44	0,05
B3	CS5 - Obdélník	2,428	LC21	0,23	0,00	0,59	-0,07	0,70	0,02
B3	CS5 - Obdélník	2,428	LC22	-2,16	-0,04	1,29	-0,08	1,48	-0,04
B3	CS5 - Obdélník	2,428	LC23	-1,41	0,08	0,69	-0,23	1,44	0,05
B3	CS5 - Obdélník	2,428	LC24	-10,69	-0,14	1,59	-0,24	2,54	-0,32
B3	CS5 - Obdélník	2,428	LC25	-2,60	-0,08	0,54	-0,08	0,80	-0,13
B3	CS5 - Obdélník	2,428	LC26	0,00	0,00	0,01	0,00	0,01	0,00
B3	CS5 - Obdélník	2,428	LC27	0,00	0,00	0,00	0,00	0,00	0,00
B3	CS5 - Obdélník	2,428	LC28	0,00	0,00	0,00	0,00	0,00	0,00
B3	CS5 - Obdélník	2,428	LC29	0,00	0,00	0,00	0,00	0,00	0,00
B3	CS5 - Obdélník	2,428	LC30	-5,99	-0,02	1,14	-0,10	1,49	-0,06
B3	CS5 - Obdélník	2,428	LC31	1,11	0,04	2,41	-0,30	2,94	0,13
B3	CS5 - Obdélník	2,428	LC32	-8,15	-0,06	4,78	-0,46	5,97	-0,09
B3	CS5 - Obdélník	2,428	LC33	-6,13	0,27	3,11	-0,88	5,86	0,16
B3	CS5 - Obdélník	2,428	LC34	0,47	-0,03	1,73	-0,16	1,96	0,04
B3	CS5 - Obdélník	2,428	LC35	-6,99	-0,20	4,26	-0,12	4,38	-0,19
B3	CS5 - Obdélník	2,428	LC36	-3,73	0,31	1,76	-0,76	4,23	0,20
B3	CS5 - Obdélník	2,428	LC37	-5,44	-0,01	0,80	-0,07	1,10	-0,06
B4	CS5 - Obdélník	0,000	LC1	-41,72	5,11	-5,71	1,01	4,09	-3,28
B4	CS5 - Obdélník	0,000	LC2	-33,28	1,19	-8,41	1,29	7,13	-1,55
B4	CS5 - Obdélník	0,000	LC3	-6,18	0,23	-1,96	0,23	2,05	-0,28
B4	CS5 - Obdélník	0,000	LC4	0,84	-0,06	-0,33	-0,02	0,92	0,09
B4	CS5 - Obdélník	0,000	LC5	-0,17	0,00	-2,71	0,34	3,24	0,04
B4	CS5 - Obdélník	0,000	LC6	-6,34	0,25	-1,74	0,24	1,58	-0,32

Prvek	css	dx [m]	Stav	N [kN]	Vy [kN]	Vz [kN]	Mx [kNm]	My [kNm]	Mz [kNm]
B4	CS5 - Obdélník	0,000	LC7	0,45	-0,22	-2,00	-0,46	4,95	0,35
B4	CS5 - Obdélník	0,000	LC8	-0,26	-0,28	-3,98	-0,77	8,91	0,46
B4	CS5 - Obdélník	0,000	LC9	0,60	-0,04	-0,03	-0,01	0,26	0,05
B4	CS5 - Obdélník	0,000	LC10	0,49	-0,12	-0,80	-0,25	2,26	0,19
B4	CS5 - Obdélník	0,000	LC11	-0,55	-0,21	-3,68	-0,70	8,02	0,35
B4	CS5 - Obdélník	0,000	LC12	-8,64	0,55	-7,35	1,42	6,21	-0,70
B4	CS5 - Obdélník	0,000	LC13	-61,56	3,02	-9,88	2,31	4,32	-3,76
B4	CS5 - Obdélník	0,000	LC15	-2,49	0,09	-0,73	0,10	0,70	-0,12
B4	CS5 - Obdélník	0,000	LC16	0,14	-0,01	-0,04	0,00	0,12	0,01
B4	CS5 - Obdélník	0,000	LC17	-0,02	0,00	-0,34	0,04	0,40	0,00
B4	CS5 - Obdélník	0,000	LC18	-2,53	0,10	-0,68	0,10	0,59	-0,13
B4	CS5 - Obdélník	0,000	LC19	0,09	-0,03	-0,28	-0,07	0,72	0,05
B4	CS5 - Obdélník	0,000	LC20	-0,08	-0,05	-0,77	-0,15	1,69	0,08
B4	CS5 - Obdélník	0,000	LC21	0,14	-0,01	-0,04	0,00	0,12	0,01
B4	CS5 - Obdélník	0,000	LC22	0,09	-0,03	-0,28	-0,07	0,72	0,05
B4	CS5 - Obdélník	0,000	LC23	-0,08	-0,05	-0,77	-0,15	1,69	0,08
B4	CS5 - Obdélník	0,000	LC24	-1,08	0,07	-0,92	0,18	0,78	-0,09
B4	CS5 - Obdélník	0,000	LC25	-7,69	0,38	-1,24	0,29	0,54	-0,47
B4	CS5 - Obdélník	0,000	LC26	0,00	0,00	0,00	0,00	0,00	0,00
B4	CS5 - Obdélník	0,000	LC27	0,00	0,00	0,00	0,00	0,00	0,00
B4	CS5 - Obdélník	0,000	LC28	0,00	0,00	0,00	0,00	0,00	0,00
B4	CS5 - Obdélník	0,000	LC29	0,00	0,00	0,00	0,00	0,00	0,00
B4	CS5 - Obdélník	0,000	LC30	-1,78	0,06	-0,57	0,07	0,60	-0,08
B4	CS5 - Obdélník	0,000	LC31	0,59	-0,04	-0,23	-0,01	0,65	0,06
B4	CS5 - Obdélník	0,000	LC32	0,31	-0,16	-1,40	-0,32	3,46	0,25
B4	CS5 - Obdélník	0,000	LC33	-0,18	-0,20	-2,79	-0,54	6,24	0,32
B4	CS5 - Obdélník	0,000	LC34	0,42	-0,02	-0,02	0,00	0,18	0,04
B4	CS5 - Obdélník	0,000	LC35	0,34	-0,09	-0,56	-0,17	1,58	0,13
B4	CS5 - Obdélník	0,000	LC36	-0,38	-0,15	-2,58	-0,49	5,61	0,24
B4	CS5 - Obdélník	0,000	LC37	-1,83	0,07	-0,50	0,07	0,46	-0,09
B4	CS5 - Obdélník	0,487	LC1	-41,10	3,61	-5,71	1,01	1,31	-1,16
B4	CS5 - Obdélník	0,487	LC2	-33,28	1,19	-8,41	1,29	3,04	-0,97
B4	CS5 - Obdélník	0,487	LC3	-6,18	0,23	-1,96	0,23	1,10	-0,17
B4	CS5 - Obdélník	0,487	LC4	0,84	-0,06	-0,33	-0,02	0,76	0,06
B4	CS5 - Obdélník	0,487	LC5	-0,17	0,00	-2,71	0,34	1,92	0,04
B4	CS5 - Obdélník	0,487	LC6	-6,34	0,25	-1,74	0,24	0,73	-0,20
B4	CS5 - Obdélník	0,487	LC7	0,45	-0,22	-2,00	-0,46	3,98	0,24
B4	CS5 - Obdélník	0,487	LC8	-0,26	-0,28	-3,98	-0,77	6,97	0,32
B4	CS5 - Obdélník	0,487	LC9	0,60	-0,04	-0,03	-0,01	0,24	0,03
B4	CS5 - Obdélník	0,487	LC10	0,49	-0,12	-0,80	-0,25	1,87	0,13
B4	CS5 - Obdélník	0,487	LC11	-0,55	-0,21	-3,68	-0,70	6,23	0,24
B4	CS5 - Obdélník	0,487	LC12	-8,64	0,55	-7,35	1,42	2,63	-0,43
B4	CS5 - Obdélník	0,487	LC13	-61,56	3,02	-9,88	2,31	-0,49	-2,29
B4	CS5 - Obdélník	0,487	LC15	-2,49	0,09	-0,73	0,10	0,35	-0,07
B4	CS5 - Obdélník	0,487	LC16	0,14	-0,01	-0,04	0,00	0,10	0,01
B4	CS5 - Obdélník	0,487	LC17	-0,02	0,00	-0,34	0,04	0,24	0,00
B4	CS5 - Obdélník	0,487	LC18	-2,53	0,10	-0,68	0,10	0,26	-0,08
B4	CS5 - Obdélník	0,487	LC19	0,09	-0,03	-0,28	-0,07	0,58	0,04
B4	CS5 - Obdélník	0,487	LC20	-0,08	-0,05	-0,77	-0,15	1,32	0,06
B4	CS5 - Obdélník	0,487	LC21	0,14	-0,01	-0,04	0,00	0,10	0,01
B4	CS5 - Obdélník	0,487	LC22	0,09	-0,03	-0,28	-0,07	0,58	0,04
B4	CS5 - Obdélník	0,487	LC23	-0,08	-0,05	-0,77	-0,15	1,32	0,06
B4	CS5 - Obdélník	0,487	LC24	-1,08	0,07	-0,92	0,18	0,33	-0,05
B4	CS5 - Obdélník	0,487	LC25	-7,69	0,38	-1,24	0,29	-0,06	-0,29
B4	CS5 - Obdélník	0,487	LC26	0,00	0,00	0,00	0,00	0,00	0,00
B4	CS5 - Obdélník	0,487	LC27	0,00	0,00	0,00	0,00	0,00	0,00
B4	CS5 - Obdélník	0,487	LC28	0,00	0,00	0,00	0,00	0,00	0,00
B4	CS5 - Obdélník	0,487	LC29	0,00	0,00	0,00	0,00	0,00	0,00
B4	CS5 - Obdélník	0,487	LC30	-1,78	0,06	-0,57	0,07	0,33	-0,05
B4	CS5 - Obdélník	0,487	LC31	0,59	-0,04	-0,23	-0,01	0,53	0,04
B4	CS5 - Obdélník	0,487	LC32	0,31	-0,16	-1,40	-0,32	2,78	0,17
B4	CS5 - Obdélník	0,487	LC33	-0,18	-0,20	-2,79	-0,54	4,88	0,23
B4	CS5 - Obdélník	0,487	LC34	0,42	-0,02	-0,02	0,00	0,17	0,02
B4	CS5 - Obdélník	0,487	LC35	0,34	-0,09	-0,56	-0,17	1,31	0,09
B4	CS5 - Obdélník	0,487	LC36	-0,38	-0,15	-2,58	-0,49	4,36	0,17
B4	CS5 - Obdélník	0,487	LC37	-1,83	0,07	-0,50	0,07	0,21	-0,06



Prvek	css	dx [m]	Stav	N [kN]	Vy [kN]	Vz [kN]	Mx [kNm]	My [kNm]	Mz [kNm]
B4	CS5 - Obdélník	0,974	LC1	-40,48	2,11	-5,71	1,01	-1,47	0,24
B4	CS5 - Obdélník	0,974	LC2	-33,28	1,19	-8,41	1,29	-1,06	-0,39
B4	CS5 - Obdélník	0,974	LC3	-6,18	0,23	-1,96	0,23	0,14	-0,06
B4	CS5 - Obdélník	0,974	LC4	0,84	-0,06	-0,33	-0,02	0,60	0,03
B4	CS5 - Obdélník	0,974	LC5	-0,17	0,00	-2,71	0,34	0,60	0,04
B4	CS5 - Obdélník	0,974	LC6	-6,34	0,25	-1,74	0,24	-0,11	-0,07
B4	CS5 - Obdélník	0,974	LC7	0,45	-0,22	-2,00	-0,46	3,00	0,13
B4	CS5 - Obdélník	0,974	LC8	-0,26	-0,28	-3,98	-0,77	5,03	0,18
B4	CS5 - Obdélník	0,974	LC9	0,60	-0,04	-0,03	-0,01	0,23	0,02
B4	CS5 - Obdélník	0,974	LC10	0,49	-0,12	-0,80	-0,25	1,48	0,07
B4	CS5 - Obdélník	0,974	LC11	-0,55	-0,21	-3,68	-0,70	4,43	0,14
B4	CS5 - Obdélník	0,974	LC12	-8,64	0,55	-7,35	1,42	-0,94	-0,16
B4	CS5 - Obdélník	0,974	LC13	-61,56	3,02	-9,88	2,31	-5,30	-0,82
B4	CS5 - Obdélník	0,974	LC15	-2,49	0,09	-0,73	0,10	-0,01	-0,03
B4	CS5 - Obdélník	0,974	LC16	0,14	-0,01	-0,04	0,00	0,08	0,00
B4	CS5 - Obdélník	0,974	LC17	-0,02	0,00	-0,34	0,04	0,08	0,01
B4	CS5 - Obdélník	0,974	LC18	-2,53	0,10	-0,68	0,10	-0,07	-0,03
B4	CS5 - Obdélník	0,974	LC19	0,09	-0,03	-0,28	-0,07	0,45	0,02
B4	CS5 - Obdélník	0,974	LC20	-0,08	-0,05	-0,77	-0,15	0,95	0,03
B4	CS5 - Obdélník	0,974	LC21	0,14	-0,01	-0,04	0,00	0,08	0,00
B4	CS5 - Obdélník	0,974	LC22	0,09	-0,03	-0,28	-0,07	0,45	0,02
B4	CS5 - Obdélník	0,974	LC23	-0,08	-0,05	-0,77	-0,15	0,95	0,03
B4	CS5 - Obdélník	0,974	LC24	-1,08	0,07	-0,92	0,18	-0,12	-0,02
B4	CS5 - Obdélník	0,974	LC25	-7,69	0,38	-1,24	0,29	-0,66	-0,10
B4	CS5 - Obdélník	0,974	LC26	0,00	0,00	0,00	0,00	0,00	0,00
B4	CS5 - Obdélník	0,974	LC27	0,00	0,00	0,00	0,00	0,00	0,00
B4	CS5 - Obdélník	0,974	LC28	0,00	0,00	0,00	0,00	0,00	0,00
B4	CS5 - Obdélník	0,974	LC29	0,00	0,00	0,00	0,00	0,00	0,00
B4	CS5 - Obdélník	0,974	LC30	-1,78	0,06	-0,57	0,07	0,05	-0,02
B4	CS5 - Obdélník	0,974	LC31	0,59	-0,04	-0,23	-0,01	0,42	0,02
B4	CS5 - Obdélník	0,974	LC32	0,31	-0,16	-1,40	-0,32	2,10	0,09
B4	CS5 - Obdélník	0,974	LC33	-0,18	-0,20	-2,79	-0,54	3,52	0,13
B4	CS5 - Obdélník	0,974	LC34	0,42	-0,02	-0,02	0,00	0,16	0,01
B4	CS5 - Obdélník	0,974	LC35	0,34	-0,09	-0,56	-0,17	1,03	0,05
B4	CS5 - Obdélník	0,974	LC36	-0,38	-0,15	-2,58	-0,49	3,10	0,10
B4	CS5 - Obdélník	0,974	LC37	-1,83	0,07	-0,50	0,07	-0,03	-0,02
B4	CS5 - Obdélník	1,217	LC1	-40,17	1,36	-5,71	1,01	-2,86	0,66
B4	CS5 - Obdélník	1,217	LC2	-33,28	1,19	-8,41	1,29	-3,11	-0,10
B4	CS5 - Obdélník	1,217	LC3	-6,18	0,23	-1,96	0,23	-0,33	-0,01
B4	CS5 - Obdélník	1,217	LC4	0,84	-0,06	-0,33	-0,02	0,52	0,02
B4	CS5 - Obdélník	1,217	LC5	-0,17	0,00	-2,71	0,34	-0,06	0,04
B4	CS5 - Obdélník	1,217	LC6	-6,34	0,25	-1,74	0,24	-0,54	-0,01
B4	CS5 - Obdélník	1,217	LC7	0,45	-0,22	-2,00	-0,46	2,51	0,08
B4	CS5 - Obdélník	1,217	LC8	-0,26	-0,28	-3,98	-0,77	4,07	0,12
B4	CS5 - Obdélník	1,217	LC9	0,60	-0,04	-0,03	-0,01	0,22	0,01
B4	CS5 - Obdélník	1,217	LC10	0,49	-0,12	-0,80	-0,25	1,28	0,04
B4	CS5 - Obdélník	1,217	LC11	-0,55	-0,21	-3,68	-0,70	3,54	0,09
B4	CS5 - Obdélník	1,217	LC12	-8,64	0,55	-7,35	1,42	-2,73	-0,03
B4	CS5 - Obdélník	1,217	LC13	-61,56	3,02	-9,88	2,31	-7,71	-0,08
B4	CS5 - Obdélník	1,217	LC15	-2,49	0,09	-0,73	0,10	-0,19	0,00
B4	CS5 - Obdélník	1,217	LC16	0,14	-0,01	-0,04	0,00	0,07	0,00
B4	CS5 - Obdélník	1,217	LC17	-0,02	0,00	-0,34	0,04	-0,01	0,01
B4	CS5 - Obdélník	1,217	LC18	-2,53	0,10	-0,68	0,10	-0,23	-0,01
B4	CS5 - Obdélník	1,217	LC19	0,09	-0,03	-0,28	-0,07	0,38	0,01
B4	CS5 - Obdélník	1,217	LC20	-0,08	-0,05	-0,77	-0,15	0,76	0,02
B4	CS5 - Obdélník	1,217	LC21	0,14	-0,01	-0,04	0,00	0,07	0,00
B4	CS5 - Obdélník	1,217	LC22	0,09	-0,03	-0,28	-0,07	0,38	0,01
B4	CS5 - Obdélník	1,217	LC23	-0,08	-0,05	-0,77	-0,15	0,76	0,02
B4	CS5 - Obdélník	1,217	LC24	-1,08	0,07	-0,92	0,18	-0,34	0,00
B4	CS5 - Obdélník	1,217	LC25	-7,69	0,38	-1,24	0,29	-0,96	-0,01
B4	CS5 - Obdélník	1,217	LC26	0,00	0,00	0,00	0,00	0,00	0,00
B4	CS5 - Obdélník	1,217	LC27	0,00	0,00	0,00	0,00	0,00	0,00
B4	CS5 - Obdélník	1,217	LC28	0,00	0,00	0,00	0,00	0,00	0,00
B4	CS5 - Obdélník	1,217	LC29	0,00	0,00	0,00	0,00	0,00	0,00
B4	CS5 - Obdélník	1,217	LC30	-1,78	0,06	-0,57	0,07	-0,09	0,00
B4	CS5 - Obdélník	1,217	LC31	0,59	-0,04	-0,23	-0,01	0,36	0,01

Prvek	css	dx [m]	Stav	N [kN]	Vy [kN]	Vz [kN]	Mx [kNm]	My [kNm]	Mz [kNm]
B4	CS5 - Obdélník	1,217	LC32	0,31	-0,16	-1,40	-0,32	1,76	0,06
B4	CS5 - Obdélník	1,217	LC33	-0,18	-0,20	-2,79	-0,54	2,85	0,08
B4	CS5 - Obdélník	1,217	LC34	0,42	-0,02	-0,02	0,00	0,15	0,01
B4	CS5 - Obdélník	1,217	LC35	0,34	-0,09	-0,56	-0,17	0,90	0,03
B4	CS5 - Obdélník	1,217	LC36	-0,38	-0,15	-2,58	-0,49	2,47	0,06
B4	CS5 - Obdélník	1,217	LC37	-1,83	0,07	-0,50	0,07	-0,15	0,00
B4	CS5 - Obdélník	1,217	LC1	-40,17	1,36	-5,71	1,01	-2,86	0,66
B4	CS5 - Obdélník	1,217	LC2	-33,28	1,19	-8,41	1,29	-3,11	-0,10
B4	CS5 - Obdélník	1,217	LC3	-6,18	0,23	-1,96	0,23	-0,33	-0,01
B4	CS5 - Obdélník	1,217	LC4	0,84	-0,06	-0,33	-0,02	0,52	0,02
B4	CS5 - Obdélník	1,217	LC5	-0,17	0,00	-2,71	0,34	-0,06	0,04
B4	CS5 - Obdélník	1,217	LC6	-6,34	0,25	-1,74	0,24	-0,54	-0,01
B4	CS5 - Obdélník	1,217	LC7	0,45	-0,22	-2,00	-0,46	2,51	0,08
B4	CS5 - Obdélník	1,217	LC8	-0,26	-0,28	-3,98	-0,77	4,07	0,12
B4	CS5 - Obdélník	1,217	LC9	0,60	-0,04	-0,03	-0,01	0,22	0,01
B4	CS5 - Obdélník	1,217	LC10	0,49	-0,12	-0,80	-0,25	1,28	0,04
B4	CS5 - Obdélník	1,217	LC11	-0,55	-0,21	-3,68	-0,70	3,54	0,09
B4	CS5 - Obdélník	1,217	LC12	-8,64	0,55	-7,35	1,42	-2,73	-0,03
B4	CS5 - Obdélník	1,217	LC13	-61,56	3,02	-9,88	2,31	-7,71	-0,08
B4	CS5 - Obdélník	1,217	LC15	-2,49	0,09	-0,73	0,10	-0,19	0,00
B4	CS5 - Obdélník	1,217	LC16	0,14	-0,01	-0,04	0,00	0,07	0,00
B4	CS5 - Obdélník	1,217	LC17	-0,02	0,00	-0,34	0,04	-0,01	0,01
B4	CS5 - Obdélník	1,217	LC18	-2,53	0,10	-0,68	0,10	-0,23	-0,01
B4	CS5 - Obdélník	1,217	LC19	0,09	-0,03	-0,28	-0,07	0,38	0,01
B4	CS5 - Obdélník	1,217	LC20	-0,08	-0,05	-0,77	-0,15	0,76	0,02
B4	CS5 - Obdélník	1,217	LC21	0,14	-0,01	-0,04	0,00	0,07	0,00
B4	CS5 - Obdélník	1,217	LC22	0,09	-0,03	-0,28	-0,07	0,38	0,01
B4	CS5 - Obdélník	1,217	LC23	-0,08	-0,05	-0,77	-0,15	0,76	0,02
B4	CS5 - Obdélník	1,217	LC24	-1,08	0,07	-0,92	0,18	-0,34	0,00
B4	CS5 - Obdélník	1,217	LC25	-7,69	0,38	-1,24	0,29	-0,96	-0,01
B4	CS5 - Obdélník	1,217	LC26	0,00	0,00	0,00	0,00	0,00	0,00
B4	CS5 - Obdélník	1,217	LC27	0,00	0,00	0,00	0,00	0,00	0,00
B4	CS5 - Obdélník	1,217	LC28	0,00	0,00	0,00	0,00	0,00	0,00
B4	CS5 - Obdélník	1,217	LC29	0,00	0,00	0,00	0,00	0,00	0,00
B4	CS5 - Obdélník	1,217	LC30	-1,78	0,06	-0,57	0,07	-0,09	0,00
B4	CS5 - Obdélník	1,217	LC31	0,59	-0,04	-0,23	-0,01	0,36	0,01
B4	CS5 - Obdélník	1,217	LC32	0,31	-0,16	-1,40	-0,32	1,76	0,06
B4	CS5 - Obdélník	1,217	LC33	-0,18	-0,20	-2,79	-0,54	2,85	0,08
B4	CS5 - Obdélník	1,217	LC34	0,42	-0,02	-0,02	0,00	0,15	0,01
B4	CS5 - Obdélník	1,217	LC35	0,34	-0,09	-0,56	-0,17	0,90	0,03
B4	CS5 - Obdélník	1,217	LC36	-0,38	-0,15	-2,58	-0,49	2,47	0,06
B4	CS5 - Obdélník	1,217	LC37	-1,83	0,07	-0,50	0,07	-0,15	0,00
B4	CS5 - Obdélník	1,460	LC1	-39,86	0,61	-5,71	1,01	-4,25	0,90
B4	CS5 - Obdélník	1,460	LC2	-33,28	1,19	-8,41	1,29	-5,15	0,19
B4	CS5 - Obdélník	1,460	LC3	-6,18	0,23	-1,96	0,23	-0,81	0,05
B4	CS5 - Obdélník	1,460	LC4	0,84	-0,06	-0,33	-0,02	0,44	0,00
B4	CS5 - Obdélník	1,460	LC5	-0,17	0,00	-2,71	0,34	-0,72	0,04
B4	CS5 - Obdélník	1,460	LC6	-6,34	0,25	-1,74	0,24	-0,96	0,05
B4	CS5 - Obdélník	1,460	LC7	0,45	-0,22	-2,00	-0,46	2,03	0,03
B4	CS5 - Obdélník	1,460	LC8	-0,26	-0,28	-3,98	-0,77	3,10	0,05
B4	CS5 - Obdélník	1,460	LC9	0,60	-0,04	-0,03	-0,01	0,21	0,00
B4	CS5 - Obdélník	1,460	LC10	0,49	-0,12	-0,80	-0,25	1,09	0,01
B4	CS5 - Obdélník	1,460	LC11	-0,55	-0,21	-3,68	-0,70	2,64	0,04
B4	CS5 - Obdélník	1,460	LC12	-8,64	0,55	-7,35	1,42	-4,52	0,11
B4	CS5 - Obdélník	1,460	LC13	-61,56	3,02	-9,88	2,31	-10,11	0,65
B4	CS5 - Obdélník	1,460	LC15	-2,49	0,09	-0,73	0,10	-0,36	0,02
B4	CS5 - Obdélník	1,460	LC16	0,14	-0,01	-0,04	0,00	0,06	0,00
B4	CS5 - Obdélník	1,460	LC17	-0,02	0,00	-0,34	0,04	-0,09	0,01
B4	CS5 - Obdélník	1,460	LC18	-2,53	0,10	-0,68	0,10	-0,40	0,02
B4	CS5 - Obdélník	1,460	LC19	0,09	-0,03	-0,28	-0,07	0,31	0,00
B4	CS5 - Obdélník	1,460	LC20	-0,08	-0,05	-0,77	-0,15	0,57	0,01
B4	CS5 - Obdélník	1,460	LC21	0,14	-0,01	-0,04	0,00	0,06	0,00
B4	CS5 - Obdélník	1,460	LC22	0,09	-0,03	-0,28	-0,07	0,31	0,00
B4	CS5 - Obdélník	1,460	LC23	-0,08	-0,05	-0,77	-0,15	0,57	0,01
B4	CS5 - Obdélník	1,460	LC24	-1,08	0,07	-0,92	0,18	-0,56	0,01
B4	CS5 - Obdélník	1,460	LC25	-7,69	0,38	-1,24	0,29	-1,26	0,08

Prvek	css	dx [m]	Stav	N [kN]	Vy [kN]	Vz [kN]	Mx [kNm]	My [kNm]	Mz [kNm]
B4	CS5 - Obdélník	1,460	LC26	0,00	0,00	0,00	0,00	0,00	0,00
B4	CS5 - Obdélník	1,460	LC27	0,00	0,00	0,00	0,00	0,00	0,00
B4	CS5 - Obdélník	1,460	LC28	0,00	0,00	0,00	0,00	0,00	0,00
B4	CS5 - Obdélník	1,460	LC29	0,00	0,00	0,00	0,00	0,00	0,00
B4	CS5 - Obdélník	1,460	LC30	-1,78	0,06	-0,57	0,07	-0,23	0,01
B4	CS5 - Obdélník	1,460	LC31	0,59	-0,04	-0,23	-0,01	0,30	0,00
B4	CS5 - Obdélník	1,460	LC32	0,31	-0,16	-1,40	-0,32	1,42	0,02
B4	CS5 - Obdélník	1,460	LC33	-0,18	-0,20	-2,79	-0,54	2,17	0,03
B4	CS5 - Obdélník	1,460	LC34	0,42	-0,02	-0,02	0,00	0,15	0,00
B4	CS5 - Obdélník	1,460	LC35	0,34	-0,09	-0,56	-0,17	0,76	0,01
B4	CS5 - Obdélník	1,460	LC36	-0,38	-0,15	-2,58	-0,49	1,85	0,03
B4	CS5 - Obdélník	1,460	LC37	-1,83	0,07	-0,50	0,07	-0,28	0,01
B4	CS5 - Obdélník	1,947	LC1	-39,24	-0,89	-5,71	1,01	-7,03	0,83
B4	CS5 - Obdélník	1,947	LC2	-33,28	1,19	-8,41	1,29	-9,25	0,76
B4	CS5 - Obdélník	1,947	LC3	-6,18	0,23	-1,96	0,23	-1,77	0,16
B4	CS5 - Obdélník	1,947	LC4	0,84	-0,06	-0,33	-0,02	0,27	-0,03
B4	CS5 - Obdélník	1,947	LC5	-0,17	0,00	-2,71	0,34	-2,03	0,04
B4	CS5 - Obdélník	1,947	LC6	-6,34	0,25	-1,74	0,24	-1,81	0,17
B4	CS5 - Obdélník	1,947	LC7	0,45	-0,22	-2,00	-0,46	1,05	-0,08
B4	CS5 - Obdélník	1,947	LC8	-0,26	-0,28	-3,98	-0,77	1,16	-0,09
B4	CS5 - Obdélník	1,947	LC9	0,60	-0,04	-0,03	-0,01	0,20	-0,02
B4	CS5 - Obdélník	1,947	LC10	0,49	-0,12	-0,80	-0,25	0,69	-0,05
B4	CS5 - Obdélník	1,947	LC11	-0,55	-0,21	-3,68	-0,70	0,85	-0,06
B4	CS5 - Obdélník	1,947	LC12	-8,64	0,55	-7,35	1,42	-8,09	0,37
B4	CS5 - Obdélník	1,947	LC13	-61,56	3,02	-9,88	2,31	-14,92	2,12
B4	CS5 - Obdélník	1,947	LC15	-2,49	0,09	-0,73	0,10	-0,72	0,06
B4	CS5 - Obdélník	1,947	LC16	0,14	-0,01	-0,04	0,00	0,05	0,00
B4	CS5 - Obdélník	1,947	LC17	-0,02	0,00	-0,34	0,04	-0,25	0,01
B4	CS5 - Obdélník	1,947	LC18	-2,53	0,10	-0,68	0,10	-0,73	0,07
B4	CS5 - Obdélník	1,947	LC19	0,09	-0,03	-0,28	-0,07	0,17	-0,01
B4	CS5 - Obdélník	1,947	LC20	-0,08	-0,05	-0,77	-0,15	0,20	-0,02
B4	CS5 - Obdélník	1,947	LC21	0,14	-0,01	-0,04	0,00	0,05	0,00
B4	CS5 - Obdélník	1,947	LC22	0,09	-0,03	-0,28	-0,07	0,17	-0,01
B4	CS5 - Obdélník	1,947	LC23	-0,08	-0,05	-0,77	-0,15	0,20	-0,02
B4	CS5 - Obdélník	1,947	LC24	-1,08	0,07	-0,92	0,18	-1,01	0,05
B4	CS5 - Obdélník	1,947	LC25	-7,69	0,38	-1,24	0,29	-1,87	0,27
B4	CS5 - Obdélník	1,947	LC26	0,00	0,00	0,00	0,00	0,00	0,00
B4	CS5 - Obdélník	1,947	LC27	0,00	0,00	0,00	0,00	0,00	0,00
B4	CS5 - Obdélník	1,947	LC28	0,00	0,00	0,00	0,00	0,00	0,00
B4	CS5 - Obdélník	1,947	LC29	0,00	0,00	0,00	0,00	0,00	0,00
B4	CS5 - Obdélník	1,947	LC30	-1,78	0,06	-0,57	0,07	-0,51	0,05
B4	CS5 - Obdélník	1,947	LC31	0,59	-0,04	-0,23	-0,01	0,19	-0,02
B4	CS5 - Obdélník	1,947	LC32	0,31	-0,16	-1,40	-0,32	0,74	-0,06
B4	CS5 - Obdélník	1,947	LC33	-0,18	-0,20	-2,79	-0,54	0,81	-0,06
B4	CS5 - Obdélník	1,947	LC34	0,42	-0,02	-0,02	0,00	0,14	-0,01
B4	CS5 - Obdélník	1,947	LC35	0,34	-0,09	-0,56	-0,17	0,49	-0,04
B4	CS5 - Obdélník	1,947	LC36	-0,38	-0,15	-2,58	-0,49	0,59	-0,04
B4	CS5 - Obdélník	1,947	LC37	-1,83	0,07	-0,50	0,07	-0,52	0,05
B4	CS5 - Obdélník	2,434	LC1	-38,62	-2,39	-5,71	1,01	-9,81	0,04
B4	CS5 - Obdélník	2,434	LC2	-33,28	1,19	-8,41	1,29	-13,34	1,34
B4	CS5 - Obdélník	2,434	LC3	-6,18	0,23	-1,96	0,23	-2,72	0,27
B4	CS5 - Obdélník	2,434	LC4	0,84	-0,06	-0,33	-0,02	0,11	-0,06
B4	CS5 - Obdélník	2,434	LC5	-0,17	0,00	-2,71	0,34	-3,35	0,04
B4	CS5 - Obdélník	2,434	LC6	-6,34	0,25	-1,74	0,24	-2,65	0,29
B4	CS5 - Obdélník	2,434	LC7	0,45	-0,22	-2,00	-0,46	0,08	-0,19
B4	CS5 - Obdélník	2,434	LC8	-0,26	-0,28	-3,98	-0,77	-0,78	-0,23
B4	CS5 - Obdélník	2,434	LC9	0,60	-0,04	-0,03	-0,01	0,19	-0,04
B4	CS5 - Obdélník	2,434	LC10	0,49	-0,12	-0,80	-0,25	0,30	-0,11
B4	CS5 - Obdélník	2,434	LC11	-0,55	-0,21	-3,68	-0,70	-0,95	-0,16
B4	CS5 - Obdélník	2,434	LC12	-8,64	0,55	-7,35	1,42	-11,67	0,64
B4	CS5 - Obdélník	2,434	LC13	-61,56	3,02	-9,88	2,31	-19,73	3,60
B4	CS5 - Obdélník	2,434	LC15	-2,49	0,09	-0,73	0,10	-1,07	0,11
B4	CS5 - Obdélník	2,434	LC16	0,14	-0,01	-0,04	0,00	0,03	-0,01
B4	CS5 - Obdélník	2,434	LC17	-0,02	0,00	-0,34	0,04	-0,42	0,01
B4	CS5 - Obdélník	2,434	LC18	-2,53	0,10	-0,68	0,10	-1,05	0,11
B4	CS5 - Obdélník	2,434	LC19	0,09	-0,03	-0,28	-0,07	0,04	-0,03

Prvek	css	dx [m]	Stav	N [kN]	Vy [kN]	Vz [kN]	Mx [kNm]	My [kNm]	Mz [kNm]
B4	CS5 - Obdélník	2,434	LC20	-0,08	-0,05	-0,77	-0,15	-0,17	-0,04
B4	CS5 - Obdélník	2,434	LC21	0,14	-0,01	-0,04	0,00	0,03	-0,01
B4	CS5 - Obdélník	2,434	LC22	0,09	-0,03	-0,28	-0,07	0,04	-0,03
B4	CS5 - Obdélník	2,434	LC23	-0,08	-0,05	-0,77	-0,15	-0,17	-0,04
B4	CS5 - Obdélník	2,434	LC24	-1,08	0,07	-0,92	0,18	-1,46	0,08
B4	CS5 - Obdélník	2,434	LC25	-7,69	0,38	-1,24	0,29	-2,47	0,45
B4	CS5 - Obdélník	2,434	LC26	0,00	0,00	0,00	0,00	0,00	0,00
B4	CS5 - Obdélník	2,434	LC27	0,00	0,00	0,00	0,00	0,00	0,00
B4	CS5 - Obdélník	2,434	LC28	0,00	0,00	0,00	0,00	0,00	0,00
B4	CS5 - Obdélník	2,434	LC29	0,00	0,00	0,00	0,00	0,00	0,00
B4	CS5 - Obdélník	2,434	LC30	-1,78	0,06	-0,57	0,07	-0,79	0,08
B4	CS5 - Obdélník	2,434	LC31	0,59	-0,04	-0,23	-0,01	0,08	-0,04
B4	CS5 - Obdélník	2,434	LC32	0,31	-0,16	-1,40	-0,32	0,06	-0,13
B4	CS5 - Obdélník	2,434	LC33	-0,18	-0,20	-2,79	-0,54	-0,55	-0,16
B4	CS5 - Obdélník	2,434	LC34	0,42	-0,02	-0,02	0,00	0,13	-0,02
B4	CS5 - Obdélník	2,434	LC35	0,34	-0,09	-0,56	-0,17	0,21	-0,08
B4	CS5 - Obdélník	2,434	LC36	-0,38	-0,15	-2,58	-0,49	-0,66	-0,11
B4	CS5 - Obdélník	2,434	LC37	-1,83	0,07	-0,50	0,07	-0,77	0,08
B11	CS4 - Obdélník	0,000	LC1	-9,97	3,58	6,95	1,27	-5,17	-0,85
B11	CS4 - Obdélník	0,000	LC2	-8,06	4,36	8,56	1,59	-6,51	-1,12
B11	CS4 - Obdélník	0,000	LC3	-1,58	1,27	1,94	0,22	-1,62	-0,34
B11	CS4 - Obdélník	0,000	LC4	0,14	1,05	-0,05	-0,59	-0,25	-0,28
B11	CS4 - Obdélník	0,000	LC5	-15,12	6,09	16,04	0,25	-0,65	-1,15
B11	CS4 - Obdélník	0,000	LC6	-1,58	0,97	1,77	0,30	-1,37	-0,26
B11	CS4 - Obdélník	0,000	LC7	-0,38	1,70	0,49	-0,47	-2,23	-0,51
B11	CS4 - Obdélník	0,000	LC8	-0,87	1,24	-0,15	-0,67	-2,59	-0,47
B11	CS4 - Obdélník	0,000	LC9	-0,43	0,82	0,03	-0,36	-0,17	-0,20
B11	CS4 - Obdélník	0,000	LC10	0,48	1,36	0,66	-0,21	-1,48	-0,38
B11	CS4 - Obdélník	0,000	LC11	-0,05	0,64	-0,33	-0,55	-1,99	-0,33
B11	CS4 - Obdélník	0,000	LC12	-11,29	5,22	7,78	2,17	-10,54	-1,40
B11	CS4 - Obdélník	0,000	LC13	-6,11	1,71	1,65	0,54	-3,20	-0,54
B11	CS4 - Obdélník	0,000	LC15	-0,69	0,45	0,74	0,10	-0,59	-0,12
B11	CS4 - Obdélník	0,000	LC16	-0,03	0,19	0,00	-0,09	-0,04	-0,05
B11	CS4 - Obdélník	0,000	LC17	-1,89	0,76	2,00	0,03	-0,08	-0,14
B11	CS4 - Obdélník	0,000	LC18	-0,69	0,38	0,70	0,12	-0,54	-0,10
B11	CS4 - Obdélník	0,000	LC19	0,01	0,31	0,12	-0,07	-0,37	-0,09
B11	CS4 - Obdélník	0,000	LC20	-0,09	0,19	-0,05	-0,12	-0,46	-0,08
B11	CS4 - Obdélník	0,000	LC21	-0,03	0,19	0,00	-0,09	-0,04	-0,05
B11	CS4 - Obdélník	0,000	LC22	0,01	0,31	0,12	-0,07	-0,37	-0,09
B11	CS4 - Obdélník	0,000	LC23	-0,09	0,19	-0,05	-0,12	-0,46	-0,08
B11	CS4 - Obdélník	0,000	LC24	-1,41	0,65	0,97	0,27	-1,32	-0,18
B11	CS4 - Obdélník	0,000	LC25	-0,76	0,21	0,21	0,07	-0,40	-0,07
B11	CS4 - Obdélník	0,000	LC26	0,00	0,00	0,00	0,00	0,00	0,00
B11	CS4 - Obdélník	0,000	LC27	0,00	0,00	0,00	0,00	0,00	0,00
B11	CS4 - Obdélník	0,000	LC28	0,00	0,00	0,00	0,00	0,00	0,00
B11	CS4 - Obdélník	0,000	LC29	0,00	0,00	0,00	0,00	0,00	0,00
B11	CS4 - Obdélník	0,000	LC30	-0,45	0,37	0,56	0,06	-0,47	-0,10
B11	CS4 - Obdélník	0,000	LC31	0,10	0,74	-0,03	-0,41	-0,17	-0,20
B11	CS4 - Obdélník	0,000	LC32	-0,26	1,19	0,34	-0,33	-1,56	-0,35
B11	CS4 - Obdélník	0,000	LC33	-0,61	0,87	-0,10	-0,47	-1,82	-0,33
B11	CS4 - Obdélník	0,000	LC34	-0,30	0,57	0,02	-0,25	-0,12	-0,14
B11	CS4 - Obdélník	0,000	LC35	0,34	0,95	0,46	-0,15	-1,04	-0,27
B11	CS4 - Obdélník	0,000	LC36	-0,03	0,45	-0,23	-0,38	-1,40	-0,23
B11	CS4 - Obdélník	0,000	LC37	-0,45	0,28	0,51	0,09	-0,40	-0,07
B11	CS4 - Obdélník	0,860	LC1	-19,00	1,21	4,27	1,55	0,09	0,42
B11	CS4 - Obdélník	0,860	LC2	-18,34	1,46	5,31	2,03	0,20	0,45
B11	CS4 - Obdélník	0,860	LC3	-4,01	0,41	1,26	0,38	0,04	0,12
B11	CS4 - Obdélník	0,860	LC4	0,33	0,29	0,15	-0,30	-0,08	0,07
B11	CS4 - Obdélník	0,860	LC5	-26,78	2,64	4,73	1,62	9,90	0,66
B11	CS4 - Obdélník	0,860	LC6	-3,84	0,31	1,10	0,40	0,06	0,10
B11	CS4 - Obdélník	0,860	LC7	-0,02	0,36	0,70	-0,36	-0,77	0,15
B11	CS4 - Obdélník	0,860	LC8	1,16	-0,10	0,37	-0,63	-1,34	0,16
B11	CS4 - Obdélník	0,860	LC9	-0,95	0,27	0,13	-0,16	-0,05	0,06
B11	CS4 - Obdélník	0,860	LC10	-0,14	0,43	0,66	-0,11	-0,34	0,09
B11	CS4 - Obdélník	0,860	LC11	2,10	-0,28	0,15	-0,54	-1,16	0,10
B11	CS4 - Obdélník	0,860	LC12	-24,45	1,49	6,70	2,74	-3,20	0,62

Prvek	css	dx [m]	Stav	N [kN]	Vy [kN]	Vz [kN]	Mx [kNm]	My [kNm]	Mz [kNm]
B11	CS4 - Obdélník	0,860	LC13	-14,33	0,35	1,57	0,94	-2,17	0,23
B11	CS4 - Obdélník	0,860	LC15	-1,63	0,15	0,47	0,16	0,02	0,04
B11	CS4 - Obdélník	0,860	LC16	-0,06	0,06	0,03	-0,05	-0,01	0,01
B11	CS4 - Obdélník	0,860	LC17	-3,35	0,33	0,59	0,20	1,24	0,08
B11	CS4 - Obdélník	0,860	LC18	-1,59	0,13	0,44	0,16	0,03	0,04
B11	CS4 - Obdélník	0,860	LC19	-0,02	0,08	0,14	-0,05	-0,11	0,02
B11	CS4 - Obdélník	0,860	LC20	0,33	-0,04	0,05	-0,12	-0,25	0,03
B11	CS4 - Obdélník	0,860	LC21	-0,06	0,06	0,03	-0,05	-0,01	0,01
B11	CS4 - Obdélník	0,860	LC22	-0,02	0,08	0,14	-0,05	-0,11	0,02
B11	CS4 - Obdélník	0,860	LC23	0,33	-0,04	0,05	-0,12	-0,25	0,03
B11	CS4 - Obdélník	0,860	LC24	-3,06	0,19	0,84	0,34	-0,40	0,08
B11	CS4 - Obdélník	0,860	LC25	-1,79	0,04	0,20	0,12	-0,27	0,03
B11	CS4 - Obdélník	0,860	LC26	0,00	0,00	0,00	0,00	0,00	0,00
B11	CS4 - Obdélník	0,860	LC27	0,00	0,00	0,00	0,00	0,00	0,00
B11	CS4 - Obdélník	0,860	LC28	0,00	0,00	0,00	0,00	0,00	0,00
B11	CS4 - Obdélník	0,860	LC29	0,00	0,00	0,00	0,00	0,00	0,00
B11	CS4 - Obdélník	0,860	LC30	-1,15	0,12	0,37	0,11	0,01	0,03
B11	CS4 - Obdélník	0,860	LC31	0,23	0,20	0,11	-0,21	-0,06	0,05
B11	CS4 - Obdélník	0,860	LC32	-0,01	0,25	0,49	-0,25	-0,54	0,10
B11	CS4 - Obdélník	0,860	LC33	0,81	-0,07	0,26	-0,44	-0,94	0,11
B11	CS4 - Obdélník	0,860	LC34	-0,66	0,19	0,09	-0,11	-0,03	0,04
B11	CS4 - Obdélník	0,860	LC35	-0,10	0,30	0,46	-0,08	-0,24	0,06
B11	CS4 - Obdélník	0,860	LC36	1,47	-0,20	0,11	-0,38	-0,82	0,07
B11	CS4 - Obdélník	0,860	LC37	-1,10	0,09	0,32	0,12	0,02	0,03
B11	CS4 - Obdélník	0,860	LC1	-19,00	1,21	4,27	1,55	0,09	0,42
B11	CS4 - Obdélník	0,860	LC2	-18,34	1,46	5,31	2,03	0,20	0,45
B11	CS4 - Obdélník	0,860	LC3	-4,01	0,41	1,26	0,38	0,04	0,12
B11	CS4 - Obdélník	0,860	LC4	0,33	0,29	0,15	-0,30	-0,08	0,07
B11	CS4 - Obdélník	0,860	LC5	-26,78	2,64	4,73	1,62	9,90	0,66
B11	CS4 - Obdélník	0,860	LC6	-3,84	0,31	1,10	0,40	0,06	0,10
B11	CS4 - Obdélník	0,860	LC7	-0,02	0,36	0,70	-0,36	-0,77	0,15
B11	CS4 - Obdélník	0,860	LC8	1,16	-0,10	0,37	-0,63	-1,34	0,16
B11	CS4 - Obdélník	0,860	LC9	-0,95	0,27	0,13	-0,16	-0,05	0,06
B11	CS4 - Obdélník	0,860	LC10	-0,14	0,43	0,66	-0,11	-0,34	0,09
B11	CS4 - Obdélník	0,860	LC11	2,10	-0,28	0,15	-0,54	-1,16	0,10
B11	CS4 - Obdélník	0,860	LC12	-24,45	1,49	6,70	2,74	-3,20	0,62
B11	CS4 - Obdélník	0,860	LC13	-14,33	0,35	1,57	0,94	-2,17	0,23
B11	CS4 - Obdélník	0,860	LC15	-1,63	0,15	0,47	0,16	0,02	0,04
B11	CS4 - Obdélník	0,860	LC16	-0,06	0,06	0,03	-0,05	-0,01	0,01
B11	CS4 - Obdélník	0,860	LC17	-3,35	0,33	0,59	0,20	1,24	0,08
B11	CS4 - Obdélník	0,860	LC18	-1,59	0,13	0,44	0,16	0,03	0,04
B11	CS4 - Obdélník	0,860	LC19	-0,02	0,08	0,14	-0,05	-0,11	0,02
B11	CS4 - Obdélník	0,860	LC20	0,33	-0,04	0,05	-0,12	-0,25	0,03
B11	CS4 - Obdélník	0,860	LC21	-0,06	0,06	0,03	-0,05	-0,01	0,01
B11	CS4 - Obdélník	0,860	LC22	-0,02	0,08	0,14	-0,05	-0,11	0,02
B11	CS4 - Obdélník	0,860	LC23	0,33	-0,04	0,05	-0,12	-0,25	0,03
B11	CS4 - Obdélník	0,860	LC24	-3,06	0,19	0,84	0,34	-0,40	0,08
B11	CS4 - Obdélník	0,860	LC25	-1,79	0,04	0,20	0,12	-0,27	0,03
B11	CS4 - Obdélník	0,860	LC26	0,00	0,00	0,00	0,00	0,00	0,00
B11	CS4 - Obdélník	0,860	LC27	0,00	0,00	0,00	0,00	0,00	0,00
B11	CS4 - Obdélník	0,860	LC28	0,00	0,00	0,00	0,00	0,00	0,00
B11	CS4 - Obdélník	0,860	LC29	0,00	0,00	0,00	0,00	0,00	0,00
B11	CS4 - Obdélník	0,860	LC30	-1,15	0,12	0,37	0,11	0,01	0,03
B11	CS4 - Obdélník	0,860	LC31	0,23	0,20	0,11	-0,21	-0,06	0,05
B11	CS4 - Obdélník	0,860	LC32	-0,01	0,25	0,49	-0,25	-0,54	0,10
B11	CS4 - Obdélník	0,860	LC33	0,81	-0,07	0,26	-0,44	-0,94	0,11
B11	CS4 - Obdélník	0,860	LC34	-0,66	0,19	0,09	-0,11	-0,03	0,04
B11	CS4 - Obdélník	0,860	LC35	-0,10	0,30	0,46	-0,08	-0,24	0,06
B11	CS4 - Obdélník	0,860	LC36	1,47	-0,20	0,11	-0,38	-0,82	0,07
B11	CS4 - Obdélník	0,860	LC37	-1,10	0,09	0,32	0,12	0,02	0,03
B11	CS4 - Obdélník	1,720	LC1	-24,60	-0,09	2,18	1,53	2,67	0,09
B11	CS4 - Obdélník	1,720	LC2	-25,34	-0,15	2,75	2,05	3,55	0,07
B11	CS4 - Obdélník	1,720	LC3	-5,29	-0,08	0,70	0,44	0,94	0,00
B11	CS4 - Obdélník	1,720	LC4	2,36	-0,15	0,32	-0,03	0,23	-0,08
B11	CS4 - Obdélník	1,720	LC5	-32,62	0,69	-1,27	1,57	7,88	0,20
B11	CS4 - Obdélník	1,720	LC6	-5,44	-0,05	0,58	0,42	0,78	0,01

Prvek	css	dx [m]	Stav	N [kN]	Vy [kN]	Vz [kN]	Mx [kNm]	My [kNm]	Mz [kNm]
B11	CS4 - Obdélník	1,720	LC7	2,11	-0,37	0,52	-0,17	0,43	-0,10
B11	CS4 - Obdélník	1,720	LC8	3,19	-0,72	0,43	-0,47	-0,08	-0,15
B11	CS4 - Obdélník	1,720	LC9	0,20	-0,06	0,23	0,01	0,16	-0,04
B11	CS4 - Obdélník	1,720	LC10	0,89	-0,12	0,42	0,03	0,48	-0,05
B11	CS4 - Obdélník	1,720	LC11	3,13	-0,66	0,26	-0,43	-0,25	-0,13
B11	CS4 - Obdélník	1,720	LC12	-32,66	-0,55	5,42	2,62	3,68	0,13
B11	CS4 - Obdélník	1,720	LC13	-21,53	-0,32	1,52	1,29	-1,46	0,06
B11	CS4 - Obdélník	1,720	LC15	-2,16	-0,02	0,26	0,17	0,35	0,00
B11	CS4 - Obdélník	1,720	LC16	0,26	-0,02	0,05	0,00	0,04	-0,01
B11	CS4 - Obdélník	1,720	LC17	-4,08	0,09	-0,16	0,20	0,98	0,03
B11	CS4 - Obdélník	1,720	LC18	-2,20	-0,02	0,23	0,17	0,31	0,01
B11	CS4 - Obdélník	1,720	LC19	0,30	-0,05	0,09	-0,01	0,09	-0,01
B11	CS4 - Obdélník	1,720	LC20	0,63	-0,14	0,07	-0,09	-0,03	-0,03
B11	CS4 - Obdélník	1,720	LC21	0,26	-0,02	0,05	0,00	0,04	-0,01
B11	CS4 - Obdélník	1,720	LC22	0,30	-0,05	0,09	-0,01	0,09	-0,01
B11	CS4 - Obdélník	1,720	LC23	0,63	-0,14	0,07	-0,09	-0,03	-0,03
B11	CS4 - Obdélník	1,720	LC24	-4,08	-0,07	0,68	0,33	0,46	0,02
B11	CS4 - Obdélník	1,720	LC25	-2,69	-0,04	0,19	0,16	-0,18	0,01
B11	CS4 - Obdélník	1,720	LC26	0,00	0,00	0,00	0,00	0,00	0,00
B11	CS4 - Obdélník	1,720	LC27	0,00	0,00	0,00	0,00	0,00	0,00
B11	CS4 - Obdélník	1,720	LC28	0,00	0,00	0,00	0,00	0,00	0,00
B11	CS4 - Obdélník	1,720	LC29	0,00	0,00	0,00	0,00	0,00	0,00
B11	CS4 - Obdélník	1,720	LC30	-1,52	-0,02	0,20	0,13	0,27	0,00
B11	CS4 - Obdélník	1,720	LC31	1,65	-0,11	0,22	-0,02	0,16	-0,05
B11	CS4 - Obdélník	1,720	LC32	1,48	-0,26	0,37	-0,12	0,30	-0,07
B11	CS4 - Obdélník	1,720	LC33	2,23	-0,51	0,30	-0,33	-0,06	-0,10
B11	CS4 - Obdélník	1,720	LC34	0,14	-0,04	0,16	0,01	0,11	-0,03
B11	CS4 - Obdélník	1,720	LC35	0,62	-0,09	0,29	0,02	0,34	-0,04
B11	CS4 - Obdélník	1,720	LC36	2,19	-0,46	0,19	-0,30	-0,18	-0,09
B11	CS4 - Obdélník	1,720	LC37	-1,56	-0,01	0,17	0,12	0,23	0,00
B11	CS4 - Obdélník	1,720	LC1	-24,60	-0,09	2,18	1,53	2,67	0,09
B11	CS4 - Obdélník	1,720	LC2	-25,34	-0,15	2,75	2,05	3,55	0,07
B11	CS4 - Obdélník	1,720	LC3	-5,29	-0,08	0,70	0,44	0,94	0,00
B11	CS4 - Obdélník	1,720	LC4	2,36	-0,15	0,32	-0,03	0,23	-0,08
B11	CS4 - Obdélník	1,720	LC5	-32,62	0,69	-1,27	1,57	7,88	0,20
B11	CS4 - Obdélník	1,720	LC6	-5,44	-0,05	0,58	0,42	0,78	0,01
B11	CS4 - Obdélník	1,720	LC7	2,11	-0,37	0,52	-0,17	0,43	-0,10
B11	CS4 - Obdélník	1,720	LC8	3,19	-0,72	0,43	-0,47	-0,08	-0,15
B11	CS4 - Obdélník	1,720	LC9	0,20	-0,06	0,23	0,01	0,16	-0,04
B11	CS4 - Obdélník	1,720	LC10	0,89	-0,12	0,42	0,03	0,48	-0,05
B11	CS4 - Obdélník	1,720	LC11	3,13	-0,66	0,26	-0,43	-0,25	-0,13
B11	CS4 - Obdélník	1,720	LC12	-32,66	-0,55	5,42	2,62	3,68	0,13
B11	CS4 - Obdélník	1,720	LC13	-21,53	-0,32	1,52	1,29	-1,46	0,06
B11	CS4 - Obdélník	1,720	LC15	-2,16	-0,02	0,26	0,17	0,35	0,00
B11	CS4 - Obdélník	1,720	LC16	0,26	-0,02	0,05	0,00	0,04	-0,01
B11	CS4 - Obdélník	1,720	LC17	-4,08	0,09	-0,16	0,20	0,98	0,03
B11	CS4 - Obdélník	1,720	LC18	-2,20	-0,02	0,23	0,17	0,31	0,01
B11	CS4 - Obdélník	1,720	LC19	0,30	-0,05	0,09	-0,01	0,09	-0,01
B11	CS4 - Obdélník	1,720	LC20	0,63	-0,14	0,07	-0,09	-0,03	-0,03
B11	CS4 - Obdélník	1,720	LC21	0,26	-0,02	0,05	0,00	0,04	-0,01
B11	CS4 - Obdélník	1,720	LC22	0,30	-0,05	0,09	-0,01	0,09	-0,01
B11	CS4 - Obdélník	1,720	LC23	0,63	-0,14	0,07	-0,09	-0,03	-0,03
B11	CS4 - Obdélník	1,720	LC24	-4,08	-0,07	0,68	0,33	0,46	0,02
B11	CS4 - Obdélník	1,720	LC25	-2,69	-0,04	0,19	0,16	-0,18	0,01
B11	CS4 - Obdélník	1,720	LC26	0,00	0,00	0,00	0,00	0,00	0,00
B11	CS4 - Obdélník	1,720	LC27	0,00	0,00	0,00	0,00	0,00	0,00
B11	CS4 - Obdélník	1,720	LC28	0,00	0,00	0,00	0,00	0,00	0,00
B11	CS4 - Obdélník	1,720	LC29	0,00	0,00	0,00	0,00	0,00	0,00
B11	CS4 - Obdélník	1,720	LC30	-1,52	-0,02	0,20	0,13	0,27	0,00
B11	CS4 - Obdélník	1,720	LC31	1,65	-0,11	0,22	-0,02	0,16	-0,05
B11	CS4 - Obdélník	1,720	LC32	1,48	-0,26	0,37	-0,12	0,30	-0,07
B11	CS4 - Obdélník	1,720	LC33	2,23	-0,51	0,30	-0,33	-0,06	-0,10
B11	CS4 - Obdélník	1,720	LC34	0,14	-0,04	0,16	0,01	0,11	-0,03
B11	CS4 - Obdélník	1,720	LC35	0,62	-0,09	0,29	0,02	0,34	-0,04
B11	CS4 - Obdélník	1,720	LC36	2,19	-0,46	0,19	-0,30	-0,18	-0,09
B11	CS4 - Obdélník	1,720	LC37	-1,56	-0,01	0,17	0,12	0,23	0,00

Prvek	css	dx [m]	Stav	N [kN]	Vy [kN]	Vz [kN]	Mx [kNm]	My [kNm]	Mz [kNm]
B11	CS4 - Obdélník	2,580	LC1	-25,35	-0,13	1,08	1,10	3,46	0,02
B11	CS4 - Obdélník	2,580	LC2	-27,60	-0,21	1,37	1,48	4,57	0,01
B11	CS4 - Obdélník	2,580	LC3	-5,24	-0,09	0,35	0,36	1,25	-0,03
B11	CS4 - Obdélník	2,580	LC4	4,66	-0,12	0,36	0,20	0,60	-0,15
B11	CS4 - Obdélník	2,580	LC5	-28,79	0,48	-1,49	0,17	3,20	0,07
B11	CS4 - Obdélník	2,580	LC6	-6,08	-0,06	0,27	0,31	1,02	0,00
B11	CS4 - Obdélník	2,580	LC7	3,84	-0,29	0,24	0,03	0,64	-0,21
B11	CS4 - Obdélník	2,580	LC8	0,64	-0,47	0,27	-0,23	0,33	-0,22
B11	CS4 - Obdélník	2,580	LC9	2,32	-0,06	0,25	0,16	0,40	-0,10
B11	CS4 - Obdélník	2,580	LC10	3,07	-0,14	0,17	0,14	0,56	-0,14
B11	CS4 - Obdélník	2,580	LC11	-1,17	-0,41	0,19	-0,25	0,09	-0,15
B11	CS4 - Obdélník	2,580	LC12	-32,97	-0,51	3,13	1,62	10,96	0,01
B11	CS4 - Obdélník	2,580	LC13	-28,26	-0,26	1,55	1,59	-1,11	0,09
B11	CS4 - Obdélník	2,580	LC15	-2,20	-0,03	0,13	0,13	0,46	-0,01
B11	CS4 - Obdélník	2,580	LC16	0,70	-0,02	0,06	0,04	0,10	-0,02
B11	CS4 - Obdélník	2,580	LC17	-3,60	0,06	-0,19	0,02	0,40	0,01
B11	CS4 - Obdélník	2,580	LC18	-2,39	-0,02	0,11	0,12	0,41	0,00
B11	CS4 - Obdélník	2,580	LC19	0,69	-0,04	0,04	0,02	0,12	-0,03
B11	CS4 - Obdélník	2,580	LC20	-0,05	-0,09	0,05	-0,05	0,04	-0,04
B11	CS4 - Obdélník	2,580	LC21	0,70	-0,02	0,06	0,04	0,10	-0,02
B11	CS4 - Obdélník	2,580	LC22	0,69	-0,04	0,04	0,02	0,12	-0,03
B11	CS4 - Obdélník	2,580	LC23	-0,05	-0,09	0,05	-0,05	0,04	-0,04
B11	CS4 - Obdélník	2,580	LC24	-4,12	-0,06	0,39	0,20	1,37	0,00
B11	CS4 - Obdélník	2,580	LC25	-3,53	-0,03	0,19	0,20	-0,14	0,01
B11	CS4 - Obdélník	2,580	LC26	0,01	0,00	0,00	0,00	0,00	0,00
B11	CS4 - Obdélník	2,580	LC27	0,00	0,00	0,00	0,00	0,00	0,00
B11	CS4 - Obdélník	2,580	LC28	0,00	0,00	0,00	0,00	0,00	0,00
B11	CS4 - Obdélník	2,580	LC29	0,00	0,00	0,00	0,00	0,00	0,00
B11	CS4 - Obdélník	2,580	LC30	-1,50	-0,03	0,10	0,10	0,36	-0,01
B11	CS4 - Obdélník	2,580	LC31	3,26	-0,08	0,25	0,14	0,42	-0,11
B11	CS4 - Obdélník	2,580	LC32	2,69	-0,20	0,17	0,02	0,45	-0,15
B11	CS4 - Obdélník	2,580	LC33	0,45	-0,33	0,19	-0,16	0,23	-0,15
B11	CS4 - Obdélník	2,580	LC34	1,62	-0,04	0,18	0,11	0,28	-0,07
B11	CS4 - Obdélník	2,580	LC35	2,15	-0,10	0,12	0,10	0,39	-0,10
B11	CS4 - Obdélník	2,580	LC36	-0,82	-0,29	0,13	-0,18	0,06	-0,11
B11	CS4 - Obdélník	2,580	LC37	-1,75	-0,02	0,08	0,09	0,29	0,00
B12	CS4 - Obdélník	0,000	LC1	-25,35	-0,13	1,08	1,10	3,46	0,02
B12	CS4 - Obdélník	0,000	LC2	-27,60	-0,21	1,37	1,48	4,57	0,01
B12	CS4 - Obdélník	0,000	LC3	-5,24	-0,09	0,35	0,36	1,25	-0,03
B12	CS4 - Obdélník	0,000	LC4	4,66	-0,12	0,36	0,20	0,60	-0,15
B12	CS4 - Obdélník	0,000	LC5	-28,79	0,48	-1,49	0,17	3,20	0,07
B12	CS4 - Obdélník	0,000	LC6	-6,08	-0,06	0,27	0,31	1,02	0,00
B12	CS4 - Obdélník	0,000	LC7	3,84	-0,29	0,24	0,03	0,64	-0,21
B12	CS4 - Obdélník	0,000	LC8	0,64	-0,47	0,27	-0,23	0,33	-0,22
B12	CS4 - Obdélník	0,000	LC9	2,32	-0,06	0,25	0,16	0,40	-0,10
B12	CS4 - Obdélník	0,000	LC10	3,07	-0,14	0,17	0,14	0,56	-0,14
B12	CS4 - Obdélník	0,000	LC11	-1,17	-0,41	0,19	-0,25	0,09	-0,15
B12	CS4 - Obdélník	0,000	LC12	-32,97	-0,51	3,13	1,62	10,96	0,01
B12	CS4 - Obdélník	0,000	LC13	-28,26	-0,26	1,55	1,59	-1,11	0,09
B12	CS4 - Obdélník	0,000	LC15	-2,20	-0,03	0,13	0,13	0,46	-0,01
B12	CS4 - Obdélník	0,000	LC16	0,70	-0,02	0,06	0,04	0,10	-0,02
B12	CS4 - Obdélník	0,000	LC17	-3,60	0,06	-0,19	0,02	0,40	0,01
B12	CS4 - Obdélník	0,000	LC18	-2,39	-0,02	0,11	0,12	0,41	0,00
B12	CS4 - Obdélník	0,000	LC19	0,69	-0,04	0,04	0,02	0,12	-0,03
B12	CS4 - Obdélník	0,000	LC20	-0,05	-0,09	0,05	-0,05	0,04	-0,04
B12	CS4 - Obdélník	0,000	LC21	0,70	-0,02	0,06	0,04	0,10	-0,02
B12	CS4 - Obdélník	0,000	LC22	0,69	-0,04	0,04	0,02	0,12	-0,03
B12	CS4 - Obdélník	0,000	LC23	-0,05	-0,09	0,05	-0,05	0,04	-0,04
B12	CS4 - Obdélník	0,000	LC24	-4,12	-0,06	0,39	0,20	1,37	0,00
B12	CS4 - Obdélník	0,000	LC25	-3,53	-0,03	0,19	0,20	-0,14	0,01
B12	CS4 - Obdélník	0,000	LC26	0,01	0,00	0,00	0,00	0,00	0,00
B12	CS4 - Obdélník	0,000	LC27	0,00	0,00	0,00	0,00	0,00	0,00
B12	CS4 - Obdélník	0,000	LC28	0,00	0,00	0,00	0,00	0,00	0,00
B12	CS4 - Obdélník	0,000	LC29	0,00	0,00	0,00	0,00	0,00	0,00
B12	CS4 - Obdélník	0,000	LC30	-1,50	-0,03	0,10	0,10	0,36	-0,01
B12	CS4 - Obdélník	0,000	LC31	3,26	-0,08	0,25	0,14	0,42	-0,11

Prvek	css	dx [m]	Stav	N [kN]	Vy [kN]	Vz [kN]	Mx [kNm]	My [kNm]	Mz [kNm]
B12	CS4 - Obdélník	0,000	LC32	2,69	-0,20	0,17	0,02	0,45	-0,15
B12	CS4 - Obdélník	0,000	LC33	0,45	-0,33	0,19	-0,16	0,23	-0,15
B12	CS4 - Obdélník	0,000	LC34	1,62	-0,04	0,18	0,11	0,28	-0,07
B12	CS4 - Obdélník	0,000	LC35	2,15	-0,10	0,12	0,10	0,39	-0,10
B12	CS4 - Obdélník	0,000	LC36	-0,82	-0,29	0,13	-0,18	0,06	-0,11
B12	CS4 - Obdélník	0,000	LC37	-1,75	-0,02	0,08	0,09	0,29	0,00
B12	CS4 - Obdélník	0,510	LC1	-23,16	-0,04	0,63	0,83	3,49	0,01
B12	CS4 - Obdélník	0,510	LC2	-25,58	-0,13	0,83	1,10	4,65	0,00
B12	CS4 - Obdélník	0,510	LC3	-4,72	-0,06	0,23	0,29	1,29	-0,03
B12	CS4 - Obdélník	0,510	LC4	4,31	-0,04	0,31	0,28	0,74	-0,14
B12	CS4 - Obdélník	0,510	LC5	-23,77	0,56	-1,43	-0,25	1,70	0,01
B12	CS4 - Obdélník	0,510	LC6	-5,71	-0,03	0,17	0,23	1,04	0,00
B12	CS4 - Obdélník	0,510	LC7	2,29	-0,25	0,33	0,09	0,78	-0,16
B12	CS4 - Obdélník	0,510	LC8	-3,76	-0,44	0,41	-0,14	0,63	-0,12
B12	CS4 - Obdélník	0,510	LC9	2,53	0,00	0,22	0,21	0,49	-0,09
B12	CS4 - Obdélník	0,510	LC10	2,94	-0,11	0,21	0,16	0,60	-0,11
B12	CS4 - Obdélník	0,510	LC11	-5,73	-0,39	0,32	-0,18	0,37	-0,06
B12	CS4 - Obdélník	0,510	LC12	-27,33	-0,27	1,11	1,11	12,52	-0,06
B12	CS4 - Obdélník	0,510	LC13	-29,68	-0,29	1,70	1,64	-0,74	0,15
B12	CS4 - Obdélník	0,510	LC15	-1,99	-0,02	0,08	0,10	0,47	-0,01
B12	CS4 - Obdélník	0,510	LC16	0,68	0,00	0,05	0,05	0,12	-0,02
B12	CS4 - Obdélník	0,510	LC17	-2,97	0,07	-0,18	-0,03	0,21	0,00
B12	CS4 - Obdélník	0,510	LC18	-2,22	-0,01	0,07	0,09	0,41	0,00
B12	CS4 - Obdélník	0,510	LC19	0,52	-0,04	0,05	0,03	0,14	-0,03
B12	CS4 - Obdélník	0,510	LC20	-0,95	-0,08	0,07	-0,03	0,10	-0,02
B12	CS4 - Obdélník	0,510	LC21	0,68	0,00	0,05	0,05	0,12	-0,02
B12	CS4 - Obdélník	0,510	LC22	0,52	-0,04	0,05	0,03	0,14	-0,03
B12	CS4 - Obdélník	0,510	LC23	-0,95	-0,08	0,07	-0,03	0,10	-0,02
B12	CS4 - Obdélník	0,510	LC24	-3,42	-0,03	0,14	0,14	1,57	-0,01
B12	CS4 - Obdélník	0,510	LC25	-3,71	-0,04	0,21	0,21	-0,09	0,02
B12	CS4 - Obdélník	0,510	LC26	0,01	0,00	0,00	0,00	0,00	0,00
B12	CS4 - Obdélník	0,510	LC27	0,00	0,00	0,00	0,00	0,00	0,00
B12	CS4 - Obdélník	0,510	LC28	0,00	0,00	0,00	0,00	0,00	0,00
B12	CS4 - Obdélník	0,510	LC29	0,00	0,00	0,00	0,00	0,00	0,00
B12	CS4 - Obdélník	0,510	LC30	-1,35	-0,02	0,07	0,08	0,38	-0,01
B12	CS4 - Obdélník	0,510	LC31	3,02	-0,03	0,22	0,20	0,52	-0,10
B12	CS4 - Obdélník	0,510	LC32	1,61	-0,18	0,23	0,06	0,55	-0,11
B12	CS4 - Obdélník	0,510	LC33	-2,63	-0,31	0,28	-0,10	0,44	-0,08
B12	CS4 - Obdélník	0,510	LC34	1,77	0,00	0,15	0,15	0,34	-0,06
B12	CS4 - Obdélník	0,510	LC35	2,06	-0,08	0,14	0,11	0,42	-0,08
B12	CS4 - Obdélník	0,510	LC36	-4,01	-0,28	0,22	-0,13	0,26	-0,04
B12	CS4 - Obdélník	0,510	LC37	-1,65	-0,01	0,05	0,07	0,30	0,00
B12	CS4 - Obdélník	1,020	LC1	-20,97	0,04	0,17	0,55	3,51	-0,01
B12	CS4 - Obdélník	1,020	LC2	-23,56	-0,05	0,29	0,72	4,72	-0,01
B12	CS4 - Obdélník	1,020	LC3	-4,20	-0,03	0,11	0,22	1,33	-0,03
B12	CS4 - Obdélník	1,020	LC4	3,96	0,04	0,27	0,36	0,87	-0,13
B12	CS4 - Obdélník	1,020	LC5	-18,76	0,65	-1,36	-0,67	0,19	-0,05
B12	CS4 - Obdélník	1,020	LC6	-5,34	-0,01	0,07	0,15	1,06	0,00
B12	CS4 - Obdélník	1,020	LC7	0,75	-0,21	0,41	0,15	0,92	-0,10
B12	CS4 - Obdélník	1,020	LC8	-8,16	-0,41	0,55	-0,05	0,93	-0,02
B12	CS4 - Obdélník	1,020	LC9	2,74	0,05	0,18	0,26	0,57	-0,09
B12	CS4 - Obdélník	1,020	LC10	2,81	-0,09	0,24	0,18	0,64	-0,09
B12	CS4 - Obdélník	1,020	LC11	-10,28	-0,38	0,45	-0,11	0,64	0,03
B12	CS4 - Obdélník	1,020	LC12	-21,68	-0,02	-0,90	0,60	14,09	-0,14
B12	CS4 - Obdélník	1,020	LC13	-31,11	-0,33	1,84	1,70	-0,37	0,20
B12	CS4 - Obdélník	1,020	LC15	-1,78	-0,01	0,04	0,08	0,49	-0,01
B12	CS4 - Obdélník	1,020	LC16	0,67	0,01	0,05	0,06	0,14	-0,02
B12	CS4 - Obdélník	1,020	LC17	-2,35	0,08	-0,17	-0,08	0,02	-0,01
B12	CS4 - Obdélník	1,020	LC18	-2,04	0,00	0,02	0,06	0,42	0,00
B12	CS4 - Obdélník	1,020	LC19	0,36	-0,03	0,07	0,03	0,16	-0,02
B12	CS4 - Obdélník	1,020	LC20	-1,84	-0,08	0,10	-0,02	0,16	0,00
B12	CS4 - Obdélník	1,020	LC21	0,67	0,01	0,05	0,06	0,14	-0,02
B12	CS4 - Obdélník	1,020	LC22	0,36	-0,03	0,07	0,03	0,16	-0,02
B12	CS4 - Obdélník	1,020	LC23	-1,84	-0,08	0,10	-0,02	0,16	0,00
B12	CS4 - Obdélník	1,020	LC24	-2,71	0,00	-0,11	0,07	1,76	-0,02
B12	CS4 - Obdélník	1,020	LC25	-3,89	-0,04	0,23	0,21	-0,05	0,03



Prvek	css	dx [m]	Stav	N [kN]	Vy [kN]	Vz [kN]	Mx [kNm]	My [kNm]	Mz [kNm]
B12	CS4 - Obdélník	1,020	LC26	0,00	0,00	0,00	0,00	0,00	0,00
B12	CS4 - Obdélník	1,020	LC27	0,00	0,00	0,00	0,00	0,00	0,00
B12	CS4 - Obdélník	1,020	LC28	0,00	0,00	0,00	0,00	0,00	0,00
B12	CS4 - Obdélník	1,020	LC29	0,00	0,00	0,00	0,00	0,00	0,00
B12	CS4 - Obdélník	1,020	LC30	-1,20	-0,01	0,03	0,06	0,39	-0,01
B12	CS4 - Obdélník	1,020	LC31	2,77	0,03	0,19	0,25	0,61	-0,09
B12	CS4 - Obdélník	1,020	LC32	0,52	-0,15	0,29	0,11	0,64	-0,07
B12	CS4 - Obdélník	1,020	LC33	-5,71	-0,29	0,38	-0,03	0,65	-0,01
B12	CS4 - Obdélník	1,020	LC34	1,92	0,04	0,13	0,18	0,40	-0,06
B12	CS4 - Obdélník	1,020	LC35	1,97	-0,06	0,17	0,13	0,45	-0,06
B12	CS4 - Obdélník	1,020	LC36	-7,20	-0,26	0,31	-0,08	0,45	0,02
B12	CS4 - Obdélník	1,020	LC37	-1,55	0,00	0,02	0,04	0,31	0,00
B12	CS4 - Obdélník	1,020	LC1	-20,97	0,04	0,17	0,55	3,51	-0,01
B12	CS4 - Obdélník	1,020	LC2	-23,56	-0,05	0,29	0,72	4,72	-0,01
B12	CS4 - Obdélník	1,020	LC3	-4,20	-0,03	0,11	0,22	1,33	-0,03
B12	CS4 - Obdélník	1,020	LC4	3,96	0,04	0,27	0,36	0,87	-0,13
B12	CS4 - Obdélník	1,020	LC5	-18,76	0,65	-1,36	-0,67	0,19	-0,05
B12	CS4 - Obdélník	1,020	LC6	-5,34	-0,01	0,07	0,15	1,06	0,00
B12	CS4 - Obdélník	1,020	LC7	0,75	-0,21	0,41	0,15	0,92	-0,10
B12	CS4 - Obdélník	1,020	LC8	-8,16	-0,41	0,55	-0,05	0,93	-0,02
B12	CS4 - Obdélník	1,020	LC9	2,74	0,05	0,18	0,26	0,57	-0,09
B12	CS4 - Obdélník	1,020	LC10	2,81	-0,09	0,24	0,18	0,64	-0,09
B12	CS4 - Obdélník	1,020	LC11	-10,28	-0,38	0,45	-0,11	0,64	0,03
B12	CS4 - Obdélník	1,020	LC12	-21,68	-0,02	-0,90	0,60	14,09	-0,14
B12	CS4 - Obdélník	1,020	LC13	-31,11	-0,33	1,84	1,70	-0,37	0,20
B12	CS4 - Obdélník	1,020	LC15	-1,78	-0,01	0,04	0,08	0,49	-0,01
B12	CS4 - Obdélník	1,020	LC16	0,67	0,01	0,05	0,06	0,14	-0,02
B12	CS4 - Obdélník	1,020	LC17	-2,35	0,08	-0,17	-0,08	0,02	-0,01
B12	CS4 - Obdélník	1,020	LC18	-2,04	0,00	0,02	0,06	0,42	0,00
B12	CS4 - Obdélník	1,020	LC19	0,36	-0,03	0,07	0,03	0,16	-0,02
B12	CS4 - Obdélník	1,020	LC20	-1,84	-0,08	0,10	-0,02	0,16	0,00
B12	CS4 - Obdélník	1,020	LC21	0,67	0,01	0,05	0,06	0,14	-0,02
B12	CS4 - Obdélník	1,020	LC22	0,36	-0,03	0,07	0,03	0,16	-0,02
B12	CS4 - Obdélník	1,020	LC23	-1,84	-0,08	0,10	-0,02	0,16	0,00
B12	CS4 - Obdélník	1,020	LC24	-2,71	0,00	-0,11	0,07	1,76	-0,02
B12	CS4 - Obdélník	1,020	LC25	-3,89	-0,04	0,23	0,21	-0,05	0,03
B12	CS4 - Obdélník	1,020	LC26	0,00	0,00	0,00	0,00	0,00	0,00
B12	CS4 - Obdélník	1,020	LC27	0,00	0,00	0,00	0,00	0,00	0,00
B12	CS4 - Obdélník	1,020	LC28	0,00	0,00	0,00	0,00	0,00	0,00
B12	CS4 - Obdélník	1,020	LC29	0,00	0,00	0,00	0,00	0,00	0,00
B12	CS4 - Obdélník	1,020	LC30	-1,20	-0,01	0,03	0,06	0,39	-0,01
B12	CS4 - Obdélník	1,020	LC31	2,77	0,03	0,19	0,25	0,61	-0,09
B12	CS4 - Obdélník	1,020	LC32	0,52	-0,15	0,29	0,11	0,64	-0,07
B12	CS4 - Obdélník	1,020	LC33	-5,71	-0,29	0,38	-0,03	0,65	-0,01
B12	CS4 - Obdélník	1,020	LC34	1,92	0,04	0,13	0,18	0,40	-0,06
B12	CS4 - Obdélník	1,020	LC35	1,97	-0,06	0,17	0,13	0,45	-0,06
B12	CS4 - Obdélník	1,020	LC36	-7,20	-0,26	0,31	-0,08	0,45	0,02
B12	CS4 - Obdélník	1,020	LC37	-1,55	0,00	0,02	0,04	0,31	0,00
B12	CS4 - Obdélník	1,530	LC1	-16,22	0,12	-0,16	0,28	3,24	-0,05
B12	CS4 - Obdélník	1,530	LC2	-17,95	0,03	-0,11	0,34	4,48	-0,07
B12	CS4 - Obdélník	1,530	LC3	-3,13	0,00	0,01	0,14	1,27	-0,04
B12	CS4 - Obdélník	1,530	LC4	2,65	0,08	0,16	0,39	0,85	-0,08
B12	CS4 - Obdélník	1,530	LC5	-13,77	0,74	-1,23	-0,76	-0,64	-0,04
B12	CS4 - Obdélník	1,530	LC6	-4,12	0,01	-0,02	0,08	1,01	-0,01
B12	CS4 - Obdélník	1,530	LC7	-1,63	-0,27	0,46	0,23	1,23	-0,07
B12	CS4 - Obdélník	1,530	LC8	-11,11	-0,51	0,64	0,07	1,50	-0,01
B12	CS4 - Obdélník	1,530	LC9	2,09	0,08	0,10	0,27	0,54	-0,06
B12	CS4 - Obdélník	1,530	LC10	1,50	-0,12	0,27	0,21	0,77	-0,07
B12	CS4 - Obdélník	1,530	LC11	-12,58	-0,46	0,53	-0,01	1,15	0,03
B12	CS4 - Obdélník	1,530	LC12	-12,06	0,26	-2,40	0,08	10,79	-0,23
B12	CS4 - Obdélník	1,530	LC13	-26,38	-0,37	2,21	1,40	1,03	0,12
B12	CS4 - Obdélník	1,530	LC15	-1,32	0,00	0,00	0,05	0,46	-0,01
B12	CS4 - Obdélník	1,530	LC16	0,47	0,02	0,03	0,07	0,14	-0,01
B12	CS4 - Obdélník	1,530	LC17	-1,72	0,09	-0,15	-0,09	-0,08	-0,01
B12	CS4 - Obdélník	1,530	LC18	-1,55	0,00	-0,01	0,03	0,40	-0,01
B12	CS4 - Obdélník	1,530	LC19	-0,01	-0,04	0,07	0,04	0,20	-0,01

Prvek	css	dx [m]	Stav	N [kN]	Vy [kN]	Vz [kN]	Mx [kNm]	My [kNm]	Mz [kNm]
B12	CS4 - Obdélník	1,530	LC20	-2,37	-0,10	0,12	0,01	0,26	0,00
B12	CS4 - Obdélník	1,530	LC21	0,47	0,02	0,03	0,07	0,14	-0,01
B12	CS4 - Obdélník	1,530	LC22	-0,01	-0,04	0,07	0,04	0,20	-0,01
B12	CS4 - Obdélník	1,530	LC23	-2,37	-0,10	0,12	0,01	0,26	0,00
B12	CS4 - Obdélník	1,530	LC24	-1,51	0,03	-0,30	0,01	1,35	-0,03
B12	CS4 - Obdélník	1,530	LC25	-3,30	-0,05	0,28	0,18	0,13	0,01
B12	CS4 - Obdélník	1,530	LC26	0,00	0,00	0,00	0,00	0,00	0,00
B12	CS4 - Obdélník	1,530	LC27	0,00	0,00	0,00	0,00	0,00	0,00
B12	CS4 - Obdélník	1,530	LC28	0,00	0,00	0,00	0,00	0,00	0,00
B12	CS4 - Obdélník	1,530	LC29	0,00	0,00	0,00	0,00	0,00	0,00
B12	CS4 - Obdélník	1,530	LC30	-0,89	0,00	0,00	0,04	0,37	-0,01
B12	CS4 - Obdélník	1,530	LC31	1,86	0,06	0,11	0,27	0,59	-0,06
B12	CS4 - Obdélník	1,530	LC32	-1,14	-0,19	0,32	0,16	0,86	-0,05
B12	CS4 - Obdélník	1,530	LC33	-7,78	-0,36	0,45	0,05	1,05	-0,01
B12	CS4 - Obdélník	1,530	LC34	1,47	0,06	0,07	0,19	0,38	-0,04
B12	CS4 - Obdélník	1,530	LC35	1,05	-0,08	0,19	0,15	0,54	-0,05
B12	CS4 - Obdélník	1,530	LC36	-8,80	-0,32	0,37	-0,01	0,80	0,02
B12	CS4 - Obdélník	1,530	LC37	-1,20	0,00	-0,01	0,02	0,29	0,00
B12	CS4 - Obdélník	2,040	LC1	-11,48	0,21	-0,49	0,01	2,98	-0,09
B12	CS4 - Obdélník	2,040	LC2	-12,33	0,12	-0,52	-0,03	4,24	-0,13
B12	CS4 - Obdélník	2,040	LC3	-2,06	0,02	-0,10	0,07	1,20	-0,05
B12	CS4 - Obdélník	2,040	LC4	1,34	0,12	0,05	0,41	0,83	-0,04
B12	CS4 - Obdélník	2,040	LC5	-8,77	0,83	-1,10	-0,84	-1,47	-0,04
B12	CS4 - Obdélník	2,040	LC6	-2,90	0,03	-0,10	0,00	0,96	-0,03
B12	CS4 - Obdélník	2,040	LC7	-4,00	-0,34	0,52	0,30	1,55	-0,04
B12	CS4 - Obdélník	2,040	LC8	-14,05	-0,61	0,73	0,19	2,06	0,01
B12	CS4 - Obdélník	2,040	LC9	1,45	0,11	0,03	0,29	0,51	-0,03
B12	CS4 - Obdélník	2,040	LC10	0,19	-0,15	0,29	0,24	0,90	-0,04
B12	CS4 - Obdélník	2,040	LC11	-14,87	-0,55	0,62	0,09	1,65	0,03
B12	CS4 - Obdélník	2,040	LC12	-2,44	0,55	-3,89	-0,44	7,49	-0,32
B12	CS4 - Obdélník	2,040	LC13	-21,65	-0,42	2,57	1,11	2,44	0,03
B12	CS4 - Obdélník	2,040	LC15	-0,87	0,01	-0,04	0,02	0,43	-0,02
B12	CS4 - Obdélník	2,040	LC16	0,28	0,02	0,01	0,07	0,13	-0,01
B12	CS4 - Obdélník	2,040	LC17	-1,10	0,10	-0,14	-0,10	-0,18	0,00
B12	CS4 - Obdélník	2,040	LC18	-1,06	0,01	-0,04	0,00	0,38	-0,01
B12	CS4 - Obdélník	2,040	LC19	-0,38	-0,05	0,08	0,05	0,24	-0,01
B12	CS4 - Obdélník	2,040	LC20	-2,89	-0,12	0,13	0,03	0,37	0,00
B12	CS4 - Obdélník	2,040	LC21	0,28	0,02	0,01	0,07	0,13	-0,01
B12	CS4 - Obdélník	2,040	LC22	-0,38	-0,05	0,08	0,05	0,24	-0,01
B12	CS4 - Obdélník	2,040	LC23	-2,89	-0,12	0,13	0,03	0,37	0,00
B12	CS4 - Obdélník	2,040	LC24	-0,30	0,07	-0,49	-0,05	0,94	-0,04
B12	CS4 - Obdélník	2,040	LC25	-2,71	-0,05	0,32	0,14	0,30	0,00
B12	CS4 - Obdélník	2,040	LC26	0,00	0,00	0,00	0,00	0,00	0,00
B12	CS4 - Obdélník	2,040	LC27	0,00	0,00	0,00	0,00	0,00	0,00
B12	CS4 - Obdélník	2,040	LC28	0,00	0,00	0,00	0,00	0,00	0,00
B12	CS4 - Obdélník	2,040	LC29	0,00	0,00	0,00	0,00	0,00	0,00
B12	CS4 - Obdélník	2,040	LC30	-0,59	0,01	-0,03	0,02	0,35	-0,01
B12	CS4 - Obdélník	2,040	LC31	0,94	0,09	0,03	0,29	0,58	-0,02
B12	CS4 - Obdélník	2,040	LC32	-2,80	-0,24	0,36	0,21	1,08	-0,03
B12	CS4 - Obdélník	2,040	LC33	-9,84	-0,43	0,51	0,13	1,44	0,00
B12	CS4 - Obdélník	2,040	LC34	1,01	0,08	0,02	0,20	0,36	-0,02
B12	CS4 - Obdélník	2,040	LC35	0,14	-0,11	0,20	0,17	0,63	-0,03
B12	CS4 - Obdélník	2,040	LC36	-10,41	-0,38	0,43	0,06	1,16	0,02
B12	CS4 - Obdélník	2,040	LC37	-0,85	0,01	-0,03	0,00	0,28	-0,01
B12	CS4 - Obdélník	2,040	LC1	-11,48	0,21	-0,49	0,01	2,98	-0,09
B12	CS4 - Obdélník	2,040	LC2	-12,33	0,12	-0,52	-0,03	4,24	-0,13
B12	CS4 - Obdélník	2,040	LC3	-2,06	0,02	-0,10	0,07	1,20	-0,05
B12	CS4 - Obdélník	2,040	LC4	1,34	0,12	0,05	0,41	0,83	-0,04
B12	CS4 - Obdélník	2,040	LC5	-8,77	0,83	-1,10	-0,84	-1,47	-0,04
B12	CS4 - Obdélník	2,040	LC6	-2,90	0,03	-0,10	0,00	0,96	-0,03
B12	CS4 - Obdélník	2,040	LC7	-4,00	-0,34	0,52	0,30	1,55	-0,04
B12	CS4 - Obdélník	2,040	LC8	-14,05	-0,61	0,73	0,19	2,06	0,01
B12	CS4 - Obdélník	2,040	LC9	1,45	0,11	0,03	0,29	0,51	-0,03
B12	CS4 - Obdélník	2,040	LC10	0,19	-0,15	0,29	0,24	0,90	-0,04
B12	CS4 - Obdélník	2,040	LC11	-14,87	-0,55	0,62	0,09	1,65	0,03
B12	CS4 - Obdélník	2,040	LC12	-2,44	0,55	-3,89	-0,44	7,49	-0,32

Prvek	css	dx [m]	Stav	N [kN]	Vy [kN]	Vz [kN]	Mx [kNm]	My [kNm]	Mz [kNm]
B12	CS4 - Obdélník	2,040	LC13	-21,65	-0,42	2,57	1,11	2,44	0,03
B12	CS4 - Obdélník	2,040	LC15	-0,87	0,01	-0,04	0,02	0,43	-0,02
B12	CS4 - Obdélník	2,040	LC16	0,28	0,02	0,01	0,07	0,13	-0,01
B12	CS4 - Obdélník	2,040	LC17	-1,10	0,10	-0,14	-0,10	-0,18	0,00
B12	CS4 - Obdélník	2,040	LC18	-1,06	0,01	-0,04	0,00	0,38	-0,01
B12	CS4 - Obdélník	2,040	LC19	-0,38	-0,05	0,08	0,05	0,24	-0,01
B12	CS4 - Obdélník	2,040	LC20	-2,89	-0,12	0,13	0,03	0,37	0,00
B12	CS4 - Obdélník	2,040	LC21	0,28	0,02	0,01	0,07	0,13	-0,01
B12	CS4 - Obdélník	2,040	LC22	-0,38	-0,05	0,08	0,05	0,24	-0,01
B12	CS4 - Obdélník	2,040	LC23	-2,89	-0,12	0,13	0,03	0,37	0,00
B12	CS4 - Obdélník	2,040	LC24	-0,30	0,07	-0,49	-0,05	0,94	-0,04
B12	CS4 - Obdélník	2,040	LC25	-2,71	-0,05	0,32	0,14	0,30	0,00
B12	CS4 - Obdélník	2,040	LC26	0,00	0,00	0,00	0,00	0,00	0,00
B12	CS4 - Obdélník	2,040	LC27	0,00	0,00	0,00	0,00	0,00	0,00
B12	CS4 - Obdélník	2,040	LC28	0,00	0,00	0,00	0,00	0,00	0,00
B12	CS4 - Obdélník	2,040	LC29	0,00	0,00	0,00	0,00	0,00	0,00
B12	CS4 - Obdélník	2,040	LC30	-0,59	0,01	-0,03	0,02	0,35	-0,01
B12	CS4 - Obdélník	2,040	LC31	0,94	0,09	0,03	0,29	0,58	-0,02
B12	CS4 - Obdélník	2,040	LC32	-2,80	-0,24	0,36	0,21	1,08	-0,03
B12	CS4 - Obdélník	2,040	LC33	-9,84	-0,43	0,51	0,13	1,44	0,00
B12	CS4 - Obdélník	2,040	LC34	1,01	0,08	0,02	0,20	0,36	-0,02
B12	CS4 - Obdélník	2,040	LC35	0,14	-0,11	0,20	0,17	0,63	-0,03
B12	CS4 - Obdélník	2,040	LC36	-10,41	-0,38	0,43	0,06	1,16	0,02
B12	CS4 - Obdélník	2,040	LC37	-0,85	0,01	-0,03	0,00	0,28	-0,01
B12	CS4 - Obdélník	2,550	LC1	-7,69	0,31	-0,83	-0,24	2,59	-0,10
B12	CS4 - Obdélník	2,550	LC2	-7,55	0,24	-0,96	-0,36	3,83	-0,15
B12	CS4 - Obdélník	2,550	LC3	-1,24	0,04	-0,20	0,01	1,06	-0,05
B12	CS4 - Obdélník	2,550	LC4	0,32	0,11	-0,03	0,38	0,58	-0,01
B12	CS4 - Obdélník	2,550	LC5	-6,26	0,83	-0,81	-0,82	-1,75	-0,02
B12	CS4 - Obdélník	2,550	LC6	-1,80	0,05	-0,19	-0,06	0,86	-0,03
B12	CS4 - Obdélník	2,550	LC7	-4,37	-0,41	0,32	0,39	1,67	-0,03
B12	CS4 - Obdélník	2,550	LC8	-12,40	-0,69	0,46	0,34	2,34	-0,01
B12	CS4 - Obdélník	2,550	LC9	0,71	0,10	-0,02	0,26	0,34	-0,01
B12	CS4 - Obdélník	2,550	LC10	-0,56	-0,20	0,19	0,28	0,94	-0,03
B12	CS4 - Obdélník	2,550	LC11	-12,63	-0,60	0,39	0,22	1,93	0,00
B12	CS4 - Obdélník	2,550	LC12	2,17	0,78	-3,63	-0,97	3,76	-0,28
B12	CS4 - Obdélník	2,550	LC13	-14,05	-0,25	2,01	0,55	5,64	-0,09
B12	CS4 - Obdélník	2,550	LC15	-0,51	0,02	-0,08	-0,01	0,38	-0,02
B12	CS4 - Obdélník	2,550	LC16	0,10	0,02	-0,01	0,06	0,09	0,00
B12	CS4 - Obdélník	2,550	LC17	-0,78	0,10	-0,10	-0,10	-0,22	0,00
B12	CS4 - Obdélník	2,550	LC18	-0,64	0,02	-0,08	-0,03	0,34	-0,01
B12	CS4 - Obdélník	2,550	LC19	-0,49	-0,06	0,05	0,07	0,26	-0,01
B12	CS4 - Obdélník	2,550	LC20	-2,50	-0,13	0,09	0,06	0,43	0,00
B12	CS4 - Obdélník	2,550	LC21	0,10	0,02	-0,01	0,06	0,09	0,00
B12	CS4 - Obdélník	2,550	LC22	-0,49	-0,06	0,05	0,07	0,26	-0,01
B12	CS4 - Obdélník	2,550	LC23	-2,50	-0,13	0,09	0,06	0,43	0,00
B12	CS4 - Obdélník	2,550	LC24	0,27	0,10	-0,45	-0,12	0,47	-0,04
B12	CS4 - Obdélník	2,550	LC25	-1,76	-0,03	0,25	0,07	0,70	-0,01
B12	CS4 - Obdélník	2,550	LC26	0,00	0,00	0,00	0,00	0,00	0,00
B12	CS4 - Obdélník	2,550	LC27	0,00	0,00	0,00	0,00	0,00	0,00
B12	CS4 - Obdélník	2,550	LC28	0,00	0,00	0,00	0,00	0,00	0,00
B12	CS4 - Obdélník	2,550	LC29	0,00	0,00	0,00	0,00	0,00	0,00
B12	CS4 - Obdélník	2,550	LC30	-0,36	0,01	-0,06	0,00	0,31	-0,01
B12	CS4 - Obdélník	2,550	LC31	0,22	0,08	-0,02	0,26	0,41	-0,01
B12	CS4 - Obdélník	2,550	LC32	-3,06	-0,29	0,23	0,27	1,17	-0,02
B12	CS4 - Obdélník	2,550	LC33	-8,68	-0,48	0,32	0,24	1,64	-0,01
B12	CS4 - Obdélník	2,550	LC34	0,50	0,07	-0,01	0,18	0,24	0,00
B12	CS4 - Obdélník	2,550	LC35	-0,40	-0,14	0,13	0,19	0,66	-0,02
B12	CS4 - Obdélník	2,550	LC36	-8,84	-0,42	0,28	0,15	1,35	0,00
B12	CS4 - Obdélník	2,550	LC37	-0,53	0,01	-0,05	-0,02	0,25	-0,01
B12	CS4 - Obdélník	3,060	LC1	-3,91	0,42	-1,17	-0,48	2,20	-0,11
B12	CS4 - Obdélník	3,060	LC2	-2,76	0,36	-1,39	-0,68	3,43	-0,16
B12	CS4 - Obdélník	3,060	LC3	-0,43	0,06	-0,30	-0,06	0,91	-0,04
B12	CS4 - Obdélník	3,060	LC4	-0,71	0,10	-0,11	0,34	0,33	0,02
B12	CS4 - Obdélník	3,060	LC5	-3,75	0,83	-0,53	-0,80	-2,03	0,00
B12	CS4 - Obdélník	3,060	LC6	-0,69	0,08	-0,27	-0,13	0,77	-0,04

Prvek	css	dx [m]	Stav	N [kN]	Vy [kN]	Vz [kN]	Mx [kNm]	My [kNm]	Mz [kNm]
B12	CS4 - Obdélník	3,060	LC7	-4,74	-0,48	0,13	0,47	1,79	-0,02
B12	CS4 - Obdélník	3,060	LC8	-10,74	-0,77	0,19	0,49	2,62	-0,03
B12	CS4 - Obdélník	3,060	LC9	-0,02	0,09	-0,07	0,23	0,17	0,01
B12	CS4 - Obdélník	3,060	LC10	-1,32	-0,25	0,09	0,31	0,98	-0,01
B12	CS4 - Obdélník	3,060	LC11	-10,38	-0,65	0,17	0,35	2,20	-0,03
B12	CS4 - Obdélník	3,060	LC12	6,78	1,01	-3,37	-1,51	0,02	-0,25
B12	CS4 - Obdélník	3,060	LC13	-6,45	-0,09	1,44	0,00	8,84	-0,20
B12	CS4 - Obdélník	3,060	LC15	-0,16	0,03	-0,12	-0,04	0,33	-0,02
B12	CS4 - Obdélník	3,060	LC16	-0,07	0,02	-0,02	0,06	0,05	0,00
B12	CS4 - Obdélník	3,060	LC17	-0,47	0,10	-0,07	-0,10	-0,25	0,00
B12	CS4 - Obdélník	3,060	LC18	-0,23	0,03	-0,11	-0,05	0,30	-0,01
B12	CS4 - Obdélník	3,060	LC19	-0,61	-0,07	0,02	0,08	0,28	0,00
B12	CS4 - Obdélník	3,060	LC20	-2,11	-0,14	0,04	0,08	0,48	-0,01
B12	CS4 - Obdélník	3,060	LC21	-0,07	0,02	-0,02	0,06	0,05	0,00
B12	CS4 - Obdélník	3,060	LC22	-0,61	-0,07	0,02	0,08	0,28	0,00
B12	CS4 - Obdélník	3,060	LC23	-2,11	-0,14	0,04	0,08	0,48	-0,01
B12	CS4 - Obdélník	3,060	LC24	0,85	0,13	-0,42	-0,19	0,00	-0,03
B12	CS4 - Obdélník	3,060	LC25	-0,81	-0,01	0,18	0,00	1,11	-0,03
B12	CS4 - Obdélník	3,060	LC26	0,00	0,00	0,00	0,00	0,00	0,00
B12	CS4 - Obdélník	3,060	LC27	0,00	0,00	0,00	0,00	0,00	0,00
B12	CS4 - Obdélník	3,060	LC28	0,00	0,00	0,00	0,00	0,00	0,00
B12	CS4 - Obdélník	3,060	LC29	0,00	0,00	0,00	0,00	0,00	0,00
B12	CS4 - Obdélník	3,060	LC30	-0,12	0,02	-0,09	-0,02	0,27	-0,01
B12	CS4 - Obdélník	3,060	LC31	-0,50	0,07	-0,08	0,24	0,23	0,01
B12	CS4 - Obdélník	3,060	LC32	-3,32	-0,34	0,09	0,33	1,25	-0,01
B12	CS4 - Obdélník	3,060	LC33	-7,52	-0,54	0,13	0,34	1,83	-0,02
B12	CS4 - Obdélník	3,060	LC34	-0,01	0,06	-0,05	0,16	0,12	0,01
B12	CS4 - Obdélník	3,060	LC35	-0,93	-0,18	0,06	0,22	0,69	-0,01
B12	CS4 - Obdélník	3,060	LC36	-7,27	-0,46	0,12	0,24	1,54	-0,02
B12	CS4 - Obdélník	3,060	LC37	-0,20	0,02	-0,08	-0,04	0,22	-0,01
B13	CS4 - Obdélník	0,000	LC1	-3,91	0,42	-1,17	-0,48	2,20	-0,11
B13	CS4 - Obdélník	0,000	LC2	-2,76	0,36	-1,39	-0,68	3,43	-0,16
B13	CS4 - Obdélník	0,000	LC3	-0,43	0,06	-0,30	-0,06	0,91	-0,04
B13	CS4 - Obdélník	0,000	LC4	-0,71	0,10	-0,11	0,34	0,33	0,02
B13	CS4 - Obdélník	0,000	LC5	-3,75	0,83	-0,53	-0,80	-2,03	0,00
B13	CS4 - Obdélník	0,000	LC6	-0,69	0,08	-0,27	-0,13	0,77	-0,04
B13	CS4 - Obdélník	0,000	LC7	-4,74	-0,48	0,13	0,47	1,79	-0,02
B13	CS4 - Obdélník	0,000	LC8	-10,74	-0,77	0,19	0,49	2,62	-0,03
B13	CS4 - Obdélník	0,000	LC9	-0,02	0,09	-0,07	0,23	0,17	0,01
B13	CS4 - Obdélník	0,000	LC10	-1,32	-0,25	0,09	0,31	0,98	-0,01
B13	CS4 - Obdélník	0,000	LC11	-10,38	-0,65	0,17	0,35	2,20	-0,03
B13	CS4 - Obdélník	0,000	LC12	6,78	1,01	-3,37	-1,51	0,02	-0,25
B13	CS4 - Obdélník	0,000	LC13	-6,45	-0,09	1,44	0,00	8,84	-0,20
B13	CS4 - Obdélník	0,000	LC15	-0,16	0,03	-0,12	-0,04	0,33	-0,02
B13	CS4 - Obdélník	0,000	LC16	-0,07	0,02	-0,02	0,06	0,05	0,00
B13	CS4 - Obdélník	0,000	LC17	-0,47	0,10	-0,07	-0,10	-0,25	0,00
B13	CS4 - Obdélník	0,000	LC18	-0,23	0,03	-0,11	-0,05	0,30	-0,01
B13	CS4 - Obdélník	0,000	LC19	-0,61	-0,07	0,02	0,08	0,28	0,00
B13	CS4 - Obdélník	0,000	LC20	-2,11	-0,14	0,04	0,08	0,48	-0,01
B13	CS4 - Obdélník	0,000	LC21	-0,07	0,02	-0,02	0,06	0,05	0,00
B13	CS4 - Obdélník	0,000	LC22	-0,61	-0,07	0,02	0,08	0,28	0,00
B13	CS4 - Obdélník	0,000	LC23	-2,11	-0,14	0,04	0,08	0,48	-0,01
B13	CS4 - Obdélník	0,000	LC24	0,85	0,13	-0,42	-0,19	0,00	-0,03
B13	CS4 - Obdélník	0,000	LC25	-0,81	-0,01	0,18	0,00	1,11	-0,03
B13	CS4 - Obdélník	0,000	LC26	0,00	0,00	0,00	0,00	0,00	0,00
B13	CS4 - Obdélník	0,000	LC27	0,00	0,00	0,00	0,00	0,00	0,00
B13	CS4 - Obdélník	0,000	LC28	0,00	0,00	0,00	0,00	0,00	0,00
B13	CS4 - Obdélník	0,000	LC29	0,00	0,00	0,00	0,00	0,00	0,00
B13	CS4 - Obdélník	0,000	LC30	-0,12	0,02	-0,09	-0,02	0,27	-0,01
B13	CS4 - Obdélník	0,000	LC31	-0,50	0,07	-0,08	0,24	0,23	0,01
B13	CS4 - Obdélník	0,000	LC32	-3,32	-0,34	0,09	0,33	1,25	-0,01
B13	CS4 - Obdélník	0,000	LC33	-7,52	-0,54	0,13	0,34	1,83	-0,02
B13	CS4 - Obdélník	0,000	LC34	-0,01	0,06	-0,05	0,16	0,12	0,01
B13	CS4 - Obdélník	0,000	LC35	-0,93	-0,18	0,06	0,22	0,69	-0,01
B13	CS4 - Obdélník	0,000	LC36	-7,27	-0,46	0,12	0,24	1,54	-0,02
B13	CS4 - Obdélník	0,000	LC37	-0,20	0,02	-0,08	-0,04	0,22	-0,01

Prvek	css	dx [m]	Stav	N [kN]	Vy [kN]	Vz [kN]	Mx [kNm]	My [kNm]	Mz [kNm]
B13	CS4 - Obdélník	0,860	LC1	-1,59	0,35	-1,67	-0,95	1,39	0,04
B13	CS4 - Obdélník	0,860	LC2	0,03	0,30	-2,14	-1,20	2,29	-0,01
B13	CS4 - Obdélník	0,860	LC3	-0,03	0,05	-0,47	-0,18	0,54	-0,01
B13	CS4 - Obdélník	0,860	LC4	-1,03	0,06	-0,02	0,20	0,03	0,02
B13	CS4 - Obdélník	0,860	LC5	-1,73	0,59	-0,04	-0,69	-1,67	0,06
B13	CS4 - Obdélník	0,860	LC6	0,04	0,07	-0,44	-0,23	0,50	-0,01
B13	CS4 - Obdélník	0,860	LC7	-2,16	-0,34	-0,29	0,49	1,17	-0,11
B13	CS4 - Obdélník	0,860	LC8	-3,73	-0,47	-0,50	0,59	1,79	-0,21
B13	CS4 - Obdélník	0,860	LC9	-0,49	0,05	0,01	0,13	0,00	0,02
B13	CS4 - Obdélník	0,860	LC10	-0,84	-0,20	-0,13	0,31	0,63	-0,05
B13	CS4 - Obdélník	0,860	LC11	-3,24	-0,37	-0,44	0,46	1,55	-0,20
B13	CS4 - Obdélník	0,860	LC12	4,28	0,79	-1,73	-1,98	-2,25	0,04
B13	CS4 - Obdélník	0,860	LC13	0,67	0,07	-3,18	-0,63	11,65	-0,03
B13	CS4 - Obdélník	0,860	LC15	0,00	0,03	-0,18	-0,08	0,20	0,00
B13	CS4 - Obdélník	0,860	LC16	-0,15	0,01	0,00	0,03	0,00	0,00
B13	CS4 - Obdélník	0,860	LC17	-0,22	0,07	-0,01	-0,09	-0,21	0,01
B13	CS4 - Obdélník	0,860	LC18	0,02	0,03	-0,17	-0,09	0,19	0,00
B13	CS4 - Obdélník	0,860	LC19	-0,30	-0,05	-0,04	0,08	0,18	-0,02
B13	CS4 - Obdélník	0,860	LC20	-0,70	-0,08	-0,09	0,11	0,33	-0,04
B13	CS4 - Obdélník	0,860	LC21	-0,15	0,01	0,00	0,03	0,00	0,00
B13	CS4 - Obdélník	0,860	LC22	-0,30	-0,05	-0,04	0,08	0,18	-0,02
B13	CS4 - Obdélník	0,860	LC23	-0,70	-0,08	-0,09	0,11	0,33	-0,04
B13	CS4 - Obdélník	0,860	LC24	0,53	0,10	-0,22	-0,25	-0,28	0,00
B13	CS4 - Obdélník	0,860	LC25	0,08	0,01	-0,40	-0,08	1,46	0,00
B13	CS4 - Obdélník	0,860	LC26	0,00	0,00	0,00	0,00	0,00	0,00
B13	CS4 - Obdélník	0,860	LC27	0,00	0,00	0,00	0,00	0,00	0,00
B13	CS4 - Obdélník	0,860	LC28	0,00	0,00	0,00	0,00	0,00	0,00
B13	CS4 - Obdélník	0,860	LC29	0,00	0,00	0,00	0,00	0,00	0,00
B13	CS4 - Obdélník	0,860	LC30	-0,01	0,01	-0,14	-0,05	0,16	0,00
B13	CS4 - Obdélník	0,860	LC31	-0,72	0,04	-0,02	0,14	0,02	0,01
B13	CS4 - Obdélník	0,860	LC32	-1,51	-0,24	-0,20	0,35	0,82	-0,08
B13	CS4 - Obdélník	0,860	LC33	-2,61	-0,33	-0,35	0,42	1,26	-0,15
B13	CS4 - Obdélník	0,860	LC34	-0,34	0,03	0,00	0,09	0,00	0,01
B13	CS4 - Obdélník	0,860	LC35	-0,59	-0,14	-0,09	0,22	0,44	-0,04
B13	CS4 - Obdélník	0,860	LC36	-2,26	-0,26	-0,31	0,32	1,08	-0,14
B13	CS4 - Obdélník	0,860	LC37	0,01	0,02	-0,13	-0,07	0,15	0,00
B13	CS4 - Obdélník	0,860	LC1	-1,59	0,35	-1,67	-0,95	1,39	0,04
B13	CS4 - Obdélník	0,860	LC2	0,03	0,30	-2,14	-1,20	2,29	-0,01
B13	CS4 - Obdélník	0,860	LC3	-0,03	0,05	-0,47	-0,18	0,54	-0,01
B13	CS4 - Obdélník	0,860	LC4	-1,03	0,06	-0,02	0,20	0,03	0,02
B13	CS4 - Obdélník	0,860	LC5	-1,73	0,59	-0,04	-0,69	-1,67	0,06
B13	CS4 - Obdélník	0,860	LC6	0,04	0,07	-0,44	-0,23	0,50	-0,01
B13	CS4 - Obdélník	0,860	LC7	-2,16	-0,34	-0,29	0,49	1,17	-0,11
B13	CS4 - Obdélník	0,860	LC8	-3,73	-0,47	-0,50	0,59	1,79	-0,21
B13	CS4 - Obdélník	0,860	LC9	-0,49	0,05	0,01	0,13	0,00	0,02
B13	CS4 - Obdélník	0,860	LC10	-0,84	-0,20	-0,13	0,31	0,63	-0,05
B13	CS4 - Obdélník	0,860	LC11	-3,24	-0,37	-0,44	0,46	1,55	-0,20
B13	CS4 - Obdélník	0,860	LC12	4,28	0,79	-1,73	-1,98	-2,25	0,04
B13	CS4 - Obdélník	0,860	LC13	0,67	0,07	-3,18	-0,63	11,65	-0,03
B13	CS4 - Obdélník	0,860	LC15	0,00	0,03	-0,18	-0,08	0,20	0,00
B13	CS4 - Obdélník	0,860	LC16	-0,15	0,01	0,00	0,03	0,00	0,00
B13	CS4 - Obdélník	0,860	LC17	-0,22	0,07	-0,01	-0,09	-0,21	0,01
B13	CS4 - Obdélník	0,860	LC18	0,02	0,03	-0,17	-0,09	0,19	0,00
B13	CS4 - Obdélník	0,860	LC19	-0,30	-0,05	-0,04	0,08	0,18	-0,02
B13	CS4 - Obdélník	0,860	LC20	-0,70	-0,08	-0,09	0,11	0,33	-0,04
B13	CS4 - Obdélník	0,860	LC21	-0,15	0,01	0,00	0,03	0,00	0,00
B13	CS4 - Obdélník	0,860	LC22	-0,30	-0,05	-0,04	0,08	0,18	-0,02
B13	CS4 - Obdélník	0,860	LC23	-0,70	-0,08	-0,09	0,11	0,33	-0,04
B13	CS4 - Obdélník	0,860	LC24	0,53	0,10	-0,22	-0,25	-0,28	0,00
B13	CS4 - Obdélník	0,860	LC25	0,08	0,01	-0,40	-0,08	1,46	0,00
B13	CS4 - Obdélník	0,860	LC26	0,00	0,00	0,00	0,00	0,00	0,00
B13	CS4 - Obdélník	0,860	LC27	0,00	0,00	0,00	0,00	0,00	0,00
B13	CS4 - Obdélník	0,860	LC28	0,00	0,00	0,00	0,00	0,00	0,00
B13	CS4 - Obdélník	0,860	LC29	0,00	0,00	0,00	0,00	0,00	0,00
B13	CS4 - Obdélník	0,860	LC30	-0,01	0,01	-0,14	-0,05	0,16	0,00
B13	CS4 - Obdélník	0,860	LC31	-0,72	0,04	-0,02	0,14	0,02	0,01

Prvek	css	dx [m]	Stav	N [kN]	Vy [kN]	Vz [kN]	Mx [kNm]	My [kNm]	Mz [kNm]
B13	CS4 - Obdélník	0,860	LC32	-1,51	-0,24	-0,20	0,35	0,82	-0,08
B13	CS4 - Obdélník	0,860	LC33	-2,61	-0,33	-0,35	0,42	1,26	-0,15
B13	CS4 - Obdélník	0,860	LC34	-0,34	0,03	0,00	0,09	0,00	0,01
B13	CS4 - Obdélník	0,860	LC35	-0,59	-0,14	-0,09	0,22	0,44	-0,04
B13	CS4 - Obdélník	0,860	LC36	-2,26	-0,26	-0,31	0,32	1,08	-0,14
B13	CS4 - Obdélník	0,860	LC37	0,01	0,02	-0,13	-0,07	0,15	0,00
B13	CS4 - Obdélník	1,720	LC1	2,05	-0,76	-2,58	-1,26	0,15	0,28
B13	CS4 - Obdélník	1,720	LC2	3,48	-0,96	-3,29	-1,43	0,20	0,27
B13	CS4 - Obdélník	1,720	LC3	0,60	-0,19	-0,65	-0,25	0,05	0,05
B13	CS4 - Obdélník	1,720	LC4	-0,57	0,04	0,07	0,09	-0,01	0,00
B13	CS4 - Obdélník	1,720	LC5	0,28	0,06	0,00	-0,48	-1,10	0,05
B13	CS4 - Obdélník	1,720	LC6	0,71	-0,18	-0,64	-0,27	0,06	0,05
B13	CS4 - Obdélník	1,720	LC7	-0,88	-0,08	-0,22	0,32	0,53	-0,01
B13	CS4 - Obdélník	1,720	LC8	-0,91	-0,12	-0,47	0,39	0,75	-0,01
B13	CS4 - Obdélník	1,720	LC9	-0,33	0,04	0,07	0,06	0,00	0,00
B13	CS4 - Obdélník	1,720	LC10	-0,51	-0,04	-0,08	0,20	0,31	-0,01
B13	CS4 - Obdélník	1,720	LC11	-0,58	-0,09	-0,44	0,30	0,64	-0,01
B13	CS4 - Obdélník	1,720	LC12	3,70	-0,51	-1,29	-1,66	-2,61	0,18
B13	CS4 - Obdélník	1,720	LC13	6,49	-1,64	-6,71	-1,03	4,51	0,42
B13	CS4 - Obdélník	1,720	LC15	0,25	-0,07	-0,26	-0,11	0,02	0,02
B13	CS4 - Obdélník	1,720	LC16	-0,09	0,01	0,01	0,02	0,00	0,00
B13	CS4 - Obdélník	1,720	LC17	0,03	0,01	0,00	-0,06	-0,14	0,01
B13	CS4 - Obdélník	1,720	LC18	0,28	-0,07	-0,25	-0,11	0,02	0,02
B13	CS4 - Obdélník	1,720	LC19	-0,14	-0,01	-0,03	0,05	0,08	0,00
B13	CS4 - Obdélník	1,720	LC20	-0,15	-0,02	-0,09	0,07	0,14	0,00
B13	CS4 - Obdélník	1,720	LC21	-0,09	0,01	0,01	0,02	0,00	0,00
B13	CS4 - Obdélník	1,720	LC22	-0,14	-0,01	-0,03	0,05	0,08	0,00
B13	CS4 - Obdélník	1,720	LC23	-0,15	-0,02	-0,09	0,07	0,14	0,00
B13	CS4 - Obdélník	1,720	LC24	0,46	-0,06	-0,16	-0,21	-0,33	0,02
B13	CS4 - Obdélník	1,720	LC25	0,81	-0,21	-0,84	-0,13	0,56	0,05
B13	CS4 - Obdélník	1,720	LC26	0,00	0,00	0,00	0,00	0,00	0,00
B13	CS4 - Obdélník	1,720	LC27	0,00	0,00	0,00	0,00	0,00	0,00
B13	CS4 - Obdélník	1,720	LC28	0,00	0,00	0,00	0,00	0,00	0,00
B13	CS4 - Obdélník	1,720	LC29	0,00	0,00	0,00	0,00	0,00	0,00
B13	CS4 - Obdélník	1,720	LC30	0,17	-0,06	-0,19	-0,07	0,02	0,02
B13	CS4 - Obdélník	1,720	LC31	-0,40	0,03	0,05	0,07	0,00	0,00
B13	CS4 - Obdélník	1,720	LC32	-0,61	-0,05	-0,16	0,22	0,37	-0,01
B13	CS4 - Obdélník	1,720	LC33	-0,64	-0,08	-0,33	0,27	0,53	-0,01
B13	CS4 - Obdélník	1,720	LC34	-0,23	0,02	0,05	0,04	0,00	0,00
B13	CS4 - Obdélník	1,720	LC35	-0,36	-0,03	-0,06	0,14	0,22	-0,01
B13	CS4 - Obdélník	1,720	LC36	-0,41	-0,06	-0,31	0,21	0,45	-0,01
B13	CS4 - Obdélník	1,720	LC37	0,21	-0,05	-0,18	-0,08	0,02	0,02
B13	CS4 - Obdélník	1,720	LC1	2,05	-0,76	-2,58	-1,26	0,15	0,28
B13	CS4 - Obdélník	1,720	LC2	3,48	-0,96	-3,29	-1,43	0,20	0,27
B13	CS4 - Obdélník	1,720	LC3	0,60	-0,19	-0,65	-0,25	0,05	0,05
B13	CS4 - Obdélník	1,720	LC4	-0,57	0,04	0,07	0,09	-0,01	0,00
B13	CS4 - Obdélník	1,720	LC5	0,28	0,06	0,00	-0,48	-1,10	0,05
B13	CS4 - Obdélník	1,720	LC6	0,71	-0,18	-0,64	-0,27	0,06	0,05
B13	CS4 - Obdélník	1,720	LC7	-0,88	-0,08	-0,22	0,32	0,53	-0,01
B13	CS4 - Obdélník	1,720	LC8	-0,91	-0,12	-0,47	0,39	0,75	-0,01
B13	CS4 - Obdélník	1,720	LC9	-0,33	0,04	0,07	0,06	0,00	0,00
B13	CS4 - Obdélník	1,720	LC10	-0,51	-0,04	-0,08	0,20	0,31	-0,01
B13	CS4 - Obdélník	1,720	LC11	-0,58	-0,09	-0,44	0,30	0,64	-0,01
B13	CS4 - Obdélník	1,720	LC12	3,70	-0,51	-1,29	-1,66	-2,61	0,18
B13	CS4 - Obdélník	1,720	LC13	6,49	-1,64	-6,71	-1,03	4,51	0,42
B13	CS4 - Obdélník	1,720	LC15	0,25	-0,07	-0,26	-0,11	0,02	0,02
B13	CS4 - Obdélník	1,720	LC16	-0,09	0,01	0,01	0,02	0,00	0,00
B13	CS4 - Obdélník	1,720	LC17	0,03	0,01	0,00	-0,06	-0,14	0,01
B13	CS4 - Obdélník	1,720	LC18	0,28	-0,07	-0,25	-0,11	0,02	0,02
B13	CS4 - Obdélník	1,720	LC19	-0,14	-0,01	-0,03	0,05	0,08	0,00
B13	CS4 - Obdélník	1,720	LC20	-0,15	-0,02	-0,09	0,07	0,14	0,00
B13	CS4 - Obdélník	1,720	LC21	-0,09	0,01	0,01	0,02	0,00	0,00
B13	CS4 - Obdélník	1,720	LC22	-0,14	-0,01	-0,03	0,05	0,08	0,00
B13	CS4 - Obdélník	1,720	LC23	-0,15	-0,02	-0,09	0,07	0,14	0,00
B13	CS4 - Obdélník	1,720	LC24	0,46	-0,06	-0,16	-0,21	-0,33	0,02
B13	CS4 - Obdélník	1,720	LC25	0,81	-0,21	-0,84	-0,13	0,56	0,05

Prvek	css	dx [m]	Stav	N [kN]	Vy [kN]	Vz [kN]	Mx [kNm]	My [kNm]	Mz [kNm]
B13	CS4 - Obdélník	1,720	LC26	0,00	0,00	0,00	0,00	0,00	0,00
B13	CS4 - Obdélník	1,720	LC27	0,00	0,00	0,00	0,00	0,00	0,00
B13	CS4 - Obdélník	1,720	LC28	0,00	0,00	0,00	0,00	0,00	0,00
B13	CS4 - Obdélník	1,720	LC29	0,00	0,00	0,00	0,00	0,00	0,00
B13	CS4 - Obdélník	1,720	LC30	0,17	-0,06	-0,19	-0,07	0,02	0,02
B13	CS4 - Obdélník	1,720	LC31	-0,40	0,03	0,05	0,07	0,00	0,00
B13	CS4 - Obdélník	1,720	LC32	-0,61	-0,05	-0,16	0,22	0,37	-0,01
B13	CS4 - Obdélník	1,720	LC33	-0,64	-0,08	-0,33	0,27	0,53	-0,01
B13	CS4 - Obdélník	1,720	LC34	-0,23	0,02	0,05	0,04	0,00	0,00
B13	CS4 - Obdélník	1,720	LC35	-0,36	-0,03	-0,06	0,14	0,22	-0,01
B13	CS4 - Obdélník	1,720	LC36	-0,41	-0,06	-0,31	0,21	0,45	-0,01
B13	CS4 - Obdélník	1,720	LC37	0,21	-0,05	-0,18	-0,08	0,02	0,02
B13	CS4 - Obdélník	2,580	LC1	8,96	-2,62	-3,77	-1,42	-2,19	-0,71
B13	CS4 - Obdélník	2,580	LC2	10,36	-3,13	-4,74	-1,43	-3,45	-0,92
B13	CS4 - Obdélník	2,580	LC3	1,93	-0,63	-0,86	-0,27	-0,67	-0,19
B13	CS4 - Obdélník	2,580	LC4	0,01	0,05	0,11	0,02	0,03	0,00
B13	CS4 - Obdélník	2,580	LC5	2,68	-0,56	-0,25	-0,23	-0,85	-0,29
B13	CS4 - Obdélník	2,580	LC6	1,98	-0,62	-0,88	-0,27	-0,66	-0,18
B13	CS4 - Obdélník	2,580	LC7	-1,14	0,00	0,09	0,07	0,27	0,04
B13	CS4 - Obdélník	2,580	LC8	-1,37	-0,17	-0,02	0,06	0,25	-0,02
B13	CS4 - Obdélník	2,580	LC9	-0,03	0,05	0,08	0,02	0,04	0,01
B13	CS4 - Obdélník	2,580	LC10	-0,79	0,05	0,09	0,06	0,20	0,04
B13	CS4 - Obdélník	2,580	LC11	-1,10	-0,20	-0,07	0,04	0,17	-0,04
B13	CS4 - Obdélník	2,580	LC12	7,50	-2,31	-1,62	-1,01	-3,28	-0,83
B13	CS4 - Obdélník	2,580	LC13	16,99	-4,83	-7,73	-1,66	-6,52	-1,33
B13	CS4 - Obdélník	2,580	LC15	0,79	-0,25	-0,35	-0,11	-0,27	-0,07
B13	CS4 - Obdélník	2,580	LC16	0,00	0,01	0,02	0,00	0,01	0,00
B13	CS4 - Obdélník	2,580	LC17	0,34	-0,07	-0,03	-0,03	-0,11	-0,04
B13	CS4 - Obdélník	2,580	LC18	0,80	-0,25	-0,35	-0,11	-0,27	-0,07
B13	CS4 - Obdélník	2,580	LC19	-0,19	0,00	0,02	0,01	0,05	0,01
B13	CS4 - Obdélník	2,580	LC20	-0,25	-0,04	-0,01	0,01	0,04	-0,01
B13	CS4 - Obdélník	2,580	LC21	0,00	0,01	0,02	0,00	0,01	0,00
B13	CS4 - Obdélník	2,580	LC22	-0,19	0,00	0,02	0,01	0,05	0,01
B13	CS4 - Obdélník	2,580	LC23	-0,25	-0,04	-0,01	0,01	0,04	-0,01
B13	CS4 - Obdélník	2,580	LC24	0,94	-0,29	-0,20	-0,13	-0,41	-0,10
B13	CS4 - Obdélník	2,580	LC25	2,12	-0,60	-0,97	-0,21	-0,82	-0,17
B13	CS4 - Obdélník	2,580	LC26	0,00	0,00	0,00	0,00	0,00	0,00
B13	CS4 - Obdélník	2,580	LC27	0,00	0,00	0,00	0,00	0,00	0,00
B13	CS4 - Obdélník	2,580	LC28	0,00	0,00	0,00	0,00	0,00	0,00
B13	CS4 - Obdélník	2,580	LC29	0,00	0,00	0,00	0,00	0,00	0,00
B13	CS4 - Obdélník	2,580	LC30	0,55	-0,18	-0,25	-0,08	-0,19	-0,05
B13	CS4 - Obdélník	2,580	LC31	0,01	0,04	0,08	0,01	0,02	0,00
B13	CS4 - Obdélník	2,580	LC32	-0,80	0,00	0,06	0,05	0,19	0,03
B13	CS4 - Obdélník	2,580	LC33	-0,96	-0,12	-0,02	0,04	0,17	-0,01
B13	CS4 - Obdélník	2,580	LC34	-0,02	0,04	0,06	0,01	0,03	0,00
B13	CS4 - Obdélník	2,580	LC35	-0,55	0,03	0,07	0,04	0,14	0,03
B13	CS4 - Obdélník	2,580	LC36	-0,77	-0,14	-0,05	0,03	0,12	-0,03
B13	CS4 - Obdélník	2,580	LC37	0,57	-0,18	-0,25	-0,08	-0,19	-0,05
B14	CS6 - Obdélník	0,000	LC1	-18,76	-10,09	-3,00	-5,54	-2,56	13,65
B14	CS6 - Obdélník	0,000	LC2	-12,05	-10,46	-19,26	-8,25	10,54	12,57
B14	CS6 - Obdélník	0,000	LC3	-5,91	0,52	-8,59	-3,35	4,88	0,29
B14	CS6 - Obdélník	0,000	LC4	-5,18	9,83	2,58	-5,61	-7,45	-10,67
B14	CS6 - Obdélník	0,000	LC5	-12,19	<b>-44,60</b>	25,76	-5,71	-34,09	56,79
B14	CS6 - Obdélník	0,000	LC6	-2,85	-2,89	-6,01	-2,08	3,43	3,27
B14	CS6 - Obdélník	0,000	LC7	6,02	-1,66	-25,35	-5,08	13,57	0,00
B14	CS6 - Obdélník	0,000	LC8	37,59	-12,92	30,66	-0,03	-36,18	8,41
B14	CS6 - Obdélník	0,000	LC9	-6,54	8,97	-4,38	-4,07	0,51	-9,39
B14	CS6 - Obdélník	0,000	LC10	-10,19	1,95	-46,48	-6,16	<b>34,75</b>	-2,04
B14	CS6 - Obdélník	0,000	LC11	37,58	-15,63	38,53	1,32	-40,90	11,21
B14	CS6 - Obdélník	0,000	LC12	13,02	-7,57	13,68	-5,20	-13,84	2,92
B14	CS6 - Obdélník	0,000	LC13	2,80	11,71	-6,10	-1,55	4,32	-13,91
B14	CS6 - Obdélník	0,000	LC15	-1,69	-0,20	-2,34	-1,04	1,17	0,47
B14	CS6 - Obdélník	0,000	LC16	-1,17	1,88	-0,18	-0,97	-0,69	-2,01
B14	CS6 - Obdélník	0,000	LC17	-1,52	-5,57	3,22	-0,71	-4,26	7,10
B14	CS6 - Obdélník	0,000	LC18	-0,99	-0,99	-1,74	-0,75	0,84	1,15
B14	CS6 - Obdélník	0,000	LC19	-0,42	0,03	-7,18	-1,12	4,83	-0,20

Prvek	css	dx [m]	Stav	N [kN]	Vy [kN]	Vz [kN]	Mx [kNm]	My [kNm]	Mz [kNm]
B14	CS6 - Obdélník	0,000	LC20	7,52	-2,85	6,92	0,13	-7,71	1,96
B14	CS6 - Obdélník	0,000	LC21	-1,17	1,88	-0,18	-0,97	-0,69	-2,01
B14	CS6 - Obdélník	0,000	LC22	-0,42	0,03	-7,18	-1,12	4,83	-0,20
B14	CS6 - Obdélník	0,000	LC23	7,52	-2,85	6,92	0,13	-7,71	1,96
B14	CS6 - Obdélník	0,000	LC24	1,63	-0,95	1,71	-0,65	-1,73	0,36
B14	CS6 - Obdélník	0,000	LC25	0,35	1,46	-0,76	-0,19	0,54	-1,74
B14	CS6 - Obdélník	0,000	LC26	-0,02	0,01	-0,03	-0,01	0,02	-0,01
B14	CS6 - Obdélník	0,000	LC27	0,00	-0,01	-0,02	0,00	0,02	0,01
B14	CS6 - Obdélník	0,000	LC28	-0,01	0,01	-0,02	0,00	0,01	-0,01
B14	CS6 - Obdélník	0,000	LC29	0,00	0,00	-0,01	0,00	0,01	0,00
B14	CS6 - Obdélník	0,000	LC30	-1,77	0,19	-2,58	-0,99	1,48	0,05
B14	CS6 - Obdélník	0,000	LC31	-3,63	6,88	1,80	-3,93	-5,21	-7,47
B14	CS6 - Obdélník	0,000	LC32	4,21	-1,16	-17,74	-3,56	9,50	0,00
B14	CS6 - Obdélník	0,000	LC33	26,31	-9,04	21,46	-0,02	-25,32	5,89
B14	CS6 - Obdélník	0,000	LC34	-4,58	6,28	-3,07	-2,85	0,36	-6,57
B14	CS6 - Obdélník	0,000	LC35	-7,13	1,37	-32,53	-4,32	24,32	-1,43
B14	CS6 - Obdélník	0,000	LC36	26,31	-10,94	26,97	0,92	-28,63	7,85
B14	CS6 - Obdélník	0,000	LC37	-0,84	-0,85	-1,80	-0,61	1,04	0,96
B14	CS6 - Obdélník	0,927	LC1	-9,49	-10,09	-3,00	-5,54	-5,34	4,29
B14	CS6 - Obdélník	0,927	LC2	-12,05	-10,46	-19,26	-8,25	-7,31	2,87
B14	CS6 - Obdélník	0,927	LC3	-5,91	0,52	-8,59	-3,35	-3,09	0,77
B14	CS6 - Obdélník	0,927	LC4	-5,18	9,83	2,58	-5,61	-5,06	-1,56
B14	CS6 - Obdélník	0,927	LC5	-12,19	-44,60	25,76	-5,71	-10,22	15,45
B14	CS6 - Obdélník	0,927	LC6	-2,85	-2,89	-6,01	-2,08	-2,14	0,59
B14	CS6 - Obdélník	0,927	LC7	6,02	-1,66	-25,35	-5,08	-9,92	-1,53
B14	CS6 - Obdélník	0,927	LC8	37,59	-12,92	30,66	-0,03	-7,75	-3,56
B14	CS6 - Obdélník	0,927	LC9	-6,54	8,97	-4,38	-4,07	-3,55	-1,08
B14	CS6 - Obdélník	0,927	LC10	-10,19	1,95	-46,48	-6,16	-8,34	-0,23
B14	CS6 - Obdélník	0,927	LC11	37,58	-15,63	38,53	1,32	-5,18	-3,28
B14	CS6 - Obdélník	0,927	LC12	13,02	-7,57	13,68	-5,20	-1,16	-4,10
B14	CS6 - Obdélník	0,927	LC13	2,80	11,71	-6,10	-1,55	-1,34	-3,05
B14	CS6 - Obdélník	0,927	LC15	-1,69	-0,20	-2,34	-1,04	-0,99	0,28
B14	CS6 - Obdélník	0,927	LC16	-1,17	1,88	-0,18	-0,97	-0,86	-0,26
B14	CS6 - Obdélník	0,927	LC17	-1,52	-5,57	3,22	-0,71	-1,28	1,93
B14	CS6 - Obdélník	0,927	LC18	-0,99	-0,99	-1,74	-0,75	-0,77	0,24
B14	CS6 - Obdélník	0,927	LC19	-0,42	0,03	-7,18	-1,12	-1,83	-0,18
B14	CS6 - Obdélník	0,927	LC20	7,52	-2,85	6,92	0,13	-1,29	-0,68
B14	CS6 - Obdélník	0,927	LC21	-1,17	1,88	-0,18	-0,97	-0,86	-0,26
B14	CS6 - Obdélník	0,927	LC22	-0,42	0,03	-7,18	-1,12	-1,83	-0,18
B14	CS6 - Obdélník	0,927	LC23	7,52	-2,85	6,92	0,13	-1,29	-0,68
B14	CS6 - Obdélník	0,927	LC24	1,63	-0,95	1,71	-0,65	-0,14	-0,51
B14	CS6 - Obdélník	0,927	LC25	0,35	1,46	-0,76	-0,19	-0,17	-0,38
B14	CS6 - Obdélník	0,927	LC26	-0,02	0,01	-0,03	-0,01	-0,01	0,00
B14	CS6 - Obdélník	0,927	LC27	0,00	-0,01	-0,02	0,00	0,00	0,00
B14	CS6 - Obdélník	0,927	LC28	-0,01	0,01	-0,02	0,00	0,00	0,00
B14	CS6 - Obdélník	0,927	LC29	0,00	0,00	-0,01	0,00	0,00	0,00
B14	CS6 - Obdélník	0,927	LC30	-1,77	0,19	-2,58	-0,99	-0,91	0,23
B14	CS6 - Obdélník	0,927	LC31	-3,63	6,88	1,80	-3,93	-3,54	-1,09
B14	CS6 - Obdélník	0,927	LC32	4,21	-1,16	-17,74	-3,56	-6,95	-1,07
B14	CS6 - Obdélník	0,927	LC33	26,31	-9,04	21,46	-0,02	-5,43	-2,49
B14	CS6 - Obdélník	0,927	LC34	-4,58	6,28	-3,07	-2,85	-2,48	-0,75
B14	CS6 - Obdélník	0,927	LC35	-7,13	1,37	-32,53	-4,32	-5,84	-0,16
B14	CS6 - Obdélník	0,927	LC36	26,31	-10,94	26,97	0,92	-3,63	-2,29
B14	CS6 - Obdélník	0,927	LC37	-0,84	-0,85	-1,80	-0,61	-0,63	0,17
B15	CS6 - Obdélník	0,000	LC1	-44,83	-9,15	20,35	0,91	-11,45	24,03
B15	CS6 - Obdélník	0,000	LC2	-41,55	-1,21	34,03	2,11	-20,11	17,23
B15	CS6 - Obdélník	0,000	LC3	-11,82	2,50	8,67	1,06	-4,84	1,02
B15	CS6 - Obdélník	0,000	LC4	1,93	1,37	-0,81	1,14	2,44	-1,57
B15	CS6 - Obdélník	0,000	LC5	6,89	3,37	1,60	1,91	2,02	-1,95
B15	CS6 - Obdélník	0,000	LC6	-9,81	0,90	8,20	0,52	-5,16	2,55
B15	CS6 - Obdélník	0,000	LC7	-29,30	34,01	24,37	4,04	-18,61	-34,02
B15	CS6 - Obdélník	0,000	LC8	-52,64	<b>60,56</b>	<b>51,03</b>	6,34	-41,33	<b>-59,83</b>
B15	CS6 - Obdélník	0,000	LC9	2,47	-0,49	-1,53	0,46	2,35	0,26
B15	CS6 - Obdélník	0,000	LC10	-14,60	16,34	11,49	1,97	-8,34	-16,54
B15	CS6 - Obdélník	0,000	LC11	-47,95	54,62	49,96	5,32	-41,20	-53,76
B15	CS6 - Obdélník	0,000	LC12	-5,79	-15,60	6,66	3,13	3,78	23,79



Prvek	css	dx [m]	Stav	N [kN]	Vy [kN]	Vz [kN]	Mx [kNm]	My [kNm]	Mz [kNm]
B15	CS6 - Obdélník	0,000	LC13	-100,62	-19,83	38,83	-1,66	-20,46	<b>69,67</b>
B15	CS6 - Obdélník	0,000	LC15	-4,06	0,41	2,91	0,32	-1,58	0,98
B15	CS6 - Obdélník	0,000	LC16	0,44	0,09	-0,23	0,16	0,48	-0,13
B15	CS6 - Obdélník	0,000	LC17	0,86	0,42	0,20	0,24	0,25	-0,24
B15	CS6 - Obdélník	0,000	LC18	-3,60	0,04	2,81	0,20	-1,66	1,33
B15	CS6 - Obdélník	0,000	LC19	-4,39	5,04	3,59	0,60	-2,70	-5,06
B15	CS6 - Obdélník	0,000	LC20	-10,06	11,52	10,10	1,17	-8,25	-11,36
B15	CS6 - Obdélník	0,000	LC21	0,44	0,09	-0,23	0,16	0,48	-0,13
B15	CS6 - Obdélník	0,000	LC22	-4,39	5,04	3,59	0,60	-2,70	-5,06
B15	CS6 - Obdélník	0,000	LC23	-10,06	11,52	10,10	1,17	-8,25	-11,36
B15	CS6 - Obdélník	0,000	LC24	-0,72	-1,95	0,83	0,39	0,47	2,97
B15	CS6 - Obdélník	0,000	LC25	-12,58	-2,48	4,85	-0,21	-2,56	8,71
B15	CS6 - Obdélník	0,000	LC26	-0,02	0,02	0,02	0,00	-0,01	-0,02
B15	CS6 - Obdélník	0,000	LC27	-0,01	0,01	0,02	0,00	-0,01	-0,01
B15	CS6 - Obdélník	0,000	LC28	-0,01	0,01	0,01	0,00	-0,01	-0,01
B15	CS6 - Obdélník	0,000	LC29	-0,01	0,01	0,01	0,00	-0,01	-0,01
B15	CS6 - Obdélník	0,000	LC30	-3,47	0,78	2,55	0,32	-1,43	0,24
B15	CS6 - Obdélník	0,000	LC31	1,35	0,96	-0,57	0,80	1,71	-1,10
B15	CS6 - Obdélník	0,000	LC32	-20,51	23,81	17,06	2,83	-13,03	-23,81
B15	CS6 - Obdélník	0,000	LC33	-36,85	42,39	35,72	4,44	-28,93	-41,88
B15	CS6 - Obdélník	0,000	LC34	1,73	-0,34	-1,07	0,32	1,65	0,18
B15	CS6 - Obdélník	0,000	LC35	-10,22	11,44	8,04	1,38	-5,84	-11,58
B15	CS6 - Obdélník	0,000	LC36	-33,56	38,24	34,97	3,72	-28,84	-37,63
B15	CS6 - Obdélník	0,000	LC37	-2,86	0,29	2,41	0,15	-1,52	0,70
B15	CS6 - Obdélník	0,930	LC1	-35,53	-9,15	20,35	0,91	7,48	15,52
B15	CS6 - Obdélník	0,930	LC2	-41,55	-1,21	34,03	2,11	11,54	16,10
B15	CS6 - Obdélník	0,930	LC3	-11,82	2,50	8,67	1,06	3,23	3,35
B15	CS6 - Obdélník	0,930	LC4	1,93	1,37	-0,81	1,14	1,68	-0,30
B15	CS6 - Obdélník	0,930	LC5	6,89	3,37	1,60	1,91	3,51	1,18
B15	CS6 - Obdélník	0,930	LC6	-9,81	0,90	8,20	0,52	2,47	3,39
B15	CS6 - Obdélník	0,930	LC7	-29,30	34,01	24,37	4,04	4,05	-2,39
B15	CS6 - Obdélník	0,930	LC8	-52,64	60,56	51,03	6,34	6,13	-3,51
B15	CS6 - Obdélník	0,930	LC9	2,47	-0,49	-1,53	0,46	0,93	-0,19
B15	CS6 - Obdélník	0,930	LC10	-14,60	16,34	11,49	1,97	2,34	-1,34
B15	CS6 - Obdélník	0,930	LC11	-47,95	54,62	49,96	5,32	5,26	-2,96
B15	CS6 - Obdélník	0,930	LC12	-5,79	-15,60	6,66	3,13	9,97	9,28
B15	CS6 - Obdélník	0,930	LC13	-100,62	-19,83	38,83	-1,66	15,65	51,22
B15	CS6 - Obdélník	0,930	LC15	-4,06	0,41	2,91	0,32	1,13	1,36
B15	CS6 - Obdélník	0,930	LC16	0,44	0,09	-0,23	0,16	0,26	-0,05
B15	CS6 - Obdélník	0,930	LC17	0,86	0,42	0,20	0,24	0,44	0,15
B15	CS6 - Obdélník	0,930	LC18	-3,60	0,04	2,81	0,20	0,95	1,37
B15	CS6 - Obdélník	0,930	LC19	-4,39	5,04	3,59	0,60	0,64	-0,37
B15	CS6 - Obdélník	0,930	LC20	-10,06	11,52	10,10	1,17	1,14	-0,65
B15	CS6 - Obdélník	0,930	LC21	0,44	0,09	-0,23	0,16	0,26	-0,05
B15	CS6 - Obdélník	0,930	LC22	-4,39	5,04	3,59	0,60	0,64	-0,37
B15	CS6 - Obdélník	0,930	LC23	-10,06	11,52	10,10	1,17	1,14	-0,65
B15	CS6 - Obdélník	0,930	LC24	-0,72	-1,95	0,83	0,39	1,25	1,16
B15	CS6 - Obdélník	0,930	LC25	-12,58	-2,48	4,85	-0,21	1,96	6,40
B15	CS6 - Obdélník	0,930	LC26	-0,02	0,02	0,02	0,00	0,00	0,00
B15	CS6 - Obdélník	0,930	LC27	-0,01	0,01	0,02	0,00	0,00	0,00
B15	CS6 - Obdélník	0,930	LC28	-0,01	0,01	0,01	0,00	0,00	0,00
B15	CS6 - Obdélník	0,930	LC29	-0,01	0,01	0,01	0,00	0,00	0,00
B15	CS6 - Obdélník	0,930	LC30	-3,47	0,78	2,55	0,32	0,94	0,96
B15	CS6 - Obdélník	0,930	LC31	1,35	0,96	-0,57	0,80	1,18	-0,21
B15	CS6 - Obdélník	0,930	LC32	-20,51	23,81	17,06	2,83	2,83	-1,67
B15	CS6 - Obdélník	0,930	LC33	-36,85	42,39	35,72	4,44	4,29	-2,45
B15	CS6 - Obdélník	0,930	LC34	1,73	-0,34	-1,07	0,32	0,65	-0,13
B15	CS6 - Obdélník	0,930	LC35	-10,22	11,44	8,04	1,38	1,64	-0,94
B15	CS6 - Obdélník	0,930	LC36	-33,56	38,24	34,97	3,72	3,68	-2,07
B15	CS6 - Obdélník	0,930	LC37	-2,86	0,29	2,41	0,15	0,71	0,97
B16	CS7 - Obdélník	0,000	LC1	-1,08	-9,09	2,07	-1,62	-2,70	0,76
B16	CS7 - Obdélník	0,000	LC2	-3,02	-13,76	0,66	-2,58	-1,65	1,88
B16	CS7 - Obdélník	0,000	LC3	-4,60	-5,45	0,22	-1,03	-0,45	1,18
B16	CS7 - Obdélník	0,000	LC4	-15,89	-5,79	-0,11	-2,16	0,02	1,59
B16	CS7 - Obdélník	0,000	LC5	31,48	-12,31	9,31	-5,35	-9,13	-1,58
B16	CS7 - Obdélník	0,000	LC6	-0,77	-2,98	0,26	-0,64	-0,43	0,29

Prvek	css	dx [m]	Stav	N [kN]	Vy [kN]	Vz [kN]	Mx [kNm]	My [kNm]	Mz [kNm]
B16	CS7 - Obdélník	0,000	LC7	-6,34	-5,97	-0,61	-2,59	-0,09	2,55
B16	CS7 - Obdélník	0,000	LC8	9,45	3,98	-1,03	-3,88	0,00	0,29
B16	CS7 - Obdélník	0,000	LC9	-13,60	-4,42	-0,06	-1,31	0,02	1,15
B16	CS7 - Obdélník	0,000	LC10	-10,38	-8,65	-0,26	-1,19	-0,11	2,55
B16	CS7 - Obdélník	0,000	LC11	13,90	6,31	-0,87	-3,18	0,02	-0,87
B16	CS7 - Obdélník	0,000	LC12	-7,57	-7,05	-3,29	-2,93	0,36	0,74
B16	CS7 - Obdélník	0,000	LC13	-17,85	-1,43	-1,26	-1,02	0,44	0,71
B16	CS7 - Obdélník	0,000	LC15	-1,23	-1,69	0,10	-0,35	-0,17	0,33
B16	CS7 - Obdélník	0,000	LC16	-2,95	-1,02	-0,02	-0,35	0,00	0,27
B16	CS7 - Obdélník	0,000	LC17	3,94	-1,54	1,16	-0,67	-1,14	-0,20
B16	CS7 - Obdélník	0,000	LC18	-0,34	-1,12	0,10	-0,26	-0,17	0,12
B16	CS7 - Obdélník	0,000	LC19	-1,67	-1,46	-0,09	-0,38	-0,02	0,51
B16	CS7 - Obdélník	0,000	LC20	2,34	1,03	-0,19	-0,71	0,00	-0,06
B16	CS7 - Obdélník	0,000	LC21	-2,95	-1,02	-0,02	-0,35	0,00	0,27
B16	CS7 - Obdélník	0,000	LC22	-1,67	-1,46	-0,09	-0,38	-0,02	0,51
B16	CS7 - Obdélník	0,000	LC23	2,34	1,03	-0,19	-0,71	0,00	-0,06
B16	CS7 - Obdélník	0,000	LC24	-0,95	-0,88	-0,41	-0,37	0,05	0,09
B16	CS7 - Obdélník	0,000	LC25	-2,23	-0,18	-0,16	-0,13	0,05	0,09
B16	CS7 - Obdélník	0,000	LC26	-0,01	-0,01	0,00	0,00	0,00	0,00
B16	CS7 - Obdélník	0,000	LC27	0,00	0,00	0,00	0,00	0,00	0,00
B16	CS7 - Obdélník	0,000	LC28	-0,01	-0,01	0,00	0,00	0,00	0,00
B16	CS7 - Obdélník	0,000	LC29	0,00	0,00	0,00	0,00	0,00	0,00
B16	CS7 - Obdélník	0,000	LC30	-1,39	-1,62	0,06	-0,30	-0,13	0,35
B16	CS7 - Obdélník	0,000	LC31	-11,12	-4,05	-0,08	-1,51	0,01	1,11
B16	CS7 - Obdélník	0,000	LC32	-4,44	-4,18	-0,43	-1,81	-0,06	1,79
B16	CS7 - Obdélník	0,000	LC33	6,62	2,79	-0,72	-2,71	0,00	0,21
B16	CS7 - Obdélník	0,000	LC34	-9,52	-3,09	-0,04	-0,91	0,02	0,80
B16	CS7 - Obdélník	0,000	LC35	-7,26	-6,05	-0,18	-0,84	-0,07	1,79
B16	CS7 - Obdélník	0,000	LC36	9,73	4,42	-0,61	-2,23	0,01	-0,61
B16	CS7 - Obdélník	0,000	LC37	-0,22	-0,86	0,07	-0,18	-0,12	0,08
B16	CS7 - Obdélník	0,561	LC1	6,60	-4,90	0,96	-1,61	-1,75	-0,98
B16	CS7 - Obdélník	0,561	LC2	6,21	-7,19	-0,08	-2,40	-1,33	-0,97
B16	CS7 - Obdélník	0,561	LC3	-1,30	-2,93	0,03	-0,83	-0,31	-0,08
B16	CS7 - Obdélník	0,561	LC4	-11,96	-2,98	-0,06	-1,30	0,10	0,14
B16	CS7 - Obdélník	0,561	LC5	40,44	-5,80	5,42	-4,03	-3,76	-3,65
B16	CS7 - Obdélník	0,561	LC6	1,25	-1,51	0,06	-0,57	-0,30	-0,30
B16	CS7 - Obdélník	0,561	LC7	-3,97	-2,74	-0,43	-1,87	-0,14	0,93
B16	CS7 - Obdélník	0,561	LC8	6,00	3,31	-0,73	-2,80	-0,13	1,21
B16	CS7 - Obdélník	0,561	LC9	-10,26	-2,35	-0,03	-0,78	0,07	0,06
B16	CS7 - Obdélník	0,561	LC10	-6,24	-4,59	-0,18	-0,87	-0,11	0,34
B16	CS7 - Obdélník	0,561	LC11	9,19	4,52	-0,62	-2,31	-0,10	0,73
B16	CS7 - Obdélník	0,561	LC12	-0,26	-2,82	-2,74	-3,15	-1,03	-0,33
B16	CS7 - Obdélník	0,561	LC13	-13,84	-0,82	-1,00	-1,03	-0,13	0,61
B16	CS7 - Obdélník	0,561	LC15	-0,14	-0,90	0,02	-0,29	-0,12	-0,05
B16	CS7 - Obdélník	0,561	LC16	-2,22	-0,53	-0,01	-0,21	0,02	0,02
B16	CS7 - Obdélník	0,561	LC17	5,06	-0,72	0,68	-0,50	-0,47	-0,46
B16	CS7 - Obdélník	0,561	LC18	0,44	-0,57	0,02	-0,23	-0,12	-0,10
B16	CS7 - Obdélník	0,561	LC19	-1,02	-0,73	-0,06	-0,27	-0,02	0,13
B16	CS7 - Obdélník	0,561	LC20	1,52	0,78	-0,13	-0,51	-0,02	0,19
B16	CS7 - Obdélník	0,561	LC21	-2,22	-0,53	-0,01	-0,21	0,02	0,02
B16	CS7 - Obdélník	0,561	LC22	-1,02	-0,73	-0,06	-0,27	-0,02	0,13
B16	CS7 - Obdélník	0,561	LC23	1,52	0,78	-0,13	-0,51	-0,02	0,19
B16	CS7 - Obdélník	0,561	LC24	-0,03	-0,35	-0,34	-0,39	-0,13	-0,04
B16	CS7 - Obdélník	0,561	LC25	-1,73	-0,10	-0,13	-0,13	-0,02	0,08
B16	CS7 - Obdélník	0,561	LC26	-0,01	-0,01	0,00	0,00	0,00	0,00
B16	CS7 - Obdélník	0,561	LC27	0,00	0,00	0,00	0,00	0,00	0,00
B16	CS7 - Obdélník	0,561	LC28	-0,01	0,00	0,00	0,00	0,00	0,00
B16	CS7 - Obdélník	0,561	LC29	0,00	0,00	0,00	0,00	0,00	0,00
B16	CS7 - Obdélník	0,561	LC30	-0,41	-0,87	0,01	-0,24	-0,09	-0,02
B16	CS7 - Obdélník	0,561	LC31	-8,37	-2,09	-0,04	-0,91	0,07	0,10
B16	CS7 - Obdélník	0,561	LC32	-2,78	-1,92	-0,30	-1,31	-0,10	0,65
B16	CS7 - Obdélník	0,561	LC33	4,20	2,32	-0,51	-1,96	-0,09	0,85
B16	CS7 - Obdélník	0,561	LC34	-7,18	-1,64	-0,02	-0,54	0,05	0,04
B16	CS7 - Obdélník	0,561	LC35	-4,36	-3,21	-0,13	-0,61	-0,08	0,24
B16	CS7 - Obdélník	0,561	LC36	6,43	3,17	-0,43	-1,61	-0,07	0,51
B16	CS7 - Obdélník	0,561	LC37	0,37	-0,44	0,02	-0,16	-0,09	-0,09

Prvek	css	dx [m]	Stav	N [kN]	Vy [kN]	Vz [kN]	Mx [kNm]	My [kNm]	Mz [kNm]
B16	CS7 - Obdélník	1,122	LC1	14,28	-0,70	-0,14	-1,59	-0,80	-2,72
B16	CS7 - Obdélník	1,122	LC2	15,45	-0,61	-0,82	-2,23	-1,01	-3,82
B16	CS7 - Obdélník	1,122	LC3	2,01	-0,40	-0,16	-0,63	-0,17	-1,33
B16	CS7 - Obdélník	1,122	LC4	-8,03	-0,18	-0,02	-0,44	0,17	-1,30
B16	CS7 - Obdélník	1,122	LC5	49,40	0,71	1,53	-2,72	1,62	-5,73
B16	CS7 - Obdélník	1,122	LC6	3,27	-0,05	-0,14	-0,50	-0,17	-0,88
B16	CS7 - Obdélník	1,122	LC7	-1,60	0,49	-0,25	-1,14	-0,18	-0,69
B16	CS7 - Obdélník	1,122	LC8	2,55	2,64	-0,43	-1,73	-0,25	2,12
B16	CS7 - Obdélník	1,122	LC9	-6,91	-0,28	-0,01	-0,25	0,12	-1,03
B16	CS7 - Obdélník	1,122	LC10	-2,09	-0,52	-0,10	-0,54	-0,12	-1,87
B16	CS7 - Obdélník	1,122	LC11	4,47	2,74	-0,37	-1,43	-0,21	2,33
B16	CS7 - Obdélník	1,122	LC12	7,05	1,40	-2,18	-3,38	-2,43	-1,39
B16	CS7 - Obdélník	1,122	LC13	-9,83	-0,21	-0,75	-1,05	-0,69	0,51
B16	CS7 - Obdélník	1,122	LC15	0,94	-0,10	-0,06	-0,23	-0,07	-0,43
B16	CS7 - Obdélník	1,122	LC16	-1,49	-0,05	0,00	-0,07	0,03	-0,23
B16	CS7 - Obdélník	1,122	LC17	6,18	0,09	0,19	-0,34	0,20	-0,72
B16	CS7 - Obdélník	1,122	LC18	1,23	-0,02	-0,06	-0,20	-0,06	-0,32
B16	CS7 - Obdélník	1,122	LC19	-0,37	0,00	-0,04	-0,17	-0,03	-0,26
B16	CS7 - Obdélník	1,122	LC20	0,70	0,54	-0,08	-0,32	-0,05	0,45
B16	CS7 - Obdélník	1,122	LC21	-1,49	-0,05	0,00	-0,07	0,03	-0,23
B16	CS7 - Obdélník	1,122	LC22	-0,37	0,00	-0,04	-0,17	-0,03	-0,26
B16	CS7 - Obdélník	1,122	LC23	0,70	0,54	-0,08	-0,32	-0,05	0,45
B16	CS7 - Obdélník	1,122	LC24	0,88	0,18	-0,27	-0,42	-0,30	-0,17
B16	CS7 - Obdélník	1,122	LC25	-1,23	-0,03	-0,09	-0,13	-0,09	0,06
B16	CS7 - Obdélník	1,122	LC26	0,00	0,00	0,00	0,00	0,00	0,00
B16	CS7 - Obdélník	1,122	LC27	0,00	0,00	0,00	0,00	0,00	0,00
B16	CS7 - Obdélník	1,122	LC28	0,00	0,00	0,00	0,00	0,00	0,00
B16	CS7 - Obdélník	1,122	LC29	0,00	0,00	0,00	0,00	0,00	0,00
B16	CS7 - Obdélník	1,122	LC30	0,56	-0,12	-0,05	-0,18	-0,05	-0,39
B16	CS7 - Obdélník	1,122	LC31	-5,62	-0,13	-0,01	-0,31	0,12	-0,91
B16	CS7 - Obdélník	1,122	LC32	-1,12	0,35	-0,18	-0,80	-0,13	-0,48
B16	CS7 - Obdélník	1,122	LC33	1,78	1,85	-0,30	-1,21	-0,17	1,49
B16	CS7 - Obdélník	1,122	LC34	-4,84	-0,19	0,00	-0,17	0,08	-0,72
B16	CS7 - Obdélník	1,122	LC35	-1,47	-0,37	-0,07	-0,38	-0,08	-1,31
B16	CS7 - Obdélník	1,122	LC36	3,13	1,92	-0,26	-1,00	-0,15	1,63
B16	CS7 - Obdélník	1,122	LC37	0,95	-0,01	-0,04	-0,14	-0,05	-0,26
B16	CS7 - Obdélník	1,122	LC1	14,28	-0,70	-0,14	-1,59	-0,80	-2,72
B16	CS7 - Obdélník	1,122	LC2	15,45	-0,61	-0,82	-2,23	-1,01	-3,82
B16	CS7 - Obdélník	1,122	LC3	2,01	-0,40	-0,16	-0,63	-0,17	-1,33
B16	CS7 - Obdélník	1,122	LC4	-8,03	-0,18	-0,02	-0,44	0,17	-1,30
B16	CS7 - Obdélník	1,122	LC5	49,40	0,71	1,53	-2,72	1,62	-5,73
B16	CS7 - Obdélník	1,122	LC6	3,27	-0,05	-0,14	-0,50	-0,17	-0,88
B16	CS7 - Obdélník	1,122	LC7	-1,60	0,49	-0,25	-1,14	-0,18	-0,69
B16	CS7 - Obdélník	1,122	LC8	2,55	2,64	-0,43	-1,73	-0,25	2,12
B16	CS7 - Obdélník	1,122	LC9	-6,91	-0,28	-0,01	-0,25	0,12	-1,03
B16	CS7 - Obdélník	1,122	LC10	-2,09	-0,52	-0,10	-0,54	-0,12	-1,87
B16	CS7 - Obdélník	1,122	LC11	4,47	2,74	-0,37	-1,43	-0,21	2,33
B16	CS7 - Obdélník	1,122	LC12	7,05	1,40	-2,18	-3,38	-2,43	-1,39
B16	CS7 - Obdélník	1,122	LC13	-9,83	-0,21	-0,75	-1,05	-0,69	0,51
B16	CS7 - Obdélník	1,122	LC15	0,94	-0,10	-0,06	-0,23	-0,07	-0,43
B16	CS7 - Obdélník	1,122	LC16	-1,49	-0,05	0,00	-0,07	0,03	-0,23
B16	CS7 - Obdélník	1,122	LC17	6,18	0,09	0,19	-0,34	0,20	-0,72
B16	CS7 - Obdélník	1,122	LC18	1,23	-0,02	-0,06	-0,20	-0,06	-0,32
B16	CS7 - Obdélník	1,122	LC19	-0,37	0,00	-0,04	-0,17	-0,03	-0,26
B16	CS7 - Obdélník	1,122	LC20	0,70	0,54	-0,08	-0,32	-0,05	0,45
B16	CS7 - Obdélník	1,122	LC21	-1,49	-0,05	0,00	-0,07	0,03	-0,23
B16	CS7 - Obdélník	1,122	LC22	-0,37	0,00	-0,04	-0,17	-0,03	-0,26
B16	CS7 - Obdélník	1,122	LC23	0,70	0,54	-0,08	-0,32	-0,05	0,45
B16	CS7 - Obdélník	1,122	LC24	0,88	0,18	-0,27	-0,42	-0,30	-0,17
B16	CS7 - Obdélník	1,122	LC25	-1,23	-0,03	-0,09	-0,13	-0,09	0,06
B16	CS7 - Obdélník	1,122	LC26	0,00	0,00	0,00	0,00	0,00	0,00
B16	CS7 - Obdélník	1,122	LC27	0,00	0,00	0,00	0,00	0,00	0,00
B16	CS7 - Obdélník	1,122	LC28	0,00	0,00	0,00	0,00	0,00	0,00
B16	CS7 - Obdélník	1,122	LC29	0,00	0,00	0,00	0,00	0,00	0,00
B16	CS7 - Obdélník	1,122	LC30	0,56	-0,12	-0,05	-0,18	-0,05	-0,39
B16	CS7 - Obdélník	1,122	LC31	-5,62	-0,13	-0,01	-0,31	0,12	-0,91

Prvek	css	dx [m]	Stav	N [kN]	Vy [kN]	Vz [kN]	Mx [kNm]	My [kNm]	Mz [kNm]
B16	CS7 - Obdélník	1,122	LC32	-1,12	0,35	-0,18	-0,80	-0,13	-0,48
B16	CS7 - Obdélník	1,122	LC33	1,78	1,85	-0,30	-1,21	-0,17	1,49
B16	CS7 - Obdélník	1,122	LC34	-4,84	-0,19	0,00	-0,17	0,08	-0,72
B16	CS7 - Obdélník	1,122	LC35	-1,47	-0,37	-0,07	-0,38	-0,08	-1,31
B16	CS7 - Obdélník	1,122	LC36	3,13	1,92	-0,26	-1,00	-0,15	1,63
B16	CS7 - Obdélník	1,122	LC37	0,95	-0,01	-0,04	-0,14	-0,05	-0,26
B16	CS7 - Obdélník	1,683	LC1	21,96	3,50	-1,24	-1,58	-1,09	0,26
B16	CS7 - Obdélník	1,683	LC2	24,69	5,96	-1,55	-2,06	-1,52	0,71
B16	CS7 - Obdélník	1,683	LC3	5,31	2,12	-0,36	-0,42	-0,25	0,25
B16	CS7 - Obdélník	1,683	LC4	-4,10	2,62	0,03	0,42	0,31	0,40
B16	CS7 - Obdélník	1,683	LC5	58,36	7,23	-2,35	-1,40	2,63	-0,50
B16	CS7 - Obdélník	1,683	LC6	5,29	1,42	-0,34	-0,43	-0,26	0,17
B16	CS7 - Obdélník	1,683	LC7	0,77	3,72	-0,07	-0,42	-0,02	1,31
B16	CS7 - Obdélník	1,683	LC8	-0,90	1,97	-0,14	-0,66	-0,04	2,28
B16	CS7 - Obdélník	1,683	LC9	-3,56	1,80	0,02	0,28	0,19	0,20
B16	CS7 - Obdélník	1,683	LC10	2,05	3,54	-0,02	-0,22	-0,04	0,47
B16	CS7 - Obdélník	1,683	LC11	-0,24	0,96	-0,12	-0,55	-0,04	1,92
B16	CS7 - Obdélník	1,683	LC12	14,36	5,63	-1,63	-3,60	-3,21	2,29
B16	CS7 - Obdélník	1,683	LC13	-5,82	0,39	-0,50	-1,06	-0,98	1,09
B16	CS7 - Obdélník	1,683	LC15	2,02	0,69	-0,14	-0,17	-0,10	0,09
B16	CS7 - Obdélník	1,683	LC16	-0,77	0,44	0,01	0,07	0,05	0,06
B16	CS7 - Obdélník	1,683	LC17	7,30	0,90	-0,29	-0,17	0,33	-0,06
B16	CS7 - Obdélník	1,683	LC18	2,02	0,53	-0,14	-0,17	-0,10	0,07
B16	CS7 - Obdélník	1,683	LC19	0,28	0,73	-0,01	-0,06	-0,01	0,18
B16	CS7 - Obdélník	1,683	LC20	-0,11	0,29	-0,03	-0,12	-0,01	0,42
B16	CS7 - Obdélník	1,683	LC21	-0,77	0,44	0,01	0,07	0,05	0,06
B16	CS7 - Obdélník	1,683	LC22	0,28	0,73	-0,01	-0,06	-0,01	0,18
B16	CS7 - Obdélník	1,683	LC23	-0,11	0,29	-0,03	-0,12	-0,01	0,42
B16	CS7 - Obdélník	1,683	LC24	1,79	0,70	-0,20	-0,45	-0,40	0,29
B16	CS7 - Obdélník	1,683	LC25	-0,73	0,05	-0,06	-0,13	-0,12	0,14
B16	CS7 - Obdélník	1,683	LC26	0,00	0,00	0,00	0,00	0,00	0,00
B16	CS7 - Obdélník	1,683	LC27	0,00	0,00	0,00	0,00	0,00	0,00
B16	CS7 - Obdélník	1,683	LC28	0,00	0,00	0,00	0,00	0,00	0,00
B16	CS7 - Obdélník	1,683	LC29	0,00	0,00	0,00	0,00	0,00	0,00
B16	CS7 - Obdélník	1,683	LC30	1,54	0,63	-0,10	-0,12	-0,07	0,07
B16	CS7 - Obdélník	1,683	LC31	-2,87	1,83	0,02	0,29	0,21	0,28
B16	CS7 - Obdélník	1,683	LC32	0,54	2,61	-0,05	-0,29	-0,02	0,92
B16	CS7 - Obdélník	1,683	LC33	-0,63	1,38	-0,10	-0,46	-0,03	1,60
B16	CS7 - Obdélník	1,683	LC34	-2,49	1,26	0,02	0,20	0,14	0,14
B16	CS7 - Obdélník	1,683	LC35	1,43	2,48	-0,02	-0,15	-0,03	0,33
B16	CS7 - Obdélník	1,683	LC36	-0,17	0,67	-0,08	-0,39	-0,03	1,35
B16	CS7 - Obdélník	1,683	LC37	1,53	0,41	-0,10	-0,12	-0,08	0,05
B16	CS7 - Obdélník	2,244	LC1	29,64	7,69	-2,35	-1,57	-1,38	3,23
B16	CS7 - Obdélník	2,244	LC2	33,92	12,53	-2,29	-1,89	-2,03	5,24
B16	CS7 - Obdélník	2,244	LC3	8,62	4,64	-0,55	-0,22	-0,32	1,83
B16	CS7 - Obdélník	2,244	LC4	-0,17	5,42	0,08	1,27	0,44	2,10
B16	CS7 - Obdélník	2,244	LC5	<b>67,32</b>	13,74	-6,24	-0,08	3,64	4,74
B16	CS7 - Obdélník	2,244	LC6	7,31	2,89	-0,54	-0,36	-0,36	1,23
B16	CS7 - Obdélník	2,244	LC7	3,14	6,96	0,11	0,30	0,13	3,32
B16	CS7 - Obdélník	2,244	LC8	-4,36	1,30	0,16	0,41	0,17	2,44
B16	CS7 - Obdélník	2,244	LC9	-0,22	3,87	0,05	0,81	0,27	1,44
B16	CS7 - Obdélník	2,244	LC10	6,19	7,60	0,05	0,11	0,04	2,81
B16	CS7 - Obdélník	2,244	LC11	-4,96	-0,83	0,13	0,32	0,13	1,52
B16	CS7 - Obdélník	2,244	LC12	21,67	9,86	-1,07	-3,82	-3,98	5,97
B16	CS7 - Obdélník	2,244	LC13	-1,81	1,00	-0,25	-1,08	-1,26	1,67
B16	CS7 - Obdélník	2,244	LC15	3,11	1,49	-0,22	-0,11	-0,13	0,60
B16	CS7 - Obdélník	2,244	LC16	-0,04	0,93	0,01	0,21	0,07	0,35
B16	CS7 - Obdélník	2,244	LC17	8,42	1,72	-0,78	-0,01	0,46	0,59
B16	CS7 - Obdélník	2,244	LC18	2,81	1,08	-0,22	-0,14	-0,14	0,47
B16	CS7 - Obdélník	2,244	LC19	0,93	1,46	0,02	0,04	0,02	0,61
B16	CS7 - Obdélník	2,244	LC20	-0,93	0,05	0,03	0,07	0,03	0,40
B16	CS7 - Obdélník	2,244	LC21	-0,04	0,93	0,01	0,21	0,07	0,35
B16	CS7 - Obdélník	2,244	LC22	0,93	1,46	0,02	0,04	0,02	0,61
B16	CS7 - Obdélník	2,244	LC23	-0,93	0,05	0,03	0,07	0,03	0,40
B16	CS7 - Obdélník	2,244	LC24	2,71	1,23	-0,13	-0,48	-0,50	0,75
B16	CS7 - Obdélník	2,244	LC25	-0,23	0,12	-0,03	-0,13	-0,16	0,21

Prvek	css	dx [m]	Stav	N [kN]	Vy [kN]	Vz [kN]	Mx [kNm]	My [kNm]	Mz [kNm]
B16	CS7 - Obdélník	2,244	LC26	0,01	0,01	0,00	0,00	0,00	0,00
B16	CS7 - Obdélník	2,244	LC27	0,00	0,00	0,00	0,00	0,00	0,00
B16	CS7 - Obdélník	2,244	LC28	0,00	0,01	0,00	0,00	0,00	0,00
B16	CS7 - Obdélník	2,244	LC29	0,00	0,00	0,00	0,00	0,00	0,00
B16	CS7 - Obdélník	2,244	LC30	2,52	1,37	-0,16	-0,06	-0,09	0,54
B16	CS7 - Obdélník	2,244	LC31	-0,12	3,79	0,06	0,89	0,31	1,47
B16	CS7 - Obdélník	2,244	LC32	2,20	4,87	0,08	0,21	0,09	2,32
B16	CS7 - Obdélník	2,244	LC33	-3,05	0,91	0,11	0,29	0,12	1,71
B16	CS7 - Obdélník	2,244	LC34	-0,15	2,71	0,04	0,57	0,19	1,01
B16	CS7 - Obdélník	2,244	LC35	4,33	5,32	0,04	0,07	0,03	1,97
B16	CS7 - Obdélník	2,244	LC36	-3,47	-0,58	0,09	0,23	0,09	1,06
B16	CS7 - Obdélník	2,244	LC37	2,12	0,84	-0,16	-0,10	-0,10	0,36
B17	CS7 - Obdélník	0,000	LC1	22,11	5,14	2,52	4,34	-3,41	-0,43
B17	CS7 - Obdélník	0,000	LC2	22,49	7,00	1,69	6,04	-2,57	-0,60
B17	CS7 - Obdélník	0,000	LC3	4,11	2,19	0,43	1,15	-0,54	-0,44
B17	CS7 - Obdélník	0,000	LC4	-2,39	1,33	-0,02	-0,20	0,02	-0,91
B17	CS7 - Obdélník	0,000	LC5	-2,07	3,82	-0,43	1,47	-0,13	-1,54
B17	CS7 - Obdélník	0,000	LC6	4,42	1,57	0,44	1,20	-0,54	-0,14
B17	CS7 - Obdélník	0,000	LC7	-3,01	5,79	0,22	-1,06	-0,04	-1,69
B17	CS7 - Obdélník	0,000	LC8	-3,45	9,80	0,37	-1,36	-0,11	-2,29
B17	CS7 - Obdélník	0,000	LC9	-1,41	0,50	-0,02	-0,14	0,02	-0,46
B17	CS7 - Obdélník	0,000	LC10	-1,56	2,71	0,12	-0,65	-0,01	-0,85
B17	CS7 - Obdélník	0,000	LC11	-2,31	8,55	0,33	-1,08	-0,11	-1,74
B17	CS7 - Obdélník	0,000	LC12	13,88	5,85	-0,96	5,84	-0,86	-1,33
B17	CS7 - Obdélník	0,000	LC13	41,33	4,82	9,84	12,27	-5,80	1,88
B17	CS7 - Obdélník	0,000	LC15	1,68	0,74	0,17	0,47	-0,22	-0,13
B17	CS7 - Obdélník	0,000	LC16	-0,38	0,18	0,00	-0,03	0,00	-0,14
B17	CS7 - Obdélník	0,000	LC17	-0,26	0,48	-0,05	0,18	-0,02	-0,19
B17	CS7 - Obdélník	0,000	LC18	1,75	0,60	0,17	0,49	-0,21	-0,06
B17	CS7 - Obdélník	0,000	LC19	-0,46	0,85	0,03	-0,17	-0,01	-0,25
B17	CS7 - Obdélník	0,000	LC20	-0,58	1,84	0,07	-0,24	-0,02	-0,40
B17	CS7 - Obdélník	0,000	LC21	-0,38	0,18	0,00	-0,03	0,00	-0,14
B17	CS7 - Obdélník	0,000	LC22	-0,46	0,85	0,03	-0,17	-0,01	-0,25
B17	CS7 - Obdélník	0,000	LC23	-0,58	1,84	0,07	-0,24	-0,02	-0,40
B17	CS7 - Obdélník	0,000	LC24	1,73	0,73	-0,12	0,73	-0,11	-0,17
B17	CS7 - Obdélník	0,000	LC25	5,17	0,60	1,23	1,53	-0,73	0,23
B17	CS7 - Obdélník	0,000	LC26	0,00	0,00	0,00	0,00	0,00	0,00
B17	CS7 - Obdélník	0,000	LC27	0,00	0,00	0,00	0,00	0,00	0,00
B17	CS7 - Obdélník	0,000	LC28	0,00	0,00	0,00	0,00	0,00	0,00
B17	CS7 - Obdélník	0,000	LC29	0,00	0,00	0,00	0,00	0,00	0,00
B17	CS7 - Obdélník	0,000	LC30	1,18	0,64	0,12	0,33	-0,16	-0,13
B17	CS7 - Obdélník	0,000	LC31	-1,67	0,93	-0,02	-0,14	0,01	-0,64
B17	CS7 - Obdélník	0,000	LC32	-2,11	4,05	0,16	-0,75	-0,03	-1,18
B17	CS7 - Obdélník	0,000	LC33	-2,42	6,86	0,26	-0,95	-0,08	-1,60
B17	CS7 - Obdélník	0,000	LC34	-0,98	0,35	-0,01	-0,10	0,01	-0,32
B17	CS7 - Obdélník	0,000	LC35	-1,09	1,90	0,08	-0,46	-0,01	-0,60
B17	CS7 - Obdélník	0,000	LC36	-1,61	5,99	0,23	-0,75	-0,07	-1,22
B17	CS7 - Obdélník	0,000	LC37	1,28	0,46	0,13	0,35	-0,15	-0,04
B17	CS7 - Obdélník	0,562	LC1	21,30	1,69	1,61	3,00	-1,57	0,47
B17	CS7 - Obdélník	0,562	LC2	19,73	2,22	0,99	4,15	-1,01	0,46
B17	CS7 - Obdélník	0,562	LC3	3,62	0,95	0,26	0,78	-0,20	-0,02
B17	CS7 - Obdélník	0,562	LC4	-1,70	0,97	0,00	-0,16	0,00	-0,46
B17	CS7 - Obdélník	0,562	LC5	-1,74	2,14	-0,26	0,98	-0,10	-0,73
B17	CS7 - Obdélník	0,562	LC6	3,85	0,56	0,26	0,82	-0,20	0,10
B17	CS7 - Obdélník	0,562	LC7	-1,78	3,68	0,19	-0,77	-0,04	-0,25
B17	CS7 - Obdélník	0,562	LC8	-1,83	6,06	0,31	-0,99	-0,07	-0,05
B17	CS7 - Obdélník	0,562	LC9	-1,02	0,41	0,00	-0,11	0,00	-0,26
B17	CS7 - Obdélník	0,562	LC10	-0,95	1,76	0,10	-0,47	-0,02	-0,14
B17	CS7 - Obdélník	0,562	LC11	-1,08	5,23	0,27	-0,79	-0,06	0,13
B17	CS7 - Obdélník	0,562	LC12	9,34	1,94	-0,64	3,98	-0,45	-0,51
B17	CS7 - Obdélník	0,562	LC13	36,62	-0,46	5,88	7,94	-1,33	1,94
B17	CS7 - Obdélník	0,562	LC15	1,47	0,30	0,10	0,32	-0,08	0,00
B17	CS7 - Obdélník	0,562	LC16	-0,27	0,14	0,00	-0,03	0,00	-0,07
B17	CS7 - Obdélník	0,562	LC17	-0,22	0,27	-0,03	0,12	-0,01	-0,09
B17	CS7 - Obdélník	0,562	LC18	1,52	0,20	0,10	0,33	-0,08	0,03
B17	CS7 - Obdélník	0,562	LC19	-0,27	0,54	0,03	-0,12	-0,01	-0,04

Prvek	css	dx [m]	Stav	N [kN]	Vy [kN]	Vz [kN]	Mx [kNm]	My [kNm]	Mz [kNm]
B17	CS7 - Obdélník	0,562	LC20	-0,29	1,13	0,06	-0,18	-0,01	0,01
B17	CS7 - Obdélník	0,562	LC21	-0,27	0,14	0,00	-0,03	0,00	-0,07
B17	CS7 - Obdélník	0,562	LC22	-0,27	0,54	0,03	-0,12	-0,01	-0,04
B17	CS7 - Obdélník	0,562	LC23	-0,29	1,13	0,06	-0,18	-0,01	0,01
B17	CS7 - Obdélník	0,562	LC24	1,17	0,24	-0,08	0,50	-0,06	-0,06
B17	CS7 - Obdélník	0,562	LC25	4,58	-0,06	0,73	0,99	-0,17	0,24
B17	CS7 - Obdélník	0,562	LC26	0,00	0,00	0,00	0,00	0,00	0,00
B17	CS7 - Obdélník	0,562	LC27	0,00	0,00	0,00	0,00	0,00	0,00
B17	CS7 - Obdélník	0,562	LC28	0,00	0,00	0,00	0,00	0,00	0,00
B17	CS7 - Obdélník	0,562	LC29	0,00	0,00	0,00	0,00	0,00	0,00
B17	CS7 - Obdélník	0,562	LC30	1,04	0,28	0,07	0,22	-0,06	-0,01
B17	CS7 - Obdélník	0,562	LC31	-1,19	0,68	0,00	-0,11	0,00	-0,32
B17	CS7 - Obdélník	0,562	LC32	-1,25	2,58	0,14	-0,54	-0,03	-0,17
B17	CS7 - Obdélník	0,562	LC33	-1,28	4,24	0,22	-0,69	-0,05	-0,04
B17	CS7 - Obdélník	0,562	LC34	-0,71	0,29	0,00	-0,07	0,00	-0,19
B17	CS7 - Obdélník	0,562	LC35	-0,66	1,23	0,07	-0,33	-0,01	-0,10
B17	CS7 - Obdélník	0,562	LC36	-0,76	3,66	0,19	-0,55	-0,04	0,09
B17	CS7 - Obdélník	0,562	LC37	1,11	0,16	0,07	0,24	-0,06	0,03
B17	CS7 - Obdélník	1,125	LC1	20,48	-1,75	0,71	1,65	0,27	1,36
B17	CS7 - Obdélník	1,125	LC2	16,98	-2,56	0,29	2,26	0,55	1,52
B17	CS7 - Obdélník	1,125	LC3	3,13	-0,29	0,08	0,40	0,14	0,40
B17	CS7 - Obdélník	1,125	LC4	-1,01	0,60	0,03	-0,12	-0,03	-0,02
B17	CS7 - Obdélník	1,125	LC5	-1,41	0,46	-0,10	0,49	-0,07	0,08
B17	CS7 - Obdélník	1,125	LC6	3,27	-0,46	0,07	0,43	0,15	0,34
B17	CS7 - Obdélník	1,125	LC7	-0,55	1,58	0,17	-0,48	-0,04	1,19
B17	CS7 - Obdélník	1,125	LC8	-0,20	2,32	0,25	-0,63	-0,03	2,19
B17	CS7 - Obdélník	1,125	LC9	-0,63	0,32	0,01	-0,07	-0,02	-0,07
B17	CS7 - Obdélník	1,125	LC10	-0,34	0,81	0,09	-0,29	-0,03	0,56
B17	CS7 - Obdélník	1,125	LC11	0,14	1,90	0,21	-0,50	-0,02	2,00
B17	CS7 - Obdélník	1,125	LC12	4,80	-1,97	-0,32	2,12	-0,05	0,32
B17	CS7 - Obdélník	1,125	LC13	31,90	-5,74	1,92	3,61	3,14	2,00
B17	CS7 - Obdélník	1,125	LC15	1,26	-0,15	0,03	0,17	0,06	0,14
B17	CS7 - Obdélník	1,125	LC16	-0,16	0,09	0,00	-0,02	0,00	-0,01
B17	CS7 - Obdélník	1,125	LC17	-0,18	0,06	-0,01	0,06	-0,01	0,01
B17	CS7 - Obdélník	1,125	LC18	1,30	-0,19	0,03	0,18	0,06	0,12
B17	CS7 - Obdélník	1,125	LC19	-0,09	0,24	0,03	-0,08	-0,01	0,18
B17	CS7 - Obdélník	1,125	LC20	-0,01	0,42	0,05	-0,11	-0,01	0,42
B17	CS7 - Obdélník	1,125	LC21	-0,16	0,09	0,00	-0,02	0,00	-0,01
B17	CS7 - Obdélník	1,125	LC22	-0,09	0,24	0,03	-0,08	-0,01	0,18
B17	CS7 - Obdélník	1,125	LC23	-0,01	0,42	0,05	-0,11	-0,01	0,42
B17	CS7 - Obdélník	1,125	LC24	0,60	-0,25	-0,04	0,26	-0,01	0,04
B17	CS7 - Obdélník	1,125	LC25	3,99	-0,72	0,24	0,45	0,39	0,25
B17	CS7 - Obdélník	1,125	LC26	0,00	0,00	0,00	0,00	0,00	0,00
B17	CS7 - Obdélník	1,125	LC27	0,00	0,00	0,00	0,00	0,00	0,00
B17	CS7 - Obdélník	1,125	LC28	0,00	0,00	0,00	0,00	0,00	0,00
B17	CS7 - Obdélník	1,125	LC29	0,00	0,00	0,00	0,00	0,00	0,00
B17	CS7 - Obdélník	1,125	LC30	0,90	-0,08	0,02	0,11	0,04	0,12
B17	CS7 - Obdélník	1,125	LC31	-0,71	0,42	0,02	-0,08	-0,02	-0,01
B17	CS7 - Obdélník	1,125	LC32	-0,39	1,11	0,12	-0,34	-0,03	0,84
B17	CS7 - Obdélník	1,125	LC33	-0,14	1,62	0,17	-0,44	-0,02	1,53
B17	CS7 - Obdélník	1,125	LC34	-0,44	0,22	0,01	-0,05	-0,01	-0,05
B17	CS7 - Obdélník	1,125	LC35	-0,24	0,57	0,06	-0,20	-0,02	0,39
B17	CS7 - Obdélník	1,125	LC36	0,10	1,33	0,15	-0,35	-0,01	1,40
B17	CS7 - Obdélník	1,125	LC37	0,94	-0,13	0,02	0,12	0,04	0,10
B17	CS7 - Obdélník	1,125	LC1	20,48	-1,75	0,71	1,65	0,27	1,36
B17	CS7 - Obdélník	1,125	LC2	16,98	-2,56	0,29	2,26	0,55	1,52
B17	CS7 - Obdélník	1,125	LC3	3,13	-0,29	0,08	0,40	0,14	0,40
B17	CS7 - Obdélník	1,125	LC4	-1,01	0,60	0,03	-0,12	-0,03	-0,02
B17	CS7 - Obdélník	1,125	LC5	-1,41	0,46	-0,10	0,49	-0,07	0,08
B17	CS7 - Obdélník	1,125	LC6	3,27	-0,46	0,07	0,43	0,15	0,34
B17	CS7 - Obdélník	1,125	LC7	-0,55	1,58	0,17	-0,48	-0,04	1,19
B17	CS7 - Obdélník	1,125	LC8	-0,20	2,32	0,25	-0,63	-0,03	2,19
B17	CS7 - Obdélník	1,125	LC9	-0,63	0,32	0,01	-0,07	-0,02	-0,07
B17	CS7 - Obdélník	1,125	LC10	-0,34	0,81	0,09	-0,29	-0,03	0,56
B17	CS7 - Obdélník	1,125	LC11	0,14	1,90	0,21	-0,50	-0,02	2,00
B17	CS7 - Obdélník	1,125	LC12	4,80	-1,97	-0,32	2,12	-0,05	0,32

Prvek	css	dx [m]	Stav	N [kN]	Vy [kN]	Vz [kN]	Mx [kNm]	My [kNm]	Mz [kNm]
B17	CS7 - Obdélník	1,125	LC13	31,90	-5,74	1,92	3,61	3,14	2,00
B17	CS7 - Obdélník	1,125	LC15	1,26	-0,15	0,03	0,17	0,06	0,14
B17	CS7 - Obdélník	1,125	LC16	-0,16	0,09	0,00	-0,02	0,00	-0,01
B17	CS7 - Obdélník	1,125	LC17	-0,18	0,06	-0,01	0,06	-0,01	0,01
B17	CS7 - Obdélník	1,125	LC18	1,30	-0,19	0,03	0,18	0,06	0,12
B17	CS7 - Obdélník	1,125	LC19	-0,09	0,24	0,03	-0,08	-0,01	0,18
B17	CS7 - Obdélník	1,125	LC20	-0,01	0,42	0,05	-0,11	-0,01	0,42
B17	CS7 - Obdélník	1,125	LC21	-0,16	0,09	0,00	-0,02	0,00	-0,01
B17	CS7 - Obdélník	1,125	LC22	-0,09	0,24	0,03	-0,08	-0,01	0,18
B17	CS7 - Obdélník	1,125	LC23	-0,01	0,42	0,05	-0,11	-0,01	0,42
B17	CS7 - Obdélník	1,125	LC24	0,60	-0,25	-0,04	0,26	-0,01	0,04
B17	CS7 - Obdélník	1,125	LC25	3,99	-0,72	0,24	0,45	0,39	0,25
B17	CS7 - Obdélník	1,125	LC26	0,00	0,00	0,00	0,00	0,00	0,00
B17	CS7 - Obdélník	1,125	LC27	0,00	0,00	0,00	0,00	0,00	0,00
B17	CS7 - Obdélník	1,125	LC28	0,00	0,00	0,00	0,00	0,00	0,00
B17	CS7 - Obdélník	1,125	LC29	0,00	0,00	0,00	0,00	0,00	0,00
B17	CS7 - Obdélník	1,125	LC30	0,90	-0,08	0,02	0,11	0,04	0,12
B17	CS7 - Obdélník	1,125	LC31	-0,71	0,42	0,02	-0,08	-0,02	-0,01
B17	CS7 - Obdélník	1,125	LC32	-0,39	1,11	0,12	-0,34	-0,03	0,84
B17	CS7 - Obdélník	1,125	LC33	-0,14	1,62	0,17	-0,44	-0,02	1,53
B17	CS7 - Obdélník	1,125	LC34	-0,44	0,22	0,01	-0,05	-0,01	-0,05
B17	CS7 - Obdélník	1,125	LC35	-0,24	0,57	0,06	-0,20	-0,02	0,39
B17	CS7 - Obdélník	1,125	LC36	0,10	1,33	0,15	-0,35	-0,01	1,40
B17	CS7 - Obdélník	1,125	LC37	0,94	-0,13	0,02	0,12	0,04	0,10
B17	CS7 - Obdélník	1,687	LC1	19,66	-5,20	-0,19	0,31	1,09	-1,62
B17	CS7 - Obdélník	1,687	LC2	14,23	-7,34	-0,41	0,37	1,32	-2,80
B17	CS7 - Obdélník	1,687	LC3	2,64	-1,52	-0,09	0,02	0,28	-0,57
B17	CS7 - Obdélník	1,687	LC4	-0,32	0,24	0,05	-0,08	-0,02	0,01
B17	CS7 - Obdélník	1,687	LC5	-1,08	-1,22	0,07	0,01	0,16	-1,00
B17	CS7 - Obdélník	1,687	LC6	2,70	-1,47	-0,11	0,05	0,28	-0,56
B17	CS7 - Obdélník	1,687	LC7	0,68	-0,52	0,14	-0,19	-0,07	0,27
B17	CS7 - Obdélník	1,687	LC8	1,43	-1,42	0,19	-0,27	-0,06	0,23
B17	CS7 - Obdélník	1,687	LC9	-0,24	0,23	0,03	-0,04	-0,02	0,03
B17	CS7 - Obdélník	1,687	LC10	0,27	-0,15	0,07	-0,11	-0,05	0,20
B17	CS7 - Obdélník	1,687	LC11	1,37	-1,42	0,15	-0,21	-0,04	0,14
B17	CS7 - Obdélník	1,687	LC12	0,26	-5,88	0,00	0,26	0,71	-3,25
B17	CS7 - Obdélník	1,687	LC13	27,18	-11,02	-2,04	-0,73	3,16	-3,87
B17	CS7 - Obdélník	1,687	LC15	1,06	-0,59	-0,04	0,01	0,11	-0,23
B17	CS7 - Obdélník	1,687	LC16	-0,06	0,05	0,01	-0,01	0,00	0,00
B17	CS7 - Obdélník	1,687	LC17	-0,14	-0,15	0,01	0,00	0,02	-0,12
B17	CS7 - Obdélník	1,687	LC18	1,07	-0,58	-0,04	0,02	0,11	-0,22
B17	CS7 - Obdélník	1,687	LC19	0,10	-0,07	0,02	-0,03	-0,01	0,05
B17	CS7 - Obdélník	1,687	LC20	0,28	-0,28	0,03	-0,05	-0,01	0,04
B17	CS7 - Obdélník	1,687	LC21	-0,06	0,05	0,01	-0,01	0,00	0,00
B17	CS7 - Obdélník	1,687	LC22	0,10	-0,07	0,02	-0,03	-0,01	0,05
B17	CS7 - Obdélník	1,687	LC23	0,28	-0,28	0,03	-0,05	-0,01	0,04
B17	CS7 - Obdélník	1,687	LC24	0,03	-0,74	0,00	0,03	0,09	-0,41
B17	CS7 - Obdélník	1,687	LC25	3,40	-1,38	-0,26	-0,09	0,40	-0,48
B17	CS7 - Obdélník	1,687	LC26	0,00	0,00	0,00	0,00	0,00	0,00
B17	CS7 - Obdélník	1,687	LC27	0,00	0,00	0,00	0,00	0,00	0,00
B17	CS7 - Obdélník	1,687	LC28	0,00	0,00	0,00	0,00	0,00	0,00
B17	CS7 - Obdélník	1,687	LC29	0,00	0,00	0,00	0,00	0,00	0,00
B17	CS7 - Obdélník	1,687	LC30	0,76	-0,44	-0,02	0,01	0,08	-0,16
B17	CS7 - Obdélník	1,687	LC31	-0,23	0,17	0,03	-0,06	-0,02	0,01
B17	CS7 - Obdélník	1,687	LC32	0,48	-0,37	0,10	-0,13	-0,05	0,19
B17	CS7 - Obdélník	1,687	LC33	1,00	-0,99	0,13	-0,19	-0,04	0,16
B17	CS7 - Obdélník	1,687	LC34	-0,17	0,16	0,02	-0,03	-0,01	0,02
B17	CS7 - Obdélník	1,687	LC35	0,19	-0,10	0,05	-0,07	-0,04	0,14
B17	CS7 - Obdélník	1,687	LC36	0,96	-0,99	0,10	-0,15	-0,03	0,10
B17	CS7 - Obdélník	1,687	LC37	0,78	-0,43	-0,03	0,01	0,08	-0,16
B17	CS7 - Obdélník	2,249	LC1	18,84	-8,65	-1,09	-1,03	1,92	-4,60
B17	CS7 - Obdélník	2,249	LC2	11,48	-12,13	-1,11	-1,52	2,09	-7,12
B17	CS7 - Obdélník	2,249	LC3	2,15	-2,76	-0,26	-0,35	0,43	-1,54
B17	CS7 - Obdélník	2,249	LC4	0,37	-0,13	0,07	-0,04	-0,02	0,05
B17	CS7 - Obdélník	2,249	LC5	-0,75	-2,90	0,24	-0,48	0,38	-2,07
B17	CS7 - Obdélník	2,249	LC6	2,12	-2,49	-0,29	-0,33	0,42	-1,46

Prvek	css	dx [m]	Stav	N [kN]	Vy [kN]	Vz [kN]	Mx [kNm]	My [kNm]	Mz [kNm]
B17	CS7 - Obdélník	2,249	LC7	1,91	-2,63	0,11	0,10	-0,10	-0,66
B17	CS7 - Obdélník	2,249	LC8	3,06	-5,16	0,13	0,10	-0,09	-1,74
B17	CS7 - Obdélník	2,249	LC9	0,15	0,14	0,04	-0,01	-0,02	0,12
B17	CS7 - Obdélník	2,249	LC10	0,88	-1,10	0,06	0,08	-0,08	-0,16
B17	CS7 - Obdélník	2,249	LC11	2,59	-4,74	0,09	0,07	-0,07	-1,73
B17	CS7 - Obdélník	2,249	LC12	-4,27	-9,79	0,32	-1,60	1,47	-6,82
B17	CS7 - Obdélník	2,249	LC13	22,46	-16,31	-6,00	-5,06	3,18	-9,75
B17	CS7 - Obdélník	2,249	LC15	0,85	-1,03	-0,11	-0,14	0,17	-0,59
B17	CS7 - Obdélník	2,249	LC16	0,05	0,00	0,01	0,00	0,00	0,02
B17	CS7 - Obdélník	2,249	LC17	-0,09	-0,36	0,03	-0,06	0,05	-0,26
B17	CS7 - Obdélník	2,249	LC18	0,84	-0,97	-0,12	-0,13	0,17	-0,57
B17	CS7 - Obdélník	2,249	LC19	0,28	-0,37	0,02	0,02	-0,02	-0,08
B17	CS7 - Obdélník	2,249	LC20	0,56	-0,99	0,02	0,02	-0,02	-0,35
B17	CS7 - Obdélník	2,249	LC21	0,05	0,00	0,01	0,00	0,00	0,02
B17	CS7 - Obdélník	2,249	LC22	0,28	-0,37	0,02	0,02	-0,02	-0,08
B17	CS7 - Obdélník	2,249	LC23	0,56	-0,99	0,02	0,02	-0,02	-0,35
B17	CS7 - Obdélník	2,249	LC24	-0,53	-1,22	0,04	-0,20	0,18	-0,85
B17	CS7 - Obdélník	2,249	LC25	2,81	-2,04	-0,75	-0,63	0,40	-1,22
B17	CS7 - Obdélník	2,249	LC26	0,00	0,00	0,00	0,00	0,00	0,00
B17	CS7 - Obdélník	2,249	LC27	0,00	0,00	0,00	0,00	0,00	0,00
B17	CS7 - Obdélník	2,249	LC28	0,00	0,00	0,00	0,00	0,00	0,00
B17	CS7 - Obdélník	2,249	LC29	0,00	0,00	0,00	0,00	0,00	0,00
B17	CS7 - Obdélník	2,249	LC30	0,62	-0,80	-0,07	-0,10	0,12	-0,45
B17	CS7 - Obdélník	2,249	LC31	0,26	-0,09	0,05	-0,03	-0,01	0,03
B17	CS7 - Obdélník	2,249	LC32	1,34	-1,84	0,07	0,07	-0,07	-0,46
B17	CS7 - Obdélník	2,249	LC33	2,14	-3,61	0,09	0,07	-0,06	-1,22
B17	CS7 - Obdélník	2,249	LC34	0,11	0,09	0,03	-0,01	-0,01	0,09
B17	CS7 - Obdélník	2,249	LC35	0,62	-0,77	0,04	0,05	-0,05	-0,11
B17	CS7 - Obdélník	2,249	LC36	1,82	-3,32	0,06	0,05	-0,05	-1,21
B17	CS7 - Obdélník	2,249	LC37	0,61	-0,72	-0,08	-0,10	0,12	-0,42

## 58. Plochy - Vnitřní síly

Lineární výpočet, Extrém : Ne

Výběr : Vše

Třída : Vše ZS

Základní veličiny. V těžších.

Prvek	prvek	Stav	mx [kNm/m]	my [kNm/m]	mxy [kNm/m]	vx [kN/m]	vy [kN/m]	nx [kN/m]	ny [kN/m]	nxy [kN/m]
S1	1	Vše ZS	-4,29	0,94	0,77	1,50	-12,68	-51,49	9,84	-14,06
S1	1	Vše ZS	7,92	7,60	-1,20	19,32	37,57	-169,47	-29,05	55,17
S1	2	Vše ZS	-0,12	-0,35	0,06	3,72	-4,56	-52,10	2,46	9,59
S1	2	Vše ZS	7,92	7,60	-1,20	19,32	37,57	-169,47	-29,05	55,17
S1	3	Vše ZS	-1,49	3,76	-3,50	23,61	-4,23	-128,40	7,33	-7,73
S1	3	Vše ZS	-4,29	0,94	0,77	1,50	-12,68	-51,49	9,84	-14,06
S1	4	Vše ZS	-0,18	0,04	0,06	-0,09	-0,37	3,86	-0,07	3,15
S1	4	Vše ZS	-1,49	3,76	-3,50	23,61	-4,23	-128,40	7,33	-7,73
S1	5	Vše ZS	-4,29	0,94	0,77	1,50	-12,68	-51,49	9,84	-14,06
S1	5	Vše ZS	7,92	7,60	-1,20	19,32	37,57	-169,47	-29,05	55,17
S1	6	Vše ZS	7,92	7,60	-1,20	19,32	37,57	-169,47	-29,05	55,17
S1	6	Vše ZS	-0,18	0,04	0,06	-0,09	-0,37	3,86	-0,07	3,15
S1	7	Vše ZS	7,92	7,60	-1,20	19,32	37,57	-169,47	-29,05	55,17
S1	7	Vše ZS	-4,29	0,94	0,77	1,50	-12,68	-51,49	9,84	-14,06
S1	8	Vše ZS	-4,29	0,94	0,77	1,50	-12,68	-51,49	9,84	-14,06
S1	8	Vše ZS	7,92	7,60	-1,20	19,32	37,57	-169,47	-29,05	55,17
S1	9	Vše ZS	-1,50	1,42	1,39	6,44	-10,79	10,37	10,41	-8,80
S1	9	Vše ZS	3,49	4,86	-3,46	-7,12	34,10	-176,83	-41,50	20,10
S1	10	Vše ZS	0,34	-0,26	0,17	0,33	-4,20	-63,62	-1,91	8,45
S1	10	Vše ZS	3,49	4,86	-3,46	-7,12	34,10	-176,83	-41,50	20,10
S1	11	Vše ZS	3,49	4,86	-3,46	-7,12	34,10	-176,83	-41,50	20,10
S1	11	Vše ZS	-1,50	1,42	1,39	6,44	-10,79	10,37	10,41	-8,80
S1	12	Vše ZS	0,79	4,31	-2,89	-7,73	-12,74	-94,21	4,41	-2,87
S1	12	Vše ZS	-1,50	1,42	1,39	6,44	-10,79	10,37	10,41	-8,80
S1	13	Vše ZS	0,79	4,31	-2,89	-7,73	-12,74	-94,21	4,41	-2,87
S1	13	Vše ZS	3,49	4,86	-3,46	-7,12	34,10	-176,83	-41,50	20,10



Prvek	prvek	Stav	mx [kNm/m]	my [kNm/m]	mxy [kNm/m]	vx [kN/m]	vy [kN/m]	nx [kN/m]	ny [kN/m]	nxy [kN/m]
S1	14	Vše ZS	3,49	4,86	-3,46	-7,12	34,10	-176,83	-41,50	20,10
S1	14	Vše ZS	-1,24	1,16	1,13	5,44	-8,22	<b>15,99</b>	7,44	-6,27
S1	15	Vše ZS	3,49	4,86	-3,46	-7,12	34,10	-176,83	-41,50	20,10
S1	15	Vše ZS	-1,50	1,42	1,39	6,44	-10,79	10,37	10,41	-8,80
S1	16	Vše ZS	-1,50	1,42	1,39	6,44	-10,79	10,37	10,41	-8,80
S1	16	Vše ZS	3,49	4,86	-3,46	-7,12	34,10	-176,83	-41,50	20,10
S1	17	Vše ZS	-2,58	3,16	-2,52	2,65	-8,39	-73,27	8,41	-42,81
S1	17	Vše ZS	12,22	8,52	-3,92	18,99	52,67	-175,91	-17,06	11,88
S1	18	Vše ZS	0,00	0,00	0,00	0,00	0,00	0,00	-0,01	0,01
S1	18	Vše ZS	12,22	8,52	-3,92	18,99	52,67	-175,91	-17,06	11,88
S1	19	Vše ZS	12,22	8,52	-3,92	18,99	52,67	-175,91	-17,06	11,88
S1	19	Vše ZS	10,96	7,42	1,67	-17,53	47,61	-179,12	-18,57	101,66
S1	20	Vše ZS	10,96	7,42	1,67	-17,53	47,61	-179,12	-18,57	101,66
S1	20	Vše ZS	12,22	8,52	-3,92	18,99	52,67	-175,91	-17,06	11,88
S1	21	Vše ZS	-2,58	3,16	-2,52	2,65	-8,39	-73,27	8,41	-42,81
S1	21	Vše ZS	12,22	8,52	-3,92	18,99	52,67	-175,91	-17,06	11,88
S1	22	Vše ZS	10,96	7,42	1,67	-17,53	47,61	-179,12	-18,57	101,66
S1	22	Vše ZS	-0,17	0,10	-0,06	-0,04	-0,39	1,48	0,26	2,74
S1	23	Vše ZS	10,96	7,42	1,67	-17,53	47,61	-179,12	-18,57	101,66
S1	23	Vše ZS	-2,58	3,16	-2,52	2,65	-8,39	-73,27	8,41	-42,81
S1	24	Vše ZS	-2,58	3,16	-2,52	2,65	-8,39	-73,27	8,41	-42,81
S1	24	Vše ZS	10,96	7,42	1,67	-17,53	47,61	-179,12	-18,57	101,66
S1	25	Vše ZS	-0,43	3,29	-1,22	-3,31	-4,17	-6,75	10,26	-15,52
S1	25	Vše ZS	6,06	5,83	0,10	-3,67	<b>56,85</b>	-213,32	-21,76	77,02
S1	26	Vše ZS	0,00	0,00	0,00	0,00	0,00	0,02	0,00	0,00
S1	26	Vše ZS	4,91	6,49	-6,03	-11,29	33,11	-174,16	-11,35	7,65
S1	27	Vše ZS	4,91	6,49	-6,03	-11,29	33,11	-174,16	-11,35	7,65
S1	27	Vše ZS	6,06	5,83	0,10	-3,67	56,85	-213,32	-21,76	77,02
S1	28	Vše ZS	4,91	6,49	-6,03	-11,29	33,11	-174,16	-11,35	7,65
S1	28	Vše ZS	0,00	0,00	0,00	0,00	0,00	0,00	0,00	0,00
S1	29	Vše ZS	-0,39	4,14	-1,65	-4,27	-5,57	-17,05	13,94	-23,52
S1	29	Vše ZS	6,06	5,83	0,10	-3,67	56,85	-213,32	-21,76	77,02
S1	30	Vše ZS	6,06	5,83	0,10	-3,67	56,85	-213,32	-21,76	77,02
S1	30	Vše ZS	-0,08	0,14	-0,02	-0,24	-0,09	2,77	0,17	2,81
S1	31	Vše ZS	6,06	5,83	0,10	-3,67	56,85	-213,32	-21,76	77,02
S1	31	Vše ZS	-0,39	4,14	-1,65	-4,27	-5,57	-17,05	13,94	-23,52
S1	32	Vše ZS	-0,39	4,14	-1,65	-4,27	-5,57	-17,05	13,94	-23,52
S1	32	Vše ZS	6,06	5,83	0,10	-3,67	56,85	-213,32	-21,76	77,02
S1	33	Vše ZS	-2,94	-1,71	4,27	-35,60	0,96	-192,08	11,68	<b>106,10</b>
S1	33	Vše ZS	8,89	4,57	2,82	-31,09	46,90	<b>-251,54</b>	-33,77	37,97
S1	34	Vše ZS	-2,94	-1,71	4,27	-35,60	0,96	-192,08	11,68	106,10
S1	34	Vše ZS	-0,44	5,47	-4,82	4,63	3,02	-89,20	4,71	<b>-54,04</b>
S1	35	Vše ZS	-0,44	5,47	-4,82	4,63	3,02	-89,20	4,71	-54,04
S1	35	Vše ZS	-2,94	-1,71	4,27	-35,60	0,96	-192,08	11,68	106,10
S1	36	Vše ZS	-2,94	-1,71	4,27	-35,60	0,96	-192,08	11,68	106,10
S1	36	Vše ZS	-0,44	5,47	-4,82	4,63	3,02	-89,20	4,71	-54,04
S1	37	Vše ZS	-0,77	-0,21	0,13	-7,30	-1,83	-64,22	6,27	16,73
S1	37	Vše ZS	8,89	4,57	2,82	-31,09	46,90	-251,54	-33,77	37,97
S1	38	Vše ZS	8,89	4,57	2,82	-31,09	46,90	-251,54	-33,77	37,97
S1	38	Vše ZS	-0,08	0,08	-0,09	-0,01	-0,03	0,08	0,46	0,44
S1	39	Vše ZS	8,89	4,57	2,82	-31,09	46,90	-251,54	-33,77	37,97
S1	39	Vše ZS	-2,94	-1,71	4,27	-35,60	0,96	-192,08	11,68	106,10
S1	40	Vše ZS	-0,44	5,47	-4,82	4,63	3,02	-89,20	4,71	-54,04
S1	40	Vše ZS	-2,94	-1,71	4,27	-35,60	0,96	-192,08	11,68	106,10
S1	41	Vše ZS	-0,01	0,11	-0,06	-0,49	-0,09	0,54	0,36	0,71
S1	41	Vše ZS	4,14	2,33	0,85	4,33	56,85	-236,20	-12,90	15,11
S1	42	Vše ZS	0,46	-0,54	0,09	0,19	0,98	-76,92	-3,77	12,13
S1	42	Vše ZS	1,17	5,66	-4,52	-14,44	-5,63	-45,70	14,89	-40,10
S1	43	Vše ZS	1,17	5,66	-4,52	-14,44	-5,63	-45,70	14,89	-40,10
S1	43	Vše ZS	1,84	1,14	<b>6,64</b>	12,51	25,05	-200,50	-1,67	89,22
S1	44	Vše ZS	1,17	5,66	-4,52	-14,44	-5,63	-45,70	14,89	-40,10
S1	44	Vše ZS	1,84	1,14	6,64	12,51	25,05	-200,50	-1,67	89,22
S1	45	Vše ZS	1,17	5,66	-4,52	-14,44	-5,63	-45,70	14,89	-40,10
S1	45	Vše ZS	4,14	2,33	0,85	4,33	56,85	-236,20	-12,90	15,11
S1	46	Vše ZS	4,14	2,33	0,85	4,33	56,85	-236,20	-12,90	15,11
S1	46	Vše ZS	-0,01	0,11	-0,06	-0,49	-0,09	0,54	0,36	0,71

Prvek	prvek	Stav	mx [kNm/m]	my [kNm/m]	mxy [kNm/m]	vx [kN/m]	vy [kN/m]	nx [kN/m]	ny [kN/m]	nxy [kN/m]
S1	47	Vše ZS	4,14	2,33	0,85	4,33	56,85	-236,20	-12,90	15,11
S1	47	Vše ZS	1,17	5,66	-4,52	-14,44	-5,63	-45,70	14,89	-40,10
S1	48	Vše ZS	1,17	5,66	-4,52	-14,44	-5,63	-45,70	14,89	-40,10
S1	48	Vše ZS	1,84	1,14	6,64	12,51	25,05	-200,50	-1,67	89,22
S1	49	Vše ZS	-8,57	-2,01	1,07	4,50	-11,04	-78,41	28,32	-10,21
S1	49	Vše ZS	11,54	9,57	0,03	14,75	<b>-47,28</b>	-180,75	-49,68	73,49
S1	50	Vše ZS	-8,57	-2,01	1,07	4,50	-11,04	-78,41	28,32	-10,21
S1	50	Vše ZS	11,54	9,57	0,03	14,75	-47,28	-180,75	-49,68	73,49
S1	51	Vše ZS	2,39	6,30	-0,76	32,52	-36,50	-137,28	-20,12	44,94
S1	51	Vše ZS	-8,57	-2,01	1,07	4,50	-11,04	-78,41	28,32	-10,21
S1	52	Vše ZS	0,00	0,00	0,00	0,00	0,00	0,01	0,00	0,00
S1	52	Vše ZS	2,39	6,30	-0,76	32,52	-36,50	-137,28	-20,12	44,94
S1	53	Vše ZS	11,54	9,57	0,03	14,75	-47,28	-180,75	-49,68	73,49
S1	53	Vše ZS	0,00	0,00	0,00	0,00	0,00	0,00	0,00	0,00
S1	54	Vše ZS	11,54	9,57	0,03	14,75	-47,28	-180,75	-49,68	73,49
S1	54	Vše ZS	-0,35	-0,05	0,08	0,07	-0,39	3,77	0,05	4,45
S2	55	Vše ZS	11,54	9,57	0,03	14,75	-47,28	-180,75	-49,68	73,49
S2	55	Vše ZS	-8,57	-2,01	1,07	4,50	-11,04	-78,41	28,32	-10,21
S2	56	Vše ZS	-8,57	-2,01	1,07	4,50	-11,04	-78,41	28,32	-10,21
S2	56	Vše ZS	11,54	9,57	0,03	14,75	-47,28	-180,75	-49,68	73,49
S2	57	Vše ZS	-4,80	-1,61	1,74	4,63	-10,99	-47,35	29,39	0,64
S2	57	Vše ZS	8,00	8,02	-1,37	20,97	-40,63	-223,54	-84,11	50,55
S2	58	Vše ZS	-4,80	-1,61	1,74	4,63	-10,99	-47,35	29,39	0,64
S2	58	Vše ZS	8,00	8,02	-1,37	20,97	-40,63	-223,54	-84,11	50,55
S2	59	Vše ZS	-1,52	3,61	-2,94	33,07	-22,88	-127,59	-13,28	39,74
S2	59	Vše ZS	-4,80	-1,61	1,74	4,63	-10,99	-47,35	29,39	0,64
S2	60	Vše ZS	-0,20	-0,05	0,10	-0,06	-0,69	3,02	-0,83	3,77
S2	60	Vše ZS	-1,52	3,61	-2,94	33,07	-22,88	-127,59	-13,28	39,74
S2	61	Vše ZS	8,00	8,02	-1,37	20,97	-40,63	-223,54	-84,11	50,55
S2	61	Vše ZS	0,00	0,00	0,00	0,00	0,00	-0,01	0,00	0,00
S2	62	Vše ZS	8,00	8,02	-1,37	20,97	-40,63	-223,54	-84,11	50,55
S2	62	Vše ZS	-0,14	-0,05	0,06	-0,01	-0,60	3,04	-0,09	4,17
S2	63	Vše ZS	8,00	8,02	-1,37	20,97	-40,63	-223,54	-84,11	50,55
S2	63	Vše ZS	-4,80	-1,61	1,74	4,63	-10,99	-47,35	29,39	0,64
S2	64	Vše ZS	0,00	0,00	0,00	0,00	0,00	-0,01	0,00	0,00
S2	64	Vše ZS	8,00	8,02	-1,37	20,97	-40,63	-223,54	-84,11	50,55
S2	65	Vše ZS	-3,73	2,44	-2,64	11,13	-4,19	-112,44	15,98	-22,37
S2	65	Vše ZS	19,08	12,47	-3,78	0,87	-30,85	-168,89	-32,95	75,46
S2	66	Vše ZS	1,30	-0,07	-0,73	-0,32	0,38	-39,90	-0,32	14,56
S2	66	Vše ZS	19,08	12,47	-3,78	0,87	-30,85	-168,89	-32,95	75,46
S3	67	Vše ZS	19,08	12,47	-3,78	0,87	-30,85	-168,89	-32,95	75,46
S3	67	Vše ZS	0,00	0,00	0,00	0,00	0,00	0,01	0,00	0,01
S3	68	Vše ZS	7,24	5,37	-1,57	-23,36	-14,11	-158,23	-4,88	94,47
S3	68	Vše ZS	-3,73	2,44	-2,64	11,13	-4,19	-112,44	15,98	-22,37
S3	69	Vše ZS	19,08	12,47	-3,78	0,87	-30,85	-168,89	-32,95	75,46
S3	69	Vše ZS	2,13	1,39	-0,76	-0,45	0,86	-50,54	-0,12	15,77
S3	70	Vše ZS	19,08	12,47	-3,78	0,87	-30,85	-168,89	-32,95	75,46
S3	70	Vše ZS	-0,29	0,11	-0,08	0,21	-0,24	1,39	1,67	3,75
S3	71	Vše ZS	19,08	12,47	-3,78	0,87	-30,85	-168,89	-32,95	75,46
S3	71	Vše ZS	-3,73	2,44	-2,64	11,13	-4,19	-112,44	15,98	-22,37
S3	72	Vše ZS	-3,73	2,44	-2,64	11,13	-4,19	-112,44	15,98	-22,37
S3	72	Vše ZS	7,24	5,37	-1,57	-23,36	-14,11	-158,23	-4,88	94,47
S3	73	Vše ZS	-2,70	2,57	-2,44	7,50	-4,94	-71,10	29,14	-14,18
S3	73	Vše ZS	12,78	11,33	-5,21	18,34	-14,93	-184,46	-40,63	57,34
S3	74	Vše ZS	0,00	0,00	0,00	0,00	0,00	-0,02	-0,02	0,01
S3	74	Vše ZS	12,78	11,33	-5,21	18,34	-14,93	-184,46	-40,63	57,34
S3	75	Vše ZS	12,78	11,33	-5,21	18,34	-14,93	-184,46	-40,63	57,34
S3	75	Vše ZS	11,14	8,35	0,79	-19,53	-17,88	-192,47	-30,34	83,53
S3	76	Vše ZS	11,14	8,35	0,79	-19,53	-17,88	-192,47	-30,34	83,53
S3	76	Vše ZS	12,78	11,33	-5,21	18,34	-14,93	-184,46	-40,63	57,34
S3	77	Vše ZS	11,14	8,35	0,79	-19,53	-17,88	-192,47	-30,34	83,53
S3	77	Vše ZS	1,74	1,52	-0,72	0,91	1,31	-51,05	-2,98	14,54
S3	78	Vše ZS	11,14	8,35	0,79	-19,53	-17,88	-192,47	-30,34	83,53
S3	78	Vše ZS	-0,17	0,13	-0,05	0,37	-0,22	2,02	1,32	4,21
S3	79	Vše ZS	12,78	11,33	-5,21	18,34	-14,93	-184,46	-40,63	57,34
S3	79	Vše ZS	-2,70	2,57	-2,44	7,50	-4,94	-71,10	29,14	-14,18

Prvek	prvek	Stav	mx [kNm/m]	my [kNm/m]	mxy [kNm/m]	vx [kN/m]	vy [kN/m]	nx [kN/m]	ny [kN/m]	nxy [kN/m]
S3	80	Vše ZS	-2,70	2,57	-2,44	7,50	-4,94	-71,10	29,14	-14,18
S3	80	Vše ZS	11,14	8,35	0,79	-19,53	-17,88	-192,47	-30,34	83,53
S3	81	Vše ZS	-9,53	<b>-5,81</b>	0,31	-23,27	13,76	-113,80	75,99	93,07
S3	81	Vše ZS	4,82	1,15	0,00	<b>-47,40</b>	-5,49	-198,04	-43,02	91,14
S3	82	Vše ZS	-9,53	-5,81	0,31	-23,27	13,76	-113,80	75,99	93,07
S3	82	Vše ZS	4,17	7,08	-2,42	4,44	-12,86	-157,96	-48,48	-19,67
S3	83	Vše ZS	4,17	7,08	-2,42	4,44	-12,86	-157,96	-48,48	-19,67
S3	83	Vše ZS	-9,53	-5,81	0,31	-23,27	13,76	-113,80	75,99	93,07
S3	84	Vše ZS	4,82	1,15	0,00	-47,40	-5,49	-198,04	-43,02	91,14
S3	84	Vše ZS	3,02	5,78	-2,31	5,19	-8,85	-110,73	-26,86	-18,22
S3	85	Vše ZS	4,17	7,08	-2,42	4,44	-12,86	-157,96	-48,48	-19,67
S3	85	Vše ZS	-9,53	-5,81	0,31	-23,27	13,76	-113,80	75,99	93,07
S3	86	Vše ZS	4,82	1,15	0,00	-47,40	-5,49	-198,04	-43,02	91,14
S3	86	Vše ZS	0,00	0,00	0,00	0,00	0,00	0,01	0,01	0,01
S3	87	Vše ZS	4,17	7,08	-2,42	4,44	-12,86	-157,96	-48,48	-19,67
S3	87	Vše ZS	-9,53	-5,81	0,31	-23,27	13,76	-113,80	75,99	93,07
S3	88	Vše ZS	4,17	7,08	-2,42	4,44	-12,86	-157,96	-48,48	-19,67
S3	88	Vše ZS	-9,53	-5,81	0,31	-23,27	13,76	-113,80	75,99	93,07
S3	89	Vše ZS	-2,89	-1,44	3,86	-41,39	1,39	-163,37	18,85	88,64
S3	89	Vše ZS	8,83	4,27	2,46	-43,11	-9,57	-239,48	-51,52	81,68
S3	90	Vše ZS	-2,89	-1,44	3,86	-41,39	1,39	-163,37	18,85	88,64
S3	90	Vše ZS	-0,58	4,77	-4,44	5,04	-1,80	-118,87	3,98	-17,88
S3	91	Vše ZS	-0,58	4,77	-4,44	5,04	-1,80	-118,87	3,98	-17,88
S3	91	Vše ZS	-2,89	-1,44	3,86	-41,39	1,39	-163,37	18,85	88,64
S3	92	Vše ZS	8,83	4,27	2,46	-43,11	-9,57	-239,48	-51,52	81,68
S3	92	Vše ZS	-0,58	4,77	-4,44	5,04	-1,80	-118,87	3,98	-17,88
S3	93	Vše ZS	8,83	4,27	2,46	-43,11	-9,57	-239,48	-51,52	81,68
S3	93	Vše ZS	0,31	0,13	0,23	-7,21	3,21	-56,20	0,38	15,65
S4	94	Vše ZS	8,83	4,27	2,46	-43,11	-9,57	-239,48	-51,52	81,68
S4	94	Vše ZS	0,05	0,23	-0,19	0,37	0,18	0,39	4,77	1,28
S4	95	Vše ZS	8,83	4,27	2,46	-43,11	-9,57	-239,48	-51,52	81,68
S4	95	Vše ZS	-1,90	0,09	1,79	-25,97	0,94	-110,59	19,57	56,83
S4	96	Vše ZS	-0,58	4,77	-4,44	5,04	-1,80	-118,87	3,98	-17,88
S4	96	Vše ZS	-2,89	-1,44	3,86	-41,39	1,39	-163,37	18,85	88,64
S4	97	Vše ZS	-12,11	-3,41	1,99	8,78	-12,97	-88,17	34,22	14,98
S4	97	Vše ZS	7,32	0,04	-0,72	1,31	-1,08	-165,81	-41,58	60,90
S4	98	Vše ZS	-12,11	-3,41	1,99	8,78	-12,97	-88,17	34,22	14,98
S4	98	Vše ZS	5,35	1,48	-0,12	33,46	-9,87	-146,93	-54,52	81,83
S4	99	Vše ZS	7,32	0,04	-0,72	1,31	-1,08	-165,81	-41,58	60,90
S4	99	Vše ZS	-12,11	-3,41	1,99	8,78	-12,97	-88,17	34,22	14,98
S4	100	Vše ZS	0,00	0,00	0,00	0,00	0,00	0,00	0,00	0,00
S4	100	Vše ZS	5,35	1,48	-0,12	33,46	-9,87	-146,93	-54,52	81,83
S4	101	Vše ZS	-12,11	-3,41	1,99	8,78	-12,97	-88,17	34,22	14,98
S4	101	Vše ZS	0,00	0,00	0,00	0,00	0,00	0,00	0,00	0,00
S4	102	Vše ZS	7,32	0,04	-0,72	1,31	-1,08	-165,81	-41,58	60,90
S4	102	Vše ZS	-0,52	-0,11	0,14	0,22	-0,41	4,74	1,06	6,04
S4	103	Vše ZS	5,35	1,48	-0,12	33,46	-9,87	-146,93	-54,52	81,83
S4	103	Vše ZS	-12,11	-3,41	1,99	8,78	-12,97	-88,17	34,22	14,98
S4	104	Vše ZS	0,00	0,00	0,00	0,00	0,00	0,00	0,00	0,00
S4	104	Vše ZS	5,35	1,48	-0,12	33,46	-9,87	-146,93	-54,52	81,83
S4	105	Vše ZS	-8,85	-3,41	2,34	6,40	-11,78	-67,59	39,84	18,88
S4	105	Vše ZS	9,76	0,67	-0,04	19,39	4,33	-203,30	-83,81	44,12
S5	106	Vše ZS	-8,85	-3,41	2,34	6,40	-11,78	-67,59	39,84	18,88
S5	106	Vše ZS	9,76	0,67	-0,04	19,39	4,33	-203,30	-83,81	44,12
S5	107	Vše ZS	1,24	0,55	-1,17	28,29	-8,17	-147,08	-53,25	67,81
S5	107	Vše ZS	-8,85	-3,41	2,34	6,40	-11,78	-67,59	39,84	18,88
S5	108	Vše ZS	0,00	0,00	0,00	0,00	0,00	0,01	0,00	0,01
S5	108	Vše ZS	1,24	0,55	-1,17	28,29	-8,17	-147,08	-53,25	67,81
S5	109	Vše ZS	-8,85	-3,41	2,34	6,40	-11,78	-67,59	39,84	18,88
S5	109	Vše ZS	9,76	0,67	-0,04	19,39	4,33	-203,30	-83,81	44,12
S5	110	Vše ZS	9,76	0,67	-0,04	19,39	4,33	-203,30	-83,81	44,12
S5	110	Vše ZS	-0,28	-0,10	0,10	0,05	-0,64	3,80	0,91	5,56
S5	111	Vše ZS	9,76	0,67	-0,04	19,39	4,33	-203,30	-83,81	44,12
S5	111	Vše ZS	-8,85	-3,41	2,34	6,40	-11,78	-67,59	39,84	18,88
S5	112	Vše ZS	0,00	0,00	0,00	0,00	0,00	0,01	0,00	0,00
S5	112	Vše ZS	1,24	0,55	-1,17	28,29	-8,17	-147,08	-53,25	67,81

Prvek	prvek	Stav	mx [kNm/m]	my [kNm/m]	mxy [kNm/m]	vx [kN/m]	vy [kN/m]	nx [kN/m]	ny [kN/m]	nxy [kN/m]
S5	113	Vše ZS	-1,97	2,48	-1,40	12,89	-4,09	-97,19	3,64	8,14
S5	113	Vše ZS	17,97	6,54	-5,77	-2,14	19,37	-151,93	-48,61	92,47
S5	114	Vše ZS	-0,87	-0,88	-3,11	-12,40	0,13	-131,58	31,73	54,86
S5	114	Vše ZS	17,97	6,54	-5,77	-2,14	19,37	-151,93	-48,61	92,47
S5	115	Vše ZS	17,97	6,54	-5,77	-2,14	19,37	-151,93	-48,61	92,47
S5	115	Vše ZS	0,00	0,00	0,00	0,00	0,00	0,00	-0,01	0,01
S5	116	Vše ZS	-0,87	-0,88	-3,11	-12,40	0,13	-131,58	31,73	54,86
S5	116	Vše ZS	-1,31	3,00	-1,82	17,24	-3,53	-132,64	-4,67	16,23
S5	117	Vše ZS	-1,97	2,48	-1,40	12,89	-4,09	-97,19	3,64	8,14
S5	117	Vše ZS	17,97	6,54	-5,77	-2,14	19,37	-151,93	-48,61	92,47
S5	118	Vše ZS	17,97	6,54	-5,77	-2,14	19,37	-151,93	-48,61	92,47
S5	118	Vše ZS	-0,33	0,18	-0,01	0,43	-0,47	0,91	5,13	5,00
S5	119	Vše ZS	17,97	6,54	-5,77	-2,14	19,37	-151,93	-48,61	92,47
S5	119	Vše ZS	-0,87	-0,88	-3,11	-12,40	0,13	-131,58	31,73	54,86
S5	120	Vše ZS	0,00	0,00	0,00	0,00	0,00	0,00	-0,01	0,01
S5	120	Vše ZS	17,97	6,54	-5,77	-2,14	19,37	-151,93	-48,61	92,47
S5	121	Vše ZS	-3,76	2,30	-2,54	8,78	-0,75	-113,45	16,08	16,12
S5	121	Vše ZS	18,03	7,22	-5,32	6,15	9,11	-169,60	-60,39	92,33
S5	122	Vše ZS	0,00	0,00	0,00	0,00	0,00	0,01	-0,01	0,01
S5	122	Vše ZS	18,03	7,22	-5,32	6,15	9,11	-169,60	-60,39	92,33
S5	123	Vše ZS	18,03	7,22	-5,32	6,15	9,11	-169,60	-60,39	92,33
S5	123	Vše ZS	0,00	0,00	0,00	0,00	0,00	0,00	-0,01	0,00
S5	124	Vše ZS	6,36	0,98	-1,11	-9,23	-0,07	-155,91	-0,24	60,14
S5	124	Vše ZS	-3,76	2,30	-2,54	8,78	-0,75	-113,45	16,08	16,12
S5	125	Vše ZS	-3,37	2,01	-1,86	6,97	-1,22	-80,35	18,30	10,57
S5	125	Vše ZS	18,03	7,22	-5,32	6,15	9,11	-169,60	-60,39	92,33
S5	126	Vše ZS	18,03	7,22	-5,32	6,15	9,11	-169,60	-60,39	92,33
S5	126	Vše ZS	-0,29	0,14	-0,03	0,38	-0,21	2,09	4,04	5,27
S5	127	Vše ZS	18,03	7,22	-5,32	6,15	9,11	-169,60	-60,39	92,33
S5	127	Vše ZS	-3,37	2,01	-1,86	6,97	-1,22	-80,35	18,30	10,57
S5	128	Vše ZS	0,00	0,00	0,00	0,00	0,00	0,00	-0,01	0,00
S5	128	Vše ZS	18,03	7,22	-5,32	6,15	9,11	-169,60	-60,39	92,33
S5	129	Vše ZS	-9,76	-4,77	-0,09	-5,90	10,48	-64,43	<b>110,16</b>	58,05
S5	129	Vše ZS	10,49	6,35	-1,36	4,48	16,51	-188,62	-96,19	4,45
S5	130	Vše ZS	-9,76	-4,77	-0,09	-5,90	10,48	-64,43	110,16	58,05
S5	130	Vše ZS	10,49	6,35	-1,36	4,48	16,51	-188,62	-96,19	4,45
S5	131	Vše ZS	7,64	5,34	-1,73	5,57	9,60	-134,49	-53,01	-2,98
S5	131	Vše ZS	-1,90	-0,65	0,35	-5,68	2,91	-57,78	6,01	28,78
S5	132	Vše ZS	-1,35	-2,45	-1,66	-40,97	26,12	-115,11	5,67	84,32
S5	132	Vše ZS	7,64	5,34	-1,73	5,57	9,60	-134,49	-53,01	-2,98
S6	133	Vše ZS	0,23	0,43	-0,16	0,98	-0,17	-3,91	8,74	1,01
S6	133	Vše ZS	-1,35	-2,45	-1,66	-40,97	26,12	-115,11	5,67	84,32
S6	134	Vše ZS	10,49	6,35	-1,36	4,48	16,51	-188,62	-96,19	4,45
S6	134	Vše ZS	0,00	0,00	0,00	0,00	0,00	0,00	0,01	0,02
S6	135	Vše ZS	10,49	6,35	-1,36	4,48	16,51	-188,62	-96,19	4,45
S6	135	Vše ZS	-9,76	-4,77	-0,09	-5,90	10,48	-64,43	110,16	58,05
S6	136	Vše ZS	7,64	5,34	-1,73	5,57	9,60	-134,49	-53,01	-2,98
S6	136	Vše ZS	-1,35	-2,45	-1,66	-40,97	26,12	-115,11	5,67	84,32
S6	137	Vše ZS	-9,26	-4,43	0,19	-15,26	13,85	-111,27	66,47	53,24
S6	137	Vše ZS	4,50	-0,46	0,27	-35,53	33,88	-162,47	-39,16	88,22
S6	138	Vše ZS	-9,26	-4,43	0,19	-15,26	13,85	-111,27	66,47	53,24
S6	138	Vše ZS	3,63	4,41	-3,37	-0,55	12,82	-157,12	-40,39	15,19
S6	139	Vše ZS	3,63	4,41	-3,37	-0,55	12,82	-157,12	-40,39	15,19
S6	139	Vše ZS	4,50	-0,46	0,27	-35,53	33,88	-162,47	-39,16	88,22
S6	140	Vše ZS	4,50	-0,46	0,27	-35,53	33,88	-162,47	-39,16	88,22
S6	140	Vše ZS	2,69	4,13	-3,05	1,46	8,22	-110,09	-15,04	6,41
S6	141	Vše ZS	0,22	0,38	-0,19	0,73	-0,03	-0,13	10,11	0,54
S6	141	Vše ZS	4,50	-0,46	0,27	-35,53	33,88	-162,47	-39,16	88,22
S6	142	Vše ZS	4,50	-0,46	0,27	-35,53	33,88	-162,47	-39,16	88,22
S6	142	Vše ZS	0,00	0,00	0,00	0,00	0,00	0,00	-0,01	0,02
S6	143	Vše ZS	3,63	4,41	-3,37	-0,55	12,82	-157,12	-40,39	15,19
S6	143	Vše ZS	-9,26	-4,43	0,19	-15,26	13,85	-111,27	66,47	53,24
S6	144	Vše ZS	0,00	0,00	0,00	0,00	0,00	0,00	0,00	0,01
S6	144	Vše ZS	4,50	-0,46	0,27	-35,53	33,88	-162,47	-39,16	88,22
S7	145	Vše ZS	<b>-12,99</b>	-3,12	4,18	19,85	-14,37	-85,53	18,56	51,11
S7	145	Vše ZS	8,00	6,10	-0,26	32,38	-16,72	-161,46	-55,36	81,56

Prvek	prvek	Stav	mx [kNm/m]	my [kNm/m]	mxy [kNm/m]	vx [kN/m]	vy [kN/m]	nx [kN/m]	ny [kN/m]	nxy [kN/m]
S7	146	Vše ZS	-12,99	-3,12	4,18	19,85	-14,37	-85,53	18,56	51,11
S7	146	Vše ZS	8,00	6,10	-0,26	32,38	-16,72	-161,46	-55,36	81,56
S7	147	Vše ZS	2,66	2,50	-2,70	-12,42	3,55	-139,34	11,49	24,37
S7	147	Vše ZS	-12,99	-3,12	4,18	19,85	-14,37	-85,53	18,56	51,11
S7	148	Vše ZS	2,66	2,50	-2,70	-12,42	3,55	-139,34	11,49	24,37
S7	148	Vše ZS	8,00	6,10	-0,26	32,38	-16,72	-161,46	-55,36	81,56
S7	149	Vše ZS	8,00	6,10	-0,26	32,38	-16,72	-161,46	-55,36	81,56
S7	149	Vše ZS	2,66	2,50	-2,70	-12,42	3,55	-139,34	11,49	24,37
S7	150	Vše ZS	8,00	6,10	-0,26	32,38	-16,72	-161,46	-55,36	81,56
S7	150	Vše ZS	-0,66	-0,17	0,24	0,37	-0,58	6,04	3,89	8,48
S7	151	Vše ZS	8,00	6,10	-0,26	32,38	-16,72	-161,46	-55,36	81,56
S7	151	Vše ZS	-11,06	-2,67	3,40	13,99	-11,84	-67,60	19,95	34,88
S7	152	Vše ZS	0,00	0,00	0,00	0,00	0,00	-0,01	-0,01	0,01
S7	152	Vše ZS	8,00	6,10	-0,26	32,38	-16,72	-161,46	-55,36	81,56
S7	153	Vše ZS	-12,34	-4,56	3,32	11,84	-15,38	-78,22	27,55	50,52
S7	153	Vše ZS	8,34	5,15	-0,37	-4,96	2,71	-178,13	-47,07	28,42
S7	154	Vše ZS	-12,34	-4,56	3,32	11,84	-15,38	-78,22	27,55	50,52
S7	154	Vše ZS	6,15	5,50	-0,85	<b>40,09</b>	-13,32	-170,75	-88,11	79,54
S7	155	Vše ZS	6,15	5,50	-0,85	40,09	-13,32	-170,75	-88,11	79,54
S7	155	Vše ZS	-12,34	-4,56	3,32	11,84	-15,38	-78,22	27,55	50,52
S7	156	Vše ZS	8,34	5,15	-0,37	-4,96	2,71	-178,13	-47,07	28,42
S7	156	Vše ZS	6,15	5,50	-0,85	40,09	-13,32	-170,75	-88,11	79,54
S8	157	Vše ZS	-12,34	-4,56	3,32	11,84	-15,38	-78,22	27,55	50,52
S8	157	Vše ZS	8,34	5,15	-0,37	-4,96	2,71	-178,13	-47,07	28,42
S8	158	Vše ZS	8,34	5,15	-0,37	-4,96	2,71	-178,13	-47,07	28,42
S8	158	Vše ZS	-0,40	-0,14	0,16	0,11	-0,73	4,66	3,11	7,57
S8	159	Vše ZS	6,15	5,50	-0,85	40,09	-13,32	-170,75	-88,11	79,54
S8	159	Vše ZS	-12,34	-4,56	3,32	11,84	-15,38	-78,22	27,55	50,52
S8	160	Vše ZS	0,00	0,00	0,00	0,00	0,00	0,00	0,00	0,01
S8	160	Vše ZS	6,15	5,50	-0,85	40,09	-13,32	-170,75	-88,11	79,54
S8	161	Vše ZS	-4,38	0,60	-3,09	-6,97	0,72	-97,85	71,27	8,26
S8	161	Vše ZS	12,96	9,25	<b>-8,44</b>	-24,41	-8,41	-131,05	-22,68	60,63
S8	162	Vše ZS	0,24	-0,01	-0,18	0,10	0,32	-6,06	-0,63	3,53
S8	162	Vše ZS	12,96	9,25	-8,44	-24,41	-8,41	-131,05	-22,68	60,63
S8	163	Vše ZS	12,96	9,25	-8,44	-24,41	-8,41	-131,05	-22,68	60,63
S8	163	Vše ZS	5,06	7,72	0,32	32,81	-5,52	-120,85	-35,20	49,84
S8	164	Vše ZS	12,96	9,25	-8,44	-24,41	-8,41	-131,05	-22,68	60,63
S8	164	Vše ZS	5,06	7,72	0,32	32,81	-5,52	-120,85	-35,20	49,84
S8	165	Vše ZS	12,96	9,25	-8,44	-24,41	-8,41	-131,05	-22,68	60,63
S8	165	Vše ZS	0,80	0,00	-0,61	0,34	1,04	-20,56	-2,03	11,95
S8	166	Vše ZS	12,96	9,25	-8,44	-24,41	-8,41	-131,05	-22,68	60,63
S8	166	Vše ZS	-0,22	0,03	0,02	0,22	-0,31	1,39	1,96	3,12
S8	167	Vše ZS	5,06	7,72	0,32	32,81	-5,52	-120,85	-35,20	49,84
S8	167	Vše ZS	-4,38	0,60	-3,09	-6,97	0,72	-97,85	71,27	8,26
S8	168	Vše ZS	0,00	0,00	0,00	0,00	0,00	-0,02	-0,01	0,01
S8	168	Vše ZS	12,96	9,25	-8,44	-24,41	-8,41	-131,05	-22,68	60,63
S8	169	Vše ZS	-1,74	3,62	-1,61	17,80	-4,91	-90,39	5,80	33,88
S8	169	Vše ZS	<b>19,16</b>	<b>12,54</b>	-5,63	-4,08	5,13	-139,65	-31,85	75,23
S8	170	Vše ZS	0,00	0,00	0,00	0,00	0,00	-0,01	-0,02	0,01
S8	170	Vše ZS	19,16	12,54	-5,63	-4,08	5,13	-139,65	-31,85	75,23
S8	171	Vše ZS	19,16	12,54	-5,63	-4,08	5,13	-139,65	-31,85	75,23
S8	171	Vše ZS	-0,34	0,11	0,03	0,57	-0,37	2,31	8,69	6,86
S8	172	Vše ZS	-0,33	1,81	-1,86	-16,82	1,34	-123,24	51,06	16,60
S8	172	Vše ZS	-0,94	4,84	-2,20	24,20	-5,90	-123,04	-12,22	52,51
S8	173	Vše ZS	-0,94	4,84	-2,20	24,20	-5,90	-123,04	-12,22	52,51
S8	173	Vše ZS	12,81	8,46	-5,41	-2,12	6,53	-99,93	-15,60	49,92
S8	174	Vše ZS	19,16	12,54	-5,63	-4,08	5,13	-139,65	-31,85	75,23
S8	174	Vše ZS	-0,34	0,11	0,03	0,57	-0,37	2,31	8,69	6,86
S8	175	Vše ZS	19,16	12,54	-5,63	-4,08	5,13	-139,65	-31,85	75,23
S8	175	Vše ZS	-0,33	1,81	-1,86	-16,82	1,34	-123,24	51,06	16,60
S8	176	Vše ZS	0,00	0,00	0,00	0,00	0,00	0,00	-0,01	0,01
S8	176	Vše ZS	19,16	12,54	-5,63	-4,08	5,13	-139,65	-31,85	75,23
S8	177	Vše ZS	-7,04	-2,31	-0,27	-2,03	7,35	-51,37	94,38	22,58
S8	177	Vše ZS	11,23	9,80	-2,83	-21,01	-2,39	-158,70	<b>-121,16</b>	25,76
S8	178	Vše ZS	-7,04	-2,31	-0,27	-2,03	7,35	-51,37	94,38	22,58
S8	178	Vše ZS	11,23	9,80	-2,83	-21,01	-2,39	-158,70	-121,16	25,76

## 59. Intenzity na prvcích

Lineární výpočet, Extrém : Ne

Výběr : Vše

Třída : Vše ZS

Stav	Liniová podpora	dx [m]	Rx [kN/m]	Ry [kN/m]	Rz [kN/m]	Mx [kNm/m]	My [kNm/m]	Mz [kNm/m]
LC1	Sle1	0,000	479,54	21,01	316,88	0,00	0,00	0,00
LC2	Sle1	0,000	656,64	-13,29	285,00	0,00	0,00	0,00
LC3	Sle1	0,000	305,51	-51,22	121,47	0,00	0,00	0,00
LC4	Sle1	0,000	728,63	<b>-267,81</b>	326,26	0,00	0,00	0,00
LC5	Sle1	0,000	360,45	103,30	522,54	0,00	0,00	0,00
LC6	Sle1	0,000	163,38	-8,74	62,78	0,00	0,00	0,00
LC7	Sle1	0,000	698,20	-44,84	99,31	0,00	0,00	0,00
LC8	Sle1	0,000	<b>793,35</b>	-205,03	284,77	0,00	0,00	0,00
LC9	Sle1	0,000	469,87	-162,40	190,71	0,00	0,00	0,00
LC10	Sle1	0,000	460,46	31,38	-17,60	0,00	0,00	0,00
LC11	Sle1	0,000	618,19	-217,77	271,52	0,00	0,00	0,00
LC12	Sle1	0,000	506,49	75,01	188,34	0,00	0,00	0,00
LC13	Sle1	0,000	201,18	51,55	-7,16	0,00	0,00	0,00
LC15	Sle1	0,000	94,38	-12,57	39,10	0,00	0,00	0,00
LC16	Sle1	0,000	119,85	-43,02	51,70	0,00	0,00	0,00
LC17	Sle1	0,000	45,06	12,91	65,32	0,00	0,00	0,00
LC18	Sle1	0,000	61,58	-2,77	25,56	0,00	0,00	0,00
LC19	Sle1	0,000	115,87	-1,35	8,17	0,00	0,00	0,00
LC20	Sle1	0,000	141,15	-42,28	55,63	0,00	0,00	0,00
LC21	Sle1	0,000	119,85	-43,02	51,70	0,00	0,00	0,00
LC22	Sle1	0,000	115,87	-1,35	8,17	0,00	0,00	0,00
LC23	Sle1	0,000	141,15	-42,28	55,63	0,00	0,00	0,00
LC24	Sle1	0,000	63,31	9,38	23,54	0,00	0,00	0,00
LC25	Sle1	0,000	25,15	6,44	-0,89	0,00	0,00	0,00
LC26	Sle1	0,000	0,74	-0,25	0,23	0,00	0,00	0,00
LC27	Sle1	0,000	0,26	-0,16	0,05	0,00	0,00	0,00
LC28	Sle1	0,000	0,49	-0,16	0,15	0,00	0,00	0,00
LC29	Sle1	0,000	0,17	-0,10	0,03	0,00	0,00	0,00
LC30	Sle1	0,000	90,72	-15,53	35,91	0,00	0,00	0,00
LC31	Sle1	0,000	510,04	-187,47	228,38	0,00	0,00	0,00
LC32	Sle1	0,000	488,74	-31,39	69,52	0,00	0,00	0,00
LC33	Sle1	0,000	555,34	-143,52	199,34	0,00	0,00	0,00
LC34	Sle1	0,000	328,91	-113,68	133,50	0,00	0,00	0,00
LC35	Sle1	0,000	322,32	21,97	-12,32	0,00	0,00	0,00
LC36	Sle1	0,000	432,73	-152,44	190,06	0,00	0,00	0,00
LC37	Sle1	0,000	47,42	-2,59	18,04	0,00	0,00	0,00
LC1	Sle1	0,971	60,12	-14,71	40,46	0,00	0,00	0,00
LC2	Sle1	0,971	80,69	-22,89	61,62	0,00	0,00	0,00
LC3	Sle1	0,971	50,58	-19,74	39,20	0,00	0,00	0,00
LC4	Sle1	0,971	171,78	-84,76	83,27	0,00	0,00	0,00
LC5	Sle1	0,971	20,80	-6,31	<b>-57,94</b>	0,00	0,00	0,00
LC6	Sle1	0,971	24,83	-9,37	13,50	0,00	0,00	0,00
LC7	Sle1	0,971	102,11	0,79	45,30	0,00	0,00	0,00
LC8	Sle1	0,971	153,85	-45,79	32,00	0,00	0,00	0,00
LC9	Sle1	0,971	124,08	-69,59	66,25	0,00	0,00	0,00
LC10	Sle1	0,971	55,68	13,85	40,35	0,00	0,00	0,00
LC11	Sle1	0,971	136,58	-57,69	20,58	0,00	0,00	0,00
LC12	Sle1	0,971	49,59	5,32	11,41	0,00	0,00	0,00
LC13	Sle1	0,971	21,06	5,31	22,63	0,00	0,00	0,00
LC15	Sle1	0,971	15,01	-5,60	10,86	0,00	0,00	0,00
LC16	Sle1	0,971	29,59	-15,43	14,95	0,00	0,00	0,00
LC17	Sle1	0,971	2,60	-0,79	-7,24	0,00	0,00	0,00
LC18	Sle1	0,971	9,07	-3,21	4,93	0,00	0,00	0,00
LC19	Sle1	0,971	15,78	1,46	8,57	0,00	0,00	0,00
LC20	Sle1	0,971	29,04	-10,35	5,26	0,00	0,00	0,00
LC21	Sle1	0,971	29,59	-15,43	14,95	0,00	0,00	0,00
LC22	Sle1	0,971	15,78	1,46	8,57	0,00	0,00	0,00
LC23	Sle1	0,971	29,04	-10,35	5,26	0,00	0,00	0,00
LC24	Sle1	0,971	6,20	0,67	1,43	0,00	0,00	0,00
LC25	Sle1	0,971	2,63	0,66	2,83	0,00	0,00	0,00

Stav	Liniová podpora	dx [m]	Rx [kN/m]	Ry [kN/m]	Rz [kN/m]	Mx [kNm/m]	My [kNm/m]	Mz [kNm/m]
LC26	Sle1	0,971	0,15	-0,07	0,12	0,00	0,00	0,00
LC27	Sle1	0,971	0,09	-0,08	0,06	0,00	0,00	0,00
LC28	Sle1	0,971	0,10	-0,05	0,08	0,00	0,00	0,00
LC29	Sle1	0,971	0,06	-0,05	0,04	0,00	0,00	0,00
LC30	Sle1	0,971	15,08	-5,91	11,76	0,00	0,00	0,00
LC31	Sle1	0,971	120,24	-59,33	58,29	0,00	0,00	0,00
LC32	Sle1	0,971	71,48	0,56	31,71	0,00	0,00	0,00
LC33	Sle1	0,971	107,70	-32,05	22,40	0,00	0,00	0,00
LC34	Sle1	0,971	86,85	-48,71	46,37	0,00	0,00	0,00
LC35	Sle1	0,971	38,97	9,70	28,25	0,00	0,00	0,00
LC36	Sle1	0,971	95,61	-40,38	14,41	0,00	0,00	0,00
LC37	Sle1	0,971	7,23	-2,75	3,93	0,00	0,00	0,00
LC1	Sle1	1,943	42,50	-15,08	39,38	0,00	0,00	0,00
LC2	Sle1	1,943	63,27	-24,99	52,73	0,00	0,00	0,00
LC3	Sle1	1,943	39,52	-16,53	30,22	0,00	0,00	0,00
LC4	Sle1	1,943	139,21	-73,61	61,82	0,00	0,00	0,00
LC5	Sle1	1,943	3,55	-5,95	-20,76	0,00	0,00	0,00
LC6	Sle1	1,943	24,29	-12,44	13,05	0,00	0,00	0,00
LC7	Sle1	1,943	74,89	-11,45	30,73	0,00	0,00	0,00
LC8	Sle1	1,943	95,17	-34,36	20,23	0,00	0,00	0,00
LC9	Sle1	1,943	121,64	-75,00	58,97	0,00	0,00	0,00
LC10	Sle1	1,943	58,50	-10,22	32,43	0,00	0,00	0,00
LC11	Sle1	1,943	90,85	-45,64	16,92	0,00	0,00	0,00
LC12	Sle1	1,943	21,44	1,45	4,80	0,00	0,00	0,00
LC13	Sle1	1,943	11,59	2,94	8,79	0,00	0,00	0,00
LC15	Sle1	1,943	11,70	-4,89	8,53	0,00	0,00	0,00
LC16	Sle1	1,943	26,08	-14,86	12,08	0,00	0,00	0,00
LC17	Sle1	1,943	0,44	-0,74	-2,60	0,00	0,00	0,00
LC18	Sle1	1,943	8,18	-3,95	4,57	0,00	0,00	0,00
LC19	Sle1	1,943	13,34	-2,17	6,32	0,00	0,00	0,00
LC20	Sle1	1,943	18,60	-8,00	3,71	0,00	0,00	0,00
LC21	Sle1	1,943	26,08	-14,86	12,08	0,00	0,00	0,00
LC22	Sle1	1,943	13,34	-2,17	6,32	0,00	0,00	0,00
LC23	Sle1	1,943	18,60	-8,00	3,71	0,00	0,00	0,00
LC24	Sle1	1,943	2,68	0,18	0,60	0,00	0,00	0,00
LC25	Sle1	1,943	1,45	0,37	1,10	0,00	0,00	0,00
LC26	Sle1	1,943	0,12	-0,05	0,09	0,00	0,00	0,00
LC27	Sle1	1,943	0,11	-0,08	0,07	0,00	0,00	0,00
LC28	Sle1	1,943	0,08	-0,03	0,06	0,00	0,00	0,00
LC29	Sle1	1,943	0,07	-0,05	0,05	0,00	0,00	0,00
LC30	Sle1	1,943	11,78	-4,93	9,05	0,00	0,00	0,00
LC31	Sle1	1,943	97,44	-51,52	43,28	0,00	0,00	0,00
LC32	Sle1	1,943	52,43	-8,01	21,51	0,00	0,00	0,00
LC33	Sle1	1,943	66,62	-24,05	14,16	0,00	0,00	0,00
LC34	Sle1	1,943	85,15	-52,50	41,28	0,00	0,00	0,00
LC35	Sle1	1,943	40,95	-7,15	22,70	0,00	0,00	0,00
LC36	Sle1	1,943	63,60	-31,95	11,84	0,00	0,00	0,00
LC37	Sle1	1,943	7,15	-3,68	3,82	0,00	0,00	0,00
LC1	Sle1	2,914	30,30	-15,05	37,72	0,00	0,00	0,00
LC2	Sle1	2,914	50,87	-25,69	47,05	0,00	0,00	0,00
LC3	Sle1	2,914	28,11	-11,87	22,05	0,00	0,00	0,00
LC4	Sle1	2,914	114,84	-62,26	49,31	0,00	0,00	0,00
LC5	Sle1	2,914	-6,63	-6,15	-2,05	0,00	0,00	0,00
LC6	Sle1	2,914	27,23	-15,75	15,39	0,00	0,00	0,00
LC7	Sle1	2,914	68,90	-30,96	37,51	0,00	0,00	0,00
LC8	Sle1	2,914	53,39	-23,28	10,57	0,00	0,00	0,00
LC9	Sle1	2,914	130,08	-78,46	60,89	0,00	0,00	0,00
LC10	Sle1	2,914	81,85	-43,17	52,05	0,00	0,00	0,00
LC11	Sle1	2,914	59,44	-32,16	11,82	0,00	0,00	0,00
LC12	Sle1	2,914	1,60	-2,15	0,11	0,00	0,00	0,00
LC13	Sle1	2,914	3,99	0,98	1,01	0,00	0,00	0,00
LC15	Sle1	2,914	8,52	-3,80	6,46	0,00	0,00	0,00
LC16	Sle1	2,914	24,49	-14,07	11,02	0,00	0,00	0,00
LC17	Sle1	2,914	-0,83	-0,77	-0,26	0,00	0,00	0,00
LC18	Sle1	2,914	8,32	-4,70	4,92	0,00	0,00	0,00
LC19	Sle1	2,914	15,07	-7,41	8,96	0,00	0,00	0,00

Stav	Liniová podpora	dx [m]	Rx [kN/m]	Ry [kN/m]	Rz [kN/m]	Mx [kNm/m]	My [kNm/m]	Mz [kNm/m]
LC20	Sle1	2,914	11,28	-5,54	2,24	0,00	0,00	0,00
LC21	Sle1	2,914	24,49	-14,07	11,02	0,00	0,00	0,00
LC22	Sle1	2,914	15,07	-7,41	8,96	0,00	0,00	0,00
LC23	Sle1	2,914	11,28	-5,54	2,24	0,00	0,00	0,00
LC24	Sle1	2,914	0,20	-0,27	0,01	0,00	0,00	0,00
LC25	Sle1	2,914	0,50	0,12	0,13	0,00	0,00	0,00
LC26	Sle1	2,914	0,07	-0,02	0,06	0,00	0,00	0,00
LC27	Sle1	2,914	0,12	-0,07	0,08	0,00	0,00	0,00
LC28	Sle1	2,914	0,05	-0,02	0,04	0,00	0,00	0,00
LC29	Sle1	2,914	0,08	-0,05	0,05	0,00	0,00	0,00
LC30	Sle1	2,914	8,36	-3,51	6,58	0,00	0,00	0,00
LC31	Sle1	2,914	80,39	-43,58	34,52	0,00	0,00	0,00
LC32	Sle1	2,914	48,23	-21,67	26,26	0,00	0,00	0,00
LC33	Sle1	2,914	37,37	-16,29	7,40	0,00	0,00	0,00
LC34	Sle1	2,914	91,06	-54,92	42,62	0,00	0,00	0,00
LC35	Sle1	2,914	57,29	-30,22	36,44	0,00	0,00	0,00
LC36	Sle1	2,914	41,61	-22,51	8,28	0,00	0,00	0,00
LC37	Sle1	2,914	8,10	-4,69	4,55	0,00	0,00	0,00
LC1	Sle1	3,885	28,03	-14,57	36,93	0,00	0,00	0,00
LC2	Sle1	3,885	48,06	-24,42	46,20	0,00	0,00	0,00
LC3	Sle1	3,885	20,31	-7,99	15,75	0,00	0,00	0,00
LC4	Sle1	3,885	104,16	-50,51	45,04	0,00	0,00	0,00
LC5	Sle1	3,885	-7,04	-6,12	-1,66	0,00	0,00	0,00
LC6	Sle1	3,885	32,49	-17,01	20,57	0,00	0,00	0,00
LC7	Sle1	3,885	87,31	-45,80	61,48	0,00	0,00	0,00
LC8	Sle1	3,885	40,21	-14,76	7,32	0,00	0,00	0,00
LC9	Sle1	3,885	139,27	-70,16	63,18	0,00	0,00	0,00
LC10	Sle1	3,885	119,93	-66,49	90,05	0,00	0,00	0,00
LC11	Sle1	3,885	49,69	-20,20	8,91	0,00	0,00	0,00
LC12	Sle1	3,885	-3,20	-3,65	-0,87	0,00	0,00	0,00
LC13	Sle1	3,885	1,17	0,15	0,26	0,00	0,00	0,00
LC15	Sle1	3,885	6,58	-2,82	4,96	0,00	0,00	0,00
LC16	Sle1	3,885	24,34	-12,07	10,82	0,00	0,00	0,00
LC17	Sle1	3,885	-0,88	-0,76	-0,21	0,00	0,00	0,00
LC18	Sle1	3,885	9,39	-4,90	6,07	0,00	0,00	0,00
LC19	Sle1	3,885	20,72	-11,23	15,15	0,00	0,00	0,00
LC20	Sle1	3,885	8,99	-3,50	1,62	0,00	0,00	0,00
LC21	Sle1	3,885	24,34	-12,07	10,82	0,00	0,00	0,00
LC22	Sle1	3,885	20,72	-11,23	15,15	0,00	0,00	0,00
LC23	Sle1	3,885	8,99	-3,50	1,62	0,00	0,00	0,00
LC24	Sle1	3,885	-0,40	-0,46	-0,11	0,00	0,00	0,00
LC25	Sle1	3,885	0,15	0,02	0,03	0,00	0,00	0,00
LC26	Sle1	3,885	0,04	-0,01	0,03	0,00	0,00	0,00
LC27	Sle1	3,885	0,11	-0,04	0,08	0,00	0,00	0,00
LC28	Sle1	3,885	0,03	0,00	0,02	0,00	0,00	0,00
LC29	Sle1	3,885	0,07	-0,03	0,05	0,00	0,00	0,00
LC30	Sle1	3,885	6,00	-2,34	4,67	0,00	0,00	0,00
LC31	Sle1	3,885	72,91	-35,36	31,53	0,00	0,00	0,00
LC32	Sle1	3,885	61,12	-32,06	43,03	0,00	0,00	0,00
LC33	Sle1	3,885	28,15	-10,33	5,13	0,00	0,00	0,00
LC34	Sle1	3,885	97,49	-49,11	44,23	0,00	0,00	0,00
LC35	Sle1	3,885	83,95	-46,55	63,04	0,00	0,00	0,00
LC36	Sle1	3,885	34,78	-14,14	6,24	0,00	0,00	0,00
LC37	Sle1	3,885	9,71	-5,09	6,14	0,00	0,00	0,00
LC1	Sle1	4,857	29,05	-13,79	37,18	0,00	0,00	0,00
LC2	Sle1	4,857	47,34	-21,42	45,88	0,00	0,00	0,00
LC3	Sle1	4,857	14,86	-5,56	10,18	0,00	0,00	0,00
LC4	Sle1	4,857	91,58	-34,98	37,16	0,00	0,00	0,00
LC5	Sle1	4,857	-5,80	-5,25	-1,21	0,00	0,00	0,00
LC6	Sle1	4,857	36,04	-15,31	25,10	0,00	0,00	0,00
LC7	Sle1	4,857	104,17	-46,32	73,09	0,00	0,00	0,00
LC8	Sle1	4,857	33,89	-7,33	7,27	0,00	0,00	0,00
LC9	Sle1	4,857	132,69	-49,87	54,74	0,00	0,00	0,00
LC10	Sle1	4,857	149,25	-68,35	107,78	0,00	0,00	0,00
LC11	Sle1	4,857	44,03	-10,00	9,12	0,00	0,00	0,00
LC12	Sle1	4,857	-3,83	-3,65	-0,82	0,00	0,00	0,00



Stav	Liniová podpora	dx [m]	Rx [kN/m]	Ry [kN/m]	Rz [kN/m]	Mx [kNm/m]	My [kNm/m]	Mz [kNm/m]
LC13	Sle1	4,857	0,16	-0,13	0,07	0,00	0,00	0,00
LC15	Sle1	4,857	5,24	-2,10	3,63	0,00	0,00	0,00
LC16	Sle1	4,857	22,43	-8,48	9,19	0,00	0,00	0,00
LC17	Sle1	4,857	-0,73	-0,66	-0,15	0,00	0,00	0,00
LC18	Sle1	4,857	10,13	-4,36	7,08	0,00	0,00	0,00
LC19	Sle1	4,857	25,34	-11,47	18,09	0,00	0,00	0,00
LC20	Sle1	4,857	7,79	-1,73	1,64	0,00	0,00	0,00
LC21	Sle1	4,857	22,43	-8,48	9,19	0,00	0,00	0,00
LC22	Sle1	4,857	25,34	-11,47	18,09	0,00	0,00	0,00
LC23	Sle1	4,857	7,79	-1,73	1,64	0,00	0,00	0,00
LC24	Sle1	4,857	-0,48	-0,46	-0,10	0,00	0,00	0,00
LC25	Sle1	4,857	0,02	-0,02	0,01	0,00	0,00	0,00
LC26	Sle1	4,857	0,02	0,00	0,01	0,00	0,00	0,00
LC27	Sle1	4,857	0,08	-0,02	0,06	0,00	0,00	0,00
LC28	Sle1	4,857	0,01	0,00	0,00	0,00	0,00	0,00
LC29	Sle1	4,857	0,05	-0,01	0,04	0,00	0,00	0,00
LC30	Sle1	4,857	4,35	-1,61	2,97	0,00	0,00	0,00
LC31	Sle1	4,857	64,10	-24,49	26,02	0,00	0,00	0,00
LC32	Sle1	4,857	72,92	-32,43	51,16	0,00	0,00	0,00
LC33	Sle1	4,857	23,72	-5,13	5,09	0,00	0,00	0,00
LC34	Sle1	4,857	92,89	-34,91	38,32	0,00	0,00	0,00
LC35	Sle1	4,857	104,47	-47,85	75,45	0,00	0,00	0,00
LC36	Sle1	4,857	30,82	-7,00	6,38	0,00	0,00	0,00
LC37	Sle1	4,857	10,80	-4,58	7,52	0,00	0,00	0,00
LC1	Sle1	5,828	30,56	-12,07	37,61	0,00	0,00	0,00
LC2	Sle1	5,828	44,58	-15,82	43,93	0,00	0,00	0,00
LC3	Sle1	5,828	10,94	-3,69	7,15	0,00	0,00	0,00
LC4	Sle1	5,828	73,72	-18,94	27,87	0,00	0,00	0,00
LC5	Sle1	5,828	-4,80	-3,95	-1,02	0,00	0,00	0,00
LC6	Sle1	5,828	35,56	-10,89	25,65	0,00	0,00	0,00
LC7	Sle1	5,828	103,63	-32,06	61,69	0,00	0,00	0,00
LC8	Sle1	5,828	30,45	-2,58	8,98	0,00	0,00	0,00
LC9	Sle1	5,828	110,74	-26,69	41,83	0,00	0,00	0,00
LC10	Sle1	5,828	150,54	-48,01	90,68	0,00	0,00	0,00
LC11	Sle1	5,828	40,85	-3,87	11,67	0,00	0,00	0,00
LC12	Sle1	5,828	-3,68	-2,86	-0,77	0,00	0,00	0,00
LC13	Sle1	5,828	-0,27	-0,13	0,00	0,00	0,00	0,00
LC15	Sle1	5,828	4,18	-1,43	2,85	0,00	0,00	0,00
LC16	Sle1	5,828	18,45	-4,56	6,97	0,00	0,00	0,00
LC17	Sle1	5,828	-0,60	-0,49	-0,13	0,00	0,00	0,00
LC18	Sle1	5,828	9,86	-3,09	7,11	0,00	0,00	0,00
LC19	Sle1	5,828	25,42	-8,01	15,24	0,00	0,00	0,00
LC20	Sle1	5,828	7,13	-0,65	2,06	0,00	0,00	0,00
LC21	Sle1	5,828	18,45	-4,56	6,97	0,00	0,00	0,00
LC22	Sle1	5,828	25,42	-8,01	15,24	0,00	0,00	0,00
LC23	Sle1	5,828	7,13	-0,65	2,06	0,00	0,00	0,00
LC24	Sle1	5,828	-0,46	-0,36	-0,10	0,00	0,00	0,00
LC25	Sle1	5,828	-0,03	-0,02	0,00	0,00	0,00	0,00
LC26	Sle1	5,828	0,00	0,00	0,00	0,00	0,00	0,00
LC27	Sle1	5,828	0,05	0,00	0,03	0,00	0,00	0,00
LC28	Sle1	5,828	0,00	0,00	0,00	0,00	0,00	0,00
LC29	Sle1	5,828	0,03	0,00	0,02	0,00	0,00	0,00
LC30	Sle1	5,828	3,17	-1,07	2,06	0,00	0,00	0,00
LC31	Sle1	5,828	51,60	-13,26	19,51	0,00	0,00	0,00
LC32	Sle1	5,828	72,54	-22,44	43,18	0,00	0,00	0,00
LC33	Sle1	5,828	21,31	-1,81	6,29	0,00	0,00	0,00
LC34	Sle1	5,828	77,52	-18,69	29,28	0,00	0,00	0,00
LC35	Sle1	5,828	105,38	-33,61	63,48	0,00	0,00	0,00
LC36	Sle1	5,828	28,59	-2,71	8,17	0,00	0,00	0,00
LC37	Sle1	5,828	10,67	-3,26	7,70	0,00	0,00	0,00
LC1	Sle1	6,799	30,15	-9,10	37,73	0,00	0,00	0,00
LC2	Sle1	6,799	37,59	-8,00	36,62	0,00	0,00	0,00
LC3	Sle1	6,799	7,60	-1,69	5,07	0,00	0,00	0,00
LC4	Sle1	6,799	55,75	-8,32	21,91	0,00	0,00	0,00
LC5	Sle1	6,799	-4,65	-2,33	-1,21	0,00	0,00	0,00
LC6	Sle1	6,799	30,82	-5,55	22,01	0,00	0,00	0,00

Stav	Liniová podpora	dx [m]	Rx [kN/m]	Ry [kN/m]	Rz [kN/m]	Mx [kNm/m]	My [kNm/m]	Mz [kNm/m]
LC7	Sle1	6,799	81,08	-11,65	39,90	0,00	0,00	0,00
LC8	Sle1	6,799	33,92	-4,89	14,68	0,00	0,00	0,00
LC9	Sle1	6,799	85,31	-11,22	32,92	0,00	0,00	0,00
LC10	Sle1	6,799	116,90	-16,86	56,56	0,00	0,00	0,00
LC11	Sle1	6,799	46,17	-6,75	18,79	0,00	0,00	0,00
LC12	Sle1	6,799	-3,75	-1,76	-0,81	0,00	0,00	0,00
LC13	Sle1	6,799	-0,38	-0,16	0,13	0,00	0,00	0,00
LC15	Sle1	6,799	3,11	-0,68	2,16	0,00	0,00	0,00
LC16	Sle1	6,799	14,11	-1,95	5,48	0,00	0,00	0,00
LC17	Sle1	6,799	-0,58	-0,29	-0,15	0,00	0,00	0,00
LC18	Sle1	6,799	8,47	-1,57	6,06	0,00	0,00	0,00
LC19	Sle1	6,799	19,80	-2,85	9,65	0,00	0,00	0,00
LC20	Sle1	6,799	8,01	-1,16	3,35	0,00	0,00	0,00
LC21	Sle1	6,799	14,11	-1,95	5,48	0,00	0,00	0,00
LC22	Sle1	6,799	19,80	-2,85	9,65	0,00	0,00	0,00
LC23	Sle1	6,799	8,01	-1,16	3,35	0,00	0,00	0,00
LC24	Sle1	6,799	-0,47	-0,22	-0,10	0,00	0,00	0,00
LC25	Sle1	6,799	-0,05	-0,02	0,02	0,00	0,00	0,00
LC26	Sle1	6,799	0,00	0,00	0,00	0,00	0,00	0,00
LC27	Sle1	6,799	0,02	0,01	0,01	0,00	0,00	0,00
LC28	Sle1	6,799	0,00	0,00	0,00	0,00	0,00	0,00
LC29	Sle1	6,799	0,01	0,00	0,00	0,00	0,00	0,00
LC30	Sle1	6,799	2,18	-0,49	1,45	0,00	0,00	0,00
LC31	Sle1	6,799	39,02	-5,82	15,33	0,00	0,00	0,00
LC32	Sle1	6,799	56,76	-8,15	27,93	0,00	0,00	0,00
LC33	Sle1	6,799	23,74	-3,42	10,28	0,00	0,00	0,00
LC34	Sle1	6,799	59,72	-7,85	23,04	0,00	0,00	0,00
LC35	Sle1	6,799	81,83	-11,80	39,59	0,00	0,00	0,00
LC36	Sle1	6,799	32,32	-4,73	13,15	0,00	0,00	0,00
LC37	Sle1	6,799	9,25	-1,66	6,61	0,00	0,00	0,00
LC1	Sle1	7,771	28,10	-6,57	37,67	0,00	0,00	0,00
LC2	Sle1	7,771	29,98	-1,67	26,59	0,00	0,00	0,00
LC3	Sle1	7,771	5,08	-0,09	2,83	0,00	0,00	0,00
LC4	Sle1	7,771	45,11	-5,31	20,33	0,00	0,00	0,00
LC5	Sle1	7,771	-5,07	-0,90	-1,56	0,00	0,00	0,00
LC6	Sle1	7,771	25,54	-2,07	17,63	0,00	0,00	0,00
LC7	Sle1	7,771	54,77	2,17	25,28	0,00	0,00	0,00
LC8	Sle1	7,771	43,35	-12,64	22,86	0,00	0,00	0,00
LC9	Sle1	7,771	69,61	-6,93	30,15	0,00	0,00	0,00
LC10	Sle1	7,771	75,78	5,89	31,83	0,00	0,00	0,00
LC11	Sle1	7,771	58,63	-16,34	28,29	0,00	0,00	0,00
LC12	Sle1	7,771	-3,98	-0,87	-0,79	0,00	0,00	0,00
LC13	Sle1	7,771	-0,27	-0,30	0,47	0,00	0,00	0,00
LC15	Sle1	7,771	2,24	-0,11	1,40	0,00	0,00	0,00
LC16	Sle1	7,771	11,47	-1,22	5,05	0,00	0,00	0,00
LC17	Sle1	7,771	-0,63	-0,11	-0,20	0,00	0,00	0,00
LC18	Sle1	7,771	6,96	-0,57	4,81	0,00	0,00	0,00
LC19	Sle1	7,771	13,05	0,81	5,71	0,00	0,00	0,00
LC20	Sle1	7,771	10,20	-2,90	5,12	0,00	0,00	0,00
LC21	Sle1	7,771	11,47	-1,22	5,05	0,00	0,00	0,00
LC22	Sle1	7,771	13,05	0,81	5,71	0,00	0,00	0,00
LC23	Sle1	7,771	10,20	-2,90	5,12	0,00	0,00	0,00
LC24	Sle1	7,771	-0,50	-0,11	-0,10	0,00	0,00	0,00
LC25	Sle1	7,771	-0,03	-0,04	0,06	0,00	0,00	0,00
LC26	Sle1	7,771	-0,01	0,00	-0,01	0,00	0,00	0,00
LC27	Sle1	7,771	0,01	0,01	-0,01	0,00	0,00	0,00
LC28	Sle1	7,771	0,00	0,00	0,00	0,00	0,00	0,00
LC29	Sle1	7,771	0,00	0,01	0,00	0,00	0,00	0,00
LC30	Sle1	7,771	1,44	-0,02	0,79	0,00	0,00	0,00
LC31	Sle1	7,771	31,58	-3,72	14,23	0,00	0,00	0,00
LC32	Sle1	7,771	38,34	1,52	17,70	0,00	0,00	0,00
LC33	Sle1	7,771	30,35	-8,85	16,00	0,00	0,00	0,00
LC34	Sle1	7,771	48,73	-4,85	21,11	0,00	0,00	0,00
LC35	Sle1	7,771	53,04	4,12	22,28	0,00	0,00	0,00
LC36	Sle1	7,771	41,04	-11,44	19,80	0,00	0,00	0,00
LC37	Sle1	7,771	7,68	-0,62	5,30	0,00	0,00	0,00

Stav	Liniová podpora	dx [m]	Rx [kN/m]	Ry [kN/m]	Rz [kN/m]	Mx [kNm/m]	My [kNm/m]	Mz [kNm/m]
LC1	Sle1	8,742	46,03	3,28	52,88	0,00	0,00	0,00
LC2	Sle1	8,742	53,51	1,11	44,34	0,00	0,00	0,00
LC3	Sle1	8,742	8,06	0,25	7,50	0,00	0,00	0,00
LC4	Sle1	8,742	62,92	3,04	12,42	0,00	0,00	0,00
LC5	Sle1	8,742	-11,58	-0,16	-4,41	0,00	0,00	0,00
LC6	Sle1	8,742	40,11	2,10	24,37	0,00	0,00	0,00
LC7	Sle1	8,742	60,20	10,12	37,54	0,00	0,00	0,00
LC8	Sle1	8,742	77,88	-3,66	-17,66	0,00	0,00	0,00
LC9	Sle1	8,742	100,48	4,64	24,13	0,00	0,00	0,00
LC10	Sle1	8,742	82,46	15,26	66,86	0,00	0,00	0,00
LC11	Sle1	8,742	108,73	-5,37	-16,17	0,00	0,00	0,00
LC12	Sle1	8,742	-9,62	-0,12	-5,11	0,00	0,00	0,00
LC13	Sle1	8,742	-1,31	0,01	-2,13	0,00	0,00	0,00
LC15	Sle1	8,742	3,49	0,14	2,83	0,00	0,00	0,00
LC16	Sle1	8,742	16,34	0,77	3,66	0,00	0,00	0,00
LC17	Sle1	8,742	-1,45	-0,02	-0,55	0,00	0,00	0,00
LC18	Sle1	8,742	10,89	0,57	6,72	0,00	0,00	0,00
LC19	Sle1	8,742	14,27	2,54	10,44	0,00	0,00	0,00
LC20	Sle1	8,742	18,66	-0,90	-3,38	0,00	0,00	0,00
LC21	Sle1	8,742	16,34	0,77	3,66	0,00	0,00	0,00
LC22	Sle1	8,742	14,27	2,54	10,44	0,00	0,00	0,00
LC23	Sle1	8,742	18,66	-0,90	-3,38	0,00	0,00	0,00
LC24	Sle1	8,742	-1,20	-0,01	-0,64	0,00	0,00	0,00
LC25	Sle1	8,742	-0,16	0,00	-0,27	0,00	0,00	0,00
LC26	Sle1	8,742	-0,01	0,00	0,00	0,00	0,00	0,00
LC27	Sle1	8,742	0,01	0,00	0,01	0,00	0,00	0,00
LC28	Sle1	8,742	0,00	0,00	0,00	0,00	0,00	0,00
LC29	Sle1	8,742	0,00	0,00	0,01	0,00	0,00	0,00
LC30	Sle1	8,742	2,29	0,07	2,18	0,00	0,00	0,00
LC31	Sle1	8,742	44,04	2,13	8,70	0,00	0,00	0,00
LC32	Sle1	8,742	42,14	7,08	26,28	0,00	0,00	0,00
LC33	Sle1	8,742	54,52	-2,56	-12,36	0,00	0,00	0,00
LC34	Sle1	8,742	70,33	3,25	16,89	0,00	0,00	0,00
LC35	Sle1	8,742	57,72	10,68	46,80	0,00	0,00	0,00
LC36	Sle1	8,742	76,11	-3,76	-11,32	0,00	0,00	0,00
LC37	Sle1	8,742	12,06	0,63	7,31	0,00	0,00	0,00
LC1	Sle2	0,000	-157,28	22,11	86,57	0,00	0,00	0,00
LC2	Sle2	0,000	-193,60	47,27	93,71	0,00	0,00	0,00
LC3	Sle2	0,000	-51,37	13,73	18,87	0,00	0,00	0,00
LC4	Sle2	0,000	-386,98	161,01	204,57	0,00	0,00	0,00
LC5	Sle2	0,000	22,26	-35,58	-18,19	0,00	0,00	0,00
LC6	Sle2	0,000	-162,44	57,58	81,65	0,00	0,00	0,00
LC7	Sle2	0,000	-328,56	3,94	60,11	0,00	0,00	0,00
LC8	Sle2	0,000	17,12	26,74	103,29	0,00	0,00	0,00
LC9	Sle2	0,000	<b>-617,81</b>	<b>254,85</b>	327,86	0,00	0,00	0,00
LC10	Sle2	0,000	-581,20	85,85	152,42	0,00	0,00	0,00
LC11	Sle2	0,000	-59,23	117,87	215,74	0,00	0,00	0,00
LC12	Sle2	0,000	25,49	-44,86	-24,42	0,00	0,00	0,00
LC13	Sle2	0,000	9,69	-17,55	-10,65	0,00	0,00	0,00
LC15	Sle2	0,000	-19,36	5,18	7,72	0,00	0,00	0,00
LC16	Sle2	0,000	-100,48	41,59	53,24	0,00	0,00	0,00
LC17	Sle2	0,000	2,78	-4,45	-2,27	0,00	0,00	0,00
LC18	Sle2	0,000	-44,99	15,30	22,21	0,00	0,00	0,00
LC19	Sle2	0,000	-90,98	8,98	21,25	0,00	0,00	0,00
LC20	Sle2	0,000	-4,21	14,46	31,90	0,00	0,00	0,00
LC21	Sle2	0,000	-100,48	41,59	53,24	0,00	0,00	0,00
LC22	Sle2	0,000	-90,98	8,98	21,25	0,00	0,00	0,00
LC23	Sle2	0,000	-4,21	14,46	31,90	0,00	0,00	0,00
LC24	Sle2	0,000	3,19	-5,61	-3,05	0,00	0,00	0,00
LC25	Sle2	0,000	1,21	-2,19	-1,33	0,00	0,00	0,00
LC26	Sle2	0,000	-0,03	0,01	0,00	0,00	0,00	0,00
LC27	Sle2	0,000	-0,16	0,14	0,05	0,00	0,00	0,00
LC28	Sle2	0,000	-0,02	0,00	0,00	0,00	0,00	0,00
LC29	Sle2	0,000	-0,11	0,09	0,03	0,00	0,00	0,00
LC30	Sle2	0,000	-14,91	3,98	5,42	0,00	0,00	0,00
LC31	Sle2	0,000	-270,89	112,71	143,20	0,00	0,00	0,00

Stav	Liniová podpora	dx [m]	Rx [kN/m]	Ry [kN/m]	Rz [kN/m]	Mx [kNm/m]	My [kNm/m]	Mz [kNm/m]
LC32	Sle2	0,000	-229,99	2,76	42,08	0,00	0,00	0,00
LC33	Sle2	0,000	11,98	18,72	72,31	0,00	0,00	0,00
LC34	Sle2	0,000	-432,47	178,40	229,50	0,00	0,00	0,00
LC35	Sle2	0,000	-406,84	60,09	106,69	0,00	0,00	0,00
LC36	Sle2	0,000	-41,46	82,51	151,02	0,00	0,00	0,00
LC37	Sle2	0,000	-48,75	17,34	24,54	0,00	0,00	0,00
LC1	Sle2	0,971	-65,24	5,53	46,27	0,00	0,00	0,00
LC2	Sle2	0,971	-90,31	15,60	56,88	0,00	0,00	0,00
LC3	Sle2	0,971	-27,09	8,14	12,03	0,00	0,00	0,00
LC4	Sle2	0,971	-156,89	74,41	61,46	0,00	0,00	0,00
LC5	Sle2	0,971	1,32	-14,96	-3,00	0,00	0,00	0,00
LC6	Sle2	0,971	-64,63	18,93	35,97	0,00	0,00	0,00
LC7	Sle2	0,971	-117,40	-5,48	28,13	0,00	0,00	0,00
LC8	Sle2	0,971	-98,84	32,52	100,56	0,00	0,00	0,00
LC9	Sle2	0,971	-216,80	88,53	80,80	0,00	0,00	0,00
LC10	Sle2	0,971	-171,18	9,39	46,26	0,00	0,00	0,00
LC11	Sle2	0,971	-143,18	66,92	155,30	0,00	0,00	0,00
LC12	Sle2	0,971	-1,68	-20,83	-4,43	0,00	0,00	0,00
LC13	Sle2	0,971	-2,55	-8,81	-1,93	0,00	0,00	0,00
LC15	Sle2	0,971	-9,65	2,59	4,48	0,00	0,00	0,00
LC16	Sle2	0,971	-37,37	16,29	14,23	0,00	0,00	0,00
LC17	Sle2	0,971	0,16	-1,87	-0,37	0,00	0,00	0,00
LC18	Sle2	0,971	-18,31	5,08	10,01	0,00	0,00	0,00
LC19	Sle2	0,971	-28,86	0,39	7,44	0,00	0,00	0,00
LC20	Sle2	0,971	-24,20	9,94	25,59	0,00	0,00	0,00
LC21	Sle2	0,971	-37,37	16,29	14,23	0,00	0,00	0,00
LC22	Sle2	0,971	-28,86	0,39	7,44	0,00	0,00	0,00
LC23	Sle2	0,971	-24,20	9,94	25,59	0,00	0,00	0,00
LC24	Sle2	0,971	-0,21	-2,60	-0,55	0,00	0,00	0,00
LC25	Sle2	0,971	-0,32	-1,10	-0,24	0,00	0,00	0,00
LC26	Sle2	0,971	-0,03	0,02	0,01	0,00	0,00	0,00
LC27	Sle2	0,971	-0,11	0,08	0,06	0,00	0,00	0,00
LC28	Sle2	0,971	-0,02	0,01	0,01	0,00	0,00	0,00
LC29	Sle2	0,971	-0,07	0,05	0,04	0,00	0,00	0,00
LC30	Sle2	0,971	-7,92	2,41	3,50	0,00	0,00	0,00
LC31	Sle2	0,971	-109,82	52,09	43,02	0,00	0,00	0,00
LC32	Sle2	0,971	-82,18	-3,84	19,69	0,00	0,00	0,00
LC33	Sle2	0,971	-69,19	22,76	70,39	0,00	0,00	0,00
LC34	Sle2	0,971	-151,76	61,97	56,56	0,00	0,00	0,00
LC35	Sle2	0,971	-119,83	6,57	32,38	0,00	0,00	0,00
LC36	Sle2	0,971	-100,23	46,84	108,71	0,00	0,00	0,00
LC37	Sle2	0,971	-19,35	5,70	10,79	0,00	0,00	0,00
LC1	Sle2	1,941	-48,16	1,90	40,55	0,00	0,00	0,00
LC2	Sle2	1,941	-71,90	11,22	50,16	0,00	0,00	0,00
LC3	Sle2	1,941	-26,33	9,87	12,47	0,00	0,00	0,00
LC4	Sle2	1,941	-139,18	76,54	59,57	0,00	0,00	0,00
LC5	Sle2	1,941	0,65	-15,56	-2,87	0,00	0,00	0,00
LC6	Sle2	1,941	-47,42	13,08	29,30	0,00	0,00	0,00
LC7	Sle2	1,941	-84,49	6,85	25,31	0,00	0,00	0,00
LC8	Sle2	1,941	-112,68	36,94	79,64	0,00	0,00	0,00
LC9	Sle2	1,941	-161,42	73,08	63,00	0,00	0,00	0,00
LC10	Sle2	1,941	-106,25	11,82	30,45	0,00	0,00	0,00
LC11	Sle2	1,941	-149,89	58,60	113,27	0,00	0,00	0,00
LC12	Sle2	1,941	-1,39	-23,72	-5,16	0,00	0,00	0,00
LC13	Sle2	1,941	-2,24	-10,98	-2,47	0,00	0,00	0,00
LC15	Sle2	1,941	-8,81	2,80	4,35	0,00	0,00	0,00
LC16	Sle2	1,941	-30,06	14,96	12,26	0,00	0,00	0,00
LC17	Sle2	1,941	0,08	-1,94	-0,36	0,00	0,00	0,00
LC18	Sle2	1,941	-13,68	3,55	8,23	0,00	0,00	0,00
LC19	Sle2	1,941	-19,07	1,87	5,58	0,00	0,00	0,00
LC20	Sle2	1,941	-26,26	9,55	19,29	0,00	0,00	0,00
LC21	Sle2	1,941	-30,06	14,96	12,26	0,00	0,00	0,00
LC22	Sle2	1,941	-19,07	1,87	5,58	0,00	0,00	0,00
LC23	Sle2	1,941	-26,26	9,55	19,29	0,00	0,00	0,00
LC24	Sle2	1,941	-0,17	-2,96	-0,64	0,00	0,00	0,00
LC25	Sle2	1,941	-0,28	-1,37	-0,31	0,00	0,00	0,00

Stav	Liniová podpora	dx [m]	Rx [kN/m]	Ry [kN/m]	Rz [kN/m]	Mx [kNm/m]	My [kNm/m]	Mz [kNm/m]
LC26	Sle2	1,941	-0,04	0,03	0,02	0,00	0,00	0,00
LC27	Sle2	1,941	-0,12	0,08	0,07	0,00	0,00	0,00
LC28	Sle2	1,941	-0,03	0,02	0,01	0,00	0,00	0,00
LC29	Sle2	1,941	-0,08	0,05	0,05	0,00	0,00	0,00
LC30	Sle2	1,941	-7,75	2,95	3,65	0,00	0,00	0,00
LC31	Sle2	1,941	-97,43	53,58	41,70	0,00	0,00	0,00
LC32	Sle2	1,941	-59,14	4,79	17,72	0,00	0,00	0,00
LC33	Sle2	1,941	-78,87	25,86	55,75	0,00	0,00	0,00
LC34	Sle2	1,941	-113,00	51,16	44,10	0,00	0,00	0,00
LC35	Sle2	1,941	-74,37	8,27	21,32	0,00	0,00	0,00
LC36	Sle2	1,941	-104,92	41,02	79,29	0,00	0,00	0,00
LC37	Sle2	1,941	-14,18	3,93	8,78	0,00	0,00	0,00
LC1	Sle2	2,912	-35,63	-1,44	36,04	0,00	0,00	0,00
LC2	Sle2	2,912	-58,13	6,47	44,83	0,00	0,00	0,00
LC3	Sle2	2,912	-29,03	11,97	15,38	0,00	0,00	0,00
LC4	Sle2	2,912	-136,47	77,96	63,04	0,00	0,00	0,00
LC5	Sle2	2,912	0,63	-15,69	-2,91	0,00	0,00	0,00
LC6	Sle2	2,912	-31,68	6,88	21,64	0,00	0,00	0,00
LC7	Sle2	2,912	-77,43	30,78	46,48	0,00	0,00	0,00
LC8	Sle2	2,912	-120,26	43,58	80,19	0,00	0,00	0,00
LC9	Sle2	2,912	-121,40	60,27	51,14	0,00	0,00	0,00
LC10	Sle2	2,912	-70,50	24,55	35,27	0,00	0,00	0,00
LC11	Sle2	2,912	-138,12	46,43	87,65	0,00	0,00	0,00
LC12	Sle2	2,912	0,01	-27,38	-6,73	0,00	0,00	0,00
LC13	Sle2	2,912	-1,37	-14,81	-3,71	0,00	0,00	0,00
LC15	Sle2	2,912	-8,94	3,09	4,83	0,00	0,00	0,00
LC16	Sle2	2,912	-25,79	13,82	11,42	0,00	0,00	0,00
LC17	Sle2	2,912	0,08	-1,96	-0,36	0,00	0,00	0,00
LC18	Sle2	2,912	-9,55	1,92	6,27	0,00	0,00	0,00
LC19	Sle2	2,912	-14,79	5,53	8,17	0,00	0,00	0,00
LC20	Sle2	2,912	-25,84	9,00	16,78	0,00	0,00	0,00
LC21	Sle2	2,912	-25,79	13,82	11,42	0,00	0,00	0,00
LC22	Sle2	2,912	-14,79	5,53	8,17	0,00	0,00	0,00
LC23	Sle2	2,912	-25,84	9,00	16,78	0,00	0,00	0,00
LC24	Sle2	2,912	0,00	-3,42	-0,84	0,00	0,00	0,00
LC25	Sle2	2,912	-0,17	-1,85	-0,46	0,00	0,00	0,00
LC26	Sle2	2,912	-0,07	0,05	0,04	0,00	0,00	0,00
LC27	Sle2	2,912	-0,13	0,07	0,09	0,00	0,00	0,00
LC28	Sle2	2,912	-0,05	0,04	0,02	0,00	0,00	0,00
LC29	Sle2	2,912	-0,08	0,05	0,06	0,00	0,00	0,00
LC30	Sle2	2,912	-8,62	3,61	4,56	0,00	0,00	0,00
LC31	Sle2	2,912	-95,53	54,57	44,13	0,00	0,00	0,00
LC32	Sle2	2,912	-54,20	21,55	32,54	0,00	0,00	0,00
LC33	Sle2	2,912	-84,18	30,51	56,13	0,00	0,00	0,00
LC34	Sle2	2,912	-84,98	42,19	35,80	0,00	0,00	0,00
LC35	Sle2	2,912	-49,35	17,19	24,69	0,00	0,00	0,00
LC36	Sle2	2,912	-96,69	32,50	61,36	0,00	0,00	0,00
LC37	Sle2	2,912	-9,43	2,06	6,47	0,00	0,00	0,00
LC1	Sle2	3,883	-31,61	-3,35	34,18	0,00	0,00	0,00
LC2	Sle2	3,883	-52,85	2,67	42,33	0,00	0,00	0,00
LC3	Sle2	3,883	-33,61	12,43	20,42	0,00	0,00	0,00
LC4	Sle2	3,883	-140,12	68,67	63,37	0,00	0,00	0,00
LC5	Sle2	3,883	0,14	-13,35	-2,55	0,00	0,00	0,00
LC6	Sle2	3,883	-22,31	2,86	14,55	0,00	0,00	0,00
LC7	Sle2	3,883	-100,99	51,77	92,41	0,00	0,00	0,00
LC8	Sle2	3,883	-122,86	47,57	107,97	0,00	0,00	0,00
LC9	Sle2	3,883	-105,46	49,18	45,34	0,00	0,00	0,00
LC10	Sle2	3,883	-76,96	38,64	64,13	0,00	0,00	0,00
LC11	Sle2	3,883	-114,54	35,06	87,80	0,00	0,00	0,00
LC12	Sle2	3,883	1,17	-27,85	-8,18	0,00	0,00	0,00
LC13	Sle2	3,883	0,38	-19,56	-5,67	0,00	0,00	0,00
LC15	Sle2	3,883	-9,80	3,04	5,89	0,00	0,00	0,00
LC16	Sle2	3,883	-24,56	11,78	10,87	0,00	0,00	0,00
LC17	Sle2	3,883	0,02	-1,67	-0,32	0,00	0,00	0,00
LC18	Sle2	3,883	-7,20	0,83	4,54	0,00	0,00	0,00
LC19	Sle2	3,883	-17,80	9,04	15,65	0,00	0,00	0,00

Stav	Liniová podpora	dx [m]	Rx [kN/m]	Ry [kN/m]	Rz [kN/m]	Mx [kNm/m]	My [kNm/m]	Mz [kNm/m]
LC20	Sle2	3,883	-23,74	8,26	19,58	0,00	0,00	0,00
LC21	Sle2	3,883	-24,56	11,78	10,87	0,00	0,00	0,00
LC22	Sle2	3,883	-17,80	9,04	15,65	0,00	0,00	0,00
LC23	Sle2	3,883	-23,74	8,26	19,58	0,00	0,00	0,00
LC24	Sle2	3,883	0,15	-3,48	-1,02	0,00	0,00	0,00
LC25	Sle2	3,883	0,05	-2,44	-0,71	0,00	0,00	0,00
LC26	Sle2	3,883	-0,11	0,06	0,06	0,00	0,00	0,00
LC27	Sle2	3,883	-0,11	0,04	0,09	0,00	0,00	0,00
LC28	Sle2	3,883	-0,07	0,04	0,04	0,00	0,00	0,00
LC29	Sle2	3,883	-0,07	0,03	0,06	0,00	0,00	0,00
LC30	Sle2	3,883	-10,04	3,77	6,10	0,00	0,00	0,00
LC31	Sle2	3,883	-98,09	48,07	44,36	0,00	0,00	0,00
LC32	Sle2	3,883	-70,70	36,24	64,69	0,00	0,00	0,00
LC33	Sle2	3,883	-86,00	33,30	75,58	0,00	0,00	0,00
LC34	Sle2	3,883	-73,82	34,43	31,74	0,00	0,00	0,00
LC35	Sle2	3,883	-53,88	27,05	44,89	0,00	0,00	0,00
LC36	Sle2	3,883	-80,18	24,54	61,46	0,00	0,00	0,00
LC37	Sle2	3,883	-6,60	0,85	4,32	0,00	0,00	0,00
LC1	Sle2	4,854	-31,35	-2,50	33,86	0,00	0,00	0,00
LC2	Sle2	4,854	-50,66	1,44	40,92	0,00	0,00	0,00
LC3	Sle2	4,854	-36,41	10,75	24,28	0,00	0,00	0,00
LC4	Sle2	4,854	-128,85	48,08	53,59	0,00	0,00	0,00
LC5	Sle2	4,854	-4,25	-6,10	-0,15	0,00	0,00	0,00
LC6	Sle2	4,854	-16,23	1,05	9,07	0,00	0,00	0,00
LC7	Sle2	4,854	-126,05	53,39	120,26	0,00	0,00	0,00
LC8	Sle2	4,854	-125,79	40,08	122,47	0,00	0,00	0,00
LC9	Sle2	4,854	-89,69	34,44	36,76	0,00	0,00	0,00
LC10	Sle2	4,854	-90,91	40,38	82,84	0,00	0,00	0,00
LC11	Sle2	4,854	-95,14	22,27	84,20	0,00	0,00	0,00
LC12	Sle2	4,854	-3,34	-18,04	-6,28	0,00	0,00	0,00
LC13	Sle2	4,854	2,53	-22,51	-7,91	0,00	0,00	0,00
LC15	Sle2	4,854	-10,37	2,61	6,73	0,00	0,00	0,00
LC16	Sle2	4,854	-21,85	8,25	9,04	0,00	0,00	0,00
LC17	Sle2	4,854	-0,53	-0,76	-0,02	0,00	0,00	0,00
LC18	Sle2	4,854	-5,71	0,37	3,23	0,00	0,00	0,00
LC19	Sle2	4,854	-21,70	9,38	20,31	0,00	0,00	0,00
LC20	Sle2	4,854	-22,09	6,23	20,67	0,00	0,00	0,00
LC21	Sle2	4,854	-21,85	8,25	9,04	0,00	0,00	0,00
LC22	Sle2	4,854	-21,70	9,38	20,31	0,00	0,00	0,00
LC23	Sle2	4,854	-22,09	6,23	20,67	0,00	0,00	0,00
LC24	Sle2	4,854	-0,42	-2,25	-0,79	0,00	0,00	0,00
LC25	Sle2	4,854	0,32	-2,81	-0,99	0,00	0,00	0,00
LC26	Sle2	4,854	-0,13	0,05	0,08	0,00	0,00	0,00
LC27	Sle2	4,854	-0,08	0,02	0,07	0,00	0,00	0,00
LC28	Sle2	4,854	-0,08	0,04	0,05	0,00	0,00	0,00
LC29	Sle2	4,854	-0,05	0,01	0,05	0,00	0,00	0,00
LC30	Sle2	4,854	-10,90	3,26	7,28	0,00	0,00	0,00
LC31	Sle2	4,854	-90,20	33,66	37,51	0,00	0,00	0,00
LC32	Sle2	4,854	-88,24	37,37	84,18	0,00	0,00	0,00
LC33	Sle2	4,854	-88,05	28,06	85,73	0,00	0,00	0,00
LC34	Sle2	4,854	-62,79	24,11	25,73	0,00	0,00	0,00
LC35	Sle2	4,854	-63,64	28,27	57,99	0,00	0,00	0,00
LC36	Sle2	4,854	-66,60	15,59	58,94	0,00	0,00	0,00
LC37	Sle2	4,854	-4,75	0,31	2,65	0,00	0,00	0,00
LC1	Sle2	5,824	-36,89	4,10	36,32	0,00	0,00	0,00
LC2	Sle2	5,824	-53,91	6,47	41,67	0,00	0,00	0,00
LC3	Sle2	5,824	-36,59	8,17	24,87	0,00	0,00	0,00
LC4	Sle2	5,824	-104,48	26,01	40,52	0,00	0,00	0,00
LC5	Sle2	5,824	-16,30	6,52	6,33	0,00	0,00	0,00
LC6	Sle2	5,824	-13,65	1,61	6,97	0,00	0,00	0,00
LC7	Sle2	5,824	-129,82	31,89	100,20	0,00	0,00	0,00
LC8	Sle2	5,824	-115,63	15,47	94,47	0,00	0,00	0,00
LC9	Sle2	5,824	-70,59	19,76	27,60	0,00	0,00	0,00
LC10	Sle2	5,824	-93,01	26,52	70,08	0,00	0,00	0,00
LC11	Sle2	5,824	-74,77	2,74	58,76	0,00	0,00	0,00
LC12	Sle2	5,824	-23,78	7,69	4,90	0,00	0,00	0,00

Stav	Liniová podpora	dx [m]	Rx [kN/m]	Ry [kN/m]	Rz [kN/m]	Mx [kNm/m]	My [kNm/m]	Mz [kNm/m]
LC13	Sle2	5,824	0,97	-16,96	-8,49	0,00	0,00	0,00
LC15	Sle2	5,824	-10,53	2,22	6,92	0,00	0,00	0,00
LC16	Sle2	5,824	-17,51	4,58	6,81	0,00	0,00	0,00
LC17	Sle2	5,824	-2,04	0,82	0,79	0,00	0,00	0,00
LC18	Sle2	5,824	-5,24	0,71	2,79	0,00	0,00	0,00
LC19	Sle2	5,824	-22,28	5,84	17,03	0,00	0,00	0,00
LC20	Sle2	5,824	-19,04	1,82	15,32	0,00	0,00	0,00
LC21	Sle2	5,824	-17,51	4,58	6,81	0,00	0,00	0,00
LC22	Sle2	5,824	-22,28	5,84	17,03	0,00	0,00	0,00
LC23	Sle2	5,824	-19,04	1,82	15,32	0,00	0,00	0,00
LC24	Sle2	5,824	-2,97	0,96	0,61	0,00	0,00	0,00
LC25	Sle2	5,824	0,12	-2,12	-1,06	0,00	0,00	0,00
LC26	Sle2	5,824	-0,12	0,03	0,08	0,00	0,00	0,00
LC27	Sle2	5,824	-0,05	0,00	0,04	0,00	0,00	0,00
LC28	Sle2	5,824	-0,08	0,02	0,06	0,00	0,00	0,00
LC29	Sle2	5,824	-0,03	0,00	0,02	0,00	0,00	0,00
LC30	Sle2	5,824	-10,94	2,46	7,46	0,00	0,00	0,00
LC31	Sle2	5,824	-73,13	18,21	28,36	0,00	0,00	0,00
LC32	Sle2	5,824	-90,87	22,32	70,14	0,00	0,00	0,00
LC33	Sle2	5,824	-80,94	10,83	66,13	0,00	0,00	0,00
LC34	Sle2	5,824	-49,41	13,83	19,32	0,00	0,00	0,00
LC35	Sle2	5,824	-65,11	18,56	49,06	0,00	0,00	0,00
LC36	Sle2	5,824	-52,34	1,92	41,13	0,00	0,00	0,00
LC37	Sle2	5,824	-3,95	0,46	2,01	0,00	0,00	0,00
LC1	Sle2	6,795	-52,36	15,36	35,23	0,00	0,00	0,00
LC2	Sle2	6,795	-66,96	16,54	37,61	0,00	0,00	0,00
LC3	Sle2	6,795	-35,65	6,43	22,26	0,00	0,00	0,00
LC4	Sle2	6,795	-78,46	11,20	31,92	0,00	0,00	0,00
LC5	Sle2	6,795	-36,66	19,94	17,77	0,00	0,00	0,00
LC6	Sle2	6,795	-14,74	3,57	5,78	0,00	0,00	0,00
LC7	Sle2	6,795	-99,78	0,56	61,73	0,00	0,00	0,00
LC8	Sle2	6,795	-77,26	-17,37	51,56	0,00	0,00	0,00
LC9	Sle2	6,795	-52,49	9,63	21,52	0,00	0,00	0,00
LC10	Sle2	6,795	-73,55	5,68	44,20	0,00	0,00	0,00
LC11	Sle2	6,795	-41,11	-20,75	27,04	0,00	0,00	0,00
LC12	Sle2	6,795	-63,76	38,66	23,72	0,00	0,00	0,00
LC13	Sle2	6,795	-15,41	1,71	-20,65	0,00	0,00	0,00
LC15	Sle2	6,795	-10,81	2,23	6,28	0,00	0,00	0,00
LC16	Sle2	6,795	-13,09	2,08	5,34	0,00	0,00	0,00
LC17	Sle2	6,795	-4,58	2,49	2,22	0,00	0,00	0,00
LC18	Sle2	6,795	-5,99	1,57	2,48	0,00	0,00	0,00
LC19	Sle2	6,795	-17,33	0,62	10,59	0,00	0,00	0,00
LC20	Sle2	6,795	-11,84	-3,81	7,86	0,00	0,00	0,00
LC21	Sle2	6,795	-13,09	2,08	5,34	0,00	0,00	0,00
LC22	Sle2	6,795	-17,33	0,62	10,59	0,00	0,00	0,00
LC23	Sle2	6,795	-11,84	-3,81	7,86	0,00	0,00	0,00
LC24	Sle2	6,795	-7,97	4,83	2,96	0,00	0,00	0,00
LC25	Sle2	6,795	-1,93	0,21	-2,58	0,00	0,00	0,00
LC26	Sle2	6,795	-0,09	0,00	0,07	0,00	0,00	0,00
LC27	Sle2	6,795	-0,02	-0,01	0,01	0,00	0,00	0,00
LC28	Sle2	6,795	-0,06	0,00	0,05	0,00	0,00	0,00
LC29	Sle2	6,795	-0,01	-0,01	0,00	0,00	0,00	0,00
LC30	Sle2	6,795	-10,61	1,89	6,67	0,00	0,00	0,00
LC31	Sle2	6,795	-54,92	7,84	22,34	0,00	0,00	0,00
LC32	Sle2	6,795	-69,85	0,39	43,21	0,00	0,00	0,00
LC33	Sle2	6,795	-54,08	-12,16	36,09	0,00	0,00	0,00
LC34	Sle2	6,795	-36,74	6,74	15,06	0,00	0,00	0,00
LC35	Sle2	6,795	-51,48	3,98	30,94	0,00	0,00	0,00
LC36	Sle2	6,795	-28,77	-14,53	18,93	0,00	0,00	0,00
LC37	Sle2	6,795	-4,24	1,02	1,65	0,00	0,00	0,00
LC1	Sle2	7,766	-70,11	24,33	26,97	0,00	0,00	0,00
LC2	Sle2	7,766	-82,64	24,22	26,04	0,00	0,00	0,00
LC3	Sle2	7,766	-35,28	6,06	18,60	0,00	0,00	0,00
LC4	Sle2	7,766	-62,39	6,17	29,30	0,00	0,00	0,00
LC5	Sle2	7,766	-55,10	27,85	28,69	0,00	0,00	0,00
LC6	Sle2	7,766	-17,27	5,05	3,57	0,00	0,00	0,00

Stav	Liniová podpora	dx [m]	Rx [kN/m]	Ry [kN/m]	Rz [kN/m]	Mx [kNm/m]	My [kNm/m]	Mz [kNm/m]
LC7	Sle2	7,766	-61,44	-19,78	42,36	0,00	0,00	0,00
LC8	Sle2	7,766	-32,93	-39,54	30,95	0,00	0,00	0,00
LC9	Sle2	7,766	-41,58	5,79	19,12	0,00	0,00	0,00
LC10	Sle2	7,766	-48,90	-7,94	30,00	0,00	0,00	0,00
LC11	Sle2	7,766	-6,67	-37,00	12,05	0,00	0,00	0,00
LC12	Sle2	7,766	-100,58	56,10	37,19	0,00	0,00	0,00
LC13	Sle2	7,766	-40,08	21,66	-46,91	0,00	0,00	0,00
LC15	Sle2	7,766	-11,32	2,46	5,18	0,00	0,00	0,00
LC16	Sle2	7,766	-10,40	1,20	4,84	0,00	0,00	0,00
LC17	Sle2	7,766	-6,89	3,48	3,59	0,00	0,00	0,00
LC18	Sle2	7,766	-7,17	2,23	1,71	0,00	0,00	0,00
LC19	Sle2	7,766	-11,03	-2,77	7,24	0,00	0,00	0,00
LC20	Sle2	7,766	-3,96	-7,65	4,30	0,00	0,00	0,00
LC21	Sle2	7,766	-10,40	1,20	4,84	0,00	0,00	0,00
LC22	Sle2	7,766	-11,03	-2,77	7,24	0,00	0,00	0,00
LC23	Sle2	7,766	-3,96	-7,65	4,30	0,00	0,00	0,00
LC24	Sle2	7,766	-12,57	7,01	4,65	0,00	0,00	0,00
LC25	Sle2	7,766	-5,01	2,71	-5,86	0,00	0,00	0,00
LC26	Sle2	7,766	-0,07	-0,01	0,06	0,00	0,00	0,00
LC27	Sle2	7,766	0,00	-0,01	-0,01	0,00	0,00	0,00
LC28	Sle2	7,766	-0,04	-0,01	0,04	0,00	0,00	0,00
LC29	Sle2	7,766	0,00	-0,01	0,00	0,00	0,00	0,00
LC30	Sle2	7,766	-10,44	1,74	5,58	0,00	0,00	0,00
LC31	Sle2	7,766	-43,67	4,32	20,51	0,00	0,00	0,00
LC32	Sle2	7,766	-43,01	-13,84	29,65	0,00	0,00	0,00
LC33	Sle2	7,766	-23,05	-27,68	21,66	0,00	0,00	0,00
LC34	Sle2	7,766	-29,10	4,05	13,38	0,00	0,00	0,00
LC35	Sle2	7,766	-34,23	-5,56	21,00	0,00	0,00	0,00
LC36	Sle2	7,766	-4,67	-25,90	8,44	0,00	0,00	0,00
LC37	Sle2	7,766	-4,95	1,43	1,00	0,00	0,00	0,00
LC1	Sle2	8,737	-183,88	67,71	303,02	0,00	0,00	0,00
LC2	Sle2	8,737	-267,54	85,64	277,22	0,00	0,00	0,00
LC3	Sle2	8,737	-96,62	24,05	75,09	0,00	0,00	0,00
LC4	Sle2	8,737	-104,66	3,63	17,45	0,00	0,00	0,00
LC5	Sle2	8,737	-132,91	29,02	4,18	0,00	0,00	0,00
LC6	Sle2	8,737	-59,22	19,92	58,16	0,00	0,00	0,00
LC7	Sle2	8,737	-190,08	81,61	79,08	0,00	0,00	0,00
LC8	Sle2	8,737	-245,46	155,01	106,12	0,00	0,00	0,00
LC9	Sle2	8,737	-62,07	-2,05	8,51	0,00	0,00	0,00
LC10	Sle2	8,737	-117,37	36,42	48,00	0,00	0,00	0,00
LC11	Sle2	8,737	-194,44	142,45	84,55	0,00	0,00	0,00
LC12	Sle2	8,737	-244,40	17,02	158,52	0,00	0,00	0,00
LC13	Sle2	8,737	-168,29	89,12	<b>560,71</b>	0,00	0,00	0,00
LC15	Sle2	8,737	-31,35	8,08	26,78	0,00	0,00	0,00
LC16	Sle2	8,737	-16,67	0,16	2,60	0,00	0,00	0,00
LC17	Sle2	8,737	-16,61	3,63	0,52	0,00	0,00	0,00
LC18	Sle2	8,737	-22,72	7,12	22,87	0,00	0,00	0,00
LC19	Sle2	8,737	-30,74	11,80	12,71	0,00	0,00	0,00
LC20	Sle2	8,737	-43,99	29,75	19,07	0,00	0,00	0,00
LC21	Sle2	8,737	-16,67	0,16	2,60	0,00	0,00	0,00
LC22	Sle2	8,737	-30,74	11,80	12,71	0,00	0,00	0,00
LC23	Sle2	8,737	-43,99	29,75	19,07	0,00	0,00	0,00
LC24	Sle2	8,737	-30,55	2,13	19,81	0,00	0,00	0,00
LC25	Sle2	8,737	-21,04	11,14	70,09	0,00	0,00	0,00
LC26	Sle2	8,737	-0,17	0,04	0,06	0,00	0,00	0,00
LC27	Sle2	8,737	-0,05	0,03	0,02	0,00	0,00	0,00
LC28	Sle2	8,737	-0,11	0,03	0,04	0,00	0,00	0,00
LC29	Sle2	8,737	-0,03	0,02	0,01	0,00	0,00	0,00
LC30	Sle2	8,737	-28,54	7,08	21,95	0,00	0,00	0,00
LC31	Sle2	8,737	-73,26	2,54	12,22	0,00	0,00	0,00
LC32	Sle2	8,737	-133,06	57,13	55,36	0,00	0,00	0,00
LC33	Sle2	8,737	-171,82	108,50	74,29	0,00	0,00	0,00
LC34	Sle2	8,737	-43,45	-1,44	5,96	0,00	0,00	0,00
LC35	Sle2	8,737	-82,16	25,49	33,60	0,00	0,00	0,00
LC36	Sle2	8,737	-136,11	99,71	59,18	0,00	0,00	0,00
LC37	Sle2	8,737	-17,15	5,82	16,79	0,00	0,00	0,00



## 60. Reakce

Lineární výpočet, Extrém : Ne

Výběr : Vše

Třída : Vše ZS

Podpora	Stav	dx [m]	Rx [kN]	Ry [kN]	Rz [kN]
Sle1/S3	LC1	0,000	232,90	10,20	153,90
Sle1/S3	LC2	0,000	318,91	-6,46	138,42
Sle1/S3	LC3	0,000	148,38	-24,87	58,99
Sle1/S3	LC4	0,000	353,87	<b>-130,07</b>	158,45
Sle1/S3	LC5	0,000	175,06	50,17	253,78
Sle1/S3	LC6	0,000	79,35	-4,25	30,49
Sle1/S3	LC7	0,000	339,09	-21,78	48,23
Sle1/S3	LC8	0,000	<b>385,31</b>	-99,57	138,30
Sle1/S3	LC9	0,000	228,20	-78,87	92,62
Sle1/S3	LC10	0,000	223,63	15,24	-8,55
Sle1/S3	LC11	0,000	300,23	-105,76	131,87
Sle1/S3	LC12	0,000	245,99	36,43	91,47
Sle1/S3	LC13	0,000	97,71	25,04	-3,48
Sle1/S3	LC15	0,000	45,84	-6,10	18,99
Sle1/S3	LC16	0,000	58,21	-20,89	25,11
Sle1/S3	LC17	0,000	21,88	6,27	31,72
Sle1/S3	LC18	0,000	29,91	-1,34	12,41
Sle1/S3	LC19	0,000	56,27	-0,65	3,97
Sle1/S3	LC20	0,000	68,55	-20,53	27,02
Sle1/S3	LC21	0,000	58,21	-20,89	25,11
Sle1/S3	LC22	0,000	56,27	-0,65	3,97
Sle1/S3	LC23	0,000	68,55	-20,53	27,02
Sle1/S3	LC24	0,000	30,75	4,55	11,43
Sle1/S3	LC25	0,000	12,21	3,13	-0,43
Sle1/S3	LC26	0,000	0,36	-0,12	0,11
Sle1/S3	LC27	0,000	0,12	-0,08	0,02
Sle1/S3	LC28	0,000	0,24	-0,08	0,07
Sle1/S3	LC29	0,000	0,08	-0,05	0,02
Sle1/S3	LC30	0,000	44,06	-7,54	17,44
Sle1/S3	LC31	0,000	247,71	-91,05	110,92
Sle1/S3	LC32	0,000	237,37	-15,25	33,76
Sle1/S3	LC33	0,000	269,71	-69,70	96,81
Sle1/S3	LC34	0,000	159,74	-55,21	64,84
Sle1/S3	LC35	0,000	156,54	10,67	-5,98
Sle1/S3	LC36	0,000	210,16	-74,04	92,31
Sle1/S3	LC37	0,000	23,03	-1,26	8,76
Sle1/S3	LC1	0,971	65,95	-14,09	39,49
Sle1/S3	LC2	0,971	85,75	-21,20	63,78
Sle1/S3	LC3	0,971	53,22	-20,07	41,74
Sle1/S3	LC4	0,971	180,60	-86,76	90,89
Sle1/S3	LC5	0,971	28,02	-6,43	<b>-74,35</b>
Sle1/S3	LC6	0,971	24,90	-8,06	13,70
Sle1/S3	LC7	0,971	112,87	3,80	53,04
Sle1/S3	LC8	0,971	174,76	-49,02	35,77
Sle1/S3	LC9	0,971	123,69	-65,91	69,33
Sle1/S3	LC10	0,971	56,17	20,56	46,72
Sle1/S3	LC11	0,971	152,76	-60,53	20,91
Sle1/S3	LC12	0,971	60,21	6,62	13,87
Sle1/S3	LC13	0,971	24,31	6,12	28,46
Sle1/S3	LC15	0,971	15,85	-5,63	11,51
Sle1/S3	LC16	0,971	30,43	-15,27	16,02
Sle1/S3	LC17	0,971	3,50	-0,80	-9,29
Sle1/S3	LC18	0,971	9,32	-2,86	5,04
Sle1/S3	LC19	0,971	16,90	2,44	9,98
Sle1/S3	LC20	0,971	32,75	-10,95	5,67
Sle1/S3	LC21	0,971	30,43	-15,27	16,02
Sle1/S3	LC22	0,971	16,90	2,44	9,98
Sle1/S3	LC23	0,971	32,75	-10,95	5,67
Sle1/S3	LC24	0,971	7,53	0,83	1,73
Sle1/S3	LC25	0,971	3,04	0,77	3,56

Podpora	Stav	dx [m]	Rx [kN]	Ry [kN]	Rz [kN]
Sle1/S3	LC26	0,971	0,16	-0,07	0,13
Sle1/S3	LC27	0,971	0,08	-0,07	0,05
Sle1/S3	LC28	0,971	0,10	-0,05	0,09
Sle1/S3	LC29	0,971	0,05	-0,05	0,03
Sle1/S3	LC30	0,971	15,86	-6,01	12,53
Sle1/S3	LC31	0,971	126,42	-60,73	63,63
Sle1/S3	LC32	0,971	79,01	2,66	37,13
Sle1/S3	LC33	0,971	122,33	-34,31	25,04
Sle1/S3	LC34	0,971	86,59	-46,14	48,53
Sle1/S3	LC35	0,971	39,32	14,39	32,70
Sle1/S3	LC36	0,971	106,93	-42,37	14,64
Sle1/S3	LC37	0,971	7,23	-2,36	3,99
Sle1/S3	LC1	1,943	35,73	-14,91	38,73
Sle1/S3	LC2	1,943	56,27	-25,36	48,08
Sle1/S3	LC3	1,943	36,84	-16,50	27,06
Sle1/S3	LC4	1,943	125,62	-69,05	50,85
Sle1/S3	LC5	1,943	-3,25	-5,22	-2,10
Sle1/S3	LC6	1,943	21,75	-12,25	11,33
Sle1/S3	LC7	1,943	58,12	-8,30	16,87
Sle1/S3	LC8	1,943	73,50	-30,86	17,04
Sle1/S3	LC9	1,943	111,00	-72,64	49,41
Sle1/S3	LC10	1,943	47,81	-7,84	16,63
Sle1/S3	LC11	1,943	72,41	-42,56	17,24
Sle1/S3	LC12	1,943	12,04	0,82	2,72
Sle1/S3	LC13	1,943	8,92	2,28	2,54
Sle1/S3	LC15	1,943	10,77	-4,88	7,68
Sle1/S3	LC16	1,943	23,66	-14,17	10,03
Sle1/S3	LC17	1,943	-0,41	-0,65	-0,26
Sle1/S3	LC18	1,943	7,29	-3,90	4,05
Sle1/S3	LC19	1,943	10,59	-1,61	3,35
Sle1/S3	LC20	1,943	14,59	-7,34	3,43
Sle1/S3	LC21	1,943	23,66	-14,17	10,03
Sle1/S3	LC22	1,943	10,59	-1,61	3,35
Sle1/S3	LC23	1,943	14,59	-7,34	3,43
Sle1/S3	LC24	1,943	1,51	0,10	0,34
Sle1/S3	LC25	1,943	1,11	0,29	0,32
Sle1/S3	LC26	1,943	0,11	-0,05	0,09
Sle1/S3	LC27	1,943	0,11	-0,08	0,07
Sle1/S3	LC28	1,943	0,08	-0,03	0,06
Sle1/S3	LC29	1,943	0,07	-0,05	0,05
Sle1/S3	LC30	1,943	11,00	-4,92	8,10
Sle1/S3	LC31	1,943	87,93	-48,33	35,60
Sle1/S3	LC32	1,943	40,69	-5,81	11,81
Sle1/S3	LC33	1,943	51,45	-21,60	11,93
Sle1/S3	LC34	1,943	77,70	-50,85	34,59
Sle1/S3	LC35	1,943	33,47	-5,49	11,64
Sle1/S3	LC36	1,943	50,69	-29,79	12,07
Sle1/S3	LC37	1,943	6,40	-3,63	3,31
Sle1/S3	LC1	2,914	27,70	-14,68	36,07
Sle1/S3	LC2	2,914	47,54	-25,16	44,94
Sle1/S3	LC3	2,914	26,64	-11,17	21,55
Sle1/S3	LC4	2,914	109,03	-61,14	47,61
Sle1/S3	LC5	2,914	-7,72	-6,26	-2,13
Sle1/S3	LC6	2,914	25,97	-15,78	14,33
Sle1/S3	LC7	2,914	61,87	-31,67	32,61
Sle1/S3	LC8	2,914	48,01	-22,78	8,75
Sle1/S3	LC9	2,914	126,92	-80,20	60,95
Sle1/S3	LC10	2,914	75,49	-44,57	46,01
Sle1/S3	LC11	2,914	55,43	-31,68	10,35
Sle1/S3	LC12	2,914	-1,00	-2,63	-0,66
Sle1/S3	LC13	2,914	2,90	0,76	0,61
Sle1/S3	LC15	2,914	8,05	-3,62	6,28
Sle1/S3	LC16	2,914	23,60	-14,13	10,86
Sle1/S3	LC17	2,914	-0,96	-0,78	-0,27
Sle1/S3	LC18	2,914	7,90	-4,68	4,61
Sle1/S3	LC19	2,914	13,74	-7,62	7,86

Podpora	Stav	dx [m]	Rx [kN]	Ry [kN]	Rz [kN]
Sle1/S3	LC20	2,914	10,34	-5,45	1,91
Sle1/S3	LC21	2,914	23,60	-14,13	10,86
Sle1/S3	LC22	2,914	13,74	-7,62	7,86
Sle1/S3	LC23	2,914	10,34	-5,45	1,91
Sle1/S3	LC24	2,914	-0,12	-0,33	-0,08
Sle1/S3	LC25	2,914	0,36	0,09	0,08
Sle1/S3	LC26	2,914	0,07	-0,02	0,06
Sle1/S3	LC27	2,914	0,13	-0,07	0,08
Sle1/S3	LC28	2,914	0,05	-0,01	0,04
Sle1/S3	LC29	2,914	0,08	-0,05	0,05
Sle1/S3	LC30	2,914	7,93	-3,30	6,44
Sle1/S3	LC31	2,914	76,32	-42,79	33,32
Sle1/S3	LC32	2,914	43,31	-22,17	22,83
Sle1/S3	LC33	2,914	33,61	-15,95	6,13
Sle1/S3	LC34	2,914	88,85	-56,14	42,67
Sle1/S3	LC35	2,914	52,84	-31,20	32,21
Sle1/S3	LC36	2,914	38,80	-22,17	7,25
Sle1/S3	LC37	2,914	7,73	-4,70	4,24
Sle1/S3	LC1	3,885	26,58	-14,20	35,70
Sle1/S3	LC2	3,885	46,31	-24,14	44,85
Sle1/S3	LC3	3,885	19,11	-7,29	15,53
Sle1/S3	LC4	3,885	102,52	-50,57	45,53
Sle1/S3	LC5	3,885	-7,06	-6,15	-1,61
Sle1/S3	LC6	3,885	32,11	-17,39	19,80
Sle1/S3	LC7	3,885	85,82	-48,66	63,64
Sle1/S3	LC8	3,885	37,90	-14,01	6,52
Sle1/S3	LC9	3,885	140,56	-71,80	65,26
Sle1/S3	LC10	3,885	119,21	-70,76	93,60
Sle1/S3	LC11	3,885	47,69	-19,03	8,00
Sle1/S3	LC12	3,885	-3,82	-3,90	-0,97
Sle1/S3	LC13	3,885	0,80	0,02	0,17
Sle1/S3	LC15	3,885	6,23	-2,65	4,87
Sle1/S3	LC16	3,885	24,31	-12,24	11,08
Sle1/S3	LC17	3,885	-0,88	-0,77	-0,20
Sle1/S3	LC18	3,885	9,23	-4,98	5,86
Sle1/S3	LC19	3,885	20,50	-11,94	15,72
Sle1/S3	LC20	3,885	8,56	-3,30	1,45
Sle1/S3	LC21	3,885	24,31	-12,24	11,08
Sle1/S3	LC22	3,885	20,50	-11,94	15,72
Sle1/S3	LC23	3,885	8,56	-3,30	1,45
Sle1/S3	LC24	3,885	-0,48	-0,49	-0,12
Sle1/S3	LC25	3,885	0,10	0,00	0,02
Sle1/S3	LC26	3,885	0,04	0,00	0,02
Sle1/S3	LC27	3,885	0,11	-0,04	0,08
Sle1/S3	LC28	3,885	0,02	0,00	0,01
Sle1/S3	LC29	3,885	0,08	-0,03	0,05
Sle1/S3	LC30	3,885	5,64	-2,13	4,60
Sle1/S3	LC31	3,885	71,77	-35,40	31,87
Sle1/S3	LC32	3,885	60,07	-34,06	44,55
Sle1/S3	LC33	3,885	26,53	-9,81	4,56
Sle1/S3	LC34	3,885	98,39	-50,26	45,68
Sle1/S3	LC35	3,885	83,45	-49,53	65,52
Sle1/S3	LC36	3,885	33,38	-13,32	5,60
Sle1/S3	LC37	3,885	9,60	-5,20	5,91
Sle1/S3	LC1	4,857	28,06	-13,53	36,00
Sle1/S3	LC2	4,857	46,56	-21,45	44,88
Sle1/S3	LC3	4,857	14,07	-5,30	8,59
Sle1/S3	LC4	4,857	90,61	-33,99	36,34
Sle1/S3	LC5	4,857	-5,51	-5,20	-1,11
Sle1/S3	LC6	4,857	36,05	-15,54	25,99
Sle1/S3	LC7	4,857	105,73	-48,96	78,98
Sle1/S3	LC8	4,857	32,42	-6,54	6,67
Sle1/S3	LC9	4,857	133,06	-48,77	54,01
Sle1/S3	LC10	4,857	152,04	-72,26	116,69
Sle1/S3	LC11	4,857	42,26	-8,76	8,27
Sle1/S3	LC12	4,857	-3,78	-3,74	-0,77

Podpora	Stav	dx [m]	Rx [kN]	Ry [kN]	Rz [kN]
Sle1/S3	LC13	4,857	0,06	-0,20	0,05
Sle1/S3	LC15	4,857	5,03	-2,05	3,24
Sle1/S3	LC16	4,857	22,37	-8,28	9,03
Sle1/S3	LC17	4,857	-0,69	-0,65	-0,14
Sle1/S3	LC18	4,857	10,11	-4,41	7,26
Sle1/S3	LC19	4,857	25,78	-12,12	19,57
Sle1/S3	LC20	4,857	7,47	-1,53	1,49
Sle1/S3	LC21	4,857	22,37	-8,28	9,03
Sle1/S3	LC22	4,857	25,78	-12,12	19,57
Sle1/S3	LC23	4,857	7,47	-1,53	1,49
Sle1/S3	LC24	4,857	-0,47	-0,47	-0,10
Sle1/S3	LC25	4,857	0,01	-0,03	0,01
Sle1/S3	LC26	4,857	0,01	0,00	0,00
Sle1/S3	LC27	4,857	0,08	-0,02	0,07
Sle1/S3	LC28	4,857	0,01	0,00	0,00
Sle1/S3	LC29	4,857	0,05	-0,01	0,04
Sle1/S3	LC30	4,857	4,11	-1,53	2,49
Sle1/S3	LC31	4,857	63,43	-23,79	25,43
Sle1/S3	LC32	4,857	74,01	-34,28	55,29
Sle1/S3	LC33	4,857	22,69	-4,58	4,67
Sle1/S3	LC34	4,857	93,14	-34,14	37,81
Sle1/S3	LC35	4,857	106,43	-50,58	81,68
Sle1/S3	LC36	4,857	29,58	-6,13	5,79
Sle1/S3	LC37	4,857	10,80	-4,65	7,79
Sle1/S3	LC1	5,828	30,17	-12,33	36,75
Sle1/S3	LC2	5,828	44,52	-16,17	43,64
Sle1/S3	LC3	5,828	10,49	-3,69	6,83
Sle1/S3	LC4	5,828	72,07	-17,37	26,20
Sle1/S3	LC5	5,828	-4,47	-3,86	-0,89
Sle1/S3	LC6	5,828	35,81	-11,04	25,75
Sle1/S3	LC7	5,828	107,47	-33,39	62,38
Sle1/S3	LC8	5,828	28,92	-1,36	8,41
Sle1/S3	LC9	5,828	108,88	-24,41	39,42
Sle1/S3	LC10	5,828	156,59	-50,29	91,80
Sle1/S3	LC11	5,828	38,85	-2,31	10,89
Sle1/S3	LC12	5,828	-3,49	-2,81	-0,68
Sle1/S3	LC13	5,828	-0,30	-0,12	-0,01
Sle1/S3	LC15	5,828	4,07	-1,43	2,77
Sle1/S3	LC16	5,828	18,10	-4,18	6,56
Sle1/S3	LC17	5,828	-0,56	-0,48	-0,11
Sle1/S3	LC18	5,828	9,92	-3,13	7,13
Sle1/S3	LC19	5,828	26,41	-8,37	15,42
Sle1/S3	LC20	5,828	6,78	-0,37	1,93
Sle1/S3	LC21	5,828	18,10	-4,18	6,56
Sle1/S3	LC22	5,828	26,41	-8,37	15,42
Sle1/S3	LC23	5,828	6,78	-0,37	1,93
Sle1/S3	LC24	5,828	-0,44	-0,35	-0,08
Sle1/S3	LC25	5,828	-0,04	-0,01	0,00
Sle1/S3	LC26	5,828	0,00	0,00	0,00
Sle1/S3	LC27	5,828	0,05	0,00	0,03
Sle1/S3	LC28	5,828	0,00	0,00	0,00
Sle1/S3	LC29	5,828	0,03	0,00	0,02
Sle1/S3	LC30	5,828	3,03	-1,07	1,96
Sle1/S3	LC31	5,828	50,45	-12,16	18,34
Sle1/S3	LC32	5,828	75,23	-23,37	43,67
Sle1/S3	LC33	5,828	20,24	-0,95	5,89
Sle1/S3	LC34	5,828	76,22	-17,08	27,59
Sle1/S3	LC35	5,828	109,61	-35,20	64,26
Sle1/S3	LC36	5,828	27,20	-1,61	7,62
Sle1/S3	LC37	5,828	10,75	-3,31	7,73
Sle1/S3	LC1	6,799	30,35	-8,71	36,63
Sle1/S3	LC2	6,799	37,62	-7,66	38,52
Sle1/S3	LC3	6,799	7,47	-1,65	5,53
Sle1/S3	LC4	6,799	51,66	-4,85	19,55
Sle1/S3	LC5	6,799	-4,21	-2,43	-1,08
Sle1/S3	LC6	6,799	30,50	-4,70	22,16

Podpora	Stav	dx [m]	Rx [kN]	Ry [kN]	Rz [kN]
Sle1/S3	LC7	6,799	81,98	-8,80	35,93
Sle1/S3	LC8	6,799	28,03	-0,76	11,42
Sle1/S3	LC9	6,799	79,45	-6,13	29,66
Sle1/S3	LC10	6,799	119,67	-13,71	52,04
Sle1/S3	LC11	6,799	38,76	-1,66	15,28
Sle1/S3	LC12	6,799	-3,55	-1,75	-0,87
Sle1/S3	LC13	6,799	-0,50	-0,06	-0,05
Sle1/S3	LC15	6,799	3,07	-0,64	2,28
Sle1/S3	LC16	6,799	13,11	-1,10	4,92
Sle1/S3	LC17	6,799	-0,53	-0,30	-0,13
Sle1/S3	LC18	6,799	8,39	-1,34	6,12
Sle1/S3	LC19	6,799	20,17	-2,25	8,80
Sle1/S3	LC20	6,799	6,68	-0,24	2,67
Sle1/S3	LC21	6,799	13,11	-1,10	4,92
Sle1/S3	LC22	6,799	20,17	-2,25	8,80
Sle1/S3	LC23	6,799	6,68	-0,24	2,67
Sle1/S3	LC24	6,799	-0,44	-0,22	-0,11
Sle1/S3	LC25	6,799	-0,06	-0,01	-0,01
Sle1/S3	LC26	6,799	0,00	0,00	0,00
Sle1/S3	LC27	6,799	0,02	0,01	0,00
Sle1/S3	LC28	6,799	0,00	0,00	0,00
Sle1/S3	LC29	6,799	0,01	0,00	0,00
Sle1/S3	LC30	6,799	2,14	-0,48	1,58
Sle1/S3	LC31	6,799	36,16	-3,39	13,68
Sle1/S3	LC32	6,799	57,38	-6,16	25,15
Sle1/S3	LC33	6,799	19,62	-0,53	7,99
Sle1/S3	LC34	6,799	55,62	-4,29	20,76
Sle1/S3	LC35	6,799	83,77	-9,60	36,43
Sle1/S3	LC36	6,799	27,13	-1,16	10,70
Sle1/S3	LC37	6,799	9,16	-1,41	6,65
Sle1/S3	LC1	7,771	26,27	-5,60	36,57
Sle1/S3	LC2	7,771	26,29	0,39	21,60
Sle1/S3	LC3	7,771	4,09	0,43	1,82
Sle1/S3	LC4	7,771	41,20	-5,26	19,82
Sle1/S3	LC5	7,771	-5,16	-0,35	-1,66
Sle1/S3	LC6	7,771	22,91	-1,11	15,44
Sle1/S3	LC7	7,771	43,60	5,74	20,76
Sle1/S3	LC8	7,771	46,81	-16,12	25,81
Sle1/S3	LC9	7,771	63,67	-6,93	29,16
Sle1/S3	LC10	7,771	58,25	12,20	23,88
Sle1/S3	LC11	7,771	63,01	-20,62	31,55
Sle1/S3	LC12	7,771	-3,97	-0,54	-0,73
Sle1/S3	LC13	7,771	-0,19	-0,37	0,62
Sle1/S3	LC15	7,771	1,88	0,07	1,05
Sle1/S3	LC16	7,771	10,49	-1,22	4,90
Sle1/S3	LC17	7,771	-0,64	-0,04	-0,21
Sle1/S3	LC18	7,771	6,22	-0,29	4,19
Sle1/S3	LC19	7,771	10,18	1,79	4,46
Sle1/S3	LC20	7,771	10,98	-3,67	5,74
Sle1/S3	LC21	7,771	10,49	-1,22	4,90
Sle1/S3	LC22	7,771	10,18	1,79	4,46
Sle1/S3	LC23	7,771	10,98	-3,67	5,74
Sle1/S3	LC24	7,771	-0,50	-0,07	-0,09
Sle1/S3	LC25	7,771	-0,02	-0,05	0,08
Sle1/S3	LC26	7,771	-0,01	0,00	-0,01
Sle1/S3	LC27	7,771	0,00	0,01	-0,01
Sle1/S3	LC28	7,771	0,00	0,00	-0,01
Sle1/S3	LC29	7,771	0,00	0,01	-0,01
Sle1/S3	LC30	7,771	1,15	0,14	0,49
Sle1/S3	LC31	7,771	28,84	-3,68	13,87
Sle1/S3	LC32	7,771	30,52	4,02	14,53
Sle1/S3	LC33	7,771	32,76	-11,28	18,06
Sle1/S3	LC34	7,771	44,57	-4,85	20,41
Sle1/S3	LC35	7,771	40,77	8,54	16,72
Sle1/S3	LC36	7,771	44,11	-14,43	22,08
Sle1/S3	LC37	7,771	6,89	-0,34	4,64

Podpora	Stav	dx [m]	Rx [kN]	Ry [kN]	Rz [kN]
Sle1/S3	LC1	8,742	22,36	1,59	25,68
Sle1/S3	LC2	8,742	25,99	0,54	21,54
Sle1/S3	LC3	8,742	3,91	0,12	3,64
Sle1/S3	LC4	8,742	30,56	1,48	6,03
Sle1/S3	LC5	8,742	-5,62	-0,08	-2,14
Sle1/S3	LC6	8,742	19,48	1,02	11,83
Sle1/S3	LC7	8,742	29,24	4,91	18,23
Sle1/S3	LC8	8,742	37,83	-1,78	-8,58
Sle1/S3	LC9	8,742	48,80	2,25	11,72
Sle1/S3	LC10	8,742	40,05	7,41	32,47
Sle1/S3	LC11	8,742	52,81	-2,61	-7,85
Sle1/S3	LC12	8,742	-4,67	-0,06	-2,48
Sle1/S3	LC13	8,742	-0,64	0,00	-1,03
Sle1/S3	LC15	8,742	1,70	0,07	1,37
Sle1/S3	LC16	8,742	7,94	0,37	1,78
Sle1/S3	LC17	8,742	-0,70	-0,01	-0,27
Sle1/S3	LC18	8,742	5,29	0,28	3,26
Sle1/S3	LC19	8,742	6,93	1,23	5,07
Sle1/S3	LC20	8,742	9,06	-0,44	-1,64
Sle1/S3	LC21	8,742	7,94	0,37	1,78
Sle1/S3	LC22	8,742	6,93	1,23	5,07
Sle1/S3	LC23	8,742	9,06	-0,44	-1,64
Sle1/S3	LC24	8,742	-0,58	-0,01	-0,31
Sle1/S3	LC25	8,742	-0,08	0,00	-0,13
Sle1/S3	LC26	8,742	0,00	0,00	0,00
Sle1/S3	LC27	8,742	0,00	0,00	0,01
Sle1/S3	LC28	8,742	0,00	0,00	0,00
Sle1/S3	LC29	8,742	0,00	0,00	0,00
Sle1/S3	LC30	8,742	1,11	0,03	1,06
Sle1/S3	LC31	8,742	21,39	1,03	4,22
Sle1/S3	LC32	8,742	20,47	3,44	12,76
Sle1/S3	LC33	8,742	26,48	-1,25	-6,00
Sle1/S3	LC34	8,742	34,16	1,58	8,20
Sle1/S3	LC35	8,742	28,03	5,19	22,73
Sle1/S3	LC36	8,742	36,97	-1,83	-5,50
Sle1/S3	LC37	8,742	5,86	0,31	3,55
Sle2/S5	LC1	0,000	-76,34	10,73	42,02
Sle2/S5	LC2	0,000	-93,97	22,94	45,48
Sle2/S5	LC3	0,000	-24,93	6,66	9,16
Sle2/S5	LC4	0,000	-187,83	78,15	99,29
Sle2/S5	LC5	0,000	10,80	-17,27	-8,83
Sle2/S5	LC6	0,000	-78,84	27,95	39,63
Sle2/S5	LC7	0,000	-159,47	1,91	29,17
Sle2/S5	LC8	0,000	8,31	12,98	50,14
Sle2/S5	LC9	0,000	<b>-299,86</b>	<b>123,70</b>	159,13
Sle2/S5	LC10	0,000	-282,09	41,67	73,98
Sle2/S5	LC11	0,000	-28,75	57,21	104,71
Sle2/S5	LC12	0,000	12,37	-21,77	-11,85
Sle2/S5	LC13	0,000	4,70	-8,52	-5,17
Sle2/S5	LC15	0,000	-9,40	2,51	3,75
Sle2/S5	LC16	0,000	-48,77	20,18	25,84
Sle2/S5	LC17	0,000	1,35	-2,16	-1,10
Sle2/S5	LC18	0,000	-21,84	7,42	10,78
Sle2/S5	LC19	0,000	-44,16	4,36	10,32
Sle2/S5	LC20	0,000	-2,04	7,02	15,48
Sle2/S5	LC21	0,000	-48,77	20,18	25,84
Sle2/S5	LC22	0,000	-44,16	4,36	10,32
Sle2/S5	LC23	0,000	-2,04	7,02	15,48
Sle2/S5	LC24	0,000	1,55	-2,72	-1,48
Sle2/S5	LC25	0,000	0,59	-1,07	-0,65
Sle2/S5	LC26	0,000	-0,01	0,00	0,00
Sle2/S5	LC27	0,000	-0,08	0,07	0,03
Sle2/S5	LC28	0,000	-0,01	0,00	0,00
Sle2/S5	LC29	0,000	-0,05	0,04	0,02
Sle2/S5	LC30	0,000	-7,24	1,93	2,63
Sle2/S5	LC31	0,000	-131,48	54,70	69,50

Podpora	Stav	dx [m]	Rx [kN]	Ry [kN]	Rz [kN]
Sle2/S5	LC32	0,000	-111,63	1,34	20,42
Sle2/S5	LC33	0,000	5,82	9,08	35,09
Sle2/S5	LC34	0,000	-209,90	86,59	111,39
Sle2/S5	LC35	0,000	-197,46	29,17	51,79
Sle2/S5	LC36	0,000	-20,12	40,05	73,30
Sle2/S5	LC37	0,000	-23,66	8,42	11,91
Sle2/S5	LC1	0,971	-70,60	6,84	47,28
Sle2/S5	LC2	0,971	-95,50	16,80	58,02
Sle2/S5	LC3	0,971	-27,24	7,42	11,83
Sle2/S5	LC4	0,971	-162,18	72,16	61,84
Sle2/S5	LC5	0,971	1,68	-14,31	-3,00
Sle2/S5	LC6	0,971	-69,52	20,49	37,38
Sle2/S5	LC7	0,971	-130,64	-7,63	31,08
Sle2/S5	LC8	0,971	-89,32	30,27	108,25
Sle2/S5	LC9	0,971	-234,26	92,66	86,41
Sle2/S5	LC10	0,971	-195,65	10,25	53,50
Sle2/S5	LC11	0,971	-133,05	67,23	169,34
Sle2/S5	LC12	0,971	-1,55	-19,35	-4,16
Sle2/S5	LC13	0,971	-2,53	-7,96	-1,76
Sle2/S5	LC15	0,971	-9,86	2,48	4,48
Sle2/S5	LC16	0,971	-39,64	16,48	14,83
Sle2/S5	LC17	0,971	0,21	-1,79	-0,38
Sle2/S5	LC18	0,971	-19,62	5,49	10,38
Sle2/S5	LC19	0,971	-32,63	0,26	8,46
Sle2/S5	LC20	0,971	-22,24	9,75	27,76
Sle2/S5	LC21	0,971	-39,64	16,48	14,83
Sle2/S5	LC22	0,971	-32,63	0,26	8,46
Sle2/S5	LC23	0,971	-22,24	9,75	27,76
Sle2/S5	LC24	0,971	-0,19	-2,42	-0,52
Sle2/S5	LC25	0,971	-0,32	-1,00	-0,22
Sle2/S5	LC26	0,971	-0,02	0,01	0,01
Sle2/S5	LC27	0,971	-0,10	0,08	0,05
Sle2/S5	LC28	0,971	-0,02	0,01	0,00
Sle2/S5	LC29	0,971	-0,07	0,05	0,03
Sle2/S5	LC30	0,971	-7,95	2,18	3,43
Sle2/S5	LC31	0,971	-113,53	50,52	43,29
Sle2/S5	LC32	0,971	-91,45	-5,34	21,76
Sle2/S5	LC33	0,971	-62,53	21,19	75,77
Sle2/S5	LC34	0,971	-163,98	64,86	60,49
Sle2/S5	LC35	0,971	-136,95	7,18	37,45
Sle2/S5	LC36	0,971	-93,14	47,06	118,53
Sle2/S5	LC37	0,971	-20,83	6,17	11,22
Sle2/S5	LC1	1,941	-41,51	0,95	37,80
Sle2/S5	LC2	1,941	-64,15	10,18	46,79
Sle2/S5	LC3	1,941	-23,49	9,34	11,21
Sle2/S5	LC4	1,941	-122,65	72,45	53,10
Sle2/S5	LC5	1,941	0,08	-15,17	-2,64
Sle2/S5	LC6	1,941	-42,38	12,02	27,50
Sle2/S5	LC7	1,941	-63,93	1,60	15,98
Sle2/S5	LC8	1,941	-115,81	35,46	65,73
Sle2/S5	LC9	1,941	-139,06	65,77	54,49
Sle2/S5	LC10	1,941	-77,75	5,70	19,13
Sle2/S5	LC11	1,941	-156,80	58,17	95,02
Sle2/S5	LC12	1,941	-1,88	-22,83	-4,71
Sle2/S5	LC13	1,941	-2,30	-10,33	-2,22
Sle2/S5	LC15	1,941	-7,87	2,64	3,95
Sle2/S5	LC16	1,941	-26,17	13,82	10,76
Sle2/S5	LC17	1,941	0,01	-1,90	-0,33
Sle2/S5	LC18	1,941	-12,23	3,26	7,71
Sle2/S5	LC19	1,941	-14,17	0,73	3,51
Sle2/S5	LC20	1,941	-27,26	9,36	16,07
Sle2/S5	LC21	1,941	-26,17	13,82	10,76
Sle2/S5	LC22	1,941	-14,17	0,73	3,51
Sle2/S5	LC23	1,941	-27,26	9,36	16,07
Sle2/S5	LC24	1,941	-0,23	-2,85	-0,59
Sle2/S5	LC25	1,941	-0,29	-1,29	-0,28

Podpora	Stav	dx [m]	Rx [kN]	Ry [kN]	Rz [kN]
Sle2/S5	LC26	1,941	-0,04	0,03	0,01
Sle2/S5	LC27	1,941	-0,12	0,08	0,07
Sle2/S5	LC28	1,941	-0,03	0,02	0,01
Sle2/S5	LC29	1,941	-0,08	0,06	0,05
Sle2/S5	LC30	1,941	-6,91	2,80	3,28
Sle2/S5	LC31	1,941	-85,85	50,71	37,17
Sle2/S5	LC32	1,941	-44,75	1,12	11,18
Sle2/S5	LC33	1,941	-81,07	24,82	46,01
Sle2/S5	LC34	1,941	-97,34	46,04	38,15
Sle2/S5	LC35	1,941	-54,42	3,99	13,39
Sle2/S5	LC36	1,941	-109,76	40,72	66,51
Sle2/S5	LC37	1,941	-12,67	3,62	8,24
Sle2/S5	LC1	2,912	-33,40	-1,37	34,59
Sle2/S5	LC2	2,912	-55,37	6,42	43,15
Sle2/S5	LC3	2,912	-28,02	12,21	14,17
Sle2/S5	LC4	2,912	-132,95	80,13	63,24
Sle2/S5	LC5	2,912	0,68	-15,76	-2,87
Sle2/S5	LC6	2,912	-29,86	6,24	21,39
Sle2/S5	LC7	2,912	-69,55	31,03	35,24
Sle2/S5	LC8	2,912	-116,57	42,26	69,52
Sle2/S5	LC9	2,912	-114,41	59,56	49,23
Sle2/S5	LC10	2,912	-61,41	24,25	26,48
Sle2/S5	LC11	2,912	-135,33	43,99	80,47
Sle2/S5	LC12	2,912	-0,09	-27,07	-6,46
Sle2/S5	LC13	2,912	-1,56	-14,02	-3,42
Sle2/S5	LC15	2,912	-8,60	3,14	4,50
Sle2/S5	LC16	2,912	-24,74	13,97	11,25
Sle2/S5	LC17	2,912	0,09	-1,97	-0,36
Sle2/S5	LC18	2,912	-9,03	1,76	6,16
Sle2/S5	LC19	2,912	-13,10	5,53	6,17
Sle2/S5	LC20	2,912	-25,19	8,62	15,00
Sle2/S5	LC21	2,912	-24,74	13,97	11,25
Sle2/S5	LC22	2,912	-13,10	5,53	6,17
Sle2/S5	LC23	2,912	-25,19	8,62	15,00
Sle2/S5	LC24	2,912	-0,01	-3,38	-0,81
Sle2/S5	LC25	2,912	-0,20	-1,75	-0,43
Sle2/S5	LC26	2,912	-0,07	0,05	0,03
Sle2/S5	LC27	2,912	-0,13	0,07	0,09
Sle2/S5	LC28	2,912	-0,05	0,04	0,02
Sle2/S5	LC29	2,912	-0,09	0,05	0,06
Sle2/S5	LC30	2,912	-8,32	3,69	4,20
Sle2/S5	LC31	2,912	-93,07	56,09	44,27
Sle2/S5	LC32	2,912	-48,69	21,72	24,67
Sle2/S5	LC33	2,912	-81,60	29,58	48,67
Sle2/S5	LC34	2,912	-80,09	41,69	34,46
Sle2/S5	LC35	2,912	-42,99	16,97	18,54
Sle2/S5	LC36	2,912	-94,73	30,79	56,33
Sle2/S5	LC37	2,912	-8,89	1,87	6,40
Sle2/S5	LC1	3,883	-30,04	-3,81	32,96
Sle2/S5	LC2	3,883	-50,84	2,13	40,99
Sle2/S5	LC3	3,883	-33,18	12,70	20,19
Sle2/S5	LC4	3,883	-141,33	70,01	65,21
Sle2/S5	LC5	3,883	0,99	-14,23	-2,91
Sle2/S5	LC6	3,883	-20,92	2,21	13,75
Sle2/S5	LC7	3,883	-97,62	55,86	94,02
Sle2/S5	LC8	3,883	-118,02	49,25	106,58
Sle2/S5	LC9	3,883	-103,48	49,13	45,62
Sle2/S5	LC10	3,883	-73,16	41,13	64,83
Sle2/S5	LC11	3,883	-108,85	34,12	84,39
Sle2/S5	LC12	3,883	2,08	-29,35	-8,51
Sle2/S5	LC13	3,883	0,10	-19,13	-5,36
Sle2/S5	LC15	3,883	-9,63	3,08	5,80
Sle2/S5	LC16	3,883	-24,48	11,91	11,08
Sle2/S5	LC17	3,883	0,12	-1,78	-0,36
Sle2/S5	LC18	3,883	-6,80	0,66	4,31
Sle2/S5	LC19	3,883	-17,08	9,70	15,89



Podpora	Stav	dx [m]	Rx [kN]	Ry [kN]	Rz [kN]
Sle2/S5	LC20	3,883	-22,69	8,34	19,10
Sle2/S5	LC21	3,883	-24,48	11,91	11,08
Sle2/S5	LC22	3,883	-17,08	9,70	15,89
Sle2/S5	LC23	3,883	-22,69	8,34	19,10
Sle2/S5	LC24	3,883	0,26	-3,67	-1,06
Sle2/S5	LC25	3,883	0,01	-2,39	-0,67
Sle2/S5	LC26	3,883	-0,11	0,07	0,06
Sle2/S5	LC27	3,883	-0,11	0,04	0,09
Sle2/S5	LC28	3,883	-0,07	0,04	0,04
Sle2/S5	LC29	3,883	-0,08	0,03	0,06
Sle2/S5	LC30	3,883	-9,91	3,85	6,04
Sle2/S5	LC31	3,883	-98,93	49,01	45,65
Sle2/S5	LC32	3,883	-68,33	39,10	65,81
Sle2/S5	LC33	3,883	-82,61	34,47	74,61
Sle2/S5	LC34	3,883	-72,44	34,39	31,93
Sle2/S5	LC35	3,883	-51,21	28,79	45,38
Sle2/S5	LC36	3,883	-76,20	23,89	59,07
Sle2/S5	LC37	3,883	-6,18	0,66	4,08
Sle2/S5	LC1	4,854	-29,25	-4,04	32,23
Sle2/S5	LC2	4,854	-48,19	-0,30	39,24
Sle2/S5	LC3	4,854	-36,14	10,66	24,74
Sle2/S5	LC4	4,854	-128,47	46,47	52,39
Sle2/S5	LC5	4,854	-2,14	-7,63	-1,23
Sle2/S5	LC6	4,854	-14,94	0,41	7,61
Sle2/S5	LC7	4,854	-127,35	58,27	135,54
Sle2/S5	LC8	4,854	-124,45	43,94	136,54
Sle2/S5	LC9	4,854	-88,12	33,15	35,61
Sle2/S5	LC10	4,854	-91,12	43,53	92,86
Sle2/S5	LC11	4,854	-91,70	23,91	91,69
Sle2/S5	LC12	4,854	0,47	-22,38	-8,27
Sle2/S5	LC13	4,854	2,83	-23,66	-7,88
Sle2/S5	LC15	4,854	-10,21	2,52	6,79
Sle2/S5	LC16	4,854	-21,66	7,96	8,80
Sle2/S5	LC17	4,854	-0,27	-0,95	-0,15
Sle2/S5	LC18	4,854	-5,32	0,15	2,83
Sle2/S5	LC19	4,854	-21,85	10,18	22,84
Sle2/S5	LC20	4,854	-21,62	6,78	22,82
Sle2/S5	LC21	4,854	-21,66	7,96	8,80
Sle2/S5	LC22	4,854	-21,85	10,18	22,84
Sle2/S5	LC23	4,854	-21,62	6,78	22,82
Sle2/S5	LC24	4,854	0,06	-2,80	-1,03
Sle2/S5	LC25	4,854	0,35	-2,96	-0,98
Sle2/S5	LC26	4,854	-0,13	0,06	0,09
Sle2/S5	LC27	4,854	-0,08	0,02	0,07
Sle2/S5	LC28	4,854	-0,09	0,04	0,06
Sle2/S5	LC29	4,854	-0,05	0,01	0,05
Sle2/S5	LC30	4,854	-10,83	3,24	7,43
Sle2/S5	LC31	4,854	-89,93	32,53	36,67
Sle2/S5	LC32	4,854	-89,15	40,79	94,88
Sle2/S5	LC33	4,854	-87,12	30,76	95,58
Sle2/S5	LC34	4,854	-61,68	23,20	24,92
Sle2/S5	LC35	4,854	-63,78	30,47	65,00
Sle2/S5	LC36	4,854	-64,19	16,74	64,18
Sle2/S5	LC37	4,854	-4,37	0,12	2,21
Sle2/S5	LC1	5,824	-33,19	2,18	34,06
Sle2/S5	LC2	5,824	-49,50	4,06	39,40
Sle2/S5	LC3	5,824	-35,91	7,71	24,59
Sle2/S5	LC4	5,824	-102,04	23,74	38,08
Sle2/S5	LC5	5,824	-13,23	5,80	4,77
Sle2/S5	LC6	5,824	-12,23	1,03	6,24
Sle2/S5	LC7	5,824	-137,13	34,92	101,87
Sle2/S5	LC8	5,824	-121,51	18,49	95,86
Sle2/S5	LC9	5,824	-68,55	18,32	25,92
Sle2/S5	LC10	5,824	-97,61	28,60	71,12
Sle2/S5	LC11	5,824	-77,17	4,54	59,17
Sle2/S5	LC12	5,824	-15,98	4,08	0,67

Podpora	Stav	dx [m]	Rx [kN]	Ry [kN]	Rz [kN]
Sle2/S5	LC13	5,824	4,07	-20,97	-9,58
Sle2/S5	LC15	5,824	-10,21	2,02	6,78
Sle2/S5	LC16	5,824	-17,06	4,21	6,40
Sle2/S5	LC17	5,824	-1,65	0,73	0,60
Sle2/S5	LC18	5,824	-4,74	0,48	2,54
Sle2/S5	LC19	5,824	-23,47	6,35	17,30
Sle2/S5	LC20	5,824	-19,87	2,30	15,50
Sle2/S5	LC21	5,824	-17,06	4,21	6,40
Sle2/S5	LC22	5,824	-23,47	6,35	17,30
Sle2/S5	LC23	5,824	-19,87	2,30	15,50
Sle2/S5	LC24	5,824	-2,00	0,51	0,08
Sle2/S5	LC25	5,824	0,51	-2,62	-1,20
Sle2/S5	LC26	5,824	-0,12	0,03	0,09
Sle2/S5	LC27	5,824	-0,05	0,00	0,03
Sle2/S5	LC28	5,824	-0,08	0,02	0,06
Sle2/S5	LC29	5,824	-0,03	0,00	0,02
Sle2/S5	LC30	5,824	-10,75	2,33	7,38
Sle2/S5	LC31	5,824	-71,43	16,62	26,66
Sle2/S5	LC32	5,824	-95,99	24,44	71,31
Sle2/S5	LC33	5,824	-85,06	12,94	67,10
Sle2/S5	LC34	5,824	-47,98	12,82	18,15
Sle2/S5	LC35	5,824	-68,33	20,02	49,79
Sle2/S5	LC36	5,824	-54,02	3,18	41,42
Sle2/S5	LC37	5,824	-3,54	0,29	1,79
Sle2/S5	LC1	6,795	-47,62	15,58	40,69
Sle2/S5	LC2	6,795	-62,12	17,28	43,75
Sle2/S5	LC3	6,795	-34,11	5,65	22,66
Sle2/S5	LC4	6,795	-73,11	7,06	28,76
Sle2/S5	LC5	6,795	-34,68	21,36	16,25
Sle2/S5	LC6	6,795	-13,59	3,79	6,95
Sle2/S5	LC7	6,795	-102,47	-4,28	49,79
Sle2/S5	LC8	6,795	-81,51	-20,85	38,57
Sle2/S5	LC9	6,795	-48,86	6,94	19,74
Sle2/S5	LC10	6,795	-74,81	2,23	37,02
Sle2/S5	LC11	6,795	-44,28	-22,34	18,13
Sle2/S5	LC12	6,795	-60,84	44,06	25,97
Sle2/S5	LC13	6,795	-7,22	-0,26	-5,93
Sle2/S5	LC15	6,795	-10,27	2,06	6,55
Sle2/S5	LC16	6,795	-12,20	1,40	4,85
Sle2/S5	LC17	6,795	-4,34	2,67	2,03
Sle2/S5	LC18	6,795	-5,54	1,63	2,92
Sle2/S5	LC19	6,795	-17,73	-0,20	8,68
Sle2/S5	LC20	6,795	-12,58	-4,32	5,67
Sle2/S5	LC21	6,795	-12,20	1,40	4,85
Sle2/S5	LC22	6,795	-17,73	-0,20	8,68
Sle2/S5	LC23	6,795	-12,58	-4,32	5,67
Sle2/S5	LC24	6,795	-7,61	5,51	3,25
Sle2/S5	LC25	6,795	-0,90	-0,03	-0,74
Sle2/S5	LC26	6,795	-0,09	0,00	0,07
Sle2/S5	LC27	6,795	-0,02	-0,01	0,00
Sle2/S5	LC28	6,795	-0,06	0,00	0,05
Sle2/S5	LC29	6,795	-0,01	-0,01	0,00
Sle2/S5	LC30	6,795	-10,15	1,65	6,77
Sle2/S5	LC31	6,795	-51,17	4,94	20,13
Sle2/S5	LC32	6,795	-71,73	-3,00	34,85
Sle2/S5	LC33	6,795	-57,06	-14,59	27,00
Sle2/S5	LC34	6,795	-34,20	4,86	13,81
Sle2/S5	LC35	6,795	-52,36	1,56	25,91
Sle2/S5	LC36	6,795	-31,00	-15,64	12,69
Sle2/S5	LC37	6,795	-3,90	1,08	1,99
Sle2/S5	LC1	7,766	-74,87	26,30	21,35
Sle2/S5	LC2	7,766	-86,26	25,59	19,12
Sle2/S5	LC3	7,766	-34,30	5,96	16,52
Sle2/S5	LC4	7,766	-56,38	5,63	28,33
Sle2/S5	LC5	7,766	-59,76	28,92	31,71
Sle2/S5	LC6	7,766	-17,82	5,27	2,30

Podpora	Stav	dx [m]	Rx [kN]	Ry [kN]	Rz [kN]
Sle2/S5	LC7	7,766	-45,37	-24,17	38,23
Sle2/S5	LC8	7,766	-15,46	-44,22	27,20
Sle2/S5	LC9	7,766	-37,52	5,18	18,17
Sle2/S5	LC10	7,766	-38,36	-11,02	26,48
Sle2/S5	LC11	7,766	6,12	-40,45	9,55
Sle2/S5	LC12	7,766	-109,91	57,92	39,47
Sle2/S5	LC13	7,766	-49,47	28,13	-58,74
Sle2/S5	LC15	7,766	-11,23	2,50	4,52
Sle2/S5	LC16	7,766	-9,39	1,08	4,65
Sle2/S5	LC17	7,766	-7,47	3,62	3,96
Sle2/S5	LC18	7,766	-7,43	2,34	1,24
Sle2/S5	LC19	7,766	-8,37	-3,52	6,47
Sle2/S5	LC20	7,766	-0,93	-8,47	3,68
Sle2/S5	LC21	7,766	-9,39	1,08	4,65
Sle2/S5	LC22	7,766	-8,37	-3,52	6,47
Sle2/S5	LC23	7,766	-0,93	-8,47	3,68
Sle2/S5	LC24	7,766	-13,74	7,24	4,93
Sle2/S5	LC25	7,766	-6,18	3,52	-7,34
Sle2/S5	LC26	7,766	-0,06	-0,01	0,05
Sle2/S5	LC27	7,766	0,00	-0,01	-0,01
Sle2/S5	LC28	7,766	-0,04	-0,01	0,03
Sle2/S5	LC29	7,766	0,00	-0,01	-0,01
Sle2/S5	LC30	7,766	-10,12	1,71	4,96
Sle2/S5	LC31	7,766	-39,47	3,94	19,83
Sle2/S5	LC32	7,766	-31,76	-16,92	26,76
Sle2/S5	LC33	7,766	-10,82	-30,96	19,04
Sle2/S5	LC34	7,766	-26,27	3,63	12,72
Sle2/S5	LC35	7,766	-26,85	-7,71	18,54
Sle2/S5	LC36	7,766	4,29	-28,31	6,69
Sle2/S5	LC37	7,766	-5,10	1,50	0,63
Sle2/S5	LC1	8,737	-89,25	32,87	147,07
Sle2/S5	LC2	8,737	-129,86	41,57	134,55
Sle2/S5	LC3	8,737	-46,90	11,68	36,45
Sle2/S5	LC4	8,737	-50,80	1,76	8,47
Sle2/S5	LC5	8,737	-64,51	14,09	2,03
Sle2/S5	LC6	8,737	-28,74	9,67	28,23
Sle2/S5	LC7	8,737	-92,26	39,61	38,38
Sle2/S5	LC8	8,737	-119,14	75,23	51,51
Sle2/S5	LC9	8,737	-30,13	-1,00	4,13
Sle2/S5	LC10	8,737	-56,97	17,67	23,30
Sle2/S5	LC11	8,737	-94,37	69,14	41,04
Sle2/S5	LC12	8,737	-118,62	8,26	76,94
Sle2/S5	LC13	8,737	-81,68	43,26	<b>272,15</b>
Sle2/S5	LC15	8,737	-15,22	3,92	13,00
Sle2/S5	LC16	8,737	-8,09	0,08	1,26
Sle2/S5	LC17	8,737	-8,06	1,76	0,25
Sle2/S5	LC18	8,737	-11,03	3,46	11,10
Sle2/S5	LC19	8,737	-14,92	5,73	6,17
Sle2/S5	LC20	8,737	-21,35	14,44	9,25
Sle2/S5	LC21	8,737	-8,09	0,08	1,26
Sle2/S5	LC22	8,737	-14,92	5,73	6,17
Sle2/S5	LC23	8,737	-21,35	14,44	9,25
Sle2/S5	LC24	8,737	-14,83	1,03	9,62
Sle2/S5	LC25	8,737	-10,21	5,41	34,02
Sle2/S5	LC26	8,737	-0,08	0,02	0,03
Sle2/S5	LC27	8,737	-0,02	0,01	0,01
Sle2/S5	LC28	8,737	-0,06	0,01	0,02
Sle2/S5	LC29	8,737	-0,01	0,01	0,01
Sle2/S5	LC30	8,737	-13,85	3,44	10,65
Sle2/S5	LC31	8,737	-35,56	1,23	5,93
Sle2/S5	LC32	8,737	-64,58	27,73	26,87
Sle2/S5	LC33	8,737	-83,40	52,66	36,06
Sle2/S5	LC34	8,737	-21,09	-0,70	2,89
Sle2/S5	LC35	8,737	-39,88	12,37	16,31
Sle2/S5	LC36	8,737	-66,06	48,40	28,73
Sle2/S5	LC37	8,737	-8,32	2,82	8,15

## 61. Plochy - Posudek trhlinek - nutné plochy

Lineární výpočet, Extrém : Globální

Výběr : Vše

Třída : Vše MSÚ+MSP

Nutná výztuž

Nutná plocha pro vybrané 2D prvky

Prvek	prvek	Stav	A <sub>r1-</sub> [mm <sup>2</sup> /m]	A <sub>r2-</sub> [mm <sup>2</sup> /m]	A <sub>r1+</sub> [mm <sup>2</sup> /m]	A <sub>r2+</sub> [mm <sup>2</sup> /m]	A <sub>sw</sub> [mm <sup>2</sup> /m <sup>2</sup> ]
S4	98	Vše MSÚ+MSP	0	0	0	0	1441
S1	1	Vše MSÚ+MSP	1571	1571	1571	1571	0
S8	167	Vše MSÚ+MSP	0	0	0	0	2147

## 62. Plochy - návrh - nutné plochy

Lineární výpočet, Extrém : Prvek

Výběr : Vše

Třída : Všechny MSU

Nutná výztuž

Hlavní spodní výztuž pro vybrané 2D prvky

Prvek	prvek	Stav	n1- [kN/m]	z- [mm]	ε <sub>s-</sub> [1e-4]	σ <sub>c-</sub> [MPa]	σ <sub>s1-</sub> [MPa]	A <sub>s,user1-</sub> [mm <sup>2</sup> /m]	A <sub>s,add1-</sub> [mm <sup>2</sup> /m]	A <sub>s,total1-</sub> [mm <sup>2</sup> /m]	E/W <sub>1-</sub>
			n2- [kN/m]	x- [mm]	ε <sub>c-</sub> [1e-4]		σ <sub>s2-</sub> [MPa]	A <sub>s,user2-</sub> [mm <sup>2</sup> /m]	A <sub>s,add2-</sub> [mm <sup>2</sup> /m]	A <sub>s,total2-</sub> [mm <sup>2</sup> /m]	E/W <sub>2-</sub>
S1	2	Všechny MSU	-67,38	167	-26,1	-20,00	-269,51	3142	0	3142	103
			8,19	250	-17,5		31,52	3142	0	3142	103
S1	49	Všechny MSU	-160,63	167	-26,1	-20,00	-642,52	3142	0	3142	155
			296,97	250	-17,5		521,74	3142	0	3142	101
S1	1	Všechny MSU	-94,99	167	-26,1	-20,00	-379,96	3142	0	3142	152
			20,97	250	-17,5		80,63	3142	0	3142	103
S2	62	Všechny MSU	20,15	190	225,0	-20,00	75,61	3142	0	3142	101
			62,05	15	-18,2		232,84	3142	0	3142	101
S2	55	Všechny MSU	58,60	190	225,0	-20,00	219,90	3142	0	3142	101
			82,73	14	-17,9		310,45	3142	0	3142	101
S3	93	Všechny MSU	32,68	186	225,0	-18,09	125,68	5236	0	5236	101
			-79,10	12	-15,8		-316,41	5236	0	5236	152
S3	92	Všechny MSU	-26,71	186	225,0	-15,66	-102,72	5236	0	5236	103
			239,58	11	-13,7		544,91	5236	0	5236	101
S3	67	Všechny MSU	16,12	187	225,0	-12,07	62,02	5236	0	5236	103
			3,14	9	-10,6		12,08	5236	0	5236	103
S4	98	Všechny MSU	111,55	187	-9,7	0,00	429,04	3142	0	0	6
			13,01	0	0,0		50,03	3142	0	0	6
S4	94	Všechny MSU	17,73	187	-11,7	0,00	68,18	3142	0	3142	103
			117,74	0	0,0		452,85	3142	0	3142	101
S5	106	Všechny MSU	1,32	201	-11,9	0,00	4,73	3142	0	3142	101
			45,63	0	0,0		164,03	3142	0	3142	103
S5	106	Všechny MSU	-26,73	201	225,0	-12,46	-106,93	3142	0	3142	103
			44,27	9	-10,9		159,13	3142	0	3142	101
S6	137	Všechny MSU	15,58	183	-27,0	0,00	59,90	5236	0	0	6
			-20,89	0	0,0		0,00	5236	0	0	6
S6	133	Všechny MSU	-23,60	186	-14,8	0,00	-94,39	5236	0	5236	155
			8,78	0	0,0		33,77	5236	0	5236	103
S7	153	Všechny MSU	220,90	130	26,1	0,00	521,74	5236	0	5236	101
			411,35	0	0,0		521,74	5236	0	5236	101
S7	145	Všechny MSU	-23,60	167	-26,1	-20,00	-94,38	5236	0	5236	152
			6,93	250	-17,5		26,64	5236	0	5236	103
S8	166	Všechny MSU	749,93	164	-35,0	0,00	521,74	3142	0	0	6
			366,09	0	0,0		521,74	3142	0	0	6
S8	157	Všechny MSU	-327,37	167	-26,1	-20,00	-1309,47	3142	0	3142	152
			-24,77	250	-17,5		0,00	3142	0	3142	103

## 63. Prvek 2D - návrh - dimenzační vnitřní síly

Lineární výpočet, Extrém : Prvek

Výběr : Vše

Třída : Všechny MSU

Prvek	prvek	Stav	n1- [kN/m]	n2- [kN/m]	n1+ [kN/m]	n2+ [kN/m]	nc- [kN/m]	nc+ [kN/m]	vd [kN/m]
S5	131	Všechny MSU	12,40	<b>-104,31</b>	14,09	-16,71	-150,50	-235,16	35,80
S5	130	Všechny MSU	-32,62	-101,80	31,45	91,65	-167,94	-283,42	54,24
S2	58	Všechny MSU	-119,01	-80,37	-59,09	303,75	-334,27	-740,34	30,73
S3	91	Všechny MSU	-27,41	-69,09	17,41	-66,32	-550,79	-447,03	32,97
S3	87	Všechny MSU	8,97	-68,63	155,06	9,19	-349,24	-144,90	44,14
S2	57	Všechny MSU	-53,92	-48,49	-66,40	329,53	-261,52	-814,89	43,22
S3	90	Všechny MSU	29,28	-46,19	154,21	-29,08	-435,04	-224,88	44,13
S3	75	Všechny MSU	23,68	-39,50	3,86	24,43	-270,85	-296,21	35,05
S2	60	Všechny MSU	-131,02	-31,54	-112,96	328,06	-315,75	-557,74	34,39
S3	89	Všechny MSU	-14,67	-30,02	28,88	-94,40	-284,83	-245,14	19,43
S8	157	Všechny MSU	<b>-423,97</b>	-26,89	<b>-322,70</b>	61,56	-211,94	-595,59	12,83
S6	134	Všechny MSU	-95,84	-14,99	-181,64	165,69	-368,49	-315,46	39,74
S3	69	Všechny MSU	5,43	-14,26	-7,14	6,42	-167,54	-247,50	17,79
S3	93	Všechny MSU	17,49	-0,71	70,04	-7,11	-433,50	-350,72	62,44
S1	7	Všechny MSU	-77,79	0,51	-64,22	11,39	-240,77	-174,80	32,96
S7	145	Všechny MSU	-104,05	1,53	15,16	19,07	-47,72	-130,52	14,36
S7	147	Všechny MSU	9,49	2,68	1,44	1,66	-35,97	-117,71	6,02
S2	64	Všechny MSU	-69,16	3,08	-177,04	28,79	-125,40	-227,39	13,51
S7	148	Všechny MSU	-19,70	3,72	-13,31	8,80	<b>-29,07</b>	-112,27	4,79
S7	155	Všechny MSU	-67,15	4,76	-57,63	3,38	-95,56	-178,48	3,20
S6	138	Všechny MSU	-52,53	5,58	189,23	283,46	-216,65	-1362,65	58,95
S1	49	Všechny MSU	-122,59	5,87	-160,55	163,76	-330,03	-314,15	12,33
S3	71	Všechny MSU	11,06	6,02	14,19	-48,05	-149,30	-278,47	<b>2,87</b>
S8	174	Všechny MSU	75,24	6,74	147,91	32,06	-99,08	-204,04	38,45
S5	108	Všechny MSU	2,44	6,77	6,07	-67,81	-488,16	-585,59	84,21
S2	59	Všechny MSU	-46,86	8,37	-125,72	290,03	-292,45	-222,16	46,17
S5	124	Všechny MSU	33,19	9,34	39,88	24,29	-276,40	-315,34	46,15
S7	156	Všechny MSU	-95,67	10,46	-103,96	18,64	-273,73	<b>-91,79</b>	14,87
S1	50	Všechny MSU	-100,94	10,55	-105,12	188,69	-389,28	-324,71	53,35
S1	3	Všechny MSU	-67,76	11,85	-107,44	27,36	-221,61	-171,81	8,74
S1	53	Všechny MSU	-108,94	12,60	49,83	387,22	-151,03	-816,88	48,08
S6	137	Všechny MSU	12,23	13,63	204,93	312,37	-288,39	<b>-1378,33</b>	50,88
S2	55	Všechny MSU	25,15	13,80	-52,00	238,63	-594,84	-426,62	41,88
S3	68	Všechny MSU	13,30	15,01	0,81	-4,65	-101,15	-178,41	12,70
S8	159	Všechny MSU	-55,36	15,81	-26,95	34,69	-347,59	-327,31	4,24
S3	67	Všechny MSU	13,25	16,25	2,12	-6,33	-143,59	-111,46	11,52
S1	51	Všechny MSU	-112,23	16,98	-86,10	246,37	-256,22	-457,43	61,55
S8	161	Všechny MSU	138,57	17,01	28,60	-18,67	-125,08	-131,28	8,21
S1	2	Všechny MSU	-80,26	17,01	-91,17	7,31	-188,94	-120,72	23,44
S5	106	Všechny MSU	-45,75	17,41	20,27	-71,53	-416,04	-362,13	39,75
S1	15	Všechny MSU	-60,52	18,77	-85,19	23,13	-60,98	-384,77	17,43
S5	127	Všechny MSU	22,08	20,29	41,83	61,84	-222,08	-331,50	29,91
S6	140	Všechny MSU	-11,95	22,49	-70,27	6,15	-116,47	-94,40	12,91
S2	63	Všechny MSU	-11,31	22,64	-158,52	22,59	-64,01	-194,69	14,86
S1	54	Všechny MSU	-90,05	22,98	83,46	351,37	-202,46	-774,89	50,30
S1	8	Všechny MSU	-81,19	23,93	-73,91	5,14	-230,26	-183,81	28,99
S1	39	Všechny MSU	-46,85	25,52	-107,80	47,80	-156,18	-319,95	11,62
S3	92	Všechny MSU	-64,83	27,02	8,17	-39,09	-462,72	-436,71	12,37
S8	162	Všechny MSU	172,09	27,90	203,73	38,14	-104,23	-344,96	22,53
S5	116	Všechny MSU	6,00	29,86	25,48	-52,33	-123,41	-382,99	19,14
S6	139	Všechny MSU	22,45	30,27	-61,41	17,91	-78,75	-204,06	18,96
S5	129	Všechny MSU	8,82	30,88	17,21	-52,37	-228,18	-201,18	16,10
S2	65	Všechny MSU	14,47	33,82	-93,35	0,34	-66,59	-141,97	15,10
S4	95	Všechny MSU	-96,47	39,11	1,06	37,16	-320,30	-106,55	23,22
S1	27	Všechny MSU	-61,87	44,89	-80,60	23,88	-244,53	-416,10	39,21
S5	122	Všechny MSU	6,31	50,30	0,37	-130,18	-187,58	-388,70	5,60
S2	62	Všechny MSU	31,25	58,03	-161,58	19,40	-421,34	-211,44	13,22
S6	144	Všechny MSU	-3,75	59,45	105,44	73,96	-68,65	-300,71	10,22
S2	61	Všechny MSU	54,44	70,34	-164,02	17,41	-346,82	-204,24	15,10
S6	143	Všechny MSU	-39,88	78,47	92,35	98,51	-118,03	-230,72	40,82
S8	170	Všechny MSU	-107,26	86,05	<b>233,44</b>	652,23	-627,40	-1104,77	<b>157,69</b>
S4	104	Všechny MSU	143,72	106,57	-158,14	2,16	-484,13	-188,26	21,73
S4	99	Všechny MSU	248,61	114,06	56,18	91,61	-1162,53	-1081,98	40,29
S4	94	Všechny MSU	83,62	116,84	2,35	38,27	-418,59	-132,21	3,34

Prvek	prvek	Stav	n1- [kN/m]	n2- [kN/m]	n1+ [kN/m]	n2+ [kN/m]	nc- [kN/m]	nc+ [kN/m]	vd [kN/m]
S7	153	Všechny MSU	118,18	160,69	62,40	13,43	-484,09	-320,34	29,49
S4	96	Všechny MSU	<b>250,57</b>	205,04	-38,91	28,47	-930,08	-148,39	5,02
S4	100	Všechny MSU	161,39	246,24	14,47	109,97	<b>-1399,68</b>	-550,72	77,42
S8	167	Všechny MSU	-167,68	510,44	27,15	<b>789,78</b>	-980,50	-586,99	61,67
S8	169	Všechny MSU	31,95	<b>653,46</b>	-313,17	<b>-841,77</b>	-1125,38	-683,09	61,95

Vysvětlivky symbolů	
n1-	Návrhové normálové síly vztahující se k polovičnímu průřezu
n2-	Návrhové normálové síly vztahující se k polovičnímu průřezu
n1+	Návrhové normálové síly vztahující se k polovičnímu průřezu

Vysvětlivky symbolů	
n2+	Návrhové normálové síly vztahující se k polovičnímu průřezu
nc-	Ohybový moment přiřazen náhradní diagonále vztahující se ke spodnímu líci
nc+	Ohybový moment přiřazen náhradní diagonále vztahující se ke hornímu líci

Vysvětlivky symbolů	
vd	Návrhová smyková síla

## 64. Plochy - šířka trhlin

Lineární výpočet, Extrém : Ne

Výběr : Vše

Třída : Všechny MSP

Šířka trhliny u horního povrchu pro vybrané 2D dílce

Prvek	Stav	n <sub>1+</sub> [kN]	m <sub>1+</sub> [kNm]	A <sub>s,1+</sub> [mm <sup>2</sup> ]	σ <sub>s,1+</sub> [MPa]	s <sub>r,max,1+</sub> [mm]	(ε <sub>sm</sub> - ε <sub>cm</sub> ) <sub>1+</sub> [1e-4]	W <sub>1+</sub> [mm]	W <sub>lim,1+</sub> [mm]	Posudek <sub>cal,1+</sub> [-]	Posudek <sub>1+</sub>	W/E <sub>1+</sub>
prvek	Typ výztuže	n <sub>2+</sub> [kN]	m <sub>2+</sub> [kNm]	A <sub>s,2+</sub> [mm <sup>2</sup> ]	σ <sub>s,2+</sub> [MPa]	σ <sub>s,2+</sub> [MPa]	(ε <sub>sm</sub> - ε <sub>cm</sub> ) <sub>2+</sub> [1e-4]	W <sub>2+</sub> [mm]	W <sub>lim,2+</sub> [mm]	Posudek <sub>cal,2+</sub> [-]	Posudek <sub>2+</sub>	W/E <sub>2+</sub>
S1	Všechny MSP	-10,61	7,38	2597	0,0	0	0,0	0,000	0,300	0,00	OK	12
1	Uživatelská výztuž	-336,02	7,52	3686	0,0	0,0	0,0	0,000	0,300	0,00	OK	12
S1	Všechny MSP	-50,77	4,88	2242	0,0	0	0,0	0,000	0,300	0,00	OK	12
2	Uživatelská výztuž	-336,30	4,54	4041	0,0	0,0	0,0	0,000	0,300	0,00	OK	12
S1	Všechny MSP	27,34	9,87	3036	0,0	0	0,0	0,000	0,300	0,00	OK	12
3	Uživatelská výztuž	-393,87	14,26	3247	0,0	0,0	0,0	0,000	0,300	0,00	OK	12
S1	Všechny MSP	4,28	7,05	3062	0,0	0	0,0	0,000	0,300	0,00	OK	12
4	Uživatelská výztuž	-425,12	9,11	3221	0,0	0,0	0,0	0,000	0,300	0,00	OK	12
S1	Všechny MSP	17,92	4,40	2190	0,0	0	0,0	0,000	0,300	0,00	OK	12
5	Uživatelská výztuž	-211,67	-1,24	4093	0,0	0,0	0,0	0,000	0,300	0,00	OK	12
S1	Všechny MSP	16,43	1,94	2457	0,0	0	0,0	0,000	0,300	0,00	OK	12
6	Uživatelská výztuž	-409,38	1,51	3826	0,0	0,0	0,0	0,000	0,300	0,00	OK	12
S1	Všechny MSP	-183,57	8,96	1436	0,0	0	0,0	0,000	0,300	0,00	OK	12
7	Uživatelská výztuž	-195,28	10,86	4847	0,0	0,0	0,0	0,000	0,300	0,00	OK	12
S1	Všechny MSP	-162,31	7,88	1616	0,0	0	0,0	0,000	0,300	0,00	OK	12
8	Uživatelská výztuž	-316,89	6,92	4667	0,0	0,0	0,0	0,000	0,300	0,00	OK	12
S1	Všechny MSP	56,77	5,35	3401	0,0	0	0,0	0,000	0,300	0,00	OK	12
9	Uživatelská výztuž	-366,42	13,38	2882	0,0	0,0	0,0	0,000	0,300	0,00	OK	12
S1	Všechny MSP	-30,92	8,61	3923	0,0	0	0,0	0,000	0,300	0,00	OK	12
10	Uživatelská výztuž	-361,98	22,05	2360	0,0	0,0	0,0	0,000	0,300	0,00	OK	12
S1	Všechny MSP	-19,32	1,29	3634	0,0	0	0,0	0,000	0,300	0,00	OK	12
11	Uživatelská výztuž	-192,35	2,94	2649	0,0	0,0	0,0	0,000	0,300	0,00	OK	12
S1	Všechny MSP	-16,95	3,86	2568	0,0	0	0,0	0,000	0,300	0,00	OK	12
12	Uživatelská výztuž	-439,28	7,43	3715	0,0	0,0	0,0	0,000	0,300	0,00	OK	12
S1	Všechny MSP	41,98	-4,12	3357	0,0	0	0,0	0,000	0,300	0,00	OK	12
13	Uživatelská výztuž	-182,32	-14,28	2927	0,0	0,0	0,0	0,000	0,300	0,00	OK	12
S1	Všechny MSP	-80,12	0,27	2653	0,0	0	0,0	0,000	0,300	0,00	OK	12
14	Uživatelská výztuž	-364,79	8,20	3630	0,0	0,0	0,0	0,000	0,300	0,00	OK	12
S1	Všechny MSP	66,56	-3,89	3701	0,0	0	0,0	0,000	0,300	0,00	OK	12
15	Uživatelská výztuž	-246,49	4,13	2583	0,0	0,0	0,0	0,000	0,300	0,00	OK	12
S1	Všechny MSP	-6,26	-0,87	4166	0,0	0	0,0	0,000	0,300	0,00	OK	12
16	Uživatelská výztuž	-238,02	6,59	2117	0,0	0,0	0,0	0,000	0,300	0,00	OK	12
S1	Všechny MSP	85,09	-4,41	3260	0,0	0	0,0	0,000	0,300	0,00	OK	12
17	Uživatelská výztuž	-312,80	-3,31	3023	0,0	0,0	0,0	0,000	0,300	0,00	OK	12
S1	Všechny MSP	95,05	-6,89	3792	0,0	0	0,0	0,000	0,300	0,00	OK	12
18	Uživatelská výztuž	-231,20	-10,73	2491	0,0	0,0	0,0	0,000	0,300	0,00	OK	12
S1	Všechny MSP	-319,44	5,41	3521	0,0	0	0,0	0,000	0,300	0,00	OK	12
19	Uživatelská výztuž	-10,11	5,26	2762	0,0	0,0	0,0	0,000	0,300	0,00	OK	12
S1	Všechny MSP	-330,85	4,57	3651	0,0	0	0,0	0,000	0,300	0,00	OK	12

Prvek	Stav	$n_{1+}$ [kN]	$m_{1+}$ [kNm]	$A_{s,1+}$ [mm <sup>2</sup> ]	$\sigma_{s,1+}$ [MPa]	$s_{r,max,1+}$ [mm]	$(\epsilon_{sm} - \epsilon_{cm})_{1+}$ [1e-4]	$w_{1+}$ [mm]	$w_{lim,1+}$ [mm]	Posudek <sub>cal,1+</sub> [-]	Posudek <sub>1+</sub>	W/E <sub>1+</sub>
prvek	Typ výztuže	$n_{2+}$ [kN]	$m_{2+}$ [kNm]	$A_{s,2+}$ [mm <sup>2</sup> ]	$\sigma_{s,2+}$ [MPa]	$\sigma_{s,2+}$ [MPa]	$(\epsilon_{sm} - \epsilon_{cm})_{2+}$ [1e-4]	$w_{2+}$ [mm]	$w_{lim,2+}$ [mm]	Posudek <sub>cal,2+</sub> [-]	Posudek <sub>2+</sub>	W/E <sub>2+</sub>
20	Uživatelská výztuž	-66,40	4,59	2632	0,0	0,0	0,0	0,000	0,300	0,00	OK	12
S1	Všechny MSP	55,00	-3,87	4068	0,0	0	0,0	0,000	0,300	0,00	OK	12
21	Uživatelská výztuž	-154,44	2,46	2215	0,0	0,0	0,0	0,000	0,300	0,00	OK	12
S1	Všechny MSP	23,15	0,10	3820	0,0	0	0,0	0,000	0,300	0,00	OK	12
22	Uživatelská výztuž	-104,86	2,69	2463	0,0	0,0	0,0	0,000	0,300	0,00	OK	12
S1	Všechny MSP	-80,04	7,78	3671	0,0	0	0,0	0,000	0,300	0,00	OK	12
23	Uživatelská výztuž	-316,97	11,38	2613	0,0	0,0	0,0	0,000	0,300	0,00	OK	12
S1	Všechny MSP	-33,59	7,86	4064	0,0	0	0,0	0,000	0,300	0,00	OK	12
24	Uživatelská výztuž	-323,84	11,11	2219	0,0	0,0	0,0	0,000	0,300	0,00	OK	12
S1	Všechny MSP	30,39	-3,07	4039	0,0	0	0,0	0,000	0,300	0,00	OK	12
25	Uživatelská výztuž	-233,30	1,42	2244	0,0	0,0	0,0	0,000	0,300	0,00	OK	12
S1	Všechny MSP	-261,58	4,89	3430	0,0	0	0,0	0,000	0,300	0,00	OK	12
26	Uživatelská výztuž	-5,59	2,02	2853	0,0	0,0	0,0	0,000	0,300	0,00	OK	12
S1	Všechny MSP	49,68	-2,70	4010	0,0	0	0,0	0,000	0,300	0,00	OK	12
27	Uživatelská výztuž	-125,38	1,36	2273	0,0	0,0	0,0	0,000	0,300	0,00	OK	12
S1	Všechny MSP	45,96	3,39	4011	0,0	0	0,0	0,000	0,300	0,00	OK	12
28	Uživatelská výztuž	-243,18	6,53	2272	0,0	0,0	0,0	0,000	0,300	0,00	OK	12
S1	Všechny MSP	-35,42	2,29	3248	0,0	0	0,0	0,000	0,300	0,00	OK	12
29	Uživatelská výztuž	-226,98	8,53	3035	0,0	0,0	0,0	0,000	0,300	0,00	OK	12
S1	Všechny MSP	48,04	-3,41	4032	0,0	0	0,0	0,000	0,300	0,00	OK	12
30	Uživatelská výztuž	-123,52	-1,68	2251	0,0	0,0	0,0	0,000	0,300	0,00	OK	12
S1	Všechny MSP	88,72	-7,21	3957	0,0	0	0,0	0,000	0,300	0,00	OK	12
31	Uživatelská výztuž	-204,57	-18,65	2326	0,0	0,0	0,0	0,000	0,300	0,00	OK	12
S1	Všechny MSP	13,26	-1,45	2222	0,0	0	0,0	0,000	0,300	0,00	OK	12
32	Uživatelská výztuž	-68,06	-3,05	4061	0,0	0,0	0,0	0,000	0,300	0,00	OK	12
S1	Všechny MSP	58,33	11,66	3677	0,0	0	0,0	0,000	0,300	0,00	OK	12
33	Uživatelská výztuž	-328,95	28,11	2606	0,0	0,0	0,0	0,000	0,300	0,00	OK	12
S1	Všechny MSP	57,29	4,15	3978	0,0	0	0,0	0,000	0,300	0,00	OK	12
34	Uživatelská výztuž	-299,10	24,76	2305	0,0	0,0	0,0	0,000	0,300	0,00	OK	12
S1	Všechny MSP	39,66	-0,53	3698	0,0	0	0,0	0,000	0,300	0,00	OK	12
35	Uživatelská výztuž	-111,90	-0,44	2586	0,0	0,0	0,0	0,000	0,300	0,00	OK	12
S1	Všechny MSP	9,51	-3,78	3480	0,0	0	0,0	0,000	0,300	0,00	OK	12
36	Uživatelská výztuž	-198,03	6,57	2803	0,0	0,0	0,0	0,000	0,300	0,00	OK	12
S1	Všechny MSP	80,39	-12,76	3314	0,0	0	0,0	0,000	0,300	0,00	OK	12
37	Uživatelská výztuž	-206,17	-15,56	2969	0,0	0,0	0,0	0,000	0,300	0,00	OK	12
S1	Všechny MSP	115,55	-5,08	3852	0,0	0	0,0	0,000	0,300	0,00	OK	12
38	Uživatelská výztuž	-260,67	-3,38	2431	0,0	0,0	0,0	0,000	0,300	0,00	OK	12
S1	Všechny MSP	38,20	6,45	3127	0,0	0	0,0	0,000	0,300	0,00	OK	12
39	Uživatelská výztuž	-355,08	24,88	3156	0,0	0,0	0,0	0,000	0,300	0,00	OK	12
S1	Všechny MSP	72,80	-7,88	3644	0,0	0	0,0	0,000	0,300	0,00	OK	12
40	Uživatelská výztuž	-189,24	3,11	2639	0,0	0,0	0,0	0,000	0,300	0,00	OK	12
S1	Všechny MSP	51,58	-1,77	2718	0,0	0	0,0	0,000	0,300	0,00	OK	12
41	Uživatelská výztuž	-97,70	-0,09	3565	0,0	0,0	0,0	0,000	0,300	0,00	OK	12
S1	Všechny MSP	51,28	-3,24	3323	0,0	0	0,0	0,000	0,300	0,00	OK	12
42	Uživatelská výztuž	-214,80	-1,20	2961	0,0	0,0	0,0	0,000	0,300	0,00	OK	12
S1	Všechny MSP	37,19	-5,22	2326	0,0	0	0,0	0,000	0,300	0,00	OK	12
43	Uživatelská výztuž	-112,36	-0,86	3958	0,0	0,0	0,0	0,000	0,300	0,00	OK	12
S1	Všechny MSP	99,47	-2,51	3339	0,0	0	0,0	0,000	0,300	0,00	OK	12
44	Uživatelská výztuž	-377,24	1,78	2944	0,0	0,0	0,0	0,000	0,300	0,00	OK	12
S1	Všechny MSP	45,48	-3,79	2835	0,0	0	0,0	0,000	0,300	0,00	OK	12
45	Uživatelská výztuž	-127,70	2,51	3449	0,0	0,0	0,0	0,000	0,300	0,00	OK	12
S1	Všechny MSP	86,49	-5,89	3379	0,0	0	0,0	0,000	0,300	0,00	OK	12
46	Uživatelská výztuž	-221,27	3,79	2904	0,0	0,0	0,0	0,000	0,300	0,00	OK	12
S1	Všechny MSP	4,08	3,36	2776	0,0	0	0,0	0,000	0,300	0,00	OK	12
47	Uživatelská výztuž	-319,52	6,88	3507	0,0	0,0	0,0	0,000	0,300	0,00	OK	12
S1	Všechny MSP	62,79	-4,79	2901	0,0	0	0,0	0,000	0,300	0,00	OK	12
48	Uživatelská výztuž	-97,74	-1,00	3382	0,0	0,0	0,0	0,000	0,300	0,00	OK	12
S1	Všechny MSP	67,42	-10,84	2739	0,0	0	0,0	0,000	0,300	0,00	OK	12
49	Uživatelská výztuž	-395,82	4,58	3544	0,0	0,0	0,0	0,000	0,300	0,00	OK	12
S1	Všechny MSP	94,12	-7,96	2574	0,0	0	0,0	0,000	0,300	0,00	OK	12
50	Uživatelská výztuž	-132,66	-1,16	3709	0,0	0,0	0,0	0,000	0,300	0,00	OK	12
S1	Všechny MSP	65,95	-12,89	3007	0,0	0	0,0	0,000	0,300	0,00	OK	12
51	Uživatelská výztuž	-325,60	1,02	3276	0,0	0,0	0,0	0,000	0,300	0,00	OK	12
S1	Všechny MSP	65,34	-9,49	2417	0,0	0	0,0	0,000	0,300	0,00	OK	12

Prvek	Stav	$n_{1+}$ [kN]	$m_{1+}$ [kNm]	$A_{s,1+}$ [mm <sup>2</sup> ]	$\sigma_{s,1+}$ [MPa]	$s_{r,max,1+}$ [mm]	$(\epsilon_{sm} - \epsilon_{cm})_{1+}$ [1e-4]	$W_{1+}$ [mm]	$W_{lim,1+}$ [mm]	Posudek <sub>cal,1+</sub> [-]	Posudek <sub>1+</sub>	W/E <sub>1+</sub>
prvek	Typ výztuže	$n_{2+}$ [kN]	$m_{2+}$ [kNm]	$A_{s,2+}$ [mm <sup>2</sup> ]	$\sigma_{s,2+}$ [MPa]	$\sigma_{s,2+}$ [MPa]	$(\epsilon_{sm} - \epsilon_{cm})_{2+}$ [1e-4]	$W_{2+}$ [mm]	$W_{lim,2+}$ [mm]	Posudek <sub>cal,2+</sub> [-]	Posudek <sub>2+</sub>	W/E <sub>2+</sub>
52	Uživatelská výztuž	-128,36	1,41	3866	0,0	0,0	0,0	0,000	0,300	0,00	OK	12
S1	Všechny MSP	65,84	-10,95	2334	0,0	0	0,0	0,000	0,300	0,00	OK	12
53	Uživatelská výztuž	-362,65	4,99	3950	0,0	0,0	0,0	0,000	0,300	0,00	OK	12
S1	Všechny MSP	85,76	-12,03	2418	0,0	0	0,0	0,000	0,300	0,00	OK	12
54	Uživatelská výztuž	-117,90	-1,45	3865	0,0	0,0	0,0	0,000	0,300	0,00	OK	12
S2	Všechny MSP	27,00	-10,24	2744	0,0	0	0,0	0,000	0,300	0,00	OK	12
55	Uživatelská výztuž	-161,07	4,86	3540	0,0	0,0	0,0	0,000	0,300	0,00	OK	12
S2	Všechny MSP	-1,09	-6,07	2392	0,0	0	0,0	0,000	0,300	0,00	OK	12
56	Uživatelská výztuž	-322,04	2,46	3891	0,0	0,0	0,0	0,000	0,300	0,00	OK	12
S2	Všechny MSP	71,41	-11,16	2650	0,0	0	0,0	0,000	0,300	0,00	OK	12
57	Uživatelská výztuž	-139,87	3,66	3633	0,0	0,0	0,0	0,000	0,300	0,00	OK	12
S2	Všechny MSP	36,01	-11,99	2457	0,0	0	0,0	0,000	0,300	0,00	OK	12
58	Uživatelská výztuž	-297,82	3,77	3827	0,0	0,0	0,0	0,000	0,300	0,00	OK	12
S2	Všechny MSP	94,34	-15,37	2922	0,0	0	0,0	0,000	0,300	0,00	OK	12
59	Uživatelská výztuž	-222,04	3,48	3361	0,0	0,0	0,0	0,000	0,300	0,00	OK	12
S2	Všechny MSP	48,89	-15,65	2777	0,0	0	0,0	0,000	0,300	0,00	OK	12
60	Uživatelská výztuž	-322,27	3,56	3506	0,0	0,0	0,0	0,000	0,300	0,00	OK	12
S2	Všechny MSP	13,84	-1,41	3199	0,0	0	0,0	0,000	0,300	0,00	OK	12
61	Uživatelská výztuž	-123,74	12,51	3084	0,0	0,0	0,0	0,000	0,300	0,00	OK	12
S2	Všechny MSP	-6,29	-2,91	2913	0,0	0	0,0	0,000	0,300	0,00	OK	12
62	Uživatelská výztuž	-196,43	9,29	3370	0,0	0,0	0,0	0,000	0,300	0,00	OK	12
S2	Všechny MSP	25,25	-0,08	2925	0,0	0	0,0	0,000	0,300	0,00	OK	12
63	Uživatelská výztuž	-99,96	8,00	3359	0,0	0,0	0,0	0,000	0,300	0,00	OK	12
S2	Všechny MSP	0,32	-2,15	3076	0,0	0	0,0	0,000	0,300	0,00	OK	12
64	Uživatelská výztuž	-213,88	7,40	3208	0,0	0,0	0,0	0,000	0,300	0,00	OK	12
S2	Všechny MSP	1,24	0,21	2562	0,0	0	0,0	0,000	0,300	0,00	OK	12
65	Uživatelská výztuž	-59,46	6,89	3722	0,0	0,0	0,0	0,000	0,300	0,00	OK	12
S2	Všechny MSP	6,72	-1,54	2953	0,0	0	0,0	0,000	0,300	0,00	OK	12
66	Uživatelská výztuž	-205,47	6,73	3330	0,0	0,0	0,0	0,000	0,300	0,00	OK	12
S3	Všechny MSP	8,92	3,06	8058	0,0	0	0,0	0,000	0,300	0,00	OK	12
67	Uživatelská výztuž	-141,69	1,63	2414	0,0	0,0	0,0	0,000	0,300	0,00	OK	12
S3	Všechny MSP	5,80	5,24	8073	0,0	0	0,0	0,000	0,300	0,00	OK	12
68	Uživatelská výztuž	-187,11	6,08	2399	0,0	0,0	0,0	0,000	0,300	0,00	OK	12
S3	Všechny MSP	-40,19	-3,40	6790	0,0	0	0,0	0,000	0,300	0,00	OK	12
69	Uživatelská výztuž	-109,54	1,66	3682	0,0	0,0	0,0	0,000	0,300	0,00	OK	12
S3	Všechny MSP	-14,64	1,50	7992	0,0	0	0,0	0,000	0,300	0,00	OK	12
70	Uživatelská výztuž	-237,67	-0,48	2480	0,0	0,0	0,0	0,000	0,300	0,00	OK	12
S3	Všechny MSP	-25,87	6,59	8120	0,0	0	0,0	0,000	0,300	0,00	OK	12
71	Uživatelská výztuž	-295,28	9,74	2352	0,0	0,0	0,0	0,000	0,300	0,00	OK	12
S3	Všechny MSP	-34,90	-6,57	7144	0,0	0	0,0	0,000	0,300	0,00	OK	12
72	Uživatelská výztuž	-98,81	-1,64	3328	0,0	0,0	0,0	0,000	0,300	0,00	OK	12
S3	Všechny MSP	-22,64	0,55	8107	0,0	0	0,0	0,000	0,300	0,00	OK	12
73	Uživatelská výztuž	-100,51	1,56	2365	0,0	0,0	0,0	0,000	0,300	0,00	OK	12
S3	Všechny MSP	-48,62	6,47	8128	0,0	0	0,0	0,000	0,300	0,00	OK	12
74	Uživatelská výztuž	-343,72	14,48	2344	0,0	0,0	0,0	0,000	0,300	0,00	OK	12
S3	Všechny MSP	23,74	-4,51	8019	0,0	0	0,0	0,000	0,300	0,00	OK	12
75	Uživatelská výztuž	-201,51	-10,16	2453	0,0	0,0	0,0	0,000	0,300	0,00	OK	12
S3	Všechny MSP	-12,96	-0,79	7937	0,0	0	0,0	0,000	0,300	0,00	OK	12
76	Uživatelská výztuž	-136,88	1,30	2535	0,0	0,0	0,0	0,000	0,300	0,00	OK	12
S3	Všechny MSP	-53,61	9,21	8072	0,0	0	0,0	0,000	0,300	0,00	OK	12
77	Uživatelská výztuž	-338,30	18,81	2400	0,0	0,0	0,0	0,000	0,300	0,00	OK	12
S3	Všechny MSP	-218,10	9,14	6083	0,0	0	0,0	0,000	0,300	0,00	OK	12
78	Uživatelská výztuž	-124,28	8,69	4389	0,0	0,0	0,0	0,000	0,300	0,00	OK	12
S3	Všechny MSP	-49,16	-1,10	7581	0,0	0	0,0	0,000	0,300	0,00	OK	12
79	Uživatelská výztuž	-332,68	-3,50	2891	0,0	0,0	0,0	0,000	0,300	0,00	OK	12
S3	Všechny MSP	-44,08	4,31	7859	0,0	0	0,0	0,000	0,300	0,00	OK	12
80	Uživatelská výztuž	-289,04	17,59	2613	0,0	0,0	0,0	0,000	0,300	0,00	OK	12
S3	Všechny MSP	-217,11	-20,96	4332	0,0	0	0,0	0,000	0,300	0,00	OK	12
81	Uživatelská výztuž	55,08	-5,68	6140	0,0	0,0	0,0	0,000	0,300	0,00	OK	12
S3	Všechny MSP	-75,05	-3,68	8108	0,0	0	0,0	0,000	0,300	0,00	OK	12
82	Uživatelská výztuž	-230,31	2,55	2364	0,0	0,0	0,0	0,000	0,300	0,00	OK	12
S3	Všechny MSP	6,55	-1,57	7059	0,0	0	0,0	0,000	0,300	0,00	OK	12
83	Uživatelská výztuž	-209,28	-0,50	3413	0,0	0,0	0,0	0,000	0,300	0,00	OK	12
S3	Všechny MSP	81,66	-6,26	6642	0,0	0	0,0	0,000	0,300	0,00	OK	12



Prvek	Stav	$n_{1+}$ [kN]	$m_{1+}$ [kNm]	$A_{s,1+}$ [mm <sup>2</sup> ]	$\sigma_{s,1+}$ [MPa]	$s_{r,max,1+}$ [mm]	$(\epsilon_{sm} - \epsilon_{cm})_{1+}$ [1e-4]	$w_{1+}$ [mm]	$w_{lim,1+}$ [mm]	Posudek <sub>cal,1+</sub> [-]	Posudek <sub>1+</sub>	W/E <sub>1+</sub>
prvek	Typ výztuže	$n_{2+}$ [kN]	$m_{2+}$ [kNm]	$A_{s,2+}$ [mm <sup>2</sup> ]	$\sigma_{s,2+}$ [MPa]	$\sigma_{s,2+}$ [MPa]	$(\epsilon_{sm} - \epsilon_{cm})_{2+}$ [1e-4]	$w_{2+}$ [mm]	$w_{lim,2+}$ [mm]	Posudek <sub>cal,2+</sub> [-]	Posudek <sub>2+</sub>	W/E <sub>2+</sub>
84	Uživatelská výztuž	-202,32	-21,92	3830	0,0	0,0	0,0	0,000	0,300	0,00	OK	12
S3	Všechny MSP	-49,93	0,77	7670	0,0	0	0,0	0,000	0,300	0,00	OK	12
85	Uživatelská výztuž	-214,30	6,86	2802	0,0	0,0	0,0	0,000	0,300	0,00	OK	12
S3	Všechny MSP	-19,19	-2,49	6947	0,0	0	0,0	0,000	0,300	0,00	OK	12
86	Uživatelská výztuž	-224,60	-1,40	3525	0,0	0,0	0,0	0,000	0,300	0,00	OK	12
S3	Všechny MSP	109,74	-9,47	6185	0,0	0	0,0	0,000	0,300	0,00	OK	12
87	Uživatelská výztuž	-232,50	-22,11	4287	0,0	0,0	0,0	0,000	0,300	0,00	OK	12
S3	Všechny MSP	-97,09	1,49	8101	0,0	0	0,0	0,000	0,300	0,00	OK	12
88	Uživatelská výztuž	-283,71	3,95	2371	0,0	0,0	0,0	0,000	0,300	0,00	OK	12
S3	Všechny MSP	-61,78	-4,90	6706	0,0	0	0,0	0,000	0,300	0,00	OK	12
89	Uživatelská výztuž	-294,63	-1,28	3766	0,0	0,0	0,0	0,000	0,300	0,00	OK	12
S3	Všechny MSP	89,11	-7,56	7146	0,0	0	0,0	0,000	0,300	0,00	OK	12
90	Uživatelská výztuž	-170,00	-4,90	3326	0,0	0,0	0,0	0,000	0,300	0,00	OK	12
S3	Všechny MSP	-190,29	-3,60	7649	0,0	0	0,0	0,000	0,300	0,00	OK	12
91	Uživatelská výztuž	-755,38	-4,77	2823	0,0	0,0	0,0	0,000	0,300	0,00	OK	12
S3	Všechny MSP	-57,95	-4,90	7283	0,0	0	0,0	0,000	0,300	0,00	OK	12
92	Uživatelská výztuž	-301,73	3,77	3189	0,0	0,0	0,0	0,000	0,300	0,00	OK	12
S3	Všechny MSP	13,48	-5,30	7797	0,0	0	0,0	0,000	0,300	0,00	OK	12
93	Uživatelská výztuž	-195,28	0,37	2675	0,0	0,0	0,0	0,000	0,300	0,00	OK	12
S4	Všechny MSP	-88,22	-6,91	4556	0,0	0	0,0	0,000	0,300	0,00	OK	12
94	Uživatelská výztuž	40,06	2,26	1727	0,0	0,0	0,0	0,000	0,300	0,00	OK	12
S4	Všechny MSP	-75,87	-13,61	4822	0,0	0	0,0	0,000	0,300	0,00	OK	12
95	Uživatelská výztuž	2,80	0,56	1461	0,0	0,0	0,0	0,000	0,300	0,00	OK	12
S4	Všechny MSP	-56,14	-4,33	3838	0,0	0	0,0	0,000	0,300	0,00	OK	12
96	Uživatelská výztuž	4,19	5,91	2445	0,0	0,0	0,0	0,000	0,300	0,00	OK	12
S4	Všechny MSP	-108,28	-2,54	4809	0,0	0	0,0	0,000	0,300	0,00	OK	12
97	Uživatelská výztuž	-15,12	7,08	1474	0,0	0,0	0,0	0,000	0,300	0,00	OK	12
S4	Všechny MSP	1,88	-3,74	2634	0,0	0	0,0	0,000	0,300	0,00	OK	12
98	Uživatelská výztuž	-85,79	4,91	3649	0,0	0,0	0,0	0,000	0,300	0,00	OK	12
S4	Všechny MSP	-31,08	-4,37	3564	0,0	0	0,0	0,000	0,300	0,00	OK	12
99	Uživatelská výztuž	26,79	4,00	2719	0,0	0,0	0,0	0,000	0,300	0,00	OK	12
S4	Všechny MSP	-38,28	-7,44	4296	0,0	0	0,0	0,000	0,300	0,00	OK	12
100	Uživatelská výztuž	12,67	2,06	1987	0,0	0,0	0,0	0,000	0,300	0,00	OK	12
S4	Všechny MSP	74,51	-5,65	4485	0,0	0	0,0	0,000	0,300	0,00	OK	12
101	Uživatelská výztuž	-14,46	-0,03	1799	0,0	0,0	0,0	0,000	0,300	0,00	OK	12
S4	Všechny MSP	-32,23	-4,21	3822	0,0	0	0,0	0,000	0,300	0,00	OK	12
102	Uživatelská výztuž	-77,60	11,38	2461	0,0	0,0	0,0	0,000	0,300	0,00	OK	12
S4	Všechny MSP	-74,33	-6,24	4500	0,0	0	0,0	0,000	0,300	0,00	OK	12
103	Uživatelská výztuž	0,72	8,85	1783	0,0	0,0	0,0	0,000	0,300	0,00	OK	12
S4	Všechny MSP	-19,71	-2,92	3505	0,0	0	0,0	0,000	0,300	0,00	OK	12
104	Uživatelská výztuž	-100,87	11,58	2778	0,0	0,0	0,0	0,000	0,300	0,00	OK	12
S4	Všechny MSP	-37,20	-4,86	3767	0,0	0	0,0	0,000	0,300	0,00	OK	12
105	Uživatelská výztuž	-119,38	10,73	2516	0,0	0,0	0,0	0,000	0,300	0,00	OK	12
S5	Všechny MSP	-26,40	6,22	4871	0,0	0	0,0	0,000	0,300	0,00	OK	12
106	Uživatelská výztuž	-247,35	7,14	1412	0,0	0,0	0,0	0,000	0,300	0,00	OK	12
S5	Všechny MSP	-70,86	9,10	4697	0,0	0	0,0	0,000	0,300	0,00	OK	12
107	Uživatelská výztuž	-464,08	25,85	1586	0,0	0,0	0,0	0,000	0,300	0,00	OK	12
S5	Všechny MSP	-43,08	5,92	4741	0,0	0	0,0	0,000	0,300	0,00	OK	12
108	Uživatelská výztuž	-387,05	21,01	1543	0,0	0,0	0,0	0,000	0,300	0,00	OK	12
S5	Všechny MSP	-68,81	8,85	4699	0,0	0	0,0	0,000	0,300	0,00	OK	12
109	Uživatelská výztuž	-272,16	14,48	1584	0,0	0,0	0,0	0,000	0,300	0,00	OK	12
S5	Všechny MSP	-86,03	13,23	4286	0,0	0	0,0	0,000	0,300	0,00	OK	12
110	Uživatelská výztuž	-386,40	36,86	1997	0,0	0,0	0,0	0,000	0,300	0,00	OK	12
S5	Všechny MSP	-33,22	3,25	4692	0,0	0	0,0	0,000	0,300	0,00	OK	12
111	Uživatelská výztuž	-271,23	16,53	1592	0,0	0,0	0,0	0,000	0,300	0,00	OK	12
S5	Všechny MSP	33,52	-6,40	4614	0,0	0	0,0	0,000	0,300	0,00	OK	12
112	Uživatelská výztuž	-336,22	-13,20	1669	0,0	0,0	0,0	0,000	0,300	0,00	OK	12
S5	Všechny MSP	-56,18	7,25	4473	0,0	0	0,0	0,000	0,300	0,00	OK	12
113	Uživatelská výztuž	-377,88	32,53	1811	0,0	0,0	0,0	0,000	0,300	0,00	OK	12
S5	Všechny MSP	-26,29	1,50	4675	0,0	0	0,0	0,000	0,300	0,00	OK	12
114	Uživatelská výztuž	-215,03	13,66	1608	0,0	0,0	0,0	0,000	0,300	0,00	OK	12
S5	Všechny MSP	14,90	-5,06	4381	0,0	0	0,0	0,000	0,300	0,00	OK	12
115	Uživatelská výztuž	-260,00	-9,07	1902	0,0	0,0	0,0	0,000	0,300	0,00	OK	12
S5	Všechny MSP	-37,87	8,41	4593	0,0	0	0,0	0,000	0,300	0,00	OK	12

Prvek	Stav	$n_{1+}$ [kN]	$m_{1+}$ [kNm]	$A_{s,1+}$ [mm <sup>2</sup> ]	$\sigma_{s,1+}$ [MPa]	$s_{r,max,1+}$ [mm]	$(\epsilon_{sm} - \epsilon_{cm})_{1+}$ [1e-4]	$w_{1+}$ [mm]	$w_{lim,1+}$ [mm]	Posudek <sub>cal,1+</sub> [-]	Posudek <sub>1+</sub>	W/E <sub>1+</sub>
prvek	Typ výztuže	$n_{2+}$ [kN]	$m_{2+}$ [kNm]	$A_{s,2+}$ [mm <sup>2</sup> ]	$\sigma_{s,2+}$ [MPa]	$\sigma_{s,2+}$ [MPa]	$(\epsilon_{sm} - \epsilon_{cm})_{2+}$ [1e-4]	$w_{2+}$ [mm]	$w_{lim,2+}$ [mm]	Posudek <sub>cal,2+</sub> [-]	Posudek <sub>2+</sub>	W/E <sub>2+</sub>
116	Uživatelská výztuž	-316,64	30,55	1690	0,0	0,0	0,0	0,000	0,300	0,00	OK	12
S5	Všechny MSP	1,76	1,95	4836	0,0	0	0,0	0,000	0,300	0,00	OK	12
117	Uživatelská výztuž	-145,18	5,13	1447	0,0	0,0	0,0	0,000	0,300	0,00	OK	12
S5	Všechny MSP	-21,75	5,57	4767	0,0	0	0,0	0,000	0,300	0,00	OK	12
118	Uživatelská výztuž	-236,20	17,99	1516	0,0	0,0	0,0	0,000	0,300	0,00	OK	12
S5	Všechny MSP	-22,70	8,24	4587	0,0	0	0,0	0,000	0,300	0,00	OK	12
119	Uživatelská výztuž	-282,45	32,52	1696	0,0	0,0	0,0	0,000	0,300	0,00	OK	12
S5	Všechny MSP	-16,64	3,80	4869	0,0	0	0,0	0,000	0,300	0,00	OK	12
120	Uživatelská výztuž	-265,51	5,22	1414	0,0	0,0	0,0	0,000	0,300	0,00	OK	12
S5	Všechny MSP	-6,62	6,64	4808	0,0	0	0,0	0,000	0,300	0,00	OK	12
121	Uživatelská výztuž	-216,02	18,02	1475	0,0	0,0	0,0	0,000	0,300	0,00	OK	12
S5	Všechny MSP	20,36	2,67	4646	0,0	0	0,0	0,000	0,300	0,00	OK	12
122	Uživatelská výztuž	-140,36	10,47	1637	0,0	0,0	0,0	0,000	0,300	0,00	OK	12
S5	Všechny MSP	-6,66	4,12	4749	0,0	0	0,0	0,000	0,300	0,00	OK	12
123	Uživatelská výztuž	-240,72	5,69	1534	0,0	0,0	0,0	0,000	0,300	0,00	OK	12
S5	Všechny MSP	-0,22	2,61	4880	0,0	0	0,0	0,000	0,300	0,00	OK	12
124	Uživatelská výztuž	-240,16	14,70	1403	0,0	0,0	0,0	0,000	0,300	0,00	OK	12
S5	Všechny MSP	16,97	8,74	4785	0,0	0	0,0	0,000	0,300	0,00	OK	12
125	Uživatelská výztuž	-311,23	25,94	1498	0,0	0,0	0,0	0,000	0,300	0,00	OK	12
S5	Všechny MSP	-3,56	3,43	4697	0,0	0	0,0	0,000	0,300	0,00	OK	12
126	Uživatelská výztuž	-213,43	5,98	1587	0,0	0,0	0,0	0,000	0,300	0,00	OK	12
S5	Všechny MSP	30,42	4,78	4851	0,0	0	0,0	0,000	0,300	0,00	OK	12
127	Uživatelská výztuž	-311,55	12,58	1432	0,0	0,0	0,0	0,000	0,300	0,00	OK	12
S5	Všechny MSP	20,58	8,15	4867	0,0	0	0,0	0,000	0,300	0,00	OK	12
128	Uživatelská výztuž	-293,90	16,53	1416	0,0	0,0	0,0	0,000	0,300	0,00	OK	12
S5	Všechny MSP	-10,99	2,89	4593	0,0	0	0,0	0,000	0,300	0,00	OK	12
129	Uživatelská výztuž	-198,78	6,73	1690	0,0	0,0	0,0	0,000	0,300	0,00	OK	12
S5	Všechny MSP	70,89	-11,52	4748	0,0	0	0,0	0,000	0,300	0,00	OK	12
130	Uživatelská výztuž	-208,40	5,02	1535	0,0	0,0	0,0	0,000	0,300	0,00	OK	12
S5	Všechny MSP	-30,50	-3,26	4838	0,0	0	0,0	0,000	0,300	0,00	OK	12
131	Uživatelská výztuž	-261,55	1,32	1445	0,0	0,0	0,0	0,000	0,300	0,00	OK	12
S5	Všechny MSP	-1,17	1,11	4720	0,0	0	0,0	0,000	0,300	0,00	OK	12
132	Uživatelská výztuž	-218,80	4,11	1563	0,0	0,0	0,0	0,000	0,300	0,00	OK	12
S6	Všechny MSP	19,20	-13,11	4006	0,0	0	0,0	0,000	0,300	0,00	OK	12
133	Uživatelská výztuž	-198,01	5,51	6466	0,0	0,0	0,0	0,000	0,300	0,00	OK	12
S6	Všechny MSP	10,26	-14,87	4422	0,0	0	0,0	0,000	0,300	0,00	OK	12
134	Uživatelská výztuž	-415,34	5,72	6050	0,0	0,0	0,0	0,000	0,300	0,00	OK	12
S6	Všechny MSP	-22,86	-12,63	3305	0,0	0	0,0	0,000	0,300	0,00	OK	12
135	Uživatelská výztuž	-87,45	1,43	7167	0,0	0,0	0,0	0,000	0,300	0,00	OK	12
S6	Všechny MSP	-41,65	-13,02	3863	0,0	0	0,0	0,000	0,300	0,00	OK	12
136	Uživatelská výztuž	-308,50	2,24	6609	0,0	0,0	0,0	0,000	0,300	0,00	OK	12
S6	Všechny MSP	8,36	-17,01	3079	0,0	0	0,0	0,000	0,300	0,00	OK	12
137	Uživatelská výztuž	4,05	-1,09	7393	0,0	0,0	0,0	0,000	0,300	0,00	OK	12
S6	Všechny MSP	11,19	-15,34	4242	0,0	0	0,0	0,000	0,300	0,00	OK	12
138	Uživatelská výztuž	-35,75	-7,12	6230	0,0	0,0	0,0	0,000	0,300	0,00	OK	12
S6	Všechny MSP	-9,20	-0,97	3319	0,0	0	0,0	0,000	0,300	0,00	OK	12
139	Uživatelská výztuž	-17,79	4,98	7153	0,0	0,0	0,0	0,000	0,300	0,00	OK	12
S6	Všechny MSP	-25,04	-1,74	3097	0,0	0	0,0	0,000	0,300	0,00	OK	12
140	Uživatelská výztuž	-48,96	3,86	7375	0,0	0,0	0,0	0,000	0,300	0,00	OK	12
S6	Všechny MSP	-0,63	-4,01	2339	0,0	0	0,0	0,000	0,300	0,00	OK	12
141	Uživatelská výztuž	4,10	6,51	8133	0,0	0,0	0,0	0,000	0,300	0,00	OK	12
S6	Všechny MSP	-56,00	-1,33	2358	0,0	0	0,0	0,000	0,300	0,00	OK	12
142	Uživatelská výztuž	-29,20	4,76	8114	0,0	0,0	0,0	0,000	0,300	0,00	OK	12
S6	Všechny MSP	-21,75	-7,47	2704	0,0	0	0,0	0,000	0,300	0,00	OK	12
143	Uživatelská výztuž	66,22	3,68	7768	0,0	0,0	0,0	0,000	0,300	0,00	OK	12
S6	Všechny MSP	1,27	-5,13	2625	0,0	0	0,0	0,000	0,300	0,00	OK	12
144	Uživatelská výztuž	12,13	5,29	7847	0,0	0,0	0,0	0,000	0,300	0,00	OK	12
S7	Všechny MSP	34,47	-3,98	5236	0,0	0	0,0	0,000	0,300	0,00	OK	12
145	Uživatelská výztuž	-88,20	1,40	5236	0,0	0,0	0,0	0,000	0,300	0,00	OK	12
S7	Všechny MSP	-114,06	2,60	5236	0,0	0	0,0	0,000	0,300	0,00	OK	12
146	Uživatelská výztuž	-32,54	-0,03	5236	0,0	0,0	0,0	0,000	0,300	0,00	OK	12
S7	Všechny MSP	-118,52	2,07	5236	0,0	0	0,0	0,000	0,300	0,00	OK	12
147	Uživatelská výztuž	-20,52	-1,34	5236	0,0	0,0	0,0	0,000	0,300	0,00	OK	12
S7	Všechny MSP	27,81	1,10	5236	0,0	0	0,0	0,000	0,300	0,00	OK	12

Prvek	Stav	$n_{1+}$ [kN]	$m_{1+}$ [kNm]	$A_{s,1+}$ [mm <sup>2</sup> ]	$\sigma_{s,1+}$ [MPa]	$s_{r,max,1+}$ [mm]	$(\epsilon_{sm} - \epsilon_{cm})_{1+}$ [1e-4]	$w_{1+}$ [mm]	$w_{lim,1+}$ [mm]	Posudek <sub>cal,1+</sub> [-]	Posudek <sub>1+</sub>	W/E <sub>1+</sub>
prvek	Typ výztuže	$n_{2+}$ [kN]	$m_{2+}$ [kNm]	$A_{s,2+}$ [mm <sup>2</sup> ]	$\sigma_{s,2+}$ [MPa]	$\sigma_{s,2+}$ [MPa]	$(\epsilon_{sm} - \epsilon_{cm})_{2+}$ [1e-4]	$w_{2+}$ [mm]	$w_{lim,2+}$ [mm]	Posudek <sub>cal,2+</sub> [-]	Posudek <sub>2+</sub>	W/E <sub>2+</sub>
148	Uživatelská výztuž	39,69	4,81	5236	0,0	0,0	0,0	0,000	0,300	0,00	OK	12
S7	Všechny MSP	-34,21	3,07	5236	0,0	0	0,0	0,000	0,300	0,00	OK	12
149	Uživatelská výztuž	-193,97	1,97	5236	0,0	0,0	0,0	0,000	0,300	0,00	OK	12
S7	Všechny MSP	-53,26	3,97	5236	0,0	0	0,0	0,000	0,300	0,00	OK	12
150	Uživatelská výztuž	11,69	3,72	5236	0,0	0,0	0,0	0,000	0,300	0,00	OK	12
S7	Všechny MSP	28,84	-6,36	5236	0,0	0	0,0	0,000	0,300	0,00	OK	12
151	Uživatelská výztuž	-270,15	-1,40	5236	0,0	0,0	0,0	0,000	0,300	0,00	OK	12
S7	Všechny MSP	-36,53	-2,52	5236	0,0	0	0,0	0,000	0,300	0,00	OK	12
152	Uživatelská výztuž	-225,79	-1,97	5236	0,0	0,0	0,0	0,000	0,300	0,00	OK	12
S7	Všechny MSP	-657,81	5,18	5236	0,0	0	0,0	0,000	0,300	0,00	OK	12
153	Uživatelská výztuž	-348,46	-6,94	5236	0,0	0,0	0,0	0,000	0,300	0,00	OK	12
S7	Všechny MSP	-11,39	-0,74	5236	0,0	0	0,0	0,000	0,300	0,00	OK	12
154	Uživatelská výztuž	-30,45	-0,45	5236	0,0	0,0	0,0	0,000	0,300	0,00	OK	12
S7	Všechny MSP	9,63	0,45	5236	0,0	0	0,0	0,000	0,300	0,00	OK	12
155	Uživatelská výztuž	-40,41	-0,31	5236	0,0	0,0	0,0	0,000	0,300	0,00	OK	12
S7	Všechny MSP	-12,76	-1,20	5236	0,0	0	0,0	0,000	0,300	0,00	OK	12
156	Uživatelská výztuž	-51,00	2,93	5236	0,0	0,0	0,0	0,000	0,300	0,00	OK	12
S8	Všechny MSP	-44,29	-3,39	3142	0,0	0	0,0	0,000	0,300	0,00	OK	12
157	Uživatelská výztuž	-851,70	-0,61	3142	0,0	0,0	0,0	0,000	0,300	0,00	OK	12
S8	Všechny MSP	8,51	-3,06	3142	0,0	0	0,0	0,000	0,300	0,00	OK	12
158	Uživatelská výztuž	-243,17	0,30	3142	0,0	0,0	0,0	0,000	0,300	0,00	OK	12
S8	Všechny MSP	2,04	-3,66	3142	0,0	0	0,0	0,000	0,300	0,00	OK	12
159	Uživatelská výztuž	-249,40	2,31	3142	0,0	0,0	0,0	0,000	0,300	0,00	OK	12
S8	Všechny MSP	68,11	-3,28	3142	0,0	0	0,0	0,000	0,300	0,00	OK	12
160	Uživatelská výztuž	10,87	3,01	3142	0,0	0,0	0,0	0,000	0,300	0,00	OK	12
S8	Všechny MSP	61,85	2,63	3142	0,0	0	0,0	0,000	0,300	0,00	OK	12
161	Uživatelská výztuž	-8,48	2,86	3142	0,0	0,0	0,0	0,000	0,300	0,00	OK	12
S8	Všechny MSP	63,43	1,39	3142	0,0	0	0,0	0,000	0,300	0,00	OK	12
162	Uživatelská výztuž	-30,95	4,31	3142	0,0	0,0	0,0	0,000	0,300	0,00	OK	12
S8	Všechny MSP	261,24	-1,35	3142	0,0	0	0,0	0,000	0,300	0,00	OK	12
163	Uživatelská výztuž	-32,05	-0,88	3142	0,0	0,0	0,0	0,000	0,300	0,00	OK	12
S8	Všechny MSP	-10,81	-2,29	3142	0,0	0	0,0	0,000	0,300	0,00	OK	12
164	Uživatelská výztuž	-222,66	-1,03	3142	0,0	0,0	0,0	0,000	0,300	0,00	OK	12
S8	Všechny MSP	119,10	2,31	3142	0,0	0	0,0	0,000	0,300	0,00	OK	12
165	Uživatelská výztuž	-399,35	4,23	3142	0,0	0,0	0,0	0,000	0,300	0,00	OK	12
S8	Všechny MSP	-4,51	-1,71	3142	0,0	0	0,0	0,000	0,300	0,00	OK	12
166	Uživatelská výztuž	-558,12	2,18	3142	0,0	0,0	0,0	0,000	0,300	0,00	OK	12
S8	Všechny MSP	329,90	45,53	3142	0,0	0	0,0	0,000	0,300	0,00	OK	12
167	Uživatelská výztuž	-225,01	7,41	3142	0,0	0,0	0,0	0,000	0,300	0,00	OK	12
S8	Všechny MSP	178,04	59,45	3142	0,0	0	0,0	0,000	0,300	0,00	OK	12
168	Uživatelská výztuž	-383,70	16,40	3142	0,0	0,0	0,0	0,000	0,300	0,00	OK	12
S8	Všechny MSP	-215,28	86,76	3142	0,0	0	0,0	0,000	0,300	0,00	OK	12
169	Uživatelská výztuž	-283,16	16,47	3142	0,0	0,0	0,0	0,000	0,300	0,00	OK	12
S8	Všechny MSP	223,23	-19,32	3142	0,0	0	0,0	0,000	0,300	0,00	OK	12
170	Uživatelská výztuž	-560,38	-2,41	3142	0,0	0,0	0,0	0,000	0,300	0,00	OK	12
S8	Všechny MSP	61,01	34,62	3142	0,0	0	0,0	0,000	0,300	0,00	OK	12
171	Uživatelská výztuž	-327,18	15,53	3142	0,0	0,0	0,0	0,000	0,300	0,00	OK	12
S8	Všechny MSP	21,44	-5,88	3142	0,0	0	0,0	0,000	0,300	0,00	OK	12
172	Uživatelská výztuž	-372,62	2,77	3142	0,0	0,0	0,0	0,000	0,300	0,00	OK	12
S8	Všechny MSP	223,34	-6,52	3142	0,0	0	0,0	0,000	0,300	0,00	OK	12
173	Uživatelská výztuž	-449,23	0,62	3142	0,0	0,0	0,0	0,000	0,300	0,00	OK	12
S8	Všechny MSP	125,74	-1,72	3142	0,0	0	0,0	0,000	0,300	0,00	OK	12
174	Uživatelská výztuž	-38,20	3,10	3142	0,0	0,0	0,0	0,000	0,300	0,00	OK	12
S8	Všechny MSP	44,95	-5,15	3142	0,0	0	0,0	0,000	0,300	0,00	OK	12
175	Uživatelská výztuž	-521,46	0,08	3142	0,0	0,0	0,0	0,000	0,300	0,00	OK	12
S8	Všechny MSP	63,96	3,53	3142	0,0	0	0,0	0,000	0,300	0,00	OK	12
176	Uživatelská výztuž	-245,14	5,56	3142	0,0	0,0	0,0	0,000	0,300	0,00	OK	12
S8	Všechny MSP	107,20	7,16	3142	0,0	0	0,0	0,000	0,300	0,00	OK	12
177	Uživatelská výztuž	-290,54	8,76	3142	0,0	0,0	0,0	0,000	0,300	0,00	OK	12
S8	Všechny MSP	-165,36	8,74	3142	0,0	0	0,0	0,000	0,300	0,00	OK	12
178	Uživatelská výztuž	-188,72	14,01	3142	0,0	0,0	0,0	0,000	0,300	0,00	OK	12

#### Vysvětlivky symbolů

Typ výztuže	Typ výztuže použitý pro posudek
$n_{1+}$	Návrhová normálová síla ve směru hlavního napětí
$n_{2+}$	Návrhová normálová síla ve směru hlavního napětí
$m_{1+}$	Návrhový ohybový moment ve směru hlavního napětí
$m_{2+}$	Návrhový ohybový moment ve směru hlavního napětí
$A_{s,1+}$	Plocha výztuže
$A_{s,2+}$	Plocha výztuže
$\sigma_{s,1+}$	Napětí v tažené výztuži předpokládající řez s trhlínami
$\sigma_{s,2+}$	Napětí v tažené výztuži předpokládající řez s trhlínami
$s_{r,max,1+}$	Maximální vzdálenost trhlín
$(\epsilon_{sm} - \epsilon_{cm})_{1+}$	Průměrné poměrné přetvoření výztuže-Průměrné poměrné přetvoření betonu mezi trhlínami

#### Vysvětlivky symbolů

$(\epsilon_{sm} - \epsilon_{cm})_{2+}$	Průměrné poměrné přetvoření výztuže-Průměrné poměrné přetvoření betonu mezi trhlínami
$w_{1+}$	Vypočtená hodnota šířky trhlin
$w_{2+}$	Vypočtená hodnota šířky trhlin
$w_{lim,1+}$	Limitní hodnota šířky trhlin
$w_{lim,2+}$	Limitní hodnota šířky trhlin
$\sigma_{s,cal,1+}$	Hodnota posudku
$\sigma_{s,cal,2+}$	Hodnota posudku
$\sigma_{s,1+}$	Výsledek posudku (OK/NE OK)
$\sigma_{s,2+}$	Výsledek posudku (OK/NE OK)
$W/E_{1+}$	Číslo odkazující na seznam typických chyb
$W/E_{2+}$	Číslo odkazující na seznam typických chyb

## 65. Vnitřní síly EN 1992-1-1

Lineární výpočet, Extrém : Řez

Výběr : Vše

Třída : Všechny MSU

#### Přepočtené vnitřní síly

Prvek	$d_x$ [m]	Stav	N [kN]	$V_y$ [kN]	$V_z$ [kN]	$M_x$ [kNm]	$M_y$ [kNm]	$M_z$ [kNm]	N rec [kN]	$V_y$ rec [kN]	$V_z$ rec [kN]	$M_x$ rec [kNm]	$M_y$ rec [kNm]
B1	0,000	CO1/24	0,00	5,34	-7,42	-5,29	1,06	-2,44	0,00	5,34	-7,42	-5,29	1,06
B1	0,000	CO6/4	0,00	15,41	-10,37	-5,26	4,30	-11,92	0,00	15,41	-10,37	-5,26	4,30
B1	0,486	CO25/23	0,00	3,90	-6,32	-2,73	-0,21	-1,28	0,00	3,90	-6,32	-2,73	-1,78
B1	0,486	CO6/4	0,00	9,92	-7,64	2,68	1,33	-5,93	0,00	9,92	-7,64	2,68	4,06
B1	0,971	CO25/23	0,00	2,45	-4,49	-0,82	-1,92	0,02	0,00	2,45	-4,49	-0,82	-1,97
B1	0,971	CO6/4	0,00	4,43	-4,91	10,62	-1,64	0,06	0,00	4,43	-4,91	10,62	-1,73
B1	1,457	CO25/25	0,00	1,47	-2,99	12,84	-1,96	0,02	0,00	1,47	-2,99	12,84	-2,04
B1	1,457	CO6/4	0,00	2,02	-3,47	19,46	-1,74	0,03	0,00	2,02	-3,47	19,46	-1,83
B1	1,943	CO25/25	0,00	-0,33	-1,72	19,07	-2,04	0,00	0,00	-0,33	-1,72	19,07	-2,04
B1	1,943	CO6/4	0,00	-0,40	-2,03	28,29	-1,84	-0,01	0,00	-0,40	-2,03	28,29	-1,84
B1	2,428	CO25/25	0,00	-0,19	-1,44	25,23	-2,03	0,00	0,00	-0,19	-1,44	25,23	-2,04
B1	2,428	CO6/4	0,00	-0,17	-1,65	36,80	-1,82	0,00	0,00	-0,17	-1,65	36,80	-1,84
B1	2,914	CO25/23	0,00	0,16	-1,56	15,62	-2,03	0,00	0,00	0,16	-1,56	15,62	-2,03
B1	2,914	CO6/4	0,00	0,06	-1,27	45,30	-1,80	0,00	0,00	0,06	-1,27	45,30	-1,82
B1	3,400	CO25/23	0,00	-0,03	-1,29	20,29	-2,04	0,00	0,00	-0,03	-1,29	20,29	-2,04
B1	3,400	CO6/4	0,00	-0,14	-0,68	50,58	-1,81	0,00	0,00	-0,14	-0,68	50,58	-1,81
B1	3,885	CO25/23	0,00	-0,21	-1,02	24,95	-2,04	0,00	0,00	-0,21	-1,02	24,95	-2,04
B1	3,885	CO6/4	0,00	-0,33	-0,09	55,86	-1,81	0,00	0,00	-0,33	-0,09	55,86	-1,82
B1	4,371	CO25/23	0,00	-0,21	-0,85	29,22	-2,04	0,00	0,00	-0,21	-0,85	29,22	-2,05
B1	4,371	CO6/4	0,00	-0,37	0,31	57,04	-1,82	0,00	0,00	-0,37	0,31	57,04	-1,83
B1	4,857	CO25/25	0,00	-0,06	-0,06	42,42	-2,05	0,00	0,00	-0,06	-0,06	42,42	-2,06
B1	4,857	CO6/4	0,00	-0,41	0,72	58,22	-1,83	0,00	0,00	-0,41	0,72	58,22	-1,85
B1	5,342	CO25/26	0,00	0,34	0,05	46,73	-2,06	-0,01	0,00	0,34	0,05	46,73	-2,07
B1	5,342	CO6/4	0,00	0,18	0,70	55,79	-1,85	-0,01	0,00	0,18	0,70	55,79	-1,87
B1	5,828	CO25/26	0,00	0,87	0,01	46,43	-2,07	-0,01	0,00	0,87	0,01	46,43	-2,11
B1	5,828	CO6/4	0,00	0,77	0,68	53,36	-1,87	-0,01	0,00	0,77	0,68	53,36	-1,92
B1	6,314	CO25/26	0,00	3,17	-0,69	44,93	-2,11	-0,03	0,00	3,17	-0,69	44,93	-2,14
B1	6,314	CO6/4	0,00	3,51	-0,23	48,96	-1,92	-0,03	0,00	3,51	-0,23	48,96	-1,97
B1	6,799	CO7/1	0,00	4,04	-2,03	40,22	-1,95	-0,04	0,00	4,04	-2,03	40,22	-3,92
B1	6,799	CO6/4	0,00	6,25	-1,15	44,55	-1,97	-0,05	0,00	6,25	-1,15	44,55	-2,60
B1	7,285	CO7/1	0,00	12,90	-30,94	41,41	-4,09	-0,10	0,00	12,90	-30,94	41,41	-6,06
B1	7,285	CO6/4	0,00	10,87	-11,59	40,11	-2,66	-0,05	0,00	10,87	-11,59	40,11	-3,29
B1	7,771	CO7/1	0,00	21,76	-59,86	42,59	-6,23	-0,17	0,00	21,76	-59,86	42,59	-59,56
B1	7,771	CO5/5	0,00	23,40	23,64	<b>143,42</b>	-0,20	-0,22	0,00	23,40	23,64	<b>143,42</b>	20,50
B1	8,256	CO7/1	0,00	36,33	-116,38	42,54	-64,25	11,37	0,00	36,33	-116,38	42,54	-117,58
B1	8,256	CO5/5	0,00	42,14	44,93	141,46	22,33	15,56	0,00	42,14	44,93	141,46	43,03
B1	8,742	CO7/1	0,00	50,89	-172,91	42,50	-122,28	22,91	0,00	50,89	-172,91	42,50	-122,28

Prvek	d <sub>x</sub> [m]	Stav	N [kN]	V <sub>y</sub> [kN]	V <sub>z</sub> [kN]	M <sub>x</sub> [kNm]	M <sub>y</sub> [kNm]	M <sub>z</sub> [kNm]	N rec [kN]	V <sub>y</sub> rec [kN]	V <sub>z</sub> rec [kN]	M <sub>x</sub> rec [kNm]	M <sub>y</sub> rec [kNm]
B1	8,742	CO5/5	0,00	60,89	66,22	139,49	44,85	31,35	0,00	60,89	66,22	139,49	44,85
B2	0,000	CO5/5	0,00	-73,56	-27,98	5,52	20,51	57,61	0,00	-73,56	-27,98	5,52	20,51
B2	0,485	CO25/23	0,00	-19,61	-7,06	2,40	2,67	10,48	0,00	-19,61	-7,06	2,40	6,71
B2	0,485	CO5/5	0,00	-46,16	-17,95	14,40	9,72	28,65	0,00	-46,16	-17,95	14,40	19,66
B2	0,971	CO25/23	0,00	-9,20	-2,81	3,10	-1,72	-0,12	0,00	-9,20	-2,81	3,10	2,32
B2	0,971	CO5/5	0,00	-18,77	-7,91	23,28	-1,07	-0,31	0,00	-18,77	-7,91	23,28	8,86
B2	1,456	CO25/25	0,00	-8,25	2,59	-32,01	-1,88	-0,08	0,00	-8,25	2,59	-32,01	-2,12
B2	1,456	CO6/4	0,00	-10,30	4,40	-51,41	-1,63	-0,10	0,00	-10,30	4,40	-51,41	-1,94
B2	1,941	CO25/25	0,00	-1,35	4,85	-40,04	-2,14	-0,01	0,00	-1,35	4,85	-40,04	-2,14
B2	1,941	CO6/4	0,00	-1,13	7,20	-63,98	-1,96	-0,02	0,00	-1,13	7,20	-63,98	-1,96
B2	2,427	CO25/25	0,00	-0,89	4,20	-44,84	-2,10	-0,01	0,00	-0,89	4,20	-44,84	-2,13
B2	2,427	CO6/4	0,00	-0,36	6,31	-71,49	-1,92	-0,01	0,00	-0,36	6,31	-71,49	-1,96
B2	2,912	CO25/25	0,00	-0,43	3,54	-49,64	-2,07	0,00	0,00	-0,43	3,54	-49,64	-2,10
B2	2,912	CO6/4	0,00	0,41	5,41	-79,00	-1,87	0,00	0,00	0,41	5,41	-79,00	-1,91
B2	3,398	CO25/26	0,00	-0,60	3,95	-58,43	-2,05	0,00	0,00	-0,60	3,95	-58,43	-2,07
B2	3,398	CO6/4	0,00	0,00	5,52	-87,59	-1,84	0,00	0,00	0,00	5,52	-87,59	-1,87
B2	3,883	CO25/27	0,00	-1,29	1,53	-6,19	-2,06	0,00	0,00	-1,29	1,53	-6,19	-2,07
B2	3,883	CO6/4	0,00	-0,41	5,62	-96,18	-1,81	0,01	0,00	-0,41	5,62	-96,18	-1,84
B2	4,368	CO25/27	0,00	-1,75	1,36	-8,49	-2,07	0,01	0,00	-1,75	1,36	-8,49	-2,07
B2	4,368	CO6/4	0,00	-1,38	6,26	-107,94	-1,80	0,01	0,00	-1,38	6,26	-107,94	-1,81
B2	4,854	CO25/27	0,00	-2,20	1,20	-10,78	-2,07	0,01	0,00	-2,20	1,20	-10,78	-2,07
B2	4,854	CO6/4	0,00	-2,35	6,90	-119,71	-1,79	0,01	0,00	-2,35	6,90	-119,71	-1,84
B2	5,339	CO25/26	0,00	-3,14	4,99	-91,28	-2,05	0,01	0,00	-3,14	4,99	-91,28	-2,09
B2	5,339	CO6/4	0,00	-3,03	6,92	-130,23	-1,85	0,01	0,00	-3,03	6,92	-130,23	-1,90
B2	5,824	CO25/26	0,00	-3,79	4,99	-99,60	-2,10	0,01	0,00	-3,79	4,99	-99,60	-2,12
B2	5,824	CO6/4	0,00	-3,70	6,94	-140,76	-1,90	0,00	0,00	-3,70	6,94	-140,76	-1,93
B2	6,310	CO25/26	0,00	-4,38	4,11	-103,22	-2,12	0,01	0,00	-4,38	4,11	-103,22	-2,15
B2	6,310	CO6/4	0,00	-4,22	5,89	-144,81	-1,93	0,01	0,00	-4,22	5,89	-144,81	-1,95
B2	6,795	CO15/3	0,00	-7,53	-3,29	12,33	-2,00	0,02	0,00	-7,53	-3,29	12,33	-4,85
B2	6,795	CO6/4	0,00	-4,73	4,84	<b>-148,85</b>	-1,96	0,01	0,00	-4,73	4,84	<b>-148,85</b>	-2,68
B2	7,280	CO15/3	0,00	-5,89	-44,99	15,27	-5,10	-0,02	0,00	-5,89	-44,99	15,27	-7,95
B2	7,280	CO6/4	0,00	-9,37	-6,63	-146,21	-2,74	0,05	0,00	-9,37	-6,63	-146,21	-3,47
B2	7,766	CO15/3	0,00	-4,24	-86,69	18,21	-8,20	-0,05	0,00	-4,24	-86,69	18,21	-85,21
B2	7,766	CO6/4	0,00	-14,00	-18,09	-143,56	-3,53	0,10	0,00	-14,00	-18,09	-143,56	-23,66
B2	8,251	CO15/3	0,00	0,53	-168,18	21,80	-91,93	5,13	0,00	0,53	-168,18	21,80	-168,94
B2	8,251	CO6/4	0,00	-22,63	-39,64	-137,90	-25,42	-7,66	0,00	-22,63	-39,64	-137,90	-45,55
B2	8,737	CO15/3	0,00	5,29	<b>-249,67</b>	25,38	<b>-175,67</b>	10,31	0,00	5,29	<b>-249,67</b>	25,38	<b>-175,67</b>
B2	8,737	CO6/4	0,00	-31,25	-61,18	-132,24	-47,30	-15,41	0,00	-31,25	-61,18	-132,24	-47,30
B3	0,000	CO2/28	-277,57	4,83	42,91	-4,19	-45,28	-4,01	-277,57	4,83	42,91	-4,19	-45,28
B3	0,000	CO5/29	-244,09	4,62	35,99	-2,95	-39,50	-3,40	-244,09	4,62	35,99	-2,95	-39,50
B3	0,486	CO2/28	-276,74	2,81	42,91	-4,19	-24,44	-2,16	-276,74	2,81	42,91	-4,19	-38,60
B3	0,486	CO5/29	-243,26	2,60	35,99	-2,95	-22,03	-1,64	-243,26	2,60	35,99	-2,95	-33,90
B3	0,971	CO5/5	-270,73	0,54	40,12	-3,32	-4,85	-1,10	-270,73	0,54	40,12	-3,32	-18,08
B3	0,971	CO7/1	<b>-468,12</b>	5,62	43,16	-4,86	3,67	-3,41	<b>-468,12</b>	5,62	43,16	-4,86	17,90
B3	1,214	CO5/5	-270,31	-0,47	40,12	-3,32	4,89	-1,09	-270,31	-0,47	40,12	-3,32	18,12
B3	1,214	CO7/1	-467,70	4,61	43,16	-4,86	14,15	-2,17	-467,70	4,61	43,16	-4,86	28,38
B3	1,214	CO5/5	-270,31	-0,47	40,12	-3,32	4,89	-1,09	-270,31	-0,47	40,12	-3,32	18,12
B3	1,214	CO7/1	-467,70	4,61	43,16	-4,86	14,15	-2,17	-467,70	4,61	43,16	-4,86	28,38
B3	1,457	CO14/6	-354,94	-2,69	45,97	-5,62	24,33	-3,27	-354,94	-2,69	45,97	-5,62	39,49
B3	1,942	CO14/6	-354,10	-4,71	45,97	-5,62	46,65	-5,07	-354,10	-4,71	45,97	-5,62	61,81
B3	2,428	CO14/6	-353,27	-6,73	45,97	-5,62	<b>68,97</b>	-7,85	-353,27	-6,73	45,97	-5,62	<b>68,97</b>
B4	0,000	CO3/2	-110,91	8,42	-27,98	2,30	31,60	-6,25	-110,91	8,42	-27,98	2,30	31,60
B4	0,487	CO15/3	-192,75	11,02	-33,89	6,58	5,12	-6,31	-192,75	11,02	-33,89	6,58	16,30
B4	0,487	CO3/2	-110,07	6,40	-27,98	2,30	17,98	-2,65	-110,07	6,40	-27,98	2,30	27,21
B4	0,974	CO15/3	-191,91	8,99	-33,89	6,58	-11,37	-1,44	-191,91	8,99	-33,89	6,58	-22,55
B4	0,974	CO3/2	-109,23	4,37	-27,98	2,30	4,35	-0,02	-109,23	4,37	-27,98	2,30	13,58
B4	1,217	CO15/3	-191,49	7,98	-33,89	6,58	-19,62	0,63	-191,49	7,98	-33,89	6,58	-30,80
B4	1,217	CO3/2	-108,81	3,36	-27,98	2,30	-2,46	0,92	-108,81	3,36	-27,98	2,30	-11,69
B4	1,217	CO15/3	-191,49	7,98	-33,89	6,58	-19,62	0,63	-191,49	7,98	-33,89	6,58	-30,80
B4	1,217	CO3/2	-108,81	3,36	-27,98	2,30	-2,46	0,92	-108,81	3,36	-27,98	2,30	-11,69
B4	1,460	CO15/3	-191,07	6,97	-33,89	6,58	-27,87	2,45	-191,07	6,97	-33,89	6,58	-39,04
B4	1,460	CO3/7	-99,13	2,01	-25,04	1,95	-8,05	1,54	-99,13	2,01	-25,04	1,95	-16,31
B4	1,947	CO15/3	-190,24	4,94	-33,89	6,58	-44,37	5,34	-190,24	4,94	-33,89	6,58	-55,54
B4	1,947	CO5/29	-97,17	0,22	-20,27	2,74	-20,94	2,08	-97,17	0,22	-20,27	2,74	-27,62
B4	2,434	CO15/3	-189,40	2,91	-33,89	6,58	-60,86	7,26	-189,40	2,91	-33,89	6,58	-60,86
B4	2,434	CO5/29	-96,33	-1,81	-20,27	2,74	-30,80	1,69	-96,33	-1,81	-20,27	2,74	-30,80

Prvek	d <sub>x</sub> [m]	Stav	N [kN]	V <sub>y</sub> [kN]	V <sub>z</sub> [kN]	M <sub>x</sub> [kNm]	M <sub>y</sub> [kNm]	M <sub>z</sub> [kNm]	N rec [kN]	V <sub>y</sub> rec [kN]	V <sub>z</sub> rec [kN]	M <sub>x</sub> rec [kNm]	M <sub>y</sub> rec [kNm]
B11	0,000	CO14/6	-41,27	18,55	32,61	7,10	-31,57	-4,76	-41,27	18,55	32,61	7,10	-31,57
B11	0,000	CO6/4	-26,77	13,14	23,10	3,47	-20,80	-3,54	-26,77	13,14	23,10	3,47	-20,80
B11	0,860	CO14/6	-87,09	5,83	22,98	8,94	-4,40	2,09	-87,09	5,83	22,98	8,94	-10,14
B11	0,860	CO7/1	-90,59	7,56	20,03	7,26	15,25	2,15	-90,59	7,56	20,03	7,26	16,30
B11	1,720	CO7/1	-116,35	0,70	4,75	7,20	20,22	0,53	-116,35	0,70	4,75	7,20	20,22
B11	2,580	CO14/6	-120,94	-1,23	8,00	5,91	27,29	0,07	-120,94	-1,23	8,00	5,91	28,17
B12	0,000	CO14/6	-120,94	-1,23	8,00	5,91	27,29	0,07	-120,94	-1,23	8,00	5,91	28,17
B12	0,510	CO14/6	-106,79	-0,64	3,63	4,26	29,77	-0,08	-106,79	-0,64	3,63	4,26	30,64
B12	1,020	CO14/6	-92,63	-0,06	-0,74	2,61	32,24	-0,23	-92,63	-0,06	-0,74	2,61	32,24
B12	1,530	CO14/6	-64,22	0,61	-3,96	0,97	26,61	-0,50	-64,22	0,61	-3,96	0,97	28,60
B12	2,040	CO14/6	-35,81	1,27	-7,19	-0,68	20,97	-0,77	-35,81	1,27	-7,19	-0,68	22,97
B12	2,550	CO15/3	-41,65	0,37	0,60	0,03	17,13	-0,46	-41,65	0,37	0,60	0,03	18,45
B12	3,060	CO15/3	-18,67	0,91	-1,29	-1,57	20,87	-0,67	-18,67	0,91	-1,29	-1,57	21,20
B13	0,000	CO15/3	-18,67	0,91	-1,29	-1,57	20,87	-0,67	-18,67	0,91	-1,29	-1,57	21,20
B13	0,860	CO15/3	-1,09	0,98	-9,92	-3,84	22,45	-0,02	-1,09	0,98	-9,92	-3,84	22,45
B13	1,720	CO14/6	13,03	-3,08	-9,85	-6,12	-3,44	1,02	13,03	-3,08	-9,85	-6,12	-5,36
B13	1,720	CO15/3	17,21	-4,79	-17,99	-5,18	7,23	1,39	17,21	-4,79	-17,99	-5,18	10,43
B13	2,580	CO15/3	51,56	-15,01	-23,09	-6,34	-17,39	-4,20	51,56	-15,01	-23,09	-6,34	-17,39
B13	2,580	CO6/4	27,40	-8,99	-12,92	-4,20	-8,35	-2,53	27,40	-8,99	-12,92	-4,20	-8,35
B14	0,000	CO6/30	14,78	-51,19	27,75	-16,64	-50,57	52,21	14,78	-51,19	27,75	-16,64	-50,57
B14	0,000	CO5/5	-61,15	-29,15	-108,78	-30,98	68,04	37,24	-61,15	-29,15	-108,78	-30,98	68,04
B14	0,927	CO2/28	-28,92	-29,46	-80,96	-31,26	-36,59	8,53	-28,92	-29,46	-80,96	-31,26	-36,59
B14	0,927	CO7/1	-47,36	<b>-94,65</b>	8,59	-27,18	-32,40	32,85	-47,36	<b>-94,65</b>	8,59	-27,18	-34,86
B15	0,000	CO6/4	-203,26	<b>69,29</b>	<b>160,65</b>	12,85	-112,14	-21,12	-203,26	<b>69,29</b>	<b>160,65</b>	12,85	-112,14
B15	0,930	CO6/4	-190,70	69,29	160,65	12,85	37,27	43,31	-190,70	69,29	160,65	12,85	37,27
B15	0,930	CO15/3	-254,99	-43,75	131,66	1,59	49,15	<b>119,51</b>	-254,99	-43,75	131,66	1,59	49,15
B16	0,000	CO7/1	41,68	-49,32	17,64	-13,69	-19,58	1,19	41,68	-49,32	17,64	-13,69	-19,58
B16	0,561	CO7/1	77,96	-25,01	9,32	-11,46	-9,80	-8,11	77,96	-25,01	9,32	-11,46	-11,44
B16	1,122	CO14/6	50,71	0,33	-4,56	-10,23	-6,10	-10,90	50,71	0,33	-4,56	-10,23	-6,47
B16	1,122	CO7/1	114,24	-0,70	1,01	-9,24	-0,02	-17,41	114,24	-0,70	1,01	-9,24	-1,66
B16	1,683	CO14/6	84,51	21,22	-6,21	-10,31	-8,33	4,74	84,51	21,22	-6,21	-10,31	-8,70
B16	1,683	CO7/1	150,52	23,61	-7,31	-7,01	0,42	0,56	150,52	23,61	-7,31	-7,01	0,50
B16	2,244	CO14/6	118,32	42,10	-7,86	-10,39	-10,57	20,38	118,32	42,10	-7,86	-10,39	-10,57
B16	2,244	CO7/1	<b>186,80</b>	47,92	-15,62	-4,78	0,87	18,53	<b>186,80</b>	47,92	-15,62	-4,78	0,87
B17	0,000	CO15/3	122,22	23,63	20,44	32,42	-16,77	1,43	122,22	23,63	20,44	32,42	-16,77
B17	0,000	CO7/1	57,10	22,12	5,03	16,22	-8,28	-3,70	57,10	22,12	5,03	16,22	-8,28
B17	0,562	CO15/3	110,32	4,59	12,34	21,56	-5,48	4,16	110,32	4,59	12,34	21,56	-7,37
B17	0,562	CO7/1	52,78	8,49	3,12	11,12	-3,64	0,16	52,78	8,49	3,12	11,12	-4,41
B17	1,125	CO15/3	98,42	-14,44	4,23	10,69	5,81	6,90	98,42	-14,44	4,23	10,69	6,18
B17	1,687	CO15/3	86,52	-33,47	-3,87	-0,17	7,99	-11,77	86,52	-33,47	-3,87	-0,17	8,36
B17	2,249	CO15/3	74,62	-52,50	-11,97	-11,04	10,17	<b>-30,45</b>	74,62	-52,50	-11,97	-11,04	10,17

Vysvětlivky symbolů	
N	Normálová síla
V <sub>y</sub>	Smyková síla Vy
V <sub>z</sub>	Smyková síla Vz
M <sub>x</sub>	Krouticí moment Mx

Vysvětlivky symbolů	
M <sub>y</sub>	Ohybový moment My
M <sub>z</sub>	Ohybový moment Mz
N rec	Přepočtená normálová síla
V <sub>y</sub> rec	Přepočtená smyková síla Vy

Vysvětlivky symbolů	
V <sub>z</sub> rec	Přepočtená smyková síla Vz
M <sub>x</sub> rec	Přepočtený krouticí moment Mx
M <sub>y</sub> rec	Přepočtený ohybový moment My
M <sub>z</sub> rec	Přepočtený ohybový moment Mz

## 66. Návrh As EN 1992-1-1

Lineární výpočet, Extrém : Řez

Výběr : Vše

Třída : Všechny MSU

Navržená výztuž při horním povrchu pro vybrané pruty

Prvek	d <sub>x</sub> [m]	Stav	N <sub>d</sub> [kN]	M <sub>yd</sub> [kNm]	x <sub>u</sub> [mm]	d [mm]	A <sub>s,b</sub> [mm <sup>2</sup> ]	A <sub>s,t</sub> [mm <sup>2</sup> ]	A <sub>s,req</sub> [mm <sup>2</sup> ]	A <sub>s,user</sub> [mm <sup>2</sup> ]	Výztuž[ks]	W/E
B1	0,000	CO1/5	0,00	1,06	0	832	0	0	0	4909	10x25,0(4909)	69
B1	0,486	CO1/5	0,00	0,95	0	832	0	0	0	4909	10x25,0(4909)	69
B1	0,971	CO25	0,00	-1,97	0	832	0	0	0	4909	10x25,0(4909)	69
B1	1,457	CO25	0,00	-2,04	0	832	0	0	0	4909	10x25,0(4909)	69
B1	1,943	CO25	0,00	-2,04	0	832	0	0	0	4909	10x25,0(4909)	69
B1	2,428	CO25	0,00	-2,04	0	832	0	0	0	4909	10x25,0(4909)	69
B1	2,914	CO25	0,00	-2,03	0	832	0	0	0	4909	10x25,0(4909)	69
B1	3,400	CO25	0,00	-2,04	0	832	0	0	0	4909	10x25,0(4909)	69
B1	3,885	CO25	0,00	-2,04	0	832	0	0	0	4909	10x25,0(4909)	69

Prvek	$d_x$ [m]	Stav	$N_d$ [kN]	$M_{y,d}$ [kNm]	$x_u$ [mm]	$d$ [mm]	$A_{s,b}$ [mm <sup>2</sup> ]	$A_{s,t}$ [mm <sup>2</sup> ]	$A_{s,req}$ [mm <sup>2</sup> ]	$A_{s,user}$ [mm <sup>2</sup> ]	Výztuž[ks]	W/E
B1	4,371	CO25	0,00	-2,05	0	832	0	0	0	4909	10x25,0(4909)	69
B1	4,857	CO25	0,00	-2,06	0	832	0	0	0	4909	10x25,0(4909)	69
B1	5,342	CO25	0,00	-2,07	0	832	0	0	0	4909	10x25,0(4909)	69
B1	5,828	CO25	0,00	-2,11	0	832	0	0	0	4909	10x25,0(4909)	69
B1	6,314	CO25	0,00	-2,14	0	832	0	0	0	4909	10x25,0(4909)	69
B1	6,799	CO7/28	0,00	-3,92	0	832	0	0	0	4909	10x25,0(4909)	69
B1	7,285	CO7/28	0,00	-6,06	0	832	0	0	0	4909	10x25,0(4909)	69
B1	7,771	CO7/28	0,00	-59,56	0	832	0	0	0	4909	10x25,0(4909)	69
B1	8,256	CO7/28	0,00	-117,58	0	832	0	0	0	4909	10x25,0(4909)	69
B1	8,742	CO7/28	0,00	-122,28	0	832	0	0	0	4909	10x25,0(4909)	69
B2	0,000	CO1/29	0,00	6,36	0	832	0	0	0	4909	10x25,0(4909)	69
B2	0,485	CO1/29	0,00	6,04	0	832	0	0	0	4909	10x25,0(4909)	69
B2	0,971	CO1/29	0,00	2,09	0	832	0	0	0	4909	10x25,0(4909)	69
B2	1,456	CO25	0,00	-2,12	0	832	0	0	0	4909	10x25,0(4909)	69
B2	1,941	CO25	0,00	-2,14	0	832	0	0	0	4909	10x25,0(4909)	69
B2	2,427	CO25	0,00	-2,13	0	832	0	0	0	4909	10x25,0(4909)	69
B2	2,912	CO25	0,00	-2,10	0	832	0	0	0	4909	10x25,0(4909)	69
B2	3,398	CO25	0,00	-2,07	0	832	0	0	0	4909	10x25,0(4909)	69
B2	3,883	CO25	0,00	-2,07	0	832	0	0	0	4909	10x25,0(4909)	69
B2	4,368	CO25	0,00	-2,07	0	832	0	0	0	4909	10x25,0(4909)	69
B2	4,854	CO25	0,00	-2,07	0	832	0	0	0	4909	10x25,0(4909)	69
B2	5,339	CO25	0,00	-2,09	0	832	0	0	0	4909	10x25,0(4909)	69
B2	5,824	CO25	0,00	-2,12	0	832	0	0	0	4909	10x25,0(4909)	69
B2	6,310	CO25	0,00	-2,15	0	832	0	0	0	4909	10x25,0(4909)	69
B2	6,795	CO15/21	0,00	-4,85	0	832	0	0	0	4909	10x25,0(4909)	69
B2	7,280	CO15/21	0,00	-7,95	0	832	0	0	0	4909	10x25,0(4909)	69
B2	7,766	CO15/21	0,00	-85,21	0	832	0	0	0	4909	10x25,0(4909)	69
B2	8,251	CO15/21	0,00	-168,94	0	832	0	0	0	4909	10x25,0(4909)	69
B2	8,737	CO15/21	0,00	-175,67	0	832	0	0	0	4909	10x25,0(4909)	69
B3	0,000	CO2/28	-277,57	-45,28	0	615	0	0	0	2513	8x20,0(2513)	69
B3	0,486	CO2/28	-276,74	-38,60	0	615	0	0	0	2513	8x20,0(2513)	69
B3	0,971	CO5/29	-242,42	7,31	0	615	0	0	0	2513	8x20,0(2513)	69
B3	1,214	CO1/21	-227,02	14,73	0	615	0	0	0	2513	8x20,0(2513)	69
B3	1,214	CO1/21	-227,02	14,73	0	615	0	0	0	2513	8x20,0(2513)	69
B3	1,457	CO1/21	-226,61	21,25	0	615	0	0	0	2513	8x20,0(2513)	69
B3	1,942	CO1/21	-225,77	34,29	0	615	0	0	0	2513	8x20,0(2513)	69
B3	2,428	CO1/21	-224,94	38,48	0	615	0	0	0	2513	8x20,0(2513)	69
B4	0,000	CO1/21	-101,25	15,15	0	615	0	0	0	2513	8x20,0(2513)	69
B4	0,487	CO1/21	-100,41	12,16	0	615	0	0	0	2513	8x20,0(2513)	69
B4	0,974	CO15/3	-191,91	-22,55	0	615	0	0	0	2513	8x20,0(2513)	69
B4	1,217	CO15/3	-191,49	-30,80	0	615	0	0	0	2513	8x20,0(2513)	69
B4	1,217	CO15/3	-191,49	-30,80	0	615	0	0	0	2513	8x20,0(2513)	69
B4	1,460	CO15/3	-191,07	-39,04	0	615	0	0	0	2513	8x20,0(2513)	69
B4	1,947	CO15/3	-190,24	-55,54	0	615	0	0	0	2513	8x20,0(2513)	69
B4	2,434	CO15/3	-189,40	-60,86	0	615	0	0	0	2513	8x20,0(2513)	69
B11	0,000	CO14/26	-41,27	-31,57	0	339			0	804	4x16,0(804)	69
B11	0,860	CO14/26	-87,09	-10,14	0	339			0	804	4x16,0(804)	69
B11	1,720	CO15/21	-99,72	6,84	0	339			0	804	4x16,0(804)	69
B11	2,580	CO15/21	-113,87	9,42	0	339			0	804	4x16,0(804)	69
B12	0,000	CO15/21	-113,87	9,42	0	339			0	804	4x16,0(804)	69
B12	0,510	CO15/21	-110,32	10,11	0	339			0	804	4x16,0(804)	69
B12	1,020	CO15/21	-106,77	11,06	0	339			0	804	4x16,0(804)	69
B12	1,530	CO7/28	-66,78	10,15	0	339			0	804	4x16,0(804)	69
B12	2,040	CO7/28	-45,31	8,21	0	339			0	804	4x16,0(804)	69
B12	2,550	CO7/28	-29,96	6,57	0	339			0	804	4x16,0(804)	69
B12	3,060	CO7/28	-14,62	5,09	0	339			0	804	4x16,0(804)	69
B13	0,000	CO7/28	-14,62	5,09	0	339			0	804	4x16,0(804)	69
B13	0,860	CO14/26	4,32	2,87	0	339			0	804	4x16,0(804)	69
B13	1,720	CO14/26	13,03	-5,36	0	339			0	804	4x16,0(804)	69
B13	2,580	CO15/21	51,56	-17,39	0	339			0	804	4x16,0(804)	69
B14	0,000	CO6/2	14,78	-50,57	0	535	0	0	0	3142	10x20,0(3142)	69
B14	0,927	CO2/7	-28,92	-36,59	0	535	0	0	0	3142	10x20,0(3142)	69
B15	0,000	CO6/20	-203,26	-112,14	0	535	0	0	0	3142	10x20,0(3142)	69
B15	0,930	CO1/29	-104,06	25,67	0	535	0	0	0	3142	10x20,0(3142)	69
B16	0,000	CO7/28	41,68	-19,58	0	175	0	0	0	3142	10x20,0(3142)	69
B16	0,561	CO7/28	77,96	-11,44	0	175	0	0	0	3142	10x20,0(3142)	69

Prvek	$d_x$ [m]	Stav	$N_d$ [kN]	$M_{yd}$ [kNm]	$x_u$ [mm]	$d$ [mm]	$A_{s,b}$ [mm <sup>2</sup> ]	$A_{s,t}$ [mm <sup>2</sup> ]	$A_{s,req}$ [mm <sup>2</sup> ]	$A_{s,user}$ [mm <sup>2</sup> ]	Výztuž[ks]	W/E
B16	1,122	CO14/26	50,71	-6,47	0	175	0	0	0	3142	10x20,0(3142)	69
B16	1,683	CO14/26	84,51	-8,70	0	175	0	0	0	3142	10x20,0(3142)	69
B16	2,244	CO14/26	118,32	-10,57	0	175	0	0	0	3142	10x20,0(3142)	69
B17	0,000	CO15/21	122,22	-16,77	0	175	0	0	0	3142	10x20,0(3142)	69
B17	0,562	CO15/21	110,32	-7,37	0	175	0	0	0	3142	10x20,0(3142)	69
B17	1,125	CO2/24	49,74	1,39	0	175	0	0	0	3142	10x20,0(3142)	69
B17	1,687	CO2/24	46,77	3,50	0	175	0	0	0	3142	10x20,0(3142)	69
B17	2,249	CO2/24	43,79	5,26	0	175	0	0	0	3142	10x20,0(3142)	69

Vysvětlivky symbolů	
$N_d$	Návrhová normálová síla
$M_{yd}$	Návrhový ohybový moment $M_{yd}$
$x_u$	Výška tlacené oblasti
$d$	Učinná výška průřezu
$A_{s,b}$	Teoretická plocha výztuže navržená na ohybový moment a normálovou sílu

Vysvětlivky symbolů	
$A_{s,t}$	Teoretická plocha výztuže navržená na krouticí moment u spodního/horního okraje
$A_{s,req}$	Nutná průřezová plocha výztuže
$A_{s,user}$	Průřezová plocha výztuže zadaná uživatelem
W/E	Chybová hlášení a upozornění vzniklá při výpočtu

#### Navržená výztuž při spodní povrchu pro vybrané pruty

Prvek	$d_x$ [m]	Stav	$N_d$ [kN]	$M_{yd}$ [kNm]	$x_u$ [mm]	$d$ [mm]	$A_{s,b}$ [mm <sup>2</sup> ]	$A_{s,t}$ [mm <sup>2</sup> ]	$A_{s,req}$ [mm <sup>2</sup> ]	$A_{s,user}$ [mm <sup>2</sup> ]	Výztuž[ks]	W/E
B1	0,000	CO6/20	0,00	4,30	0	832	0	0	0	4909	10x25,0(4909)	69
B1	0,486	CO6/20	0,00	4,06	0	832	0	0	0	4909	10x25,0(4909)	69
B1	0,971	CO6/20	0,00	1,09	0	832	0	0	0	4909	10x25,0(4909)	69
B1	1,457	CO4/22	0,00	-1,81	0	832	0	0	0	4909	10x25,0(4909)	69
B1	1,943	CO4/22	0,00	-1,82	0	832	0	0	0	4909	10x25,0(4909)	69
B1	2,428	CO4/22	0,00	-1,82	0	832	0	0	0	4909	10x25,0(4909)	69
B1	2,914	CO4/22	0,00	-1,81	0	832	0	0	0	4909	10x25,0(4909)	69
B1	3,400	CO5/31	0,00	-1,80	0	832	0	0	0	4909	10x25,0(4909)	69
B1	3,885	CO5/31	0,00	-1,76	0	832	0	0	0	4909	10x25,0(4909)	69
B1	4,371	CO5/31	0,00	-1,73	0	832	0	0	0	4909	10x25,0(4909)	69
B1	4,857	CO5/31	0,00	-1,78	0	832	0	0	0	4909	10x25,0(4909)	69
B1	5,342	CO5/32	0,00	-1,82	0	832	0	0	0	4909	10x25,0(4909)	69
B1	5,828	CO5/32	0,00	-1,85	0	832	0	0	0	4909	10x25,0(4909)	69
B1	6,314	CO15/21	0,00	-1,87	0	832	0	0	0	4909	10x25,0(4909)	69
B1	6,799	CO15/21	0,00	-1,87	0	832	0	0	0	4909	10x25,0(4909)	69
B1	7,285	CO5/32	0,00	-1,80	0	832	0	0	0	4909	10x25,0(4909)	69
B1	7,771	CO5/31	0,00	20,50	0	832	0	0	0	4909	10x25,0(4909)	69
B1	8,256	CO5/31	0,00	43,03	0	832	0	0	0	4909	10x25,0(4909)	69
B1	8,742	CO5/31	0,00	44,85	0	832	0	0	0	4909	10x25,0(4909)	69
B2	0,000	CO5/31	0,00	20,51	0	832	0	0	0	4909	10x25,0(4909)	69
B2	0,485	CO5/31	0,00	19,64	0	832	0	0	0	4909	10x25,0(4909)	69
B2	0,971	CO5/31	0,00	8,86	0	832	0	0	0	4909	10x25,0(4909)	69
B2	1,456	CO4/22	0,00	-1,83	0	832	0	0	0	4909	10x25,0(4909)	69
B2	1,941	CO4/22	0,00	-1,85	0	832	0	0	0	4909	10x25,0(4909)	69
B2	2,427	CO4/22	0,00	-1,85	0	832	0	0	0	4909	10x25,0(4909)	69
B2	2,912	CO1/1	0,00	-1,85	0	832	0	0	0	4909	10x25,0(4909)	69
B2	3,398	CO1/1	0,00	-1,84	0	832	0	0	0	4909	10x25,0(4909)	69
B2	3,883	CO2/7	0,00	-1,77	0	832	0	0	0	4909	10x25,0(4909)	69
B2	4,368	CO2/7	0,00	-1,69	0	832	0	0	0	4909	10x25,0(4909)	69
B2	4,854	CO2/7	0,00	-1,77	0	832	0	0	0	4909	10x25,0(4909)	69
B2	5,339	CO1/4	0,00	-1,85	0	832	0	0	0	4909	10x25,0(4909)	69
B2	5,824	CO1/5	0,00	-1,88	0	832	0	0	0	4909	10x25,0(4909)	69
B2	6,310	CO7/28	0,00	-1,89	0	832	0	0	0	4909	10x25,0(4909)	69
B2	6,795	CO3/23	0,00	-2,42	0	832	0	0	0	4909	10x25,0(4909)	69
B2	7,280	CO3/23	0,00	-2,90	0	832	0	0	0	4909	10x25,0(4909)	69
B2	7,766	CO3/23	0,00	-15,70	0	832	0	0	0	4909	10x25,0(4909)	69
B2	8,251	CO3/23	0,00	-29,57	0	832	0	0	0	4909	10x25,0(4909)	69
B2	8,737	CO3/23	0,00	-30,69	0	832	0	0	0	4909	10x25,0(4909)	69
B3	0,000	CO1/21	-229,11	-26,73	0	615	0	0	0	2513	8x20,0(2513)	69
B3	0,486	CO6/30	-236,28	-22,03	0	615	0	0	0	2513	8x20,0(2513)	69
B3	0,971	CO7/1	-468,12	17,90	0	615	0	0	0	2513	8x20,0(2513)	69
B3	1,214	CO7/1	-467,70	28,38	0	615	0	0	0	2513	8x20,0(2513)	69
B3	1,214	CO7/1	-467,70	28,38	0	615	0	0	0	2513	8x20,0(2513)	69
B3	1,457	CO14/6	-354,94	39,49	0	615	0	0	0	2513	8x20,0(2513)	69



Prvek	$d_x$ [m]	Stav	$N_d$ [kN]	$M_{yd}$ [kNm]	$x_u$ [mm]	$d$ [mm]	$A_{s,b}$ [mm <sup>2</sup> ]	$A_{s,t}$ [mm <sup>2</sup> ]	$A_{s,req}$ [mm <sup>2</sup> ]	$A_{s,user}$ [mm <sup>2</sup> ]	Výztuž[ks]	W/E
B3	1,942	CO14/6	-354,10	61,81	0	615	0	0	0	2513	8x20,0(2513)	69
B3	2,428	CO14/6	-353,27	68,97	0	615	0	0	0	2513	8x20,0(2513)	69
B4	0,000	CO3/2	-110,91	31,60	0	615	0	0	0	2513	8x20,0(2513)	69
B4	0,487	CO3/2	-110,07	27,21	0	615	0	0	0	2513	8x20,0(2513)	69
B4	0,974	CO3/2	-109,23	13,58	0	615	0	0	0	2513	8x20,0(2513)	69
B4	1,217	CO3/2	-108,81	6,77	0	615	0	0	0	2513	8x20,0(2513)	69
B4	1,217	CO3/2	-108,81	6,77	0	615	0	0	0	2513	8x20,0(2513)	69
B4	1,460	CO3/7	-99,13	0,21	0	615	0	0	0	2513	8x20,0(2513)	69
B4	1,947	CO5/29	-97,17	-27,62	0	615	0	0	0	2513	8x20,0(2513)	69
B4	2,434	CO5/29	-96,33	-30,80	0	615	0	0	0	2513	8x20,0(2513)	69
B11	0,000	CO1/29	-24,34	-15,76	0	337			0	1257	4x20,0(1257)	69
B11	0,860	CO7/28	-90,59	16,30	0	337			0	1257	4x20,0(1257)	69
B11	1,720	CO7/28	-116,35	20,22	0	337			0	1257	4x20,0(1257)	69
B11	2,580	CO14/26	-120,94	28,17	0	337			0	1257	4x20,0(1257)	69
B12	0,000	CO14/26	-120,94	28,17	0	337			0	1257	4x20,0(1257)	69
B12	0,510	CO14/26	-106,79	30,64	0	337			0	1257	4x20,0(1257)	69
B12	1,020	CO14/26	-92,63	32,24	0	337			0	1257	4x20,0(1257)	69
B12	1,530	CO14/26	-64,22	28,60	0	337			0	1257	4x20,0(1257)	69
B12	2,040	CO14/26	-35,81	22,97	0	337			0	1257	4x20,0(1257)	69
B12	2,550	CO15/21	-41,65	18,45	0	337			0	1257	4x20,0(1257)	69
B12	3,060	CO15/21	-18,67	21,20	0	337			0	1257	4x20,0(1257)	69
B13	0,000	CO15/21	-18,67	21,20	0	337			0	1257	4x20,0(1257)	69
B13	0,860	CO15/21	-1,09	22,45	0	337			0	1257	4x20,0(1257)	69
B13	1,720	CO15/21	17,21	10,43	0	337			0	1257	4x20,0(1257)	69
B13	2,580	CO2/24	24,36	-7,21	0	337			0	1257	4x20,0(1257)	69
B14	0,000	CO5/31	-61,15	68,04	0	535	0	0	0	3142	10x20,0(3142)	69
B14	0,927	CO1/29	-29,08	-17,07	0	535	0	0	0	3142	10x20,0(3142)	69
B15	0,000	CO14/26	-125,30	-36,93	0	535	0	0	0	3142	10x20,0(3142)	69
B15	0,930	CO15/21	-254,99	49,15	0	535	0	0	0	3142	10x20,0(3142)	69
B16	0,000	CO15/21	-32,32	-5,22	0	175	0	0	0	3142	10x20,0(3142)	69
B16	0,561	CO1/1	-0,64	-4,33	0	175	0	0	0	3142	10x20,0(3142)	69
B16	1,122	CO7/28	114,24	0,05	0	175	0	0	0	3142	10x20,0(3142)	69
B16	1,683	CO7/28	150,52	0,50	0	175	0	0	0	3142	10x20,0(3142)	69
B16	2,244	CO7/28	186,80	0,87	0	175	0	0	0	3142	10x20,0(3142)	69
B17	0,000	CO1/1	56,63	-8,05	0	175	0	0	0	3142	10x20,0(3142)	69
B17	0,562	CO4/25	53,87	-4,25	0	175	0	0	0	3142	10x20,0(3142)	69
B17	1,125	CO15/21	98,42	6,18	0	175	0	0	0	3142	10x20,0(3142)	69
B17	1,687	CO15/21	86,52	8,36	0	175	0	0	0	3142	10x20,0(3142)	69
B17	2,249	CO15/21	74,62	10,17	0	175	0	0	0	3142	10x20,0(3142)	69

Vysvětlivky symbolů	
$N_d$	Návrhová normálová síla
$M_{yd}$	Návrhový ohybový moment Myd
$x_u$	Výška tlačené oblasti
$d$	Učinná výška průřezu
$A_{s,b}$	Teoretická plocha výztuže navržená na ohybový moment a normálovou sílu

Vysvětlivky symbolů	
$A_{s,t}$	Teoretická plocha výztuže navržená na krouticí moment u spodního/horního okraje
$A_{s,req}$	Nutná průřezová plocha výztuže
$A_{s,user}$	Průřezová plocha výztuže zadaná uživatelem
W/E	Chybová hlášení a upozornění vzniklá při výpočtu

#### Konstrukční výztuž pro vybrané prvky

Prvek	$d_x$ [m]	Stav	$T_{Ed}$ [kNm]	$A_k$ [mm <sup>2</sup> ]	$u_k$ [mm]	$A_{s,tors}$ [mm <sup>2</sup> ]	$A_{s,det}$ [mm <sup>2</sup> ]	Výztuž[ks]	W/E
B1	0,000	CO6/33	-5,26	455625	2700	0	0	(0)	221
B1	0,000	CO1/24	-5,29	455625	2700	0	0	(0)	221
B1	0,486	CO6/33	2,68	455625	2700	0	0	(0)	221
B1	0,486	CO1/24	-3,95	455625	2700	0	0	(0)	221
B1	0,971	CO6/33	10,62	455625	2700	0	0	(0)	221
B1	0,971	CO25	-0,82	455625	2700	0	0	(0)	221
B1	1,457	CO4/34	4,76	455625	2700	0	0	(0)	221
B1	1,457	CO25	12,84	455625	2700	0	0	(0)	221
B1	1,943	CO4/34	9,49	455625	2700	0	0	(0)	221
B1	1,943	CO25	19,07	455625	2700	0	0	(0)	221
B1	2,428	CO4/34	16,13	455625	2700	0	0	(0)	221
B1	2,428	CO25	25,23	455625	2700	0	0	(0)	221
B1	2,914	CO4/34	22,77	455625	2700	0	0	(0)	221

Prvek	$d_k$ [m]	Stav	$T_{Ed}$ [kNm]	$A_k$ [mm <sup>2</sup> ]	$u_k$ [mm]	$A_{s,tors}$ [mm <sup>2</sup> ]	$A_{s,det}$ [mm <sup>2</sup> ]	Výztuž[ks]	W/E
B1	2,914	CO25	15,62	455625	2700	0	0	(0)	221
B1	3,400	CO5	57,43	455625	2700	0	0	(0)	221
B1	3,400	CO25	20,29	455625	2700	0	0	(0)	221
B1	3,885	CO5	76,27	455625	2700	0	0	(0)	221
B1	3,885	CO25	24,95	455625	2700	0	0	(0)	221
B1	4,371	CO5	95,22	455625	2700	0	0	(0)	221
B1	4,371	CO25	29,22	455625	2700	0	0	(0)	221
B1	4,857	CO5	114,17	455625	2700	0	0	(0)	221
B1	4,857	CO25	42,42	455625	2700	0	0	(0)	221
B1	5,342	CO5	110,24	455625	2700	0	0	(0)	221
B1	5,342	CO25	46,73	455625	2700	0	0	(0)	221
B1	5,828	CO5	121,63	455625	2700	0	0	(0)	221
B1	5,828	CO25	46,43	455625	2700	0	0	(0)	221
B1	6,314	CO15/27	43,24	455625	2700	0	0	(0)	221
B1	6,314	CO25	44,93	455625	2700	0	0	(0)	221
B1	6,799	CO15/27	46,64	455625	2700	0	0	(0)	221
B1	6,799	CO7	40,22	455625	2700	0	0	(0)	221
B1	7,285	CO5	129,93	455625	2700	0	0	(0)	221
B1	7,285	CO7	41,41	455625	2700	0	0	(0)	221
B1	7,771	CO5	143,42	455625	2700	0	0	(0)	221
B1	7,771	CO7	42,59	455625	2700	0	0	(0)	221
B1	8,256	CO5	141,46	455625	2700	0	0	(0)	221
B1	8,256	CO7	42,54	455625	2700	0	0	(0)	221
B1	8,742	CO5	139,49	455625	2700	0	0	(0)	221
B1	8,742	CO7	42,50	455625	2700	0	0	(0)	221
B2	0,000	CO5	5,52	455625	2700	0	0	(0)	221
B2	0,000	CO1	1,53	455625	2700	0	0	(0)	221
B2	0,485	CO5	14,40	455625	2700	0	0	(0)	221
B2	0,485	CO1	2,16	455625	2700	0	0	(0)	221
B2	0,971	CO5	23,28	455625	2700	0	0	(0)	221
B2	0,971	CO1	2,79	455625	2700	0	0	(0)	221
B2	1,456	CO4/34	-1,33	455625	2700	0	0	(0)	221
B2	1,456	CO25	-32,01	455625	2700	0	0	(0)	221
B2	1,941	CO4/34	-2,51	455625	2700	0	0	(0)	221
B2	1,941	CO25	-40,04	455625	2700	0	0	(0)	221
B2	2,427	CO4/34	-4,91	455625	2700	0	0	(0)	221
B2	2,427	CO25	-44,84	455625	2700	0	0	(0)	221
B2	2,912	CO1/4	0,52	455625	2700	0	0	(0)	221
B2	2,912	CO25	-49,64	455625	2700	0	0	(0)	221
B2	3,398	CO1/4	-0,78	455625	2700	0	0	(0)	221
B2	3,398	CO25	-58,43	455625	2700	0	0	(0)	221
B2	3,883	CO2/30	45,68	455625	2700	0	0	(0)	221
B2	3,883	CO25	-6,19	455625	2700	0	0	(0)	221
B2	4,368	CO2/30	24,74	455625	2700	0	0	(0)	221
B2	4,368	CO25	-8,49	455625	2700	0	0	(0)	221
B2	4,854	CO2/30	3,80	455625	2700	0	0	(0)	221
B2	4,854	CO25	-10,78	455625	2700	0	0	(0)	221
B2	5,339	CO1/5	-3,84	455625	2700	0	0	(0)	221
B2	5,339	CO25	-91,28	455625	2700	0	0	(0)	221
B2	5,824	CO1/24	-10,38	455625	2700	0	0	(0)	221
B2	5,824	CO25	-99,60	455625	2700	0	0	(0)	221
B2	6,310	CO7	-16,76	455625	2700	0	0	(0)	221
B2	6,310	CO25	-103,22	455625	2700	0	0	(0)	221
B2	6,795	CO3	-138,97	455625	2700	0	0	(0)	221
B2	6,795	CO15/27	12,33	455625	2700	0	0	(0)	221
B2	7,280	CO3	-139,47	455625	2700	0	0	(0)	221
B2	7,280	CO15/27	15,27	455625	2700	0	0	(0)	221
B2	7,766	CO3	-139,98	455625	2700	0	0	(0)	221
B2	7,766	CO15/27	18,21	455625	2700	0	0	(0)	221
B2	8,251	CO3	-136,64	455625	2700	0	0	(0)	221
B2	8,251	CO15/27	21,80	455625	2700	0	0	(0)	221
B2	8,737	CO3	-133,31	455625	2700	0	0	(0)	221
B2	8,737	CO15/27	25,38	455625	2700	0	0	(0)	221
B3	0,000	CO1/27	-2,70	38500	1240	0	0	(0)	221
B3	0,000	CO2	-4,19	38500	1240	0	0	(0)	221
B3	0,486	CO6	-4,32	38500	1240	0	0	(0)	221

Prvek	$d_k$ [m]	Stav	$T_{Ed}$ [kNm]	$A_k$ [mm <sup>2</sup> ]	$u_k$ [mm]	$A_{s,tors}$ [mm <sup>2</sup> ]	$A_{s,det}$ [mm <sup>2</sup> ]	Výztuž[ks]	W/E
B3	0,486	CO2	-4,19	38500	1240	0	0	(0)	221
B3	0,971	CO7/4	-4,86	38500	1240	0	0	(0)	221
B3	0,971	CO5	-2,95	38500	1240	0	0	(0)	221
B3	1,214	CO7/4	-4,86	38500	1240	0	0	(0)	221
B3	1,214	CO1/27	-2,70	38500	1240	0	0	(0)	221
B3	1,214	CO7/4	-4,86	38500	1240	0	0	(0)	221
B3	1,214	CO1/27	-2,70	38500	1240	0	0	(0)	221
B3	1,457	CO14/7	-5,62	38500	1240	0	0	(0)	221
B3	1,457	CO1/27	-2,70	38500	1240	0	0	(0)	221
B3	1,942	CO14/7	-5,62	38500	1240	0	0	(0)	221
B3	1,942	CO1/27	-2,70	38500	1240	0	0	(0)	221
B3	2,428	CO14/7	-5,62	38500	1240	0	0	(0)	221
B3	2,428	CO1/27	-2,70	38500	1240	0	0	(0)	221
B4	0,000	CO3/29	2,30	38500	1240	0	0	(0)	221
B4	0,000	CO1/27	3,11	38500	1240	0	0	(0)	221
B4	0,487	CO3/29	2,30	38500	1240	0	0	(0)	221
B4	0,487	CO1/27	3,11	38500	1240	0	0	(0)	221
B4	0,974	CO3/29	2,30	38500	1240	0	0	(0)	221
B4	0,974	CO15/1	6,58	38500	1240	0	0	(0)	221
B4	1,217	CO3/29	2,30	38500	1240	0	0	(0)	221
B4	1,217	CO15/1	6,58	38500	1240	0	0	(0)	221
B4	1,217	CO3/29	2,30	38500	1240	0	0	(0)	221
B4	1,217	CO15/1	6,58	38500	1240	0	0	(0)	221
B4	1,460	CO3/30	1,95	38500	1240	0	0	(0)	221
B4	1,460	CO15/1	6,58	38500	1240	0	0	(0)	221
B4	1,947	CO5	2,74	38500	1240	0	0	(0)	221
B4	1,947	CO15/1	6,58	38500	1240	0	0	(0)	221
B4	2,434	CO5	2,74	38500	1240	0	0	(0)	221
B4	2,434	CO15/1	6,58	38500	1240	0	0	(0)	221
B14	0,000	CO5	-30,98	229400	1923	0	0	(0)	221
B14	0,000	CO6/29	-16,64	229400	1923	0	0	(0)	221
B14	0,927	CO1	-18,62	229400	1923	0	0	(0)	221
B14	0,927	CO2/30	-31,26	229400	1923	0	0	(0)	221
B15	0,000	CO14	8,77	188975	1741	0	0	(0)	221
B15	0,000	CO6/33	12,85	188975	1741	0	0	(0)	221
B15	0,930	CO15/27	1,59	188975	1741	0	0	(0)	221
B15	0,930	CO1	4,08	188975	1741	0	0	(0)	221
B16	0,000	CO15/27	-7,19	60500	1320	0	0	(0)	221
B16	0,000	CO7	-13,69	60500	1320	0	0	(0)	221
B16	0,561	CO1/4	-7,36	60500	1320	0	0	(0)	221
B16	1,122	CO7	-9,24	60500	1320	0	0	(0)	221
B16	1,122	CO14	-10,23	60500	1320	0	0	(0)	221
B16	1,683	CO7	-7,01	60500	1320	0	0	(0)	221
B16	1,683	CO14	-10,31	60500	1320	0	0	(0)	221
B16	2,244	CO7	-4,78	60500	1320	0	0	(0)	221
B16	2,244	CO14	-10,39	60500	1320	0	0	(0)	221
B17	0,000	CO1/4	13,70	60500	1320	0	0	(0)	221
B17	0,000	CO15/27	32,42	60500	1320	0	0	(0)	221
B17	0,562	CO4	9,49	60500	1320	0	0	(0)	221
B17	0,562	CO15/27	21,56	60500	1320	0	0	(0)	221
B17	1,125	CO15/27	10,69	60500	1320	0	0	(0)	221
B17	1,125	CO2	4,56	60500	1320	0	0	(0)	221
B17	1,687	CO15/27	-0,17	60500	1320	0	0	(0)	221
B17	1,687	CO2	0,63	60500	1320	0	0	(0)	221
B17	2,249	CO15/27	-11,04	60500	1320	0	0	(0)	221
B17	2,249	CO2	-3,30	60500	1320	0	0	(0)	221

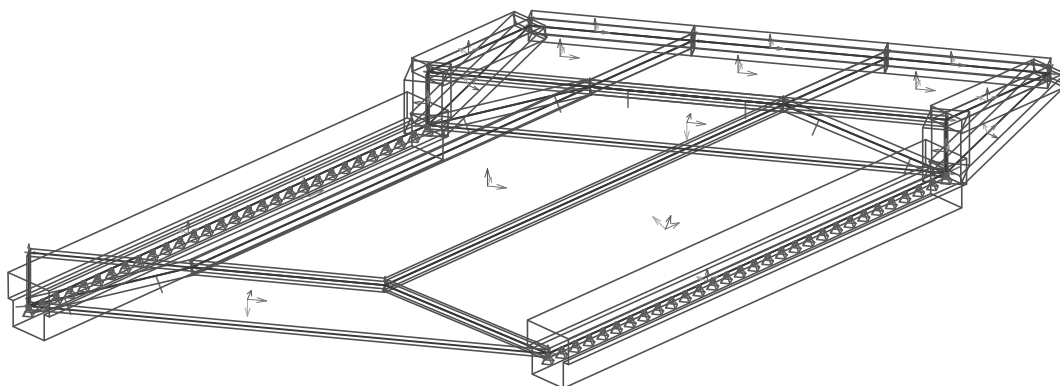
#### Vysvětlivky symbolů

$T_{Ed}$	Krouticí moment
$A_k$	Plocha ohranižená střednicemi spojujících stěn
$u_k$	Obvod plochy $A_k$

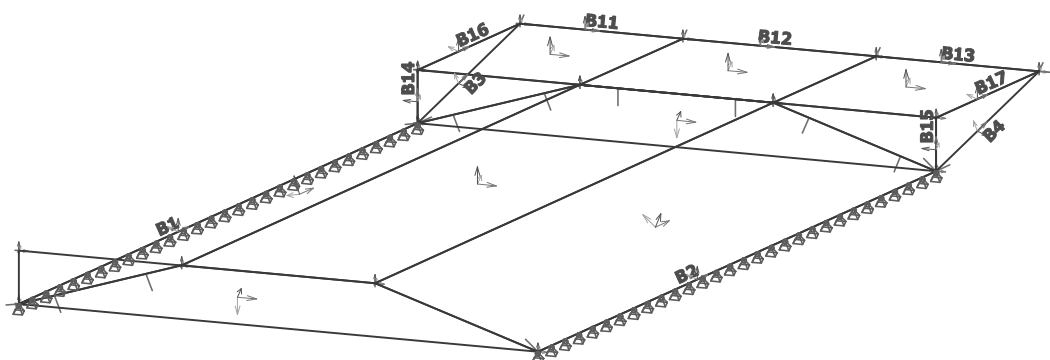
#### Vysvětlivky symbolů

$A_{s,tors}$	Teoretická plocha výztuže navržená na krouticí moment
$A_{s,det}$	Teoretická konstrukční výztuž
W/E	Chybová hlášení a upozornění vzniklá při výpočtu

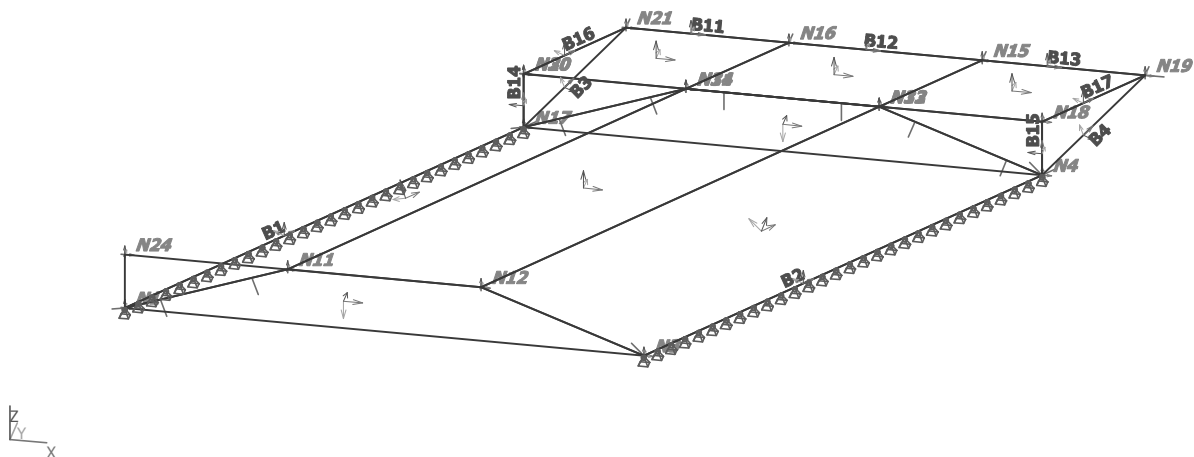
## 67. LC1



## 68. LC1



## 69. LC1



## 70. Deformace na prutu

Lineární výpočet, Extrém : Průřez, Systém : Hlavní  
Výběr : Vše  
Třída : Všechny MSP

Prvek	dx [m]	Stav	ux [mm]	uy [mm]	uz [mm]	fix [mrad]	fiy [mrad]	fiz [mrad]	Výslednice [mm]
B1	0,000	CO8/13	0,0	0,0	0,0	0,2	0,0	0,0	0,0
B2	0,485	CO12/11	0,0	0,0	0,0	-0,3	0,0	0,0	0,0
B2	8,251	CO10/8	0,0	0,0	0,0	-0,5	0,0	0,0	0,0
B1	8,256	CO12/11	0,0	0,0	0,0	0,1	0,0	0,0	0,0
B2	8,251	CO11/9	0,0	0,0	0,0	-0,2	0,0	0,0	0,0
B2	0,000	CO13/10	0,0	0,0	0,0	-0,9	0,0	0,0	0,0
B1	0,971	CO12/11	0,0	0,0	0,0	0,4	0,0	0,0	0,0
B1	8,742	CO12/11	0,0	0,0	0,0	0,1	0,0	0,0	0,0
B2	8,737	CO11/9	0,0	0,0	0,0	-0,2	0,0	0,0	0,0
B2	0,000	CO12/11	0,0	0,0	0,0	-0,3	0,0	0,0	0,0
B3	2,428	CO9/12	-0,1	-0,3	-0,2	0,4	-0,1	-0,3	0,4
B3	2,428	CO13/10	-0,1	-0,4	-0,2	0,3	-0,1	-0,3	0,5
B4	2,434	CO10/8	0,0	-0,2	-0,3	-0,7	0,2	0,0	0,4
B3	2,428	CO8/18	-0,1	-0,3	-0,1	0,4	-0,1	-0,2	0,3
B3	0,000	CO12/11	0,0	0,0	0,0	0,1	0,0	0,0	0,0
B13	1,720	CO10/8	-0,2	0,2	-0,8	-0,6	-0,6	0,0	0,8
B12	2,550	CO10/8	-0,2	0,3	-1,9	-0,7	-0,3	0,0	1,9
B12	1,530	CO10/8	-0,2	0,3	-2,0	-0,7	0,0	0,0	2,0
B12	2,040	CO11/9	-0,1	0,2	-1,7	-0,8	-0,1	0,0	1,7
B11	0,000	CO8/18	-0,1	0,1	-0,3	0,0	0,5	0,1	0,3
B11	0,860	CO9/12	-0,1	0,1	-0,8	-0,2	0,6	0,0	0,8
B13	2,580	CO10/8	-0,2	0,2	-0,2	-0,4	-0,6	-0,1	0,4
B11	0,000	CO9/12	-0,1	0,1	-0,3	0,0	0,5	0,1	0,4
B15	0,930	CO10/8	0,0	0,3	0,3	0,0	-0,4	0,3	0,4
B14	0,927	CO10/15	0,0	0,1	0,1	0,0	-0,1	0,1	0,1
B14	0,927	CO12/11	0,0	0,0	0,0	0,1	0,0	0,0	0,0
B14	0,927	CO8/18	0,0	0,0	0,0	0,1	0,1	0,0	0,1
B15	0,000	CO10/8	0,0	0,0	0,0	0,0	-0,4	0,3	0,0
B14	0,000	CO12/11	0,0	0,0	0,0	0,0	0,1	-0,1	0,0
B16	0,000	CO12/19	0,0	0,0	0,0	0,0	0,0	0,1	0,0
B17	2,249	CO11/9	0,1	0,2	-0,3	-0,6	0,1	0,0	0,4
B16	0,000	CO8/18	0,0	-0,1	0,0	0,1	0,0	0,1	0,1
B17	0,000	CO10/8	0,0	0,4	0,0	-0,5	0,0	0,0	0,4
B16	2,244	CO13/10	0,1	0,2	-0,4	0,3	0,3	0,1	0,5
B16	0,000	CO10/15	0,0	0,1	0,0	-0,1	0,1	0,0	0,1

Prvek	dx [m]	Stav	ux [mm]	uy [mm]	uz [mm]	fix [mrad]	fiy [mrad]	fiz [mrad]	Výslednice [mm]
B17	2,249	CO10/8	0,1	0,3	-0,2	-0,7	0,0	-0,1	0,4
B16	2,244	CO8/18	0,0	0,1	-0,3	0,4	0,2	0,1	0,3
B16	0,561	CO9/12	0,0	0,1	0,0	0,1	0,1	0,1	0,1

## 71. Přemístění uzlů

Lineární výpočet, Extrém : Prvek

Výběr : Vše

Třída : Všechny MSP

Prvek	Stav	Uzel	Ux [mm]	Uy [mm]	Uz [mm]	Fix [mrad]	Fiy [mrad]	Fiz [mrad]
S1	Všechny MSP	N13	-0,2	0,1	-0,9	-0,4	-0,2	0,0
S1	Všechny MSP	N11	0,2	0,0	-0,2	0,1	0,1	0,0
S1	Všechny MSP	N11	0,0	-0,2	-0,7	0,0	0,0	0,0
S1	Všechny MSP	N13	-0,1	0,2	-0,4	-0,2	-0,1	0,0
S1	Všechny MSP	39	-0,2	0,1	-0,9	-0,4	-0,1	0,0
S1	Všechny MSP	25	0,0	0,1	<b>0,3</b>	0,2	0,3	0,1
S1	Všechny MSP	22	0,0	0,1	0,0	<b>0,4</b>	0,5	0,1
S1	Všechny MSP	92	-0,1	-0,1	-0,7	0,0	-0,4	0,0
S1	Všechny MSP	30	0,0	0,2	-0,1	0,1	0,5	0,0
S1	Všechny MSP	33	-0,1	0,0	-0,5	-0,2	0,1	0,0
S1	Všechny MSP	21	0,0	0,1	0,2	0,3	0,2	0,1
S2	Všechny MSP	44	-0,2	0,1	-1,2	-0,7	-0,2	0,0
S2	Všechny MSP	N14	0,0	0,2	-0,4	-0,1	0,3	0,0
S2	Všechny MSP	N14	-0,1	0,1	-0,7	-0,3	0,1	0,0
S2	Všechny MSP	N15	-0,1	<b>0,3</b>	-1,3	-0,6	-0,3	0,0
S2	Všechny MSP	46	-0,2	0,1	<b>-2,0</b>	-0,7	0,1	0,0
S2	Všechny MSP	47	-0,2	0,1	-2,0	<b>-0,8</b>	-0,2	0,0
S2	Všechny MSP	N15	-0,2	0,2	-1,7	-0,7	-0,4	0,0
S2	Všechny MSP	N16	-0,1	0,2	-1,4	-0,5	0,3	0,0
S2	Všechny MSP	N13	-0,1	0,2	-0,4	-0,2	-0,1	0,0
S3	Všechny MSP	25	-0,1	0,0	-0,2	0,0	-0,1	0,0
S3	Všechny MSP	N11	0,2	0,0	-0,2	0,1	0,1	0,0
S3	Všechny MSP	N11	0,0	-0,2	-0,7	0,0	0,0	0,0
S3	Všechny MSP	N14	0,0	0,2	-0,4	-0,1	0,3	0,0
S3	Všechny MSP	40	0,0	-0,2	-0,7	0,0	0,0	0,0
S3	Všechny MSP	25	0,0	0,1	0,3	0,2	0,3	0,1
S3	Všechny MSP	N14	-0,1	0,1	-0,7	-0,3	0,1	0,0
S3	Všechny MSP	61	0,1	0,0	0,1	0,3	0,4	0,0
S3	Všechny MSP	67	-0,1	0,0	-0,2	-0,1	-0,2	0,0
S3	Všechny MSP	58	0,1	0,0	0,0	0,3	0,4	0,0
S3	Všechny MSP	78	-0,1	0,0	-0,4	-0,3	0,1	0,0
S3	Všechny MSP	66	0,1	0,1	0,2	0,2	0,0	0,1
S4	Všechny MSP	N16	-0,2	0,1	-1,8	-0,6	0,3	0,0
S4	Všechny MSP	N20	0,0	0,1	0,0	0,0	0,1	0,1
S4	Všechny MSP	N20	-0,1	0,0	0,0	-0,1	-0,1	0,0
S4	Všechny MSP	N16	-0,1	0,2	-1,4	-0,5	0,3	0,0
S4	Všechny MSP	79	0,0	0,1	-0,1	0,0	0,3	0,1
S4	Všechny MSP	86	0,0	0,2	-0,7	-0,1	<b>0,6</b>	0,0
S4	Všechny MSP	83	-0,1	0,0	-0,4	-0,3	0,1	0,0
S4	Všechny MSP	N21	0,0	0,2	-0,2	0,0	0,5	0,1
S5	Všechny MSP	103	-0,2	0,1	-0,9	-0,2	-0,1	0,0
S5	Všechny MSP	88	0,1	0,1	-0,2	0,2	0,0	0,1
S5	Všechny MSP	N12	0,0	-0,1	-0,7	-0,1	-0,2	0,0
S5	Všechny MSP	N13	-0,1	0,2	-0,4	-0,2	-0,1	0,0
S5	Všechny MSP	N13	-0,2	0,1	-0,9	-0,4	-0,2	0,0
S5	Všechny MSP	N3	0,0	0,0	0,0	-0,5	<b>-0,7</b>	0,0
S5	Všechny MSP	24	0,0	0,2	-0,2	0,2	0,2	0,1
S5	Všechny MSP	117	0,0	0,2	-0,1	0,0	0,3	0,0
S5	Všechny MSP	112	-0,2	0,1	-0,7	-0,2	-0,3	-0,1
S6	Všechny MSP	N18	<b>-0,3</b>	0,2	0,0	-0,3	-0,4	0,0
S6	Všechny MSP	N13	-0,1	0,2	-0,4	-0,2	-0,1	0,0
S6	Všechny MSP	N13	-0,2	0,1	-0,9	-0,4	-0,2	0,0
S6	Všechny MSP	N15	-0,1	0,3	-1,3	-0,6	-0,3	0,0
S6	Všechny MSP	N15	-0,2	0,2	-1,7	-0,7	-0,4	0,0

Prvek	Stav	Uzel	Ux [mm]	Uy [mm]	Uz [mm]	Fix [mrad]	Fiy [mrad]	Fiz [mrad]
S6	Všechny MSP	N18	-0,1	0,3	0,0	-0,2	-0,1	0,0
S6	Všechny MSP	125	-0,2	0,2	-0,8	-0,6	-0,6	0,0
S6	Všechny MSP	N19	-0,2	0,2	-0,3	-0,4	-0,6	-0,1
S7	Všechny MSP	131	-0,1	-0,1	-0,7	-0,1	-0,2	-0,1
S7	Všechny MSP	N24	<b>0,3</b>	0,0	0,0	0,2	0,3	0,0
S7	Všechny MSP	130	-0,1	-0,2	-0,7	0,0	-0,1	-0,1
S7	Všechny MSP	130	0,2	0,1	-0,3	0,1	0,1	0,0
S7	Všechny MSP	37	0,0	-0,1	-0,8	-0,1	0,0	0,0
S7	Všechny MSP	N3	0,0	0,0	0,0	-0,5	-0,7	0,0
S7	Všechny MSP	N1	0,0	0,0	0,0	0,2	0,4	0,0
S7	Všechny MSP	128	-0,1	-0,1	-0,6	0,0	0,0	-0,1
S7	Všechny MSP	131	0,2	0,1	-0,2	0,0	0,1	<b>0,2</b>
S8	Všechny MSP	N18	-0,3	0,2	0,0	-0,3	-0,4	0,0
S8	Všechny MSP	147	0,1	0,2	-0,1	0,0	0,4	0,1
S8	Všechny MSP	140	-0,3	<b>-0,2</b>	-0,9	-0,4	0,0	-0,1
S8	Všechny MSP	120	-0,1	0,3	-0,2	-0,3	-0,2	0,0
S8	Všechny MSP	39	-0,2	0,1	-0,9	-0,4	-0,1	0,0
S8	Všechny MSP	N30	0,1	0,1	0,0	0,0	0,2	0,1
S8	Všechny MSP	N17	0,0	0,0	0,0	0,1	0,1	0,0
S8	Všechny MSP	120	-0,3	0,2	-0,4	-0,4	-0,4	0,0
S8	Všechny MSP	138	-0,3	-0,1	-0,5	-0,3	0,2	<b>-0,1</b>
S8	Všechny MSP	142	0,0	0,0	-0,4	-0,2	-0,1	0,1

## 72. Souhrnný posudek EN 1992-1-1

Lineární výpočet, Extrém : Prvek

Výběr : Vše

Třída : Všechny MSU

### Souhrnný posudek pro vybrané dílce

Prvek	d <sub>x</sub> [m]	Stav	Typ výztuže	Návrh <sub>MSÚ</sub>	Posudek <sub>MSÚ</sub>	Posudek <sub>trhlina</sub>	Posudek <sub>konstr</sub>	Posouzení <sub>vyp</sub>	Posudek
				Návrh <sub>vyp,MSÚ</sub> [-]	Posudek <sub>vyp,MSÚ</sub> [-]	Posudek <sub>vyp,trhlina</sub> [-]	Posudek <sub>vyp,konstr</sub> [-]	Posouzení <sub>lim</sub> [-]	W/E
B1	0,000	Všechny MSU	Celkem	vyhovuje 0,00	VYP	VYP	VYP	0,00 1,00	vyhovuje 69
B2	0,000	Všechny MSU	Celkem	vyhovuje 0,00	VYP	VYP	VYP	0,00 1,00	vyhovuje 69
B3	0,000	Všechny MSU	Celkem	vyhovuje 0,00	VYP	VYP	VYP	0,00 1,00	vyhovuje 69
B4	0,000	Všechny MSU	Celkem	vyhovuje 0,00	VYP	VYP	VYP	0,00 1,00	vyhovuje 69
B11	0,000	Všechny MSU	Celkem	vyhovuje 0,00	VYP	VYP	VYP	0,00 1,00	vyhovuje 69
B12	0,000	Všechny MSU	Celkem	vyhovuje 0,00	VYP	VYP	VYP	0,00 1,00	vyhovuje 69
B13	0,000	Všechny MSU	Celkem	vyhovuje 0,00	VYP	VYP	VYP	0,00 1,00	vyhovuje 69
B14	0,000	Všechny MSU	Celkem	vyhovuje 0,00	VYP	VYP	VYP	0,00 1,00	vyhovuje 69
B15	0,000	Všechny MSU	Celkem	vyhovuje 0,00	VYP	VYP	VYP	0,00 1,00	vyhovuje 69
B16	0,000	Všechny MSU	Celkem	vyhovuje 0,00	VYP	VYP	VYP	0,00 1,00	vyhovuje 69
B17	0,000	Všechny MSU	Celkem	vyhovuje 0,00	VYP	VYP	VYP	0,00 1,00	vyhovuje 69

#### Vysvětlivky symbolů

Typ výztuže	Typ výztuže použitý pro posudek
Návrh <sub>MSÚ</sub>	Návrhová výztuž pro MSÚ
Návrh <sub>vyp,MSÚ</sub>	Poměr přídatné a nutné výztuže As,příd/As,nut
Posudek <sub>MSÚ</sub>	Posudek pro MSÚ
Posudek <sub>vyp,MSÚ</sub>	Maximální hodnota jednotkového posudku pro všechny posudky MSÚ
Posudek <sub>trhlina</sub>	Posudek šířky trhlín

#### Vysvětlivky symbolů

Posudek <sub>vyp,trhlina</sub>	maximální hodnota jednotkového posudku pro posudek šířky trhlín
Posudek <sub>konstr</sub>	Posouzení konstrukčních zásad
Posudek <sub>vyp,konstr</sub>	Maximální hodnota jednotkového posudku pro všechny vybrané konstrukční zásady
Posouzení <sub>vyp</sub>	Vypočtená hodnota posouzení
Posouzení <sub>lim</sub>	Limitní hodnota posouzení

#### Vysvětlivky symbolů

W/E	Chybová hlášení a upozornění vzniklá při výpočtu
-----	--------------------------------------------------

#### Vysvětlivky k varování a k chybám

69	Průřez je dostatečně vyztužen základní výztuží, není navržena žádná přidavná výztuž
----	-------------------------------------------------------------------------------------

## 73. Plochy - šířka trhlin

Lineární výpočet, Extrém : Prvek

Výběr : Vše

Třída : Všechny MSP

#### Šířka trhliny u horního povrchu pro vybrané 2D dílce

Prvek	Stav	$n_{1+}$ [kN]	$m_{1+}$ [kNm]	$A_{s,1+}$ [mm <sup>2</sup> ]	$\sigma_{s,1+}$ [MPa]	$s_{r,max,1+}$ [mm]	$(\epsilon_{sm} - \epsilon_{cm})_{,1+}$ [1e-4]	$w_{1+}$ [mm]	$w_{lim,1+}$ [mm]	Posudek <sub>cal,1+</sub> [-]	Posudek <sub>1+</sub>	W/E <sub>1+</sub>
prvek	Typ výztuže	$n_{2+}$ [kN]	$m_{2+}$ [kNm]	$A_{s,2+}$ [mm <sup>2</sup> ]	$\sigma_{s,2+}$ [MPa]	$\sigma_{s,2+}$ [MPa]	$(\epsilon_{sm} - \epsilon_{cm})_{,2+}$ [1e-4]	$w_{2+}$ [mm]	$w_{lim,2+}$ [mm]	Posudek <sub>cal,2+</sub> [-]	Posudek <sub>2+</sub>	W/E <sub>2+</sub>
S1	Všechny MSP	-10,61	7,38	2597	0,0	0	0,0	0,000	0,300	0,00	OK	12
1	Uživatelská výztuž	-336,02	7,52	3686	0,0	0,0	0,0	0,000	0,300	0,00	OK	12
S2	Všechny MSP	27,00	-10,24	2744	0,0	0	0,0	0,000	0,300	0,00	OK	12
55	Uživatelská výztuž	-161,07	4,86	3540	0,0	0,0	0,0	0,000	0,300	0,00	OK	12
S3	Všechny MSP	8,92	3,06	8058	0,0	0	0,0	0,000	0,300	0,00	OK	12
67	Uživatelská výztuž	-141,69	1,63	2414	0,0	0,0	0,0	0,000	0,300	0,00	OK	12
S4	Všechny MSP	-88,22	-6,91	4556	0,0	0	0,0	0,000	0,300	0,00	OK	12
94	Uživatelská výztuž	40,06	2,26	1727	0,0	0,0	0,0	0,000	0,300	0,00	OK	12
S5	Všechny MSP	-26,40	6,22	4871	0,0	0	0,0	0,000	0,300	0,00	OK	12
106	Uživatelská výztuž	-247,35	7,14	1412	0,0	0,0	0,0	0,000	0,300	0,00	OK	12
S6	Všechny MSP	19,20	-13,11	4006	0,0	0	0,0	0,000	0,300	0,00	OK	12
133	Uživatelská výztuž	-198,01	5,51	6466	0,0	0,0	0,0	0,000	0,300	0,00	OK	12
S7	Všechny MSP	34,47	-3,98	5236	0,0	0	0,0	0,000	0,300	0,00	OK	12
145	Uživatelská výztuž	-88,20	1,40	5236	0,0	0,0	0,0	0,000	0,300	0,00	OK	12
S8	Všechny MSP	-44,29	-3,39	3142	0,0	0	0,0	0,000	0,300	0,00	OK	12
157	Uživatelská výztuž	-851,70	-0,61	3142	0,0	0,0	0,0	0,000	0,300	0,00	OK	12

#### Vysvětlivky symbolů

Typ výztuže	Typ výztuže použitý pro posudek
$n_{1+}$	Návrhová normálová síla ve směru hlavního napětí
$n_{2+}$	Návrhová normálová síla ve směru hlavního napětí
$m_{1+}$	Návrhový ohybový moment ve směru hlavního napětí
$m_{2+}$	Návrhový ohybový moment ve směru hlavního napětí
$A_{s,1+}$	Plocha výztuže
$A_{s,2+}$	Plocha výztuže
$\sigma_{s,1+}$	Napětí v tažené výztuži předpokládající řez s tržlinami
$\sigma_{s,2+}$	Napětí v tažené výztuži předpokládající řez s tržlinami
$s_{r,max,1+}$	Maximální vzdálenost tržlin
$(\epsilon_{sm} - \epsilon_{cm})_{,1+}$	Průměrné poměrné přetvoření výztuže-Průměrné poměrné přetvoření betonu mezi tržlinami

#### Vysvětlivky symbolů

$(\epsilon_{sm} - \epsilon_{cm})_{,2+}$	Průměrné poměrné přetvoření výztuže-Průměrné poměrné přetvoření betonu mezi tržlinami
$w_{1+}$	Vypočtená hodnota šířky tržlin
$w_{2+}$	Vypočtená hodnota šířky tržlin
$w_{lim,1+}$	Limitní hodnota šířky tržlin
$w_{lim,2+}$	Limitní hodnota šířky tržlin
Posudek <sub>cal,1+</sub>	Hodnota posudku
Posudek <sub>cal,2+</sub>	Hodnota posudku
Posudek <sub>1+</sub>	Výsledek posudku (OK/NE OK)
Posudek <sub>2+</sub>	Výsledek posudku (OK/NE OK)
W/E <sub>1+</sub>	Číslo odkazující na seznam typických chyb
W/E <sub>2+</sub>	Číslo odkazující na seznam typických chyb

#### Vysvětlivky k varování a k chybám

12	Tržliny nebyly zjištěny.
----	--------------------------

## 74. Plochy - Posudek trhlinek - nutné plochy

Lineární výpočet, Extrém : Globální

Výběr : Vše

Třída : Vše MSÚ+MSP

Nutná výztuž



## Nutná plocha pro vybrané 2D prvky

Prvek	prvek	Stav	$A_{r1-}$ [mm <sup>2</sup> /m]	$A_{r2-}$ [mm <sup>2</sup> /m]	$A_{r1+}$ [mm <sup>2</sup> /m]	$A_{r2+}$ [mm <sup>2</sup> /m]	$A_{sw}$ [mm <sup>2</sup> /m <sup>2</sup> ]
S4	98	Vše MSÚ+MSP	0	0	0	0	1441
S1	1	Vše MSÚ+MSP	1571	1571	1571	1571	0
S8	167	Vše MSÚ+MSP	0	0	0	0	2147

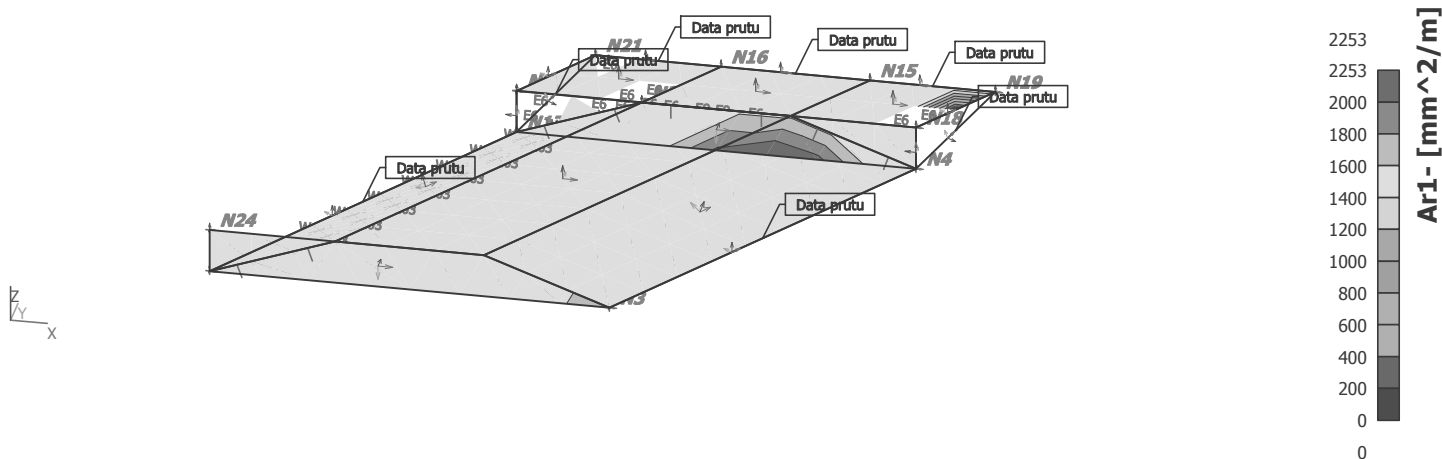
## Vysvětlení chyb a varování

prvek	Stav navrhovatelnosti	E/W <sub>1+</sub>	E/W <sub>2+</sub>	E/W <sub>1-</sub>	E/W <sub>2-</sub>	E/W <sub>s</sub>
5	1	0	0	0	0	200
1	1	0	0	0	0	200
11	1	0	0	0	0	200

## Vysvětlení chyb a varování

Chyba číslo	Popis
1	Výpočet proběhl v pořádku.
200	Smyková výztuž není nutná.

## 75. Plochy - Posudek trhlinek - nutné plochy; Ar1-



## 76. Plochy - návrh - nutné plochy

Lineární výpočet, Extrém : Prvek  
Výběr : Vše  
Třída : Všechny MSU  
Nutná výztuž

## Hlavní spodní výztuž pro vybrané 2D prvky

Prvek	prvek	Stav	n1- [kN/m]	z- [mm]	$\epsilon_{s-}$ [1e-4]	$\sigma_{c-}$ [MPa]	$\sigma_{s1-}$ [MPa]	$A_{s,user1-}$ [mm <sup>2</sup> /m]	$A_{s,add1-}$ [mm <sup>2</sup> /m]	$A_{s,total1-}$ [mm <sup>2</sup> /m]	E/W <sub>1-</sub>
			n2- [kN/m]	x- [mm]	$\epsilon_{c-}$ [1e-4]		$\sigma_{s2-}$ [MPa]	$A_{s,user2-}$ [mm <sup>2</sup> /m]	$A_{s,add2-}$ [mm <sup>2</sup> /m]	$A_{s,total2-}$ [mm <sup>2</sup> /m]	E/W <sub>2-</sub>
S1	2	Všechny MSU	-67,38	167	-26,1	-20,00	-269,51	3142	0	3142	103
			8,19	250	-17,5		31,52	3142	0	3142	103
S1	49	Všechny MSU	-160,63	167	-26,1	-20,00	-642,52	3142	0	3142	155
			296,97	250	-17,5		521,74	3142	0	3142	101
S1	1	Všechny MSU	-94,99	167	-26,1	-20,00	-379,96	3142	0	3142	152
			20,97	250	-17,5		80,63	3142	0	3142	103
S2	62	Všechny MSU	20,15	190	225,0	-20,00	75,61	3142	0	3142	101
			62,05	15	-18,2		232,84	3142	0	3142	101
S2	55	Všechny MSU	58,60	190	225,0	-20,00	219,90	3142	0	3142	101
			82,73	14	-17,9		310,45	3142	0	3142	101
S3	93	Všechny MSU	32,68	186	225,0	-18,09	125,68	5236	0	5236	101
			-79,10	12	-15,8		-316,41	5236	0	5236	152
S3	92	Všechny MSU	-26,71	186	225,0	-15,66	-102,72	5236	0	5236	103
			239,58	11	-13,7		544,91	5236	0	5236	101
S3	67	Všechny MSU	16,12	187	225,0	-12,07	62,02	5236	0	5236	103

Prvek	prvek	Stav	n1- [kN/m]	z- [mm]	$\varepsilon_{s-}$ [1e-4]	$\sigma_c$ [MPa]	$\sigma_{s1-}$ [MPa]	$A_{s,user1-}$ [mm <sup>2</sup> /m]	$A_{s,add1-}$ [mm <sup>2</sup> /m]	$A_{s,total1-}$ [mm <sup>2</sup> /m]	E/W <sub>1-</sub>
			n2- [kN/m]	x- [mm]	$\varepsilon_{c-}$ [1e-4]		$\sigma_{s2-}$ [MPa]	$A_{s,user2-}$ [mm <sup>2</sup> /m]	$A_{s,add2-}$ [mm <sup>2</sup> /m]	$A_{s,total2-}$ [mm <sup>2</sup> /m]	E/W <sub>2-</sub>
			3,14	9	-10,6		12,08	5236	0	5236	103
S4	98	Všechny MSU	111,55	187	-9,7	0,00	429,04	3142	0	0	6
			13,01	0	0,0		50,03	3142	0	0	6
S4	94	Všechny MSU	17,73	187	-11,7	0,00	68,18	3142	0	3142	103
			117,74	0	0,0		452,85	3142	0	3142	101
S5	106	Všechny MSU	1,32	201	-11,9	0,00	4,73	3142	0	3142	101
			45,63	0	0,0		164,03	3142	0	3142	103
S5	106	Všechny MSU	-26,73	201	225,0	-12,46	-106,93	3142	0	3142	103
			44,27	9	-10,9		159,13	3142	0	3142	101
S6	137	Všechny MSU	15,58	183	-27,0	0,00	59,90	5236	0	0	6
			-20,89	0	0,0		0,00	5236	0	0	6
S6	133	Všechny MSU	-23,60	186	-14,8	0,00	-94,39	5236	0	5236	155
			8,78	0	0,0		33,77	5236	0	5236	103
S7	153	Všechny MSU	220,90	130	26,1	0,00	521,74	5236	0	5236	101
			411,35	0	0,0		521,74	5236	0	5236	101
S7	145	Všechny MSU	-23,60	167	-26,1	-20,00	-94,38	5236	0	5236	152
			6,93	250	-17,5		26,64	5236	0	5236	103
S8	166	Všechny MSU	749,93	164	-35,0	0,00	521,74	3142	0	0	6
			366,09	0	0,0		521,74	3142	0	0	6
S8	157	Všechny MSU	-327,37	167	-26,1	-20,00	-1309,47	3142	0	3142	152
			-24,77	250	-17,5		0,00	3142	0	3142	103

#### Vysvětlení chyb a varování

Chyba číslo	Popis
1	Výpočet proběhl v pořádku.
200	Smyková výztuž není nutná.

## 77. Souhrnný posudek EN 1992-1-1

Lineární výpočet, Extrém : Prvek

Výběr : Vše

Třída : Všechny MSU

#### Souhrnný posudek pro vybrané dílce

Prvek	d <sub>x</sub> [m]	Stav	Typ výztuže	Návrh <sub>MSU</sub>	Posudek <sub>MSU</sub>	Posudek <sub>trhlina</sub>	Posudek <sub>konstr</sub>	Posouzení <sub>vyp</sub>	Posudek
				Návrh <sub>vyp,MSU</sub> [-]	Posudek <sub>vyp,MSU</sub> [-]	Posudek <sub>vyp,trhlina</sub> [-]	Posudek <sub>vyp,konstr</sub> [-]	Posouzení <sub>lim</sub> [-]	W/E
B1	0,000	Všechny MSU	Celkem	vyhovuje 0,00	VYP	NEPROVEDEN	VYP	0,00 1,00	vyhovuje 291
B2	0,000	Všechny MSU	Celkem	vyhovuje 0,00	VYP	NEPROVEDEN	VYP	0,00 1,00	vyhovuje 291
B3	0,000	Všechny MSU	Celkem	vyhovuje 0,00	VYP	NEPROVEDEN	VYP	0,00 1,00	vyhovuje 291
B4	0,000	Všechny MSU	Celkem	vyhovuje 0,00	VYP	NEPROVEDEN	VYP	0,00 1,00	vyhovuje 291
B11	0,000	Všechny MSU	Celkem	vyhovuje 0,00	VYP	NEPROVEDEN	VYP	0,00 1,00	vyhovuje 291
B12	0,000	Všechny MSU	Celkem	vyhovuje 0,00	VYP	NEPROVEDEN	VYP	0,00 1,00	vyhovuje 291
B13	0,000	Všechny MSU	Celkem	vyhovuje 0,00	VYP	NEPROVEDEN	VYP	0,00 1,00	vyhovuje 291
B14	0,000	Všechny MSU	Celkem	vyhovuje 0,00	VYP	NEPROVEDEN	VYP	0,00 1,00	vyhovuje 291
B15	0,000	Všechny MSU	Celkem	vyhovuje 0,00	VYP	NEPROVEDEN	VYP	0,00 1,00	vyhovuje 291
B16	0,000	Všechny MSU	Celkem	vyhovuje 0,00	VYP	NEPROVEDEN	VYP	0,00 1,00	vyhovuje 291
B17	0,000	Všechny MSU	Celkem	vyhovuje 0,00	VYP	NEPROVEDEN	VYP	0,00 1,00	vyhovuje 291

#### Vysvětlivky symbolů

Typ výztuže	Typ výztuže použitý pro posudek
Návrh <sub>MSÚ</sub>	Návrhová výztuž pro MSÚ
Návrh <sub>vyp,MSÚ</sub>	Poměr přídatné a nutné výztuže As,přid/As,nut
Posudek <sub>MSÚ</sub>	Posudek pro MSÚ
Posudek <sub>vyp,MSÚ</sub>	Maximální hodnota jednotkového posudku pro všechny posudky MSÚ
Posudek <sub>trhlin</sub>	Posudek šířky trhlin

#### Vysvětlivky symbolů

Posudek <sub>vyp,trhlin</sub>	maximální hodnota jednotkového posudku pro posudek šířky trhlin
Posudek <sub>konstr</sub>	Posouzení konstrukčních zásad
Posudek <sub>vyp,konstr</sub>	Maximální hodnota jednotkového posudku pro všechny vybrané konstrukční zásady
Posouzení <sub>vyp</sub>	Vypočtená hodnota posouzení
Posouzení <sub>lim</sub>	Limitní hodnota posouzení
W/E	Chybová hlášení a upozornění vzniklá při výpočtu

#### Vysvětlivky k varování a k chybám

69	Průřez je dostatečně vyztužen základní výztuží, není navržena žádná přídatná výztuž
291	Kombinace MSÚ není podporována pro návrh/posudek podle MSP

## 78. Plochy - Vnitřní síly

Lineární výpočet, Extrém : Prvek

Výběr : Vše

Třída : Všechny MSÚ

Základní veličiny. V uzlech, prům. na prvku.

Prvek	prvek	Stav	mx [kNm/m]	my [kNm/m]	mxy [kNm/m]	vx [kN/m]	vy [kN/m]	nx [kN/m]	ny [kN/m]	nxy [kN/m]
S1	37	Všechny MSÚ	-31,34	-22,59	10,78	-120,29	14,27	-479,64	95,47	228,99
S1	21	Všechny MSÚ	<b>30,51</b>	22,33	-3,51	-16,77	30,45	-556,02	-38,08	134,25
S1	35	Všechny MSÚ	-5,98	<b>-26,32</b>	<b>20,96</b>	-18,13	126,27	<b>-707,92</b>	-4,63	43,01
S1	5	Všechny MSÚ	23,19	<b>24,42</b>	-2,33	12,34	5,80	-513,30	-65,38	168,74
S1	3	Všechny MSÚ	-0,43	7,15	-10,65	-2,22	9,69	-425,19	4,54	24,87
S1	37	Všechny MSÚ	-15,09	-12,72	8,43	<b>-149,70</b>	10,39	-657,98	-56,12	191,91
S1	49	Všechny MSÚ	-24,04	-15,22	8,23	95,48	-92,51	-364,16	-63,77	143,43
S1	50	Všechny MSÚ	-8,89	-4,92	4,70	82,73	<b>-118,13</b>	-512,19	-178,29	141,03
S1	19	Všechny MSÚ	-3,46	-11,05	-7,06	12,19	<b>152,18</b>	-551,19	-12,31	31,16
S1	9	Všechny MSÚ	-2,47	1,29	6,85	19,73	-24,14	<b>-46,19</b>	-13,70	-0,69
S1	35	Všechny MSÚ	-1,61	4,88	-4,92	-31,39	-3,72	-241,91	41,19	<b>-66,29</b>
S2	61	Všechny MSÚ	-24,04	-15,22	8,23	95,48	-92,51	-364,16	-63,77	143,43
S2	55	Všechny MSÚ	24,36	15,53	-7,44	40,85	-29,90	-435,86	-80,13	178,73
S2	59	Všechny MSÚ	23,19	24,42	-2,33	12,34	5,80	-513,30	-65,38	168,74
S2	59	Všechny MSÚ	15,74	18,55	-9,31	37,58	-1,45	-451,62	-34,45	96,85
S2	61	Všechny MSÚ	-23,45	-13,05	8,55	37,12	-46,20	-286,01	30,29	78,99
S2	55	Všechny MSÚ	20,07	7,88	-1,60	2,25	-23,56	-390,59	-59,49	154,79
S2	62	Všechny MSÚ	-8,89	-4,92	4,70	82,73	-118,13	-512,19	-178,29	141,03
S2	60	Všechny MSÚ	21,53	22,55	-1,64	9,11	5,85	-439,91	-60,75	151,79
S2	58	Všechny MSÚ	6,82	8,90	-2,95	39,94	-3,58	-523,64	-114,60	94,20
S2	62	Všechny MSÚ	-6,20	-5,08	2,93	18,31	-16,01	-112,13	-16,29	55,45
S2	62	Všechny MSÚ	-20,26	-12,00	7,67	25,38	-36,30	-215,10	44,88	59,33
S2	59	Všechny MSÚ	-3,67	3,04	-1,21	9,67	-16,62	-230,20	22,52	15,40
S3	85	Všechny MSÚ	-38,21	-23,33	4,08	-60,48	55,15	-332,29	200,33	203,59
S3	67	Všechny MSÚ	30,51	22,33	-3,51	-16,77	30,45	-556,02	-38,08	134,25
S3	73	Všechny MSÚ	23,19	24,42	-2,33	12,34	5,80	-513,30	-65,38	168,74
S3	73	Všechny MSÚ	15,74	18,55	-9,31	37,58	-1,45	-451,62	-34,45	96,85
S3	83	Všechny MSÚ	-31,34	-22,59	10,78	-120,29	14,27	-479,64	95,47	228,99
S3	83	Všechny MSÚ	-15,09	-12,72	8,43	-149,70	10,39	-657,98	-56,12	191,91
S3	77	Všechny MSÚ	24,36	15,53	-7,44	40,85	-29,90	-435,86	-80,13	178,73
S3	85	Všechny MSÚ	-35,73	-21,40	7,01	-124,23	75,99	-450,43	-11,49	<b>232,91</b>
S3	77	Všechny MSÚ	1,67	0,66	-0,83	6,75	-5,09	-121,96	-4,62	57,82
S3	86	Všechny MSÚ	-5,45	-3,99	-2,24	-50,02	42,39	-506,54	-105,23	81,88
S3	86	Všechny MSÚ	-33,86	-20,69	3,85	-45,23	45,64	-253,57	<b>201,33</b>	174,73
S3	83	Všechny MSÚ	-5,50	4,03	-4,72	-21,87	-2,44	-364,98	7,13	-7,00
S4	97	Všechny MSÚ	-32,07	-17,34	11,21	41,65	-50,36	-268,11	41,04	129,17
S4	101	Všechny MSÚ	29,75	15,77	-9,37	36,93	-9,16	-416,82	-86,66	210,15
S4	94	Všechny MSÚ	3,52	0,68	-3,58	-45,61	10,99	-415,23	52,98	191,50
S4	97	Všechny MSÚ	-22,20	-14,26	8,50	105,31	-41,59	-392,67	-150,50	198,17
S4	105	Všechny MSÚ	-5,70	-3,87	3,83	70,99	-108,23	-441,29	-163,71	121,37
S4	94	Všechny MSÚ	29,59	11,57	-6,76	-44,67	11,36	-482,64	-59,51	210,72

Prvek	prvek	Stav	mx [kNm/m]	my [kNm/m]	mxy [kNm/m]	vx [kN/m]	vy [kN/m]	nx [kN/m]	ny [kN/m]	nxy [kN/m]
S4	98	Všechny MSU	-6,99	-5,61	3,56	18,76	-14,45	-96,50	-14,87	66,80
S4	98	Všechny MSU	-0,20	-7,89	5,44	53,70	-10,51	-464,85	-174,54	143,25
S4	98	Všechny MSU	-28,42	-15,70	9,90	28,32	-40,95	-200,25	54,07	104,73
S4	105	Všechny MSU	-5,78	-4,86	2,76	18,31	-15,06	-118,63	-15,78	47,39
S5	131	Všechny MSU	-38,21	-23,33	4,08	-60,48	55,15	-332,29	200,33	203,59
S5	113	Všechny MSU	29,75	15,77	-9,37	36,93	-9,16	-416,82	-86,66	210,15
S5	117	Všechny MSU	21,25	13,95	-10,20	-51,17	29,43	-387,05	-27,38	203,54
S5	109	Všechny MSU	-32,07	-17,34	11,21	41,65	-50,36	-268,11	41,04	129,17
S5	131	Všechny MSU	-35,73	-21,40	7,01	-124,23	75,99	-450,43	-11,49	232,91
S5	109	Všechny MSU	-22,20	-14,26	8,50	105,31	-41,59	-392,67	-150,50	198,17
S5	106	Všechny MSU	-8,89	-4,92	4,70	82,73	-118,13	-512,19	-178,29	141,03
S5	110	Všechny MSU	-6,99	-5,61	3,56	18,76	-14,45	-96,50	-14,87	66,80
S5	132	Všechny MSU	-33,86	-20,69	3,85	-45,23	45,64	-253,57	201,33	174,73
S5	131	Všechny MSU	-2,96	-0,08	-2,09	-27,47	26,06	-339,19	-42,20	47,35
S6	139	Všechny MSU	-38,21	-23,33	4,08	-60,48	55,15	-332,29	200,33	203,59
S6	137	Všechny MSU	29,59	11,57	-6,76	-44,67	11,36	-482,64	-59,51	210,72
S6	141	Všechny MSU	12,00	14,74	-6,67	9,50	14,65	-413,94	-45,40	133,91
S6	141	Všechny MSU	21,25	13,95	-10,20	-51,17	29,43	-387,05	-27,38	203,54
S6	133	Všechny MSU	-33,23	-22,49	7,09	-117,20	56,67	-324,31	52,38	192,45
S6	139	Všechny MSU	-35,73	-21,40	7,01	-124,23	75,99	-450,43	-11,49	232,91
S6	141	Všechny MSU	10,14	12,46	-5,62	14,36	11,87	-347,85	-44,32	107,48
S6	138	Všechny MSU	0,62	5,84	-5,55	1,05	1,41	-279,32	18,79	48,78
S6	140	Všechny MSU	-5,45	-3,99	-2,24	-50,02	42,39	-506,54	-105,23	81,88
S6	142	Všechny MSU	0,36	1,11	-1,61	-6,99	4,80	-122,11	19,05	65,13
S6	134	Všechny MSU	1,74	7,45	2,19	-46,29	58,54	-494,39	<b>-187,09</b>	118,41
S6	140	Všechny MSU	-33,86	-20,69	3,85	-45,23	45,64	-253,57	201,33	174,73
S6	139	Všechny MSU	-2,96	-0,08	-2,09	-27,47	26,06	-339,19	-42,20	47,35
S7	145	Všechny MSU	<b>-40,18</b>	-19,80	14,44	52,10	-49,52	-241,94	31,32	192,71
S7	147	Všechny MSU	29,75	15,77	-9,37	36,93	-9,16	-416,82	-86,66	210,15
S7	149	Všechny MSU	25,25	16,12	-10,65	17,79	-37,41	-369,45	-29,22	183,49
S7	149	Všechny MSU	14,28	11,51	-11,70	18,86	-25,16	-303,32	-15,58	155,85
S7	149	Všechny MSU	-0,90	3,72	-5,83	-8,87	-6,61	-271,83	92,38	74,31
S7	145	Všechny MSU	-23,38	-4,40	11,98	<b>114,81</b>	-72,94	-419,98	-134,68	209,19
S7	153	Všechny MSU	3,45	-6,25	4,14	40,38	-1,09	-397,00	-161,50	118,80
S7	154	Všechny MSU	-0,20	-7,89	5,44	53,70	-10,51	-464,85	-174,54	143,25
S7	146	Všechny MSU	-9,20	-4,89	4,30	18,86	-14,98	-84,05	-12,20	79,79
S7	150	Všechny MSU	0,87	5,29	-6,72	-5,32	-10,67	-324,10	92,96	99,33
S7	153	Všechny MSU	-6,36	-5,30	3,29	18,70	-13,44	-104,89	-15,17	55,80
S8	157	Všechny MSU	-40,18	-19,80	14,44	52,10	-49,52	-241,94	31,32	192,71
S8	169	Všechny MSU	29,75	15,77	-9,37	36,93	-9,16	-416,82	-86,66	210,15
S8	165	Všechny MSU	18,44	17,84	-5,15	3,14	-12,00	-344,40	-87,11	160,96
S8	165	Všechny MSU	12,64	11,82	<b>-13,93</b>	-40,00	16,74	-334,55	11,15	164,16
S8	163	Všechny MSU	21,25	13,95	-10,20	-51,17	29,43	-387,05	-27,38	203,54
S8	157	Všechny MSU	-23,38	-4,40	11,98	114,81	-72,94	-419,98	-134,68	209,19
S8	158	Všechny MSU	-9,20	-4,89	4,30	18,86	-14,98	-84,05	-12,20	79,79
S8	165	Všechny MSU	-9,44	1,34	-4,39	-10,70	10,58	-235,74	140,36	68,89
S8	170	Všechny MSU	1,34	0,86	-1,30	6,09	-4,34	-113,91	-0,19	58,59

## 79. Plochy - Napětí

Lineární výpočet, Extrém : Prvek

Výběr : Vše

Třída : Všechny MSU

Základní veličiny. V uzlech, prům. na prvku.

Prvek	Stav	prvek	sigx+ [MPa]	sigy+ [MPa]	sigxy+ [MPa]	sigx- [MPa]	sigy- [MPa]	sigxy- [MPa]
S1	Všechny MSU	21	<b>-5,2</b>	-2,3	0,9	0,7	2,0	0,2
S1	Všechny MSU	37	1,2	2,3	-0,1	-4,3	-1,5	1,8
S1	Všechny MSU	5	-4,3	<b>-2,6</b>	0,9	0,2	<b>2,1</b>	0,5
S1	Všechny MSU	37	1,1	2,6	-0,1	-4,9	-1,8	2,0
S1	Všechny MSU	35	-2,3	2,5	<b>-1,8</b>	-3,4	<b>-2,5</b>	<b>2,2</b>
S1	Všechny MSU	53	-4,1	-1,8	1,4	0,6	1,2	0,0
S1	Všechny MSU	9	-3,1	-1,4	-0,5	<b>1,3</b>	1,2	0,5
S1	Všechny MSU	9	-2,3	-1,1	0,8	-0,9	0,5	<b>-1,0</b>
S2	Všechny MSU	59	-4,3	-2,6	0,9	0,2	2,1	0,5

Prvek	Stav	prvek	sigx+ [MPa]	sigy+ [MPa]	sigxy+ [MPa]	sigx- [MPa]	sigy- [MPa]	sigxy- [MPa]
S2	Všechny MSU	61	1,1	1,4	-0,5	-3,4	-1,1	1,1
S2	Všechny MSU	55	-4,1	-1,8	1,4	0,6	1,2	0,0
S2	Všechny MSU	61	0,9	1,2	-0,2	-3,8	-1,7	1,4
S2	Všechny MSU	55	-3,5	-1,6	1,3	0,6	1,0	0,0
S2	Všechny MSU	59	-2,9	-1,7	1,1	-0,2	1,5	-0,5
S3	Všechny MSU	67	-5,2	-2,3	0,9	0,7	2,0	0,2
S3	Všechny MSU	85	2,3	<b>3,0</b>	0,4	-5,0	-1,4	1,2
S3	Všechny MSU	73	-4,3	-2,6	0,9	0,2	2,1	0,5
S3	Všechny MSU	83	1,1	2,6	-0,1	-4,9	-1,8	2,0
S3	Všechny MSU	69	-4,8	-1,3	1,5	0,9	0,9	0,2
S3	Všechny MSU	85	1,6	2,0	0,3	<b>-5,2</b>	-2,1	1,6
S3	Všechny MSU	69	-4,2	-1,2	1,3	1,0	0,7	0,2
S3	Všechny MSU	67	-1,2	-0,6	0,6	-1,1	0,8	-0,7
S4	Všechny MSU	94	-4,8	-1,3	1,5	0,9	0,9	0,2
S4	Všechny MSU	97	2,0	1,8	-0,6	-4,2	-1,5	1,6
S4	Všechny MSU	101	-4,5	-1,9	1,7	1,2	1,2	-0,1
S4	Všechny MSU	101	-4,0	-1,7	1,5	1,2	1,0	-0,1
S4	Všechny MSU	97	0,6	0,8	0,0	-3,7	-2,0	1,6
S4	Všechny MSU	99	-4,1	-1,8	1,4	0,6	1,2	0,0
S4	Všechny MSU	94	-1,5	-0,6	0,8	-1,3	0,7	-0,4
S5	Všechny MSU	115	-4,8	-1,3	1,5	0,9	0,9	0,2
S5	Všechny MSU	131	2,3	3,0	0,4	-5,0	-1,4	1,2
S5	Všechny MSU	113	-4,5	-1,9	1,7	1,2	1,2	-0,1
S5	Všechny MSU	109	2,0	1,8	-0,6	-4,2	-1,5	1,6
S5	Všechny MSU	117	-3,6	-1,4	1,8	0,5	1,2	-0,2
S5	Všechny MSU	131	1,6	2,0	0,3	-5,2	-2,1	1,6
S5	Všechny MSU	113	-4,0	-1,7	1,5	1,2	1,0	-0,1
S5	Všechny MSU	118	-2,8	-1,6	1,2	-0,5	1,2	-0,1
S5	Všechny MSU	115	-1,5	-0,6	0,8	-1,3	0,7	-0,4
S5	Všechny MSU	109	0,6	0,8	0,0	-3,7	-2,0	1,6
S6	Všechny MSU	137	-4,8	-1,3	1,5	0,9	0,9	0,2
S6	Všechny MSU	139	2,3	3,0	0,4	-5,0	-1,4	1,2
S6	Všechny MSU	142	-2,8	-1,6	1,2	-0,5	1,2	-0,1
S6	Všechny MSU	133	1,4	2,0	0,0	-3,2	-1,6	1,1
S6	Všechny MSU	141	-3,6	-1,4	1,8	0,5	1,2	-0,2
S6	Všechny MSU	139	1,6	2,0	0,3	-5,2	-2,1	1,6
S6	Všechny MSU	137	-4,2	-1,2	1,3	1,0	0,7	0,2
S6	Všechny MSU	137	-1,5	-0,6	0,8	-1,3	0,7	-0,4
S7	Všechny MSU	147	-4,5	-1,9	1,7	1,2	1,2	-0,1
S7	Všechny MSU	145	<b>2,9</b>	2,0	-0,6	-4,8	-1,8	2,2
S7	Všechny MSU	145	2,8	1,9	-0,6	-4,3	-1,6	2,0
S7	Všechny MSU	149	-3,9	-1,7	1,8	0,9	1,4	-0,3
S7	Všechny MSU	147	-4,0	-1,7	1,5	1,2	1,0	-0,1
S7	Všechny MSU	153	0,6	0,8	0,0	-3,7	-2,0	1,6
S7	Všechny MSU	149	-2,6	-1,2	1,7	0,2	1,0	-0,5
S8	Všechny MSU	169	-4,5	-1,9	1,7	1,2	1,2	-0,1
S8	Všechny MSU	157	2,9	2,0	-0,6	-4,8	-1,8	2,2
S8	Všechny MSU	165	-3,1	-2,1	1,1	0,4	1,4	0,1
S8	Všechny MSU	157	2,8	1,9	-0,6	-4,3	-1,6	2,0
S8	Všechny MSU	165	-2,6	-1,1	<b>2,0</b>	-0,1	1,2	-0,7
S8	Všechny MSU	169	-4,0	-1,7	1,5	1,2	1,0	-0,1
S8	Všechny MSU	161	-3,9	-1,7	1,8	0,9	1,4	-0,3
S8	Všechny MSU	165	-2,5	-0,6	1,7	0,3	0,7	-0,7

## ZATÍŽENÍ ZÁKLADOVÉ SPÁRY

tíha na základovou spáru

$$\gamma_g = 1,35$$

$$\gamma_q = 1,5$$

$$G_{vd} = \check{s}_t \cdot h_{tv} \cdot g_{cd} = 24,92 \quad \text{kN.m}^{-1} \quad \text{od vrstev vozovky}$$

$$g_{vd} = g_{vk} \cdot \gamma_g = 31,05 \quad \text{kN.m}^{-3}$$

$$h_{tv} = 0,15 \quad \text{m}$$

$$\check{s}_t = 5,35 \quad \text{m}$$

$$G_{zd} = A_z \cdot g_{cd} = 198,18 \quad \text{kN.m}^{-1} \quad \text{od zásypu}$$

$$g_{zd} = g_{zk} \cdot \gamma_g = 27 \quad \text{kN.m}^{-3}$$

$$A_z = 7,34 \quad \text{m}^2$$

$$G_{upd} = A_{up} \cdot g_{cd} = 43,9425 \quad \text{kN.m}^{-1} \quad \text{od vlastní tíhy úložného prahu}$$

$$g_{cd} = g_{ck} \cdot \gamma_g = 33,75 \quad \text{kN.m}^{-3}$$

$$A_{up} = 1,302 \quad \text{m}^2$$

$$G_{kld} = A_{kl} \cdot g_{cd} = 70,2 \quad \text{kN.m}^{-1} \quad \text{od vlastní tíhy klenby}$$

$$A_{kl} = 2,08 \quad \text{m}^2$$

$$Q_{LM1qd} = \check{s}_{LM1} \cdot q_{LM1d} = 72,225 \quad \text{kN.m}^{-1} \quad \text{od rovnoměrného zatížení dopravou}$$

$$q_{LM1d} = q_{LM1k} \cdot \gamma_q = 13,5 \quad \text{kN.m}^{-2}$$

$$\check{s}_{LM1} = 5,35 \quad \text{m}$$

$$Q_{LM1Qd} = Q_{LM1d} / L_m \cdot (2 \cdot L_m - 2 \cdot r_{LM1} - 1,2) = 99,59 \quad \text{kN.m}^{-1} \quad \text{od soustředěného zatížení dopravou}$$

$$Q_{LM1d} = 2 \cdot Q_{LM1nd} / \check{s}_m = 59,21 \quad \text{kN.m}^{-1}$$

$$Q_{LM1nd} = Q_{LM1nk} \cdot \gamma_q = 225 \quad \text{kN}$$

$$Q_{LM1nk} = 150 \quad \text{kN}$$

$$r_{LM1} = 0,72 \quad \text{m}$$

$$L_m = 8,3 \quad \text{m}$$

$$\check{s}_m = 7,6 \quad \text{m}$$

$$\Sigma G_d = 337,24 \quad \text{kN.m}^{-1}$$

$$\Sigma Q_d = 171,81 \quad \text{kN.m}^{-1}$$

$$\Sigma G_k = 249,81 \quad \text{kN.m}^{-1}$$

$$\Sigma Q_k = 114,54 \quad \text{kN.m}^{-1}$$

$$Q_{cd} = \Sigma Q_d + \Sigma G_d = 509,05 \quad \text{kN.m}^{-1}$$

$$Q_{ck} = \Sigma Q_k + \Sigma G_k = 364,35 \quad \text{kN.m}^{-1}$$

$$A_{dos} = b_{up} \cdot l_{up} = 2,40 \quad \text{m}^2$$

$$b_{up} = 2,4 \quad \text{m}$$

$$l_{up} = 1 \quad \text{m}$$

$$\sigma_{sp} = Q_{cd} / A_{dos} = 212,1 \quad \text{kPa}$$

$$\sigma_{sp} = Q_{ck} / A_{dos} = 151,8 \quad \text{kPa}$$

se zlepšením podzákladí tryskovou injektáží

$$A_{dos} = b_{up} \cdot l_{up} = 3,80 \quad \text{m}^2$$

$$b_{up} = 3,8 \quad \text{m}$$

$$l_{up} = 1 \quad \text{m}$$

$$\sigma_{sp} = Q_{cd} / A_{dos} = 134,0 \quad \text{kPa}$$

$$\sigma_{sp} = Q_{ck} / A_{dos} = 95,9 \quad \text{kPa}$$

C 30/37 ▼

h = 800 mm

b = 800 mm

h<sub>l</sub> = mm

d<sub>s</sub> = 20 mm

A<sub>sl</sub> = 314,16 mm<sup>2</sup>

n<sub>s</sub> = 5

a = 60 mm

d = 740 mm

M<sub>Sd</sub> = 265,9 kNm

k<sub>r1</sub> = 1,0000

M<sub>Sdq1</sub> = 265,9 kNm

j	i
1	0
2	1
3	2
4	3
5	4
6	5
	6

j	i
1	0
2	1
3	2
4	3
5	4
6	5
	6

## POSOUZENÍ PRŮŘEZU PŘÍČNÍKU

**beton :** C 30/37

charakteristická tlaková pevnost f<sub>ck</sub> = 30,00 MPa

poměrné stlačení betonu ε<sub>c2</sub> = 2,00 ‰

exponent n = 2

maximální poměrné stlačení betonu ε<sub>cu2</sub> = 3,50 ‰

λ = 0,8

η = 1

poměrné stlačení betonu -bilineární ε<sub>c3</sub> = 1,75 ‰

maximální poměrné stlačení betonu - bilineární ε<sub>cu3</sub> = 3,50 ‰

E<sub>cm</sub> = 33 GPa

**ocel :** R 600

E<sub>s</sub> = 200 GPa

f<sub>yk</sub> = 600 MPa

γ<sub>s</sub> = 1,15

ε<sub>uk</sub> = 75 ‰

ε<sub>ud</sub> = 0,9 · ε<sub>uk</sub> = 67,5 ‰

f<sub>yd</sub> = f<sub>yk</sub> / γ<sub>s</sub> = 521,7 MPa

ε<sub>yd</sub> = f<sub>yk</sub> / E = 3 ‰

poměrné přetvoření ε<sub>c</sub> = 3,5

ε<sub>s</sub> = 5 ‰

α<sub>cc</sub> = 1,0 doporučená hodnota 1,0

γ<sub>c</sub> = 1,5 trvalá a dočasná návrhová situace

f<sub>cd</sub> = α<sub>cc</sub> · f<sub>ck</sub> / γ<sub>c</sub> = 20,00 MPa

### Statické hodnoty lichoběžníkového průřezu

t <sub>j</sub> (mm)	h <sub>i</sub> (mm)	b <sub>j1</sub> (mm)	b <sub>j2</sub> (mm)	y <sub>j</sub> (mm)	z <sub>j</sub> (mm)	A <sub>j</sub> (mm <sup>2</sup> )	z <sub>ji</sub> (mm)	S <sub>j</sub> (.10 <sup>3</sup> mm <sup>3</sup> )
0	0	0	0	0	0	0	0,00	0
800	0	1100	500	1064,621	47,172	51 055	23,46	1 198
0	800	500	500	0	0	0	800,00	0
0	800	500	1100	0	0	0	0,00	0
0	800	0	0	0	0	0	800,00	0
0	800	0	0	0	0	0	800,00	0
	800							

y <sub>j</sub> (mm)	z <sub>j</sub> (mm)	A <sub>j</sub> (mm <sup>2</sup> )	z <sub>ji</sub> (mm)	S <sub>j</sub> (.10 <sup>3</sup> mm <sup>3</sup> )
0	0	0	0,00	0
1071,6968	37,7376	40 977	23,57	966
0	0	0	800,00	0
0	0	0	0,00	0
0	0	0	800,00	0
0	0	0	800,00	0

statické hodnoty pro celou část průřezu - beton

x = z<sub>ci</sub> = 47,172 mm

A<sub>c</sub> = 51 .10<sup>3</sup> mm<sup>2</sup>

S<sub>c</sub> = 1,198 .10<sup>6</sup> mm<sup>3</sup>

statické hodnoty pro redukovanou část průřezu - beton

λ · x = λ · z<sub>ci</sub> = 37,738 mm

A<sub>cλ</sub> = 40,977 .10<sup>3</sup> mm<sup>2</sup>

S<sub>cλ</sub> = 0,966 .10<sup>6</sup> mm<sup>3</sup>

z<sub>cλ</sub> = S<sub>cλ</sub> / A<sub>cλ</sub> = 23,57 mm

M<sub>cRd</sub> = F<sub>c</sub> · z<sub>cλ</sub> = 19,31 kNm

statické hodnoty pro celou část průřezu - ocel

i	n	z <sub>i</sub> [mm]	A <sub>i</sub> (mm <sup>2</sup> )	S <sub>i</sub> (.10 <sup>3</sup> mm <sup>3</sup> )	M <sub>srd</sub> (kNm)
1	0	60	0,0	0,0	0,00
2	5	740	1 570,8	1 162,4	606,46
3	0	0	0,0	0,0	0,00

A<sub>s</sub> = 1,57 .10<sup>3</sup> mm<sup>2</sup>

4	0	0	0,0	0,0	0,00
---	---	---	-----	-----	------

$$M_{sRd} = 606,46 \text{ kNm}$$

$$A_{c\lambda} = 40977 \text{ mm}^2$$

$$A_{st} = \Sigma(n_{ai} \cdot A_{sli}) = 1571 \text{ mm}^2$$

$$x_{lim} = d \cdot \epsilon_{cu3} / (\epsilon_{yd} + \epsilon_{cu3}) = 398,46 \text{ mm} \quad \text{z rovnováhy přetvoření}$$

$$\lambda \cdot x = 37,74 \text{ mm}$$

$$F_c = A_{c\lambda} \cdot \eta \cdot f_{cd} = 819,55 \text{ kN}$$

$$F_{sd} = A_{st} \cdot f_{yd} = 819,55 \text{ kN}$$

$$F_{sd} - F_c = 0,00 \text{ kN} \quad \text{musí být rovno nule (rovnováha sil)}$$

$$M_{Rd} = M_{crd} + M_{srd} = 625,8 \text{ kNm} > M_{Sd} = 265,90 \text{ kNm} \quad \text{vyhovuje}$$

*průřez bez smykové výztuže*

$$N_{Ed} = 0 \text{ kN}$$

$$A_c = 640\,000 \text{ mm}^2$$

$$V_{Rdc} = (C_{Rdc} \cdot k \cdot (100 \cdot \rho_l \cdot f_{ck})^{1/3} + k_l \cdot \sigma_{cp}) \cdot b_w \cdot d = 224,1 \text{ kN}$$

$$V_{Rdc} = (v_{min} + k_l \cdot \sigma_{cp}) \cdot b_w \cdot d = 225,4 \text{ kN}$$

$$k = 1 + (200 / d)^{1/2} = 1,50 \leq 2,0$$

$$\rho_l = A_{sl} / (b_w \cdot d) = 0,0025 \leq 0,02$$

$$C_{Rdc} = 0,18 / \gamma_c = 0,12$$

$$V_{Sdcr} = V_{Sdc1} \cdot 0,7 = 254,66 \text{ kN}$$

$$v_{min} = 0,035 \cdot k^{3/2} \cdot f_{ck}^{1/2} = 0,35$$

$$k_l = 0,15$$

$$\sigma_{cp} = N_{Ed} / A_c = 0 \text{ MPa}$$

$$V_{Rdc} = 225,4 \text{ kN} < V_{Sdcr} = 254,66 \text{ kN}$$

nevyhovuje, je třeba smyková výztuž

*průřez se smykovou výztuží*

$$s = 200 \text{ mm} \quad \text{vzdálenost třmíneků}$$

$$f_{ywd} = 521,74 \text{ MPa} \quad \text{návrhová mez kluzu smykové výztuže}$$

$$v = 0,6 \cdot (1 - f_{ck} / 250) = 0,528$$

$$v_1 = v = 0,528 \quad \text{redukční součinitel pevnosti betonu při porušení smy}$$

$$\alpha_{cw} = 0,3$$

$$z = d - S_c / A_c = 716,5 \text{ mm}$$

$$\theta = 45^\circ \quad \text{musí být z intervalu } 21,8^\circ - 45^\circ$$

$$\tg \theta = 1,000$$

$$\cotg \theta = 1,000$$

$$A_{sw} = 144 \text{ mm}^2$$

$$a_s = 12 \text{ mm}$$

$$n = 4$$

$$V_{Rds} = A_{sw} / s \cdot z \cdot f_{ywd} \cdot \cotg \theta = 269,2 \text{ kN} > V_{Sdcr} = 254,66 \text{ kN}$$

$$V_{Rdmax} = \alpha_{cw} \cdot b_w \cdot z \cdot v_1 \cdot f_{cd} / (\cotg \theta + \tg \theta) = 908,0 \text{ kN} > V_{Sdcr} = 254,66 \text{ kN}$$

smyková výztuž vyhovuje



C 30/37 ▼

h = 1000 mm

b = 250 mm

h<sub>l</sub> = mm

d<sub>s</sub> = 16 mm

A<sub>sl</sub> = 201,06 mm<sup>2</sup>

n<sub>s</sub> = 4

a = 48 mm

d = 952 mm

M<sub>Sd</sub> = 183,2 kNm

k<sub>r1</sub> = 1,0000

M<sub>Sdq1</sub> = 183,2 kNm

j	i
1	0
2	1
3	2
4	3
5	4
6	5
	6

j	i
1	0
2	1
3	2
4	3
5	4
6	5
	6

## POSOUZENÍ PRŮŘEZU PODÉLNÍKU - LEVÝ

beton : C 30/37

charakteristická tlaková pevnost f<sub>ck</sub> = 30,00 MPa

poměrné stlačení betonu ε<sub>c2</sub> = 2,00 ‰

exponent n = 2

maximální poměrné stlačení betonu ε<sub>cu2</sub> = 3,50 ‰

λ = 0,8

η = 1

poměrné stlačení betonu -bilineární ε<sub>c3</sub> = 1,75 ‰

maximální poměrné stlačení betonu - bilineární ε<sub>cu3</sub> = 3,50 ‰

E<sub>cm</sub> = 33 GPa

ocel : R 600

E<sub>s</sub> = 200 GPa

f<sub>yk</sub> = 600 MPa

γ<sub>s</sub> = 1,15

ε<sub>uk</sub> = 75 ‰

ε<sub>ud</sub> = 0,9 · ε<sub>uk</sub> = 67,5 ‰

f<sub>yd</sub> = f<sub>yk</sub> / γ<sub>s</sub> = 521,7 MPa

ε<sub>yd</sub> = f<sub>yk</sub> / E = 3 ‰

poměrné přetvoření ε<sub>c</sub> = 3,5

ε<sub>s</sub> = 5 ‰

α<sub>cc</sub> = 1,0 doporučená hodnota 1,0

γ<sub>c</sub> = 1,5 trvalá a dočasná návrhová situace

f<sub>cd</sub> = α<sub>cc</sub> · f<sub>ck</sub> / γ<sub>c</sub> = 20,00 MPa

### Statické hodnoty obdélníkového průřezu

t <sub>j</sub> (mm)	h <sub>i</sub> (mm)	b <sub>j1</sub> (mm)	b <sub>j2</sub> (mm)	y <sub>j</sub> (mm)	z <sub>j</sub> (mm)	A <sub>j</sub> (mm <sup>2</sup> )	z <sub>ji</sub> (mm)	S <sub>j</sub> (.10 <sup>3</sup> mm <sup>3</sup> )
1000	0	250	250	250	104,901	26 225	52,45	1 376
0	1000	0	0	0	0	0	0,00	0
0	1000	0	0	0	0	0	1 000,00	0
0	1000	0	0	0	0	0	0,00	0
0	1000	0	0	0	0	0	1 000,00	0
0	1000	0	0	0	0	0	1 000,00	0
	1000							

y <sub>j</sub> (mm)	z <sub>j</sub> (mm)	A <sub>j</sub> (mm <sup>2</sup> )	z <sub>ji</sub> (mm)	S <sub>j</sub> (.10 <sup>3</sup> mm <sup>3</sup> )
250	83,9208	20 980	41,96	880
0	0	0	0,00	0
0	0	0	1 000,00	0
0	0	0	0,00	0
0	0	0	1 000,00	0
0	0	0	1 000,00	0

statické hodnoty pro celou část průřezu - beton

x = z<sub>ci</sub> = 104,901 mm

A<sub>c</sub> = 26 .10<sup>3</sup> mm<sup>2</sup>

S<sub>c</sub> = 1,376 .10<sup>6</sup> mm<sup>3</sup>

statické hodnoty pro redukovanou část průřezu - beton

λ · x = λ · z<sub>ci</sub> = 83,921 mm

A<sub>cλ</sub> = 20,980 .10<sup>3</sup> mm<sup>2</sup>

S<sub>cλ</sub> = 0,880 .10<sup>6</sup> mm<sup>3</sup>

z<sub>cλ</sub> = S<sub>cλ</sub> / A<sub>cλ</sub> = 41,96 mm

M<sub>cRd</sub> = F<sub>c</sub> · z<sub>cλ</sub> = 17,61 kNm

statické hodnoty pro celou část průřezu - ocel

i	n	z <sub>i</sub> [mm]	A <sub>i</sub> (mm <sup>2</sup> )	S <sub>i</sub> (.10 <sup>3</sup> mm <sup>3</sup> )	M <sub>srd</sub> (kNm)
1	0	60	0,0	0,0	0,00
2	4	940	804,2	756,0	394,43
3	0	900	0,0	0,0	0,00

A<sub>s</sub> = 0,80 .10<sup>3</sup> mm<sup>2</sup>

4	0	0	0,0	0,0	0,00
---	---	---	-----	-----	------

$$M_{sRd} = 394,43 \text{ kNm}$$

$$A_{c\lambda} = 20980 \text{ mm}^2$$

$$A_{st} = \Sigma(n_{ai} \cdot A_{sli}) = 804 \text{ mm}^2$$

$$x_{lim} = d \cdot \epsilon_{cu3} / (\epsilon_{yd} + \epsilon_{cu3}) = 512,62 \text{ mm} \quad \text{z rovnováhy přetvoření}$$

$$\lambda \cdot x = 83,92 \text{ mm}$$

$$F_c = A_{c\lambda} \cdot \eta \cdot f_{cd} = 419,60 \text{ kN}$$

$$F_{sd} = A_{st} \cdot f_{yd} = 419,61 \text{ kN}$$

$$F_{sd} - F_c = 0,00 \text{ kN} \quad \text{musí být rovno nule (rovnováha sil)}$$

$$M_{Rd} = M_{crd} + M_{srd} = 412,0 \text{ kNm} > M_{Sd} = 183,24 \text{ kNm} \quad \text{vyhovuje}$$

$$N_{Ed} = 0 \text{ kN}$$

$$A_c = 250\,000 \text{ mm}^2$$

*průřez bez smykové výztuže*

$$V_{Rdc} = (C_{Rdc} \cdot k \cdot (100 \cdot \rho_1 \cdot f_{ck})^{1/3} + k_1 \cdot \sigma_{cp}) \cdot b_w \cdot d = 92,4 \text{ kN}$$

$$V_{Rdc} = (v_{min} + k_1 \cdot \sigma_{cp}) \cdot b_w \cdot d = 83,4 \text{ kN}$$

$$k = 1 + (200 / d)^{1/2} = 1,45 \leq 2,0$$

$$\rho_1 = A_{sl} / (b_w \cdot d) = 0,0032 \leq 0,02$$

$$V_{Sdc} = 64,2 \text{ kN}$$

$$V_{Sdc1} = 64,20 \text{ kN}$$

$$C_{Rdc} = 0,18 / \gamma_c = 0,12$$

$$V_{Sdcr} = V_{Sdc1} \cdot 0,7 = 44,94 \text{ kN}$$

$$v_{min} = 0,035 \cdot k^{3/2} \cdot f_{ck}^{1/2} = 0,33$$

$$k_1 = 0,15$$

$$\sigma_{cp} = N_{Ed} / A_c = 0 \text{ MPa}$$

$$V_{Rdc} = 92,4 \text{ kN} > V_{Sdcr} = 44,94 \text{ kN}$$

vyhovuje, není třeba smyková výztuž

*průřez se smykovou výztuží*

$$s = 300 \text{ mm} \quad \text{vzdálenost třmíneků}$$

$$f_{ywd} = 521,74 \text{ MPa} \quad \text{návrhová mez kluzu smykové výztuže}$$

$$v = 0,6 \cdot (1 - f_{ck} / 250) = 0,528$$

$$v_1 = v = 0,528 \quad \text{redukční součinitel pevnosti betonu při porušení smyky}$$

$$\alpha_{cw} = 0,3$$

$$z = d - S_c / A_c = 899,5 \text{ mm}$$

$$\theta = 45^\circ \quad \text{musí být z intervalu } 21,8^\circ - 45^\circ$$

$$\tg \theta = 1,000$$

$$\cotg \theta = 1,000$$

$$A_{sw} = 144 \text{ mm}^2$$

$$a_s = 12 \text{ mm}$$

$$n = 4$$

$$V_{Rds} = A_{sw} / s \cdot z \cdot f_{ywd} \cdot \cotg \theta = 225,3 \text{ kN} > V_{Sdcr} = 44,94 \text{ kN}$$

$$V_{Rdmax} = \alpha_{cw} \cdot b_w \cdot z \cdot v_1 \cdot f_{cd} / (\cotg \theta + \tg \theta) = 356,2 \text{ kN} > V_{Sdcr} = 44,94 \text{ kN}$$

smyková výztuž vyhovuje

POSOUZENÍ PRŮŘEZU PODÉLNÍKU - PRAVÝ

C 30/37

h = 1000 mm

b = 300 mm

h<sub>l</sub> = mm

d<sub>s</sub> = 16 mm

A<sub>sl</sub> = 201,06 mm<sup>2</sup>

n<sub>s</sub> = 4

a = 48 mm

d = 952 mm

M<sub>Sd</sub> = 183,2 kNm

k<sub>r1</sub> = 1,0000

M<sub>Sdq1</sub> = 183,2 kNm

j	i
1	0
2	1
3	2
4	3
5	4
6	5
	6

j	i
1	0
2	1
3	2
4	3
5	4
6	5
	6

beton :

C 30/37

charakteristická tlaková pevnost

f<sub>ck</sub> = 30,00 MPa

poměrné stlačení betonu

ε<sub>c2</sub> = 2,00 ‰

exponent

n = 2

maximální poměrné stlačení betonu

ε<sub>cu2</sub> = 3,50 ‰

λ = 0,8

η = 1

poměrné stlačení betonu -bilineární

ε<sub>c3</sub> = 1,75 ‰

maximální poměrné stlačení betonu - bilineární

ε<sub>cu3</sub> = 3,50 ‰

E<sub>cm</sub> = 33 GPa

ocel :

R 600

E<sub>s</sub> = 200 GPa

f<sub>yk</sub> = 600 MPa

γ<sub>s</sub> = 1,15

ε<sub>uk</sub> = 75 ‰

ε<sub>ud</sub> = 0,9 · ε<sub>uk</sub> = 67,5 ‰

f<sub>yd</sub> = f<sub>yk</sub> / γ<sub>s</sub> = 521,7 MPa

ε<sub>yd</sub> = f<sub>yk</sub> / E = 3 ‰

poměrné přetvoření

ε<sub>c</sub> = 3,5

ε<sub>s</sub> = 5 ‰

α<sub>cc</sub> = 1,0 doporučená hodnota 1,0

γ<sub>c</sub> = 1,5 trvalá a dočasná návrhová situace

f<sub>cd</sub> = α<sub>cc</sub> · f<sub>ck</sub> / γ<sub>c</sub> = 20,00 MPa

Statické hodnoty obdélníkového průřezu

t <sub>j</sub> (mm)	h <sub>i</sub> (mm)	b <sub>j1</sub> (mm)	b <sub>j2</sub> (mm)	y <sub>j</sub> (mm)	z <sub>j</sub> (mm)	A <sub>j</sub> (mm <sup>2</sup> )	z <sub>ij</sub> (mm)	S <sub>j</sub> (.10 <sup>3</sup> mm <sup>3</sup> )
1000	0	300	300	300	87,418	26 225	43,71	1 146
0	1000	0	0	0	0	0	0,00	0
0	1000	0	0	0	0	0	1 000,00	0
0	1000	0	0	0	0	0	0,00	0
0	1000	0	0	0	0	0	1 000,00	0
0	1000	0	0	0	0	0	1 000,00	0
	1000							

y <sub>j</sub> (mm)	z <sub>j</sub> (mm)	A <sub>j</sub> (mm <sup>2</sup> )	z <sub>ij</sub> (mm)	S <sub>j</sub> (.10 <sup>3</sup> mm <sup>3</sup> )
300	69,9344	20 980	34,97	734
0	0	0	0,00	0
0	0	0	1 000,00	0
0	0	0	0,00	0
0	0	0	1 000,00	0
0	0	0	1 000,00	0

statické hodnoty pro celou část průřezu - beton

x = z<sub>ci</sub> = 87,418 mm

A<sub>c</sub> = 26 .10<sup>3</sup> mm<sup>2</sup>

S<sub>c</sub> = 1,146 .10<sup>6</sup> mm<sup>3</sup>

statické hodnoty pro redukovanou část průřezu - beton

λ · x = λ · z<sub>ci</sub> = 69,934 mm

A<sub>cλ</sub> = 20,980 .10<sup>3</sup> mm<sup>2</sup>

S<sub>cλ</sub> = 0,734 .10<sup>6</sup> mm<sup>3</sup>

z<sub>cλ</sub> = S<sub>cλ</sub> / A<sub>cλ</sub> = 34,97 mm

M<sub>cRd</sub> = F<sub>c</sub> · z<sub>cλ</sub> = 14,67 kNm

statické hodnoty pro celou část průřezu - ocel

i	n	z <sub>i</sub> [mm]	A <sub>i</sub> (mm <sup>2</sup> )	S <sub>i</sub> (.10 <sup>3</sup> mm <sup>3</sup> )	M <sub>srd</sub> (kNm)
1	0	60	0,0	0,0	0,00
2	4	940	804,2	756,0	394,43
3	0	900	0,0	0,0	0,00

A<sub>s</sub> = 0,80 .10<sup>3</sup> mm<sup>2</sup>

4	0	0	0,0	0,0	0,00
---	---	---	-----	-----	------

$$M_{sRd} = 394,43 \text{ kNm}$$

$$A_{c\lambda} = 20980 \text{ mm}^2$$

$$A_{st} = \Sigma(n_{ai} \cdot A_{sli}) = 804 \text{ mm}^2$$

$$x_{lim} = d \cdot \epsilon_{cu3} / (\epsilon_{yd} + \epsilon_{cu3}) = 512,62 \text{ mm} \quad \text{z rovnováhy přetvoření}$$

$$\lambda \cdot x = 69,93 \text{ mm}$$

$$F_c = A_{c\lambda} \cdot \eta \cdot f_{cd} = 419,61 \text{ kN}$$

$$F_{sd} = A_{st} \cdot f_{yd} = 419,61 \text{ kN}$$

$$F_{sd} - F_c = 0,00 \text{ kN} \quad \text{musí být rovno nule (rovnováha sil)}$$

$$M_{Rd} = M_{crd} + M_{srd} = 409,1 \text{ kNm} > M_{Sd} = 183,24 \text{ kNm} \quad \text{vyhovuje}$$

*průřez bez smykové výztuže*

$$N_{Ed} = 0 \text{ kN} \quad V_{Rdc} = (C_{Rdc} \cdot k \cdot (100 \cdot \rho_1 \cdot f_{ck})^{1/3} + k_1 \cdot \sigma_{cp}) \cdot b_w \cdot d = 104,4 \text{ kN}$$

$$A_c = 300\,000 \text{ mm}^2 \quad V_{Rdc} = (v_{min} + k_1 \cdot \sigma_{cp}) \cdot b_w \cdot d = 100,1 \text{ kN}$$

$$k = 1 + (200 / d)^{1/2} = 1,45 \leq 2,0$$

$$\rho_1 = A_{sl} / (b_w \cdot d) = 0,0027 \leq 0,02$$

$$C_{Rdc} = 0,18 / \gamma_c = 0,12 \quad V_{Sdcr} = V_{Sdc1} \cdot 0,7 = 51,24 \text{ kN}$$

$$v_{min} = 0,035 \cdot k^{3/2} \cdot f_{ck}^{1/2} = 0,33$$

$$k_1 = 0,15$$

$$\sigma_{cp} = N_{Ed} / A_c = 0 \text{ MPa}$$

$$V_{Rdc} = 104,4 \text{ kN} > V_{Sdcr} = 51,24 \text{ kN}$$

vyhovuje, není třeba smyková výztuž

*průřez se smykovou výztuží*

$$s = 300 \text{ mm} \quad \text{vzdálenost třmíneků}$$

$$f_{ywd} = 521,74 \text{ MPa} \quad \text{návrhová mez kluzu smykové výztuže}$$

$$v = 0,6 \cdot (1 - f_{ck} / 250) = 0,528$$

$$v_1 = v = 0,528 \quad \text{redukční součinitel pevnosti betonu při porušení smyky}$$

$$\alpha_{cw} = 0,3$$

$$z = d - S_c / A_c = 908,3 \text{ mm}$$

$$\theta = 45^\circ \quad \text{musí být z intervalu } 21,8^\circ - 45^\circ$$

$$\text{tg } \theta = 1,000$$

$$\text{cotg } \theta = 1,000$$

$$A_{sw} = 144 \text{ mm}^2$$

$$a_s = 12 \text{ mm}$$

$$n = 4$$

$$V_{Rds} = A_{sw} / s \cdot z \cdot f_{ywd} \cdot \text{cotg } \theta = 227,5 \text{ kN} > V_{Sdcr} = 51,24 \text{ kN}$$

$$V_{Rdmax} = \alpha_{cw} \cdot b_w \cdot z \cdot v_1 \cdot f_{cd} / (\text{cotg } \theta + \text{tg } \theta) = 431,6 \text{ kN} > V_{Sdcr} = 51,24 \text{ kN}$$

smyková výztuž vyhovuje

C 30/37

h = 400 mm

b = 250 mm

h<sub>l</sub> = mm

d<sub>s</sub> = 16 mm

A<sub>sl</sub> = 201,06 mm<sup>2</sup>

n<sub>s</sub> = 4

a = 48 mm

d = 352 mm

M<sub>Sd</sub> = 80,9 kNm

k<sub>r1</sub> = 1,0000

M<sub>Sdq1</sub> = 80,9 kNm

j	i
1	0
2	1
3	2
4	3
5	4
6	5
	6

j	i
1	0
2	1
3	2
4	3
5	4
6	5
	6

## POSOUZENÍ PRŮŘEZU ŘÍMSY

beton : C 30/37

charakteristická tlaková pevnost f<sub>ck</sub> = 30,00 MPa

poměrné stlačení betonu ε<sub>c2</sub> = 2,00 ‰

exponent n = 2

maximální poměrné stlačení betonu ε<sub>cu2</sub> = 3,50 ‰

λ = 0,8

η = 1

poměrné stlačení betonu -bilineární ε<sub>c3</sub> = 1,75 ‰

maximální poměrné stlačení betonu - bilineární ε<sub>cu3</sub> = 3,50 ‰

E<sub>cm</sub> = 33 GPa

ocel : R 600

E<sub>s</sub> = 200 GPa

f<sub>yk</sub> = 600 MPa

γ<sub>s</sub> = 1,15

ε<sub>uk</sub> = 75 ‰

ε<sub>ud</sub> = 0,9 · ε<sub>uk</sub> = 67,5 ‰

f<sub>yd</sub> = f<sub>yk</sub> / γ<sub>s</sub> = 521,7 MPa

ε<sub>yd</sub> = f<sub>yk</sub> / E = 3 ‰

poměrné přetvoření ε<sub>c</sub> = 3,5

ε<sub>s</sub> = 5 ‰

α<sub>cc</sub> = 1,0 doporučená hodnota 1,0

γ<sub>c</sub> = 1,5 trvalá a dočasná návrhová situace

f<sub>cd</sub> = α<sub>cc</sub> · f<sub>ck</sub> / γ<sub>c</sub> = 20,00 MPa

### Statické hodnoty obdélníkového průřezu

t <sub>j</sub> (mm)	h <sub>i</sub> (mm)	b <sub>j1</sub> (mm)	b <sub>j2</sub> (mm)	y <sub>j</sub> (mm)	z <sub>j</sub> (mm)	A <sub>j</sub> (mm <sup>2</sup> )	z <sub>ji</sub> (mm)	S <sub>j</sub> (.10 <sup>3</sup> mm <sup>3</sup> )
400	0	250	250	250	104,903	26 226	52,45	1 376
0	400	0	0	0	0	0	0,00	0
0	400	0	0	0	0	0	400,00	0
0	400	0	0	0	0	0	0,00	0
0	400	0	0	0	0	0	400,00	0
0	400	0	0	0	0	0	400,00	0
	400							

y <sub>i</sub> (mm)	z <sub>i</sub> (mm)	A <sub>i</sub> (mm <sup>2</sup> )	z <sub>ii</sub> (mm)	S <sub>i</sub> (.10 <sup>3</sup> mm <sup>3</sup> )
250	83,9224	20 981	41,96	880
0	0	0	0,00	0
0	0	0	400,00	0
0	0	0	0,00	0
0	0	0	400,00	0
0	0	0	400,00	0

statické hodnoty pro celou část průřezu - beton

x = z<sub>ci</sub> = 104,903 mm

A<sub>c</sub> = 26 .10<sup>3</sup> mm<sup>2</sup>

S<sub>c</sub> = 1,376 .10<sup>6</sup> mm<sup>3</sup>

statické hodnoty pro redukovanou část průřezu - beton

λ · x = λ · z<sub>ci</sub> = 83,922 mm

A<sub>cλ</sub> = 20,981 .10<sup>3</sup> mm<sup>2</sup>

S<sub>cλ</sub> = 0,880 .10<sup>6</sup> mm<sup>3</sup>

z<sub>cλ</sub> = S<sub>cλ</sub> / A<sub>cλ</sub> = 41,96 mm

M<sub>cRd</sub> = F<sub>c</sub> · z<sub>cλ</sub> = 17,61 kNm

statické hodnoty pro celou část průřezu - ocel

i	n	z <sub>i</sub> [mm]	A <sub>i</sub> (mm <sup>2</sup> )	S <sub>i</sub> (.10 <sup>3</sup> mm <sup>3</sup> )	M <sub>srd</sub> (kNm)
1	0	60	0,0	0,0	0,00
2	4	340	804,2	273,4	142,67
3	0	300	0,0	0,0	0,00

A<sub>s</sub> = 0,80 .10<sup>3</sup> mm<sup>2</sup>

4	0	0	0,0	0,0	0,00
---	---	---	-----	-----	------

$$M_{sRd} = 142,67 \text{ kNm}$$

$$A_{c\lambda} = 20981 \text{ mm}^2$$

$$A_{st} = \Sigma(n_{ai} \cdot A_{sli}) = 804 \text{ mm}^2$$

$$x_{lim} = d \cdot \epsilon_{cu3} / (\epsilon_{yd} + \epsilon_{cu3}) = 189,54 \text{ mm} \quad \text{z rovnováhy přetvoření}$$

$$\lambda \cdot x = 83,92 \text{ mm}$$

$$F_c = A_{c\lambda} \cdot \eta \cdot f_{cd} = 419,61 \text{ kN}$$

$$F_{sd} = A_{st} \cdot f_{yd} = 419,61 \text{ kN}$$

$$F_{sd} - F_c = 0,00 \text{ kN} \quad \text{musí být rovno nule (rovnováha sil)}$$

$$M_{Rd} = M_{crd} + M_{srd} = 160,3 \text{ kNm} > M_{Sd} = 80,91 \text{ kNm} \quad \text{vyhovuje}$$

*průřez bez smykové výztuže*

$$N_{Ed} = 0 \text{ kN} \quad V_{Rdc} = (C_{Rdc} \cdot k \cdot (100 \cdot \rho_1 \cdot f_{ck})^{1/3} + k_1 \cdot \sigma_{cp}) \cdot b_w \cdot d = 59,2 \text{ kN}$$

$$A_c = 100\,000 \text{ mm}^2 \quad V_{Rdc} = (v_{min} + k_1 \cdot \sigma_{cp}) \cdot b_w \cdot d = 42,8 \text{ kN}$$

$$k = 1 + (200 / d)^{1/2} = 1,71 \leq 2,0$$

$$\rho_1 = A_{sl} / (b_w \cdot d) = 0,0080 \leq 0,02$$

$$V_{Sdc} = 82,3 \text{ kN} \quad C_{Rdc} = 0,18 / \gamma_c = 0,12 \quad V_{Sdcr} = V_{Sdc1} \cdot 0,7 = 57,61 \text{ kN}$$

$$V_{Sdc1} = 82,30 \text{ kN} \quad v_{min} = 0,035 \cdot k^{3/2} \cdot f_{ck}^{1/2} = 0,43$$

$$k_1 = 0,15$$

$$\sigma_{cp} = N_{Ed} / A_c = 0 \text{ MPa}$$

$$V_{Rdc} = 59,2 \text{ kN} > V_{Sdcr} = 57,61 \text{ kN}$$

vyhovuje, není třeba smyková výztuž

*průřez se smykovou výztuží*

$$s = 300 \text{ mm} \quad \text{vzdálenost třmíneků}$$

$$f_{ywd} = 521,74 \text{ MPa} \quad \text{návrhová mez kluzu smykové výztuže}$$

$$v = 0,6 \cdot (1 - f_{ck} / 250) = 0,528$$

$$v_1 = v = 0,528 \quad \text{redukční součinitel pevnosti betonu při porušení smyky}$$

$$\alpha_{cw} = 0,3$$

$$z = d - S_c / A_c = 299,5 \text{ mm}$$

$$\theta = 45^\circ \quad \text{musí být z intervalu } 21,8^\circ - 45^\circ$$

$$\text{tg } \theta = 1,000$$

$$\text{cotg } \theta = 1,000$$

$$A_{sw} = 144 \text{ mm}^2$$

$$a_s = 12 \text{ mm}$$

$$n = 4$$

$$V_{Rds} = A_{sw} / s \cdot z \cdot f_{ywd} \cdot \text{cotg } \theta = 75,0 \text{ kN} > V_{Sdcr} = 57,61 \text{ kN}$$

$$V_{Rdmax} = \alpha_{cw} \cdot b_w \cdot z \cdot v_1 \cdot f_{cd} / (\text{cotg } \theta + \text{tg } \theta) = 118,6 \text{ kN} > V_{Sdcr} = 57,61 \text{ kN}$$

smyková výztuž vyhovuje

C 30/37 ▼

h = 500 mm

b = 910 mm

h<sub>l</sub> = mm

d<sub>s</sub> = 20 mm

A<sub>sl</sub> = 314,16 mm<sup>2</sup>

n<sub>s</sub> = 5

a = 60 mm

d = 440 mm

M<sub>Sd</sub> = 257,0 kNm

k<sub>r1</sub> = 1,0000

M<sub>Sdq1</sub> = 257,0 kNm

j	i
1	0
2	1
3	2
4	3
5	4
6	5
	6

j	i
1	0
2	1
3	2
4	3
5	4
6	5
	6

## POSOUZENÍ PRŮŘEZU PŘÍČNÍK-KONZOLA

beton : C 30/37

charakteristická tlaková pevnost f<sub>ck</sub> = 30,00 MPa

poměrné stlačení betonu ε<sub>c2</sub> = 2,00 ‰

exponent n = 2

maximální poměrné stlačení betonu ε<sub>cu2</sub> = 3,50 ‰

λ = 0,8

η = 1

poměrné stlačení betonu -bilineární ε<sub>c3</sub> = 1,75 ‰

maximální poměrné stlačení betonu - bilineární ε<sub>cu3</sub> = 3,50 ‰

E<sub>cm</sub> = 33 GPa

ocel : R 600

E<sub>s</sub> = 200 GPa

f<sub>yk</sub> = 600 MPa

γ<sub>s</sub> = 1,15

ε<sub>uk</sub> = 75 ‰

ε<sub>ud</sub> = 0,9 · ε<sub>uk</sub> = 67,5 ‰

f<sub>yd</sub> = f<sub>yk</sub> / γ<sub>s</sub> = 521,7 MPa

ε<sub>yd</sub> = f<sub>yk</sub> / E = 3 ‰

poměrné přetvoření ε<sub>c</sub> = 3,5

ε<sub>s</sub> = 5 ‰

α<sub>cc</sub> = 1,0 doporučená hodnota 1,0

γ<sub>c</sub> = 1,5 trvalá a dočasná návrhová situace

f<sub>cd</sub> = α<sub>cc</sub> · f<sub>ck</sub> / γ<sub>c</sub> = 20,00 MPa

Statické hodnoty lichoběžníkového průřezu

t <sub>j</sub> (mm)	h <sub>i</sub> (mm)	b <sub>j1</sub> (mm)	b <sub>j2</sub> (mm)	y <sub>j</sub> (mm)	z <sub>j</sub> (mm)	A <sub>j</sub> (mm <sup>2</sup> )	z <sub>ji</sub> (mm)	S <sub>j</sub> (.10 <sup>3</sup> mm <sup>3</sup> )
0	0	0	0	0	0	0	0,00	0
500	0	1100	720	1064,1432	47,18	51 052	23,46	1 198
0	500	720	720	0	0	0	500,00	0
0	500	720	1100	0	0	0	0,00	0
0	500	0	0	0	0	0	500,00	0
0	500	0	0	0	0	0	500,00	0
	500							

y <sub>j</sub> (mm)	z <sub>j</sub> (mm)	A <sub>j</sub> (mm <sup>2</sup> )	z <sub>ji</sub> (mm)	S <sub>j</sub> (.10 <sup>3</sup> mm <sup>3</sup> )
0	0	0	0,00	0
1071,31456	37,744	40 977	23,57	966
0	0	0	500,00	0
0	0	0	0,00	0
0	0	0	500,00	0
0	0	0	500,00	0

statické hodnoty pro celou část průřezu - beton

x = z<sub>ci</sub> = 47,18 mm

A<sub>c</sub> = 51 .10<sup>3</sup> mm<sup>2</sup>

S<sub>c</sub> = 1,198 .10<sup>6</sup> mm<sup>3</sup>

statické hodnoty pro redukovanou část průřezu - beton

λ · x = λ · z<sub>ci</sub> = 37,744 mm

A<sub>cλ</sub> = 40,977 .10<sup>3</sup> mm<sup>2</sup>

S<sub>cλ</sub> = 0,966 .10<sup>6</sup> mm<sup>3</sup>

z<sub>cλ</sub> = S<sub>cλ</sub> / A<sub>cλ</sub> = 23,57 mm

M<sub>cRd</sub> = F<sub>c</sub> · z<sub>cλ</sub> = 19,32 kNm

statické hodnoty pro celou část průřezu - ocel

i	n	z <sub>i</sub> [mm]	A <sub>i</sub> (mm <sup>2</sup> )	S <sub>i</sub> (.10 <sup>3</sup> mm <sup>3</sup> )	M <sub>srd</sub> (kNm)
1	0	60	0,0	0,0	0,00
2	5	440	1 570,8	691,2	360,60
3	0	390	0,0	0,0	0,00

A<sub>s</sub> = 1,57 .10<sup>3</sup> mm<sup>2</sup>

4	0	0	0,0	0,0	0,00
---	---	---	-----	-----	------

$$M_{sRd} = 360,60 \text{ kNm}$$

$$A_{c\lambda} = 40977 \text{ mm}^2$$

$$A_{st} = \Sigma(n_{ai} \cdot A_{sli}) = 1571 \text{ mm}^2$$

$$x_{lim} = d \cdot \epsilon_{cu3} / (\epsilon_{yd} + \epsilon_{cu3}) = 236,92 \text{ mm} \quad \text{z rovnováhy přetvoření}$$

$$\lambda \cdot x = 37,74 \text{ mm}$$

$$F_c = A_{c\lambda} \cdot \eta \cdot f_{cd} = 819,54 \text{ kN}$$

$$F_{sd} = A_{st} \cdot f_{yd} = 819,55 \text{ kN}$$

$$F_{sd} - F_c = 0,00 \text{ kN} \quad \text{musí být rovno nule (rovnováha sil)}$$

$$M_{Rd} = M_{crd} + M_{srd} = 379,9 \text{ kNm} > M_{Sd} = 257,00 \text{ kNm} \quad \text{vyhovuje}$$

*průřez bez smykové výztuže*

$$N_{Ed} = 0 \text{ kN}$$

$$A_c = 455\,000 \text{ mm}^2$$

$$V_{Rdc} = (C_{Rdc} \cdot k \cdot (100 \cdot \rho_1 \cdot f_{ck})^{1/3} + k_1 \cdot \sigma_{cp}) \cdot b_w \cdot d = 194,3 \text{ kN}$$

$$V_{Rdc} = (v_{min} + k_1 \cdot \sigma_{cp}) \cdot b_w \cdot d = 181,9 \text{ kN}$$

$$k = 1 + (200 / d)^{1/2} = 1,63 \leq 2,0$$

$$\rho_1 = A_{sl} / (b_w \cdot d) = 0,0035 \leq 0,02$$

$$V_{Sdc} = 221 \text{ kN}$$

$$V_{Sdc1} = 221,00 \text{ kN}$$

$$C_{Rdc} = 0,18 / \gamma_c = 0,12$$

$$V_{Sdcr} = V_{Sdc1} \cdot 0,7 = 154,70 \text{ kN}$$

$$v_{min} = 0,035 \cdot k^{3/2} \cdot f_{ck}^{1/2} = 0,40$$

$$k_1 = 0,15$$

$$\sigma_{cp} = N_{Ed} / A_c = 0 \text{ MPa}$$

$$V_{Rdc} = 194,3 \text{ kN} > V_{Sdcr} = 154,70 \text{ kN}$$

vyhovuje, není třeba smyková výztuž

*průřez se smykovou výztuží*

$$s = 300 \text{ mm} \quad \text{vzdálenost třmíneků}$$

$$f_{ywd} = 521,74 \text{ MPa} \quad \text{návrhová mez kluzu smykové výztuže}$$

$$v = 0,6 \cdot (1 - f_{ck} / 250) = 0,528$$

$$v_1 = v = 0,528 \quad \text{redukční součinitel pevnosti betonu při porušení smyky}$$

$$\alpha_{cw} = 0,3$$

$$z = d - S_c / A_c = 416,5 \text{ mm}$$

$$\theta = 45^\circ \quad \text{musí být z intervalu } 21,8^\circ - 45^\circ$$

$$\text{tg } \theta = 1,000$$

$$\text{cotg } \theta = 1,000$$

$$A_{sw} = 144 \text{ mm}^2$$

$$a_s = 12 \text{ mm}$$

$$n = 4$$

$$V_{Rds} = A_{sw} / s \cdot z \cdot f_{ywd} \cdot \text{cotg } \theta = 104,3 \text{ kN} < V_{Sdcr} = 154,70 \text{ kN}$$

$$V_{Rdmax} = \alpha_{cw} \cdot b_w \cdot z \cdot v_1 \cdot f_{cd} / (\text{cotg } \theta + \text{tg } \theta) = 600,4 \text{ kN} > V_{Sdcr} = 154,70 \text{ kN}$$

smyková výztuž nevyhovuje



C 30/37

h = 1000 mm

b = 425 mm

h<sub>l</sub> = mm

d<sub>s</sub> = 20 mm

A<sub>sl</sub> = 314,16 mm<sup>2</sup>

n<sub>s</sub> = 5

a = 60 mm

d = 940 mm

M<sub>Sd</sub> = 257,0 kNm

k<sub>r1</sub> = 1,0000

M<sub>Sdq1</sub> = 257,0 kNm

j	i
1	0
2	1
3	2
4	3
5	4
6	5
	6

j	i
1	0
2	1
3	2
4	3
5	4
6	5
	6

## POSOUZENÍ PRŮŘEZU PŘÍČNÍK-KONZOLA 2

beton : C 30/37

charakteristická tlaková pevnost f<sub>ck</sub> = 30,00 MPa

poměrné stlačení betonu ε<sub>c2</sub> = 2,00 ‰

exponent n = 2

maximální poměrné stlačení betonu ε<sub>cu2</sub> = 3,50 ‰

λ = 0,8

η = 1

poměrné stlačení betonu -bilineární ε<sub>c3</sub> = 1,75 ‰

maximální poměrné stlačení betonu - bilineární ε<sub>cu3</sub> = 3,50 ‰

E<sub>cm</sub> = 33 GPa

ocel : R 600

E<sub>s</sub> = 200 GPa

f<sub>yk</sub> = 600 MPa

γ<sub>s</sub> = 1,15

ε<sub>uk</sub> = 75 ‰

ε<sub>ud</sub> = 0,9 · ε<sub>uk</sub> = 67,5 ‰

f<sub>yd</sub> = f<sub>yk</sub> / γ<sub>s</sub> = 521,7 MPa

ε<sub>yd</sub> = f<sub>yk</sub> / E = 3 ‰

poměrné přetvoření ε<sub>c</sub> = 3,5

ε<sub>s</sub> = 5 ‰

α<sub>cc</sub> = 1,0 doporučená hodnota 1,0

γ<sub>c</sub> = 1,5 trvalá a dočasná návrhová situace

f<sub>cd</sub> = α<sub>cc</sub> · f<sub>ck</sub> / γ<sub>c</sub> = 20,00 MPa

### Statické hodnoty lichoběžníkového průřezu

t <sub>j</sub> (mm)	h <sub>i</sub> (mm)	b <sub>j1</sub> (mm)	b <sub>j2</sub> (mm)	y <sub>j</sub> (mm)	z <sub>j</sub> (mm)	A <sub>j</sub> (mm <sup>2</sup> )	z <sub>ji</sub> (mm)	S <sub>j</sub> (.10 <sup>3</sup> mm <sup>3</sup> )
1000	0	425	425	425	120	51 000	60,00	3 060
0	1000	1100	720	0	0	0	0,00	0
0	1000	720	720	0	0	0	1 000,00	0
0	1000	720	1100	0	0	0	0,00	0
0	1000	0	0	0	0	0	1 000,00	0
0	1000	0	0	0	0	0	1 000,00	0
	1000							

y <sub>i</sub> (mm)	z <sub>i</sub> (mm)	A <sub>i</sub> (mm <sup>2</sup> )	z <sub>ii</sub> (mm)	S <sub>i</sub> (.10 <sup>3</sup> mm <sup>3</sup> )
425	96	40 800	48,00	1 958
0	0	0	0,00	0
0	0	0	1 000,00	0
0	0	0	0,00	0
0	0	0	1 000,00	0
0	0	0	1 000,00	0

statické hodnoty pro celou část průřezu - beton

x = z<sub>ci</sub> = 120 mm

A<sub>c</sub> = 51 .10<sup>3</sup> mm<sup>2</sup>

S<sub>c</sub> = 3,060 .10<sup>6</sup> mm<sup>3</sup>

statické hodnoty pro redukovanou část průřezu - beton

λ · x = λ · z<sub>ci</sub> = 96,000 mm

A<sub>cλ</sub> = 40,800 .10<sup>3</sup> mm<sup>2</sup>

S<sub>cλ</sub> = 1,958 .10<sup>6</sup> mm<sup>3</sup>

z<sub>cλ</sub> = S<sub>cλ</sub> / A<sub>cλ</sub> = 48,00 mm

M<sub>cRd</sub> = F<sub>c</sub> · z<sub>cλ</sub> = 39,17 kNm

statické hodnoty pro celou část průřezu - ocel

i	n	z <sub>i</sub> [mm]	A <sub>i</sub> (mm <sup>2</sup> )	S <sub>i</sub> (.10 <sup>3</sup> mm <sup>3</sup> )	M <sub>srd</sub> (kNm)
1	0	60	0,0	0,0	0,00
2	5	940	1 570,8	1 476,5	770,37
3	0	890	0,0	0,0	0,00

A<sub>s</sub> = 1,57 .10<sup>3</sup> mm<sup>2</sup>

4	0	0	0,0	0,0	0,00
---	---	---	-----	-----	------

$$M_{sRd} = 770,37 \text{ kNm}$$

$$A_{c\lambda} = 40800 \text{ mm}^2$$

$$A_{st} = \Sigma(n_{ai} \cdot A_{sli}) = 1571 \text{ mm}^2$$

$$x_{lim} = d \cdot \epsilon_{cu3} / (\epsilon_{yd} + \epsilon_{cu3}) = 506,15 \text{ mm} \quad \text{z rovnováhy přetvoření}$$

$$\lambda \cdot x = 96,00 \text{ mm}$$

$$F_c = A_{c\lambda} \cdot \eta \cdot f_{cd} = 816,00 \text{ kN}$$

$$F_{sd} = A_{st} \cdot f_{yd} = 819,55 \text{ kN}$$

$$F_{sd} - F_c = 3,55 \text{ kN} \quad \text{musí být rovno nule (rovnováha sil)}$$

$$M_{Rd} = M_{crd} + M_{srd} = 809,5 \text{ kNm} > M_{Sd} = 257,00 \text{ kNm} \quad \text{vyhovuje}$$

*průřez bez smykové výztuže*

$$N_{Ed} = 0 \text{ kN} \quad V_{Rdc} = (C_{Rdc} \cdot k \cdot (100 \cdot \rho_1 \cdot f_{ck})^{1/3} + k_1 \cdot \sigma_{cp}) \cdot b_w \cdot d = 164,6 \text{ kN}$$

$$A_c = 425\,000 \text{ mm}^2 \quad V_{Rdc} = (v_{min} + k_1 \cdot \sigma_{cp}) \cdot b_w \cdot d = 141,8 \text{ kN}$$

$$k = 1 + (200 / d)^{1/2} = 1,45 \leq 2,0$$

$$\rho_1 = A_{sl} / (b_w \cdot d) = 0,0037 \leq 0,02$$

$$V_{Sdc} = 221 \text{ kN} \quad C_{Rdc} = 0,18 / \gamma_c = 0,12 \quad V_{Sdcr} = V_{Sdc1} \cdot 0,7 = 154,70 \text{ kN}$$

$$V_{Sdc1} = 221,00 \text{ kN} \quad v_{min} = 0,035 \cdot k^{3/2} \cdot f_{ck}^{1/2} = 0,33$$

$$k_1 = 0,15$$

$$\sigma_{cp} = N_{Ed} / A_c = 0 \text{ MPa}$$

$$V_{Rdc} = 164,6 \text{ kN} > V_{Sdcr} = 154,70 \text{ kN}$$

vyhovuje, není třeba smyková výztuž

*průřez se smykovou výztuží*

$$s = 300 \text{ mm} \quad \text{vzdálenost třmíneků}$$

$$f_{ywd} = 521,74 \text{ MPa} \quad \text{návrhová mez kluzu smykové výztuže}$$

$$v = 0,6 \cdot (1 - f_{ck} / 250) = 0,528$$

$$v_1 = v = 0,528 \quad \text{redukční součinitel pevnosti betonu při porušení smyky}$$

$$\alpha_{cw} = 0,3$$

$$z = d - S_c / A_c = 880,0 \text{ mm}$$

$$\theta = 45^\circ \quad \text{musí být z intervalu } 21,8^\circ - 45^\circ$$

$$\text{tg } \theta = 1,000$$

$$\text{cotg } \theta = 1,000$$

$$A_{sw} = 144 \text{ mm}^2$$

$$a_s = 12 \text{ mm}$$

$$n = 4$$

$$V_{Rds} = A_{sw} / s \cdot z \cdot f_{ywd} \cdot \text{cotg } \theta = 220,4 \text{ kN} > V_{Sdcr} = 154,70 \text{ kN}$$

$$V_{Rdmax} = \alpha_{cw} \cdot b_w \cdot z \cdot v_1 \cdot f_{cd} / (\text{cotg } \theta + \text{tg } \theta) = 592,4 \text{ kN} > V_{Sdcr} = 154,70 \text{ kN}$$

smyková výztuž vyhovuje

POSOUZENÍ PRŮŘEZU DESKA P2

C 30/37

h = 250 mm

b = 1000 mm

h<sub>l</sub> = mm

d<sub>s</sub> = 12 mm

A<sub>sl</sub> = 113,10 mm<sup>2</sup>

n<sub>s</sub> = 5

a = 36 mm

d = 214 mm

M<sub>Sd</sub> = 33,7 kNm

k<sub>r1</sub> = 1,0000

M<sub>Sdq1</sub> = 33,7 kNm

j	i
1	0
2	1
3	2
4	3
5	4
6	5
	6

j	i
1	0
2	1
3	2
4	3
5	4
6	5
	6

beton :

C 30/37

charakteristická tlaková pevnost

f<sub>ck</sub> = 30,00 MPa

poměrné stlačení betonu

ε<sub>c2</sub> = 2,00 ‰

exponent

n = 2

maximální poměrné stlačení betonu

ε<sub>cu2</sub> = 3,50 ‰

λ = 0,8

η = 1

poměrné stlačení betonu -bilineární

ε<sub>c3</sub> = 1,75 ‰

maximální poměrné stlačení betonu - bilineární

ε<sub>cu3</sub> = 3,50 ‰

E<sub>cm</sub> = 33 GPa

ocel :

R 600

E<sub>s</sub> = 200 GPa

f<sub>yk</sub> = 600 MPa

γ<sub>s</sub> = 1,15

ε<sub>uk</sub> = 75 ‰

ε<sub>ud</sub> = 0,9 . ε<sub>uk</sub> = 67,5 ‰

f<sub>yd</sub> = f<sub>yk</sub> / γ<sub>s</sub> = 521,7 MPa

ε<sub>yd</sub> = f<sub>yk</sub> / E = 3 ‰

poměrné přetvoření

ε<sub>c</sub> = 3,5

ε<sub>s</sub> = 5 ‰

α<sub>cc</sub> = 1,0 doporučená hodnota 1,0

γ<sub>c</sub> = 1,5 trvalá a dočasná návrhová situace

f<sub>cd</sub> = α<sub>cc</sub> . f<sub>ck</sub> / γ<sub>c</sub> = 20,00 MPa

Statické hodnoty obdélníkového průřezu

t <sub>j</sub> (mm)	h <sub>i</sub> (mm)	b <sub>j1</sub> (mm)	b <sub>j2</sub> (mm)	y <sub>j</sub> (mm)	z <sub>j</sub> (mm)	A <sub>j</sub> (mm <sup>2</sup> )	z <sub>ji</sub> (mm)	S <sub>j</sub> (.10 <sup>3</sup> mm <sup>3</sup> )
250	0	1000	1000	1000	18,44	18 440	9,22	170
0	250	0	0	0	0	0	0,00	0
0	250	0	0	0	0	0	250,00	0
0	250	0	0	0	0	0	0,00	0
0	250	0	0	0	0	0	250,00	0
0	250	0	0	0	0	0	250,00	0
	250							

y <sub>i</sub> (mm)	z <sub>i</sub> (mm)	A <sub>i</sub> (mm <sup>2</sup> )	z <sub>ji</sub> (mm)	S <sub>i</sub> (.10 <sup>3</sup> mm <sup>3</sup> )
1000	14,752	14 752	7,38	109
0	0	0	0,00	0
0	0	0	250,00	0
0	0	0	0,00	0
0	0	0	250,00	0
0	0	0	250,00	0

statické hodnoty pro celou část průřezu - beton

x = z<sub>ci</sub> = 18,44 mm

A<sub>c</sub> = 18 .10<sup>3</sup> mm<sup>2</sup>

S<sub>c</sub> = 0,170 .10<sup>6</sup> mm<sup>3</sup>

statické hodnoty pro redukovanou část průřezu - beton

λ . x = λ . z<sub>ci</sub> = 14,752 mm

A<sub>cλ</sub> = 14,752 .10<sup>3</sup> mm<sup>2</sup>

S<sub>cλ</sub> = 0,109 .10<sup>6</sup> mm<sup>3</sup>

z<sub>cλ</sub> = S<sub>cλ</sub> / A<sub>cλ</sub> = 7,38 mm

M<sub>cRd</sub> = F<sub>c</sub> . z<sub>cλ</sub> = 2,18 kNm

statické hodnoty pro celou část průřezu - ocel

i	n	z <sub>i</sub> [mm]	A <sub>i</sub> (mm <sup>2</sup> )	S <sub>i</sub> (.10 <sup>3</sup> mm <sup>3</sup> )	M <sub>srd</sub> (kNm)
1	0	36	0,0	0,0	0,00
2	5	214	565,5	121,0	63,14
3	0	184	0,0	0,0	0,00

A<sub>s</sub> = 0,57 .10<sup>3</sup> mm<sup>2</sup>

4	0	0	0,0	0,0	0,00
---	---	---	-----	-----	------

$$M_{sRd} = 63,14 \text{ kNm}$$

$$A_{c\lambda} = 14752 \text{ mm}^2$$

$$A_{st} = \Sigma(n_{ai} \cdot A_{sli}) = 565 \text{ mm}^2$$

$$x_{lim} = d \cdot \epsilon_{cu3} / (\epsilon_{yd} + \epsilon_{cu3}) = 115,23 \text{ mm} \quad \text{z rovnováhy přetvoření}$$

$$\lambda \cdot x = 14,75 \text{ mm}$$

$$F_c = A_{c\lambda} \cdot \eta \cdot f_{cd} = 295,04 \text{ kN}$$

$$F_{sd} = A_{st} \cdot f_{yd} = 295,04 \text{ kN}$$

$$F_{sd} - F_c = 0,00 \text{ kN} \quad \text{musí být rovno nule (rovnováha sil)}$$

$$M_{Rd} = M_{crd} + M_{srd} = 65,3 \text{ kNm} > M_{Sd} = 33,73 \text{ kNm} \quad \text{vyhovuje}$$

*průřez bez smykové výztuže*

$$N_{Ed} = 0 \text{ kN}$$

$$A_c = 250\,000 \text{ mm}^2$$

$$V_{Rdc} = (C_{Rdc} \cdot k \cdot (100 \cdot \rho_1 \cdot f_{ck})^{1/3} + k_1 \cdot \sigma_{cp}) \cdot b_w \cdot d = 107,6 \text{ kN}$$

$$V_{Rdc} = (v_{min} + k_1 \cdot \sigma_{cp}) \cdot b_w \cdot d = 125,0 \text{ kN}$$

$$k = 1 + (200 / d)^{1/2} = 1,89 \leq 2,0$$

$$\rho_1 = A_{sl} / (b_w \cdot d) = 0,0023 \leq 0,02$$

$$V_{Sdc} = 64,2 \text{ kN}$$

$$V_{Sdc1} = 64,20 \text{ kN}$$

$$C_{Rdc} = 0,18 / \gamma_c = 0,12$$

$$V_{Sdcr} = V_{Sdc1} \cdot 0,7 = 44,94 \text{ kN}$$

$$v_{min} = 0,035 \cdot k^{3/2} \cdot f_{ck}^{1/2} = 0,50$$

$$k_1 = 0,15$$

$$\sigma_{cp} = N_{Ed} / A_c = 0 \text{ MPa}$$

$$V_{Rdc} = 125,0 \text{ kN} > V_{Sdcr} = 44,94 \text{ kN}$$

vyhovuje, není třeba smyková výztuž

*průřez se smykovou výztuží*

$$s = 300 \text{ mm} \quad \text{vzdálenost třmíneků}$$

$$f_{ywd} = 521,74 \text{ MPa} \quad \text{návrhová mez kluzu smykové výztuže}$$

$$v = 0,6 \cdot (1 - f_{ck} / 250) = 0,528$$

$$v_1 = v = 0,528 \quad \text{redukční součinitel pevnosti betonu při porušení smyky}$$

$$\alpha_{cw} = 0,3$$

$$z = d - S_c / A_c = 204,8 \text{ mm}$$

$$\theta = 45^\circ \quad \text{musí být z intervalu } 21,8^\circ - 45^\circ$$

$$\tg \theta = 1,000$$

$$\cotg \theta = 1,000$$

$$A_{sw} = 144 \text{ mm}^2$$

$$a_s = 12 \text{ mm}$$

$$n = 4$$

$$V_{Rds} = A_{sw} / s \cdot z \cdot f_{ywd} \cdot \cotg \theta = 51,3 \text{ kN} > V_{Sdcr} = 44,94 \text{ kN}$$

$$V_{Rdmax} = \alpha_{cw} \cdot b_w \cdot z \cdot v_1 \cdot f_{cd} / (\cotg \theta + \tg \theta) = 324,4 \text{ kN} > V_{Sdcr} = 44,94 \text{ kN}$$

smyková výztuž vyhovuje

C 30/37

h = 250 mm

b = 1000 mm

h<sub>l</sub> = mm

d<sub>s</sub> = 12 mm

A<sub>sl</sub> = 113,10 mm<sup>2</sup>

n<sub>s</sub> = 5

a = 36 mm

d = 214 mm

M<sub>Sd</sub> = 33,7 kNm

k<sub>r1</sub> = 1,0000

M<sub>Sdq1</sub> = 33,7 kNm

j	i
1	0
2	1
3	2
4	3
5	4
6	5
	6

j	i
1	0
2	1
3	2
4	3
5	4
6	5
	6

## POSOUZENÍ PRŮŘEZU DESKA P1

beton : C 30/37

charakteristická tlaková pevnost f<sub>ck</sub> = 30,00 MPa

poměrné stlačení betonu ε<sub>c2</sub> = 2,00 ‰

exponent n = 2

maximální poměrné stlačení betonu ε<sub>cu2</sub> = 3,50 ‰

λ = 0,8

η = 1

poměrné stlačení betonu -bilineární ε<sub>c3</sub> = 1,75 ‰

maximální poměrné stlačení betonu - bilineární ε<sub>cu3</sub> = 3,50 ‰

E<sub>cm</sub> = 33 GPa

ocel : R 600

E<sub>s</sub> = 200 GPa

f<sub>yk</sub> = 600 MPa

γ<sub>s</sub> = 1,15

ε<sub>uk</sub> = 75 ‰

ε<sub>ud</sub> = 0,9 · ε<sub>uk</sub> = 67,5 ‰

f<sub>yd</sub> = f<sub>yk</sub> / γ<sub>s</sub> = 521,7 MPa

ε<sub>yd</sub> = f<sub>yk</sub> / E = 3 ‰

poměrné přetvoření ε<sub>c</sub> = 3,5

ε<sub>s</sub> = 5 ‰

α<sub>cc</sub> = 1,0 doporučená hodnota 1,0

γ<sub>c</sub> = 1,5 trvalá a dočasná návrhová situace

f<sub>cd</sub> = α<sub>cc</sub> · f<sub>ck</sub> / γ<sub>c</sub> = 20,00 MPa

### Statické hodnoty obdélníkového průřezu

t <sub>j</sub> (mm)	h <sub>i</sub> (mm)	b <sub>j1</sub> (mm)	b <sub>j2</sub> (mm)	y <sub>j</sub> (mm)	z <sub>j</sub> (mm)	A <sub>j</sub> (mm <sup>2</sup> )	z <sub>ji</sub> (mm)	S <sub>j</sub> (.10 <sup>3</sup> mm <sup>3</sup> )
250	0	1000	1000	1000	18,44	18 440	9,22	170
0	250	0	0	0	0	0	0,00	0
0	250	0	0	0	0	0	250,00	0
0	250	0	0	0	0	0	0,00	0
0	250	0	0	0	0	0	250,00	0
0	250	0	0	0	0	0	250,00	0
	250							

y <sub>i</sub> (mm)	z <sub>i</sub> (mm)	A <sub>i</sub> (mm <sup>2</sup> )	z <sub>ji</sub> (mm)	S <sub>i</sub> (.10 <sup>3</sup> mm <sup>3</sup> )
1000	14,752	14 752	7,38	109
0	0	0	0,00	0
0	0	0	250,00	0
0	0	0	0,00	0
0	0	0	250,00	0
0	0	0	250,00	0

statické hodnoty pro celou část průřezu - beton

x = z<sub>ci</sub> = 18,44 mm

A<sub>c</sub> = 18 .10<sup>3</sup> mm<sup>2</sup>

S<sub>c</sub> = 0,170 .10<sup>6</sup> mm<sup>3</sup>

statické hodnoty pro redukovanou část průřezu - beton

λ · x = λ · z<sub>ci</sub> = 14,752 mm

A<sub>cλ</sub> = 14,752 .10<sup>3</sup> mm<sup>2</sup>

S<sub>cλ</sub> = 0,109 .10<sup>6</sup> mm<sup>3</sup>

z<sub>cλ</sub> = S<sub>cλ</sub> / A<sub>cλ</sub> = 7,38 mm

M<sub>cRd</sub> = F<sub>c</sub> · z<sub>cλ</sub> = 2,18 kNm

statické hodnoty pro celou část průřezu - ocel

i	n	z <sub>i</sub> [mm]	A <sub>i</sub> (mm <sup>2</sup> )	S <sub>i</sub> (.10 <sup>3</sup> mm <sup>3</sup> )	M <sub>srd</sub> (kNm)
1	0	48	0,0	0,0	0,00
2	5	202	565,5	114,2	59,60
3	0	172	0,0	0,0	0,00

A<sub>s</sub> = 0,57 .10<sup>3</sup> mm<sup>2</sup>

4	0	0	0,0	0,0	0,00
---	---	---	-----	-----	------

$$M_{sRd} = 59,60 \text{ kNm}$$

$$A_{c\lambda} = 14752 \text{ mm}^2$$

$$A_{st} = \Sigma(n_{ai} \cdot A_{sli}) = 565 \text{ mm}^2$$

$$x_{lim} = d \cdot \epsilon_{cu3} / (\epsilon_{yd} + \epsilon_{cu3}) = 115,23 \text{ mm} \quad \text{z rovnováhy přetvoření}$$

$$\lambda \cdot x = 14,75 \text{ mm}$$

$$F_c = A_{c\lambda} \cdot \eta \cdot f_{cd} = 295,04 \text{ kN}$$

$$F_{sd} = A_{st} \cdot f_{yd} = 295,04 \text{ kN}$$

$$F_{sd} - F_c = 0,00 \text{ kN} \quad \text{musí být rovno nule (rovnováha sil)}$$

$$M_{Rd} = M_{crd} + M_{srd} = 61,8 \text{ kNm} > M_{Sd} = 33,73 \text{ kNm} \quad \text{vyhovuje}$$

*průřez bez smykové výztuže*

$$N_{Ed} = 0 \text{ kN}$$

$$A_c = 250\,000 \text{ mm}^2$$

$$V_{Rdc} = (C_{Rdc} \cdot k \cdot (100 \cdot \rho_1 \cdot f_{ck})^{1/3} + k_1 \cdot \sigma_{cp}) \cdot b_w \cdot d = 107,6 \text{ kN}$$

$$V_{Rdc} = (v_{min} + k_1 \cdot \sigma_{cp}) \cdot b_w \cdot d = 125,0 \text{ kN}$$

$$k = 1 + (200 / d)^{1/2} = 1,89 \leq 2,0$$

$$\rho_1 = A_{sl} / (b_w \cdot d) = 0,0023 \leq 0,02$$

$$V_{Sdc} = 64,2 \text{ kN}$$

$$V_{Sdc1} = 64,20 \text{ kN}$$

$$C_{Rdc} = 0,18 / \gamma_c = 0,12$$

$$V_{Sdcr} = V_{Sdc1} \cdot 0,7 = 44,94 \text{ kN}$$

$$v_{min} = 0,035 \cdot k^{3/2} \cdot f_{ck}^{1/2} = 0,50$$

$$k_1 = 0,15$$

$$\sigma_{cp} = N_{Ed} / A_c = 0 \text{ MPa}$$

$$V_{Rdc} = 125,0 \text{ kN} > V_{Sdcr} = 44,94 \text{ kN}$$

vyhovuje, není třeba smyková výztuž

*průřez se smykovou výztuží*

$$s = 300 \text{ mm} \quad \text{vzdálenost třmíneků}$$

$$f_{ywd} = 521,74 \text{ MPa} \quad \text{návrhová mez kluzu smykové výztuže}$$

$$v = 0,6 \cdot (1 - f_{ck} / 250) = 0,528$$

$$v_1 = v = 0,528 \quad \text{redukční součinitel pevnosti betonu při porušení smyky}$$

$$\alpha_{cw} = 0,3$$

$$z = d - S_c / A_c = 204,8 \text{ mm}$$

$$\theta = 45^\circ \quad \text{musí být z intervalu } 21,8^\circ - 45^\circ$$

$$\tg \theta = 1,000$$

$$\cotg \theta = 1,000$$

$$A_{sw} = 144 \text{ mm}^2$$

$$a_s = 12 \text{ mm}$$

$$n = 4$$

$$V_{Rds} = A_{sw} / s \cdot z \cdot f_{ywd} \cdot \cotg \theta = 51,3 \text{ kN} > V_{Sdcr} = 44,94 \text{ kN}$$

$$V_{Rdmax} = \alpha_{cw} \cdot b_w \cdot z \cdot v_1 \cdot f_{cd} / (\cotg \theta + \tg \theta) = 324,4 \text{ kN} > V_{Sdcr} = 44,94 \text{ kN}$$

smyková výztuž vyhovuje

## ZATÍŽENÍ PRŮŘEZŮ

### zemní tlak za opěrou

$\gamma_{zd} =$	33	kN.m <sup>-3</sup>
$h_t =$	2,3	m
nesoudržné		
$v_1 =$	0,25	
$\phi_{ef1} =$	35	°
soudržné		
$v_2 =$	0,4	
$\phi_{ef2} =$	20	°

$$\sigma_z = \gamma_{zd} \cdot h_t = 75,9 \text{ kPa}$$
$$\sigma_{r0} = \sigma_z \cdot K_0 = 32,37 \text{ kPa}$$

$$K_0 = v / (1 - v) = 0,333$$
$$K_0 = 1 - \sin \phi_{ef} = 0,426$$
$$K_0 = 0,426$$
$$K_0 = v / (1 - v) = 0,667$$
$$K_0 = 1 - \sin \phi_{ef} = 0,658$$
$$K_0 = 0,667$$

### přetížení od svislého zatížení dopravou

#### *osamělá síla*

$V_d =$	270	kN
$x =$	1	m
$y =$	0	m
$z =$	0 - 1	m

$$z = 0,57 \text{ m}$$
$$r = (x^2 + y^2 + z^2)^{0,5} = 1,151 \text{ m}$$

$$\Delta\sigma_{r1} = 3 \cdot V / \pi \cdot (x^2 \cdot z / r^5 + (1 - 2 \cdot v) / 3 \cdot (1 / r(r+z) - (2 \cdot r + z) \cdot x^2 / (r+z)^2 / r^3 - z / r^3)) = 51,04 \text{ kPa}$$

### přetížení od brzdné síly

$L =$	14	m
$a =$	3	m
$Q_{kl} =$	397,8	kN

$$B_d = Q_{kl} \cdot 3 \cdot h / L = 196,1 \text{ kN}$$
$$\Delta\sigma_{r2} = B_d / a / h = 28,41 \text{ kPa}$$

$$\Delta\sigma_r = \Delta\sigma_{r1} + \Delta\sigma_{r2} = 79,46 \text{ kPa}$$

$$F_{vod1} = \sigma_{r0} \cdot h / 2 = 37,2 \text{ kN.m}^{-1}$$
$$F_{vod2} = \Delta\sigma_r \cdot h = 182,8 \text{ kN.m}^{-1}$$
$$r_1 = h / 3 = 0,77 \text{ m}$$
$$r_2 = h / 2 = 1,15 \text{ m}$$

$$M_{vod} = F_{vod1} \cdot r_1 + F_{vod2} \cdot r_2 = 238,70 \text{ kNm.m}^{-1}$$

### Zatížení na základovou spáru pod konstrukcí

$b =$	2	m
$d =$	1	m
$h =$	2,35	m

$$Q_{dz} = 468,5 \text{ kN}$$
$$A_1 = b \cdot d = 2 \text{ m}^2$$
$$\sigma_{zd} = Q_{dz} / A_1 = 234,3 \text{ kPa}$$

$$Q_{dx} = 562,12 \text{ kN}$$
$$A_2 = b \cdot h = 4,7 \text{ m}^2$$
$$\sigma_{zd} = Q_{dx} / A_2 = 119,6 \text{ kPa}$$

### Záporové pažení

vzdálenost pažin	$d =$	2	m
hloubka vetknutí	$h_z =$	3,8	m
hloubka výkopu	$h_v =$	2,9	m
délka pažiny	$h = h_z + h_v =$	6,7	m

$b =$	0,6	m
$f_a =$	100	kN.m <sup>-2</sup>

### zemní tlak

$$S_{azv} = 0,5 \cdot S_r + 0,5 \cdot (S_a + \Delta S_a) = 46,6 \text{ kPa}$$
$$\delta_a = 2/3 \cdot \phi = 20,0 \text{ °}$$
$$\phi = 30 \text{ °}$$
$$\delta_p = 0 \text{ °}$$
$$\gamma = 20,9 \text{ kN.m}^{-3}$$
$$h = 2,9 \text{ m}$$
$$K_r = 1 - \sin \phi_{ef} = 0,500$$
$$S_r = 0,5 \cdot \gamma \cdot h^2 \cdot K_r = 43,9 \text{ kN.m}^{-1}$$
$$K_a = \text{tg}^2(45^\circ - \phi / 2) = 0,333$$
$$S_a = 0,5 \cdot \gamma \cdot h^2 \cdot K_a = 29,3 \text{ kN.m}^{-1}$$
$$M_{Sd} = S_{azv} \cdot h_v / 3 \cdot d = 90,13 \text{ kNm}$$

$$K_{af} = \text{tg}^2(45^\circ - \phi / 2) = 0,333$$
$$\Delta S_a = f_a \cdot b \cdot K_{af} = 20,00 \text{ kPa}$$